
ANALISI EPIDEMIOLOGICA SULLO STATO DI SALUTE DELLA POPOLAZIONE DEL COMUNE DI FABRIANO E DEI COMUNI LIMITROFI

AUTORI: BALDINI M, BARTOLACCI S, DI BIAGIO K, SIMEONI T V, MARIOTTINI M
AGENZIA REGIONALE PER LA PROTEZIONE AMBIENTALE DELLE MARCHE



Maggio 2015

SOMMARIO

EXECUTIVE SUMMARY	3
1. INTRODUZIONE	6
2. MATERIALI E METODI	6
2.1 Analisi Statistica	13
2.1.1 Indicatori epidemiologici utilizzati	14
3. STRUMENTI INFORMATICI	15
4. RISULTATI	16
4.1 Decessi della popolazione dei comuni in studio	16
4.1.1 Popolazione di tutte le età - Sintesi dei risultati di particolare interesse	16
4.1.2 Popolazione di tutte le età – Trend temporali dei decessi per causa	20
4.1.3 Popolazione di tutte le età – Cluster dei decessi nei comuni in studio	24
4.1.4 Bambini 0-14 anni - Sintesi dei risultati di particolare interesse	25
4.1.5 Neonati - Sintesi dei risultati di particolare interesse	25
4.2 Ricoveri ospedalieri della popolazione dei comuni in studio	26
4.2.1 Popolazione di tutte le età - Sintesi dei risultati di particolare interesse	26
4.2.2 Popolazione di tutte le età – Trend temporali dei ricoveri per causa	39
4.2.3 Popolazione di tutte le età – Cluster dei ricoveri nei comuni in studio	45
4.2.4 Bambini 0-14 anni - Sintesi dei risultati di particolare interesse	46
4.2.5 Bambini 0-14 anni – Trend temporali di ricoveri per causa	50
5. CONSIDERAZIONI CONCLUSIVE	53
BIBLIOGRAFIA	56
APPENDICE 1. RISULTATI MORTALITÀ	57
APPENDICE 2. RISULTATI RICOVERI OSPEDALIERI	211
Breve glossario	393

EXECUTIVE SUMMARY

OBIETTIVI

La presente analisi è stata condotta a seguito della specifica richiesta da parte del Direttore del Dipartimento di Prevenzione – Servizio Igiene e Sanità Pubblica – Azienda Sanitaria Unica Regionale – Area Vasta 2 (prot. 0046945 del 17/03/2015), di uno studio epidemiologico sullo stato di salute della popolazione residente a Fabriano e nei comuni limitrofi (**Cerreto D’Esi, Esanatoglia, Fiuminata, Genga, Matelica, Poggio San Vicino, Sassoferrato e Serra San Quirico**).

DATI E METODI

In accordo ai criteri utilizzati nello Studio Epidemiologico Nazionale dei Territori e Insediamenti a Rischio di Inquinamento (**Progetto SENTIERI**) dell’Istituto Superiore di Sanità (1), è stata effettuata, sulla base degli indicatori epidemiologici di mortalità e di morbosità, **un’indagine geografica descrittiva su base di popolazione a livello comunale. Nello specifico i dati di mortalità sono riferiti al periodo 2006-2011 e sono stati estratti dall’archivio ISTAT delle cause di morte; gli esiti sanitari di morbosità sono stati indagati sulla base del primo ricovero ospedaliero di ciascuna patologia o gruppo di patologie di ogni soggetto, sia in regime ordinario che di day hospital, nel periodo di osservazione 2006-2012; per alcune malattie specifiche sono stati considerati tutti gli eventi avvenuti nel periodo. La selezione delle dimissioni ospedaliere è stata eseguita sulla base dei codici nosologici ICD-IX-CM (International Classification Disease, nona revisione) registrati nel campo della diagnosi principale della Scheda di Dimissione Ospedaliera e l’estrazione delle cause di decesso è stata effettuata in base ai codici ICD-X-CM (International Classification Disease, decima revisione) estratti dall’archivio ISTAT delle cause di morte.**

In particolare per ogni comune dell’area in studio sono stati calcolati i rapporti standardizzati di mortalità e di incidenza (SIR) a livello comunale, con i relativi intervalli di confidenza al 90% di probabilità, standardizzati per genere, classi di età quinquennali e indice di deprivazione; al fine di controllare l’instabilità delle stime del SIR sono state calcolate le stime bayesiane del rischio secondo il modello gerarchico di Besag, York, Mollié e i relativi intervalli di credibilità al 95% di probabilità. E’ stata applicata la metodologia del cluster detection basata sulla statistica spaziale Scan di Kulldorff al fine di localizzare aggregazioni di comuni che presentavano eccessi di incidenza statisticamente significativi; i cluster statisticamente significativi (valore-p associato alla statistica scan inferiore a 0,05) sono stati rappresentati su mappe di rischio.

Per ogni comune dell’area in studio sono stati calcolati i tassi standardizzati per genere e classi di età quinquennali riferiti a 100.000 abitanti; le serie temporali dei tassi standardizzati sono state analizzate dal 2006 al 2011 per i decessi e dal 1997 al 2012 per i ricoveri, utilizzando il metodo di regressione joinpoint che individua i punti dove si verificano i cambiamenti nel tempo, statisticamente significativi, del coefficiente angolare della funzione lineare che identifica il trend (trend non calcolabile, n.c. = presenza di un tasso pari a zero nella serie dei dati). I tassi standardizzati dei singoli comuni che presentavano una tendenza statisticamente significativa, e quelli della regione Marche sono stati riportati su grafici a dispersione con le rette di regressione teoriche che meglio interpolavano i dati. I test di

significatività sono basati sul metodo di permutazione di Monte Carlo e l'analisi statistica è stata svolta utilizzando il software Joinpoint prodotto da US National Cancer Institute.

Tutti i test statistici effettuati nella presente indagine sono a due code e con un livello di significatività del 5%.

Per quanto riguarda i decessi le analisi sono state effettuate analizzando gli individui di tutte le età, della fascia di età 0-14 anni e i neonati (0-1 anno); per i ricoveri ospedalieri si sono analizzate le degenze dei residenti di tutte le età e della fascia 0-14 anni.

I dati su base comunale, relativi agli indicatori epidemiologici utilizzati, sono stati prodotti con il sistema integrato di **programmi sviluppati ad hoc per l'analisi di dati sanitari in epidemiologia geografica ambientale, denominato PATED (Procedura per l'analisi territoriale di epidemiologia descrittiva - ver. 4.2).**

I risultati epidemiologici relativi agli indicatori di mortalità e di ricovero ospedaliero dei residenti nel comune di Fabriano e limitrofi sono stati estratti dagli Atlanti di Epidemiologia Ambientale (ediz. 9, ver. 0, anno 2014) realizzati dal Servizio di Epidemiologia Ambientale del Dipartimento Provinciale ARPAM di Ancona.

RISULTATI

Relativamente ai decessi per causa degli individui di tutte le età (0-99 anni) il presente studio ha messo in particolare evidenza (massimo livello di attenzione) nel comune di Fabriano una più alta incidenza di decessi rispetto alle Marche per le malattie neuro-psichiatriche (escluse tossicodipendenze) per femmine, maschi ed i due generi nel complesso, con, rispettivamente, un rapporto standardizzato di incidenza percentuale pari a 142 (I.C. 90%: 114-177) e uno stimatore bayesiano di 133 (I.C. 95%: 110-162), SIR uguale a 162 (I.C. 90%: 119-221) e BIR a 135 (I.C. 95%: 106-185) e SIR uguale a 148 (I.C. 90%: 124-178) e BIR a 139 (I.C. 95%: 119-167). Tale patologia fa rivelare a Fabriano un andamento temporale in significativa crescita **nell'intero periodo in studio (2006-2011)**, in linea tuttavia con il trend registrato nell'intera regione.

Per i decessi per causa dei bambini e dei neonati non si sono registrate patologie con eccessi statisticamente significativi.

Sempre di particolare attenzione per quanto riguarda i ricoveri ospedalieri degli individui di tutte le età (0-99 anni), a Fabriano si registra una maggiore incidenza di primi ricoveri rispetto alla regione per tutti i tumori maligni nei maschi con SIR pari a 114 (I.C. 90%: 108-120) e BIR a 112 (I.C. 95%: 106-117); anche nel vicino comune di Sassoferrato si evince una maggiore incidenza di ricoveri rispetto alle Marche per la stessa causa nei maschi (SIR: 118, I.C. 90%: 107-131; BIR: 109, I.C. 95%: 100-118) e in maschi e femmine insieme (SIR: 116, I.C. 90%: 108-125; BIR: 111, I.C. 95%: 103-121); **l'andamento nel tempo in tutto il periodo in studio (1997-2012) di tale patologia risulta, per entrambi i comuni, in significativo aumento, in contrasto con il trend registrato nella regione Marche.**

A Fabriano si rileva una più alta incidenza per tutti i ricoveri per le malattie ischemiche acute (infarto miocardico, altre forme acute e subacute di cardiopatia ischemica) nei maschi con un rapporto standardizzato di incidenza percentuale pari a 131 (I.C. 90%: 120-143) e uno stimatore bayesiano di 130 (I.C. 95%: 121-141), e in maschi e femmine insieme (SIR: 123, I.C. 90%: 114-132; BIR: 122, I.C. 95%: 118-128); **anche nei comuni di Cerreto d'Esi (maschi, SIR: 161, I.C. 90%: 125-206, e BIR: 151, I.C. 95%: 131-171) e Sassoferrato (maschi e femmine insieme, SIR: 126, I.C. 90%: 109-145, e BIR: 121, I.C. 95%: 111-134) si registra una più alta incidenza di ricoveri rispetto alla regione per la stessa patologia; si rileva un trend dei ricoveri nel tempo in significativa crescita in linea con quello dell'area di riferimento.**

Sempre nel comune di Fabriano si nota un eccesso di primi ricoveri per tumori maligni della tiroide nei due generi nel complesso con un rapporto standardizzato di incidenza percentuale pari a 166 (I.C. 90%: 136-202) e uno stimatore bayesiano di 139 (I.C. 95%: 119-163); **a partire dall'anno 2009 nelle Marche il trend** temporale si attesta in discesa contrariamente a quello del comune in studio, che è in crescita dal 1997.

Si registra a Fabriano una **maggiore incidenza di primi ricoveri rispetto all'area di riferimento** nei due generi per mieloma multiplo e tumori immunoproliferativi con SIR uguale a 155 (I.C. 90%: 120-200) e BIR a 135 (I.C. 95%: 112-176); **si evidenzia che l'andamento** temporale dei tassi di incidenza standardizzati del comune di Fabriano si attesta negli ultimi anni in studio in linea con quello osservato nella regione Marche.

L'analisi spaziale su base comunale, effettuata per individuare la presenza di agglomerati spaziali di ricoveri ospedalieri, ha messo in evidenza per le persone di genere femminile di tutte le età la presenza di un cluster per le malattie infettive (ICD IX: 001-139) che include i comuni di Cerreto d'Esse e Matelica e un cluster riguardante le nefropatie croniche e acute (ICD IX: 580-589) che comprende i comuni di Esanatoglia e Matelica.

Per ciò che riguarda i ricoveri ospedalieri dei residenti di età 0-14 anni nel complesso, a Fabriano si sono evidenziati eccessi di ricoveri rispetto alla regione per malattie ereditarie e degenerative e altri disturbi del sistema nervoso centrale con SIR pari a 142 (I.C. 90%: 119-170) e BIR a 129 (I.C. 95%: 109-147), con un trend in crescita in maniera statisticamente significativa.

Per i residenti della fascia 0-14 anni nei comuni di Fabriano, Cerreto D'Esse, Esanatoglia, Fiuminata, Matelica e Sassoferrato in studio si sono evidenziati trend temporali in calo per tutte le cause di ricovero, in linea con quelli **registrato nell'intera regione**.

CONCLUSIONI

Obiettivo del presente studio è stato quello di descrivere lo stato di salute della popolazione residente nel comune di Fabriano e limitrofi **attraverso l'analisi** dei dati di ricovero ospedaliero e di mortalità. Si tiene a sottolineare che il presente studio ha finalità e potenzialità esclusivamente di tipo descrittivo; non utilizza dati di esposizione recente o remota e pertanto non è in grado di dare informazioni in termini di causalità delle eventuali pressioni ambientali presenti nel territorio sull'accadimento degli eventi sanitari.

1. INTRODUZIONE

La presente analisi è stata condotta a seguito della specifica richiesta da parte del Direttore del Dipartimento di Prevenzione – Servizio Igiene e Sanità Pubblica – Azienda Sanitaria Unica Regionale – Area Vasta 2, Fabriano (prot. 0046945 del 17/03/2015), di uno studio epidemiologico sullo stato di salute della popolazione residente a Fabriano e nei comuni limitrofi.

L'indagine è stata svolta dal Servizio di Epidemiologia Ambientale del Dipartimento provinciale ARPAM di Ancona in accordo ai criteri utilizzati nello Studio Epidemiologico Nazionale dei Territori e Insediamenti a Rischio di Inquinamento (Progetto SENTIERI) dell'Istituto Superiore di Sanità (1).

2. MATERIALI E METODI

E' stata effettuata un'indagine geografica descrittiva su base di popolazione, a livello comunale, al fine di produrre un quadro informativo sullo stato di salute dei residenti a Fabriano e nei comuni limitrofi sulla base degli indicatori epidemiologici di mortalità e di morbosità. Nello specifico i dati di mortalità sono riferiti al periodo 2006-2011 (ultimo anno disponibile) e sono stati estratti dall'archivio ISTAT delle cause di morte (fonte: Servizio di Statistica della Regione Marche); gli esiti sanitari di morbosità sono stati indagati sulla base del primo ricovero ospedaliero di ciascuna patologia o gruppo di patologie di ogni soggetto, sia in regime ordinario che di day hospital, nel periodo di osservazione 2006-2012 (fonte: Agenzia Regionale Sanitaria delle Marche; Archivio regionale delle schede di dimissione ospedaliera - SDO).

La selezione delle dimissioni ospedaliere è stata eseguita sulla base dei codici nosologici ICD-IX-CM (International Classification of Disease, ninth revision) registrati nel campo della diagnosi principale della Scheda di Dimissione Ospedaliera; l'estrazione delle cause di decesso è stata effettuata in base ai codici ICD-X-CM (International Classification of Disease, tenth revision) dall'archivio ISTAT delle cause di morte.

Le patologie indagate per entrambi gli esiti sono state riportate nelle Tabelle 1-7 seguenti. Le cause di morte e di ricovero ospedaliero selezionate sono state ricercate nella popolazione generale di tutte le età e della fascia di età 0-14 anni; le cause di decesso sono state analizzate anche nella popolazione di età 0-1 anno non compiuto (Tabella 3).

Sono stati analizzati per gli individui di genere maschile e femminile i ricoveri ospedalieri incidenti e tutti i ricoveri (ordinari e day hospital) e i decessi dei soggetti residenti nei comuni di Fabriano, Cerreto d'Esi, Esanatoglia, Fiuminata, Genga, Matelica, Poggio San Vicino, Sassoferrato e Serra San Quirico nel periodo in studio. Le degenze ospedaliere inerenti alcune cause specifiche elencate in Tabella 4 e Tabella 6 (ICD-IX-CM) sono state analizzate inserendo solo il primo ricovero di ogni soggetto nel periodo in studio della patologia o gruppo di patologie considerate.

Tabella 1. Cause di morte analizzate, età 0-99 anni.

Descrizione delle cause di morte	ICD-X-CM
Mortalità generale (escluse cause violente)	A00-R99
Mortalità per cause esterne o violente	S00-Y99
Malattie infettive	A00-B99
Tumori maligni delle vie aeree e digestive superiori	C00-C15, C32
Tumori maligni	C00-C97
Tumori maligni dell'esofago	C15
Tumori maligni dello stomaco	C16
Tumori maligni dell'intestino tenue, compreso il duodeno	C17
Tumori maligni del colon	C18
Tumori maligni del retto, della giunzione retto-sigmoidea e dell'ano	C19-C21
Tumore fegato e dotti biliari	C22
Tumori maligni del pancreas	C25
Tumore del retroperitoneo	C48
Tumori maligni della laringe	C32
Tumori maligni della trachea, dei bronchi e dei polmoni	C33-C34
Mesotelioma (pleura, peritoneo, endocardio, ecc.)	C45
Tumori maligni delle ossa e della cartilagine articolare	C40-C41
Tumori maligni del connettivo e di altri tessuti molli	C49
Melanoma maligno della pelle	C43
Tumori maligni della mammella	C50
Tumori maligni dell'utero	C53-C55
Tumori maligni del corpo dell'utero	C54
Tumori maligni dell'ovaio e degli altri annessi uterini	C56-C57
Tumore della prostata	C61
Tumore del testicolo	C62
Tumori maligni della vescica	C67
Tumori maligni del rene e di altri e non specificati organi urinari	C64-C66, C68
tumore del sistema nervoso centrale	C70-C72, D33
Tumori maligni dell'encefalo	C71
Tumori maligni della ghiandola tiroide	C73
Tumori emolinfopoietici	C81-C96
Malattia di Hodgkin	C81
Linfoma non Hodgkin	C82-C85
Mieloma multiplo e tumori immunoproliferativi	C88, C90
Leucemie	C91-C95
Leucemia linfoide (acuta e cronica)	C91
Leucemia mieloide (acuta e cronica)	C92

Tabella 1 – segue - Cause di morte analizzate, età 0-99 anni.

Descrizione delle cause di morte	ICD-X-CM
Angiosarcoma epatico	C223
Malattie del sangue e degli organi emopoietici	D50-D77
Malattie endocrine, della nutrizione ed immunitarie	E00-E90, D80-D89
Tireotossicosi	E05
Ipotiroidismo	E00-E03
Diabete mellito	E10-E14
Demenze	F00-F01, F020-F023, F03, G30, G310
Malattie neuro-psichiatriche (escluse tossicod.)	F00-F09, F20-F99
Malattie del sistema nervoso e degli organi di senso	G00-H95
Morbo di Parkinson	G20
Malattia di Alzheimer	G30
Malattia dei neuroni motori	G122
Sclerosi multipla	G35
Malattie dell'apparato circolatorio	I00-I99
Malattie ischemiche del cuore	I20-I25
Infarto miocardico acuto	I21-I22
Malattie cerebrovascolari	I60-I69
Malattie dell'apparato respiratorio	J00-J99
Malattie respiratorie acute	J00-J06, J10-J18, J20-J22
Malattie croniche dell'apparato respiratorio (BCPO)	J41-J44, J47
Asma	J45
Pneumoconiosi	J60-J64
Malattie dell'apparato digerente	K00-K93
Cirrosi e altre malattie croniche del fegato	K70, K73-K74
Nefropatie croniche e acute	N00-N12
Malattie dell'apparato genito-urinario	N00-N99
Insufficienza renale acuta e cronica	N17-N19
Sintomi, segni e stati morbosi mal definiti	R00-R99
Traumatismi e avvelenamenti	S00-T98

Tabella 2. Cause di morte analizzate, età 0-14 anni.

Descrizione delle cause di morte	ICD-X-CM
Mortalità generale (escluse cause violente)	A00-R99
Mortalità per cause esterne o violente	S00-Y99
Malattie infettive e parassitarie	A00-B99
Tumori maligni e benigni	C00-D48
Tumori maligni	C00-C97
Tumori maligni delle ossa e della cartilagine articolare	C40-C41
Tumori maligni del connettivo e di altri tessuti molli	C49
Tumori maligni del rene e di altri e non specificati organi urinari	C64-C66, C68
Tumori maligni dell'encefalo	C71
Tumori maligni del sistema nervoso centrale	C70-C72, D33
Tumori emolinfopoiетici	C81-C96
Leucemie	C91-C95
Anomalie del sistema nervoso	G00-H95
Malattie dell'apparato respiratorio	J00-J99
Malattie respiratorie acute	J00-J06, J10-J18, J20-J22
Malattie dell'apparato digerente	K00-K93
Malformazioni congenite	Q00-Q99
Anomalie cardiovascolari	Q20-Q28
Anomalie dell'apparato genito-urinario	Q50-Q56
Anomalie cromosomiche (non classificate altrimenti)	Q90-Q99
Accidenti da trasporto	V01-V99
Sintomi, segni e stati morbosi mal definiti	R00-R99
Traumatismi e avvelenamenti	S00-T98
Avvelenamenti accidentali	X29, X49

Tabella 3. Cause di morte analizzate, età 0-1 anno.

Descrizione delle cause di morte	ICD-X-CM
Mortalità generale (escluse cause violente)	A00-R99
Mortalità per cause esterne o violente	S00-Y99
Malattie infettive	A00-B99
Malattie dell'apparato respiratorio	J00-J99
Malattie dell'apparato genito-urinario	N00-N99
Malformazioni congenite	Q00-Q99
Feto o neonato affetto da condizioni morbose della madre anche non correlate alla gravidanza	P00-P04
Condizioni morbose di origine perinatale	P00-P96
Crescita fetale lenta e malnutrizione fetale	P05
Disturbi relativi alla gestazione breve e a basso peso alla nascita non spec.	P07

Tabella 4. Cause di ricovero analizzate, età 0-99 anni – Primo ricovero.

Descrizione delle cause di ricovero	ICD-IX-CM
Tumori maligni delle vie aeree e digestive superiori	140-150, 161
Tumori maligni	140-208
Tumori maligni dell'esofago	150
Tumori maligni dello stomaco	151
Tumori maligni dell'intestino tenue, compreso il duodeno	152
Tumori maligni del colon	153
Tumori maligni del colon-retto	153-154
Tumori maligni del retto, della giunzione retto-sigmoidea e dell'ano	154
Tumore fegato e dotti biliari	1550-1551
Tumori maligni del pancreas	157
Tumore del retroperitoneo	1580
Tumori maligni del naso	1600
Tumori maligni della laringe	161
Tumori maligni della trachea, dei bronchi e dei polmoni	162
Tumori maligni della pleura	163
Mesoteliomi pleurici e peritoneali	1588, 163
Tumori maligni delle ossa e della cartilagine articolare	170
Tumori maligni del connettivo e di altri tessuti molli	171
Melanoma maligno della pelle	172
Tumori maligni della mammella	174-175
Tumori maligni dell'utero	179-180, 182
Tumori maligni del corpo dell'utero	182
Tumori maligni dell'ovaio e degli altri annessi uterini	183
Tumore della prostata	185
Tumore del testicolo	186
Tumori maligni della vescica	188
Tumori maligni del rene e di altri e non specificati organi urinari	189
Tumori maligni dell'encefalo	191
Tumori maligni del sistema nervoso centrale	191-192
Tumori maligni della ghiandola tiroide	193
Linfoma non Hodgkin	200, 202
Tumori emolinfopoietici	200-208
Malattia di Hodgkin	201
Mieloma multiplo e tumori immunoproliferativi	203
Leucemie	204-208
Gozzo non tossico	240-241
Malattie endocrine e della nutrizione	240-2799
Tireotossicosi	242

Tabella 4 – segue - Cause di ricovero analizzate, età 0-99 anni – Primo ricovero.

Descrizione delle cause di ricovero	ICD-IX-CM
Ipotiroidismo	243-244
Diabete mellito	250
Malattie del sangue e degli organi emopoietici	280-289
Malattie neuro-psichiatriche (escluse tossicod.)	290-303, 306-319
Malattie del sistema nervoso e degli organi di senso	320-389
Malattia di Alzheimer	3310
Morbo di Parkinson	3320
Malattia dei neuroni motori	3352
Sclerosi multipla	340
Malattie cardiache	390-429
Malattie dell'apparato circolatorio	390-459
Malattie ischemiche del cuore	410-4149
Insufficienza cardiaca (scompenso cardiaco)	428
Malattie cerebrovascolari	430-438
Malattie dell'apparato respiratorio	460-5199
Malattie polmonari croniche ostruttive	490-492, 494, 496
Pneumoconiosi	500-505
Malattie dell'apparato digerente	520-579
Cirrosi e altre malattie croniche del fegato	571
Nefropatie croniche e acute	580-589
Malattie dell'apparato urinario	580-599
Calcolosi del rene e delle vie urinarie	592, 594
Endometriosi	617

Tabella 5. Cause di ricovero analizzate, età 0-99 anni – Tutti i ricoveri.

Descrizione delle cause di ricovero	ICD-IX-CM
Tutte le cause (escl. cataratta, IVG, parto, trattamenti e violente)	000-365, 367-634, 636-649, 655-659, 670-799
Malattie infettive	001-139
Malattie ischemiche acute (infarto miocardico, altre forme acute e subacute di cardiopatia ischemica)	410-411
Malattie ischemiche del cuore	410-4149
Malattie acute delle prime vie aeree	460-466
Asma	493
Aborto spontaneo	634
Cause maldefinite	780-799
Accidenti da trasporto	800-848
Traumatismi e avvelenamenti	800-999
Avvelenamenti accidentali	850-869
Cadute ed altri infortuni	880-928

Tabella 6. Cause di ricovero analizzate, età 0-14 anni - Primo ricovero.

Descrizione delle cause di ricovero	ICD-IX-CM
Tumori maligni	140-208
Tumori maligni delle ossa e della cartilagine articolare	170
Tumori maligni del connettivo e di altri tessuti molli	171
Tumori maligni del rene e di altri e non specificati organi urinari	189
Tumori maligni dell'encefalo	191
Tumori maligni del sistema nervoso centrale	191-192
Tumori maligni della ghiandola tiroidea	193
Linfomi non Hodgkin	200, 202
Tumori emolinfopoietici	200-208
Leucemie	204-208
Malattie endocrine e della nutrizione	240-279
Diabete mellito	250
Malattie neuro-psichiatriche	290-319
Psicosi con origine specifica dell'infanzia	299
Disturbi nervosi dell'infanzia	313-319
Malattie ereditarie e degenerative e altri disturbi del sistema nervoso centrale	330-349
Malattie cardiache	390-429
Malattie del sistema circolatorio	390-459
Malattie dell'apparato respiratorio	460-5199
Asma	493
Malattie dell'apparato digerente	520-579
Nefrite, sindrome nefrosica, e nefrosi	580-589
Malattie dell'apparato urinario	580-599
Anomalie del sistema nervoso	740-742
Malformazioni congenite	740-759
Anomalie cardiovascolari	745-747
Anomalie dell'apparato genito-urinario	752-753
Anomalie cromosomiche	758

Tabella 7. Cause di ricovero analizzate, età 0-14 anni - Tutti i ricoveri.

Descrizione delle cause di ricovero	ICD-IX-CM
Tutte le cause	000-999
Malattie infettive	001-139
Infezioni acute delle vie respiratorie, polmonite e influenza	460-466, 480-487
Asma	493
Accidenti da trasporto	800-848
Traumatismi e avvelenamenti	800-999
Avvelenamenti accidentali	850-869

2.1 ANALISI STATISTICA

Per i comuni di **Cerreto d'Es**, Esanatoglia, Fabriano, Fiuminata, Genga, Matelica, Poggio San Vicino, Sassoferrato e Serra San Quirico sono stati calcolati i rapporti standardizzati di mortalità e di incidenza (SIR) a livello comunale, con i relativi intervalli di confidenza al 90% di probabilità, standardizzati per genere, classi di età quinquennali e indice di deprivazione (ID) (2), **nell'ipotesi che i casi osservati fossero distribuiti secondo una variabile casuale di Poisson**. Un valore percentuale del SIR superiore (inferiore) a 100 indica un eccesso (difetto) di incidenza osservata nel comune di riferimento superiore (inferiore) a quella media regionale, al netto **dell'effetto dovuto alla composizione dell'età, genere e indice di deprivazione**. Al fine di **controllare l'instabilità delle stime del SIR, imputabile alla bassa numerosità degli eventi e/o della popolazione**, sono state calcolate le stime bayesiane del rischio secondo il modello gerarchico di Besag, York, Mollié (3) e i relativi intervalli di credibilità al 95% di probabilità. Per avere una visione complessiva del fenomeno a livello spaziale, le stime del SIR e del BIR sono state rappresentate graficamente su mappe di variazione del rischio (choropleth).

E' stata applicata la metodologia del cluster detection basata sulla statistica spaziale Scan di Kulldorff al fine di localizzare aggregazioni di comuni che presentavano eccessi di incidenza statisticamente significativi (4) (5). Il metodo scansiona aree geografiche caratterizzate da alti tassi di incidenza/mortalità con finestre di ricerca di forma circolare ed **ellittica nell'ipotesi che il numero dei casi osservati in ogni comune sia distribuito secondo un processo puntuale di Poisson non omogeneo e che i casi e la popolazione di riferimento di ogni comune siano attribuiti alle coordinate geografiche del centroide del comune stesso**. Ogni cluster **è costituito dall'insieme dei comuni i cui centroidi ricadono entro i limiti geografici delimitati dal cerchio o dall'ellissi determinata, mentre la dimensione del cluster include al massimo il 50% della popolazione a rischio**.








Sono stati rappresentati su mappe di rischio i cluster statisticamente significativi ovvero con un valore-p associato alla statistica scan inferiore a 0,05.

Per ogni comune dell'area in studio sono stati calcolati i tassi standardizzati per genere e classi di età quinquennali riferiti a 100.000 abitanti; le serie temporali dei tassi standardizzati sono state analizzate dal 1997 al 2012 per i ricoveri e dal 2006 al 2011 per i decessi, utilizzando il metodo di regressione joinpoint che individua i punti dove si verificano i cambiamenti nel tempo, statisticamente significativi (s.s.), del coefficiente angolare della funzione lineare che identifica il trend; la presenza di un tasso pari a zero nella serie dei dati non permette il calcolo della statistica trend (trend n.c. = non calcolabile). I tassi standardizzati dei singoli comuni che presentavano una tendenza statisticamente significativa e quelli della regione Marche sono stati riportati su grafici a dispersione con le rette di regressione teoriche che meglio interpolavano i dati. I test di significatività sono basati sul metodo di permutazione di Monte Carlo (6).

Tutti i test statistici effettuati nella presente indagine sono a due code e con un livello di significatività del 5%.

La modalità di lettura ed interpretazione dei dati è stata semplificata associando alla **presentazione dei valori numerici anche una rappresentazione grafica, che si avvale dell'utilizzo di emoticons, come esplicitato in Tabella 8**.

Tabella 8. Modalità di rappresentazione dei risultati (livelli di attenzione)

Emoticons	Livello di attenzione/preoccupazione
	0 - Difetti significativi. Nessuna azione da intraprendere.
	1 - Nessuna azione da intraprendere.
	2 - Nessuna preoccupazione. Ricontrollare nel tempo.
	3 - Necessaria attenzione. Sorvegliare nel tempo.
	4 - Sicuro / molto probabile eccesso. Sorvegliare nel tempo e nello spazio.
	5 - Eccesso in evoluzione o d'interesse d'area. Necessitano approfondimenti.
	6 - Eccesso conclamato. Necessitano approfondimenti e sorveglianza.
	7 - Parametri contrastanti. Necessitano eventuali accertamenti

2.1.1 Indicatori epidemiologici utilizzati

Tassi Standardizzati (TS)

Il confronto fra tassi grezzi può portare ad una interpretazione fuorviante a causa delle differenze tra le strutture per età, genere e/o altre variabili di confondimento delle popolazioni in esame. Nel confronto di due regioni, ad esempio, una mediamente più anziana e l'altra mediamente più giovane, i tassi di mortalità possono differire sia per le caratteristiche intrinseche della regione e sia per un effetto dovuto alla struttura per età. Per poter operare dei confronti accurati si utilizzano, pertanto, i tassi standardizzati (di mortalità o di morbosità) che esprimono il fenomeno della mortalità/morbosità al netto dell'effetto della composizione per età, genere e altre variabili confondenti (7).

Rapporti Standardizzati di Mortalità/Incidenza (SMR/SIR)

L'indicatore epidemiologico SMR/SIR è una misura sintetica che stima il rischio relativo di mortalità/incidenza di una patologia in un'area in studio. L'SMR/SIR è dato dal rapporto percentuale tra il numero di eventi osservati e il numero di eventi attesi nel comune ed esprime l'eccesso (SMR/SIR maggiore di 100) o il difetto (SMR/SIR minore di 100) di mortalità/morbosità esistente tra il comune e la popolazione presa come riferimento, cioè quella regionale nel suo complesso, al netto delle variabili di confondimento considerate. Essendo uno stimatore basato su un rapporto, l'SMR/SIR assume dei valori estremamente alti in presenza di eventi attesi molto bassi (vicino allo zero), anche con eventi osservati pari a uno o di poco superiori; di conseguenza, in presenza di un numero esiguo di eventi e/o di una popolazione a rischio piccola, la mappa degli SMR/SIR può fornire una rappresentazione del rischio di mortalità/incidenza nell'area in studio lontana dalla situazione reale.

Per superare i problemi di instabilità di questo stimatore sono stati proposti, tra gli altri, metodi di stima bayesiani (8).

Stimatori Bayesiani (BMR/BIR)

Le stime bayesiane del rischio relativo di mortalità/incidenza di una patologia (BMR/BIR) sono determinate con metodi iterativi tenendo in considerazione contemporaneamente sia la frequenza degli eventi nelle aree limitrofe il singolo comune e sia la frequenza degli eventi nell'intera regione; in questo modo i BMR/BIR mostrano una minore variabilità poiché i valori estremi degli SMR/SIR tendono a scomparire rendendo la mappa più correttamente interpretabile (8).

3. STRUMENTI INFORMATICI

I dati su base comunale, relativi agli indicatori epidemiologici utilizzati, sono stati prodotti con il sistema integrato di programmi sviluppati ad hoc per l'analisi di dati sanitari in epidemiologia geografica ambientale, denominato PATED (Procedura per l'analisi territoriale di epidemiologia descrittiva - ver. 4.2). Esso utilizza una serie di procedure in SAS e Access, il software WinBUGS per il calcolo dei BMR/BIR, SatScan per l'analisi spaziale dei dati di mortalità e di ricovero ospedaliero e la rilevazione di cluster spaziali.

L'analisi statistica è stata svolta utilizzando il software Joinpoint prodotto da US National Cancer Institute

I risultati epidemiologici relativi agli indicatori di mortalità e di ricovero ospedaliero dei residenti nel comune di Fabriano e limitrofi sono stati estratti dagli Atlanti di Epidemiologia Ambientale (ediz. 9, ver. 0, anno 2014) realizzati dal Servizio di Epidemiologia Ambientale del Dipartimento Provinciale ARPAM di Ancona.

4. RISULTATI












4.1 DECESSI DELLA POPOLAZIONE DEI COMUNI IN STUDIO

4.1.1 Popolazione di tutte le età - Sintesi dei risultati di particolare interesse

Le tabelle 15-23 in appendice riportano, rispettivamente per i comuni di Cerreto d'Esi, Esanatoglia, Fabriano, Fiuminata, Genga, Matelica, Poggio San Vicino, Sassoferrato e Serra San Quirico il numero di casi osservati, il numero di casi attesi, i cluster statisticamente significativi, il rapporto standardizzato di incidenza percentuale del cluster, il tasso standardizzato per 100.000 abitanti, il rapporto standardizzato di incidenza percentuale e il rapporto di incidenza bayesiano percentuale, con i relativi intervalli di probabilità (al 90%) e credibilità (al 95%), eccessi e difetti statisticamente significativi e trend temporali per le patologie in studio, calcolati sui decessi per causa sul periodo 2006-2011.









La Tabella 9 e la Tabella 10 riassumono, per i comuni ove tali condizioni si siano verificate, le situazioni o la presenza di fattori rilevati dal presente studio che, rispettivamente, necessitano di particolare attenzione, di sorveglianza e controllo nel tempo, o si ritengono rilevanti per una valutazione dello stato di salute della popolazione.

Tabella 9. Eventi sanitari statisticamente significativi che necessitano di particolare attenzione – Decessi, popolazione di tutte le età.

Comune	Causa (ICD-IX)	Genere	SIR	BIR	Trend	Livello attenzione
Fabriano	Malattie neuro-psichiatriche (escluse tossicod.) (F00-F09, F20-F99)	M + F, F, M	↑	↑	↗	6 
	Malattie croniche apparato respiratorio (BCPO) (J41-J44, J47)	F	↑	↑	→	5 
Esanatoglia	Malattie neuro-psichiatriche (escluse tossicod.) (F00-F09, F20-F99)	M + F, F	↑	↑	n.c.	5 
	Malattie croniche apparato respiratorio (BCPO) (J41-J44, J47)	M + F, M	↑	↑	n.c.	5 
Matelica	Tumori maligni dello stomaco (C16)	M + F	↑	↑	→	5 
	Malattie ischemiche del cuore (I20-I25)	M + F, F	↑	↑	→	5 
	Infarto miocardico acuto (I21-I22)	F	↑	↑	→	5 
	Malattie croniche apparato respiratorio (BCPO) (J41-J44, J47)	F	↑	↑	n.c.	5 
Sassoferrato	Tumori maligni del retto della giunzione retto-sigmoidea e ano (C19-C21)	M	↑	↑	n.c.	5 
Serra San Quirico	Demenze (F00-F01, F02.0-F02.3, F03, G30, G31.0)	M + F, F	↑	↑	n.c.	5 
	Malattie neuro-psichiatriche (escluse tossicod.) (F00-F09, F20-F99)	M + F, F	↑	↑	n.c.	5 




↑ / ↗ = eccessi/incrementi, ↓ / ↘ = difetti/decrementi statisticamente significativi; n.c. = non calcolabile

Tabella 10. Eventi sanitari statisticamente significativi da sorvegliare e controllare nel tempo – Decessi, popolazione di tutte le età.

Comune	Causa (ICD-IX)	Genere	SIR	BIR	Trend	Livello attenzione
Cerreto d'Esi	Infarto miocardico acuto (I21-I22)	M + F	↑	↑	n.c.	4 
Esanatoglia	Tumore del sistema nervoso centrale (C70-C72, D33)	F	↑	↑	n.c.	4 
	Malattie ischemiche del cuore (I20-I25)	F	↑	↑	↘	4 
	Malattie apparato respiratorio (J00-J99)	M + F	↑	↑	↘	4 
Matelica	Infarto miocardico acuto (I21-I22)	M + F	↑	↑	→	4 
	Malattie apparato respiratorio (J00-J99)	M + F	↑	↑	→	4 
Sassoferrato	Cause esterne o violente (S00-Y99)	M + F	↑	↑	→	4 
	Traumatismi e avvelenamenti (S00-T98)	M + F	↑	↑	→	4 

↑ / ↗ = eccessi/incrementi, ↓ / ↘ = difetti/decrementi statisticamente significativi; n.c. = non calcolabile

A **Fabriano** (Tabella 17 in appendice) si rileva:

	una più alta incidenza di decessi rispetto alle Marche per le malattie neuro-psichiatriche (escluse tossicod.) (ICD-X: F00-F09, F20-F99) per femmine, maschi ed i due generi nel complesso, con, rispettivamente, un rapporto standardizzato di incidenza percentuale pari a 142 (I.C. 90%: 114-177) e uno stimatore bayesiano di 133 (I.C. 95%: 110-162), SIR uguale a 162 (I.C. 90%: 119-221) e BIR a 135 (I.C. 95%: 106-185) e SIR uguale a 148 (I.C. 90%: 124-178) e BIR a 139 (I.C. 95%: 119-167); in tutti e tre i casi anche il trend risulta in significativa crescita nell'intero periodo (2006-2011) ;
	una maggiore incidenza di decessi per malattie croniche dell'apparato respiratorio (BCPO) (ICD-X: J41-J44, J47) negli individui di genere femminile con SIR pari a 136 (I.C. 90%: 103-180) e BIR di 127 (I.C. 95%: 100-153) con andamenti nel tempo costanti;
	difetti statisticamente significativi rispetto alla regione Marche confermati con entrambi gli indicatori epidemiologici utilizzati accompagnati da un trend significativamente decrescente per i decessi per le malattie apparato circolatorio (ICD-X: I00-I99), le malattie ischemiche del cuore (ICD-X: I20-I25) e le malattie respiratorie acute (ICD-X: J00-J06, J10-J18, J20-J22).

A **Cerreto d'Es** (Tabella 15 in appendice) si rileva:



una più alta incidenza di decessi rispetto alla regione per **infarto miocardico acuto** (ICD-X: I21-I22) per maschi e femmine insieme con un rapporto standardizzato di incidenza percentuale pari a 180 (I.C. 90%: 123-265) e uno stimatore bayesiano di 134 (I.C. 95%: 100-194).

A **Esanatoglia** (Tabella 16 in appendice) si evidenzia:



una maggiore incidenza di decessi per le **malattie neuro-psichiatriche** (escluse tossicod.) (ICD-X: F00-F09, F20-F99) negli individui di genere femminile con SIR pari a 292 (I.C. 90%: 158-538) e BIR di 185 (I.C. 95%: 109-292) e nei due generi in toto (SIR: 215, I.C. 90%: 121-382; BIR: 159, I.C. 95%: 112-261);

eccessi statisticamente significativi di decessi per le **malattie croniche dell'apparato respiratorio (BCPO)** (ICD-X: J41-J44, J47) nei maschi con SIR pari a 242 (I.C. 90%: 136-429) e BIR di 145 (I.C. 95%: 105-192) e in maschi e femmine insieme con SIR di 255 (I.C. 90%: 162-401) e BIR pari a 155 (I.C. 95%: 120-220);



nelle femmine una incidenza più alta di decessi per il **tumore del sistema nervoso centrale** (ICD-X: C70-C72,D33) (SIR: 370, I.C. 90%: 123-1119, BIR: 165, I.C. 95%: 106-329), con un numero di casi, tuttavia, inferiore a 5 decessi, e per le **malattie ischemiche del cuore** (ICD-X: I20-I25) con SIR pari a 181 (I.C. 90%: 128-257) e BIR pari a 158 (I.C. 95%: 121-200) ma con un andamento temporale in calo;

eccessi statisticamente significativi **rispetto all'area di riferimento** per le **malattie dell'apparato respiratorio** (ICD-X: J00-J99) dei due generi nel complesso con SIR uguale a 182 (I.C. 90%: 125-265) e BIR a 133 (I.C. 95%: 108-161) ma trend in diminuzione.



A **Matelica** (Tabella 20 in appendice) si rileva:






eccesso statisticamente significativo per decessi per i **tumori maligni dello stomaco** (ICD-X: C16) nei due generi insieme con SIR di 165 (I.C. 90%: 120-228) e BIR di 126 (I.C. 95%: 104-152), ma con trend temporali costanti;

incidenza più alta di decessi rispetto alle Marche per le **malattie ischemiche del cuore** (ICD-X: I20-I25) nelle femmine (SIR: 164, I.C. 90%: 138-195; BIR: 140, I.C. 95%: 119-162) e nei due generi in toto (SIR: 131, I.C. 90%: 114-151; BIR: 126, I.C. 95%: 114-144) pur con andamenti temporali costanti;


negli individui di genere femminile una maggiore incidenza di morti per **infarto miocardico acuto** (ICD-X: I21-I22) con SIR pari a 215 (I.C. 90%: 162-284) e BIR a 152 (I.C. 95%: 121-187) e per le **malattie croniche dell'apparato respiratorio** (BCPO) (ICD-X: J41-J44, J47) con SIR di 197 (I.C. 90%: 131-297) e BIR di 131 (I.C. 95%: 104-176);

	<p>per i due generi insieme eccessi statisticamente significativi di decessi per l'infarto miocardico acuto (ICD-X: I21-I22) (SIR: 160, I.C. 90%: 128-199; BIR: 132, I.C. 95%: 113-155) e per le malattie dell'apparato respiratorio (ICD-X: J00-J99) (SIR: 143, I.C. 90%: 117-175; BIR: 120, I.C. 95%: 101-132), con andamenti nel tempo costanti;</p>
	<p>nei maschi difetti statisticamente significativi rispetto alla regione Marche confermati con entrambi gli indicatori epidemiologici utilizzati per i tumori emolinfopoietici (ICD-X: C81-C96) e per le malattie del sistema nervoso e degli organi di senso (ICD-X: G00-H95).</p>

A **Sassoferrato** (Tabella 22 in appendice) si evidenzia:

	<p>eccessi statisticamente significativi rispetto alla regione per decessi per i tumori maligni del retto, della giunzione retto-sigmoidea e dell'ano (ICD-X: C19-C21) negli individui di genere maschile con SIR di 246 (I.C. 90%: 127-475) e BIR di 154 (I.C. 95%: 109-231);</p>
	<p>per i due generi insieme eccessi statisticamente significativi di decessi per cause esterne o violente (ICD-X: S00-Y99) con SIR di 155 (I.C. 90%: 118-204) e BIR di 118 (I.C. 95%: 102-138) e traumatismi e avvelenamenti (ICD-X: S00-T98) con SIR di 155 (I.C. 90%: 118-204) e BIR di 118 (I.C. 95%: 102-138);</p>
	<p>difetti statisticamente significativi rispetto alla regione Marche confermati con entrambi gli indicatori epidemiologici utilizzati per le malattie cerebrovascolari (ICD-X: I60-I69) in entrambi i generi nel complesso.</p>

A **Serra San Quirico** (Tabella 23 in appendice) si evidenzia:

	<p>eccessi statisticamente significativi per decessi per le demenze (F00-F01, F02.0-F02.3, F03, G30, G31.0) nelle femmine (SIR: 216, I.C. 90%: 142-329; BIR: 139, I.C. 95%: 113-182) e nei due generi nel complesso (SIR: 177, I.C. 90%: 120-260; BIR: 135, I.C. 95%: 101-173);</p> <p>maggiore incidenza di decessi per le malattie neuro-psichiatriche (escluse tossicod.) (ICD-X: F00-F09, F20-F99) nelle femmine (SIR: 250, I.C. 95%: 149-418; BIR: 149, I.C. 95%: 110-213) e nei due generi nel complesso (SIR: 207, I.C. 95%: 129-332; BIR: 148, I.C. 95%: 102-207)</p>
---	---

A **Fiuminata** (Tabella 18 in appendice), **Genga** (Tabella 19 in appendice) e **Poggio San Vicino** (Tabella 21 in appendice) non si sono rilevati eventi sanitari statisticamente significativi che necessitano di particolare attenzione o da sorvegliare e controllare nel tempo.

4.1.2 Popolazione di tutte le età – Trend temporali dei decessi per causa

Per le malattie neuro-psichiatriche (escluse tossicod.) (ICD-X: F00-F09, F20-F99), visto che si sono evidenziati andamenti significativamente in aumento nel comune di Fabriano (Tabella 17) vengono riportati graficamente i trend temporali dei tassi standardizzati di incidenza, sia per il comune suddetto **che per l'area di riferimento**, la regione Marche, per tutto il periodo per il quale sono disponibili le informazioni relative ai decessi per causa, dal 2006 al 2011 (Figura 1); si evidenzia che **l'andamento** in crescita dei tassi standardizzati dei decessi per tale causa è in linea con quello registrato nella regione Marche e gli eccessi di decessi riscontrati per tale causa a Fabriano sono confermati da tutti gli indicatori considerati.

In Figura 2-4, rispettivamente, vengono inoltre rappresentati i grafici relativi ai trend temporali dei decessi per diabete mellito (ICD-X: E10-E14) e per malattie endocrine della nutrizione ed immunitarie (ICD-X: E00-E90, D80-D89) nei comuni di Fabriano e Serra San Quirico (Tabella 23), per demenze (ICD-X: F00-F01, F02.0-F02.3, F03, G30, G31.0) nei comuni di Fabriano e **Cerreto d'Es**i (Tabella 15), sempre con il corrispondente grafico relativo **all'area di riferimento**; per tali cause il trend temporale in aumento degli eccessi statisticamente significativi di decessi rispecchia quello regionale.

Figura 1. Trend temporali di decessi per malattie neuro-psichiatriche (escluse tossicod.) (ICD-X: F00-F09, F20-F99) – Anni 2006-2011, tutte le età

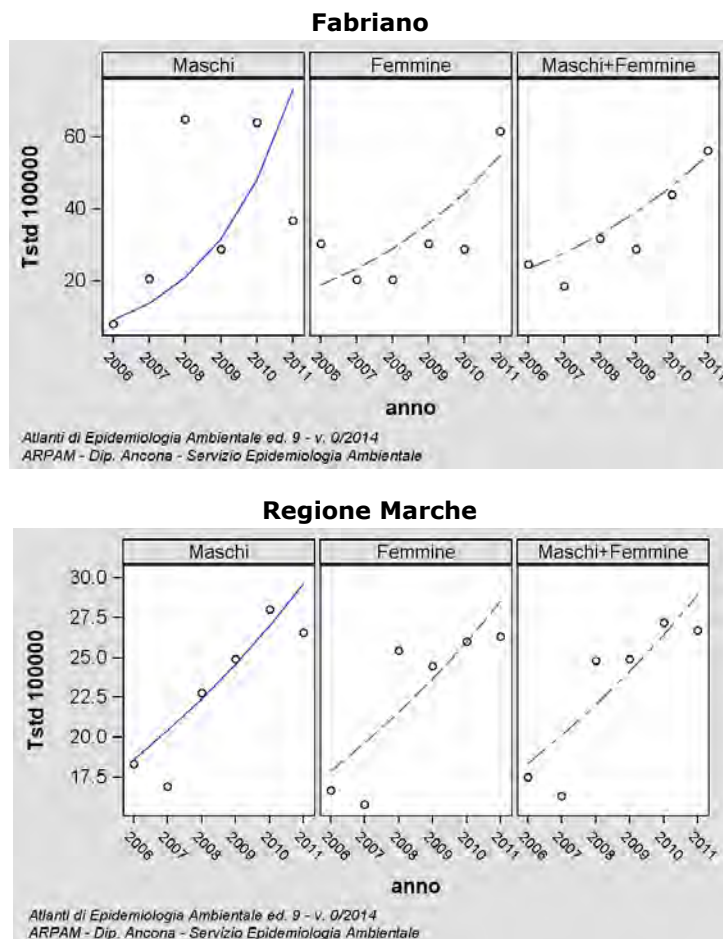


Figura 2. Trend temporali di decessi per diabete mellito (ICD-X: E10-E14) – Anni 2006-2011, tutte le età

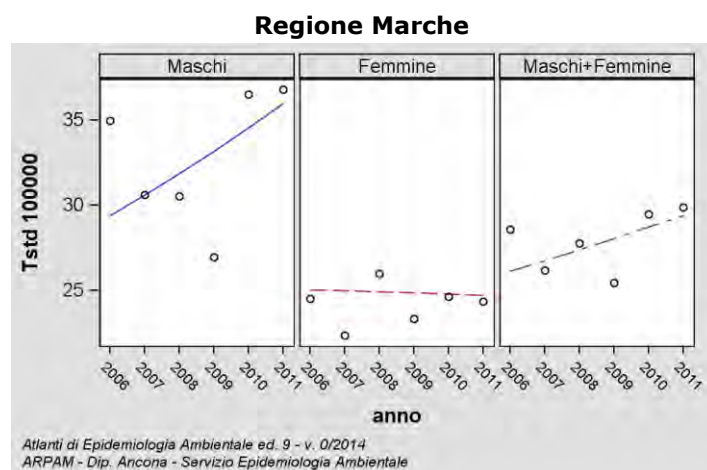
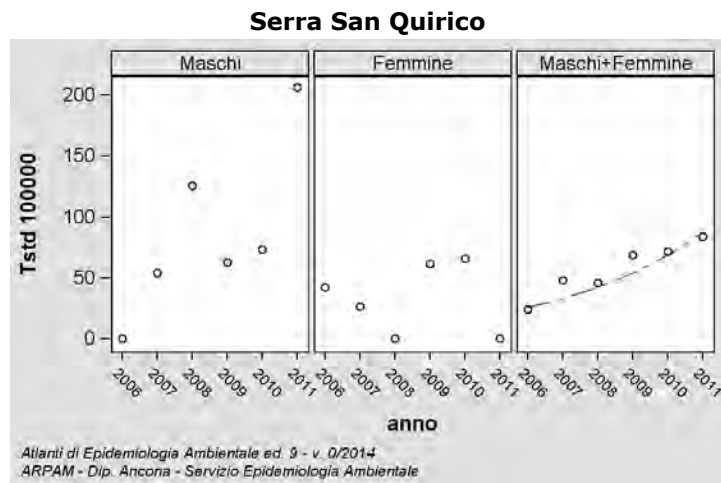
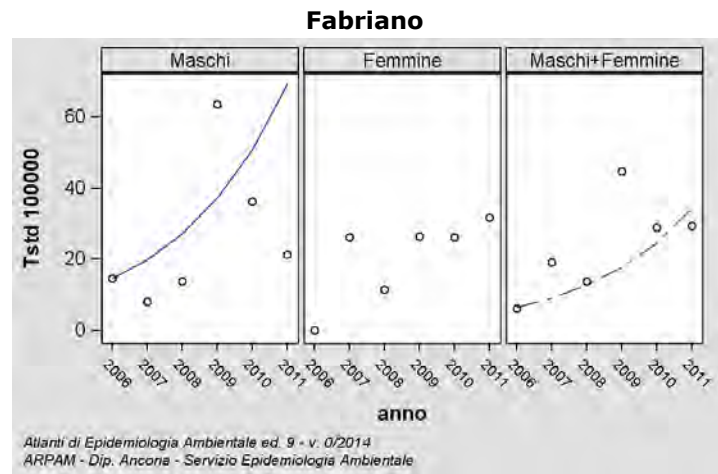


Figura 3. Trend temporali di decessi per malattie endocrine della nutrizione ed immunitarie (ICD-X: E00-E90, D80-D89) – Anni 2006-2011, tutte le età

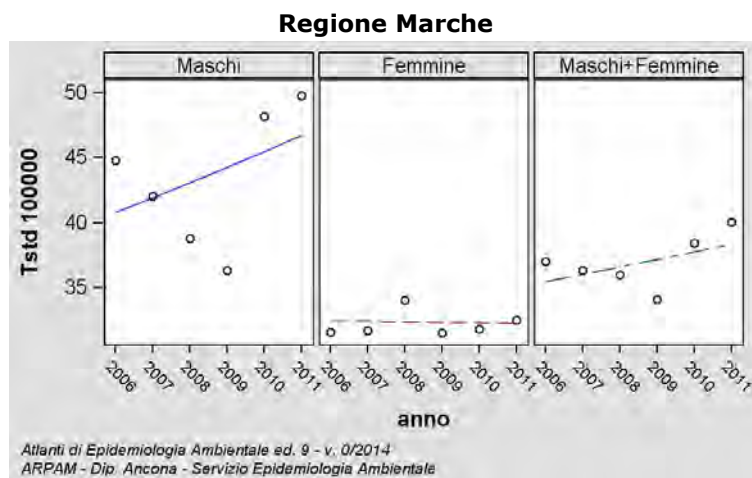
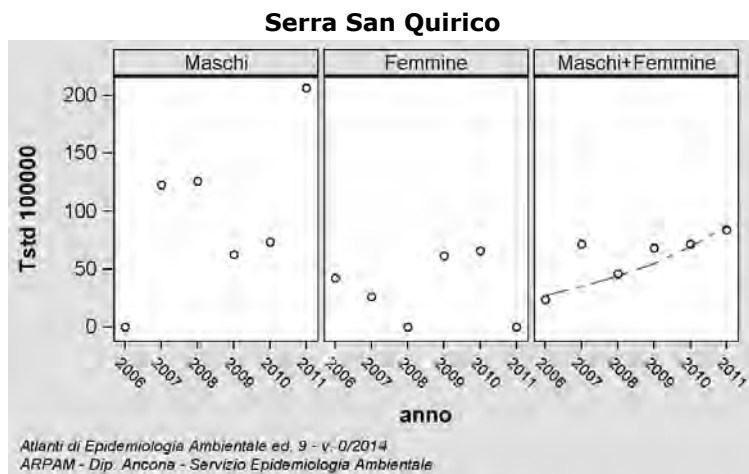
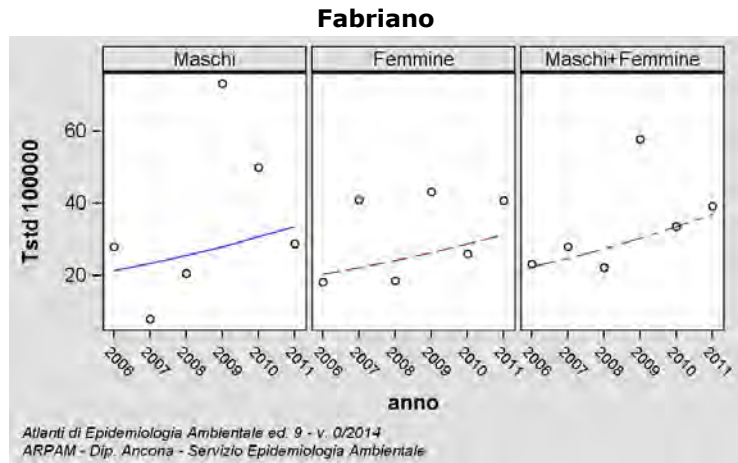
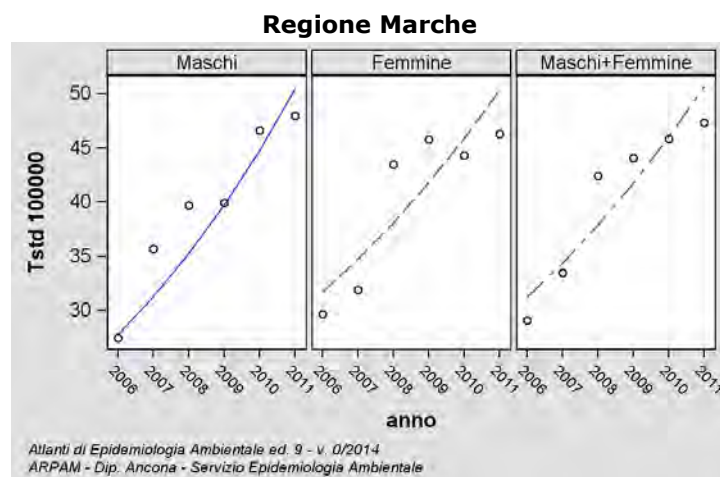
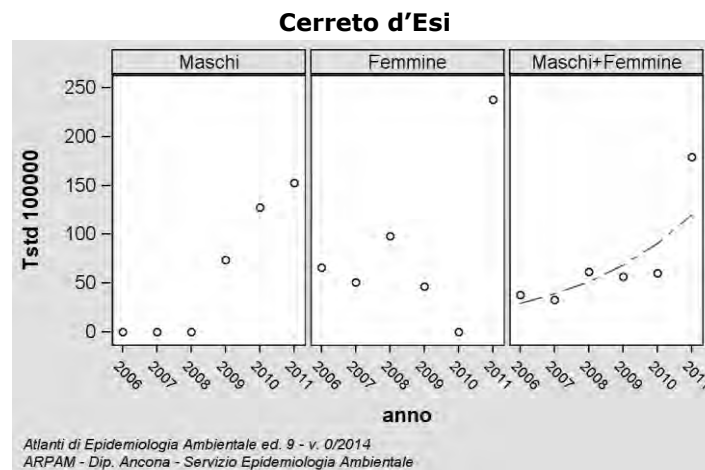
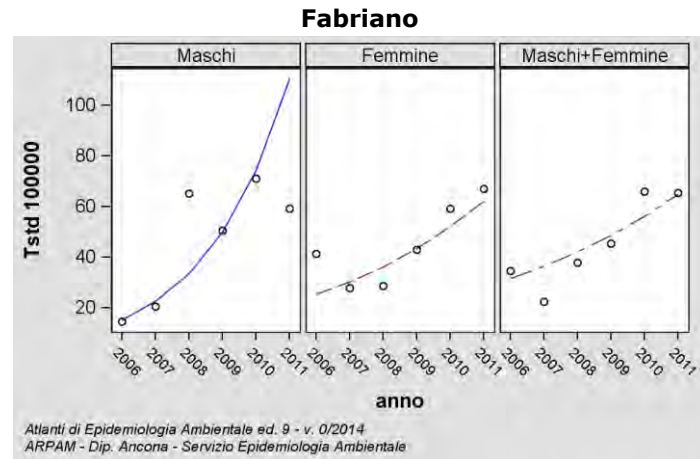


Figura 4. Trend temporali di decessi per demenze (ICD-X: F00-F01, F02.0-F02.3, F03, G30, G31.0) – Anni 2006-2011, tutte le età



4.1.3 Popolazione di tutte le età – Cluster dei decessi nei comuni in studio

L'analisi spaziale su base comunale, effettuata per individuare la presenza di cluster di decessi, ha messo in evidenza che quasi tutti i comuni in studio fanno parte di aggregati spaziali di decessi statisticamente significativi ($p\text{-value} < 0,05$) per le demenze (ICD-X: F00-F01, F02.0-F02.3, F03, G30, G31.0) in maschi e femmine insieme, e per le malattie neuropsichiatriche (escluse tossicod.) (ICD-X: F00-F09, F20-F99), per i tumori maligni dello stomaco (ICD-X: C16) e per le malattie croniche dell'apparato respiratorio (BCPO) (ICD-X: J41-J44, J47) in maschi, femmine e maschi e femmine insieme; tuttavia in tutti i casi menzionati il numero di comuni compreso nel cluster è troppo elevato per poter ipotizzare cause di origine strettamente ambientale.

I soli cluster di decessi con un'estensione minore, riguardano le malattie ischemiche del cuore (ICD-X: I20-I25) nelle femmine che comprendono i comuni di Esanatoglia, Fiuminata (pur non presentando in quest'ultimo caso un eccesso specifico), Matelica e Sassoferrato (Figura 5) e la malattia dei neuroni motori (ICD-X: G122) dei maschi, delle femmine e di entrambi i generi assieme che comprende il solo comune di Serra San Quirico (Figura 6).

Figura 5. Mappe di rischio dei decessi per malattie ischemiche del cuore, femmine - Cluster significativo, popolazione residente tutte le età - Anni 2006-2011 - Riferimento regione Marche

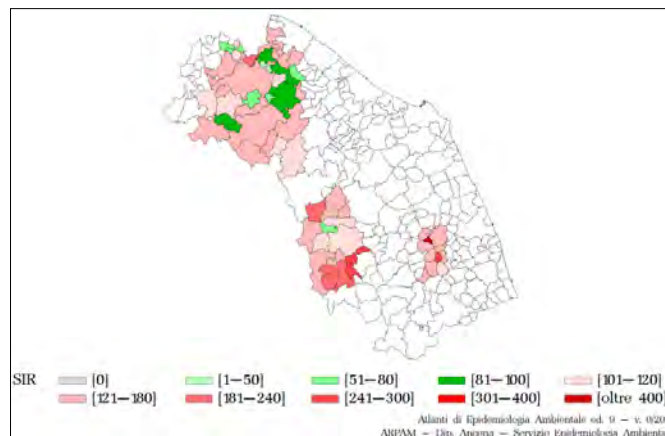
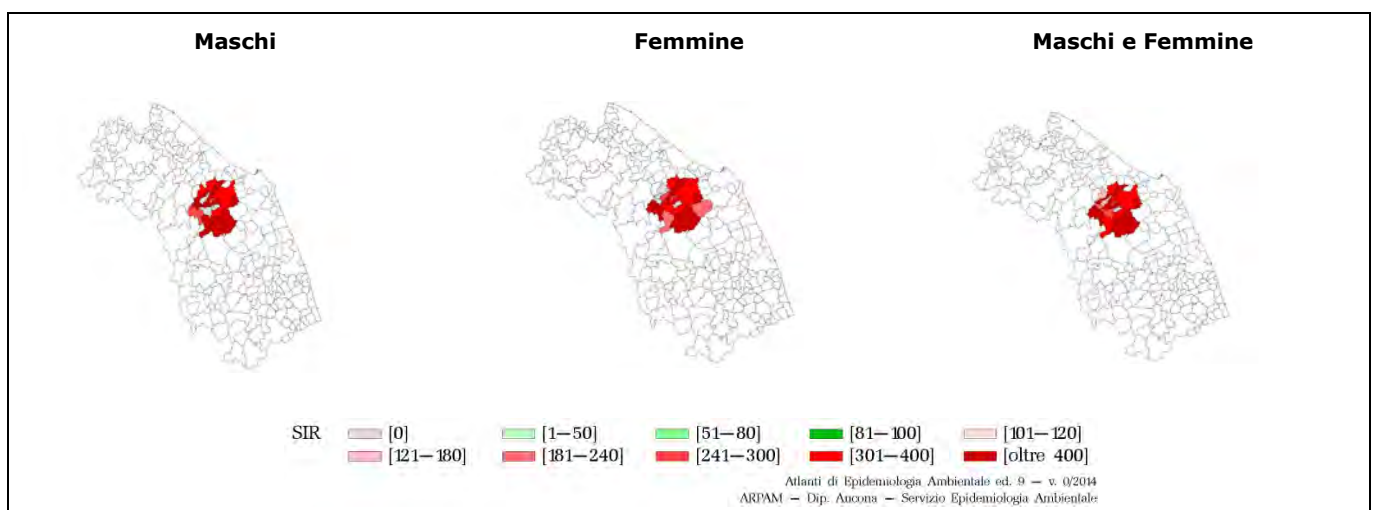


Figura 6. Mappe di rischio dei decessi per la malattia dei neuroni motori - Cluster significativo, popolazione residente tutte le età - Anni 2006-2011 - Riferimento regione Marche



4.1.4 Bambini 0-14 anni - Sintesi dei risultati di particolare interesse

Le Tabelle 24-32 in appendice riportano per entrambi i generi nella popolazione tra 0 e 14 anni nel complesso, rispettivamente per i comuni di **Cerreto d'Esi**, Esanatoglia, Fabriano, Fiuminata, Genga, Matelica, Poggio San Vicino, Sassoferrato e Serra San Quirico il numero di decessi osservati, il numero di casi attesi, i cluster statisticamente significativi, il rapporto standardizzato di incidenza percentuale del cluster, il tasso standardizzato per 100.000 abitanti, il rapporto standardizzato di incidenza percentuale e il rapporto di incidenza bayesiano percentuale, con i relativi intervalli di probabilità (al 90%) e credibilità (al 95%), eccessi e difetti statisticamente significativi e trend temporali per le patologie in studio, calcolati sui decessi per causa sul periodo 2006-2011.

In nessuno dei comuni in studio si rilevano **criticità per l'evidenza di eccessi** statisticamente significativi di decessi per specifiche patologie; per lo più non si registrano eventi nella popolazione di età compresa tra 0 e 14 anni.

4.1.5 Neonati - Sintesi dei risultati di particolare interesse

Le Tabelle 33-41 in appendice riportano per entrambi i generi nella popolazione 0-1 anno nel complesso, rispettivamente per i comuni di **Cerreto d'Esi**, Esanatoglia, Fabriano, Fiuminata, Genga, Matelica, Poggio San Vicino, Sassoferrato e Serra San Quirico il numero di decessi osservati, il numero di casi attesi, i cluster statisticamente significativi, il rapporto standardizzato di incidenza percentuale del cluster, il tasso standardizzato per 100.000 abitanti, il rapporto standardizzato di incidenza percentuale e il rapporto di incidenza bayesiano percentuale, con i relativi intervalli di probabilità (al 90%) e credibilità (al 95%), eccessi e difetti statisticamente significativi e trend temporali per le patologie in studio, calcolati sui decessi per causa sul periodo 2006-2011.

In nessuno dei comuni in studio si rilevano patologie con criticità e per lo più non ci sono eventi nella popolazione di 0-1 anno.













4.2 RICOVERI OSPEDALIERI DELLA POPOLAZIONE DEI COMUNI IN STUDIO

























4.2.1 Popolazione di tutte le età - Sintesi dei risultati di particolare interesse















Le Tabelle 42-59 in appendice (primi ricoveri Tabelle 42-50; tutti i ricoveri Tabelle 51-59) riportano, rispettivamente per i comuni di **Cerreto d'Esi**, Esanatoglia, Fabriano, Fiuminata, Genga, Matelica, Poggio San Vicino, Sassoferrato e Serra San Quirico il numero di casi osservati, il numero di casi attesi, i cluster statisticamente significativi, il rapporto standardizzato di incidenza percentuale del cluster, il tasso standardizzato per 100.000 abitanti, il rapporto standardizzato di incidenza percentuale e il rapporto di incidenza bayesiano percentuale, con i relativi intervalli di probabilità (al 90%) e credibilità (al 95%), eccessi e difetti statisticamente significativi e trend temporali per le patologie in studio, calcolati sui ricoveri ospedalieri (primi ricoveri e tutti i ricoveri) per causa nella popolazione di tutte le età sul periodo 2006-2012.

La Tabella 11 e la Tabella 12 riassumono, per i comuni ove tali condizioni si siano verificate, le situazioni o la presenza di fattori rilevati dal presente studio che, rispettivamente, necessitano di particolare attenzione, di sorveglianza e controllo nel tempo, o si ritengono rilevanti per una valutazione dello stato di salute della popolazione.

Tabella 11. Eventi sanitari statisticamente significativi che necessitano di particolare attenzione - Ricoveri ospedalieri, tutte le età. Anni 2006-2012.

Residenza	Causa ricovero (ICD-IX)	Genere	SIR	BIR	Trend	Livello attenzione
Fabriano	Tumori maligni (140-208)	M	↑	↑	↗	6 
	Tumori maligni della vescica (188)	M + F	↑	↑	→	5 
	Tumori maligni della ghiandola tiroide (193)	M	↑	↑	n.c.	5 
	Tumori maligni della ghiandola tiroide (193)	M + F	↑	↑	↗	6 
	Tumori emolinfopoietici (200-208)	F	↑	↑	→	5 
	Mieloma multiplo e tumori immunoproliferativi (203)	M + F	↑	↑	↗	6 
	Gozzo non tossico (240-241)	M	↑	↑	→	5 
	Sclerosi multipla (340)	M + F	↑	↑	→	5 
	Malattie ischemiche acute (infarto miocardico, altre forme acute e subacute di cardiopatia ischemica) (410-411) *	M, M + F	↑	↑	↗	6 
	Malattie dell'apparato respiratorio (460-519.9)	F	↑	↑	→	5 
	Malattie acute delle prime vie aeree (460-466) *	F, M + F	↑	↑	→	5 
Cadute ed altri infortuni (880-928)	M, F, M + F	↑	↑	→	5 	























Residenza	Causa ricovero (ICD-IX)	Genere	SIR	BIR	Trend	Livello attenzione
Cerreto d'Es	Malattie infettive (001-139) *	F	↑	↑	→	5 
	Tumore della prostata (185)	M	↑	↑	n.c.	5 
	Leucemie (204-208)	M + F	↑	↑	n.c.	5 
	Malattie ischemiche acute (infarto miocardico, altre forme acute e subacute di cardiopatia ischemica) (410-411) *	M	↑	↑	↗	6 
	Malattie ischemiche acute (infarto miocardico, altre forme acute e subacute di cardiopatia ischemica) (410-411) *	M + F	↑	↑	→	5 
	Malattie acute delle prime vie aeree (460-466) *	F	↑	↑	n.c.	5 
	Malattie acute delle prime vie aeree (460-466) *	M + F	↑	↑	→	5 
	Cadute ed altri infortuni (880-928) *	M, M + F	↑	↑	→	5 
Esanatoglia	Tumori emolinfopoietici (200-208)	M + F	↑	↑	n.c.	5 
	Leucemie (204-208)	M + F	↑	↑	n.c.	5 
	Gozzo non tossico (240-241)	M	↑	↑	n.c.	5 
	Malattie cerebrovascolari (430-438)	F, M + F	↑	↑	→	5 
	Nefropatie croniche e acute (580-589)	F	↑	↑	n.c.	5 
Fiuminata	Gozzo non tossico (240-241)	F, M + F	↑	↑	n.c.	5 
	Malattie cerebrovascolari (430-438)	F, M, M + F	↑	↑	→	5 
	Cadute ed altri infortuni (880-928) *	M, M + F	↑	↑	n.c.	5 
Genga	Mieloma multiplo e tumori immunoproliferativi (203)	M + F	↑	↑	n.c.	5 
	Leucemie (204-208)	M + F	↑	↑	n.c.	5 
	Cadute ed altri infortuni (880-928) *	F, M, M + F	↑	↑	→	5 
Matelica	Malattie infettive (001-139) *	F, M + F	↑	↑	→	5 
	Tumori maligni della ghiandola tiroide (193)	F, M + F	↑	↑	n.c.	5 
	Tumori emolinfopoietici (200-208)	M + F	↑	↑	→	5 
	Leucemie (204-208)	F	↑	↑	n.c.	5 
	Leucemie (204-208)	M + F	↑	↑	→	5 







Residenza	Causa ricovero (ICD-IX)	Genere	SIR	BIR	Trend	Livello attenzione
Matelica	Morbo di Parkinson (3320)	F	↑	↑	→	5 
	Malattie cerebrovascolari (430-438)	F, M, M + F	↑	↑	→	5 
	Malattie dell'apparato digerente (520-579)	F, M + F	↑	↑	→	5 
	Nefropatie croniche e acute (580-589)	M, M + F	↑	↑	→	5 
	Cadute ed altri infortuni (880-928) *	M	↑	↑	→	5 
Sassoferrato	Tumori maligni (140-208)	M, M + F	↑	↑	↗	6 
	Tumori maligni del retto, della giunzione retto-sigmoidea e dell'ano (154)	M + F	↑	↑	→	5 
	Tumori maligni della vescica (188)	F	↑	↑	n.c.	5 
	Tumori maligni della vescica (188)	M + F	↑	↑	→	5 
	Sclerosi multipla (340)	M + F	↑	↑	n.c.	5 
	Malattie ischemiche acute (infarto miocardico, altre forme acute e subacute di cardiopatia ischemica) (410-411) *	M + F	↑	↑	↗	6 
	Cadute ed altri infortuni (880-928) *	F, M, M + F	↑	↑	→	5 
Serra San Quirico	Malattie acute delle prime vie aeree (460-466) *	M + F	↑	↑	→	5 
	Cadute ed altri infortuni (880-928) *	M, M + F	↑	↑	→	5 

* Per queste cause sono stati considerati tutti gli eventi avvenuti nel periodo

↑ / ↗ = eccessi/incrementi, ↓ / ↘ = difetti/decrementi statisticamente significativi; n.c. = non calcolabile

Tabella 12. Eventi sanitari statisticamente significativi da sorvegliare e controllare nel tempo - Ricoveri ospedalieri, tutte le età. Anni 2006-2012.

Residenza	Causa ricovero (ICD-IX)	Genere	SIR sign.	BIR sign.	Trend	Livello attenzione
Fabriano	Malattie infettive (001-139) *	M, M + F	↑	↑	↘	4 
	Tumori maligni (140-208)	F, M + F	↑	↑	→	4 
	Tumori maligni della mammella (174-175)	F	↑	↑	→	4 
	Tumori maligni della vescica (188)	M	↑	↑	→	4 
	Malattie dell'apparato respiratorio (460-5199)	M, M + F	↑	↑	↘	4 
	Malattie dell'apparato digerente (520-579)	M, M + F	↑	↑	↘	4 
	Traumatismi e avvelenamenti (800-999) *	M, M + F	↑	↑	→	4 
Cerreto d'Esì	Tutte le cause (escl. cataratta, IVG, parto, trattamenti e violente) (000-365, 367-634, 636-649, 655-659, 670-799) *	F	↑	↑	↘	4 
	Malattie infettive (001-139) *	M	↑	↑	→	4 
	Malattie infettive (001-139) *	M + F	↑	↑	↘	4 
	Tumori maligni (140-208)	M + F	↑	↑	→	4 
	Malattie ischemiche del cuore (410-4149) *	M	↑	↑	→	4 
	Malattie dell'apparato respiratorio (460-5199)	F, M + F	↑	↑	↘	4 
Esanatoglia	Tumori emolinfopoietici (200-208)	M	↑	↑	n.c.	4 
Matelica	Tutte le cause (escl. cataratta, IVG, parto, trattamenti e violente) (000-365, 367-634, 636-649, 655-659, 670-799) *	F, M, M + F	↑	↑	↘	4 
	Malattie infettive (001-139) *	M	↑	↑	→	4 
	Tumori maligni (140-208)	F	↑	↑	→	4 
	Tumori maligni (140-208)	M + F	↑	↑	↘	4 
	Gozzo non tossico (240-241)	M + F	↑	↑	↘	4 
	Malattie dell'apparato circolatorio (390-459)	F, M + F	↑	↑	↘	4 
	Malattie dell'apparato respiratorio (460-5199)	F, M, M + F	↑	↑	↘	4 
	Malattie polmonari cronico ostruttive (490-492, 494, 496)	F	↑	↑	↘	4 

Residenza	Causa ricovero (ICD-IX)	Genere	SIR sign.	BIR sign.	Trend	Livello attenzione
Matelica	Cirrosi e altre malattie croniche del fegato (571)	M + F	↑	↑	↘	4 
	Nefropatie croniche e acute (580-589)	F	↑	↑	↘	4 
	Cadute ed altri infortuni (880-928) *	M + F	↑	↑	↘	4 
Sassoferrato	Traumatismi e avvelenamenti (800-999) *	F, M, M + F	↑	↑	↘	4 
	Malattie ischemiche acute (infarto miocardico, altre forme acute e subacute di cardiopatia ischemica) (410-411)*	M	↑	↑	→	4 
Serra San Quirico	Malattie dell'apparato digerente (520-579)	F, M + F	↑	↑	↘	4 

* Per queste cause sono stati considerati tutti gli eventi avvenuti nel periodo

↑ / ↗ = eccessi/incrementi, ↓ / ↘ = difetti/decrementi statisticamente significativi; n.c. = non calcolabile

A **Fabriano** (Tabelle 44 e 53 in appendice) si rileva:

una maggiore incidenza del primo ricovero rispetto alla regione per tutti i **tumori maligni** (ICD-IX: 140-208) nei maschi con SIR pari a 114 (I.C. 90%: 108-120) e BIR a 112 (I.C. 95%: 106-117) con un andamento temporale per l'intero periodo in studio in significativo aumento;

un eccesso del primo ricovero per **tumori maligni della ghiandola della tiroide** (ICD-IX: 193) nei due generi nel complesso con un rapporto standardizzato di incidenza percentuale pari a 166 (I.C. 90%: 136-202) e uno stimatore bayesiano di 139 (I.C. 95%: 119-163) e un trend in salita in maniera statisticamente significativa;



una maggiore incidenza del primo ricovero rispetto all'area di riferimento per **mieloma multiplo e tumori immunoproliferativi** (ICD-IX: 203) nei due generi con SIR uguale a 155 (I.C. 90%: 120-200) e BIR a 135 (I.C. 95%: 112-176) con un andamento temporale per l'intero periodo in studio in significativo aumento;

una più alta incidenza di tutti i ricoveri per le **malattie ischemiche acute (infarto miocardico, altre forme acute e subacute di cardiopatia ischemica)** (ICD-IX: 410-411) nei maschi con un rapporto standardizzato di incidenza percentuale pari a 131 (I.C. 90%: 120-143) e uno stimatore bayesiano di 130 (I.C. 95%: 121-141) e in maschi e femmine insieme (SIR: 123, I.C. 90%: 114-132; BIR: 122, I.C. 95%: 118-128); in entrambi i casi si rileva un trend nel tempo in significativa crescita;



una maggiore incidenza del primo ricovero rispetto all'area di riferimento per **tumori maligni della vescica** (ICD-IX: 188) nei due generi con SIR uguale a 120 (I.C. 90%: 106-136) e BIR a 115 (I.C. 95%: 102-129);

un eccesso del primo ricovero per **tumori maligni della tiroide** (ICD-IX: 193) nei maschi con un rapporto standardizzato di incidenza percentuale pari a 229 (I.C. 90%: 165-318) e uno stimatore bayesiano di 168 (I.C. 95%: 127-226);

una maggiore incidenza del primo ricovero rispetto alla regione per **tumori emolinfopoietici** (ICD-IX: 200-208) negli individui di genere femminile con SIR uguale a 121 (I.C. 90%: 101-146) e BIR a 114 (I.C. 95%: 103-124);

nei maschi un eccesso del primo ricovero per **gozzo non tossico** (ICD-IX: 240-241) con un rapporto standardizzato di incidenza percentuale pari a 154 (I.C. 90%: 112-213) e uno stimatore bayesiano di 132 (I.C. 95%: 102-172);

una maggiore incidenza del primo ricovero rispetto all'area di riferimento per **sclerosi multipla** (ICD-IX: 340) nei due generi con SIR uguale a 147 (I.C. 90%: 115-187) e BIR a 122 (I.C. 95%: 102-151);

un eccesso del primo ricovero per **malattie dell'apparato respiratorio** (ICD-IX: 460-519.9) nelle femmine con SIR pari a 109 (I.C. 90%: 103-115) e BIR uguale a 109 (I.C. 95%: 103-116);

una più alta incidenza di tutti i ricoveri **malattie acute delle prime vie aeree** (ICD-IX: 460-466) nelle femmine con un rapporto standardizzato di incidenza percentuale pari a 123 (I.C. 90%: 105-144) e uno stimatore bayesiano di 119 (I.C. 95%: 104-137) e in maschi e femmine insieme (SIR: 114, I.C. 90%: 101-128; BIR: 112, I.C. 95%: 102-123);

eccessi di tutti i ricoveri per **cadute ed altri infortuni** (ICD-IX: 880-928), nei maschi (SIR: 146, I.C. 90%: 133-161; BIR: 145, I.C. 95%: 132-157), nelle femmine (SIR: 116, I.C. 90%: 100-134; BIR: 117, I.C. 95%: 109-135) e in entrambi i generi (SIR: 135, I.C. 90%: 124-146; BIR: 136 I.C. 95%: 126-144);

un eccesso di tutti i ricoveri rispetto alla regione per **malattie infettive** (ICD-IX: 001-139) nei maschi (SIR: 115, I.C. 90%: 102-129; BIR: 111, I.C. 95%: 104-122) e in maschi e femmine insieme (SIR: 110, I.C. 90%: 100-122; BIR: 110, I.C. 95%: 104-117) ma con un andamento nel tempo in calo;

una maggiore incidenza dei primi ricoveri per tutti i **tumori maligni** (ICD-IX: 140-208) nelle femmine con SIR pari a 112 (I.C. 90%: 106-118) e BIR a 110 (I.C. 95%: 105-116) e nei due generi con SIR pari a 113 (I.C. 90%: 109-117) e BIR a 111 (I.C. 95%: 109-115);

una più alta incidenza dei primi ricoveri per **tumori maligni della mammella** (ICD-IX: 174-175) nelle femmine con un rapporto standardizzato di incidenza percentuale pari a 122 (I.C. 90%: 110-135) e uno stimatore bayesiano di 115 (I.C. 95%: 104-124);

un eccesso dei primi ricoveri per **tumori maligni della vescica** (ICD-IX: 188) nei maschi (SIR: 123, I.C. 90%: 107-142; BIR: 114, I.C. 95%: 101-129);

una maggiore incidenza dei primi ricoveri per le **malattie dell'apparato respiratorio** (ICD-IX: 460-519.9) nei maschi con SIR pari a 106 (I.C. 90%: 101-111) e BIR a 105 (I.C. 95%: 101-110) e nei due generi con SIR pari a 107 (I.C. 90%: 103-111) e BIR a 108 (I.C. 95%: 105-112) ma in entrambi i casi con un trend nel periodo in studio in diminuzione;

un eccesso dei primi ricoveri rispetto alla regione per **malattie dell'apparato digerente** (ICD-IX: 520-579) nei maschi (SIR: 104, I.C. 90%: 100-109; BIR: 104, I.C. 95%: 100-108) e in maschi e femmine insieme (SIR: 104, I.C. 90%: 101-107; BIR: 104, I.C. 95%: 100-107) ma con un andamento

nel tempo in calo;



eccessi di tutti i ricoveri per **traumatismi e avvelenamenti** (ICD-IX: 800-999) nei maschi (SIR: 112, I.C. 90%: 106-117; BIR: 111, I.C. 95%: 107-118) e in maschi e femmine in complesso (SIR: 106, I.C. 90%: 102-110; BIR: 106, I.C. 95%: 103-108);



difetti statisticamente significativi rispetto alla regione Marche confermati con entrambi gli indicatori epidemiologici utilizzati e un trend significativamente decrescente per i primi ricoveri per **malattie endocrine e della nutrizione** (ICD-IX: 240-279.9) e per **il diabete mellito** (ICD-IX: 250) sia per le femmine che per i due generi nel complesso, le **malattie neuropsichiatriche (escluse tossicod.)** (ICD-IX: 290-303, 306-319) per entrambi i generi nel complesso, le **malattie del sistema nervoso e degli organi di senso** (ICD-IX: 320-389) per le femmine, le **malattie cardiache** (ICD-IX: 390-429) (femmine ed entrambi i generi), le **malattie dell'apparato circolatorio** (ICD-IX: 390-459), le **malattie cerebrovascolari** (ICD-IX: 430-438) e le **malattie polmonari cronico ostruttive** (ICD-IX: 490-492, 494, 496) per tutti i generi; le **malattie dell'apparato urinario** (ICD-IX: 580-599) nei maschi e in maschi e femmine insieme, le **malformazioni congenite** (ICD-IX: 740-759) dei maschi;

difetti statisticamente significativi rispetto alla regione Marche confermati con entrambi gli indicatori epidemiologici utilizzati e un trend significativamente decrescente per tutti i ricoveri **le malattie ischemiche del cuore** (ICD-IX: 410-4149) per le femmine e per l'aborto spontaneo (ICD-IX: 634).

A **Cerreto d'Esi** (Tabelle 42 e 51 in appendice) si rileva:



una più alta incidenza di tutti i ricoveri rispetto alla regione per le **malattie ischemiche acute (infarto miocardico, altre forme acute e subacute di cardiopatia ischemica)** (ICD-IX: 410-411) nei maschi con un rapporto standardizzato di incidenza percentuale pari a 161 (I.C. 90%: 125-206) e uno stimatore bayesiano di 151 (I.C. 95%: 131-171) con un trend nel tempo in significativa crescita;



una più alta incidenza di tutti i ricoveri rispetto alla regione per le **malattie ischemiche acute (infarto miocardico, altre forme acute e subacute di cardiopatia ischemica)** (ICD-IX: 410-411) in maschi e femmine insieme (SIR: 132, I.C. 90%: 106-165; BIR: 125, I.C. 95%: 112-142);

una maggiore incidenza di tutti i ricoveri per **malattie infettive** (ICD-IX: 001-139) nelle femmine con SIR pari a 178 (I.C. 90%: 133-237) e BIR a 159 (I.C. 95%: 128-200);

un eccesso di primi ricoveri per **tumore della prostata** (ICD-IX: 185) (SIR: 207, I.C. 90%: 151-284; BIR: 130, I.C. 95%: 101-170);

un eccesso di primi ricoveri rispetto alle Marche per **leucemie** (ICD-IX: 204-208) per i due generi nel complesso con un rapporto standardizzato di incidenza percentuale pari a 203 (I.C. 90%: 122-340) e uno stimatore bayesiano di 141 (I.C. 95%: 103-205);



una maggiore incidenza di tutti i ricoveri per **malattie acute delle prime vie aeree** (ICD-IX: 460-466) in femmine e nei due generi in toto (SIR F: 185, I.C. 90%: 130-264; BIR F: 159, I.C. 95%: 121-219; SIR M+F: 152, I.C. 90%: 117-198; BIR M+F: 143, I.C. 95%: 104-165);

eccessi di tutti i ricoveri per **cadute ed altri infortuni** (ICD-IX: 880-928) nei maschi (SIR: 162, I.C. 90%: 124-210; BIR: 155, I.C. 95%: 124-185) e in maschi e femmine in complesso (SIR: 135, I.C. 90%: 107-170; BIR: 142, I.C. 95%: 109-163);



per **tutte le cause** (escl. cataratta, IVG, parto, trattamenti e violente) (ICD-IX: 000-365, 367-634, 636-649, 655-659, 670-799) eccesso di tutti i ricoveri rispetto alla regione per gli individui di genere femminile con SIR pari a 107 (I.C. 90%: 100-115) e BIR pari a 107 (I.C. 95%: 102-110) ma con andamento nel tempo in significativo calo;

maggiore incidenza di tutti i ricoveri per **malattie infettive** (ICD-IX: 001-139) per maschi e per entrambi i generi con, rispettivamente, un rapporto standardizzato di incidenza percentuale pari a 135 (I.C. 90%: 103-177) e uno stimatore bayesiano di 129 (I.C. 95%: 107-156) e SIR di 154 (I.C. 90%: 126-188) e BIR di 146 (I.C. 95%: 124-181) ma nei due generi con un trend in decremento in maniera significativa;

più alta incidenza di primi ricoveri per **tumori maligni** (ICD-IX: 140-208) nei due generi con SIR di 117 (I.C. 90%: 104-131) e BIR di 112 (I.C. 95%: 104-122) con andamento temporale nel periodo in studio costante;

più alta incidenza di tutti i ricoveri per **malattie ischemiche del cuore** (ICD-IX: 410-414.9) nei maschi con SIR di 134 (I.C. 90%: 106-169) e BIR di 126 (I.C. 95%: 111-141) con andamento temporale nel periodo in studio costante;

maggiore incidenza di primi ricoveri rispetto alle Marche per malattie dell'apparato respiratorio (ICD-IX: 460-519.9) per femmine e per entrambi i generi con, rispettivamente, un rapporto standardizzato di incidenza percentuale pari a 140 (I.C. 90%: 122-161) e uno stimatore bayesiano di 129 (I.C. 95%: 115-138) e SIR di 125 (I.C. 90%: 114-138) e BIR di 122 (I.C. 95%: 114-132) ma in entrambi i casi con un trend in decremento in maniera significativa;



difetti statisticamente significativi rispetto alla regione Marche confermati con entrambi gli indicatori epidemiologici utilizzati e un trend significativamente decrescente per i ricoveri per le femmine per le **malattie ischemiche del cuore** (ICD-IX: 410-414.9) e nei maschi per le **malattie del sistema nervoso e degli organi di senso** (ICD-IX: 320-389);

difetti statisticamente significativi rispetto alla regione Marche confermati con entrambi gli indicatori epidemiologici utilizzati e un trend significativamente decrescente per le **malattie dell'apparato circolatorio** (ICD-IX: 390-459) per i maschi e per i due generi nel complesso.

A **Esanatoglia** (Tabelle 43 e 52 in appendice) si rileva:

una più alta incidenza di primi ricoveri rispetto alla regione per i **tumori emolinfopoietici** (ICD-IX: 200-208) in maschi e femmine insieme con un rapporto standardizzato di incidenza percentuale pari a 158 (I.C. 90%: 106-235) e uno stimatore bayesiano di 138 (I.C. 95%: 110-163);

maggiore incidenza di primi ricoveri per **leucemie** (ICD-IX: 204-208) nei due generi in complesso con SIR pari a 269 (I.C. 90%: 157-463) e BIR a 141 (I.C. 95%: 102-211);

eccesso di primi ricoveri per **gozzo non tossico** (ICD-IX: 240-241) nei maschi (SIR: 245, I.C. 90%: 110-546; BIR: 193, I.C. 95%: 107-352);

maggiore incidenza di primi ricoveri per **malattie cerebrovascolari** (ICD-IX: 430-438) nelle femmine e nei due generi in toto (SIR F: 131, I.C. 90%: 105-164; BIR F: 138, I.C. 95%: 116-162; SIR M+F: 125, I.C. 90%: 106-148; BIR M+F: 132, I.C. 95%: 114-154), con trend temporale costante;

eccesso di primi ricoveri per **nefropatie croniche e acute** (ICD-IX: 580-589) per le femmine con un rapporto standardizzato di incidenza percentuale pari a 212 (I.C. 90%: 144-312) e uno stimatore bayesiano di 152 (I.C. 95%: 115-209);

una più alta incidenza di primi ricoveri per i **tumori emolinfopoietici** (ICD-IX: 200-208) negli individui di genere maschile con un rapporto standardizzato di incidenza percentuale pari a 173 (I.C. 90%: 106-282) e uno stimatore bayesiano di 138 (I.C. 95%: 104-180);

difetti statisticamente significativi rispetto alla regione Marche confermati con entrambi gli indicatori epidemiologici utilizzati e un trend significativamente decrescente per i primi ricoveri per i maschi e femmine insieme per le **malattie endocrine e della nutrizione** (ICD-IX: 240-279.9) e per le **malattie del sistema nervoso e degli organi di senso** (ICD-IX: 320-389) per maschi, e maschi più femmine;

difetti statisticamente significativi rispetto alla regione Marche confermati con entrambi gli indicatori epidemiologici utilizzati e un trend significativamente decrescente per i primi ricoveri per le **malattie ischemiche del cuore** (ICD-IX: 410-414.9) per i maschi.

A **Fiuminata** (Tabelle 45 e 54 in appendice) si rileva:

eccesso di primi ricoveri rispetto alla regione Marche per **gozzo non tossico** (ICD-IX: 240-241) nelle femmine (SIR: 217, I.C. 90%: 112-420; BIR: 131, I.C. 95%: 114-183) e in maschi e femmine insieme (SIR: 245, I.C. 90%: 142-420; BIR: 153, I.C. 95%: 119-186);

maggiore incidenza di primi ricoveri per **malattie cerebrovascolari** (ICD-IX: 430-438) nelle femmine (SIR: 150, I.C. 90%: 119-190; BIR: 139, I.C. 95%: 116-164), nei maschi (SIR: 144, I.C. 90%: 111-186; BIR: 132, I.C. 95%: 115-152) e nei due generi nel complesso (SIR: 148, I.C. 90%: 124-176; BIR: 139, I.C. 95%: 121-157);



eccessi di tutti i ricoveri per **cadute ed altri infortuni** (ICD-IX: 880-928) nei maschi (SIR: 156, I.C. 90%: 104-232; BIR: 147, I.C. 95%: 113-174) e in maschi e femmine in complesso (SIR: 149, I.C. 90%: 108-206; BIR: 139, I.C. 95%: 117-165);

A **Genga** (Tabelle 46 e 55 in appendice) si rileva:



eccesso di primi ricoveri rispetto alla regione per **mieloma multiplo e tumori immunoproliferativi** (ICD-IX: 203) in maschi e femmine insieme con SIR pari a 321 (I.C. 90%: 166-620) e BIR a 146 (I.C. 95%: 101-203);

una più alta incidenza di primi ricoveri per **leucemie** (ICD-IX: 204-208) negli individui di genere maschile e femminile insieme con un rapporto standardizzato di incidenza percentuale pari a 255 (I.C. 90%: 144-453) e uno stimatore bayesiano di 132 (I.C. 95%: 103-176);

eccessi di tutti i ricoveri per **cadute ed altri infortuni** (ICD-IX: 880-928) nelle femmine (SIR: 292, I.C. 90%: 207-411; BIR: 161, I.C. 95%: 128-203), nei maschi (SIR: 146, I.C. 90%: 101-211; BIR: 149, I.C. 95%: 111-185) e in maschi e femmine in complesso (SIR: 199, I.C. 90%: 155-256; BIR: 170, I.C. 95%: 149-205);

A **Matelica** (Tabelle 47 e 56 in appendice) si rileva:



eccesso di tutti i ricoveri rispetto all'area di riferimento per **malattie infettive** (ICD-IX: 001-139) nelle femmine (SIR: 150, I.C. 90%: 124-182; BIR: 138, I.C. 95%: 118-166) e in maschi e femmine insieme (SIR: 150, I.C. 90%: 132-170; BIR: 143, I.C. 95%: 126-159);

maggiore incidenza di primi ricoveri per i **tumori maligni della ghiandola della tiroide** (ICD-IX: 193) nelle femmine (SIR: 219, I.C. 90%: 155-311; BIR: 120, I.C. 95%: 105-139) e in maschi e femmine insieme (SIR: 197, I.C. 90%: 143-269; BIR: 146, I.C. 95%: 122-171);

eccesso di primi ricoveri per i **tumori emolinfopoietici** (ICD-IX: 200-208) in maschi e femmine insieme con SIR pari a 148 (I.C. 90%: 121-180) e BIR a 123 (I.C. 95%: 105-136);

una più alta incidenza di primi ricoveri rispetto alle Marche per **leucemie** (ICD-IX: 204-208) negli individui di genere femminile con un rapporto standardizzato di incidenza percentuale pari a 183 (I.C. 90%: 114-293) e uno stimatore bayesiano di 123 (I.C. 95%: 102-160) e negli individui dei due generi in toto con SIR pari a 175 (I.C. 90%: 128-240) e BIR a 137 (I.C. 95%: 108-173);

eccesso di primi ricoveri per **Morbo di Parkinson** (ICD-IX: 332.0) nelle femmine (SIR: 257, I.C. 90%: 161-412; BIR: 152, I.C. 95%: 101-253) pur con andamento nel tempo non in crescita;

maggior incidenza di primi ricoveri rispetto alla regione per le **malattie cerebrovascolari** (ICD-IX: 430-438) nelle femmine (SIR: 161, I.C. 90%: 146-178; BIR: 149, I.C. 95%: 136-160), nei maschi (SIR: 142, I.C. 90%: 127-158; BIR: 130, I.C. 95%: 117-142) e in maschi e femmine insieme (SIR: 152, I.C. 90%: 141-163; BIR: 143, I.C. 95%: 133-152);

ecceso di primi ricoveri per le **malattie dell'apparato digerente** (ICD-IX: 520-579) nelle femmine (SIR: 114, I.C. 90%: 105-124; BIR: 108, I.C. 95%: 103-117) e in maschi e femmine insieme (SIR: 111, I.C. 90%: 105-116; BIR: 108, I.C. 95%: 102-114);

una più alta incidenza di primi ricoveri per **nefropatie croniche e acute** (ICD-IX: 580-589) negli individui di genere maschile con un rapporto standardizzato di incidenza percentuale pari a 148 (I.C. 90%: 123-179) e uno stimatore bayesiano di 123 (I.C. 95%: 105-143) e negli individui dei due generi in toto con SIR pari a 162 (I.C. 90%: 141-185) e BIR a 144 (I.C. 95%: 122-158);

maggior incidenza di tutti i ricoveri in confronto all'area di riferimento per le **cadute ed altri infortuni** (ICD-IX: 880-928) nei residenti maschi (SIR: 127, I.C. 90%: 106-152; BIR: 135, I.C. 95%: 116-157);

per **tutte le cause** (escl. cataratta, IVG, parto, trattamenti e violente) (ICD-IX: 000-365, 367-634, 636-649, 655-659, 670-799) per tutti i generi (F, M, M + F) maggior incidenza di tutti i ricoveri ospedalieri rispetto alla regione (SIR femmine: 113, I.C. 90%: 109-117; BIR femmine: 113, I.C. 95%: 110-115; SIR maschi: 104, I.C. 90%: 100-108; BIR maschi: 104, I.C. 95%: 102-107; SIR femmine+maschi: 109, I.C. 90%: 106-111; BIR femmine+maschi: 108, I.C. 95%: 107-110) seppur con un andamento in significativo calo;

ecceso di tutti i ricoveri per **malattie infettive** (ICD-IX: 001-139) nei maschi (SIR: 149, I.C. 90%: 126-177; BIR: 137, I.C. 95%: 119-149);

maggior incidenza di primi ricoveri per **tutti i tumori maligni** (ICD-IX: 140-208) nelle femmine (SIR: 121, I.C. 90%: 110-133; BIR: 111, I.C. 95%: 103-123) e in maschi e femmine insieme (SIR: 113, I.C. 90%: 106-120; BIR: 110, I.C. 95%: 103-115), in quest'ultimo caso il trend temporale è in calo;

ecceso di primi ricoveri per **gozzo non tossico** (ICD-IX: 240-241) in maschi e femmine insieme con SIR pari a 135 (I.C. 90%: 101-179) e BIR a 129 (I.C. 95%: 106-161) e andamento nel tempo in diminuzione;

più alta incidenza di primi ricoveri per le **malattie dell'apparato circolatorio** (ICD-IX: 390-459) nelle femmine (SIR: 116, I.C. 90%: 109-124; BIR: 112, I.C. 95%: 106-118) e in maschi e femmine insieme (SIR: 107, I.C. 90%: 103-113; BIR: 105, I.C. 95%: 101-112) con trend in significativo calo;

maggior incidenza di primi ricoveri rispetto alla regione per le **malattie dell'apparato respiratorio** (ICD-IX: 460-519.9) nelle femmine (SIR: 130, I.C. 90%: 120-142; BIR: 123, I.C. 95%: 115-134), nei maschi (SIR: 115, I.C. 90%: 106-125; BIR: 111, I.C. 95%: 104-119) e in maschi e femmine insieme (SIR: 122, I.C. 90%: 115-129; BIR: 119, I.C. 95%: 114-125) ma in tutti i casi il trend temporale è in calo;

eccesso di primi ricoveri per le **malattie polmonari cronico ostruttive** (ICD-IX: 490-492, 494, 496) nelle femmine (SIR: 157, I.C. 90%: 123-201; BIR: 126, I.C. 95%: 101-159) e andamento nel tempo in diminuzione;



più alta incidenza di primi ricoveri rispetto alla regione per **cirrosi e altre malattie croniche del fegato** (ICD-IX: 571) in maschi e femmine insieme con SIR pari a 134 (I.C. 90%: 103-175) e BIR a 120 (I.C. 95%: 102-144) con trend in significativo calo;

eccesso di primi ricoveri per le **nefropatie croniche e acute** (ICD-IX: 580-589) nelle femmine (SIR: 179, I.C. 90%: 147-218; BIR: 149, I.C. 95%: 121-174) ma il trend temporale è in calo;

maggiore incidenza di tutti i ricoveri per le **cadute ed altri infortuni** (ICD-IX: 880-928) nei residenti maschi e femmine in complesso (SIR: 122, I.C. 90%: 105-141; BIR: 129, I.C. 95%: 114-147);



difetti statisticamente significativi rispetto alla regione Marche confermati con entrambi gli indicatori epidemiologici utilizzati e un trend significativamente decrescente per i primi ricoveri per le femmine, i maschi e i maschi e femmine insieme per le **malattie endocrine e della nutrizione** (ICD-IX: 240-279.9) e per le **malattie del sistema nervoso e degli organi di senso** (ICD-IX: 320-389) e, per il **diabete mellito** (ICD-IX: 250) e per le **malattie neuro-psichiatriche** (escluse tossicod.) (ICD-IX: 290-303, 306-319) per le femmine e per entrambi;

difetti statisticamente significativi rispetto alla regione Marche confermati con entrambi gli indicatori epidemiologici utilizzati e un trend significativamente decrescente nei primi ricoveri per le **malattie ischemiche del cuore** (ICD-IX: 410-414.9), in maschi e femmine insieme per le **malattie cardiache** (ICD-IX: 390-429) nei soli maschi e, per tutti i ricoveri per le **malattie acute delle prime vie aeree** (ICD-IX: 460-466) per i maschi e per i due generi nel complesso.

A **Sassoferrato** (Tabelle 49 e 58 in appendice) si evidenzia:






maggiore incidenza di primi ricoveri rispetto alle Marche per le tutti i **tumori maligni** (ICD-IX: 140-208) nei maschi (SIR: 118, I.C. 90%: 107-131; BIR: 109, I.C. 95%: 100-118) e in maschi e femmine insieme (SIR: 116, I.C. 90%: 108-125; BIR: 111, I.C. 95%: 103-121) con un andamento nel tempo in significativo aumento;



eccesso di tutti i ricoveri per **malattie ischemiche acute (infarto miocardico, altre forme acute e subacute di cardiopatia ischemica)** (ICD-IX: 410-411) nei due generi in totale con SIR pari a 126 (I.C. 90%: 109-145) e BIR a 121 (I.C. 95%: 111-134) con un trend in crescita in maniera statisticamente significativa;



in maschi e femmine insieme più alta incidenza di primi ricoveri rispetto alla regione **per tumori maligni del retto, della giunzione retto-sigmoidea e dell'ano** (ICD-IX: 154) con SIR pari a 140 (I.C. 90%: 104-189) e BIR a 122 (I.C. 95%: 105-148), per **tumori maligni della vescica** (ICD-IX: 188) con SIR pari a 153 (I.C. 90%: 123-190) e BIR a 124 (I.C. 95%: 103-140) e per **sclerosi multipla** (ICD-IX: 340) con SIR

	<p>pari a 206 (I.C. 90%: 135-314) e BIR a 125 (I.C. 95%: 102-164);</p> <p>eccesso di primi ricoveri per tumori maligni della vescica (ICD-IX: 188) nelle femmine con SIR pari a 224 (I.C. 90%: 149-337) e BIR a 121 (I.C. 95%: 104-157);</p> <p>maggiore incidenza di tutti i ricoveri rispetto al riferimento per cadute ed altri infortuni (ICD-IX: 880-928) nelle femmine (SIR: 192, I.C. 90%: 154-238; BIR: 150, I.C. 95%: 133-184), nei maschi (SIR: 238, I.C. 90%: 198-286; BIR: 199, I.C. 95%: 170-228) e nei due generi insieme (SIR: 221, I.C. 90%: 192-255; BIR: 194, I.C. 95%: 175-228);</p>
	<p>maggiore incidenza di tutti i ricoveri rispetto al riferimento per <i>malattie ischemiche acute (infarto miocardico, altre forme acute e subacute di cardiopatia ischemica)</i> (ICD-IX: 410-411) nei maschi con SIR pari a 136 (I.C. 90%: 114-162) e BIR pari a 129 (I.C. 95%: 113-142);</p> <p>più alta incidenza di tutti i ricoveri per <i>traumatismi e avvelenamenti</i> (800-999) nelle femmine (SIR: 112, I.C. 90%: 101-124; BIR: 108, I.C. 95%: 101-116), nei maschi (SIR: 130, I.C. 90%: 118-143; BIR: 124, I.C. 95%: 117-133) e nei due generi insieme (SIR: 121, I.C. 90%: 113-130; BIR: 117, I.C. 95%: 112-124);</p>
	<p>difetti statisticamente significativi rispetto alla regione Marche confermati con entrambi gli indicatori epidemiologici utilizzati e un trend significativamente decrescente per tutti i ricoveri per le <i>malattie infettive</i> (ICD-IX: 001-139) per i maschi, per i primi ricoveri per le <i>malattie endocrine e della nutrizione</i> (ICD-IX: 240-2799) e per le malattie cerebrovascolari (ICD-IX: 430-438) dei due generi nel complesso;</p> <p>difetti statisticamente significativi rispetto al riferimento confermati con entrambi gli indicatori epidemiologici utilizzati e un trend significativamente decrescente per i primi ricoveri per le <i>malattie dell'apparato circolatorio</i> (ICD-IX: 390-459) per tutti i generi considerati e per le <i>malattie del sistema nervoso e degli organi di senso</i> (ICD-IX: 320-389) per gli individui di genere femminile e per i due generi insieme.</p>

A **Serra San Quirico** (Tabelle 50 e 59 in appendice) si evidenzia:

	<p>eccesso di tutti i ricoveri rispetto alla regione per malattie acute delle prime vie aeree (ICD-IX: 460-466) in maschi e femmine con SIR pari a 159 (I.C. 90%: 116-216) e BIR a 142 (I.C. 95%: 113-181);</p> <p>più alta incidenza di tutti i ricoveri per cadute ed altri infortuni (ICD-IX: 880-928) in maschi (SIR: 164, I.C. 90%: 123-220; BIR: 152, I.C. 95%: 120-183) e maschi e femmine insieme (SIR: 157, I.C. 90%: 124-199; BIR: 151, I.C. 95%: 127-179);</p>
	<p>maggiore incidenza di primi ricoveri per <i>malattie dell'apparato digerente</i> (ICD-IX: 520-579) nelle femmine (SIR: 123, I.C. 90%: 107-141; BIR: 110, I.C. 95%: 101-121) e nei due generi in totale (SIR: 116, I.C. 90%: 106-127; BIR: 111, I.C. 95%: 103-117) con andamento temporale in diminuzione;</p>



difetti statisticamente significativi rispetto alla regione Marche confermati con entrambi gli indicatori epidemiologici utilizzati e un trend significativamente decrescente per i primi ricoveri per le femmine e per i maschi e le femmine insieme per le **malattie dell'apparato circolatorio** (ICD-IX: 390-459), e per le **malattie cerebrovascolari** (ICD-IX: 430-438).

Nel comune di **Poggio San Vicino** (Tabelle 48 e 57 in appendice) non si evidenziano patologie con eccessi o difetti significativi.

4.2.2 Popolazione di tutte le età – Trend temporali dei ricoveri per causa

Poiché si sono evidenziati andamenti significativamente in aumento nei comuni di Fabriano (Tabella 44) e Sassoferrato (Tabella 49) per i primi ricoveri per tutti i tumori maligni (ICD-IX: 140-208), vengono riportati graficamente i trend temporali dei tassi standardizzati di incidenza, per i comuni stessi e per **l'area di riferimento**, la regione Marche, per tutto il periodo per il quale sono disponibili le informazioni relative ai ricoveri per causa, dal 1997 al 2012 (Figura 7); si evidenzia che **l'andamento** dei tassi standardizzati dei ricoveri ospedalieri per tale causa non è in linea con quello registrato nella regione, in particolare per gli individui di genere maschile.

Per il medesimo motivo in Figura 8 e 9, rispettivamente, si riportano i grafici relativi ai trend temporali dei tassi standardizzati dei primi ricoveri per tumori maligni della ghiandola tiroidea (ICD-IX: 193) e per mieloma multiplo e tumori immunoproliferativi (ICD-IX: 203) a **Fabriano e nell'area di riferimento; si evidenzia che per i due generi insieme l'andamento temporale del comune di Fabriano si attesta negli ultimi anni in studio in linea con quello osservato nella regione Marche per il mieloma multiplo e tumori immunoproliferativi, mentre per la tiroide a partire dall'anno 2009 nelle Marche il trend si attesta in discesa contrariamente a quello del comune in studio.**

In Figura 10, infine, sono riportati i grafici relativi ai trend temporali di tutti i ricoveri per malattie ischemiche acute (infarto miocardico, altre forme acute e subacute di cardiopatia ischemica) (ICD-IX: 410-411) nei comuni di Fabriano (Tabella 53), **Cerreto d'Esi** (Tabella 51) e Sassoferrato (Tabella 58), insieme al corrispondente grafico relativo alla regione, visto che **anche per tale causa si sono evidenziati trend nel tempo in significativo aumento; l'andamento dei ricoveri è in linea con quello dell'area di riferimento, ad eccezione del comune di Cerreto d'Esi dove nei maschi si nota un aumento dei tassi per tutto il periodo in studio.**

Per entrambe le cause gli eccessi statisticamente significativi dei ricoveri sono confermati da entrambi gli indicatori considerati.

Figura 7. Trend temporali dei primi ricoveri ospedalieri per tumori maligni (ICD-IX: 140-208) – Anni 1997-2012, tutte le età

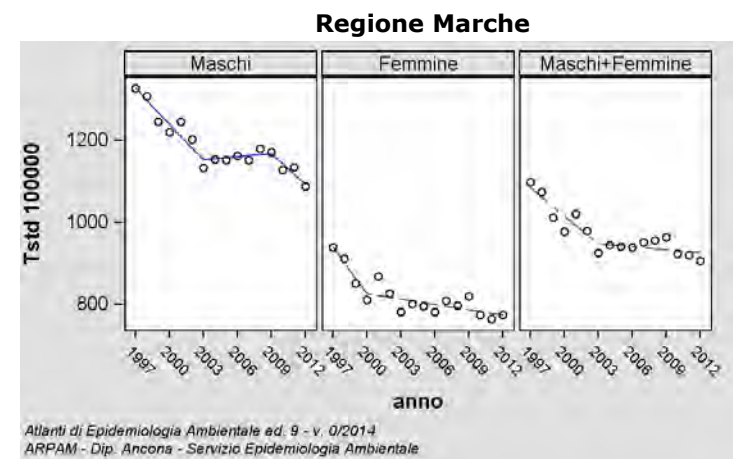
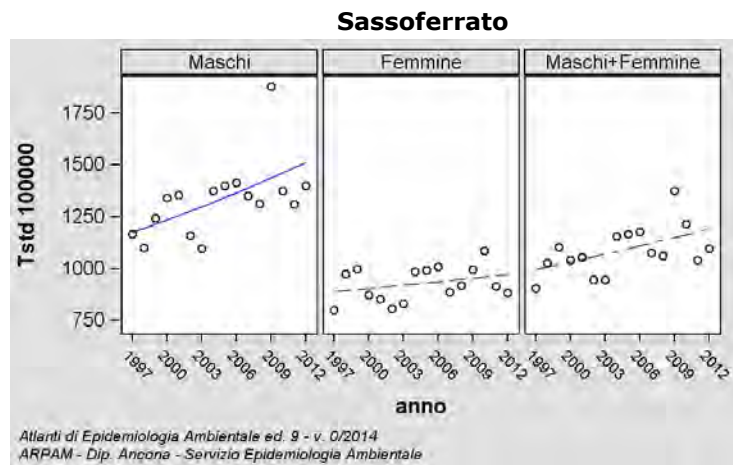
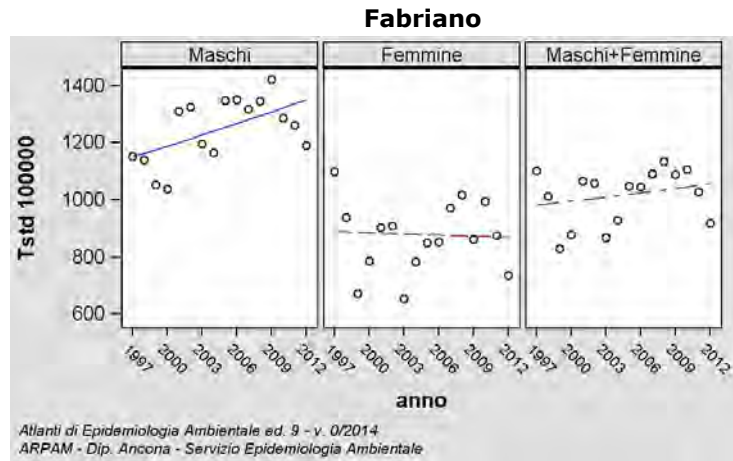


Figura 8. Trend temporali dei primi ricoveri ospedalieri per tumori maligni della ghiandola tiroidea (ICD-IX: 193) – Anni 1997-2012, tutte le età

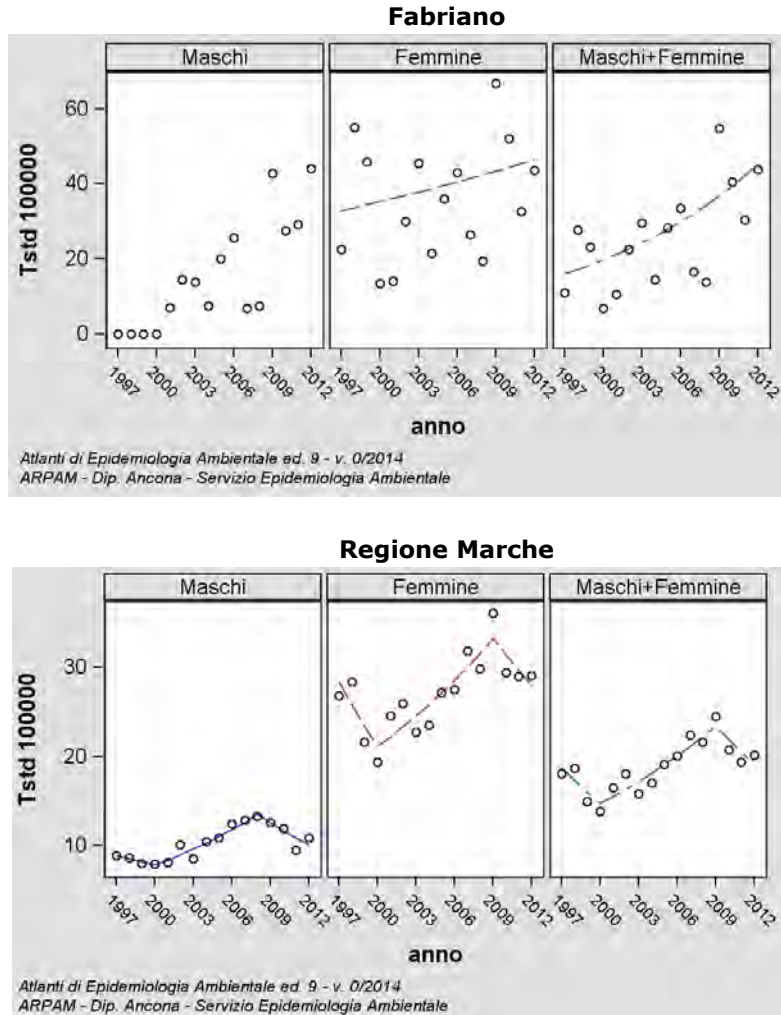


Figura 9. Trend temporali dei primi ricoveri ospedalieri per mieloma multiplo e tumori immunoproliferativi (ICD-IX: 203) – Anni 1997-2012, tutte le età

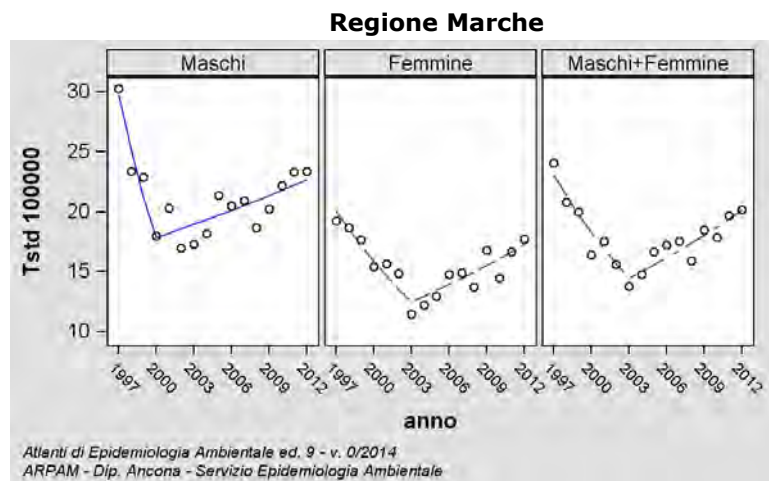
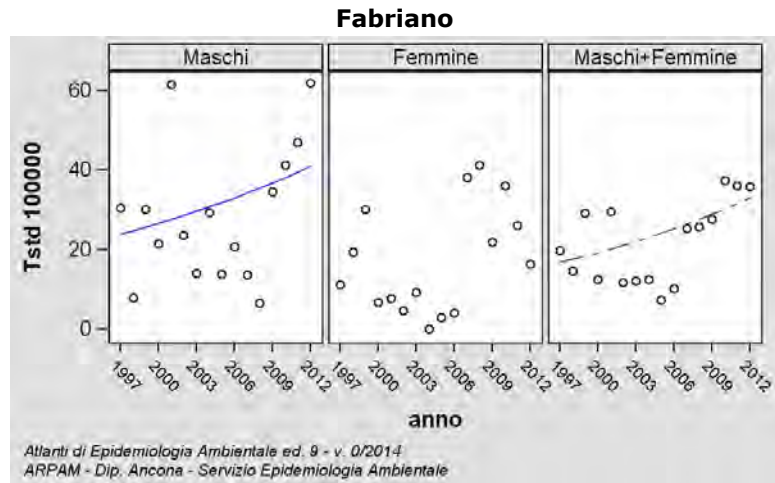


Figura 10. Trend temporali di tutti i ricoveri ospedalieri per malattie ischemiche acute (infarto miocardico, altre forme acute e subacute di cardiopatia ischemica) (ICD IX: 410-411) – Anni 1997-2012, tutte le età

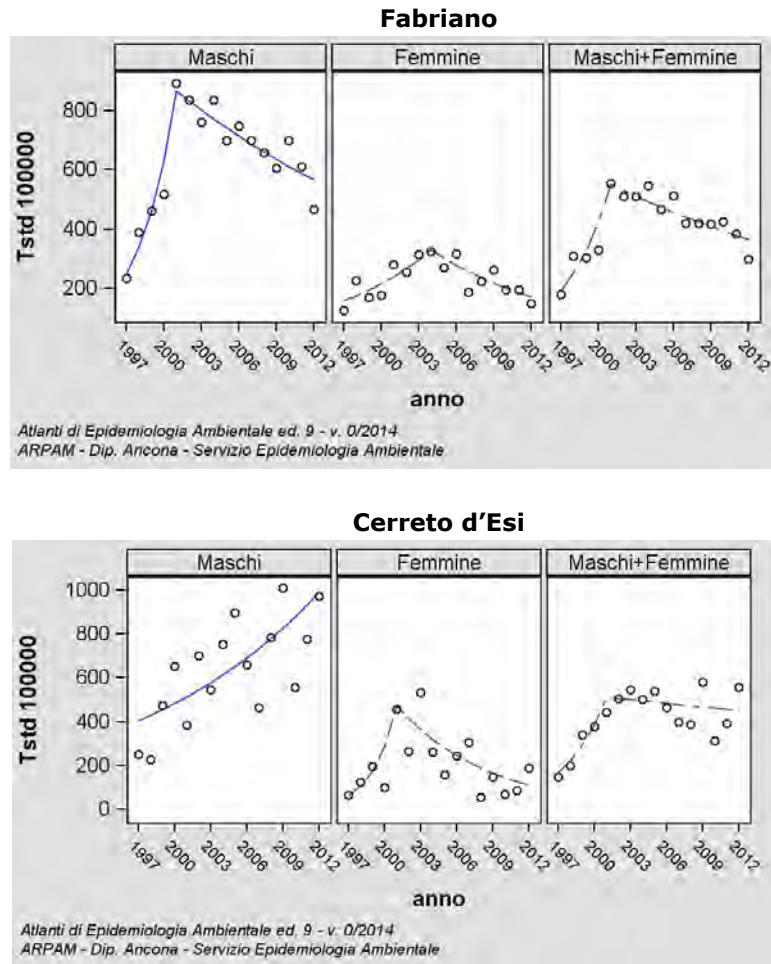
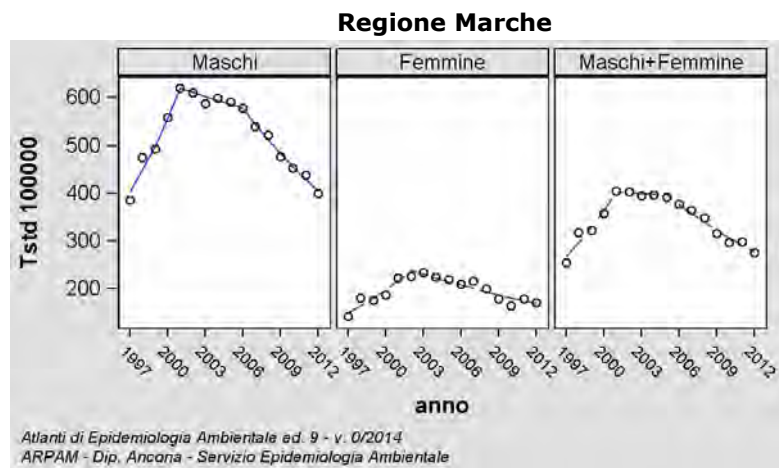
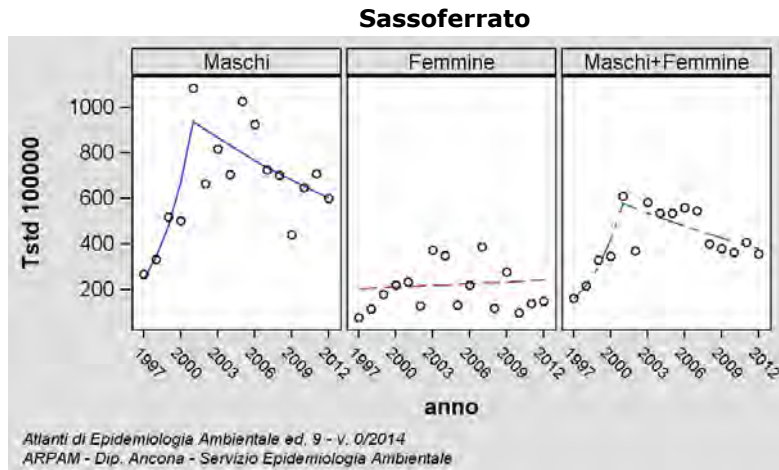


Figura 10 segue. Trend temporali di tutti i ricoveri ospedalieri per malattie ischemiche acute (infarto miocardico, altre forme acute e subacute di cardiopatia ischemica) (ICD IX: 410-411) – Anni 1997-2012, tutte le età



4.2.3 Popolazione di tutte le età – Cluster dei ricoveri nei comuni in studio

L'analisi spaziale su base comunale, effettuata per individuare la presenza di agglomerati spaziali di ricoveri ospedalieri, ha messo in evidenza che tutti i comuni in studio fanno parte di aggregati spaziali di ricoveri statisticamente significativi ($p\text{-value} < 0,05$) per diverse patologie (individuate nelle tabelle 42-59), tuttavia il numero di comuni compreso nei cluster è troppo elevato per poter ipotizzare cause di origine strettamente ambientale.

I soli cluster (Figura 11 e Figura 12, rispettivamente) che hanno un'estensione minore, riguardano le persone di genere femminile per le malattie infettive (ICD-IX: 001-139) che includono i comuni di **Cerreto d'Esi** e Matelica e le nefropatie croniche e acute (ICD-IX: 580-589) che comprendono i comuni di Esanatoglia e Matelica.

Figura 11. Mappe di rischio di tutti i ricoveri ospedalieri per malattie infettive (ICD-IX: 001-139), femmine - Cluster significativo, popolazione residente, tutte le età – Anni 2006-2012 - Riferimento regione Marche.

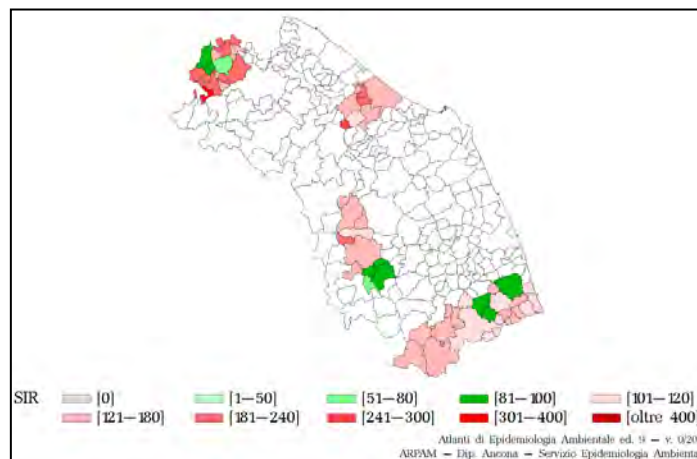
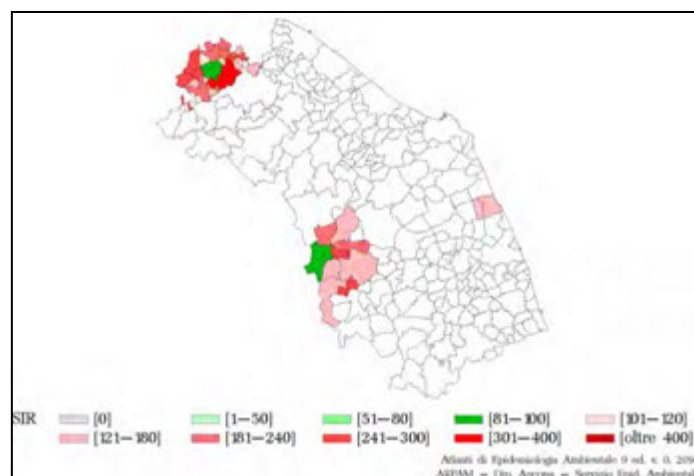


Figura 12. Mappe di rischio dei primi ricoveri ospedalieri per nefropatie croniche e acute (ICD-IX: 580-589), femmine - Cluster significativo, popolazione residente, tutte le età - Anni 2006-2012 - Riferimento regione Marche.







4.2.4 Bambini 0-14 anni - Sintesi dei risultati di particolare interesse

Le Tabelle 60-77 (primi ricoveri 60-69; tutti i ricoveri 69-77) in appendice riportano per entrambi i generi nel complesso, rispettivamente per i comuni di **Cerreto d'Esi**, Esanatoglia, Fabriano, Fiuminata, Genga, Matelica, Poggio San Vicino, Sassoferrato e Serra San Quirico il numero di casi osservati, il numero di casi attesi, i cluster statisticamente significativi, il rapporto standardizzato di incidenza percentuale del cluster, il tasso standardizzato per 100.000 abitanti, il rapporto standardizzato di incidenza percentuale e il rapporto di incidenza bayesiano percentuale, con i relativi intervalli di probabilità (al 90%) e credibilità (al 95%), eccessi e difetti statisticamente significativi e trend temporali per le patologie in studio, calcolati sui ricoveri ospedalieri per causa (primo ricovero e tutti i ricoveri) sul periodo 2006-2012.

La Tabella 13 e la Tabella 14 riassumono, per i comuni ove tali condizioni si siano verificate, le situazioni o la presenza di fattori rilevati dal presente studio che, rispettivamente, necessitano di particolare attenzione, di sorveglianza e controllo nel tempo, o si ritengono rilevanti per una valutazione dello stato di salute della popolazione.

Tabella 13. Eventi sanitari statisticamente significativi che necessitano di particolare attenzione - Ricoveri ospedalieri maschi e femmine – 0-14 anni

Residenza	Causa ricovero (ICD-IX)	SIR	BIR	Trend	Livello attenzione
Fabriano	Malattie ereditarie e degenerative e altri disturbi del sistema nervoso centrale (330-349)	↑	↑	↗	6 
	Infezioni acute delle vie respiratorie, polmonite e influenza (460-466, 480-487)*	↑	↑	→	5 
	Malattie dell'apparato respiratorio (460-5199)	↑	↑	→	5 
Cerreto d'Esi	Malattie cardiache (390-429)	↑	↑	n.c.	5 
	Infezioni acute delle vie respiratorie, polmonite e influenza (460-466, 480-487)*	↑	↑	→	5 
	Malattie dell'apparato respiratorio (460-5199)	↑	↑	→	5 
Genga	Malattie ereditarie e degenerative e altri disturbi del sistema nervoso centrale (330-349)	↑	↑	n.c.	5 
Matelica	Anomalie dell'apparato genito-urinario (752-753)	↑	↑	→	5 
Sassoferrato	Malattie ereditarie e degenerative e altri disturbi del sistema nervoso centrale (330-349)	↑	↑	→	5 
	Infezioni acute delle vie respiratorie, polmonite e influenza (460-466, 480-487)*	↑	↑	→	5 

* Per queste cause sono stati considerati tutti gli eventi avvenuti nel periodo

↑ / ↗ = eccessi/incrementi, ↓ / ↘ = difetti/decrementi statisticamente significativi; n.c. = non calcolabile




Tabella 14. Eventi sanitari statisticamente significativi da sorvegliare e controllare nel tempo - Ricoveri ospedalieri maschi e femmine – 0-14 anni

Residenza	Causa ricovero (ICD-IX)	SIR	BIR	Trend	Livello attenzione
Fabriano	Tutte le cause (000-999)*	↑	↑	↘	4 😬
	Malattie infettive (001-139)*	↑	↑	↘	4 😬
	Malattie dell'apparato digerente (520-579)	↑	↑	↘	4 😬
Cerreto d'Esi	Malattie infettive (001-139)*	↑	↑	↘	4 😬
Genga	Malattie infettive (001-139)*	↑	↑	n.c.	4 😬
Matelica	Tutte le cause (000-999)*	↑	↑	↘	4 😬
	Malattie dell'apparato respiratorio (460-5199)	↑	↑	↘	4 😬

* Per queste cause sono stati considerati tutti gli eventi avvenuti nel periodo

↑ / ↗ = eccessi/incrementi, ↓ / ↘ = difetti/decrementi statisticamente significativi; n.c. = non calcolabile

A **Fabriano** (Tabelle 62 e 71 in appendice) si evidenzia:

	<p>un eccesso di primi ricoveri rispetto alla regione per malattie ereditarie e degenerative e altri disturbi del sistema nervoso centrale (ICD-IX: 330-349) con SIR pari a 142 (I.C. 90%: 119-170) e BIR a 129 (I.C. 95%: 109-147) con un trend in crescita in maniera statisticamente significativa;</p>
	<p>maggior incidenza di tutti i ricoveri per infezioni acute delle vie respiratorie, polmonite e influenza (ICD-IX: 460-466, 480-487) con un rapporto standardizzato di incidenza percentuale pari a 145 (I.C. 90%: 129-164) e uno stimatore bayesiano di 144 (I.C. 95%: 129-161);</p> <p>più alta incidenza di primi ricoveri ospedalieri rispetto alle Marche per malattie dell'apparato respiratorio (ICD-IX: 460-519.9) con SIR pari a 125 (I.C. 90%: 117-135) e BIR a 123 (I.C. 95%: 115-132);</p>
	<p>per tutte le cause (ICD-IX: 000-999) maggior incidenza di tutti i ricoveri rispetto all'area di riferimento con SIR pari a 115 (I.C. 90%: 109-121) e BIR di 115 (I.C. 95%: 111-119);</p> <p>maggior incidenza di tutti i ricoveri per malattie infettive (ICD-IX: 001-139) con un rapporto standardizzato di incidenza percentuale pari a 145 (I.C. 90%: 125-168) e uno stimatore bayesiano di 143 (I.C. 95%: 123-169);</p> <p>più alta incidenza di primi ricoveri ospedalieri rispetto alle Marche per malattie dell'apparato digerente (ICD-IX: 520-579) con SIR pari a 115 (I.C. 90%: 103-129) e BIR a 112 (I.C. 95%: 102-119);</p> <p>per tutte queste cause il trend temporale per l'intero periodo in studio risulta in discesa;</p>



difetti statisticamente significativi rispetto alla regione Marche confermati con entrambi gli indicatori epidemiologici utilizzati e un trend significativamente decrescente per tutti i ricoveri per **traumatismi e avvelenamenti** (ICD-IX: 800-999).

A **Cerreto d'Es** (Tabelle 60 e 69 in appendice) si evidenzia:



eccesso di primi ricoveri rispetto alla regione per **malattie cardiache** (ICD-IX: 390-429) con SIR pari a 200 (I.C. 90%: 103-387) e BIR a 138 (I.C. 95%: 102-194);

più alta incidenza di tutti i ricoveri ospedalieri rispetto alle Marche per **infezioni acute delle vie respiratorie, polmonite e influenza** (ICD-IX: 460-466, 480-487) con SIR pari a 199 (I.C. 90%: 156-255) e BIR a 187 (I.C. 95%: 145-241) ma trend costante;

maggiore incidenza di primi ricoveri ospedalieri per **malattie dell'apparato respiratorio** (460-519.9) con un rapporto standardizzato di incidenza percentuale pari a 154 (I.C. 90%: 131-181) e uno stimatore bayesiano di 143 (I.C. 95%: 124-172);



più alta incidenza di tutti i ricoveri ospedalieri rispetto alle Marche per le **malattie infettive** (ICD-IX: 001-139) con SIR pari a 163 (I.C. 90%: 109-243) e BIR a 156 (I.C. 95%: 109-212) ma trend temporale per il periodo in studio in significativa discesa.

A **Genga** (Tabelle 64 e 73 in appendice) si evidenzia:





più alta incidenza di primi ricoveri ospedalieri rispetto alle Marche per **malattie ereditarie e degenerative e altri disturbi del sistema nervoso centrale** (ICD-IX: 330-349) con SIR pari a 231 (I.C. 90%: 130-410) e BIR a 142 (I.C. 95%: 115-178);




maggiore incidenza di tutti i ricoveri ospedalieri rispetto alla regione per le **malattie infettive** (ICD-IX: 001-139) con SIR pari a 191 (I.C. 90%: 106-346) e BIR a 172 (I.C. 95%: 103-270).

A **Matelica** (Tabelle 65 e 74 in appendice) si evidenzia:

	ecceso di primi ricoveri rispetto alla regione per anomalie dell'apparato genito-urinario (ICD-IX: 752-753) con SIR pari a 180 (I.C. 90%: 134-240) e BIR a 129 (I.C. 95%: 102-147) con un andamento nel tempo costante;
	maggior incidenza di tutti i ricoveri ospedalieri per tutte le cause (000-999) con un rapporto standardizzato di incidenza percentuale pari a 114 (I.C. 90%: 102-127) e uno stimatore bayesiano di 113 (I.C. 95%: 107-120); più alta incidenza di primi ricoveri ospedalieri rispetto alle Marche per malattie dell'apparato respiratorio (ICD-IX: 460-519.9) con SIR pari a 131 (I.C. 90%: 115-149) e BIR a 119 (I.C. 95%: 106-136); sia per tutte le cause di ricoveri che per le malattie dell'apparato respiratorio l'andamento temporale risulta in significativa diminuzione.

A **Sassoferrato** (Tabelle 67 e 76 in appendice) si evidenzia:

	ecceso di primi ricoveri rispetto alla regione per malattie ereditarie e degenerative e altri disturbi del sistema nervoso centrale (ICD-IX: 330-349) con SIR pari a 175 (I.C. 90%: 127-241) e BIR a 129 (I.C. 95%: 112-162) con un trend costante; più alta incidenza di tutti i ricoveri ospedalieri rispetto alle Marche per infezioni acute delle vie respiratorie, polmonite e influenza (ICD-IX: 460-466, 480-487) con SIR pari a 151 (I.C. 90%: 118-193) e BIR a 146 (I.C. 95%: 120-182) con andamento temporale costante.
---	--

4.2.5 Bambini 0-14 anni – Trend temporali di ricoveri per causa

Poiché si sono evidenziati andamenti significativamente in calo per tutte le cause di ricoveri ospedalieri (ICD-IX: 000-999) per i residenti nella fascia tra 0 e 14 anni nei comuni di Fabriano, Cerreto d’Esi, Esanatoglia, Fiuminata, Matelica e Sassoferrato, vengono riportati graficamente i trend temporali dei tassi standardizzati di incidenza, per i comuni stessi e per l’area di riferimento, la regione Marche, per tutto il periodo per il quale sono disponibili le informazioni relative ai ricoveri per causa, cioè dal 1997 al 2012 (Figura 13); si evidenzia che l’andamento dei tassi standardizzati dei ricoveri ospedalieri per tutte le cause è in linea con quello registrato nella regione.

Figura 13. Trend temporali di tutti i ricoveri ospedalieri per tutte le cause (ICD-IX: 000-999) – Anni 1997-2012, residenti 0-14 anni.

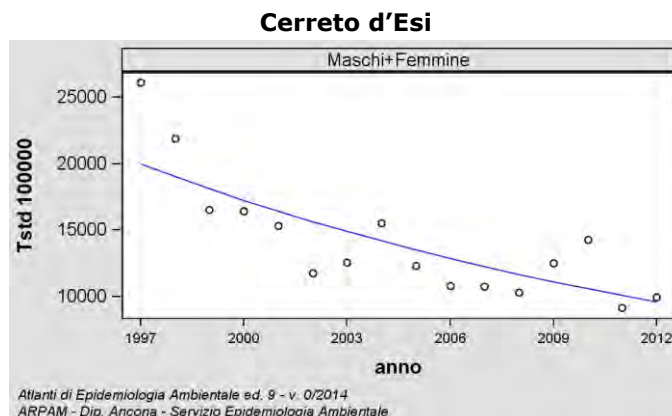
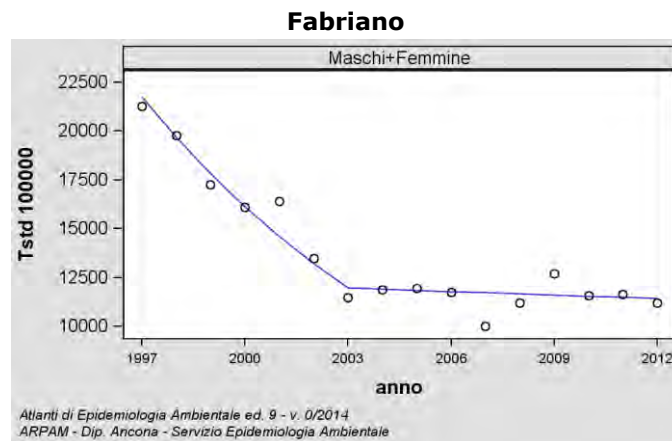


Figura 13 segue. Trend temporali di tutti i ricoveri ospedalieri per tutte le cause (ICD-IX: 000-999) – Anni 1997-2012, residenti 0-14 anni.

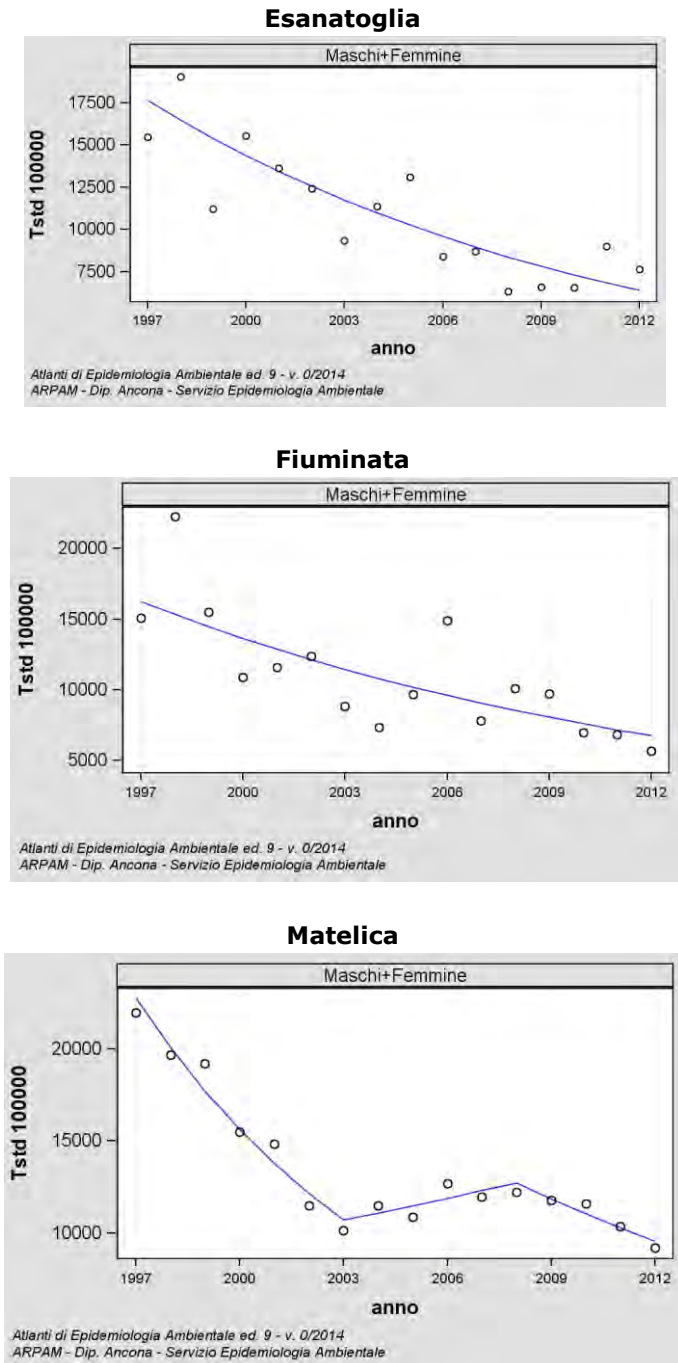
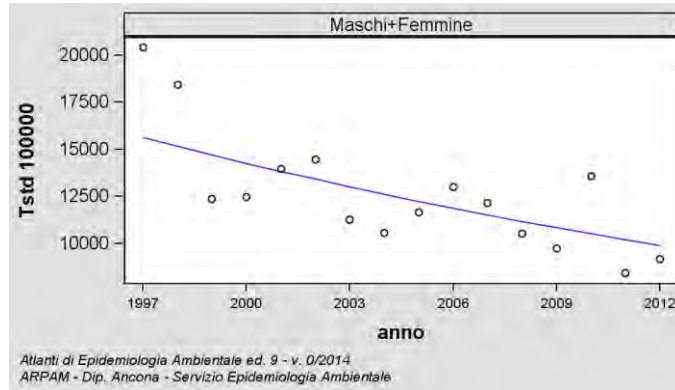
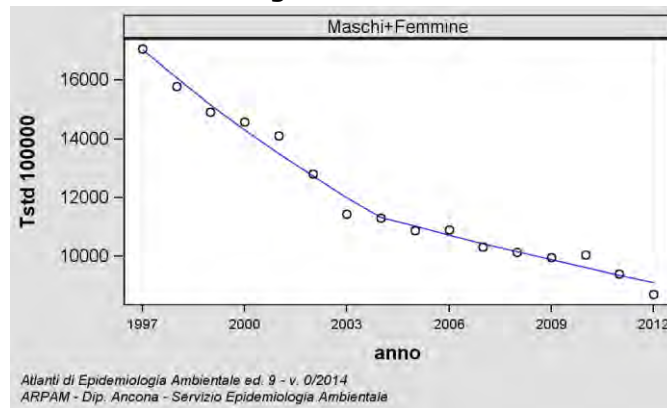


Figura 13 segue. Trend temporali di tutti i ricoveri ospedalieri per tutte le cause (ICD-IX: 000-999) – Anni 1997-2012, residenti 0-14 anni.

Sassoferrato



Regione Marche



5. CONSIDERAZIONI CONCLUSIVE

Obiettivo del presente studio è stato quello di descrivere lo stato di salute della **popolazione residente nel comune di Fabriano e limitrofi, considerati attraverso l'analisi dei dati** di ricovero ospedaliero e di mortalità. A tal fine, senza alcun proposito di effettuare verifiche di ipotesi eziologiche, si è inteso indagare tutte le patologie presenti negli Atlanti di Epidemiologia Ambientale (ediz. 9, ver. 0, anno 2014) realizzati da questo Servizio di Epidemiologia Ambientale del Dipartimento Provinciale ARPAM di Ancona.

Nel presente lavoro è descritta la distribuzione dei decessi nel periodo 2006-2011 e dei ricoveri ospedalieri nel periodo 2006-2012 **tra i residenti dei comuni di Fabriano, Cerreto d'Esi, Esanatoglia, Fiuminata, Genga, Matelica, Poggio San Vicino, Sassoferrato e Serra San Quirico**, al fine di delineare lo stato di salute della popolazione ivi residente. Per quanto riguarda i decessi le osservazioni sono state effettuate analizzando gli individui di tutte le età, della fascia di età 0-14 anni e i neonati (0-1 anno); per i ricoveri ospedalieri si sono analizzate le degenze dei residenti di tutte le età e della fascia 0-14 anni.

Il presente studio ha finalità e potenzialità esclusivamente di tipo descrittivo.

Le valutazioni di epidemiologia descrittiva, analizzando in genere molti eventi patologici verificatisi su territori anche vasti, mettono frequentemente in evidenza numerose criticità non sempre immediatamente comprensibili e perciò fonte di preoccupazione tra la popolazione e tra gli stessi committenti. **Con l'intento di limitare tali effetti, in questo come in tutti i report** licenziati dal SEA, si sono aggiunte alle informazioni tradizionali (numero degli osservati, tasso standardizzato e SIR/SMR) quelle, giudicate particolarmente utili per programmare il tipo di azione da svolgere, della situazione spaziale (cluster) e temporale (trend), nonché i dati riferiti a fattori confondenti importanti come la situazione socio-economica della popolazione residente (Indice di Deprivazione). Si è provveduto inoltre a suggerire in forma numerica e grafica **l'atteggiamento e le azioni conseguenti da mettere in atto sulla base dei risultati rilevati**.

Ciò che si propone, in definitiva, è una valutazione di importanza/criticità degli eventi indagati basata sugli indicatori epidemiologici che tiene in prioritaria considerazione la **conferma dell'eventuale eccesso (SIR)** mediante la positività del BIR, la **presenza di un aggregato locale** di eccessi (cluster) e soprattutto la **tendenza all'evoluzione** del fenomeno nel tempo (trend).

L'applicazione dei modelli bayesiani, così come le informazioni che provengono dall'individuazione di aggregati spaziali e dall'analisi dell'andamento temporale dell'evento sanitario indagato, infatti, sono di indubbia utilità nello studio della distribuzione geografica di eventi sanitari relativamente poco frequenti per lo più se in territori eterogenei per dimensioni e densità di popolazione. Altri limiti insiti nelle indagini epidemiologiche descrittive sono legati **all'assenza di informazioni** in merito ai confondenti, anche al livello di aggregato di popolazione, quali le informazioni residenziali, occupazionali e sugli stili di vita.

Occorre sottolineare, tuttavia, che pur in presenza di informazioni aggiuntive derivanti **dall'impiego degli indicatori epidemiologici non standard sopra indicati, l'esame su base comunale** delle distribuzioni degli eventi sanitari continua a costituire una prima analisi esplorativa dei dati che può solo suggerire alcune ipotesi di associazione degli eventi osservati con possibili fattori di rischio ambientali eventualmente presenti sul territorio.

Le analisi epidemiologiche descrittive, pertanto, per loro stessa natura e per il fatto di non utilizzare dati di esposizione recente o remota, **non si propongono di dare informazioni sulla causalità degli eventi studiati**; esse sono mere "fotografie" della distribuzione degli eventi nelle popolazioni e vanno pertanto utilizzate per produrre ipotesi sugli effetti di eventuali esposizioni pregresse, anche con grande latenza, da confermare successivamente con altri strumenti epidemiologici. Nelle **valutazioni prospettiche d'impatto ambientale**, le analisi descrittive possono essere utili **per considerare l'opportunità o meno di permettere l'incremento di pressioni ambientali** in una certa area piuttosto che in altre.

In generale quindi esse possono essere utilizzate per porre ipotesi di studio, attuare sistemi di sorveglianza, stimolare approfondimenti e suggerire la pianificazione di studi analitici per la verifica di ipotesi **eziologiche**; **al contrario, possono sconsigliare l'implementazione di onerose indagini epidemiologiche** laddove le evidenze sanitarie sulla popolazione non siano supportate dalla convergenza dei risultati delle analisi descrittive o sia poco consistente la forza **dell'associazione degli eventi sanitari indagati con la presenza di pressioni ambientali** accertate.

Premesso quanto sopra, il quadro epidemiologico rilevato dal presente studio risulta piuttosto complesso.

L'esame di un numero così elevato di effetti sanitari, suddivisi per evento, genere e classe di età, porta ad una estrema difficoltà nella discussione e nella sintesi dei risultati.

Ulteriore difficoltà nell'interpretazione dei risultati deriva dal fatto che, per i principi statistici dei confronti multipli, non si può escludere la possibilità che una quantità di eccessi degli eventi riscontrati, fino al 10%, sia imputabile al caso (9) (10).

Rimandando alla sezione risultati ed alle tabelle in appendice per una descrizione più esaustiva dei dati analitici e al fine di una maggiore sintesi, si è ritenuto opportuno riportare in questo contesto **solo gli eventi che possono giustificare una maggiore ed urgente attenzione** da parte degli organi ed istituzioni competenti per la concordanza di tutti gli indicatori epidemiologici studiati verso la **rilevanza e l'attualità del fenomeno**.

Relativamente ai decessi per causa degli individui di tutte le età (0-99 anni), il presente studio ha messo in evidenza nel comune di Fabriano una più alta incidenza di decessi rispetto alle Marche per le malattie neuro-psichiatriche (escluse le tossicodipendenze) per le femmine e i maschi separatamente e per i due generi nel complesso. Tale patologia presenta un andamento **temporale in significativa crescita nell'intero periodo in studio (2006-2011)**, in linea **tuttavia con il trend registrato nell'intera regione**.

Sempre di particolare attenzione, per quanto riguarda i ricoveri ospedalieri degli individui di tutte le età (0-99 anni), si registra nello stesso comune una maggiore incidenza di primi ricoveri per tutti i tumori maligni nei maschi, rispetto alla regione. La stessa evidenza si registra nel vicino comune di Sassoferrato in cui si evince una maggiore incidenza di ricoveri rispetto alle Marche per la stessa causa nei soli maschi e nei maschi e femmine insieme; **l'andamento nel tempo in tutto il periodo in studio (1997-2012)** di tale patologia risulta in significativo aumento in contrasto con il trend registrato nella regione Marche.

A Fabriano si rileva una più alta incidenza per tutti i ricoveri per le malattie ischemiche acute (infarto miocardico, altre forme acute e subacute di cardiopatia ischemica) nei maschi e **in maschi e femmine insieme; anche nei comuni di Cerreto d'Esi (maschi) e Sassoferrato** (maschi e femmine insieme) si registra una più alta incidenza di ricoveri rispetto alla regione per la stessa patologia. **Per quanto concerne l'andamento nel tempo della patologia, viene**

evidenziato **un trend di ricoveri in significativa crescita in linea con quello dell'area di riferimento.**

Sempre nel comune di Fabriano si osserva un eccesso di primi ricoveri per tumori maligni della tiroide nei due generi nel complesso.

Si registra a Fabriano **maggiore incidenza di primi ricoveri rispetto all'area di riferimento** nei due generi per mieloma multiplo e tumori immunoproliferativi con un andamento temporale in significativo aumento ma in linea con quello osservato nella regione Marche.

L'analisi spaziale su base comunale, effettuata per individuare la presenza di agglomerati spaziali di ricoveri ospedalieri, ha messo in evidenza per le persone di genere femminile di tutte le età la presenza di un cluster per le malattie infettive (ICD IX: 001-139) **che include i comuni di Cerreto D'Esi e Matelica**, e un cluster che riguarda le nefropatie croniche e acute (ICD IX: 580-589) che comprende i comuni di Esanatoglia e Matelica.

Per ciò che riguarda i ricoveri ospedalieri dei residenti di età 0-14 anni nel complesso, a Fabriano si sono evidenziati eccessi di ricoveri rispetto alla regione per malattie ereditarie e degenerative e altri disturbi del sistema nervoso centrale con un trend in crescita in maniera statisticamente significativa.

Al fine di supportare gli operatori sanitari dell'ASUR alla migliore comprensione del presente report e alla gestione delle evidenze rilevate con il presente studio, questo Osservatorio di Epidemiologia Ambientale ha inviato agli stessi una nota generale in cui sono segnalati riferimenti bibliografici, indicazioni e limiti degli studi epidemiologici descrittivi ed alcuni suggerimenti per le azioni di approfondimento e di sorveglianza degli eventi di maggiore interesse.

Si torna a ribadire infine che lo scopo del presente studio è solo quello di contribuire alla conoscenza dello stato di salute della popolazione in esame per valutare con maggiori informazioni l'opportunità o meno di intervenire sulle pressioni ambientali presenti e future **nell'area e/o di fornire ipotesi di lavoro per ulteriori accertamenti epidemiologico-sanitari** con strumenti orientati al riconoscimento delle specifiche causalità.

BIBLIOGRAFIA

1. Pirastu R, Iavarone I, Pasetto R, Zona A, Comba P. SENTIERI -Studio epidemiologico nazionale dei territori e degli insediamenti esposti a rischio da inquinamento: mortalità, incidenza oncologica e ricoveri ospedalieri. *Epidemiologia & Prevenzione*. 2011 Settembre-dicembre; 35(5-6).
2. Caranci N, Biggeri A, Grisotto L, Pacelli B, Spadea T, Costa G. L'indice di deprivazione italiano a livello di sezione di censimento: definizione, descrizione e associazione con la mortalità 167-176. *Epidemiol Prev*. 2010 luglio-agosto; 34 (4)(167-176).
3. Besag J, York J, Mollié A. Bayesian image restoration with applications in spatial statistics; 1991.
4. Kulldorff M. A spatial scan statistic. *Communications in Statistics: Theory and Methods*. 1997; 26(1481-1496).
5. Kulldorff M, Huang L, Pickle L, Duczmal L. An elliptic spatial scan statistics. *Statistics in Medicine*. 2006; 25(3929-3943).
6. Kim H, Fay M, Feuer E, Midthune D. Permutation tests for joinpoint regression with applications to cancer rates. *Stat Med*. 2000; 19(335-51).
7. Pagano M, Gauvreau K. Principle of biostatistics: Duxbury Press; 1993.
8. Lawson A. Statistical Methods in spatial epidemiology: John Wiley&Sons; 2001.
9. Comba P, Bianchi F, Iavarone I, Pirastu R. Impatto sulla salute dei siti inquinati: metodi e strumenti per la ricerca e le valutazioni. Rapporto ISTISAN 07/50. Roma: Istituto Superiore di Sanita'; 2007. Report No.: ISSN 1123-3117.
10. Di Biagio K, Baldini M, Bartolacci S, Simeoni R, Mariottini M. www.arpa.marche.it. [Online].; 2013 [cited 2015 marzo 30. Available from: <http://www.arpa.marche.it/index.php/temi-ambientali/epidemiologia-ambientale/item/507-epi-2013-pvalue/>.















APPENDICE 1. RISULTATI MORTALITÀ















Anni 2006 – 2011
Confronto Regione Marche















Tabella 15. Mortalità per causa nel comune di Cerreto d'Esì, tutte le età - Anni 2006-2011, confronto Regione Marche.

Cerreto d'Esì													
Causa di morte (ICD-X)	Genere	Osservati	Attesi	n. cluster sign.	SIR cluster	Tasso std. * 100000 (ic)	SIR (ic)	BIR (ic)	SIR sign.	BIR sign.	Trend	Livello attenzione	
Mortalità generale (escluse cause violente) (A00-R99)	F	83	99	.	.	858 (705-1039)	84 (70-101)	95 (89-100)			→	0	
Mortalità generale (escluse cause violente) (A00-R99)	M	102	97	.	.	1029 (865-1216)	105 (90-124)	102 (92-109)			→	0	
Mortalità generale (escluse cause violente) (A00-R99)	M + F	185	196	.	.	941 (828-1068)	95 (84-107)	98 (92-105)			→	0	
Mortalità per cause esterne o violente (S00-Y99)	F	<5	<5	.	.	12 (2-56)	59 (19-177)	92 (62-125)			n.c.	0	
Mortalità per cause esterne o violente (S00-Y99)	M	13	6	1	123.6	114 (67-185)	228 (145-358)	115 (97-144)	↑		↘	2	
Mortalità per cause esterne o violente (S00-Y99)	M + F	15	9	.	.	62 (38-100)	164 (108-250)	111 (88-147)	↑		↘	2	
Malattie infettive (A00-B99)	F	<5	<5	.	.	31 (8-87)	212 (85-530)	112 (74-187)			n.c.	0	
Malattie infettive (A00-B99)	M	<5	<5	1	120.6	22 (4-70)	135 (45-408)	100 (61-144)			n.c.	2	
Malattie infettive (A00-B99)	M + F	5	3	.	.	27 (10-59)	173 (84-354)	114 (73-165)			n.c.	0	
Tumori maligni delle vie aeree e digestive superiori (C00-C15, C32)	F	<5	<5	.	.	11 (1-59)	329 (73-1475)	108 (67-161)			n.c.	0	
Tumori maligni delle vie aeree e digestive superiori (C00-C15, C32)	M	<5	<5	.	.	19 (3-64)	169 (56-512)	96 (74-140)			n.c.	0	
Tumori maligni delle vie aeree e digestive superiori (C00-C15, C32)	M + F	<5	<5	.	.	15 (4-43)	202 (81-506)	101 (72-142)			n.c.	0	
Tumori maligni (C00-C97)	F	13	23	.	.	129 (75-212)	58 (37-91)	96 (84-108)	↓		→	0	















Cerreto d'Esi												
Causa di morte (ICD-X)	Genere	Osservati	Attesi	n. cluster sign.	SIR cluster	Tasso std. * 100000 (ic)	SIR (ic)	BIR (ic)	SIR sign.	BIR sign.	Trend	Livello attenzione
Tumori maligni (C00-C97)	M	39	32	1	104.3	409 (307-535)	122 (94-159)	103 (91-114)			→	2 😊
Tumori maligni (C00-C97)	M + F	52	54	.	.	265 (207-337)	96 (76-120)	99 (88-108)			↘	0 😐
Tumori maligni esofago (C15)	F	0	0	.	.	0 (0-40)	0 (.-)	91 (40-160)	↓		n.c.	0 😐
Tumori maligni esofago (C15)	M	<5	<5	.	.	9 (0-49)	287 (64-1287)	86 (25-163)			n.c.	0 😐
Tumori maligni esofago (C15)	M + F	<5	<5	.	.	5 (0-27)	224 (50-1005)	86 (55-129)			n.c.	0 😐
Tumori maligni dello stomaco (C16)	F	<5	<5	1	120.6	11 (1-59)	53 (12-239)	101 (75-138)			n.c.	2 😊
Tumori maligni dello stomaco (C16)	M	<5	<5	1	152.2	44 (15-102)	153 (68-340)	119 (79-186)			n.c.	2 😊
Tumori maligni dello stomaco (C16)	M + F	5	5	1	140.4	27 (11-60)	111 (54-228)	120 (73-170)			n.c.	2 😊
Tumori maligni intestino tenue compreso il duodeno (C17)	F	0	0	.	.	0 (0-40)	0 (.-)	66 (20-183)	↓		n.c.	0 😐
Tumori maligni intestino tenue compreso il duodeno (C17)	M	0	0	.	.	0 (0-34)	0 (.-)	63 (24-195)	↓		n.c.	0 😐
Tumori maligni intestino tenue compreso il duodeno (C17)	M + F	0	0	.	.	0 (0-21)	0 (.-)	47 (16-123)	↓		n.c.	0 😐
Tumori maligni del colon (C18)	F	<5	<5	.	.	11 (1-59)	45 (10-200)	99 (77-128)			n.c.	0 😐
Tumori maligni del colon (C18)	M	5	3	.	.	52 (21-111)	172 (84-353)	115 (83-146)			n.c.	0 😐
Tumori maligni del colon (C18)	M + F	6	5	1	108.7	31 (14-65)	116 (60-225)	100 (86-123)			n.c.	2 😊















Cerreto d'Esi												
Causa di morte (ICD-X)	Genere	Osservati	Attesi	n. cluster sign.	SIR cluster	Tasso std. * 100000 (ic)	SIR (ic)	BIR (ic)	SIR sign.	BIR sign.	Trend	Livello attenzione
Tumori maligni del retto della giunzione retto-sigmoidea e ano (C19-C21)	F	0	<5	.	.	0 (0-40)	0 (.-)	96 (66-143)	↓		n.c.	0 
Tumori maligni del retto della giunzione retto-sigmoidea e ano (C19-C21)	M	0	<5	1	132.0	0 (0-34)	0 (.-)	87 (41-155)	↓		n.c.	2 
Tumori maligni del retto della giunzione retto-sigmoidea e ano (C19-C21)	M + F	0	<5	1	124.1	0 (0-21)	0 (.-)	89 (52-133)	↓		n.c.	2 
Tumore fegato e dotti biliari (C22)	F	0	<5	.	.	0 (0-40)	0 (.-)	104 (59-139)	↓		n.c.	0 
Tumore fegato e dotti biliari (C22)	M	<5	<5	1	142.9	22 (4-70)	154 (51-465)	118 (84-169)			n.c.	2 
Tumore fegato e dotti biliari (C22)	M + F	<5	<5	1	124.1	11 (2-37)	106 (35-321)	107 (70-169)			n.c.	2 
Tumori maligni del pancreas (C25)	F	<5	<5	.	.	18 (3-66)	124 (41-375)	112 (74-149)			n.c.	0 
Tumori maligni del pancreas (C25)	M	<5	<5	.	.	43 (15-99)	226 (102-504)	117 (76-172)	↑		n.c.	2 
Tumori maligni del pancreas (C25)	M + F	6	3	.	.	30 (13-63)	178 (92-344)	104 (87-131)			n.c.	0 
Tumore del retroperitoneo (C48)	F	0	0	.	.	0 (0-40)	0 (.-)	74 (23-252)	↓		n.c.	0 
Tumore del retroperitoneo (C48)	M	0	0	.	.	0 (0-34)	0 (.-)	72 (41-175)	↓		n.c.	0 
Tumore del retroperitoneo (C48)	M + F	0	0	.	.	0 (0-21)	0 (.-)	78 (18-204)	↓		n.c.	0 
Tumori maligni della laringe (C32)	F	0	0	.	.	0 (0-40)	0 (.-)	108 (53-300)	↓		n.c.	0 
Tumori maligni della laringe (C32)	M	<5	<5	.	.	10 (1-50)	244 (54-1095)	111 (69-168)			n.c.	0 






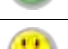








Cerreto d'Esi				n. cluster sign.	SIR cluster	Tasso std. * 100000 (ic)	SIR (ic)	BIR (ic)	SIR sign.	BIR sign.	Trend	Livello attenzione
Causa di morte (ICD-X)	Genere	Osservati	Attesi									
Tumori maligni della laringe (C32)	M + F	<5	<5	.	.	5 (0-28)	229 (51-1025)	121 (68-189)			n.c.	0 
Tumori maligni della trachea dei bronchi e dei polmoni (C33-C34)	F	<5	<5	.	.	13 (1-62)	46 (10-208)	90 (57-128)			n.c.	0 
Tumori maligni della trachea dei bronchi e dei polmoni (C33-C34)	M	10	8	.	.	101 (55-173)	125 (75-210)	97 (81-116)			→	0 
Tumori maligni della trachea dei bronchi e dei polmoni (C33-C34)	M + F	11	10	.	.	56 (31-95)	109 (66-178)	101 (85-125)			→	0 
Mesotelioma (pleura, peritoneo, endocardio, ecc.) (C45)	F	0	0	.	.	0 (0-40)	0 (.-)	68 (25-164)	↓		n.c.	0 
Mesotelioma (pleura, peritoneo, endocardio, ecc.) (C45)	M	<5	<5	.	.	11 (1-52)	347 (77-1555)	70 (24-196)			n.c.	0 
Mesotelioma (pleura, peritoneo, endocardio, ecc.) (C45)	M + F	<5	<5	.	.	5 (0-29)	264 (59-1184)	104 (62-199)			n.c.	0 
Tumori maligni delle ossa e della cartilagine articolare (C40-C41)	F	0	0	.	.	0 (0-40)	0 (.-)	88 (46-178)	↓		n.c.	0 
Tumori maligni delle ossa e della cartilagine articolare (C40-C41)	M	0	0	.	.	0 (0-34)	0 (.-)	78 (33-282)	↓		n.c.	0 
Tumori maligni delle ossa e della cartilagine articolare (C40-C41)	M + F	0	0	.	.	0 (0-21)	0 (.-)	110 (61-173)	↓		n.c.	0 
Tumori maligni del connettivo e di altri tessuti molli (C49)	F	0	0	.	.	0 (0-40)	0 (.-)	88 (42-152)	↓		n.c.	0 
Tumori maligni del connettivo e di altri tessuti molli (C49)	M	0	0	.	.	0 (0-34)	0 (.-)	109 (45-351)	↓		n.c.	0 
Tumori maligni del connettivo e di altri tessuti molli (C49)	M + F	0	0	.	.	0 (0-21)	0 (.-)	124 (46-220)	↓		n.c.	0 
Melanoma maligno della pelle (C43)	F	0	0	.	.	0 (0-40)	0 (.-)	102 (39-298)	↓		n.c.	0 















Cerreto d'Esi												
Causa di morte (ICD-X)	Genere	Osservati	Attesi	n. cluster sign.	SIR cluster	Tasso std. * 100000 (ic)	SIR (ic)	BIR (ic)	SIR sign.	BIR sign.	Trend	Livello attenzione
Melanoma maligno della pelle (C43)	M	0	0	.	.	0 (0-34)	0 (.-)	63 (37-164)	↓		n.c.	0 
Melanoma maligno della pelle (C43)	M + F	0	1	.	.	0 (0-21)	0 (.-)	99 (62-164)	↓		n.c.	0 
Tumori maligni della mammella (C50)	F	<5	<5	.	.	14 (2-59)	55 (18-165)	94 (78-115)			n.c.	0 
Tumori maligni utero (C53-C55)	F	0	1	.	.	0 (0-40)	0 (.-)	85 (59-128)	↓		n.c.	0 
Tumori maligni del corpo dell'utero (C54)	F	0	0	.	.	0 (0-40)	0 (.-)	88 (29-213)	↓		n.c.	0 
Tumori maligni ovaio e degli altri annessi uterini (C56-C57)	F	0	1	.	.	0 (0-40)	0 (.-)	94 (63-129)	↓		n.c.	0 
Tumore della prostata (C61)	M	<5	<5	.	.	31 (8-82)	111 (44-278)	86 (65-122)			n.c.	0 
Tumore del testicolo (C62)	M	0	0	.	.	0 (0-34)	0 (.-)	66 (11-303)	↓		n.c.	0 
Tumori maligni della vescica (C67)	F	0	0	.	.	0 (0-40)	0 (.-)	90 (46-202)	↓		n.c.	0 
Tumori maligni della vescica (C67)	M	0	2	.	.	0 (0-34)	0 (.-)	93 (70-124)	↓		n.c.	0 
Tumori maligni della vescica (C67)	M + F	0	2	.	.	0 (0-21)	0 (.-)	100 (76-120)	↓		n.c.	0 
Tumori maligni del rene e di altri e non specificati organi urinari (C64)	F	0	1	.	.	0 (0-40)	0 (.-)	84 (56-131)	↓		n.c.	0 
Tumori maligni del rene e di altri e non specificati organi urinari (C64)	M	0	1	.	.	0 (0-34)	0 (.-)	98 (70-145)	↓		n.c.	0 
Tumori maligni del rene e di altri e non specificati organi urinari (C64)	M + F	0	2	.	.	0 (0-21)	0 (.-)	94 (68-124)	↓		n.c.	0 















Cerreto d'Esi												
Causa di morte (ICD-X)	Genere	Osservati	Attesi	n. cluster sign.	SIR cluster	Tasso std. * 100000 (ic)	SIR (ic)	BIR (ic)	SIR sign.	BIR sign.	Trend	Livello attenzione
tumore del sistema nervoso centrale (C70-C72,D33)	F	<5	<5	.	.	13 (1-62)	214 (48-959)	111 (82-159)			n.c.	0
tumore del sistema nervoso centrale (C70-C72,D33)	M	0	1	.	.	0 (0-34)	0 (.-)	99 (63-131)	↓		n.c.	0
tumore del sistema nervoso centrale (C70-C72,D33)	M + F	<5	<5	.	.	6 (0-32)	80 (18-357)	97 (67-132)			n.c.	0
Tumori maligni encefalo (C71)	F	<5	<5	.	.	13 (1-62)	225 (50-1009)	106 (71-171)			n.c.	0
Tumori maligni encefalo (C71)	M	0	1	.	.	0 (0-34)	0 (.-)	79 (35-138)	↓		n.c.	0
Tumori maligni encefalo (C71)	M + F	<5	<5	.	.	6 (0-32)	83 (18-370)	85 (59-134)			n.c.	0
Tumori maligni della ghiandola tiroide (C73)	F	0	0	.	.	0 (0-40)	0 (.-)	77 (23-237)	↓		n.c.	0
Tumori maligni della ghiandola tiroide (C73)	M	<5	<5	.	.	11 (1-52)	1530 (341-)	108 (48-290)	↑		n.c.	2
Tumori maligni della ghiandola tiroide (C73)	M + F	<5	<5	.	.	5 (0-29)	621 (139-)	102 (60-223)	↑		n.c.	2
Tumori emolinfopoietici (C81-C96)	F	<5	<5	.	.	20 (3-70)	95 (31-286)	106 (79-140)			n.c.	0
Tumori emolinfopoietici (C81-C96)	M	<5	<5	.	.	32 (9-84)	109 (44-273)	90 (68-110)			n.c.	0
Tumori emolinfopoietici (C81-C96)	M + F	5	5	.	.	26 (10-57)	103 (50-211)	101 (87-113)			n.c.	0
Malattia di Hodgkin (C81)	F	0	0	.	.	0 (0-40)	0 (.-)	71 (30-163)	↓		n.c.	0
Malattia di Hodgkin (C81)	M	0	0	.	.	0 (0-34)	0 (.-)	71 (23-135)	↓		n.c.	0















Cerreto d'Esì												
Causa di morte (ICD-X)	Genere	Osservati	Attesi	n. cluster sign.	SIR cluster	Tasso std. * 100000 (ic)	SIR (ic)	BIR (ic)	SIR sign.	BIR sign.	Trend	Livello attenzione
Malattia di Hodgkin (C81)	M + F	0	0	.	.	0 (0-21)	0 (.-)	88 (26-313)	↓		n.c.	0 
Linfoma non Hodgkin (C82-C85)	F	<5	<5	.	.	8 (0-52)	137 (31-616)	115 (84-159)			n.c.	0 
Linfoma non Hodgkin (C82-C85)	M	0	1	.	.	0 (0-34)	0 (.-)	77 (40-130)	↓		n.c.	0 
Linfoma non Hodgkin (C82-C85)	M + F	<5	<5	.	.	4 (0-27)	60 (13-267)	96 (69-130)			n.c.	0 
Mieloma multiplo e tumori immunoproliferativi (C88, C90)	F	0	1	.	.	0 (0-40)	0 (.-)	110 (78-144)	↓		n.c.	0 
Mieloma multiplo e tumori immunoproliferativi (C88, C90)	M	<5	<5	.	.	11 (1-52)	172 (38-770)	84 (62-122)			n.c.	0 
Mieloma multiplo e tumori immunoproliferativi (C88, C90)	M + F	<5	<5	.	.	5 (0-29)	95 (21-427)	98 (68-137)			n.c.	0 
Leucemie (C91-C95)	F	<5	<5	.	.	11 (1-59)	116 (26-521)	105 (76-145)			n.c.	0 
Leucemie (C91-C95)	M	<5	<5	.	.	22 (4-69)	174 (58-526)	97 (59-144)			n.c.	0 
Leucemie (C91-C95)	M + F	<5	<5	.	.	16 (4-45)	149 (60-374)	94 (79-129)			n.c.	0 
Leucemia linfoide (acuta e cronica) (C91)	F	0	0	.	.	0 (0-40)	0 (.-)	89 (41-166)	↓		n.c.	0 
Leucemia linfoide (acuta e cronica) (C91)	M	0	0	.	.	0 (0-34)	0 (.-)	76 (39-125)	↓		n.c.	0 
Leucemia linfoide (acuta e cronica) (C91)	M + F	0	1	.	.	0 (0-21)	0 (.-)	88 (49-124)	↓		n.c.	0 
Leucemia mieloide (acuta e cronica) (C92)	F	0	0	.	.	0 (0-40)	0 (.-)	92 (68-195)	↓		n.c.	0 














Cerreto d'Esi												
Causa di morte (ICD-X)	Genere	Osservati	Attesi	n. cluster sign.	SIR cluster	Tasso std. * 100000 (ic)	SIR (ic)	BIR (ic)	SIR sign.	BIR sign.	Trend	Livello attenzione
Leucemia mieloide (acuta e cronica) (C92)	M	<5	<5	.	.	10 (1-51)	198 (44-887)	96 (61-179)			n.c.	0 
Leucemia mieloide (acuta e cronica) (C92)	M + F	<5	<5	.	.	5 (0-28)	111 (25-499)	95 (67-118)			n.c.	0 
Malattie del sangue e degli organi emopoietici (D50-D77)	F	0	1	.	.	0 (0-40)	0 (.-.)	72 (38-194)	↓		n.c.	0 
Malattie del sangue e degli organi emopoietici (D50-D77)	M	0	0	.	.	0 (0-34)	0 (.-.)	83 (25-164)	↓		n.c.	0 
Malattie del sangue e degli organi emopoietici (D50-D77)	M + F	0	1	.	.	0 (0-21)	0 (.-.)	82 (46-127)	↓		n.c.	0 
Malattie endocrine della nutrizione ed immunitarie (E00-E90, D80-D89)	F	<5	<5	.	.	23 (4-77)	47 (15-142)	94 (74-120)			n.c.	0 
Malattie endocrine della nutrizione ed immunitarie (E00-E90, D80-D89)	M	<5	<5	.	.	31 (8-82)	87 (35-218)	99 (74-136)			n.c.	0 
Malattie endocrine della nutrizione ed immunitarie (E00-E90, D80-D89)	M + F	5	8	.	.	27 (10-59)	65 (32-133)	92 (68-121)			n.c.	0 
Tireotossicosi (E05)	F	0	0	.	.	0 (0-40)	0 (.-.)	113 (40-227)	↓		n.c.	0 
Tireotossicosi (E05)	M	0	0	.	.	0 (0-34)	0 (.-.)	63 (18-179)	↓		n.c.	0 
Tireotossicosi (E05)	M + F	0	0	.	.	0 (0-21)	0 (.-.)	134 (15-631)	↓		n.c.	0 
Ipotiroidismo (E00-E03)	F	0	0	.	.	0 (0-40)	0 (.-.)	97 (24-303)	↓		n.c.	0 
Ipotiroidismo (E00-E03)	M	0	0	.	.	0 (0-34)	0 (.-.)	56 (7-283)	↓		n.c.	0 
Ipotiroidismo (E00-E03)	M + F	0	0	.	.	0 (0-21)	0 (.-.)	65 (28-200)	↓		n.c.	0 

Cerreto d'Esi												
Causa di morte (ICD-X)	Genere	Osservati	Attesi	n. cluster sign.	SIR cluster	Tasso std. * 100000 (ic)	SIR (ic)	BIR (ic)	SIR sign.	BIR sign.	Trend	Livello attenzione
Diabete mellito (E10-E14)	F	<5	<5	.	.	23 (4-77)	63 (21-192)	99 (77-121)			n.c.	0 
Diabete mellito (E10-E14)	M	<5	<5	.	.	31 (8-82)	117 (47-292)	112 (80-165)			n.c.	0 
Diabete mellito (E10-E14)	M + F	5	6	.	.	27 (10-59)	87 (42-179)	96 (67-127)			n.c.	0 
Demenze (F00-F01, F02.0-F02.3, F03, G30, G31.0)	F	9	6	.	.	110 (57-195)	162 (94-278)	128 (87-178)			n.c.	0 
Demenze (F00-F01, F02.0-F02.3, F03, G30, G31.0)	M	5	3	.	.	52 (20-111)	165 (80-339)	113 (74-157)			n.c.	0 
Demenze (F00-F01, F02.0-F02.3, F03, G30, G31.0)	M + F	14	9	1	122.0	82 (49-130)	163 (105-252)	124 (90-178)	↑		↗	3 
Malattie neuro-psichiatriche (escluse tossicod.) (F00-F09, F20-F99)	F	<5	<5	1	141.9	36 (10-96)	90 (36-224)	105 (62-167)			n.c.	2 
Malattie neuro-psichiatriche (escluse tossicod.) (F00-F09, F20-F99)	M	<5	<5	1	146.5	19 (3-63)	115 (38-346)	104 (75-181)			n.c.	2 
Malattie neuro-psichiatriche (escluse tossicod.) (F00-F09, F20-F99)	M + F	5	5	1	144.4	28 (11-61)	98 (48-202)	111 (71-176)			n.c.	2 
Malattie del sistema nervoso e degli organi di senso (G00-H95)	F	8	5	.	.	99 (49-181)	168 (95-298)	111 (78-157)			n.c.	0 
Malattie del sistema nervoso e degli organi di senso (G00-H95)	M	6	4	.	.	63 (28-126)	155 (80-300)	98 (67-150)			n.c.	0 
Malattie del sistema nervoso e degli organi di senso (G00-H95)	M + F	14	9	.	.	82 (49-130)	162 (105-251)	107 (80-151)	↑		n.c.	2 
Morbo di Parkinson (G20)	F	<5	<5	1	124.8	13 (1-63)	152 (34-683)	102 (69-144)			n.c.	2 
Morbo di Parkinson (G20)	M	0	1	.	.	0 (0-34)	0 (.-.)	84 (54-124)	↓		n.c.	0 

Cerreto d'Esi												
Causa di morte (ICD-X)	Genere	Osservati	Attesi	n. cluster sign.	SIR cluster	Tasso std. * 100000 (ic)	SIR (ic)	BIR (ic)	SIR sign.	BIR sign.	Trend	Livello attenzione
Morbo di Parkinson (G20)	M + F	<5	<5	.	.	7 (0-33)	67 (15-302)	84 (58-125)			n.c.	0 
Malattia di Alzheimer (G30)	F	6	2	.	.	74 (32-149)	254 (132-492)	132 (75-242)	↑		n.c.	2 
Malattia di Alzheimer (G30)	M	<5	<5	.	.	42 (14-97)	282 (127-628)	128 (58-228)	↑		n.c.	2 
Malattia di Alzheimer (G30)	M + F	10	4	.	.	58 (31-101)	265 (158-443)	154 (94-224)	↑		n.c.	2 
Malattia dei neuroni motori (G122)	F	0	0	.	.	0 (0-40)	0 (.-)	35 (8-147)	↓		n.c.	0 
Malattia dei neuroni motori (G122)	M	0	0	.	.	0 (0-34)	0 (.-)	124 (55-234)	↓		n.c.	0 
Malattia dei neuroni motori (G122)	M + F	0	1	.	.	0 (0-21)	0 (.-)	61 (22-162)	↓		n.c.	0 
Sclerosi multipla (G35)	F	0	0	.	.	0 (0-40)	0 (.-)	74 (35-161)	↓		n.c.	0 
Sclerosi multipla (G35)	M	0	0	.	.	0 (0-34)	0 (.-)	79 (17-661)	↓		n.c.	0 
Sclerosi multipla (G35)	M + F	0	0	.	.	0 (0-21)	0 (.-)	89 (43-156)	↓		n.c.	0 
Malattie apparato circolatorio (I00-I99)	F	41	47	.	.	398 (298-526)	88 (68-114)	96 (82-114)			→	0 
Malattie apparato circolatorio (I00-I99)	M	31	37	.	.	306 (221-415)	83 (62-112)	93 (81-115)			→	0 
Malattie apparato circolatorio (I00-I99)	M + F	72	84	.	.	353 (286-434)	86 (71-104)	92 (79-104)			→	0 
Malattie ischemiche del cuore (I20-I25)	F	16	15	.	.	153 (94-241)	105 (70-158)	106 (76-129)			n.c.	0 

Cerreto d'Esi												
Causa di morte (ICD-X)	Genere	Osservati	Attesi	n. cluster sign.	SIR cluster	Tasso std. * 100000 (ic)	SIR (ic)	BIR (ic)	SIR sign.	BIR sign.	Trend	Livello attenzione
Malattie ischemiche del cuore (I20-I25)	M	17	15	.	.	166 (105-252)	112 (75-166)	112 (82-139)			→	0 
Malattie ischemiche del cuore (I20-I25)	M + F	33	31	1	112.8	159 (116-217)	108 (81-144)	112 (93-133)			→	2 
Infarto miocardico acuto (I21-I22)	F	7	4	1	154.1	76 (35-149)	163 (88-300)	129 (83-202)			n.c.	2 
Infarto miocardico acuto (I21-I22)	M	11	6	.	.	103 (58-174)	194 (119-317)	122 (92-160)	↑		n.c.	2 
Infarto miocardico acuto (I21-I22)	M + F	18	10	.	.	89 (57-136)	180 (123-265)	134 (100-194)	↑	↑	n.c.	4 
Malattie cerebrovascolari (I60-I69)	F	11	13	.	.	96 (53-168)	83 (51-136)	87 (67-102)			n.c.	0 
Malattie cerebrovascolari (I60-I69)	M	5	10	.	.	51 (20-110)	52 (25-107)	91 (65-111)			n.c.	0 
Malattie cerebrovascolari (I60-I69)	M + F	16	23	.	.	74 (46-117)	70 (47-105)	83 (65-102)			→	0 
Malattie apparato respiratorio (J00-J99)	F	7	6	.	.	78 (36-150)	127 (69-234)	104 (87-133)			n.c.	0 
Malattie apparato respiratorio (J00-J99)	M	10	8	.	.	94 (49-166)	129 (77-216)	110 (90-129)			n.c.	0 
Malattie apparato respiratorio (J00-J99)	M + F	17	13	.	.	86 (54-133)	128 (86-191)	118 (92-148)			→	0 
Malattie respiratorie acute (J00-J06, J10-J18, J20-J22)	F	0	2	.	.	0 (0-40)	0 (.-.)	69 (38-124)	↓		n.c.	0 
Malattie respiratorie acute (J00-J06, J10-J18, J20-J22)	M	<5	<5	.	.	21 (4-68)	121 (40-366)	96 (73-128)			n.c.	0 
Malattie respiratorie acute (J00-J06, J10-J18, J20-J22)	M + F	<5	<5	.	.	10 (2-36)	60 (20-181)	79 (45-143)			n.c.	0 

Cerreto d'Esi				n. cluster sign.	SIR cluster	Tasso std. * 100000 (ic)	SIR (ic)	BIR (ic)	SIR sign.	BIR sign.	Trend	Livello attenzione
Causa di morte (ICD-X)	Genere	Osservati	Attesi									
Malattie croniche apparato respiratorio (BCPO) (J41-J44, J47)	F	<5	<5	1	135.2	33 (9-90)	132 (53-331)	124 (89-208)			n.c.	2 
Malattie croniche apparato respiratorio (BCPO) (J41-J44, J47)	M	5	4	1	131.5	42 (14-97)	121 (59-248)	113 (75-156)			n.c.	2 
Malattie croniche apparato respiratorio (BCPO) (J41-J44, J47)	M + F	8	6	1	127.9	37 (17-73)	125 (70-221)	118 (89-175)			n.c.	2 
Asma (J45)	F	0	0	.	.	0 (0-40)	0 (.-.)	78 (18-276)	↓		n.c.	0 
Asma (J45)	M	0	0	.	.	0 (0-34)	0 (.-.)	93 (29-312)	↓		n.c.	0 
Asma (J45)	M + F	0	0	.	.	0 (0-21)	0 (.-.)	85 (27-266)	↓		n.c.	0 
Pneumoconiosi (J60-J64)	M	0	0	.	.	0 (0-34)	0 (.-.)	91 (12-660)	↓		n.c.	0 
Pneumoconiosi (J60-J64)	M + F	0	0	.	.	0 (0-21)	0 (.-.)	91 (12-660)	↓		n.c.	0 
Malattie apparato digerente (K00-K93)	F	<5	<5	.	.	45 (15-107)	110 (49-244)	95 (77-119)			n.c.	0 
Malattie apparato digerente (K00-K93)	M	<5	<5	.	.	30 (8-81)	81 (32-203)	93 (76-114)			n.c.	0 
Malattie apparato digerente (K00-K93)	M + F	7	7	.	.	38 (18-74)	95 (52-176)	94 (75-114)			n.c.	0 
Cirrosi e altre malattie croniche del fegato (K70, K73-K74)	F	<5	<5	.	.	20 (4-70)	341 (113-	99 (61-183)	↑		n.c.	2 
Cirrosi e altre malattie croniche del fegato (K70, K73-K74)	M	<5	<5	.	.	9 (0-49)	86 (19-386)	89 (63-125)			n.c.	0 
Cirrosi e altre malattie croniche del fegato (K70, K73-K74)	M + F	<5	<5	.	.	15 (4-42)	172 (69-430)	98 (69-137)			n.c.	0 

Cerreto d'Esi												
Causa di morte (ICD-X)	Genere	Osservati	Attesi	n. cluster sign.	SIR cluster	Tasso std. * 100000 (ic)	SIR (ic)	BIR (ic)	SIR sign.	BIR sign.	Trend	Livello attenzione
Nefropatie croniche e acute (N00-N12)	F	0	0	.	.	0 (0-40)	0 (.-.)	27 (3-224)	↓		n.c.	0 
Nefropatie croniche e acute (N00-N12)	M	0	0	.	.	0 (0-34)	0 (.-.)	71 (16-355)	↓		n.c.	0 
Nefropatie croniche e acute (N00-N12)	M + F	0	0	.	.	0 (0-21)	0 (.-.)	105 (50-241)	↓		n.c.	0 
Malattie apparato genito-urinario (N00-N99)	F	0	2	.	.	0 (0-40)	0 (.-.)	94 (62-125)	↓		n.c.	0 
Malattie apparato genito-urinario (N00-N99)	M	<5	<5	.	.	28 (7-76)	160 (64-401)	131 (79-192)			n.c.	0 
Malattie apparato genito-urinario (N00-N99)	M + F	<5	<5	.	.	14 (4-40)	79 (32-198)	99 (72-143)			n.c.	0 
Insufficienza renale acuta e cronica (N17-N19)	F	0	2	.	.	0 (0-40)	0 (.-.)	94 (68-135)	↓		n.c.	0 
Insufficienza renale acuta e cronica (N17-N19)	M	<5	<5	.	.	28 (7-76)	200 (80-500)	123 (74-182)			n.c.	0 
Insufficienza renale acuta e cronica (N17-N19)	M + F	<5	<5	1	111.0	14 (4-40)	98 (39-246)	106 (67-156)			n.c.	2 
Sintomi, segni e stati morbosi mal definiti (R00-R99)	F	0	2	.	.	0 (0-40)	0 (.-.)	19 (5-66)	↓	↓	n.c.	0 
Sintomi, segni e stati morbosi mal definiti (R00-R99)	M	<5	<5	.	.	7 (0-43)	149 (33-668)	54 (10-163)			n.c.	0 
Sintomi, segni e stati morbosi mal definiti (R00-R99)	M + F	<5	<5	.	.	3 (0-25)	44 (10-198)	36 (12-111)			n.c.	0 
Traumatismi e avvelenamenti (S00-T98)	F	<5	<5	.	.	12 (2-56)	59 (19-177)	92 (62-125)			n.c.	0 

















Cerreto d'Esì												
Causa di morte (ICD-X)	Genere	Osservati	Attesi	n. cluster sign.	SIR cluster	Tasso std. * 100000 (ic)	SIR (ic)	BIR (ic)	SIR sign.	BIR sign.	Trend	Livello attenzione
Traumatismi e avvelenamenti (S00-T98)	M	13	6	1	123.6	114 (67-185)	228 (145-358)	115 (97-144)	↑		↓	2 
Traumatismi e avvelenamenti (S00-T98)	M + F	15	9	.	.	62 (38-100)	164 (108-250)	111 (88-147)	↑		↓	2 

Tabella 16. Mortalità per causa nel comune di Esanatoglia, tutte le età – Anni 2006-2011, confronto Regione Marche.















Esanatoglia				n. cluster sign.	SIR cluster	Tasso std. * 100000 (ic)	SIR (ic)	BIR (ic)	SIR sign.	BIR sign.	Trend	Livello attenzione
Causa di morte (ICD-X)	Genere	Osservati	Attesi									
Mortalità generale (escluse cause violente) (A00-R99)	F	96	72	.	.	1516 (1240-1941)	133 (113-158)	104 (95-116)	↑		→	2 😊
Mortalità generale (escluse cause violente) (A00-R99)	M	84	69	.	.	1326 (1095-1597)	122 (102-146)	106 (93-113)	↑		→	2 😊
Mortalità generale (escluse cause violente) (A00-R99)	M + F	180	141	.	.	1422 (1240-1676)	128 (113-144)	108 (99-118)	↑		↘	2 😊
Mortalità per cause esterne o violente (S00-Y99)	F	<5	<5	.	.	28 (5-296)	86 (29-261)	87 (62-136)			n.c.	0 😞
Mortalità per cause esterne o violente (S00-Y99)	M	<5	<5	1	123.6	17 (1-87)	25 (6-111)	114 (86-153)			n.c.	2 😊
Mortalità per cause esterne o violente (S00-Y99)	M + F	<5	>5	.	.	23 (6-159)	47 (19-118)	100 (81-129)			n.c.	0 😞
Malattie infettive (A00-B99)	F	<5	<5	.	.	44 (12-312)	243 (97-609)	123 (72-206)			n.c.	0 😞
Malattie infettive (A00-B99)	M	<5	<5	1	120.6	16 (1-86)	74 (16-330)	123 (85-198)			n.c.	2 😊
Malattie infettive (A00-B99)	M + F	<5	<5	.	.	30 (10-167)	154 (69-344)	132 (91-188)			n.c.	0 😞
Tumori maligni delle vie aeree e digestive superiori (C00-C15, C32)	F	0	0	.	.	0 (0-267)	0 (.-)	56 (24-136)	↓		n.c.	0 😞
Tumori maligni delle vie aeree e digestive superiori (C00-C15, C32)	M	0	1	.	.	0 (0-59)	0 (.-)	96 (54-140)	↓		n.c.	0 😞
Tumori maligni delle vie aeree e digestive superiori (C00-C15, C32)	M + F	0	1	.	.	0 (0-136)	0 (.-)	95 (61-139)	↓		n.c.	0 😞
Tumori maligni (C00-C97)	F	15	16	.	.	215 (133-496)	94 (62-144)	92 (78-102)			n.c.	0 😞















Esanatoglia												
Causa di morte (ICD-X)	Genere	Osservati	Attesi	n. cluster sign.	SIR cluster	Tasso std. * 100000 (ic)	SIR (ic)	BIR (ic)	SIR sign.	BIR sign.	Trend	Livello attenzione
Tumori maligni (C00-C97)	M	20	22	1	104.3	325 (215-477)	91 (63-132)	99 (89-110)			→	2 😊
Tumori maligni (C00-C97)	M + F	35	38	.	.	269 (199-427)	93 (70-122)	99 (84-106)			→	0 😬
Tumori maligni esofago (C15)	F	0	0	.	.	0 (0-267)	. (.-)	0 (0-0)			n.c.	0 😬
Tumori maligni esofago (C15)	M	0	0	.	.	0 (0-59)	0 (.-)	29 (8-102)	↓		n.c.	0 😬
Tumori maligni esofago (C15)	M + F	0	0	.	.	0 (0-136)	0 (.-)	29 (12-92)	↓	↓	n.c.	0 😬
Tumori maligni dello stomaco (C16)	F	<5	<5	1	120.6	15 (1-283)	55 (12-246)	129 (87-173)			n.c.	2 😊
Tumori maligni dello stomaco (C16)	M	<5	<5	1	152.2	16 (1-86)	50 (11-224)	118 (81-172)			n.c.	2 😊
Tumori maligni dello stomaco (C16)	M + F	<5	<5	1	140.4	16 (3-152)	52 (17-158)	105 (65-172)			n.c.	2 😊
Tumori maligni intestino tenue compreso il duodeno (C17)	F	0	0	.	.	0 (0-267)	0 (.-)	97 (31-604)	↓		n.c.	0 😬
Tumori maligni intestino tenue compreso il duodeno (C17)	M	0	0	.	.	0 (0-59)	0 (.-)	129 (39-494)	↓		n.c.	0 😬
Tumori maligni intestino tenue compreso il duodeno (C17)	M + F	0	0	.	.	0 (0-136)	0 (.-)	76 (14-402)	↓		n.c.	0 😬
Tumori maligni del colon (C18)	F	<5	<5	.	.	16 (1-284)	64 (14-285)	91 (67-131)			n.c.	0 😬
Tumori maligni del colon (C18)	M	<5	<5	.	.	20 (1-94)	63 (14-284)	81 (54-117)			n.c.	0 😬
Tumori maligni del colon (C18)	M + F	<5	<5	1	108.7	18 (3-155)	63 (21-192)	76 (61-117)			n.c.	2 😊

Esanatoglia												
Causa di morte (ICD-X)	Genere	Osservati	Attesi	n. cluster sign.	SIR cluster	Tasso std. * 100000 (ic)	SIR (ic)	BIR (ic)	SIR sign.	BIR sign.	Trend	Livello attenzione
Tumori maligni del retto della giunzione retto-sigmoidea e ano (C19-C21)	F	<5	<5	.	.	44 (12-313)	473 (189-1184)	122 (76-215)	↑		n.c.	2 😊
Tumori maligni del retto della giunzione retto-sigmoidea e ano (C19-C21)	M	0	1	1	132.0	0 (0-59)	0 (.-)	121 (52-246)	↓		n.c.	2 😊
Tumori maligni del retto della giunzione retto-sigmoidea e ano (C19-C21)	M + F	<5	<5	.	.	23 (6-159)	211 (85-529)	135 (74-232)			n.c.	0 😊
Tumore fegato e dotti biliari (C22)	F	<5	<0	.	.	15 (1-283)	310 (69-1389)	65 (33-191)			n.c.	0 😊
Tumore fegato e dotti biliari (C22)	M	<5	<5	1	142.9	49 (13-134)	345 (138-864)	117 (73-190)	↑		n.c.	3 😊
Tumore fegato e dotti biliari (C22)	M + F	<5	<5	.	.	32 (11-170)	336 (151-748)	106 (62-213)	↑		n.c.	2 😊
Tumori maligni del pancreas (C25)	F	0	1	.	.	0 (0-267)	0 (.-)	93 (52-156)	↓		n.c.	0 😊
Tumori maligni del pancreas (C25)	M	<5	<5	.	.	32 (6-108)	161 (53-486)	118 (64-190)			n.c.	0 😊
Tumori maligni del pancreas (C25)	M + F	<5	<5	.	.	16 (3-152)	77 (26-234)	109 (89-133)			n.c.	0 😊
Tumore del retroperitoneo (C48)	F	0	0	.	.	0 (0-267)	0 (.-)	30 (3-171)	↓		n.c.	0 😊
Tumore del retroperitoneo (C48)	M	0	0	.	.	0 (0-59)	.	0 (0-2)			n.c.	0 😊
Tumore del retroperitoneo (C48)	M + F	0	0	.	.	0 (0-136)	0 (.-)	22 (2-118)	↓		n.c.	0 😊
Tumori maligni della laringe (C32)	F	0	0	.	.	0 (0-267)	.	0 (0-0)			n.c.	0 😊
Tumori maligni della laringe (C32)	M	0	0	.	.	0 (0-59)	0 (.-)	51 (19-141)	↓		n.c.	0 😊















Esanatoglia				n. cluster sign.	SIR cluster	Tasso std. * 100000 (ic)	SIR (ic)	BIR (ic)	SIR sign.	BIR sign.	Trend	Livello attenzione
Causa di morte (ICD-X)	Genere	Osservati	Attesi									
Tumori maligni della laringe (C32)	M + F	0	0	.	.	0 (0-136)	0 (.-)	52 (22-134)	↓		n.c.	0 
Tumori maligni della trachea dei bronchi e dei polmoni (C33-C34)	F	<5	<5	.	.	27 (5-295)	128 (42-387)	98 (56-155)			n.c.	0 
Tumori maligni della trachea dei bronchi e dei polmoni (C33-C34)	M	6	6	.	.	95 (41-195)	96 (50-185)	114 (90-147)			n.c.	0 
Tumori maligni della trachea dei bronchi e dei polmoni (C33-C34)	M + F	8	8	.	.	61 (30-200)	102 (58-182)	109 (92-143)			n.c.	0 
Mesotelioma (pleura, peritoneo, endocardio, ecc.) (C45)	F	0	0	.	.	0 (0-267)	0 (.-)	27 (2-170)	↓		n.c.	0 
Mesotelioma (pleura, peritoneo, endocardio, ecc.) (C45)	M	0	0	.	.	0 (0-59)	0 (.-)	68 (27-210)	↓		n.c.	0 
Mesotelioma (pleura, peritoneo, endocardio, ecc.) (C45)	M + F	0	0	.	.	0 (0-136)	0 (.-)	62 (28-154)	↓		n.c.	0 
Tumori maligni delle ossa e della cartilagine articolare (C40-C41)	F	0	0	.	.	0 (0-267)	0 (.-)	56 (2-349)	↓		n.c.	0 
Tumori maligni delle ossa e della cartilagine articolare (C40-C41)	M	0	0	.	.	0 (0-59)	0 (.-)	164 (45-726)	↓		n.c.	0 
Tumori maligni delle ossa e della cartilagine articolare (C40-C41)	M + F	0	0	.	.	0 (0-136)	0 (.-)	113 (45-265)	↓		n.c.	0 
Tumori maligni del connettivo e di altri tessuti molli (C49)	F	0	0	.	.	0 (0-267)	0 (.-)	85 (20-220)	↓		n.c.	0 
Tumori maligni del connettivo e di altri tessuti molli (C49)	M	<5	<5	.	.	15 (1-83)	711 (159-3188)	167 (36-464)	↑		n.c.	2 
Tumori maligni del connettivo e di altri tessuti molli (C49)	M + F	<5	<5	.	.	8 (0-144)	393 (88-1760)	132 (33-336)			n.c.	0 
Melanoma maligno della pelle (C43)	F	<5	<5	.	.	13 (1-280)	532 (119-2386)	93 (37-374)	↑		n.c.	2 















Esanatoglia												
Causa di morte (ICD-X)	Genere	Osservati	Attesi	n. cluster sign.	SIR cluster	Tasso std. * 100000 (ic)	SIR (ic)	BIR (ic)	SIR sign.	BIR sign.	Trend	Livello attenzione
Melanoma maligno della pelle (C43)	M	<5	<5	.	.	15 (1-82)	565 (126-2534)	60 (22-153)	↑		n.c.	2 😊
Melanoma maligno della pelle (C43)	M + F	<5	<5	.	.	14 (2-150)	548 (181-1657)	99 (48-152)	↑		n.c.	2 😊
Tumori maligni della mammella (C50)	F	<5	<5	.	.	28 (5-297)	97 (32-294)	71 (52-87)		↓	n.c.	0 😞
Tumori maligni utero (C53-C55)	F	0	0	.	.	0 (0-267)	0 (.-)	51 (28-92)	↓	↓	n.c.	0 😞
Tumori maligni del corpo dell'utero (C54)	F	0	0	.	.	0 (0-267)	0 (.-)	80 (17-212)	↓		n.c.	0 😞
Tumori maligni ovaio e degli altri annessi uterini (C56-C57)	F	0	1	.	.	0 (0-267)	0 (.-)	63 (31-113)	↓		n.c.	0 😞
Tumore della prostata (C61)	M	<5	<5	.	.	31 (6-107)	122 (40-369)	72 (52-114)			n.c.	0 😞
Tumore del testicolo (C62)	M	0	0	.	.	0 (0-59)	.	0 (0-0)			n.c.	0 😞
Tumori maligni della vescica (C67)	F	0	0	.	.	0 (0-267)	0 (.-)	38 (12-118)	↓		n.c.	0 😞
Tumori maligni della vescica (C67)	M	<5	<5	.	.	16 (1-84)	121 (27-540)	88 (51-130)			n.c.	0 😞
Tumori maligni della vescica (C67)	M + F	<5	<5	.	.	8 (0-144)	108 (24-486)	79 (50-112)			n.c.	0 😞
Tumori maligni del rene e di altri e non specificati organi urinari (C64)	F	0	0	.	.	0 (0-267)	0 (.-)	82 (40-167)	↓		n.c.	0 😞
Tumori maligni del rene e di altri e non specificati organi urinari (C64)	M	0	1	.	.	0 (0-59)	0 (.-)	119 (69-198)	↓		n.c.	0 😞
Tumori maligni del rene e di altri e non specificati organi urinari (C64)	M + F	0	1	.	.	0 (0-136)	0 (.-)	101 (57-162)	↓		n.c.	0 😞

Esanatoglia	Genere	Osservati	Attesi	n. cluster sign.	SIR cluster	Tasso std. * 100000 (ic)	SIR (ic)	BIR (ic)	SIR sign.	BIR sign.	Trend	Livello attenzione
tumore del sistema nervoso centrale (C70-C72,D33)	F	<5	<5	.	.	28 (5-297)	370 (123-1119)	165 (106-329)	↑	↑	n.c.	4 
tumore del sistema nervoso centrale (C70-C72,D33)	M	0	0	.	.	0 (0-59)	0 (.-)	73 (37-145)	↓		n.c.	0 
tumore del sistema nervoso centrale (C70-C72,D33)	M + F	<5	<5	.	.	14 (3-151)	210 (70-636)	109 (60-177)			n.c.	0 
Tumori maligni encefalo (C71)	F	<5	<5	.	.	28 (5-297)	398 (132-1201)	153 (92-325)	↑		n.c.	2 
Tumori maligni encefalo (C71)	M	0	0	.	.	0 (0-59)	0 (.-)	62 (28-144)	↓		n.c.	0 
Tumori maligni encefalo (C71)	M + F	<5	<5	.	.	14 (3-151)	219 (72-661)	99 (63-171)			n.c.	0 
Tumori maligni della ghiandola tiroide (C73)	F	0	0	.	.	0 (0-267)	0 (.-)	36 (3-160)	↓		n.c.	0 
Tumori maligni della ghiandola tiroide (C73)	M	0	0	.	.	0 (0-59)	0 (.-)	146 (36-644)	↓		n.c.	0 
Tumori maligni della ghiandola tiroide (C73)	M + F	0	0	.	.	0 (0-136)	0 (.-)	86 (24-362)	↓		n.c.	0 
Tumori emolinfopoiетici (C81-C96)	F	<5	<5	.	.	13 (1-280)	58 (13-259)	108 (77-149)			n.c.	0 
Tumori emolinfopoiетici (C81-C96)	M	<5	<5	.	.	35 (6-116)	94 (31-283)	103 (77-142)			n.c.	0 
Tumori emolinfopoiетici (C81-C96)	M + F	<5	<5	.	.	24 (6-161)	78 (31-194)	109 (87-136)			n.c.	0 
Malattia di Hodgkin (C81)	F	0	0	.	.	0 (0-267)	0 (.-)	154 (26-614)	↓		n.c.	0 
Malattia di Hodgkin (C81)	M	0	0	.	.	0 (0-59)	0 (.-)	164 (27-689)	↓		n.c.	0 















Esanatoglia				n. cluster sign.	SIR cluster	Tasso std. * 100000 (ic)	SIR (ic)	BIR (ic)	SIR sign.	BIR sign.	Trend	Livello attenzione
Causa di morte (ICD-X)	Genere	Osservati	Attesi									
Malattia di Hodgkin (C81)	M + F	0	0	.	.	0 (0-136)	0 (.-)	171 (60-446)	↓		n.c.	0 
Linfoma non Hodgkin (C82-C85)	F	0	1	.	.	0 (0-267)	0 (.-)	144 (94-278)	↓		n.c.	0 
Linfoma non Hodgkin (C82-C85)	M	0	1	.	.	0 (0-59)	0 (.-)	76 (39-160)	↓		n.c.	0 
Linfoma non Hodgkin (C82-C85)	M + F	0	1	.	.	0 (0-136)	0 (.-)	106 (80-179)	↓		n.c.	0 
Mieloma multiplo e tumori immunoproliferativi (C88, C90)	F	0	0	.	.	0 (0-267)	0 (.-)	112 (65-204)	↓		n.c.	0 
Mieloma multiplo e tumori immunoproliferativi (C88, C90)	M	0	0	.	.	0 (0-59)	0 (.-)	94 (54-157)	↓		n.c.	0 
Mieloma multiplo e tumori immunoproliferativi (C88, C90)	M + F	0	1	.	.	0 (0-136)	0 (.-)	97 (64-173)	↓		n.c.	0 
Leucemie (C91-C95)	F	<5	<5	.	.	13 (1-280)	206 (46-923)	69 (41-136)			n.c.	0 
Leucemie (C91-C95)	M	<5	<5	.	.	35 (6-116)	211 (70-636)	123 (76-179)			n.c.	0 
Leucemie (C91-C95)	M + F	<5	<5	.	.	24 (6-161)	209 (84-523)	104 (66-136)			n.c.	0 
Leucemia linfoide (acuta e cronica) (C91)	F	0	0	.	.	0 (0-267)	0 (.-)	79 (31-196)	↓		n.c.	0 
Leucemia linfoide (acuta e cronica) (C91)	M	0	0	.	.	0 (0-59)	0 (.-)	75 (25-162)	↓		n.c.	0 
Leucemia linfoide (acuta e cronica) (C91)	M + F	0	1	.	.	0 (0-136)	0 (.-)	73 (35-132)	↓		n.c.	0 
Leucemia mieloide (acuta e cronica) (C92)	F	<5	<5	.	.	13 (1-280)	342 (76-1532)	113 (41-209)			n.c.	0 

Esanatoglia				n. cluster sign.	SIR cluster	Tasso std. * 100000 (ic)	SIR (ic)	BIR (ic)	SIR sign.	BIR sign.	Trend	Livello attenzione
Causa di morte (ICD-X)	Genere	Osservati	Attesi									
Leucemia mieloide (acuta e cronica) (C92)	M	<5	<5	.	.	35 (6-116)	345 (114-1042)	170 (100-376)	↑		n.c.	2 😊
Leucemia mieloide (acuta e cronica) (C92)	M + F	<5	<5	.	.	24 (6-161)	344 (137-860)	136 (90-202)	↑		n.c.	2 😊
Malattie del sangue e degli organi emopoietici (D50-D77)	F	<5	<5	.	.	14 (1-282)	173 (39-775)	122 (50-258)			n.c.	0 😊
Malattie del sangue e degli organi emopoietici (D50-D77)	M	0	0	.	.	0 (0-59)	0 (.-)	74 (21-168)	↓		n.c.	0 😊
Malattie del sangue e degli organi emopoietici (D50-D77)	M + F	<5	<5	.	.	7 (0-143)	112 (25-503)	100 (46-194)			n.c.	0 😊
Malattie endocrine della nutrizione ed immunitarie (E00-E90, D80-D89)	F	<5	<5	.	.	44 (12-313)	110 (44-276)	89 (66-120)			n.c.	0 😊
Malattie endocrine della nutrizione ed immunitarie (E00-E90, D80-D89)	M	<5	<5	.	.	65 (22-156)	172 (77-384)	109 (66-157)			n.c.	0 😊
Malattie endocrine della nutrizione ed immunitarie (E00-E90, D80-D89)	M + F	7	5	.	.	54 (25-193)	139 (75-256)	92 (64-151)			n.c.	0 😊
Tireotossicosi (E05)	F	0	0	.	.	0 (0-267)	. (.-)	0 (0-0)			n.c.	0 😊
Tireotossicosi (E05)	M	0	0	.	.	0 (0-59)	0 (.-)	170 (4-1526)	↓		n.c.	0 😊
Tireotossicosi (E05)	M + F	0	0	.	.	0 (0-136)	0 (.-)	41 (3-451)	↓		n.c.	0 😊
Ipotiroidismo (E00-E03)	F	0	0	.	.	0 (0-267)	. (.-)	0 (0-0)			n.c.	0 😊
Ipotiroidismo (E00-E03)	M	0	0	.	.	0 (0-59)	0 (.-)	389 (19-3472)	↓		n.c.	0 😊
Ipotiroidismo (E00-E03)	M + F	0	0	.	.	0 (0-136)	0 (.-)	65 (8-432)	↓		n.c.	0 😊

Esanatoglia												
Causa di morte (ICD-X)	Genere	Osservati	Attesi	n. cluster sign.	SIR cluster	Tasso std. * 100000 (ic)	SIR (ic)	BIR (ic)	SIR sign.	BIR sign.	Trend	Livello attenzione
Diabete mellito (E10-E14)	F	<5	<5	.	.	30 (5-298)	92 (31-279)	94 (63-127)			n.c.	0 
Diabete mellito (E10-E14)	M	<5	<5	.	.	65 (22-156)	208 (93-464)	112 (77-173)			n.c.	0 
Diabete mellito (E10-E14)	M + F	6	4	.	.	47 (20-185)	147 (76-284)	102 (78-148)			n.c.	0 
Demenze (F00-F01, F02.0-F02.3, F03, G30, G31.0)	F	8	4	.	.	108 (54-379)	188 (106-333)	134 (83-198)	↑		n.c.	2 
Demenze (F00-F01, F02.0-F02.3, F03, G30, G31.0)	M	<5	<5	.	.	16 (1-86)	42 (9-187)	101 (55-155)			n.c.	0 
Demenze (F00-F01, F02.0-F02.3, F03, G30, G31.0)	M + F	9	7	.	.	63 (33-201)	135 (79-232)	114 (82-184)			n.c.	0 
Malattie neuro-psichiatriche (escluse tossicod.) (F00-F09, F20-F99)	F	7	2	1	141.9	94 (44-364)	292 (158-538)	185 (109-292)	↑	↑	n.c.	5 
Malattie neuro-psichiatriche (escluse tossicod.) (F00-F09, F20-F99)	M	<5	<5	.	.	16 (1-86)	76 (17-340)	116 (59-173)			n.c.	0 
Malattie neuro-psichiatriche (escluse tossicod.) (F00-F09, F20-F99)	M + F	8	4	1	144.4	56 (28-193)	215 (121-382)	159 (112-261)	↑	↑	n.c.	5 
Malattie del sistema nervoso e degli organi di senso (G00-H95)	F	<5	<5	.	.	40 (11-308)	84 (34-210)	85 (54-106)			n.c.	0 
Malattie del sistema nervoso e degli organi di senso (G00-H95)	M	0	3	.	.	0 (0-59)	0 (.-)	69 (46-106)	↓		n.c.	0 
Malattie del sistema nervoso e degli organi di senso (G00-H95)	M + F	<5	>5	.	.	20 (5-156)	48 (19-121)	76 (51-117)			n.c.	0 
Morbo di Parkinson (G20)	F	0	0	1	124.8	0 (0-267)	0 (.-)	61 (32-124)	↓		n.c.	2 
Morbo di Parkinson (G20)	M	0	1	.	.	0 (0-59)	0 (.-)	73 (41-143)	↓		n.c.	0 

Esanatoglia												
Causa di morte (ICD-X)	Genere	Osservati	Attesi	n. cluster sign.	SIR cluster	Tasso std. * 100000 (ic)	SIR (ic)	BIR (ic)	SIR sign.	BIR sign.	Trend	Livello attenzione
Morbo di Parkinson (G20)	M + F	0	1	.	.	0 (0-136)	0 (.-)	70 (31-118)	↓		n.c.	0 
Malattia di Alzheimer (G30)	F	<5	<5	.	.	14 (1-282)	52 (12-232)	78 (43-148)			n.c.	0 
Malattia di Alzheimer (G30)	M	0	1	.	.	0 (0-59)	0 (.-)	97 (51-171)	↓		n.c.	0 
Malattia di Alzheimer (G30)	M + F	<5	<5	.	.	7 (0-143)	32 (7-146)	82 (45-130)			n.c.	0 
Malattia dei neuroni motori (G122)	F	0	0	.	.	0 (0-267)	0 (.-)	55 (10-281)	↓		n.c.	0 
Malattia dei neuroni motori (G122)	M	0	0	.	.	0 (0-59)	0 (.-)	34 (6-108)	↓		n.c.	0 
Malattia dei neuroni motori (G122)	M + F	0	0	.	.	0 (0-136)	0 (.-)	58 (19-136)	↓		n.c.	0 
Sclerosi multipla (G35)	F	0	0	.	.	0 (0-267)	0 (.-)	95 (28-460)	↓		n.c.	0 
Sclerosi multipla (G35)	M	0	0	.	.	0 (0-59)	0 (.-)	196 (18-1072)	↓		n.c.	0 
Sclerosi multipla (G35)	M + F	0	0	.	.	0 (0-136)	0 (.-)	171 (55-391)	↓		n.c.	0 
Malattie apparato circolatorio (I00-I99)	F	47	35	.	.	815 (595-1198)	136 (107-173)	111 (95-128)	↑		↘	2 
Malattie apparato circolatorio (I00-I99)	M	37	27	.	.	571 (425-759)	139 (106-182)	106 (91-122)	↑		↘	2 
Malattie apparato circolatorio (I00-I99)	M + F	84	61	.	.	695 (560-908)	138 (115-165)	117 (96-137)	↑		↘	2 
Malattie ischemiche del cuore (I20-I25)	F	22	12	1	146.0	413 (243-764)	181 (128-257)	158 (121-200)	↑	↑	↘	4 

Esanatoglia												
Causa di morte (ICD-X)	Genere	Osservati	Attesi	n. cluster sign.	SIR cluster	Tasso std. * 100000 (ic)	SIR (ic)	BIR (ic)	SIR sign.	BIR sign.	Trend	Livello attenzione
Malattie ischemiche del cuore (I20-I25)	M	12	10	.	.	181 (103-301)	121 (75-193)	94 (72-118)			n.c.	0
Malattie ischemiche del cuore (I20-I25)	M + F	34	22	1	112.8	299 (201-483)	154 (116-204)	128 (96-170)	↑		→	3
Infarto miocardico acuto (I21-I22)	F	<5	<5	1	154.1	41 (11-309)	83 (33-207)	107 (57-182)			n.c.	2
Infarto miocardico acuto (I21-I22)	M	<5	<5	.	.	55 (18-140)	95 (43-212)	100 (71-135)			n.c.	0
Infarto miocardico acuto (I21-I22)	M + F	7	8	.	.	48 (22-185)	89 (48-165)	109 (72-155)			n.c.	0
Malattie cerebrovascolari (I60-I69)	F	11	11	.	.	153 (85-427)	105 (64-171)	97 (80-129)			→	0
Malattie cerebrovascolari (I60-I69)	M	11	8	1	120.0	174 (97-294)	145 (89-238)	110 (71-139)			n.c.	2
Malattie cerebrovascolari (I60-I69)	M + F	22	18	.	.	163 (110-310)	122 (86-172)	112 (86-144)			↘	0
Malattie apparato respiratorio (J00-J99)	F	7	5	.	.	98 (46-369)	147 (80-271)	130 (96-170)			n.c.	0
Malattie apparato respiratorio (J00-J99)	M	12	6	.	.	188 (107-313)	212 (133-340)	123 (90-163)	↑		→	2
Malattie apparato respiratorio (J00-J99)	M + F	19	10	.	.	143 (93-289)	182 (125-265)	133 (108-161)	↑	↑	↘	4
Malattie respiratorie acute (J00-J06, J10-J18, J20-J22)	F	<5	<5	.	.	14 (1-281)	71 (16-320)	92 (43-181)			n.c.	0
Malattie respiratorie acute (J00-J06, J10-J18, J20-J22)	M	<5	<5	.	.	15 (1-82)	113 (25-505)	75 (54-141)			n.c.	0
Malattie respiratorie acute (J00-J06, J10-J18, J20-J22)	M + F	<5	<5	.	.	14 (3-150)	87 (29-264)	90 (46-133)			n.c.	0

Esanatoglia				n. cluster sign.	SIR cluster	Tasso std. * 100000 (ic)	SIR (ic)	BIR (ic)	SIR sign.	BIR sign.	Trend	Livello attenzione
Causa di morte (ICD-X)	Genere	Osservati	Attesi									
Malattie croniche apparato respiratorio (BCPO) (J41-J44, J47)	F	5	2	1	135.2	72 (28-341)	281 (137-577)	155 (76-210)	↑		n.c.	3 
Malattie croniche apparato respiratorio (BCPO) (J41-J44, J47)	M	8	3	1	131.5	127 (62-238)	242 (136-429)	145 (105-192)	↑	↑	n.c.	5 
Malattie croniche apparato respiratorio (BCPO) (J41-J44, J47)	M + F	13	5	1	127.9	99 (58-241)	255 (162-401)	155 (120-220)	↑	↑	n.c.	5 
Asma (J45)	F	0	0	.	.	0 (0-267)	0 (-.)	45 (3-266)	↓		n.c.	0 
Asma (J45)	M	0	0	.	.	0 (0-59)	0 (-.)	174 (33-955)	↓		n.c.	0 
Asma (J45)	M + F	0	0	.	.	0 (0-136)	0 (-.)	79 (23-236)	↓		n.c.	0 
Pneumoconiosi (J60-J64)	M	0	0	.	.	0 (0-59)	0 (-.)	48 (8-213)	↓		n.c.	0 
Pneumoconiosi (J60-J64)	M + F	0	0	.	.	0 (0-136)	0 (-.)	48 (8-213)	↓		n.c.	0 
Malattie apparato digerente (K00-K93)	F	<5	<5	.	.	42 (11-310)	122 (49-304)	80 (55-117)			n.c.	0 
Malattie apparato digerente (K00-K93)	M	5	3	.	.	79 (31-174)	172 (84-353)	115 (86-163)			n.c.	0 
Malattie apparato digerente (K00-K93)	M + F	8	5	.	.	60 (30-199)	149 (84-264)	102 (82-125)			n.c.	0 
Cirrosi e altre malattie croniche del fegato (K70, K73-K74)	F	0	1	.	.	0 (0-267)	0 (-.)	88 (33-142)	↓		n.c.	0 
Cirrosi e altre malattie croniche del fegato (K70, K73-K74)	M	<5	<5	.	.	48 (13-132)	263 (105-658)	155 (99-228)	↑		n.c.	2 
Cirrosi e altre malattie croniche del fegato (K70, K73-K74)	M + F	<5	<5	.	.	24 (6-161)	188 (75-471)	131 (66-194)			n.c.	0 

Esanatoglia												
Causa di morte (ICD-X)	Genere	Osservati	Attesi	n. cluster sign.	SIR cluster	Tasso std. * 100000 (ic)	SIR (ic)	BIR (ic)	SIR sign.	BIR sign.	Trend	Livello attenzione
Nefropatie croniche e acute (N00-N12)	F	0	0	.	.	0 (0-267)	. (.-)	0 (0-0)			n.c.	0
Nefropatie croniche e acute (N00-N12)	M	0	0	.	.	0 (0-59)	. (.-)	0 (0-0)			n.c.	0
Nefropatie croniche e acute (N00-N12)	M + F	0	0	.	.	0 (0-136)	. (.-)	0 (0-0)			n.c.	0
Malattie apparato genito-urinario (N00-N99)	F	<5	<5	.	.	28 (5-296)	143 (47-433)	90 (65-147)			n.c.	0
Malattie apparato genito-urinario (N00-N99)	M	<5	<5	.	.	15 (1-82)	69 (15-310)	114 (64-186)			n.c.	0
Malattie apparato genito-urinario (N00-N99)	M + F	<5	<5	.	.	22 (6-158)	106 (42-264)	106 (72-145)			n.c.	0
Insufficienza renale acuta e cronica (N17-N19)	F	<5	<5	.	.	28 (5-296)	169 (56-510)	98 (62-165)			n.c.	0
Insufficienza renale acuta e cronica (N17-N19)	M	0	1	.	.	0 (0-59)	0 (.-)	107 (67-212)	↓		n.c.	0
Insufficienza renale acuta e cronica (N17-N19)	M + F	<5	<5	1	111.0	14 (3-150)	86 (29-261)	101 (70-171)			n.c.	2
Sintomi, segni e stati morbosi mal definiti (R00-R99)	F	<5	<5	.	.	27 (1-298)	120 (27-538)	83 (25-252)			n.c.	0
Sintomi, segni e stati morbosi mal definiti (R00-R99)	M	0	1	.	.	0 (0-59)	0 (.-)	48 (8-192)	↓		n.c.	0
Sintomi, segni e stati morbosi mal definiti (R00-R99)	M + F	<5	<5	.	.	13 (1-152)	60 (13-267)	56 (12-148)			n.c.	0
Traumatismi e avvelenamenti (S00-T98)	F	<5	<5	.	.	28 (5-296)	86 (29-261)	87 (62-136)			n.c.	0












































Esanatoglia												
Causa di morte (ICD-X)	Genere	Osservati	Attesi	n. cluster sign.	SIR cluster	Tasso std. * 100000 (ic)	SIR (ic)	BIR (ic)	SIR sign.	BIR sign.	Trend	Livello attenzione
Traumatismi e avvelenamenti (S00-T98)	M	<5	<5	1	123.6	17 (1-87)	25 (6-111)	114 (86-153)			n.c.	2 
Traumatismi e avvelenamenti (S00-T98)	M + F	<5	>5	.	.	23 (6-159)	47 (19-118)	100 (81-129)			n.c.	0 















Tabella 17. Mortalità per causa nel comune di Fabriano, tutte le età – Anni 2006-2011, confronto Regione Marche.















Fabriano				n. cluster sign.	SIR cluster	Tasso std. * 100000 (ic)	SIR (ic)	BIR (ic)	SIR sign.	BIR sign.	Trend	Livello attenzione
Causa di morte (ICD-X)	Genere	Osservati	Attesi									
Mortalità generale (escluse cause violente) (A00-R99)	F	1019	1125	.	.	886 (841-934)	91 (86-95)	92 (87-96)	↓	↓	→	0 
Mortalità generale (escluse cause violente) (A00-R99)	M	902	937	.	.	950 (898-1004)	96 (91-102)	96 (92-102)			→	0 
Mortalità generale (escluse cause violente) (A00-R99)	M + F	1921	2062	.	.	917 (883-953)	93 (90-97)	94 (91-97)	↓	↓	→	0 
Mortalità per cause esterne o violente (S00-Y99)	F	36	37	.	.	32 (23-42)	97 (74-128)	94 (75-111)			→	0 
Mortalità per cause esterne o violente (S00-Y99)	M	58	50	1	123.6	63 (50-78)	115 (93-143)	109 (96-129)			→	2 
Mortalità per cause esterne o violente (S00-Y99)	M + F	94	87	.	.	47 (39-56)	108 (91-127)	104 (90-119)			→	0 
Malattie infettive (A00-B99)	F	11	16	.	.	10 (5-16)	67 (41-110)	86 (71-117)			n.c.	0 
Malattie infettive (A00-B99)	M	17	14	1	120.6	18 (11-27)	122 (82-182)	101 (73-132)			→	2 
Malattie infettive (A00-B99)	M + F	28	30	.	.	14 (10-19)	92 (68-126)	97 (77-122)			→	0 
Tumori maligni delle vie aeree e digestive superiori (C00-C15, C32)	F	<5	<5	.	.	3 (1-8)	89 (36-223)	101 (71-121)			n.c.	0 
Tumori maligni delle vie aeree e digestive superiori (C00-C15, C32)	M	10	11	.	.	11 (6-19)	91 (54-152)	99 (77-123)			→	0 
Tumori maligni delle vie aeree e digestive superiori (C00-C15, C32)	M + F	13	14	.	.	7 (4-11)	91 (58-142)	101 (85-119)			→	0 
Tumori maligni (C00-C97)	F	287	255	.	.	264 (239-291)	112 (102-124)	105 (100-113)	↑		→	2 















Fabriano												
Causa di morte (ICD-X)	Genere	Osservati	Attesi	n. cluster sign.	SIR cluster	Tasso std. * 100000 (ic)	SIR (ic)	BIR (ic)	SIR sign.	BIR sign.	Trend	Livello attenzione
Tumori maligni (C00-C97)	M	327	305	1	104.3	354 (322-388)	107 (98-117)	102 (97-109)			→	2 😊
Tumori maligni (C00-C97)	M + F	614	560	.	.	307 (287-329)	110 (103-117)	105 (99-112)	↑		↘	2 😊
Tumori maligni esofago (C15)	F	<5	<5	.	.	1 (0-5)	91 (20-410)	83 (51-135)			n.c.	0 😬
Tumori maligni esofago (C15)	M	0	3	.	.	0 (0-4)	0 (.-)	67 (36-120)	↓		n.c.	0 😬
Tumori maligni esofago (C15)	M + F	<5	<5	.	.	1 (0-3)	23 (5-103)	82 (64-112)			n.c.	0 😬
Tumori maligni dello stomaco (C16)	F	28	22	1	120.6	24 (17-33)	129 (95-176)	110 (93-128)			→	2 😊
Tumori maligni dello stomaco (C16)	M	34	25	1	152.2	37 (27-49)	135 (102-179)	120 (94-143)	↑		→	3 😬
Tumori maligni dello stomaco (C16)	M + F	62	47	1	140.4	30 (24-38)	132 (107-163)	119 (100-143)	↑		↘	2 😊
Tumori maligni intestino tenue compreso il duodeno (C17)	F	0	1	.	.	0 (0-3)	0 (.-)	66 (24-129)	↓		n.c.	0 😬
Tumori maligni intestino tenue compreso il duodeno (C17)	M	0	1	.	.	0 (0-4)	0 (.-)	67 (35-121)	↓		n.c.	0 😬
Tumori maligni intestino tenue compreso il duodeno (C17)	M + F	0	1	.	.	0 (0-2)	0 (.-)	52 (22-110)	↓		n.c.	0 😬
Tumori maligni del colon (C18)	F	21	26	.	.	19 (13-27)	81 (57-116)	97 (79-119)			↘	0 😬
Tumori maligni del colon (C18)	M	36	28	.	.	38 (29-51)	129 (98-170)	111 (90-131)			→	0 😬
Tumori maligni del colon (C18)	M + F	57	54	.	.	28 (22-35)	106 (85-132)	102 (90-118)			→	0 😬

Fabriano												
Causa di morte (ICD-X)	Genere	Osservati	Attesi	n. cluster sign.	SIR cluster	Tasso std. * 100000 (ic)	SIR (ic)	BIR (ic)	SIR sign.	BIR sign.	Trend	Livello attenzione
Tumori maligni del retto della giunzione retto-sigmoidea e ano (C19-C21)	F	8	8	.	.	7 (4-13)	102 (57-181)	100 (74-118)			n.c.	0 
Tumori maligni del retto della giunzione retto-sigmoidea e ano (C19-C21)	M	9	9	1	132.0	10 (5-18)	98 (57-168)	96 (73-148)			n.c.	2 
Tumori maligni del retto della giunzione retto-sigmoidea e ano (C19-C21)	M + F	17	17	.	.	9 (5-13)	100 (67-148)	101 (77-130)			n.c.	0 
Tumore fegato e dotti biliari (C22)	F	7	7	.	.	6 (3-12)	99 (54-183)	103 (76-127)			n.c.	0 
Tumore fegato e dotti biliari (C22)	M	17	12	1	142.9	18 (12-28)	139 (93-206)	119 (96-156)			n.c.	2 
Tumore fegato e dotti biliari (C22)	M + F	24	19	1	124.1	12 (8-17)	124 (89-174)	116 (79-143)			→	2 
Tumori maligni del pancreas (C25)	F	23	19	.	.	21 (14-30)	122 (87-172)	113 (91-135)			→	0 
Tumori maligni del pancreas (C25)	M	21	17	.	.	23 (16-34)	126 (89-181)	115 (87-133)			→	0 
Tumori maligni del pancreas (C25)	M + F	44	35	.	.	22 (17-29)	124 (97-159)	105 (92-121)			→	0 
Tumore del retroperitoneo (C48)	F	0	1	.	.	0 (0-3)	0 (.-)	84 (33-156)	↓		n.c.	0 
Tumore del retroperitoneo (C48)	M	0	1	.	.	0 (0-4)	0 (.-)	75 (42-122)	↓		n.c.	0 
Tumore del retroperitoneo (C48)	M + F	0	2	.	.	0 (0-2)	0 (.-)	66 (14-152)	↓		n.c.	0 
Tumori maligni della laringe (C32)	F	0	0	.	.	0 (0-3)	0 (.-)	125 (73-225)	↓		n.c.	0 
Tumori maligni della laringe (C32)	M	<5	<5	.	.	5 (2-11)	103 (46-230)	111 (80-138)			n.c.	0 



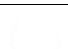
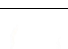

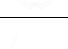








Fabriano												
Causa di morte (ICD-X)	Genere	Osservati	Attesi	n. cluster sign.	SIR cluster	Tasso std. * 100000 (ic)	SIR (ic)	BIR (ic)	SIR sign.	BIR sign.	Trend	Livello attenzione
Tumori maligni della laringe (C32)	M + F	<5	<5	.	.	2 (1-5)	96 (43-213)	109 (77-173)			n.c.	0 
Tumori maligni della trachea dei bronchi e dei polmoni (C33-C34)	F	28	24	.	.	26 (18-36)	116 (85-159)	100 (80-121)			→	0 
Tumori maligni della trachea dei bronchi e dei polmoni (C33-C34)	M	80	76	.	.	87 (72-105)	105 (88-127)	98 (86-107)			→	0 
Tumori maligni della trachea dei bronchi e dei polmoni (C33-C34)	M + F	108	100	.	.	56 (47-65)	108 (92-126)	103 (94-114)			→	0 
Mesotelioma (pleura, peritoneo, endocardio, ecc.) (C45)	F	<5	<5	.	.	2 (0-6)	196 (65-593)	79 (35-165)			n.c.	0 
Mesotelioma (pleura, peritoneo, endocardio, ecc.) (C45)	M	<5	<5	.	.	2 (0-7)	73 (24-221)	76 (35-138)			n.c.	0 
Mesotelioma (pleura, peritoneo, endocardio, ecc.) (C45)	M + F	<5	<5	.	.	2 (1-5)	107 (48-238)	109 (57-153)			n.c.	0 
Tumori maligni delle ossa e della cartilagine articolare (C40-C41)	F	<5	<5	.	.	1 (0-5)	135 (30-604)	97 (60-165)			n.c.	0 
Tumori maligni delle ossa e della cartilagine articolare (C40-C41)	M	<5	<5	.	.	1 (0-5)	130 (29-581)	97 (42-144)			n.c.	0 
Tumori maligni delle ossa e della cartilagine articolare (C40-C41)	M + F	<5	<5	.	.	1 (0-3)	132 (44-399)	103 (58-142)			n.c.	0 
Tumori maligni del connettivo e di altri tessuti molli (C49)	F	<5	<5	.	.	1 (0-5)	62 (14-277)	91 (59-146)			n.c.	0 
Tumori maligni del connettivo e di altri tessuti molli (C49)	M	<5	<5	.	.	2 (0-7)	147 (49-445)	103 (61-249)			n.c.	0 
Tumori maligni del connettivo e di altri tessuti molli (C49)	M + F	<5	<5	.	.	2 (0-4)	101 (40-252)	109 (65-186)			n.c.	0 
Melanoma maligno della pelle (C43)	F	<5	<5	.	.	3 (1-8)	103 (41-258)	105 (69-201)			n.c.	0 















Fabriano				n. cluster sign.	SIR cluster	Tasso std. * 100000 (ic)	SIR (ic)	BIR (ic)	SIR sign.	BIR sign.	Trend	Livello attenzione
Causa di morte (ICD-X)	Genere	Osservati	Attesi									
Melanoma maligno della pelle (C43)	M	0	3	.	.	0 (0-4)	0 (.-)	73 (41-134)	↓		n.c.	0 
Melanoma maligno della pelle (C43)	M + F	<5	>5	.	.	1 (0-4)	48 (19-119)	97 (69-132)			n.c.	0 
Tumori maligni della mammella (C50)	F	44	40	.	.	41 (31-53)	111 (86-142)	97 (84-105)			→	0 
Tumori maligni utero (C53-C55)	F	12	10	.	.	12 (7-19)	125 (78-200)	87 (69-125)			n.c.	0 
Tumori maligni del corpo dell'utero (C54)	F	<5	<5	.	.	4 (1-9)	155 (70-346)	122 (56-250)			n.c.	0 
Tumori maligni ovaio e degli altri annessi uterini (C56-C57)	F	13	11	.	.	12 (7-20)	114 (73-179)	101 (78-130)			n.c.	0 
Tumore della prostata (C61)	M	15	27	.	.	16 (10-24)	56 (37-86)	80 (71-94)	↓	↓	n.c.	0 
Tumore del testicolo (C62)	M	0	0	.	.	0 (0-4)	0 (.-)	60 (12-190)	↓		n.c.	0 
Tumori maligni della vescica (C67)	F	5	4	.	.	4 (2-10)	122 (59-250)	105 (75-151)			n.c.	0 
Tumori maligni della vescica (C67)	M	20	15	.	.	21 (14-31)	138 (95-198)	103 (79-130)			n.c.	0 
Tumori maligni della vescica (C67)	M + F	25	19	1	121.7	13 (9-18)	134 (97-186)	103 (94-122)			→	2 
Tumori maligni del rene e di altri e non specificati organi urinari (C64)	F	8	6	.	.	8 (4-14)	144 (81-255)	92 (69-130)			n.c.	0 
Tumori maligni del rene e di altri e non specificati organi urinari (C64)	M	11	10	.	.	12 (7-20)	115 (70-187)	100 (75-135)			n.c.	0 
Tumori maligni del rene e di altri e non specificati organi urinari (C64)	M + F	19	15	.	.	10 (6-14)	125 (86-182)	104 (84-131)			→	0 















Fabriano				n. cluster sign.	SIR cluster	Tasso std. * 100000 (ic)	SIR (ic)	BIR (ic)	SIR sign.	BIR sign.	Trend	Livello attenzione
Causa di morte (ICD-X)	Genere	Osservati	Attesi									
tumore del sistema nervoso centrale (C70-C72,D33)	F	6	5	.	.	6 (2-12)	121 (62-233)	103 (75-139)			n.c.	0 
tumore del sistema nervoso centrale (C70-C72,D33)	M	6	7	.	.	6 (3-13)	85 (44-165)	97 (74-118)			n.c.	0 
tumore del sistema nervoso centrale (C70-C72,D33)	M + F	12	12	.	.	6 (4-10)	100 (62-160)	95 (75-126)			↘	0 
Tumori maligni encefalo (C71)	F	5	5	.	.	5 (2-10)	107 (52-219)	97 (69-127)			n.c.	0 
Tumori maligni encefalo (C71)	M	5	7	.	.	5 (2-12)	73 (36-150)	76 (52-104)			n.c.	0 
Tumori maligni encefalo (C71)	M + F	10	12	.	.	5 (3-9)	87 (52-145)	83 (66-106)			→	0 
Tumori maligni della ghiandola tiroide (C73)	F	0	1	.	.	0 (0-3)	0 (.-)	74 (38-112)	↓		n.c.	0 
Tumori maligni della ghiandola tiroide (C73)	M	<5	<5	.	.	2 (0-7)	334 (110-1009)	113 (59-196)	↑		n.c.	2 
Tumori maligni della ghiandola tiroide (C73)	M + F	<5	<5	.	.	1 (0-3)	118 (39-356)	107 (62-161)			n.c.	0 
Tumori emolinfopoiетici (C81-C96)	F	34	25	.	.	31 (23-41)	139 (105-184)	115 (93-135)	↑		→	2 
Tumori emolinfopoiетici (C81-C96)	M	24	26	.	.	25 (17-36)	92 (66-129)	91 (77-104)			→	0 
Tumori emolinfopoiетici (C81-C96)	M + F	58	51	.	.	28 (22-35)	115 (93-143)	103 (93-112)			→	0 
Malattia di Hodgkin (C81)	F	<5	<5	.	.	1 (0-5)	196 (44-880)	79 (43-134)			n.c.	0 
Malattia di Hodgkin (C81)	M	0	1	.	.	0 (0-4)	0 (.-)	68 (37-96)	↓	↓	n.c.	0 















Fabriano												
Causa di morte (ICD-X)	Genere	Osservati	Attesi	n. cluster sign.	SIR cluster	Tasso std. * 100000 (ic)	SIR (ic)	BIR (ic)	SIR sign.	BIR sign.	Trend	Livello attenzione
Malattia di Hodgkin (C81)	M + F	<5	<5	.	.	0 (0-2)	98 (22-439)	91 (36-212)			n.c.	0 
Linfoma non Hodgkin (C82-C85)	F	17	8	.	.	16 (10-24)	202 (136-300)	124 (92-156)	↑		n.c.	2 
Linfoma non Hodgkin (C82-C85)	M	8	9	.	.	9 (4-16)	88 (50-157)	80 (54-130)			n.c.	0 
Linfoma non Hodgkin (C82-C85)	M + F	25	18	.	.	12 (9-17)	143 (103-199)	102 (85-124)	↑		→	2 
Mieloma multiplo e tumori immunoproliferativi (C88, C90)	F	7	6	.	.	6 (3-12)	124 (67-230)	111 (89-134)			n.c.	0 
Mieloma multiplo e tumori immunoproliferativi (C88, C90)	M	8	6	.	.	8 (4-16)	144 (81-255)	86 (71-115)			n.c.	0 
Mieloma multiplo e tumori immunoproliferativi (C88, C90)	M + F	15	11	.	.	7 (4-11)	134 (88-204)	99 (82-125)			→	0 
Leucemie (C91-C95)	F	9	10	.	.	8 (4-14)	92 (54-158)	97 (72-121)			n.c.	0 
Leucemie (C91-C95)	M	8	11	.	.	8 (4-15)	74 (42-132)	91 (60-118)			n.c.	0 
Leucemie (C91-C95)	M + F	17	21	.	.	8 (5-12)	83 (56-123)	94 (77-114)			→	0 
Leucemia linfoide (acuta e cronica) (C91)	F	<5	<5	.	.	3 (1-8)	95 (38-237)	100 (64-151)			n.c.	0 
Leucemia linfoide (acuta e cronica) (C91)	M	<5	<5	.	.	1 (0-5)	25 (5-110)	82 (51-106)			n.c.	0 
Leucemia linfoide (acuta e cronica) (C91)	M + F	<5	>5	.	.	2 (1-5)	55 (25-123)	87 (64-115)			n.c.	0 
Leucemia mieloide (acuta e cronica) (C92)	F	<5	>5	.	.	3 (1-7)	67 (27-168)	94 (66-136)			n.c.	0 














Fabriano												
Causa di morte (ICD-X)	Genere	Osservati	Attesi	n. cluster sign.	SIR cluster	Tasso std. * 100000 (ic)	SIR (ic)	BIR (ic)	SIR sign.	BIR sign.	Trend	Livello attenzione
Leucemia mieloide (acuta e cronica) (C92)	M	5	5	.	.	5 (2-11)	106 (52-218)	86 (57-113)			n.c.	0
Leucemia mieloide (acuta e cronica) (C92)	M + F	8	9	.	.	4 (2-7)	87 (49-155)	92 (73-110)			n.c.	0
Malattie del sangue e degli organi emopoietici (D50-D77)	F	<5	>5	.	.	2 (0-6)	33 (11-100)	78 (53-128)	↓		n.c.	0
Malattie del sangue e degli organi emopoietici (D50-D77)	M	<5	<5	.	.	4 (1-10)	105 (47-234)	86 (47-117)			n.c.	0
Malattie del sangue e degli organi emopoietici (D50-D77)	M + F	6	10	.	.	3 (1-6)	61 (31-117)	82 (51-114)			n.c.	0
Malattie endocrine della nutrizione ed immunitarie (E00-E90, D80-D89)	F	46	49	.	.	40 (31-51)	94 (74-119)	99 (84-115)			→	0
Malattie endocrine della nutrizione ed immunitarie (E00-E90, D80-D89)	M	29	34	.	.	31 (22-42)	86 (64-117)	101 (83-121)			→	0
Malattie endocrine della nutrizione ed immunitarie (E00-E90, D80-D89)	M + F	75	83	.	.	36 (29-43)	91 (75-110)	97 (83-111)			↗	1
Tireotossicosi (E05)	F	<5	<5	.	.	2 (0-6)	346 (114-1045)	111 (54-264)	↑		n.c.	2
Tireotossicosi (E05)	M	0	0	.	.	0 (0-4)	0 (.-)	69 (25-165)	↓		n.c.	0
Tireotossicosi (E05)	M + F	<5	<5	.	.	1 (0-3)	267 (88-806)	119 (49-286)			n.c.	0
Ipotiroidismo (E00-E03)	F	0	0	.	.	0 (0-3)	0 (.-)	83 (35-173)	↓		n.c.	0
Ipotiroidismo (E00-E03)	M	0	0	.	.	0 (0-4)	0 (.-)	55 (12-238)	↓		n.c.	0
Ipotiroidismo (E00-E03)	M + F	0	1	.	.	0 (0-2)	0 (.-)	81 (41-137)	↓		n.c.	0

Fabriano												
Causa di morte (ICD-X)	Genere	Osservati	Attesi	n. cluster sign.	SIR cluster	Tasso std. * 100000 (ic)	SIR (ic)	BIR (ic)	SIR sign.	BIR sign.	Trend	Livello attenzione
Diabete mellito (E10-E14)	F	30	37	.	.	26 (19-36)	82 (61-110)	97 (88-110)			n.c.	0 
Diabete mellito (E10-E14)	M	22	25	.	.	24 (16-34)	87 (62-124)	101 (81-121)			→	0 
Diabete mellito (E10-E14)	M + F	52	62	.	.	25 (19-31)	84 (67-105)	92 (78-106)			↗	1 
Demenze (F00-F01, F02.0-F02.3, F03, G30, G31.0)	F	72	66	.	.	61 (50-75)	110 (91-133)	109 (89-127)			↗	1 
Demenze (F00-F01, F02.0-F02.3, F03, G30, G31.0)	M	36	30	.	.	37 (27-49)	118 (90-156)	106 (86-137)			↗	1 
Demenze (F00-F01, F02.0-F02.3, F03, G30, G31.0)	M + F	108	96	1	122.0	49 (42-58)	113 (96-132)	111 (94-130)			↗	1 
Malattie neuro-psichiatriche (escluse tossicod.) (F00-F09, F20-F99)	F	54	38	1	141.9	45 (35-57)	142 (114-177)	133 (110-162)	↑	↑	↗	6 
Malattie neuro-psichiatriche (escluse tossicod.) (F00-F09, F20-F99)	M	28	17	1	146.5	28 (20-39)	162 (119-221)	135 (106-185)	↑	↑	↗	6 
Malattie neuro-psichiatriche (escluse tossicod.) (F00-F09, F20-F99)	M + F	82	55	1	144.4	37 (31-45)	148 (124-178)	139 (119-167)	↑	↑	↗	6 
Malattie del sistema nervoso e degli organi di senso (G00-H95)	F	42	57	.	.	37 (28-48)	74 (57-95)	82 (71-101)	↓		↗	2 
Malattie del sistema nervoso e degli organi di senso (G00-H95)	M	32	38	.	.	33 (24-45)	84 (63-113)	85 (72-100)			→	0 
Malattie del sistema nervoso e degli organi di senso (G00-H95)	M + F	74	95	.	.	35 (29-43)	78 (64-94)	83 (75-96)	↓	↓	↗	1 
Morbo di Parkinson (G20)	F	7	8	1	124.8	6 (3-11)	85 (46-157)	99 (75-123)			n.c.	2 
Morbo di Parkinson (G20)	M	5	8	.	.	5 (2-11)	60 (29-123)	85 (58-112)			n.c.	0 

Fabriano												
Causa di morte (ICD-X)	Genere	Osservati	Attesi	n. cluster sign.	SIR cluster	Tasso std. * 100000 (ic)	SIR (ic)	BIR (ic)	SIR sign.	BIR sign.	Trend	Livello attenzione
Morbo di Parkinson (G20)	M + F	12	17	.	.	6 (3-9)	73 (45-116)	90 (72-108)			n.c.	0 
Malattia di Alzheimer (G30)	F	20	29	.	.	18 (12-26)	69 (48-99)	78 (57-101)	↓		→	0 
Malattia di Alzheimer (G30)	M	10	14	.	.	11 (6-18)	70 (42-117)	81 (57-98)		↓	n.c.	0 
Malattia di Alzheimer (G30)	M + F	30	44	.	.	14 (10-20)	69 (51-93)	76 (59-90)	↓	↓	↗	1 
Malattia dei neuroni motori (G122)	F	<5	<5	.	.	1 (0-5)	25 (6-114)	47 (24-115)			n.c.	0 
Malattia dei neuroni motori (G122)	M	<5	<5	.	.	3 (1-8)	85 (34-214)	108 (63-165)			n.c.	0 
Malattia dei neuroni motori (G122)	M + F	<5	>5	.	.	2 (1-5)	54 (24-120)	70 (42-116)			n.c.	0 
Sclerosi multipla (G35)	F	0	1	.	.	0 (0-3)	0 (-.)	76 (37-160)	↓		n.c.	0 
Sclerosi multipla (G35)	M	<5	<5	.	.	1 (0-5)	240 (54-1076)	105 (41-241)			n.c.	0 
Sclerosi multipla (G35)	M + F	<5	<5	.	.	1 (0-3)	102 (23-457)	84 (47-144)			n.c.	0 
Malattie apparato circolatorio (I00-I99)	F	445	530	.	.	375 (346-406)	84 (78-91)	89 (84-95)	↓	↓	→	0 
Malattie apparato circolatorio (I00-I99)	M	321	364	.	.	332 (302-365)	88 (81-97)	92 (87-98)	↓	↓	↘	0 
Malattie apparato circolatorio (I00-I99)	M + F	766	894	.	.	354 (333-376)	86 (81-91)	87 (82-95)	↓	↓	→	0 
Malattie ischemiche del cuore (I20-I25)	F	144	174	.	.	119 (103-137)	83 (72-95)	90 (79-99)	↓	↓	↘	0 

Fabriano				n. cluster sign.	SIR cluster	Tasso std. * 100000 (ic)	SIR (ic)	BIR (ic)	SIR sign.	BIR sign.	Trend	Livello attenzione
Causa di morte (ICD-X)	Genere	Osservati	Attesi									
Malattie ischemiche del cuore (I20-I25)	M	145	149	.	.	150 (130-173)	98 (85-112)	102 (93-113)			↘	0 
Malattie ischemiche del cuore (I20-I25)	M + F	289	322	1	112.8	134 (121-148)	90 (81-99)	93 (83-103)	↓		↘	2 
Infarto miocardico acuto (I21-I22)	F	34	51	.	.	30 (22-40)	67 (51-89)	78 (55-96)	↓	↓	→	0 
Infarto miocardico acuto (I21-I22)	M	44	55	.	.	47 (36-60)	81 (63-103)	90 (75-111)			↘	0 
Infarto miocardico acuto (I21-I22)	M + F	78	105	.	.	38 (31-46)	74 (61-89)	82 (70-93)	↓	↓	→	0 
Malattie cerebrovascolari (I60-I69)	F	102	152	.	.	86 (73-102)	67 (57-79)	73 (66-86)	↓	↓	→	0 
Malattie cerebrovascolari (I60-I69)	M	66	95	.	.	68 (55-84)	69 (57-85)	83 (73-95)	↓	↓	→	0 
Malattie cerebrovascolari (I60-I69)	M + F	168	247	.	.	78 (68-88)	68 (60-77)	73 (66-82)	↓	↓	→	0 
Malattie apparato respiratorio (J00-J99)	F	55	62	.	.	47 (37-59)	88 (71-110)	98 (79-112)			→	0 
Malattie apparato respiratorio (J00-J99)	M	72	77	.	.	74 (60-90)	94 (77-114)	102 (88-120)			→	0 
Malattie apparato respiratorio (J00-J99)	M + F	127	139	.	.	60 (52-70)	91 (79-106)	99 (90-111)			→	0 
Malattie respiratorie acute (J00-J06, J10-J18, J20-J22)	F	<5	>5	.	.	3 (1-8)	21 (10-48)	56 (35-79)	↓	↓	n.c.	0 
Malattie respiratorie acute (J00-J06, J10-J18, J20-J22)	M	12	16	.	.	12 (7-20)	74 (46-118)	94 (74-113)			→	0 
Malattie respiratorie acute (J00-J06, J10-J18, J20-J22)	M + F	16	35	.	.	8 (5-12)	46 (30-69)	68 (54-85)	↓	↓	↘	0 

Fabriano												
Causa di morte (ICD-X)	Genere	Osservati	Attesi	n. cluster sign.	SIR cluster	Tasso std. * 100000 (ic)	SIR (ic)	BIR (ic)	SIR sign.	BIR sign.	Trend	Livello attenzione
Malattie croniche apparato respiratorio (BCPO) (J41-J44, J47)	F	35	26	1	135.2	30 (22-40)	136 (103-180)	127 (100-153)	↑	↑	→	5 
Malattie croniche apparato respiratorio (BCPO) (J41-J44, J47)	M	43	42	1	131.5	44 (34-57)	104 (81-133)	106 (91-132)			→	2 
Malattie croniche apparato respiratorio (BCPO) (J41-J44, J47)	M + F	78	67	1	127.9	37 (30-45)	116 (96-140)	113 (94-134)			→	2 
Asma (J45)	F	<5	<5	.	.	2 (0-6)	215 (71-649)	92 (41-173)			n.c.	0 
Asma (J45)	M	0	1	.	.	0 (0-4)	0 (.-.)	94 (51-175)	↓		n.c.	0 
Asma (J45)	M + F	<5	<5	.	.	1 (0-3)	130 (43-392)	100 (38-193)			n.c.	0 
Pneumoconiosi (J60-J64)	M	<5	<5	.	.	2 (0-7)	112 (37-338)	105 (41-219)			n.c.	0 
Pneumoconiosi (J60-J64)	M + F	<5	<5	.	.	1 (0-3)	112 (37-338)	105 (41-219)			n.c.	0 
Malattie apparato digerente (K00-K93)	F	35	42	.	.	31 (23-41)	83 (63-109)	90 (77-104)			↗	1 
Malattie apparato digerente (K00-K93)	M	34	35	.	.	36 (26-48)	96 (72-127)	94 (80-109)			→	0 
Malattie apparato digerente (K00-K93)	M + F	69	78	.	.	33 (27-41)	89 (73-108)	94 (82-107)			→	0 
Cirrosi e altre malattie croniche del fegato (K70, K73-K74)	F	5	7	.	.	5 (2-10)	74 (36-151)	81 (64-118)			n.c.	0 
Cirrosi e altre malattie croniche del fegato (K70, K73-K74)	M	7	11	.	.	8 (4-15)	66 (36-121)	94 (64-119)			n.c.	0 
Cirrosi e altre malattie croniche del fegato (K70, K73-K74)	M + F	12	18	.	.	6 (4-10)	69 (43-110)	93 (69-131)			n.c.	0 

Fabriano												
Causa di morte (ICD-X)	Genere	Osservati	Attesi	n. cluster sign.	SIR cluster	Tasso std. * 100000 (ic)	SIR (ic)	BIR (ic)	SIR sign.	BIR sign.	Trend	Livello attenzione
Nefropatie croniche e acute (N00-N12)	F	0	0	.	.	0 (0-3)	0 (.-)	18 (6-112)	↓		n.c.	0 
Nefropatie croniche e acute (N00-N12)	M	0	0	.	.	0 (0-4)	0 (.-)	67 (18-195)	↓		n.c.	0 
Nefropatie croniche e acute (N00-N12)	M + F	0	1	.	.	0 (0-2)	0 (.-)	101 (68-163)	↓		n.c.	0 
Malattie apparato genito-urinario (N00-N99)	F	12	22	.	.	11 (6-18)	55 (34-87)	89 (73-114)	↓		n.c.	0 
Malattie apparato genito-urinario (N00-N99)	M	23	19	.	.	24 (16-34)	124 (88-175)	121 (90-155)			↘	0 
Malattie apparato genito-urinario (N00-N99)	M + F	35	41	.	.	17 (12-23)	86 (66-114)	95 (83-117)			→	0 
Insufficienza renale acuta e cronica (N17-N19)	F	12	18	.	.	11 (6-18)	67 (42-107)	91 (62-124)			n.c.	0 
Insufficienza renale acuta e cronica (N17-N19)	M	19	15	.	.	20 (13-29)	128 (88-186)	110 (86-140)			n.c.	0 
Insufficienza renale acuta e cronica (N17-N19)	M + F	31	33	1	111.0	15 (11-20)	95 (71-127)	98 (80-128)			n.c.	2 
Sintomi, segni e stati morbosi mal definiti (R00-R99)	F	6	17	.	.	5 (2-10)	36 (19-70)	35 (19-66)	↓	↓	n.c.	0 
Sintomi, segni e stati morbosi mal definiti (R00-R99)	M	0	6	.	.	0 (0-4)	0 (.-)	26 (9-56)	↓	↓	n.c.	0 
Sintomi, segni e stati morbosi mal definiti (R00-R99)	M + F	6	23	.	.	2 (1-5)	26 (14-51)	29 (14-61)	↓	↓	n.c.	0 
Traumatismi e avvelenamenti (S00-T98)	F	36	37	.	.	32 (23-42)	97 (74-128)	94 (75-111)			→	0 

























































Fabriano												
Causa di morte (ICD-X)	Genere	Osservati	Attesi	n. cluster sign.	SIR cluster	Tasso std. * 100000 (ic)	SIR (ic)	BIR (ic)	SIR sign.	BIR sign.	Trend	Livello attenzione
Traumatismi e avvelenamenti (S00-T98)	M	58	50	1	123.6	63 (50-78)	115 (93-143)	109 (96-129)			→	2 
Traumatismi e avvelenamenti (S00-T98)	M + F	94	87	.	.	47 (39-56)	108 (91-127)	104 (90-119)			→	0 







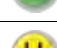







Tabella 18. Mortalità per causa nel comune di Fiuminata, tutte le età – Anni 2006-2011, confronto Regione Marche.















Fiuminata				n. cluster sign.	SIR cluster	Tasso std. * 100000 (ic)	SIR (ic)	BIR (ic)	SIR sign.	BIR sign.	Trend	Livello attenzione
Causa di morte (ICD-X)	Genere	Osservati	Attesi									
Mortalità generale (escluse cause violente) (A00-R99)	F	62	68	.	.	886 (706-1124)	92 (75-113)	97 (88-106)			→	0 
Mortalità generale (escluse cause violente) (A00-R99)	M	61	59	.	.	933 (738-1181)	103 (83-127)	100 (93-109)			→	0 
Mortalità generale (escluse cause violente) (A00-R99)	M + F	123	127	.	.	909 (775-1073)	97 (84-112)	101 (93-109)			→	0 
Mortalità per cause esterne o violente (S00-Y99)	F	<5	<5	.	.	42 (11-155)	139 (55-347)	94 (65-130)			n.c.	0 
Mortalità per cause esterne o violente (S00-Y99)	M	<5	<5	.	.	37 (7-137)	68 (22-204)	102 (86-120)			n.c.	0 
Mortalità per cause esterne o violente (S00-Y99)	M + F	5	5	.	.	39 (15-103)	98 (48-201)	103 (84-120)			n.c.	0 
Malattie infettive (A00-B99)	F	<5	<5	.	.	15 (1-122)	100 (22-448)	111 (85-157)			n.c.	0 
Malattie infettive (A00-B99)	M	<5	<5	1	120.6	26 (4-118)	238 (79-721)	108 (81-138)			n.c.	2 
Malattie infettive (A00-B99)	M + F	<5	<5	.	.	21 (5-79)	163 (65-408)	113 (91-144)			n.c.	0 
Tumori maligni delle vie aeree e digestive superiori (C00-C15, C32)	F	0	0	.	.	0 (0-102)	0 (.-)	100 (72-158)	↓		n.c.	0 
Tumori maligni delle vie aeree e digestive superiori (C00-C15, C32)	M	0	1	.	.	0 (0-83)	0 (.-)	86 (70-123)	↓		n.c.	0 
Tumori maligni delle vie aeree e digestive superiori (C00-C15, C32)	M + F	0	1	.	.	0 (0-53)	0 (.-)	95 (64-128)	↓		n.c.	0 
Tumori maligni (C00-C97)	F	15	15	.	.	217 (132-371)	98 (64-150)	99 (87-110)			→	0 















Fiuminata												
Causa di morte (ICD-X)	Genere	Osservati	Attesi	n. cluster sign.	SIR cluster	Tasso std. * 100000 (ic)	SIR (ic)	BIR (ic)	SIR sign.	BIR sign.	Trend	Livello attenzione
Tumori maligni (C00-C97)	M	15	19	.	.	243 (147-396)	81 (53-124)	96 (87-105)			↗	1
Tumori maligni (C00-C97)	M + F	30	34	.	.	230 (163-329)	89 (66-120)	95 (89-106)			→	0 
Tumori maligni esofago (C15)	F	0	0	.	.	0 (0-102)	0 (.-)	65 (36-114)	↓		n.c.	0 
Tumori maligni esofago (C15)	M	0	0	.	.	0 (0-83)	0 (.-)	72 (40-167)	↓		n.c.	0 
Tumori maligni esofago (C15)	M + F	0	0	.	.	0 (0-53)	0 (.-)	84 (56-116)	↓		n.c.	0 
Tumori maligni dello stomaco (C16)	F	<5	<5	1	120.6	26 (5-135)	153 (51-462)	108 (84-139)			n.c.	2 
Tumori maligni dello stomaco (C16)	M	<5	<5	1	152.2	34 (6-131)	131 (43-394)	115 (91-142)			n.c.	2 
Tumori maligni dello stomaco (C16)	M + F	<5	<5	1	140.4	30 (10-91)	141 (63-314)	118 (91-164)			n.c.	2 
Tumori maligni intestino tenue compreso il duodeno (C17)	F	0	0	.	.	0 (0-102)	0 (.-)	71 (30-166)	↓		n.c.	0 
Tumori maligni intestino tenue compreso il duodeno (C17)	M	0	0	.	.	0 (0-83)	0 (.-)	88 (52-186)	↓		n.c.	0 
Tumori maligni intestino tenue compreso il duodeno (C17)	M + F	0	0	.	.	0 (0-53)	0 (.-)	41 (17-120)	↓		n.c.	0 
Tumori maligni del colon (C18)	F	<5	<5	.	.	38 (6-156)	127 (42-385)	102 (81-129)			n.c.	0 
Tumori maligni del colon (C18)	M	<5	<5	.	.	17 (1-107)	59 (13-266)	102 (87-133)			n.c.	0 
Tumori maligni del colon (C18)	M + F	<5	<5	.	.	27 (7-90)	92 (37-231)	103 (86-130)			n.c.	0 

Fiuminata												
Causa di morte (ICD-X)	Genere	Osservati	Attesi	n. cluster sign.	SIR cluster	Tasso std. * 100000 (ic)	SIR (ic)	BIR (ic)	SIR sign.	BIR sign.	Trend	Livello attenzione
Tumori maligni del retto della giunzione retto-sigmoidea e ano (C19-C21)	F	0	1	.	.	0 (0-102)	0 (.-)	103 (76-125)	↓		n.c.	0 
Tumori maligni del retto della giunzione retto-sigmoidea e ano (C19-C21)	M	0	1	.	.	0 (0-83)	0 (.-)	105 (54-144)	↓		n.c.	0 
Tumori maligni del retto della giunzione retto-sigmoidea e ano (C19-C21)	M + F	0	1	.	.	0 (0-53)	0 (.-)	98 (52-165)	↓		n.c.	0 
Tumore fegato e dotti biliari (C22)	F	0	0	.	.	0 (0-102)	0 (.-)	104 (55-134)	↓		n.c.	0 
Tumore fegato e dotti biliari (C22)	M	0	1	.	.	0 (0-83)	0 (.-)	102 (77-125)	↓		n.c.	0 
Tumore fegato e dotti biliari (C22)	M + F	0	1	.	.	0 (0-53)	0 (.-)	97 (80-135)	↓		n.c.	0 
Tumori maligni del pancreas (C25)	F	0	1	.	.	0 (0-102)	0 (.-)	99 (61-126)	↓		n.c.	0 
Tumori maligni del pancreas (C25)	M	<5	<5	.	.	10 (1-95)	101 (23-452)	104 (69-155)			n.c.	0 
Tumori maligni del pancreas (C25)	M + F	<5	<5	.	.	5 (0-58)	47 (10-209)	97 (85-110)			n.c.	0 
Tumore del retroperitoneo (C48)	F	0	0	.	.	0 (0-102)	0 (.-)	90 (50-208)	↓		n.c.	0 
Tumore del retroperitoneo (C48)	M	0	0	.	.	0 (0-83)	0 (.-)	75 (41-166)	↓		n.c.	0 
Tumore del retroperitoneo (C48)	M + F	0	0	.	.	0 (0-53)	0 (.-)	85 (24-227)	↓		n.c.	0 
Tumori maligni della laringe (C32)	F	0	0	.	.	0 (0-102)	0 (.-)	130 (67-227)	↓		n.c.	0 
Tumori maligni della laringe (C32)	M	0	0	.	.	0 (0-83)	0 (.-)	99 (66-128)	↓		n.c.	0 















Fiuminata												
Causa di morte (ICD-X)	Genere	Osservati	Attesi	n. cluster sign.	SIR cluster	Tasso std. * 100000 (ic)	SIR (ic)	BIR (ic)	SIR sign.	BIR sign.	Trend	Livello attenzione
Tumori maligni della laringe (C32)	M + F	0	0	.	.	0 (0-53)	0 (.-)	95 (52-139)	↓		n.c.	0 
Tumori maligni della trachea dei bronchi e dei polmoni (C33-C34)	F	<5	<5	.	.	26 (5-135)	139 (46-421)	99 (69-167)			n.c.	0 
Tumori maligni della trachea dei bronchi e dei polmoni (C33-C34)	M	<5	>5	.	.	74 (24-190)	88 (39-196)	90 (75-108)			n.c.	0 
Tumori maligni della trachea dei bronchi e dei polmoni (C33-C34)	M + F	6	6	.	.	49 (21-118)	100 (52-194)	97 (81-112)			n.c.	0 
Mesotelioma (pleura, peritoneo, endocardio, ecc.) (C45)	F	0	0	.	.	0 (0-102)	0 (.-)	75 (26-205)	↓		n.c.	0 
Mesotelioma (pleura, peritoneo, endocardio, ecc.) (C45)	M	0	0	.	.	0 (0-83)	0 (.-)	66 (36-125)	↓		n.c.	0 
Mesotelioma (pleura, peritoneo, endocardio, ecc.) (C45)	M + F	0	0	.	.	0 (0-53)	0 (.-)	101 (72-146)	↓		n.c.	0 
Tumori maligni delle ossa e della cartilagine articolare (C40-C41)	F	0	0	.	.	0 (0-102)	0 (.-)	99 (55-158)	↓		n.c.	0 
Tumori maligni delle ossa e della cartilagine articolare (C40-C41)	M	<5	<5	.	.	18 (1-110)	2376 (530-10652)	100 (57-187)	↑		n.c.	2 
Tumori maligni delle ossa e della cartilagine articolare (C40-C41)	M + F	<5	<5	.	.	9 (0-65)	1164 (260-5215)	104 (57-167)	↑		n.c.	2 
Tumori maligni del connettivo e di altri tessuti molli (C49)	F	0	0	.	.	0 (0-102)	0 (.-)	91 (52-165)	↓		n.c.	0 
Tumori maligni del connettivo e di altri tessuti molli (C49)	M	0	0	.	.	0 (0-83)	0 (.-)	87 (52-266)	↓		n.c.	0 
Tumori maligni del connettivo e di altri tessuti molli (C49)	M + F	0	0	.	.	0 (0-53)	0 (.-)	112 (58-206)	↓		n.c.	0 
Melanoma maligno della pelle (C43)	F	0	0	.	.	0 (0-102)	0 (.-)	113 (58-222)	↓		n.c.	0 















Fiuminata												
Causa di morte (ICD-X)	Genere	Osservati	Attesi	n. cluster sign.	SIR cluster	Tasso std. * 100000 (ic)	SIR (ic)	BIR (ic)	SIR sign.	BIR sign.	Trend	Livello attenzione
Melanoma maligno della pelle (C43)	M	0	0	.	.	0 (0-83)	0 (.-)	83 (50-144)	↓		n.c.	0 
Melanoma maligno della pelle (C43)	M + F	0	0	.	.	0 (0-53)	0 (.-)	89 (70-133)	↓		n.c.	0 
Tumori maligni della mammella (C50)	F	<5	<5	.	.	48 (13-166)	130 (52-325)	98 (85-112)			n.c.	0 
Tumori maligni utero (C53-C55)	F	0	1	.	.	0 (0-102)	0 (.-)	86 (64-110)	↓		n.c.	0 
Tumori maligni del corpo dell'utero (C54)	F	0	0	.	.	0 (0-102)	0 (.-)	110 (55-213)	↓		n.c.	0 
Tumori maligni ovaio e degli altri annessi uterini (C56-C57)	F	0	1	.	.	0 (0-102)	0 (.-)	98 (59-132)	↓		n.c.	0 
Tumore della prostata (C61)	M	<5	<5	.	.	54 (17-154)	235 (105-523)	86 (69-108)	↑		n.c.	2 
Tumore del testicolo (C62)	M	0	0	.	.	0 (0-83)	0 (.-)	41 (15-114)	↓		n.c.	0 
Tumori maligni della vescica (C67)	F	<5	<5	.	.	25 (4-134)	797 (264-2408)	105 (64-191)	↑		n.c.	2 
Tumori maligni della vescica (C67)	M	<5	<5	.	.	17 (1-107)	111 (25-496)	100 (74-128)			n.c.	0 
Tumori maligni della vescica (C67)	M + F	<5	<5	.	.	21 (6-79)	260 (104-650)	98 (85-115)	↑		n.c.	2 
Tumori maligni del rene e di altri e non specificati organi urinari (C64)	F	0	0	.	.	0 (0-102)	0 (.-)	85 (60-116)	↓		n.c.	0 
Tumori maligni del rene e di altri e non specificati organi urinari (C64)	M	0	1	.	.	0 (0-83)	0 (.-)	98 (75-126)	↓		n.c.	0 
Tumori maligni del rene e di altri e non specificati organi urinari (C64)	M + F	0	1	.	.	0 (0-53)	0 (.-)	92 (58-119)	↓		n.c.	0 

Fiuminata												
Causa di morte (ICD-X)	Genere	Osservati	Attesi	n. cluster sign.	SIR cluster	Tasso std. * 100000 (ic)	SIR (ic)	BIR (ic)	SIR sign.	BIR sign.	Trend	Livello attenzione
tumore del sistema nervoso centrale (C70-C72,D33)	F	0	0	.	.	0 (0-102)	0 (.-)	105 (74-143)	↓		n.c.	0 
tumore del sistema nervoso centrale (C70-C72,D33)	M	0	0	.	.	0 (0-83)	0 (.-)	92 (65-130)	↓		n.c.	0 
tumore del sistema nervoso centrale (C70-C72,D33)	M + F	0	1	.	.	0 (0-53)	0 (.-)	90 (54-117)	↓		n.c.	0 
Tumori maligni encefalo (C71)	F	0	0	.	.	0 (0-102)	0 (.-)	96 (72-131)	↓		n.c.	0 
Tumori maligni encefalo (C71)	M	0	0	.	.	0 (0-83)	0 (.-)	73 (50-117)	↓		n.c.	0 
Tumori maligni encefalo (C71)	M + F	0	1	.	.	0 (0-53)	0 (.-)	79 (61-112)	↓		n.c.	0 
Tumori maligni della ghiandola tiroide (C73)	F	0	0	.	.	0 (0-102)	0 (.-)	82 (46-161)	↓		n.c.	0 
Tumori maligni della ghiandola tiroide (C73)	M	0	0	.	.	0 (0-83)	0 (.-)	112 (63-199)	↓		n.c.	0 
Tumori maligni della ghiandola tiroide (C73)	M + F	0	0	.	.	0 (0-53)	0 (.-)	102 (62-172)	↓		n.c.	0 
Tumori emolinfopoiетici (C81-C96)	F	0	2	.	.	0 (0-102)	0 (.-)	98 (80-131)	↓		n.c.	0 
Tumori emolinfopoiетici (C81-C96)	M	0	2	.	.	0 (0-83)	0 (.-)	85 (73-102)	↓		n.c.	0 
Tumori emolinfopoiетici (C81-C96)	M + F	0	3	.	.	0 (0-53)	0 (.-)	96 (86-108)	↓		n.c.	0 
Malattia di Hodgkin (C81)	F	0	0	.	.	0 (0-102)	0 (.-)	79 (42-134)	↓		n.c.	0 
Malattia di Hodgkin (C81)	M	0	0	.	.	0 (0-83)	0 (.-)	69 (40-114)	↓		n.c.	0 















Fiuminata												
Causa di morte (ICD-X)	Genere	Osservati	Attesi	n. cluster sign.	SIR cluster	Tasso std. * 100000 (ic)	SIR (ic)	BIR (ic)	SIR sign.	BIR sign.	Trend	Livello attenzione
Malattia di Hodgkin (C81)	M + F	0	0	.	.	0 (0-53)	0 (.-)	86 (41-175)	↓		n.c.	0 
Linfoma non Hodgkin (C82-C85)	F	0	1	.	.	0 (0-102)	0 (.-)	104 (79-152)	↓		n.c.	0 
Linfoma non Hodgkin (C82-C85)	M	0	1	.	.	0 (0-83)	0 (.-)	78 (56-118)	↓		n.c.	0 
Linfoma non Hodgkin (C82-C85)	M + F	0	1	.	.	0 (0-53)	0 (.-)	96 (69-117)	↓		n.c.	0 
Mieloma multiplo e tumori immunoproliferativi (C88, C90)	F	0	0	.	.	0 (0-102)	0 (.-)	105 (82-130)	↓		n.c.	0 
Mieloma multiplo e tumori immunoproliferativi (C88, C90)	M	0	0	.	.	0 (0-83)	0 (.-)	85 (67-110)	↓		n.c.	0 
Mieloma multiplo e tumori immunoproliferativi (C88, C90)	M + F	0	1	.	.	0 (0-53)	0 (.-)	92 (69-122)	↓		n.c.	0 
Leucemie (C91-C95)	F	0	1	.	.	0 (0-102)	0 (.-)	106 (71-145)	↓		n.c.	0 
Leucemie (C91-C95)	M	0	1	.	.	0 (0-83)	0 (.-)	76 (57-121)	↓		n.c.	0 
Leucemie (C91-C95)	M + F	0	1	.	.	0 (0-53)	0 (.-)	88 (75-113)	↓		n.c.	0 
Leucemia linfoide (acuta e cronica) (C91)	F	0	0	.	.	0 (0-102)	0 (.-)	96 (56-139)	↓		n.c.	0 
Leucemia linfoide (acuta e cronica) (C91)	M	0	0	.	.	0 (0-83)	0 (.-)	90 (50-128)	↓		n.c.	0 
Leucemia linfoide (acuta e cronica) (C91)	M + F	0	0	.	.	0 (0-53)	0 (.-)	88 (51-118)	↓		n.c.	0 
Leucemia mieloide (acuta e cronica) (C92)	F	0	0	.	.	0 (0-102)	0 (.-)	98 (69-155)	↓		n.c.	0 

Fiuminata												
Causa di morte (ICD-X)	Genere	Osservati	Attesi	n. cluster sign.	SIR cluster	Tasso std. * 100000 (ic)	SIR (ic)	BIR (ic)	SIR sign.	BIR sign.	Trend	Livello attenzione
Leucemia mieloide (acuta e cronica) (C92)	M	0	0	.	.	0 (0-83)	0 (.-)	83 (48-123)	↓		n.c.	0
Leucemia mieloide (acuta e cronica) (C92)	M + F	0	1	.	.	0 (0-53)	0 (.-)	94 (71-114)	↓		n.c.	0
Malattie del sangue e degli organi emopoietici (D50-D77)	F	0	0	.	.	0 (0-102)	0 (.-)	77 (51-132)	↓		n.c.	0
Malattie del sangue e degli organi emopoietici (D50-D77)	M	0	0	.	.	0 (0-83)	0 (.-)	84 (37-138)	↓		n.c.	0
Malattie del sangue e degli organi emopoietici (D50-D77)	M + F	0	1	.	.	0 (0-53)	0 (.-)	86 (62-125)	↓		n.c.	0
Malattie endocrine della nutrizione ed immunitarie (E00-E90, D80-D89)	F	<5	<5	.	.	41 (11-154)	101 (40-252)	96 (81-118)			n.c.	0
Malattie endocrine della nutrizione ed immunitarie (E00-E90, D80-D89)	M	5	2	.	.	87 (33-206)	237 (115-486)	102 (75-140)	↑		n.c.	2
Malattie endocrine della nutrizione ed immunitarie (E00-E90, D80-D89)	M + F	8	5	.	.	64 (31-134)	157 (89-279)	98 (78-121)			n.c.	0
Tireotossicosi (E05)	F	0	0	.	.	0 (0-102)	0 (.-)	100 (57-227)	↓		n.c.	0
Tireotossicosi (E05)	M	0	0	.	.	0 (0-83)	0 (.-)	69 (28-172)	↓		n.c.	0
Tireotossicosi (E05)	M + F	0	0	.	.	0 (0-53)	0 (.-)	79 (22-273)	↓		n.c.	0
Ipotiroidismo (E00-E03)	F	0	0	.	.	0 (0-102)	0 (.-)	79 (24-200)	↓		n.c.	0
Ipotiroidismo (E00-E03)	M	0	0	.	.	0 (0-83)	0 (.-)	63 (14-370)	↓		n.c.	0
Ipotiroidismo (E00-E03)	M + F	0	0	.	.	0 (0-53)	0 (.-)	78 (37-147)	↓		n.c.	0

Fiuminata												
Causa di morte (ICD-X)	Genere	Osservati	Attesi	n. cluster sign.	SIR cluster	Tasso std. * 100000 (ic)	SIR (ic)	BIR (ic)	SIR sign.	BIR sign.	Trend	Livello attenzione
Diabete mellito (E10-E14)	F	<5	<5	.	.	29 (5-140)	89 (29-268)	100 (84-123)			n.c.	0 
Diabete mellito (E10-E14)	M	<5	<5	.	.	26 (4-117)	127 (42-382)	97 (70-124)			n.c.	0 
Diabete mellito (E10-E14)	M + F	<5	<5	.	.	27 (9-87)	104 (47-232)	90 (71-114)			n.c.	0 
Demenze (F00-F01, F02.0-F02.3, F03, G30, G31.0)	F	<5	<5	.	.	57 (19-174)	100 (45-222)	95 (68-132)			n.c.	0 
Demenze (F00-F01, F02.0-F02.3, F03, G30, G31.0)	M	<5	<5	.	.	27 (4-119)	101 (33-306)	89 (65-133)			n.c.	0 
Demenze (F00-F01, F02.0-F02.3, F03, G30, G31.0)	M + F	6	6	.	.	42 (18-105)	100 (52-194)	95 (81-135)			n.c.	0 
Malattie neuro-psichiatriche (escluse tossicod.) (F00-F09, F20-F99)	F	<5	<5	.	.	15 (1-122)	44 (10-195)	92 (64-151)			n.c.	0 
Malattie neuro-psichiatriche (escluse tossicod.) (F00-F09, F20-F99)	M	<5	<5	.	.	17 (1-108)	87 (19-389)	95 (71-160)			n.c.	0 
Malattie neuro-psichiatriche (escluse tossicod.) (F00-F09, F20-F99)	M + F	<5	<5	.	.	16 (3-74)	58 (19-175)	92 (68-141)			n.c.	0 
Malattie del sistema nervoso e degli organi di senso (G00-H95)	F	<5	<5	.	.	42 (11-155)	86 (34-215)	82 (62-115)			n.c.	0 
Malattie del sistema nervoso e degli organi di senso (G00-H95)	M	<5	<5	.	.	43 (11-141)	127 (51-318)	76 (55-111)			n.c.	0 
Malattie del sistema nervoso e degli organi di senso (G00-H95)	M + F	6	6	.	.	42 (18-105)	103 (53-198)	83 (60-103)			n.c.	0 
Morbo di Parkinson (G20)	F	0	1	1	124.8	0 (0-102)	0 (.-)	98 (79-148)	↓		n.c.	2 
Morbo di Parkinson (G20)	M	<5	<5	.	.	17 (1-107)	195 (43-873)	90 (62-118)			n.c.	0 

Fiuminata												
Causa di morte (ICD-X)	Genere	Osservati	Attesi	n. cluster sign.	SIR cluster	Tasso std. * 100000 (ic)	SIR (ic)	BIR (ic)	SIR sign.	BIR sign.	Trend	Livello attenzione
Morbo di Parkinson (G20)	M + F	<5	<5	.	.	8 (0-63)	97 (22-435)	86 (60-118)			n.c.	0 
Malattia di Alzheimer (G30)	F	<5	<5	.	.	42 (11-155)	165 (66-414)	89 (57-143)			n.c.	0 
Malattia di Alzheimer (G30)	M	<5	<5	.	.	10 (1-95)	112 (25-501)	89 (59-126)			n.c.	0 
Malattia di Alzheimer (G30)	M + F	<5	<5	.	.	26 (9-85)	148 (66-329)	105 (63-159)			n.c.	0 
Malattia dei neuroni motori (G122)	F	0	0	.	.	0 (0-102)	0 (.-)	49 (16-106)	↓		n.c.	0 
Malattia dei neuroni motori (G122)	M	0	0	.	.	0 (0-83)	0 (.-)	99 (59-169)	↓		n.c.	0 
Malattia dei neuroni motori (G122)	M + F	0	1	.	.	0 (0-53)	0 (.-)	65 (33-109)	↓		n.c.	0 
Sclerosi multipla (G35)	F	0	0	.	.	0 (0-102)	0 (.-)	90 (43-205)	↓		n.c.	0 
Sclerosi multipla (G35)	M	0	0	.	.	0 (0-83)	0 (.-)	103 (28-329)	↓		n.c.	0 
Sclerosi multipla (G35)	M + F	0	0	.	.	0 (0-53)	0 (.-)	81 (46-161)	↓		n.c.	0 
Malattie apparato circolatorio (I00-I99)	F	28	32	.	.	403 (284-585)	88 (65-120)	102 (90-116)			→	0 
Malattie apparato circolatorio (I00-I99)	M	20	24	.	.	313 (203-478)	84 (58-122)	105 (87-120)			n.c.	0 
Malattie apparato circolatorio (I00-I99)	M + F	48	56	.	.	359 (276-474)	86 (68-110)	103 (86-118)			→	0 
Malattie ischemiche del cuore (I20-I25)	F	14	11	1	146.0	191 (116-336)	134 (87-207)	122 (103-149)		↑	→	4 

Fiuminata												
Causa di morte (ICD-X)	Genere	Osservati	Attesi	n. cluster sign.	SIR cluster	Tasso std. * 100000 (ic)	SIR (ic)	BIR (ic)	SIR sign.	BIR sign.	Trend	Livello attenzione
Malattie ischemiche del cuore (I20-I25)	M	9	10	.	.	156 (79-292)	94 (55-162)	105 (89-121)			n.c.	0
Malattie ischemiche del cuore (I20-I25)	M + F	23	20	1	112.8	174 (118-264)	115 (82-162)	114 (95-137)			→	2
Infarto miocardico acuto (I21-I22)	F	7	3	1	154.1	98 (46-225)	225 (122-415)	124 (80-175)	↑		n.c.	3
Infarto miocardico acuto (I21-I22)	M	<5	<5	.	.	60 (16-170)	89 (36-224)	100 (77-135)			n.c.	0
Infarto miocardico acuto (I21-I22)	M + F	10	7	.	.	79 (43-153)	155 (92-259)	116 (87-147)			n.c.	0
Malattie cerebrovascolari (I60-I69)	F	<5	>5	.	.	53 (18-168)	43 (20-97)	96 (80-120)	↓		n.c.	0
Malattie cerebrovascolari (I60-I69)	M	<5	>5	1	120.0	34 (6-131)	32 (11-98)	111 (91-131)	↓		n.c.	2
Malattie cerebrovascolari (I60-I69)	M + F	6	15	.	.	43 (19-107)	39 (20-75)	104 (83-126)	↓		n.c.	0
Malattie apparato respiratorio (J00-J99)	F	<5	<5	.	.	57 (19-174)	107 (48-237)	101 (85-115)			n.c.	0
Malattie apparato respiratorio (J00-J99)	M	8	5	.	.	110 (53-228)	160 (90-285)	106 (94-126)			n.c.	0
Malattie apparato respiratorio (J00-J99)	M + F	12	9	.	.	83 (47-155)	137 (86-220)	108 (93-128)			n.c.	0
Malattie respiratorie acute (J00-J06, J10-J18, J20-J22)	F	<5	<5	.	.	28 (5-139)	179 (59-542)	79 (58-134)			n.c.	0
Malattie respiratorie acute (J00-J06, J10-J18, J20-J22)	M	5	1	.	.	74 (28-184)	457 (222-938)	107 (78-134)	↑		n.c.	2
Malattie respiratorie acute (J00-J06, J10-J18, J20-J22)	M + F	7	2	.	.	51 (23-117)	317 (172-584)	111 (80-168)	↑		n.c.	2

Fiuminata												
Causa di morte (ICD-X)	Genere	Osservati	Attesi	n. cluster sign.	SIR cluster	Tasso std. * 100000 (ic)	SIR (ic)	BIR (ic)	SIR sign.	BIR sign.	Trend	Livello attenzione
Malattie croniche apparato respiratorio (BCPO) (J41-J44, J47)	F	<5	<5	1	135.2	15 (1-122)	64 (14-288)	110 (67-154)			n.c.	2 
Malattie croniche apparato respiratorio (BCPO) (J41-J44, J47)	M	<5	<5	1	131.5	27 (4-119)	75 (25-225)	102 (80-138)			n.c.	2 
Malattie croniche apparato respiratorio (BCPO) (J41-J44, J47)	M + F	<5	<5	1	127.9	21 (5-79)	71 (28-177)	109 (85-141)			n.c.	2 
Asma (J45)	F	0	0	.	.	0 (0-102)	0 (.-)	71 (31-162)	↓		n.c.	0 
Asma (J45)	M	0	0	.	.	0 (0-83)	0 (.-)	109 (47-263)	↓		n.c.	0 
Asma (J45)	M + F	0	0	.	.	0 (0-53)	0 (.-)	94 (48-214)	↓		n.c.	0 
Pneumoconiosi (J60-J64)	M	0	0	.	.	0 (0-83)	0 (.-)	52 (18-124)	↓		n.c.	0 
Pneumoconiosi (J60-J64)	M + F	0	0	.	.	0 (0-53)	0 (.-)	52 (18-124)	↓		n.c.	0 
Malattie apparato digerente (K00-K93)	F	<5	<5	.	.	55 (19-171)	155 (70-345)	92 (75-117)			n.c.	0 
Malattie apparato digerente (K00-K93)	M	<5	<5	.	.	18 (1-110)	45 (10-201)	92 (78-109)			n.c.	0 
Malattie apparato digerente (K00-K93)	M + F	5	5	.	.	37 (14-99)	104 (51-213)	95 (83-107)			n.c.	0 
Cirrosi e altre malattie croniche del fegato (K70, K73-K74)	F	<5	<5	.	.	13 (1-119)	242 (54-1085)	79 (58-129)			n.c.	0 
Cirrosi e altre malattie croniche del fegato (K70, K73-K74)	M	<5	<5	.	.	18 (1-110)	159 (35-713)	101 (73-131)			n.c.	0 
Cirrosi e altre malattie croniche del fegato (K70, K73-K74)	M + F	<5	<5	.	.	16 (3-73)	192 (64-580)	95 (66-129)			n.c.	0 

Fiuminata												
Causa di morte (ICD-X)	Genere	Osservati	Attesi	n. cluster sign.	SIR cluster	Tasso std. * 100000 (ic)	SIR (ic)	BIR (ic)	SIR sign.	BIR sign.	Trend	Livello attenzione
Nefropatie croniche e acute (N00-N12)	F	0	0	.	.	0 (0-102)	0 (.-)	29 (4-137)	↓		n.c.	0
Nefropatie croniche e acute (N00-N12)	M	0	0	.	.	0 (0-83)	0 (.-)	54 (20-131)	↓		n.c.	0
Nefropatie croniche e acute (N00-N12)	M + F	0	0	.	.	0 (0-53)	0 (.-)	101 (66-162)	↓		n.c.	0
Malattie apparato genito-urinario (N00-N99)	F	<5	<5	.	.	13 (1-119)	76 (17-341)	118 (82-143)			n.c.	0
Malattie apparato genito-urinario (N00-N99)	M	<5	<5	.	.	17 (1-108)	83 (18-371)	114 (79-178)			n.c.	0
Malattie apparato genito-urinario (N00-N99)	M + F	<5	<5	.	.	15 (3-72)	79 (26-239)	109 (87-144)			n.c.	0
Insufficienza renale acuta e cronica (N17-N19)	F	<5	<5	1	119.6	13 (1-119)	94 (21-422)	100 (66-154)			n.c.	2
Insufficienza renale acuta e cronica (N17-N19)	M	<5	<5	.	.	17 (1-108)	103 (23-462)	122 (83-165)			n.c.	0
Insufficienza renale acuta e cronica (N17-N19)	M + F	<5	<5	1	111.0	15 (3-72)	98 (33-297)	118 (92-179)			n.c.	2
Sintomi, segni e stati morbosi mal definiti (R00-R99)	F	<5	<5	.	.	15 (1-122)	109 (24-487)	93 (29-224)			n.c.	0
Sintomi, segni e stati morbosi mal definiti (R00-R99)	M	0	1	.	.	0 (0-83)	0 (.-)	54 (9-153)	↓		n.c.	0
Sintomi, segni e stati morbosi mal definiti (R00-R99)	M + F	<5	<5	.	.	8 (0-63)	72 (16-323)	76 (32-142)			n.c.	0
Traumatismi e avvelenamenti (S00-T98)	F	<5	<5	.	.	42 (11-155)	139 (55-347)	94 (65-130)			n.c.	0












































Fiuminata												
Causa di morte (ICD-X)	Genere	Osservati	Attesi	n. cluster sign.	SIR cluster	Tasso std. * 100000 (ic)	SIR (ic)	BIR (ic)	SIR sign.	BIR sign.	Trend	Livello attenzione
Traumatismi e avvelenamenti (S00-T98)	M	<5	<5	.	.	37 (7-137)	68 (22-204)	102 (86-120)			n.c.	0 
Traumatismi e avvelenamenti (S00-T98)	M + F	5	5	.	.	39 (15-103)	98 (48-201)	103 (84-120)			n.c.	0 















Tabella 19. Mortalità per causa nel comune di Genga, tutte le età – Anni 2006-2011, confronto Regione Marche.















Genga												
Causa di morte (ICD-X)	Genere	Osservati	Attesi	n. cluster sign.	SIR cluster	Tasso std. * 100000 (ic)	SIR (ic)	BIR (ic)	SIR sign.	BIR sign.	Trend	Livello attenzione
Mortalità generale (escluse cause violente) (A00-R99)	F	77	80	.	.	939 (768-1156)	96 (80-116)	99 (90-107)			→	0 
Mortalità generale (escluse cause violente) (A00-R99)	M	78	74	2	104.3	1074 (879-1311)	106 (88-128)	101 (93-113)			→	1 
Mortalità generale (escluse cause violente) (A00-R99)	M + F	155	154	.	.	1004 (874-1158)	101 (88-115)	100 (91-105)			→	0 
Mortalità per cause esterne o violente (S00-Y99)	F	<5	<5	.	.	21 (4-105)	77 (26-234)	90 (68-128)			n.c.	0 
Mortalità per cause esterne o violente (S00-Y99)	M	<5	<5	1	123.6	42 (11-128)	83 (33-207)	113 (93-131)			n.c.	2 
Mortalità per cause esterne o violente (S00-Y99)	M + F	5	6	.	.	31 (12-81)	80 (39-165)	101 (85-124)			n.c.	0 
Malattie infettive (A00-B99)	F	<5	<5	.	.	12 (1-94)	86 (19-386)	80 (60-112)			n.c.	0 
Malattie infettive (A00-B99)	M	<5	<5	.	.	22 (4-97)	188 (62-568)	90 (59-128)			n.c.	0 
Malattie infettive (A00-B99)	M + F	<5	<5	.	.	17 (5-61)	135 (54-337)	85 (65-117)			n.c.	0 
Tumori maligni delle vie aeree e digestive superiori (C00-C15, C32)	F	<5	<5	.	.	14 (1-97)	431 (96-1931)	94 (59-151)			n.c.	0 
Tumori maligni delle vie aeree e digestive superiori (C00-C15, C32)	M	<5	<5	1	158.8	16 (1-93)	121 (27-543)	105 (75-138)			n.c.	2 
Tumori maligni delle vie aeree e digestive superiori (C00-C15, C32)	M + F	<5	<5	.	.	15 (3-60)	189 (63-571)	114 (87-130)			n.c.	0 
Tumori maligni (C00-C97)	F	19	18	.	.	271 (176-418)	107 (74-156)	99 (89-115)			→	0 

Genga												
Causa di morte (ICD-X)	Genere	Osservati	Attesi	n. cluster sign.	SIR cluster	Tasso std. * 100000 (ic)	SIR (ic)	BIR (ic)	SIR sign.	BIR sign.	Trend	Livello attenzione
Tumori maligni (C00-C97)	M	23	23	1	104.3	331 (225-482)	99 (70-139)	99 (91-112)			→	2 😊
Tumori maligni (C00-C97)	M + F	42	41	.	.	300 (227-398)	102 (80-132)	101 (91-112)			→	0 😬
Tumori maligni esofago (C15)	F	0	0	.	.	0 (0-78)	0 (.-)	88 (43-165)	↓		n.c.	0 😬
Tumori maligni esofago (C15)	M	0	0	1	159.4	0 (0-69)	0 (.-)	90 (40-148)	↓		n.c.	2 😊
Tumori maligni esofago (C15)	M + F	0	0	1	157.5	0 (0-40)	0 (.-)	90 (63-127)	↓		n.c.	2 😊
Tumori maligni dello stomaco (C16)	F	<5	<5	1	120.6	11 (1-92)	66 (15-294)	104 (83-122)			n.c.	2 😊
Tumori maligni dello stomaco (C16)	M	<5	<5	1	152.2	31 (5-114)	102 (34-309)	104 (76-143)			n.c.	2 😊
Tumori maligni dello stomaco (C16)	M + F	<5	<5	1	140.4	20 (5-68)	86 (34-216)	105 (85-151)			n.c.	2 😊
Tumori maligni intestino tenue compreso il duodeno (C17)	F	0	0	.	.	0 (0-78)	0 (.-)	73 (40-188)	↓		n.c.	0 😬
Tumori maligni intestino tenue compreso il duodeno (C17)	M	0	0	.	.	0 (0-69)	0 (.-)	70 (25-140)	↓		n.c.	0 😬
Tumori maligni intestino tenue compreso il duodeno (C17)	M + F	0	0	.	.	0 (0-40)	0 (.-)	62 (25-160)	↓		n.c.	0 😬
Tumori maligni del colon (C18)	F	<5	<5	.	.	38 (10-129)	165 (66-412)	101 (81-129)			n.c.	0 😬
Tumori maligni del colon (C18)	M	<5	<5	.	.	13 (1-87)	47 (10-210)	103 (74-134)			n.c.	0 😬
Tumori maligni del colon (C18)	M + F	<5	<5	.	.	26 (8-74)	101 (45-225)	104 (79-124)			n.c.	0 😬















Genga												
Causa di morte (ICD-X)	Genere	Osservati	Attesi	n. cluster sign.	SIR cluster	Tasso std. * 100000 (ic)	SIR (ic)	BIR (ic)	SIR sign.	BIR sign.	Trend	Livello attenzione
Tumori maligni del retto della giunzione retto-sigmoidea e ano (C19-C21)	F	0		.	.	0 (0-78)	0 (.-)	95 (72-132)	↓		n.c.	0 
Tumori maligni del retto della giunzione retto-sigmoidea e ano (C19-C21)	M	0	1	1	132.0	0 (0-69)	0 (.-)	129 (65-277)	↓		n.c.	2 
Tumori maligni del retto della giunzione retto-sigmoidea e ano (C19-C21)	M + F	0	1	1	124.1	0 (0-40)	0 (.-)	107 (63-177)	↓		n.c.	2 
Tumore fegato e dotti biliari (C22)	F	0	1	.	.	0 (0-78)	0 (.-)	103 (66-166)	↓		n.c.	0 
Tumore fegato e dotti biliari (C22)	M	<5	<5	1	142.9	13 (1-87)	108 (24-484)	123 (91-154)			n.c.	2 
Tumore fegato e dotti biliari (C22)	M + F	<5	<5	1	124.1	6 (0-48)	70 (16-315)	116 (70-187)			n.c.	2 
Tumori maligni del pancreas (C25)	F	<5	<5	.	.	11 (1-92)	77 (17-343)	111 (87-154)			n.c.	0 
Tumori maligni del pancreas (C25)	M	<5	<5	.	.	16 (1-93)	80 (18-358)	102 (64-140)			n.c.	0 
Tumori maligni del pancreas (C25)	M + F	<5	<5	.	.	13 (2-58)	78 (26-236)	108 (85-125)			n.c.	0 
Tumore del retroperitoneo (C48)	F	0	0	.	.	0 (0-78)	0 (.-)	88 (36-241)	↓		n.c.	0 
Tumore del retroperitoneo (C48)	M	0	0	.	.	0 (0-69)	0 (.-)	79 (41-126)	↓		n.c.	0 
Tumore del retroperitoneo (C48)	M + F	0	0	.	.	0 (0-40)	0 (.-)	60 (12-176)	↓		n.c.	0 
Tumori maligni della laringe (C32)	F	<5	<5	.	.	14 (1-97)	5043 (1125-	142 (63-298)	↑		n.c.	2 
Tumori maligni della laringe (C32)	M	0	0	.	.	0 (0-69)	0 (.-)	123 (82-159)	↓		n.c.	0 















Genga												
Causa di morte (ICD-X)	Genere	Osservati	Attesi	n. cluster sign.	SIR cluster	Tasso std. * 100000 (ic)	SIR (ic)	BIR (ic)	SIR sign.	BIR sign.	Trend	Livello attenzione
Tumori maligni della laringe (C32)	M + F	<5	<5	.	.	7 (0-50)	319 (71-1429)	133 (70-269)			n.c.	0 
Tumori maligni della trachea dei bronchi e dei polmoni (C33-C34)	F	<5	<5	.	.	30 (5-121)	121 (40-365)	94 (63-133)			n.c.	0 
Tumori maligni della trachea dei bronchi e dei polmoni (C33-C34)	M	5	6	.	.	72 (28-169)	87 (42-179)	95 (77-113)			n.c.	0 
Tumori maligni della trachea dei bronchi e dei polmoni (C33-C34)	M + F	7	7	.	.	51 (24-107)	95 (51-174)	97 (77-118)			n.c.	0 
Mesotelioma (pleura, peritoneo, endocardio, ecc.) (C45)	F	0	0	.	.	0 (0-78)	0 (.-)	89 (37-208)	↓		n.c.	0 
Mesotelioma (pleura, peritoneo, endocardio, ecc.) (C45)	M	0	0	.	.	0 (0-69)	0 (.-)	81 (31-168)	↓		n.c.	0 
Mesotelioma (pleura, peritoneo, endocardio, ecc.) (C45)	M + F	0	0	.	.	0 (0-40)	0 (.-)	99 (53-159)	↓		n.c.	0 
Tumori maligni delle ossa e della cartilagine articolare (C40-C41)	F	0	0	.	.	0 (0-78)	0 (.-)	95 (48-185)	↓		n.c.	0 
Tumori maligni delle ossa e della cartilagine articolare (C40-C41)	M	0	0	.	.	0 (0-69)	0 (.-)	79 (43-261)	↓		n.c.	0 
Tumori maligni delle ossa e della cartilagine articolare (C40-C41)	M + F	0	0	.	.	0 (0-40)	0 (.-)	90 (47-134)	↓		n.c.	0 
Tumori maligni del connettivo e di altri tessuti molli (C49)	F	0	0	.	.	0 (0-78)	0 (.-)	99 (46-202)	↓		n.c.	0 
Tumori maligni del connettivo e di altri tessuti molli (C49)	M	0	0	.	.	0 (0-69)	0 (.-)	95 (43-271)	↓		n.c.	0 
Tumori maligni del connettivo e di altri tessuti molli (C49)	M + F	0	0	.	.	0 (0-40)	0 (.-)	116 (54-209)	↓		n.c.	0 
Melanoma maligno della pelle (C43)	F	0	0	.	.	0 (0-78)	0 (.-)	109 (58-233)	↓		n.c.	0 














Genga				n. cluster sign.	SIR cluster	Tasso std. * 100000 (ic)	SIR (ic)	BIR (ic)	SIR sign.	BIR sign.	Trend	Livello attenzione
Causa di morte (ICD-X)	Genere	Osservati	Attesi									
Melanoma maligno della pelle (C43)	M	0	0	.	.	0 (0-69)	0 (.-)	98 (61-172)	↓		n.c.	0 
Melanoma maligno della pelle (C43)	M + F	0	0	.	.	0 (0-40)	0 (.-)	102 (60-173)	↓		n.c.	0 
Tumori maligni della mammella (C50)	F	5	3	.	.	77 (30-183)	185 (90-380)	93 (79-107)			n.c.	0 
Tumori maligni utero (C53-C55)	F	<5	<5	.	.	31 (5-122)	306 (101-924)	94 (64-155)	↑		n.c.	2 
Tumori maligni del corpo dell'utero (C54)	F	<5	<5	.	.	31 (5-122)	1140 (377-3446)	164 (77-409)	↑		n.c.	2 
Tumori maligni ovaio e degli altri annessi uterini (C56-C57)	F	0	1	.	.	0 (0-78)	0 (.-)	99 (64-166)	↓		n.c.	0 
Tumore della prostata (C61)	M	<5	<5	.	.	27 (5-107)	94 (31-283)	83 (68-104)			n.c.	0 
Tumore del testicolo (C62)	M	0	0	.	.	0 (0-69)	0 (.-)	91 (13-322)	↓		n.c.	0 
Tumori maligni della vescica (C67)	F	0	0	.	.	0 (0-78)	0 (.-)	114 (64-181)	↓		n.c.	0 
Tumori maligni della vescica (C67)	M	<5	<5	.	.	15 (1-92)	88 (20-393)	105 (79-132)			n.c.	0 
Tumori maligni della vescica (C67)	M + F	<5	<5	1	121.7	7 (0-50)	70 (16-313)	106 (87-124)			n.c.	2 
Tumori maligni del rene e di altri e non specificati organi urinari (C64)	F	0	0	.	.	0 (0-78)	0 (.-)	97 (62-137)	↓		n.c.	0 
Tumori maligni del rene e di altri e non specificati organi urinari (C64)	M	<5	<5	.	.	13 (1-88)	138 (31-619)	94 (75-126)			n.c.	0 
Tumori maligni del rene e di altri e non specificati organi urinari (C64)	M + F	<5	<5	.	.	6 (0-49)	90 (20-402)	109 (71-175)			n.c.	0 















Genga												
Causa di morte (ICD-X)	Genere	Osservati	Attesi	n. cluster sign.	SIR cluster	Tasso std. * 100000 (ic)	SIR (ic)	BIR (ic)	SIR sign.	BIR sign.	Trend	Livello attenzione
tumore del sistema nervoso centrale (C70-C72,D33)	F	0	0	.	.	0 (0-78)	0 (.-)	95 (63-146)	↓		n.c.	0 
tumore del sistema nervoso centrale (C70-C72,D33)	M	<5	<5	.	.	16 (1-93)	198 (44-889)	98 (72-130)			n.c.	0 
tumore del sistema nervoso centrale (C70-C72,D33)	M + F	<5	<5	.	.	8 (0-51)	119 (27-535)	99 (59-167)			n.c.	0 
Tumori maligni encefalo (C71)	F	0	0	.	.	0 (0-78)	0 (.-)	95 (64-143)	↓		n.c.	0 
Tumori maligni encefalo (C71)	M	<5	<5	.	.	16 (1-93)	204 (46-916)	86 (48-151)			n.c.	0 
Tumori maligni encefalo (C71)	M + F	<5	<5	.	.	8 (0-51)	124 (28-558)	89 (64-128)			n.c.	0 
Tumori maligni della ghiandola tiroide (C73)	F	0	0	.	.	0 (0-78)	0 (.-)	75 (35-165)	↓		n.c.	0 
Tumori maligni della ghiandola tiroide (C73)	M	0	0	.	.	0 (0-69)	0 (.-)	106 (48-179)	↓		n.c.	0 
Tumori maligni della ghiandola tiroide (C73)	M + F	0	0	.	.	0 (0-40)	0 (.-)	95 (57-167)	↓		n.c.	0 
Tumori emolinfopietici (C81-C96)	F	<5	<5	.	.	44 (12-140)	175 (70-438)	118 (86-148)			n.c.	0 
Tumori emolinfopietici (C81-C96)	M	5	2	.	.	74 (29-172)	254 (124-522)	97 (76-121)	↑		n.c.	2 
Tumori emolinfopietici (C81-C96)	M + F	8	4	.	.	59 (29-117)	217 (122-386)	105 (89-124)	↑		n.c.	2 
Malattia di Hodgkin (C81)	F	0	0	.	.	0 (0-78)	0 (.-)	83 (38-171)	↓		n.c.	0 
Malattia di Hodgkin (C81)	M	0	0	.	.	0 (0-69)	0 (.-)	70 (30-143)	↓		n.c.	0 

Genga												
Causa di morte (ICD-X)	Genere	Osservati	Attesi	n. cluster sign.	SIR cluster	Tasso std. * 100000 (ic)	SIR (ic)	BIR (ic)	SIR sign.	BIR sign.	Trend	Livello attenzione
Malattia di Hodgkin (C81)	M + F	0	0	.	.	0 (0-40)	0 (.-)	82 (33-173)	↓		n.c.	0
Linfoma non Hodgkin (C82-C85)	F	<5	<5	.	.	18 (1-105)	170 (38-764)	107 (74-154)			n.c.	0
Linfoma non Hodgkin (C82-C85)	M	<5	<5	.	.	29 (5-112)	292 (96-881)	96 (56-166)			n.c.	0
Linfoma non Hodgkin (C82-C85)	M + F	<5	<5	.	.	24 (6-73)	236 (94-590)	103 (77-137)			n.c.	0
Mieloma multiplo e tumori immunoproliferativi (C88, C90)	F	<5	<5	.	.	16 (1-101)	250 (56-1122)	110 (77-170)			n.c.	0
Mieloma multiplo e tumori immunoproliferativi (C88, C90)	M	0	0	.	.	0 (0-69)	0 (.-)	86 (68-109)	↓		n.c.	0
Mieloma multiplo e tumori immunoproliferativi (C88, C90)	M + F	<5	<5	.	.	8 (0-52)	121 (27-542)	96 (76-125)			n.c.	0
Leucemie (C91-C95)	F	<5	<5	.	.	10 (1-91)	147 (33-659)	91 (62-123)			n.c.	0
Leucemie (C91-C95)	M	<5	<5	1	117.9	45 (12-133)	370 (148-927)	113 (77-176)	↑		n.c.	3
Leucemie (C91-C95)	M + F	<5	<5	.	.	27 (9-76)	269 (121-598)	104 (77-132)	↑		n.c.	2
Leucemia linfoide (acuta e cronica) (C91)	F	0	0	.	.	0 (0-78)	0 (.-)	103 (63-150)	↓		n.c.	0
Leucemia linfoide (acuta e cronica) (C91)	M	<5	<5	.	.	15 (1-91)	328 (73-1468)	106 (69-148)			n.c.	0
Leucemia linfoide (acuta e cronica) (C91)	M + F	<5	<5	.	.	7 (0-50)	191 (43-857)	105 (69-171)			n.c.	0
Leucemia mieloide (acuta e cronica) (C92)	F	0	0	.	.	0 (0-78)	0 (.-)	94 (49-144)	↓		n.c.	0














Genga												
Causa di morte (ICD-X)	Genere	Osservati	Attesi	n. cluster sign.	SIR cluster	Tasso std. * 100000 (ic)	SIR (ic)	BIR (ic)	SIR sign.	BIR sign.	Trend	Livello attenzione
Leucemia mieloide (acuta e cronica) (C92)	M	0	0	.	.	0 (0-69)	0 (.-)	83 (42-141)	↓		n.c.	0 
Leucemia mieloide (acuta e cronica) (C92)	M + F	0	1	.	.	0 (0-40)	0 (.-)	90 (74-128)	↓		n.c.	0 
Malattie del sangue e degli organi emopoietici (D50-D77)	F	<5	<5	.	.	11 (1-92)	232 (52-1040)	92 (44-154)			n.c.	0 
Malattie del sangue e degli organi emopoietici (D50-D77)	M	0	0	.	.	0 (0-69)	0 (.-)	74 (42-179)	↓		n.c.	0 
Malattie del sangue e degli organi emopoietici (D50-D77)	M + F	<5	<5	.	.	5 (0-47)	136 (30-610)	96 (63-135)			n.c.	0 
Malattie endocrine della nutrizione ed immunitarie (E00-E90, D80-D89)	F	<5	<5	.	.	53 (18-148)	114 (51-253)	105 (78-128)			n.c.	0 
Malattie endocrine della nutrizione ed immunitarie (E00-E90, D80-D89)	M	<5	<5	.	.	16 (1-93)	38 (8-171)	100 (74-137)			n.c.	0 
Malattie endocrine della nutrizione ed immunitarie (E00-E90, D80-D89)	M + F	5	6	1	113.9	35 (14-86)	81 (40-167)	107 (84-127)			n.c.	2 
Tireotossicosi (E05)	F	0	0	.	.	0 (0-78)	0 (.-)	104 (44-242)	↓		n.c.	0 
Tireotossicosi (E05)	M	0	0	.	.	0 (0-69)	0 (.-)	65 (21-150)	↓		n.c.	0 
Tireotossicosi (E05)	M + F	0	0	.	.	0 (0-40)	0 (.-)	72 (20-557)	↓		n.c.	0 
Ipotiroidismo (E00-E03)	F	0	0	.	.	0 (0-78)	0 (.-)	95 (37-278)	↓		n.c.	0 
Ipotiroidismo (E00-E03)	M	0	0	.	.	0 (0-69)	0 (.-)	47 (13-188)	↓		n.c.	0 
Ipotiroidismo (E00-E03)	M + F	0	0	.	.	0 (0-40)	0 (.-)	96 (45-167)	↓		n.c.	0 

Genga												
Causa di morte (ICD-X)	Genere	Osservati	Attesi	n. cluster sign.	SIR cluster	Tasso std. * 100000 (ic)	SIR (ic)	BIR (ic)	SIR sign.	BIR sign.	Trend	Livello attenzione
Diabete mellito (E10-E14)	F	<5	<5	.	.	53 (18-148)	151 (68-337)	106 (82-126)			n.c.	0 
Diabete mellito (E10-E14)	M	0	2	.	.	0 (0-69)	0 (.-.)	97 (72-131)	↓		n.c.	0 
Diabete mellito (E10-E14)	M + F	<5	>5	.	.	27 (9-76)	87 (39-193)	104 (80-145)			n.c.	0 
Demenze (F00-F01, F02.0-F02.3, F03, G30, G31.0)	F	<5	>5	.	.	12 (1-94)	21 (5-94)	89 (54-132)	↓		n.c.	0 
Demenze (F00-F01, F02.0-F02.3, F03, G30, G31.0)	M	<5	<5	.	.	29 (5-110)	80 (27-243)	97 (67-133)			n.c.	0 
Demenze (F00-F01, F02.0-F02.3, F03, G30, G31.0)	M + F	<5	>5	1	122.0	20 (5-67)	41 (16-103)	91 (60-129)			n.c.	2 
Malattie neuro-psichiatriche (escluse tossicod.) (F00-F09, F20-F99)	F	<5	<5	1	141.9	12 (1-94)	36 (8-162)	99 (64-164)			n.c.	2 
Malattie neuro-psichiatriche (escluse tossicod.) (F00-F09, F20-F99)	M	<5	<5	1	146.5	29 (5-111)	141 (47-426)	138 (95-203)			n.c.	2 
Malattie neuro-psichiatriche (escluse tossicod.) (F00-F09, F20-F99)	M + F	<5	<5	1	144.4	20 (5-67)	72 (29-179)	119 (84-175)			n.c.	2 
Malattie del sistema nervoso e degli organi di senso (G00-H95)	F	<5	<5	.	.	24 (4-110)	49 (16-147)	88 (63-129)			n.c.	0 
Malattie del sistema nervoso e degli organi di senso (G00-H95)	M	<5	<5	.	.	40 (11-124)	100 (40-250)	95 (73-130)			n.c.	0 
Malattie del sistema nervoso e degli organi di senso (G00-H95)	M + F	5	7	.	.	32 (12-82)	70 (34-144)	94 (70-113)			n.c.	0 
Morbo di Parkinson (G20)	F	<5	<5	1	124.8	24 (4-110)	333 (110-1006)	97 (70-145)	↑		n.c.	3 
Morbo di Parkinson (G20)	M	0	1	.	.	0 (0-69)	0 (.-.)	94 (57-132)	↓		n.c.	0 

Genga												
Causa di morte (ICD-X)	Genere	Osservati	Attesi	n. cluster sign.	SIR cluster	Tasso std. * 100000 (ic)	SIR (ic)	BIR (ic)	SIR sign.	BIR sign.	Trend	Livello attenzione
Morbo di Parkinson (G20)	M + F	<2	<5	2	158.1	13 (2-57)	157 (52-476)	100 (67-148)			n.c.	1
Malattia di Alzheimer (G30)	F	0	2	.	.	0 (0-78)	0 (.-)	74 (46-99)	↓	↓	n.c.	0 
Malattia di Alzheimer (G30)	M	<5	<5	.	.	13 (1-87)	86 (19-386)	75 (42-114)			n.c.	0 
Malattia di Alzheimer (G30)	M + F	<5	<5	.	.	6 (0-48)	30 (7-136)	73 (50-119)			n.c.	0 
Malattia dei neuroni motori (G122)	F	0	0	.	.	0 (0-78)	0 (.-)	84 (29-253)	↓		n.c.	0 
Malattia dei neuroni motori (G122)	M	0	0	.	.	0 (0-69)	0 (.-)	116 (64-197)	↓		n.c.	0 
Malattia dei neuroni motori (G122)	M + F	0	1	.	.	0 (0-40)	0 (.-)	92 (36-226)	↓		n.c.	0 
Sclerosi multipla (G35)	F	0	0	.	.	0 (0-78)	0 (.-)	75 (23-171)	↓		n.c.	0 
Sclerosi multipla (G35)	M	0	0	.	.	0 (0-69)	0 (.-)	87 (19-389)	↓		n.c.	0 
Sclerosi multipla (G35)	M + F	0	0	.	.	0 (0-40)	0 (.-)	75 (45-128)	↓		n.c.	0 
Malattie apparato circolatorio (I00-I99)	F	39	38	.	.	439 (329-596)	102 (79-133)	98 (87-112)			↘	0 
Malattie apparato circolatorio (I00-I99)	M	31	29	.	.	426 (307-590)	107 (79-143)	101 (89-124)			→	0 
Malattie apparato circolatorio (I00-I99)	M + F	70	67	.	.	433 (350-539)	104 (86-127)	102 (86-119)			↘	0 
Malattie ischemiche del cuore (I20-I25)	F	15	13	.	.	170 (104-287)	120 (79-183)	107 (85-135)			→	0 

Genga												
Causa di morte (ICD-X)	Genere	Osservati	Attesi	n. cluster sign.	SIR cluster	Tasso std. * 100000 (ic)	SIR (ic)	BIR (ic)	SIR sign.	BIR sign.	Trend	Livello attenzione
Malattie ischemiche del cuore (I20-I25)	M	14	12	.	.	199 (119-326)	119 (77-183)	113 (93-136)			→	0 
Malattie ischemiche del cuore (I20-I25)	M + F	29	24	1	112.8	184 (131-262)	119 (88-162)	104 (88-131)			→	2 
Infarto miocardico acuto (I21-I22)	F	<5	<5	.	.	31 (8-117)	82 (33-205)	76 (55-129)			n.c.	0 
Infarto miocardico acuto (I21-I22)	M	6	4	.	.	91 (39-194)	141 (73-273)	96 (67-122)			n.c.	0 
Infarto miocardico acuto (I21-I22)	M + F	9	8	.	.	60 (31-117)	114 (66-196)	92 (68-121)			n.c.	0 
Malattie cerebrovascolari (I60-I69)	F	7	11	.	.	84 (39-186)	64 (35-117)	79 (62-95)		↓	n.c.	0 
Malattie cerebrovascolari (I60-I69)	M	7	8	.	.	91 (42-189)	92 (50-169)	89 (71-118)			n.c.	0 
Malattie cerebrovascolari (I60-I69)	M + F	14	19	.	.	87 (52-149)	75 (49-116)	82 (55-99)		↓	↘	0 
Malattie apparato respiratorio (J00-J99)	F	<5	>5	.	.	35 (9-123)	67 (27-168)	101 (76-124)			n.c.	0 
Malattie apparato respiratorio (J00-J99)	M	7	6	.	.	82 (38-175)	113 (61-209)	106 (88-135)			n.c.	0 
Malattie apparato respiratorio (J00-J99)	M + F	10	11	.	.	58 (31-112)	94 (56-157)	98 (83-120)			n.c.	0 
Malattie respiratorie acute (J00-J06, J10-J18, J20-J22)	F	<5	<5	.	.	24 (4-110)	150 (50-453)	98 (56-139)			n.c.	0 
Malattie respiratorie acute (J00-J06, J10-J18, J20-J22)	M	<5	<5	.	.	11 (1-84)	76 (17-343)	95 (70-136)			n.c.	0 
Malattie respiratorie acute (J00-J06, J10-J18, J20-J22)	M + F	<5	<5	.	.	18 (5-63)	114 (45-284)	86 (52-132)			n.c.	0 

Genga												
Causa di morte (ICD-X)	Genere	Osservati	Attesi	n. cluster sign.	SIR cluster	Tasso std. * 100000 (ic)	SIR (ic)	BIR (ic)	SIR sign.	BIR sign.	Trend	Livello attenzione
Malattie croniche apparato respiratorio (BCPO) (J41-J44, J47)	F	<5	<5	1	135.2	10 (1-91)	54 (12-242)	115 (74-156)			n.c.	2 😊
Malattie croniche apparato respiratorio (BCPO) (J41-J44, J47)	M	5	3	1	131.5	59 (23-147)	148 (72-304)	114 (81-166)			n.c.	2 😊
Malattie croniche apparato respiratorio (BCPO) (J41-J44, J47)	M + F	6	5	1	127.9	34 (15-83)	115 (59-222)	108 (81-157)			n.c.	2 😊
Asma (J45)	F	0	0	.	.	0 (0-78)	0 (.-)	102 (48-249)	↓		n.c.	0 😞
Asma (J45)	M	0	0	.	.	0 (0-69)	0 (.-)	120 (50-362)	↓		n.c.	0 😞
Asma (J45)	M + F	0	0	.	.	0 (0-40)	0 (.-)	99 (53-210)	↓		n.c.	0 😞
Pneumoconiosi (J60-J64)	M	<5	<5	.	.	11 (1-84)	685 (153-3071)	224 (69-1132)	↑		n.c.	2 😊
Pneumoconiosi (J60-J64)	M + F	<5	<5	.	.	6 (0-47)	685 (153-3071)	224 (69-1132)	↑		n.c.	2 😊
Malattie apparato digerente (K00-K93)	F	<5	<5	.	.	35 (9-124)	99 (39-247)	91 (72-118)			n.c.	0 😞
Malattie apparato digerente (K00-K93)	M	<5	<5	.	.	13 (1-87)	36 (8-163)	92 (73-121)			n.c.	0 😞
Malattie apparato digerente (K00-K93)	M + F	<5	>5	.	.	24 (8-71)	69 (31-154)	92 (78-115)			n.c.	0 😞
Cirrosi e altre malattie croniche del fegato (K70, K73-K74)	F	<5	<5	.	.	11 (1-92)	214 (48-959)	81 (57-143)			n.c.	0 😞
Cirrosi e altre malattie croniche del fegato (K70, K73-K74)	M	0	1	.	.	0 (0-69)	0 (.-)	96 (69-129)	↓		n.c.	0 😞
Cirrosi e altre malattie croniche del fegato (K70, K73-K74)	M + F	<5	<5	.	.	5 (0-47)	80 (18-358)	97 (75-134)			n.c.	0 😞

Genga												
Causa di morte (ICD-X)	Genere	Osservati	Attesi	n. cluster sign.	SIR cluster	Tasso std. * 100000 (ic)	SIR (ic)	BIR (ic)	SIR sign.	BIR sign.	Trend	Livello attenzione
Nefropatie croniche e acute (N00-N12)	F	0	0	.	.	0 (0-78)	0 (.-)	18 (3-288)	↓		n.c.	0 
Nefropatie croniche e acute (N00-N12)	M	0	0	.	.	0 (0-69)	0 (.-)	91 (17-308)	↓		n.c.	0 
Nefropatie croniche e acute (N00-N12)	M + F	0	0	.	.	0 (0-40)	0 (.-)	102 (48-174)	↓		n.c.	0 
Malattie apparato genito-urinario (N00-N99)	F	<5	<5	.	.	21 (4-104)	127 (42-384)	100 (72-125)			n.c.	0 
Malattie apparato genito-urinario (N00-N99)	M	<5	<5	.	.	11 (1-84)	68 (15-303)	106 (68-164)			n.c.	0 
Malattie apparato genito-urinario (N00-N99)	M + F	<5	<5	.	.	16 (4-60)	98 (39-246)	94 (76-128)			n.c.	0 
Insufficienza renale acuta e cronica (N17-N19)	F	<5	<5	.	.	21 (4-104)	156 (52-472)	98 (64-148)			n.c.	0 
Insufficienza renale acuta e cronica (N17-N19)	M	<5	<5	.	.	11 (1-84)	84 (19-376)	96 (65-156)			n.c.	0 
Insufficienza renale acuta e cronica (N17-N19)	M + F	<5	<5	1	111.0	16 (4-60)	121 (48-304)	100 (68-133)			n.c.	2 
Sintomi, segni e stati morbosi mal definiti (R00-R99)	F	<5	<5	.	.	14 (1-97)	89 (20-398)	49 (15-141)			n.c.	0 
Sintomi, segni e stati morbosi mal definiti (R00-R99)	M	<5	<5	.	.	47 (12-136)	600 (240-1500)	180 (69-510)	↑		n.c.	2 
Sintomi, segni e stati morbosi mal definiti (R00-R99)	M + F	<5	<5	.	.	30 (10-80)	246 (110-548)	144 (67-412)	↑		n.c.	2 
Traumatismi e avvelenamenti (S00-T98)	F	<5	<5	.	.	21 (4-105)	77 (26-234)	90 (68-128)			n.c.	0 


























































Genga												
Causa di morte (ICD-X)	Genere	Osservati	Attesi	n. cluster sign.	SIR cluster	Tasso std. * 100000 (ic)	SIR (ic)	BIR (ic)	SIR sign.	BIR sign.	Trend	Livello attenzione
Traumatismi e avvelenamenti (S00-T98)	M	<5	<5	1	123.6	42 (11-128)	83 (33-207)	113 (93-131)			n.c.	2 
Traumatismi e avvelenamenti (S00-T98)	M + F	5	6	.	.	31 (12-81)	80 (39-165)	101 (85-124)			n.c.	0 















Tabella 20. Mortalità per causa nel comune di Matelica, tutte le età – Anni 2006-2011, confronto Regione Marche.















Matelica				n. cluster sign.	SIR cluster	Tasso std. * 100000 (ic)	SIR (ic)	BIR (ic)	SIR sign.	BIR sign.	Trend	Livello attenzione
Causa di morte (ICD-X)	Genere	Osservati	Attesi									
Mortalità generale (escluse cause violente) (A00-R99)	F	376	352	.	.	1042 (955-1137)	107 (98-116)	103 (95-110)			→	0 
Mortalità generale (escluse cause violente) (A00-R99)	M	331	327	.	.	997 (908-1093)	101 (92-111)	100 (94-108)			→	0 
Mortalità generale (escluse cause violente) (A00-R99)	M + F	707	679	.	.	1020 (958-1087)	104 (98-111)	102 (97-107)			→	0 
Mortalità per cause esterne o violente (S00-Y99)	F	8	12	.	.	23 (12-44)	69 (39-122)	92 (69-120)			n.c.	0 
Mortalità per cause esterne o violente (S00-Y99)	M	20	17	1	123.6	62 (41-91)	116 (81-167)	105 (86-123)			→	2 
Mortalità per cause esterne o violente (S00-Y99)	M + F	28	29	.	.	42 (30-58)	97 (71-132)	99 (83-113)			→	0 
Malattie infettive (A00-B99)	F	9	5	.	.	27 (14-49)	175 (102-301)	113 (89-138)	↑		n.c.	2 
Malattie infettive (A00-B99)	M	7	5	1	120.6	21 (10-42)	146 (79-270)	103 (83-135)			n.c.	2 
Malattie infettive (A00-B99)	M + F	16	10	.	.	24 (15-38)	161 (107-243)	109 (91-143)	↑		→	2 
Tumori maligni delle vie aeree e digestive superiori (C00-C15, C32)	F	<5	<5	.	.	9 (3-25)	279 (112-698)	107 (72-136)	↑		n.c.	2 
Tumori maligni delle vie aeree e digestive superiori (C00-C15, C32)	M	5	4	.	.	16 (6-34)	128 (62-263)	97 (78-119)			n.c.	0 
Tumori maligni delle vie aeree e digestive superiori (C00-C15, C32)	M + F	8	5	.	.	12 (6-23)	161 (91-285)	98 (85-129)			n.c.	0 
Tumori maligni (C00-C97)	F	90	81	.	.	270 (224-322)	111 (94-132)	103 (96-111)			→	0 















Matelica													
Causa di morte (ICD-X)	Genere	Osservati	Attesi	n. cluster sign.	SIR cluster	Tasso std. * 100000 (ic)	SIR (ic)	BIR (ic)	SIR sign.	BIR sign.	Trend	Livello attenzione	
Tumori maligni (C00-C97)	M	102	108	1	104.3	314 (264-371)	95 (80-111)	98 (92-104)			→	2 	
Tumori maligni (C00-C97)	M + F	192	189	.	.	291 (257-329)	102 (90-114)	99 (93-105)			→	0 	
Tumori maligni esofago (C15)	F	<5	<5	.	.	3 (0-17)	285 (64-1277)	76 (57-136)			n.c.	0 	
Tumori maligni esofago (C15)	M	0	1	.	.	0 (0-11)	0 (.-)	64 (31-117)	↓		n.c.	0 	
Tumori maligni esofago (C15)	M + F	<5	<5	.	.	2 (0-9)	66 (15-297)	81 (56-105)			n.c.	0 	
Tumori maligni dello stomaco (C16)	F	14	7	1	120.6	41 (25-66)	205 (133-317)	107 (95-143)	↑		↘	2 	
Tumori maligni dello stomaco (C16)	M	12	9	1	152.2	37 (21-60)	135 (84-216)	117 (95-145)			n.c.	2 	
Tumori maligni dello stomaco (C16)	M + F	26	16	1	140.4	39 (27-55)	165 (120-228)	126 (104-152)	↑	↑	→	5 	
Tumori maligni intestino tenue compreso il duodeno (C17)	F	0	0	.	.	0 (0-12)	0 (.-)	71 (29-160)	↓		n.c.	0 	
Tumori maligni intestino tenue compreso il duodeno (C17)	M	<5	<5	.	.	3 (0-17)	557 (124-2497)	88 (47-166)	↑		n.c.	2 	
Tumori maligni intestino tenue compreso il duodeno (C17)	M + F	<5	<5	.	.	2 (0-8)	290 (65-1302)	55 (22-111)			n.c.	0 	
Tumori maligni del colon (C18)	F	9	8	.	.	28 (14-50)	110 (64-189)	105 (88-125)			n.c.	0 	
Tumori maligni del colon (C18)	M	7	10	.	.	22 (10-43)	71 (38-131)	103 (81-127)			n.c.	0 	
Tumori maligni del colon (C18)	M + F	16	18	1	108.7	25 (16-39)	89 (59-133)	102 (84-114)			n.c.	2 	

Matelica												
Causa di morte (ICD-X)	Genere	Osservati	Attesi	n. cluster sign.	SIR cluster	Tasso std. * 100000 (ic)	SIR (ic)	BIR (ic)	SIR sign.	BIR sign.	Trend	Livello attenzione
Tumori maligni del retto della giunzione retto-sigmoidea e ano (C19-C21)	F	<5	<5	.	.	3 (0-16)	40 (9-180)	100 (76-119)			n.c.	0 
Tumori maligni del retto della giunzione retto-sigmoidea e ano (C19-C21)	M	<5	<5	1	132.0	12 (4-29)	123 (55-273)	95 (66-145)			n.c.	2 
Tumori maligni del retto della giunzione retto-sigmoidea e ano (C19-C21)	M + F	5	6	.	.	7 (3-16)	87 (42-178)	99 (65-137)			n.c.	0 
Tumore fegato e dotti biliari (C22)	F	<5	<5	.	.	3 (0-16)	45 (10-203)	102 (71-137)			n.c.	0 
Tumore fegato e dotti biliari (C22)	M	7	4	1	142.9	22 (10-42)	161 (87-296)	111 (89-138)			n.c.	2 
Tumore fegato e dotti biliari (C22)	M + F	8	7	.	.	12 (6-22)	122 (69-216)	108 (85-146)			→	0 
Tumori maligni del pancreas (C25)	F	8	6	.	.	23 (12-44)	134 (76-238)	109 (82-134)			n.c.	0 
Tumori maligni del pancreas (C25)	M	<5	>5	.	.	9 (2-25)	50 (20-126)	98 (74-128)			n.c.	0 
Tumori maligni del pancreas (C25)	M + F	11	12	.	.	16 (9-28)	92 (57-151)	101 (90-113)			n.c.	0 
Tumore del retroperitoneo (C48)	F	0	0	.	.	0 (0-12)	0 (.-.)	86 (42-162)	↓		n.c.	0 
Tumore del retroperitoneo (C48)	M	0	0	.	.	0 (0-11)	0 (.-.)	70 (49-156)	↓		n.c.	0 
Tumore del retroperitoneo (C48)	M + F	0	1	.	.	0 (0-6)	0 (.-.)	72 (29-165)	↓		n.c.	0 
Tumori maligni della laringe (C32)	F	0	0	.	.	0 (0-12)	0 (.-.)	112 (64-244)	↓		n.c.	0 
Tumori maligni della laringe (C32)	M	<5	<5	.	.	10 (3-26)	218 (87-545)	112 (75-156)			n.c.	0 















Matelica												
Causa di morte (ICD-X)	Genere	Osservati	Attesi	n. cluster sign.	SIR cluster	Tasso std. * 100000 (ic)	SIR (ic)	BIR (ic)	SIR sign.	BIR sign.	Trend	Livello attenzione
Tumori maligni della laringe (C32)	M + F	<5	<5	.	.	5 (1-13)	203 (81-509)	111 (73-150)			n.c.	0 
Tumori maligni della trachea dei bronchi e dei polmoni (C33-C34)	F	7	8	.	.	21 (10-40)	90 (49-166)	90 (71-119)			n.c.	0 
Tumori maligni della trachea dei bronchi e dei polmoni (C33-C34)	M	27	27	.	.	82 (58-114)	100 (73-137)	95 (83-107)			→	0 
Tumori maligni della trachea dei bronchi e dei polmoni (C33-C34)	M + F	34	35	.	.	50 (37-68)	98 (74-129)	99 (85-118)			→	0 
Mesotelioma (pleura, peritoneo, endocardio, ecc.) (C45)	F	0	0	.	.	0 (0-12)	0 (.-)	73 (33-150)	↓		n.c.	0 
Mesotelioma (pleura, peritoneo, endocardio, ecc.) (C45)	M	0	1	.	.	0 (0-11)	0 (.-)	65 (29-123)	↓		n.c.	0 
Mesotelioma (pleura, peritoneo, endocardio, ecc.) (C45)	M + F	0	1	.	.	0 (0-6)	0 (.-)	104 (58-159)	↓		n.c.	0 
Tumori maligni delle ossa e della cartilagine articolare (C40-C41)	F	<5	<5	.	.	6 (1-21)	858 (284-2592)	98 (58-184)	↑		n.c.	2 
Tumori maligni delle ossa e della cartilagine articolare (C40-C41)	M	0	0	.	.	0 (0-11)	0 (.-)	82 (40-147)	↓		n.c.	0 
Tumori maligni delle ossa e della cartilagine articolare (C40-C41)	M + F	<5	<5	.	.	3 (1-11)	401 (133-1212)	115 (65-160)	↑		n.c.	2 
Tumori maligni del connettivo e di altri tessuti molli (C49)	F	0	1	.	.	0 (0-12)	0 (.-)	87 (59-157)	↓		n.c.	0 
Tumori maligni del connettivo e di altri tessuti molli (C49)	M	<5	<5	.	.	6 (1-21)	423 (140-1279)	113 (57-265)	↑		n.c.	2 
Tumori maligni del connettivo e di altri tessuti molli (C49)	M + F	<5	<5	.	.	3 (1-10)	203 (67-613)	117 (66-190)			n.c.	0 
Melanoma maligno della pelle (C43)	F	<5	<5	.	.	4 (0-18)	110 (24-491)	96 (55-202)			n.c.	0 















Matelica												
Causa di morte (ICD-X)	Genere	Osservati	Attesi	n. cluster sign.	SIR cluster	Tasso std. * 100000 (ic)	SIR (ic)	BIR (ic)	SIR sign.	BIR sign.	Trend	Livello attenzione
Melanoma maligno della pelle (C43)	M	0	1	.	.	0 (0-11)	0 (.-)	70 (46-121)	↓		n.c.	0 
Melanoma maligno della pelle (C43)	M + F	<5	<5	.	.	2 (0-9)	47 (11-211)	95 (70-133)			n.c.	0 
Tumori maligni della mammella (C50)	F	7	13	.	.	21 (10-42)	55 (30-101)	95 (82-106)			n.c.	0 
Tumori maligni utero (C53-C55)	F	<5	<5	.	.	6 (1-21)	66 (22-199)	87 (67-109)			n.c.	0 
Tumori maligni del corpo dell'utero (C54)	F	<5	<5	.	.	3 (0-16)	123 (27-550)	96 (55-184)			n.c.	0 
Tumori maligni ovaio e degli altri annessi uterini (C56-C57)	F	<5	<5	.	.	8 (2-24)	82 (33-206)	98 (73-132)			n.c.	0 
Tumore della prostata (C61)	M	<5	>5	.	.	11 (4-28)	43 (19-96)	84 (72-105)	↓		n.c.	0 
Tumore del testicolo (C62)	M	0	0	.	.	0 (0-11)	0 (.-)	46 (12-160)	↓		n.c.	0 
Tumori maligni della vescica (C67)	F	0	1	.	.	0 (0-12)	0 (.-)	80 (46-114)	↓		n.c.	0 
Tumori maligni della vescica (C67)	M	7	5	.	.	22 (10-42)	136 (74-252)	101 (77-124)			n.c.	0 
Tumori maligni della vescica (C67)	M + F	7	6	.	.	11 (5-21)	109 (59-202)	98 (88-120)			n.c.	0 
Tumori maligni del rene e di altri e non specificati organi urinari (C64)	F	<5	<5	.	.	3 (0-16)	57 (13-257)	88 (69-114)			n.c.	0 
Tumori maligni del rene e di altri e non specificati organi urinari (C64)	M	5	3	.	.	16 (6-34)	148 (72-303)	102 (80-130)			n.c.	0 
Tumori maligni del rene e di altri e non specificati organi urinari (C64)	M + F	6	5	.	.	9 (4-19)	117 (60-226)	98 (75-127)			n.c.	0 















Matelica												
Causa di morte (ICD-X)	Genere	Osservati	Attesi	n. cluster sign.	SIR cluster	Tasso std. * 100000 (ic)	SIR (ic)	BIR (ic)	SIR sign.	BIR sign.	Trend	Livello attenzione
tumore del sistema nervoso centrale (C70-C72,D33)	F	<5	<5	.	.	9 (2-25)	185 (74-464)	106 (96-140)			n.c.	0 
tumore del sistema nervoso centrale (C70-C72,D33)	M	<5	<5	.	.	3 (0-16)	40 (9-180)	92 (76-120)			n.c.	0 
tumore del sistema nervoso centrale (C70-C72,D33)	M + F	<5	<5	.	.	6 (2-15)	97 (44-217)	98 (74-126)			n.c.	0 
Tumori maligni encefalo (C71)	F	<5	<5	.	.	9 (2-25)	196 (78-490)	106 (77-132)			n.c.	0 
Tumori maligni encefalo (C71)	M	<5	<5	.	.	3 (0-16)	41 (9-185)	76 (50-113)			n.c.	0 
Tumori maligni encefalo (C71)	M + F	<5	<5	.	.	6 (2-15)	101 (45-225)	87 (62-109)			n.c.	0 
Tumori maligni della ghiandola tiroide (C73)	F	<5	<5	.	.	3 (0-16)	294 (66-1320)	83 (42-164)			n.c.	0 
Tumori maligni della ghiandola tiroide (C73)	M	0	0	.	.	0 (0-11)	0 (.-.)	101 (55-182)	↓		n.c.	0 
Tumori maligni della ghiandola tiroide (C73)	M + F	<5	<5	.	.	2 (0-8)	182 (41-816)	103 (73-150)			n.c.	0 
Tumori emolinfopoiетici (C81-C96)	F	12	8	.	.	36 (21-59)	156 (98-250)	106 (89-129)			↘	0 
Tumori emolinfopoiетici (C81-C96)	M	<5	>5	.	.	12 (4-30)	44 (20-97)	87 (72-100)	↓	↓	n.c.	0 
Tumori emolinfopoiетici (C81-C96)	M + F	16	17	.	.	24 (15-38)	95 (63-143)	99 (88-107)			↘	0 
Malattia di Hodgkin (C81)	F	0	0	.	.	0 (0-12)	0 (.-.)	75 (43-128)	↓		n.c.	0 
Malattia di Hodgkin (C81)	M	0	0	.	.	0 (0-11)	0 (.-.)	72 (36-134)	↓		n.c.	0 















Matelica				n. cluster sign.	SIR cluster	Tasso std. * 100000 (ic)	SIR (ic)	BIR (ic)	SIR sign.	BIR sign.	Trend	Livello attenzione
Causa di morte (ICD-X)	Genere	Osservati	Attesi									
Malattia di Hodgkin (C81)	M + F	0	0	.	.	0 (0-6)	0 (-.)	94 (50-171)	↓		n.c.	0 
Linfoma non Hodgkin (C82-C85)	F	<5	<5	.	.	6 (1-21)	76 (25-229)	112 (88-152)			n.c.	0 
Linfoma non Hodgkin (C82-C85)	M	<5	<5	.	.	6 (1-21)	63 (21-190)	78 (55-114)			n.c.	0 
Linfoma non Hodgkin (C82-C85)	M + F	<5	>5	.	.	6 (2-15)	69 (31-153)	93 (74-114)			n.c.	0 
Mieloma multiplo e tumori immunoproliferativi (C88, C90)	F	<5	<5	.	.	6 (1-21)	114 (38-343)	111 (82-135)			n.c.	0 
Mieloma multiplo e tumori immunoproliferativi (C88, C90)	M	<5	<5	.	.	3 (0-16)	51 (11-228)	85 (70-114)			n.c.	0 
Mieloma multiplo e tumori immunoproliferativi (C88, C90)	M + F	<5	<5	.	.	5 (1-13)	80 (32-201)	95 (80-121)			n.c.	0 
Leucemie (C91-C95)	F	8	3	.	.	23 (12-44)	260 (147-462)	114 (85-137)	↑		n.c.	2 
Leucemie (C91-C95)	M	<5	<5	.	.	3 (0-16)	26 (6-117)	82 (63-110)			n.c.	0 
Leucemie (C91-C95)	M + F	9	7	.	.	14 (7-24)	131 (76-225)	99 (83-117)			n.c.	0 
Leucemia linfoide (acuta e cronica) (C91)	F	<5	<5	.	.	6 (1-20)	201 (67-608)	96 (64-139)			n.c.	0 
Leucemia linfoide (acuta e cronica) (C91)	M	0	1	.	.	0 (0-11)	0 (-.)	87 (50-122)	↓		n.c.	0 
Leucemia linfoide (acuta e cronica) (C91)	M + F	<5	<5	.	.	3 (1-10)	82 (27-249)	90 (67-123)			n.c.	0 
Leucemia mieloide (acuta e cronica) (C92)	F	<5	<5	.	.	12 (4-29)	282 (127-629)	106 (72-142)	↑		n.c.	2 














Matelica												
Causa di morte (ICD-X)	Genere	Osservati	Attesi	n. cluster sign.	SIR cluster	Tasso std. * 100000 (ic)	SIR (ic)	BIR (ic)	SIR sign.	BIR sign.	Trend	Livello attenzione
Leucemia mieloide (acuta e cronica) (C92)	M	0	2	.	.	0 (0-11)	0 (.-)	85 (58-120)	↓		n.c.	0
Leucemia mieloide (acuta e cronica) (C92)	M + F	<5	<5	.	.	6 (2-15)	129 (58-288)	96 (68-112)			n.c.	0
Malattie del sangue e degli organi emopoietici (D50-D77)	F	<5	<5	.	.	8 (2-24)	155 (62-389)	88 (56-148)			n.c.	0
Malattie del sangue e degli organi emopoietici (D50-D77)	M	<5	<5	.	.	2 (0-15)	74 (17-333)	89 (44-141)			n.c.	0
Malattie del sangue e degli organi emopoietici (D50-D77)	M + F	<5	<5	.	.	5 (2-14)	122 (55-272)	89 (59-132)			n.c.	0
Malattie endocrine della nutrizione ed immunitarie (E00-E90, D80-D89)	F	12	15	.	.	32 (19-54)	78 (49-125)	95 (81-118)			n.c.	0
Malattie endocrine della nutrizione ed immunitarie (E00-E90, D80-D89)	M	14	12	.	.	42 (25-66)	120 (77-185)	103 (76-123)			n.c.	0
Malattie endocrine della nutrizione ed immunitarie (E00-E90, D80-D89)	M + F	26	27	.	.	37 (26-52)	96 (70-132)	101 (85-127)			n.c.	0
Tireotossicosi (E05)	F	0	0	.	.	0 (0-12)	0 (.-)	109 (57-203)	↓		n.c.	0
Tireotossicosi (E05)	M	<5	<5	.	.	3 (0-16)	1643 (367-7364)	78 (27-156)	↑		n.c.	2
Tireotossicosi (E05)	M + F	<5	<5	.	.	2 (0-8)	422 (94-1892)	89 (33-383)			n.c.	0
Ipotiroidismo (E00-E03)	F	0	0	.	.	0 (0-12)	0 (.-)	76 (34-191)	↓		n.c.	0
Ipotiroidismo (E00-E03)	M	0	0	.	.	0 (0-11)	0 (.-)	65 (11-294)	↓		n.c.	0
Ipotiroidismo (E00-E03)	M + F	0	0	.	.	0 (0-6)	0 (.-)	71 (37-126)	↓		n.c.	0

Matelica												
Causa di morte (ICD-X)	Genere	Osservati	Attesi	n. cluster sign.	SIR cluster	Tasso std. * 100000 (ic)	SIR (ic)	BIR (ic)	SIR sign.	BIR sign.	Trend	Livello attenzione
Diabete mellito (E10-E14)	F	8	12	.	.	22 (11-42)	69 (39-123)	94 (78-115)			n.c.	0 
Diabete mellito (E10-E14)	M	10	9	.	.	30 (16-52)	114 (68-191)	100 (84-135)			n.c.	0 
Diabete mellito (E10-E14)	M + F	18	20	.	.	26 (17-39)	89 (60-130)	100 (76-117)			n.c.	0 
Demenze (F00-F01, F02.0-F02.3, F03, G30, G31.0)	F	26	20	.	.	71 (49-100)	128 (93-176)	117 (81-140)			→	0 
Demenze (F00-F01, F02.0-F02.3, F03, G30, G31.0)	M	8	11	.	.	24 (12-44)	76 (43-136)	95 (71-115)			n.c.	0 
Demenze (F00-F01, F02.0-F02.3, F03, G30, G31.0)	M + F	34	31	1	122.0	48 (35-65)	110 (83-146)	105 (87-122)			→	2 
Malattie neuro-psichiatriche (escluse tossicod.) (F00-F09, F20-F99)	F	16	12	1	141.9	43 (27-67)	134 (89-202)	124 (87-166)			→	2 
Malattie neuro-psichiatriche (escluse tossicod.) (F00-F09, F20-F99)	M	5	6	.	.	15 (6-32)	84 (41-173)	101 (79-133)			n.c.	0 
Malattie neuro-psichiatriche (escluse tossicod.) (F00-F09, F20-F99)	M + F	21	18	1	144.4	29 (19-43)	117 (82-168)	110 (84-134)			→	2 
Malattie del sistema nervoso e degli organi di senso (G00-H95)	F	16	18	.	.	44 (27-68)	91 (60-137)	92 (73-113)			↘	0 
Malattie del sistema nervoso e degli organi di senso (G00-H95)	M	7	13	.	.	22 (10-42)	53 (29-98)	79 (59-96)	↓	↓	n.c.	0 
Malattie del sistema nervoso e degli organi di senso (G00-H95)	M + F	23	31	.	.	33 (22-47)	75 (53-105)	85 (70-103)			↘	0 
Morbo di Parkinson (G20)	F	<5	<5	1	124.8	3 (0-16)	40 (9-178)	99 (77-136)			n.c.	2 
Morbo di Parkinson (G20)	M	<5	<5	.	.	9 (3-25)	104 (41-260)	85 (63-114)			n.c.	0 

Matelica												
Causa di morte (ICD-X)	Genere	Osservati	Attesi	n. cluster sign.	SIR cluster	Tasso std. * 100000 (ic)	SIR (ic)	BIR (ic)	SIR sign.	BIR sign.	Trend	Livello attenzione
Morbo di Parkinson (G20)	M + F	<5	>5	.	.	6 (2-15)	74 (33-165)	85 (56-105)			n.c.	0 
Malattia di Alzheimer (G30)	F	10	9	.	.	28 (15-49)	112 (67-187)	93 (66-141)			n.c.	0 
Malattia di Alzheimer (G30)	M	<5	>5	.	.	9 (3-25)	61 (24-152)	93 (58-140)			n.c.	0 
Malattia di Alzheimer (G30)	M + F	13	14	.	.	19 (11-31)	94 (60-147)	97 (75-126)			↗	1 
Malattia dei neuroni motori (G122)	F	0	1	.	.	0 (0-12)	0 (.-)	54 (20-127)	↓		n.c.	0 
Malattia dei neuroni motori (G122)	M	<5	<5	.	.	3 (0-16)	79 (18-356)	110 (68-177)			n.c.	0 
Malattia dei neuroni motori (G122)	M + F	<5	<5	.	.	1 (0-8)	40 (9-180)	75 (41-128)			n.c.	0 
Sclerosi multipla (G35)	F	0	0	.	.	0 (0-12)	0 (.-)	77 (46-136)	↓		n.c.	0 
Sclerosi multipla (G35)	M	0	0	.	.	0 (0-11)	0 (.-)	83 (20-235)	↓		n.c.	0 
Sclerosi multipla (G35)	M + F	0	0	.	.	0 (0-6)	0 (.-)	89 (54-134)	↓		n.c.	0 
Malattie apparato circolatorio (I00-I99)	F	173	165	.	.	461 (404-525)	105 (92-119)	105 (98-115)			↗	1 
Malattie apparato circolatorio (I00-I99)	M	119	126	.	.	354 (302-413)	94 (81-110)	97 (87-109)			→	0 
Malattie apparato circolatorio (I00-I99)	M + F	292	292	.	.	409 (370-452)	100 (91-110)	100 (93-109)			↗	1 
Malattie ischemiche del cuore (I20-I25)	F	89	54	1	146.0	238 (198-286)	164 (138-195)	140 (119-162)	↑	↑	→	5 

Matelica													
Causa di morte (ICD-X)	Genere	Osservati	Attesi	n. cluster sign.	SIR cluster	Tasso std. * 100000 (ic)	SIR (ic)	BIR (ic)	SIR sign.	BIR sign.	Trend	Livello attenzione	
Malattie ischemiche del cuore (I20-I25)	M	50	52	.	.	150 (117-191)	97 (77-122)	102 (93-116)			→	0	
Malattie ischemiche del cuore (I20-I25)	M + F	139	106	1	112.8	195 (169-226)	131 (114-151)	126 (114-144)	↑	↑	→	5	
Infarto miocardico acuto (I21-I22)	F	34	16	1	154.1	94 (69-127)	215 (162-284)	152 (121-187)	↑	↑	→	5	
Infarto miocardico acuto (I21-I22)	M	22	19	.	.	65 (44-94)	115 (81-163)	103 (85-121)			→	0	
Infarto miocardico acuto (I21-I22)	M + F	56	35	.	.	80 (63-101)	160 (128-199)	132 (113-155)	↑	↑	→	4	
Malattie cerebrovascolari (I60-I69)	F	50	48	1	118.7	131 (102-168)	105 (84-133)	98 (83-115)			→	2	
Malattie cerebrovascolari (I60-I69)	M	38	33	1	120.0	111 (83-147)	115 (88-150)	103 (93-118)			→	2	
Malattie cerebrovascolari (I60-I69)	M + F	88	81	1	117.1	121 (101-146)	109 (92-130)	104 (91-120)			→	2	
Malattie apparato respiratorio (J00-J99)	F	26	20	.	.	71 (50-100)	133 (97-184)	109 (90-125)			→	0	
Malattie apparato respiratorio (J00-J99)	M	40	27	.	.	119 (90-156)	151 (116-195)	112 (100-129)	↑		→	2	
Malattie apparato respiratorio (J00-J99)	M + F	66	46	.	.	94 (76-116)	143 (117-175)	120 (101-132)	↑	↑	→	4	
Malattie respiratorie acute (J00-J06, J10-J18, J20-J22)	F	7	6	.	.	20 (9-39)	120 (65-221)	82 (59-125)			n.c.	0	
Malattie respiratorie acute (J00-J06, J10-J18, J20-J22)	M	9	6	.	.	28 (14-49)	160 (93-275)	101 (80-125)			→	0	
Malattie respiratorie acute (J00-J06, J10-J18, J20-J22)	M + F	16	12	.	.	23 (15-37)	139 (93-210)	102 (74-135)			→	0	

Matelica												
Causa di morte (ICD-X)	Genere	Osservati	Attesi	n. cluster sign.	SIR cluster	Tasso std. * 100000 (ic)	SIR (ic)	BIR (ic)	SIR sign.	BIR sign.	Trend	Livello attenzione
Malattie croniche apparato respiratorio (BCPO) (J41-J44, J47)	F	16	8	1	135.2	43 (27-67)	197 (131-297)	131 (104-176)	↑	↑	n.c.	5 
Malattie croniche apparato respiratorio (BCPO) (J41-J44, J47)	M	22	14	1	131.5	64 (43-92)	153 (108-217)	119 (96-151)	↑		→	3 
Malattie croniche apparato respiratorio (BCPO) (J41-J44, J47)	M + F	38	22	1	127.9	53 (40-71)	169 (130-221)	126 (100-164)	↑		→	3 
Asma (J45)	F	0	0	.	.	0 (0-12)	0 (.-.)	64 (35-148)	↓		n.c.	0 
Asma (J45)	M	<5	<5	.	.	3 (0-16)	461 (103-2066)	95 (48-207)	↑		n.c.	2 
Asma (J45)	M + F	<5	<5	.	.	1 (0-8)	196 (44-880)	86 (41-189)			n.c.	0 
Pneumoconiosi (J60-J64)	M	<5	<5	.	.	3 (0-16)	160 (36-718)	90 (39-220)			n.c.	0 
Pneumoconiosi (J60-J64)	M + F	<5	<5	.	.	2 (0-8)	160 (36-718)	90 (39-220)			n.c.	0 
Malattie apparato digerente (K00-K93)	F	11	13	.	.	32 (18-54)	83 (51-135)	91 (78-106)			→	0 
Malattie apparato digerente (K00-K93)	M	13	12	.	.	39 (23-63)	105 (67-165)	96 (82-111)			→	0 
Malattie apparato digerente (K00-K93)	M + F	24	26	.	.	35 (24-50)	94 (67-131)	94 (83-110)			→	0 
Cirrosi e altre malattie croniche del fegato (K70, K73-K74)	F	0	2	.	.	0 (0-12)	0 (.-.)	83 (55-109)	↓		n.c.	0 
Cirrosi e altre malattie croniche del fegato (K70, K73-K74)	M	6	4	.	.	18 (8-36)	158 (82-306)	100 (72-125)			n.c.	0 
Cirrosi e altre malattie croniche del fegato (K70, K73-K74)	M + F	6	6	.	.	9 (4-18)	101 (52-195)	95 (64-126)			n.c.	0 

Matelica												
Causa di morte (ICD-X)	Genere	Osservati	Attesi	n. cluster sign.	SIR cluster	Tasso std. * 100000 (ic)	SIR (ic)	BIR (ic)	SIR sign.	BIR sign.	Trend	Livello attenzione
Nefropatie croniche e acute (N00-N12)	F	0	0	.	.	0 (0-12)	0 (.-.)	26 (6-123)	↓		n.c.	0 
Nefropatie croniche e acute (N00-N12)	M	<5	<5	.	.	3 (0-17)	908 (203-4072)	64 (21-191)	↑		n.c.	2 
Nefropatie croniche e acute (N00-N12)	M + F	<5	<5	.	.	2 (0-8)	422 (94-1894)	104 (71-180)			n.c.	0 
Malattie apparato genito-urinario (N00-N99)	F	9	7	.	.	24 (12-43)	132 (77-226)	107 (93-130)			n.c.	0 
Malattie apparato genito-urinario (N00-N99)	M	10	6	.	.	29 (16-51)	157 (94-263)	117 (90-174)			↗	1 
Malattie apparato genito-urinario (N00-N99)	M + F	19	13	.	.	26 (17-40)	144 (99-209)	113 (88-136)			↗	1 
Insufficienza renale acuta e cronica (N17-N19)	F	6	6	.	.	16 (7-34)	109 (56-211)	105 (74-140)			n.c.	0 
Insufficienza renale acuta e cronica (N17-N19)	M	8	5	.	.	23 (11-43)	156 (88-277)	116 (77-153)			→	0 
Insufficienza renale acuta e cronica (N17-N19)	M + F	14	11	1	111.0	19 (12-31)	132 (85-203)	118 (93-146)			↗	1 
Sintomi, segni e stati morbosi mal definiti (R00-R99)	F	<5	>5	.	.	4 (1-17)	39 (13-118)	42 (16-102)			n.c.	0 
Sintomi, segni e stati morbosi mal definiti (R00-R99)	M	<5	<5	.	.	7 (1-22)	94 (31-284)	57 (21-109)			n.c.	0 
Sintomi, segni e stati morbosi mal definiti (R00-R99)	M + F	<5	>5	.	.	5 (2-14)	55 (25-123)	49 (31-74)		↓	n.c.	0 
Traumatismi e avvelenamenti (S00-T98)	F	8	12	.	.	23 (12-44)	69 (39-122)	92 (69-120)			n.c.	0 


























































Matelica												
Causa di morte (ICD-X)	Genere	Osservati	Attesi	n. cluster sign.	SIR cluster	Tasso std. * 100000 (ic)	SIR (ic)	BIR (ic)	SIR sign.	BIR sign.	Trend	Livello attenzione
Traumatismi e avvelenamenti (S00-T98)	M	20	17	1	123.6	62 (41-91)	116 (81-167)	105 (86-123)			→	2 
Traumatismi e avvelenamenti (S00-T98)	M + F	28	29	.	.	42 (30-58)	97 (71-132)	99 (83-113)			→	0 















Tabella 21. Mortalità per causa nel comune di Poggio San Vicino, tutte le età – Anni 2006-2011, confronto Regione Marche.















Poggio San Vicino												
Causa di morte (ICD-X)	Genere	Osservati	Attesi	n. cluster sign.	SIR cluster	Tasso std. * 100000 (ic)	SIR (ic)	BIR (ic)	SIR sign.	BIR sign.	Trend	Livello attenzione
Mortalità generale (escluse cause violente) (A00-R99)	F	10	13	.	.	774 (413-1575)	78 (47-131)	99 (89-112)			n.c.	0 
Mortalità generale (escluse cause violente) (A00-R99)	M	16	17	.	.	1086 (640-1941)	97 (64-146)	99 (93-109)			→	0 
Mortalità generale (escluse cause violente) (A00-R99)	M + F	26	29	.	.	926 (629-1426)	89 (64-122)	99 (93-107)			→	0 
Mortalità per cause esterne o violente (S00-Y99)	F	0	0	.	.	0 (0-628)	0 (.-.)	98 (68-125)	↓		n.c.	0 
Mortalità per cause esterne o violente (S00-Y99)	M	0	1	1	123.6	0 (0-606)	0 (.-.)	105 (89-133)	↓		n.c.	2 
Mortalità per cause esterne o violente (S00-Y99)	M + F	0	1	.	.	0 (0-323)	0 (.-.)	103 (84-126)	↓		n.c.	0 
Malattie infettive (A00-B99)	F	<5	<5	.	.	92 (5-749)	563 (126-2523)	100 (73-144)	↑		n.c.	2 
Malattie infettive (A00-B99)	M	<5	<5	1	120.6	36 (2-645)	449 (100-2013)	95 (70-144)	↑		n.c.	3 
Malattie infettive (A00-B99)	M + F	<5	<5	.	.	65 (9-403)	500 (165-1510)	103 (76-139)	↑		n.c.	2 
Tumori maligni delle vie aeree e digestive superiori (C00-C15, C32)	F	0	0	.	.	0 (0-628)	0 (.-.)	94 (69-143)	↓		n.c.	0 
Tumori maligni delle vie aeree e digestive superiori (C00-C15, C32)	M	0	0	.	.	0 (0-606)	0 (.-.)	96 (73-130)	↓		n.c.	0 
Tumori maligni delle vie aeree e digestive superiori (C00-C15, C32)	M + F	0	0	.	.	0 (0-323)	0 (.-.)	101 (73-125)	↓		n.c.	0 
Tumori maligni (C00-C97)	F	<5	<5	.	.	353 (118-1079)	143 (64-318)	98 (86-109)			n.c.	0 

Poggio San Vicino												
Causa di morte (ICD-X)	Genere	Osservati	Attesi	n. cluster sign.	SIR cluster	Tasso std. * 100000 (ic)	SIR (ic)	BIR (ic)	SIR sign.	BIR sign.	Trend	Livello attenzione
Tumori maligni (C00-C97)	M	6	5	1	104.3	403 (172-1092)	129 (67-250)	98 (88-108)			n.c.	2 
Tumori maligni (C00-C97)	M + F	10	7	.	.	377 (200-782)	134 (80-225)	99 (89-109)			n.c.	0 
Tumori maligni esofago (C15)	F	0	0	.	.	0 (0-628)	0 (.-.)	89 (52-157)	↓		n.c.	0 
Tumori maligni esofago (C15)	M	0	0	.	.	0 (0-606)	0 (.-.)	88 (37-140)	↓		n.c.	0 
Tumori maligni esofago (C15)	M + F	0	0	.	.	0 (0-323)	0 (.-.)	85 (61-125)	↓		n.c.	0 
Tumori maligni dello stomaco (C16)	F	<5	<5	1	120.6	107 (6-776)	429 (96-1921)	102 (81-128)			n.c.	2 
Tumori maligni dello stomaco (C16)	M	<5	<5	.	.	60 (3-677)	253 (56-1134)	117 (85-149)			n.c.	0 
Tumori maligni dello stomaco (C16)	M + F	<5	<5	.	.	84 (13-432)	318 (105-961)	110 (78-165)	↑		n.c.	2 
Tumori maligni intestino tenue compreso il duodeno (C17)	F	0	0	.	.	0 (0-628)	0 (.-.)	69 (24-180)	↓		n.c.	0 
Tumori maligni intestino tenue compreso il duodeno (C17)	M	0	0	.	.	0 (0-606)	0 (.-.)	81 (36-142)	↓		n.c.	0 
Tumori maligni intestino tenue compreso il duodeno (C17)	M + F	0	0	.	.	0 (0-323)	0 (.-.)	59 (21-147)	↓		n.c.	0 
Tumori maligni del colon (C18)	F	<5	<5	.	.	61 (3-699)	353 (79-1583)	101 (76-125)			n.c.	0 
Tumori maligni del colon (C18)	M	<5	<5	.	.	86 (4-717)	237 (53-1061)	108 (85-136)			n.c.	0 
Tumori maligni del colon (C18)	M + F	<5	<5	1	108.7	73 (13-412)	283 (94-856)	102 (87-118)			n.c.	2 















Poggio San Vicino												
Causa di morte (ICD-X)	Genere	Osservati	Attesi	n. cluster sign.	SIR cluster	Tasso std. * 100000 (ic)	SIR (ic)	BIR (ic)	SIR sign.	BIR sign.	Trend	Livello attenzione
Tumori maligni del retto della giunzione retto-sigmoidea e ano (C19-C21)	F	0	0	.	.	0 (0-628)	0 (.-)	91 (71-125)	↓		n.c.	0 
Tumori maligni del retto della giunzione retto-sigmoidea e ano (C19-C21)	M	0	0	1	132.0	0 (0-606)	0 (.-)	100 (48-175)	↓		n.c.	2 
Tumori maligni del retto della giunzione retto-sigmoidea e ano (C19-C21)	M + F	0	0	1	124.1	0 (0-323)	0 (.-)	92 (60-157)	↓		n.c.	2 
Tumore fegato e dotti biliari (C22)	F	0	0	.	.	0 (0-628)	0 (.-)	106 (69-136)	↓		n.c.	0 
Tumore fegato e dotti biliari (C22)	M	0	0	1	142.9	0 (0-606)	0 (.-)	121 (91-189)	↓		n.c.	2 
Tumore fegato e dotti biliari (C22)	M + F	0	0	1	124.1	0 (0-323)	0 (.-)	106 (77-152)	↓		n.c.	2 
Tumori maligni del pancreas (C25)	F	0	0	.	.	0 (0-628)	0 (.-)	101 (73-152)	↓		n.c.	0 
Tumori maligni del pancreas (C25)	M	0	0	.	.	0 (0-606)	0 (.-)	98 (71-145)	↓		n.c.	0 
Tumori maligni del pancreas (C25)	M + F	0	0	.	.	0 (0-323)	0 (.-)	103 (87-126)	↓		n.c.	0 
Tumore del retroperitoneo (C48)	F	<5	<5	.	.	92 (5-749)	9513 (2122-	99 (36-200)	↑		n.c.	2 
Tumore del retroperitoneo (C48)	M	0	0	.	.	0 (0-606)	0 (.-)	72 (31-154)	↓		n.c.	0 
Tumore del retroperitoneo (C48)	M + F	<5	<5	.	.	47 (2-385)	5427 (1211-	97 (31-207)	↑		n.c.	2 
Tumori maligni della laringe (C32)	F	0	0	.	.	0 (0-628)	0 (.-)	116 (56-307)	↓		n.c.	0 
Tumori maligni della laringe (C32)	M	0	0	.	.	0 (0-606)	0 (.-)	108 (78-178)	↓		n.c.	0 















Poggio San Vicino												
Causa di morte (ICD-X)	Genere	Osservati	Attesi	n. cluster sign.	SIR cluster	Tasso std. * 100000 (ic)	SIR (ic)	BIR (ic)	SIR sign.	BIR sign.	Trend	Livello attenzione
Tumori maligni della laringe (C32)	M + F	0	0	.	.	0 (0-323)	0 (.-)	114 (67-203)	↓		n.c.	0 
Tumori maligni della trachea dei bronchi e dei polmoni (C33-C34)	F	0	0	.	.	0 (0-628)	0 (.-)	90 (65-139)	↓		n.c.	0 
Tumori maligni della trachea dei bronchi e dei polmoni (C33-C34)	M	0	1	.	.	0 (0-606)	0 (.-)	92 (78-110)	↓		n.c.	0 
Tumori maligni della trachea dei bronchi e dei polmoni (C33-C34)	M + F	0	1	.	.	0 (0-323)	0 (.-)	101 (90-124)	↓		n.c.	0 
Mesotelioma (pleura, peritoneo, endocardio, ecc.) (C45)	F	0	0	.	.	0 (0-628)	0 (.-)	73 (24-141)	↓		n.c.	0 
Mesotelioma (pleura, peritoneo, endocardio, ecc.) (C45)	M	0	0	.	.	0 (0-606)	0 (.-)	64 (35-151)	↓		n.c.	0 
Mesotelioma (pleura, peritoneo, endocardio, ecc.) (C45)	M + F	0	0	.	.	0 (0-323)	0 (.-)	105 (60-152)	↓		n.c.	0 
Tumori maligni delle ossa e della cartilagine articolare (C40-C41)	F	0	0	.	.	0 (0-628)	0 (.-)	101 (52-157)	↓		n.c.	0 
Tumori maligni delle ossa e della cartilagine articolare (C40-C41)	M	0	0	.	.	0 (0-606)	0 (.-)	80 (21-167)	↓		n.c.	0 
Tumori maligni delle ossa e della cartilagine articolare (C40-C41)	M + F	0	0	.	.	0 (0-323)	0 (.-)	110 (58-162)	↓		n.c.	0 
Tumori maligni del connettivo e di altri tessuti molli (C49)	F	0	0	.	.	0 (0-628)	0 (.-)	104 (57-166)	↓		n.c.	0 
Tumori maligni del connettivo e di altri tessuti molli (C49)	M	0	0	.	.	0 (0-606)	0 (.-)	116 (51-294)	↓		n.c.	0 
Tumori maligni del connettivo e di altri tessuti molli (C49)	M + F	0	0	.	.	0 (0-323)	0 (.-)	111 (60-196)	↓		n.c.	0 
Melanoma maligno della pelle (C43)	F	<5	<5	.	.	92 (5-749)	2936 (655-	103 (64-233)	↑		n.c.	2 















Poggio San Vicino												
Causa di morte (ICD-X)	Genere	Osservati	Attesi	n. cluster sign.	SIR cluster	Tasso std. * 100000 (ic)	SIR (ic)	BIR (ic)	SIR sign.	BIR sign.	Trend	Livello attenzione
Melanoma maligno della pelle (C43)	M	0	0	.	.	0 (0-606)	0 (.-)	75 (39-130)	↓		n.c.	0 
Melanoma maligno della pelle (C43)	M + F	<5	<5	.	.	47 (2-385)	1228 (274-5507)	102 (66-162)	↑		n.c.	2 
Tumori maligni della mammella (C50)	F	0	0	.	.	0 (0-628)	0 (.-)	91 (79-105)	↓		n.c.	0 
Tumori maligni utero (C53-C55)	F	0	0	.	.	0 (0-628)	0 (.-)	88 (61-128)	↓		n.c.	0 
Tumori maligni del corpo dell'utero (C54)	F	0	0	.	.	0 (0-628)	0 (.-)	105 (47-204)	↓		n.c.	0 
Tumori maligni ovaio e degli altri annessi uterini (C56-C57)	F	0	0	.	.	0 (0-628)	0 (.-)	102 (63-149)	↓		n.c.	0 
Tumore della prostata (C61)	M	<5	<5	.	.	116 (21-741)	406 (134-1226)	86 (70-114)	↑		n.c.	2 
Tumore del testicolo (C62)	M	0	0	.	.	0 (0-606)	0 (.-)	46 (10-238)	↓		n.c.	0 
Tumori maligni della vescica (C67)	F	0	0	.	.	0 (0-628)	0 (.-)	93 (53-179)	↓		n.c.	0 
Tumori maligni della vescica (C67)	M	0	0	.	.	0 (0-606)	0 (.-)	97 (73-120)	↓		n.c.	0 
Tumori maligni della vescica (C67)	M + F	0	0	.	.	0 (0-323)	0 (.-)	102 (79-119)	↓		n.c.	0 
Tumori maligni del rene e di altri e non specificati organi urinari (C64)	F	0	0	.	.	0 (0-628)	0 (.-)	85 (65-124)	↓		n.c.	0 
Tumori maligni del rene e di altri e non specificati organi urinari (C64)	M	0	0	.	.	0 (0-606)	0 (.-)	102 (78-130)	↓		n.c.	0 
Tumori maligni del rene e di altri e non specificati organi urinari (C64)	M + F	0	0	.	.	0 (0-323)	0 (.-)	102 (70-142)	↓		n.c.	0 















Poggio San Vicino												
Causa di morte (ICD-X)	Genere	Osservati	Attesi	n. cluster sign.	SIR cluster	Tasso std. * 100000 (ic)	SIR (ic)	BIR (ic)	SIR sign.	BIR sign.	Trend	Livello attenzione
tumore del sistema nervoso centrale (C70-C72,D33)	F	0	0	.	.	0 (0-628)	0 (.-)	102 (74-150)	↓		n.c.	0 
tumore del sistema nervoso centrale (C70-C72,D33)	M	<5	<5	.	.	86 (4-717)	1143 (255-5122)	99 (78-145)	↑		n.c.	2 
tumore del sistema nervoso centrale (C70-C72,D33)	M + F	<5	<5	.	.	42 (2-375)	697 (155-3124)	106 (70-148)	↑		n.c.	2 
Tumori maligni encefalo (C71)	F	0	0	.	.	0 (0-628)	0 (.-)	105 (66-145)	↓		n.c.	0 
Tumori maligni encefalo (C71)	M	<5	<5	.	.	86 (4-717)	1180 (263-5290)	92 (50-172)	↑		n.c.	2 
Tumori maligni encefalo (C71)	M + F	<5	<5	.	.	42 (2-375)	726 (162-3256)	88 (63-127)	↑		n.c.	2 
Tumori maligni della ghiandola tiroide (C73)	F	0	0	.	.	0 (0-628)	0 (.-)	84 (37-176)	↓		n.c.	0 
Tumori maligni della ghiandola tiroide (C73)	M	0	0	.	.	0 (0-606)	0 (.-)	100 (54-177)	↓		n.c.	0 
Tumori maligni della ghiandola tiroide (C73)	M + F	0	0	.	.	0 (0-323)	0 (.-)	103 (69-170)	↓		n.c.	0 
Tumori emolinfopoiетici (C81-C96)	F	0	0	.	.	0 (0-628)	0 (.-)	112 (84-137)	↓		n.c.	0 
Tumori emolinfopoiетici (C81-C96)	M	0	0	.	.	0 (0-606)	0 (.-)	89 (72-109)	↓		n.c.	0 
Tumori emolinfopoiетici (C81-C96)	M + F	0	1	.	.	0 (0-323)	0 (.-)	100 (85-115)	↓		n.c.	0 
Malattia di Hodgkin (C81)	F	0	0	.	.	0 (0-628)	0 (.-)	77 (38-150)	↓		n.c.	0 
Malattia di Hodgkin (C81)	M	0	0	.	.	0 (0-606)	0 (.-)	70 (27-147)	↓		n.c.	0 















Poggio San Vicino												
Causa di morte (ICD-X)	Genere	Osservati	Attesi	n. cluster sign.	SIR cluster	Tasso std. * 100000 (ic)	SIR (ic)	BIR (ic)	SIR sign.	BIR sign.	Trend	Livello attenzione
Malattia di Hodgkin (C81)	M + F	0	0	.	.	0 (0-323)	0 (.-)	95 (44-210)	↓		n.c.	0
Linfoma non Hodgkin (C82-C85)	F	0	0	.	.	0 (0-628)	0 (.-)	114 (85-150)	↓		n.c.	0
Linfoma non Hodgkin (C82-C85)	M	0	0	.	.	0 (0-606)	0 (.-)	82 (45-123)	↓		n.c.	0
Linfoma non Hodgkin (C82-C85)	M + F	0	0	.	.	0 (0-323)	0 (.-)	94 (78-118)	↓		n.c.	0
Mieloma multiplo e tumori immunoproliferativi (C88, C90)	F	0	0	.	.	0 (0-628)	0 (.-)	108 (77-134)	↓		n.c.	0
Mieloma multiplo e tumori immunoproliferativi (C88, C90)	M	0	0	.	.	0 (0-606)	0 (.-)	88 (65-125)	↓		n.c.	0
Mieloma multiplo e tumori immunoproliferativi (C88, C90)	M + F	0	0	.	.	0 (0-323)	0 (.-)	96 (75-131)	↓		n.c.	0
Leucemie (C91-C95)	F	0	0	.	.	0 (0-628)	0 (.-)	105 (78-132)	↓		n.c.	0
Leucemie (C91-C95)	M	0	0	1	117.9	0 (0-606)	0 (.-)	96 (63-130)	↓		n.c.	2
Leucemie (C91-C95)	M + F	0	0	.	.	0 (0-323)	0 (.-)	94 (76-123)	↓		n.c.	0
Leucemia linfoide (acuta e cronica) (C91)	F	0	0	.	.	0 (0-628)	0 (.-)	92 (58-138)	↓		n.c.	0
Leucemia linfoide (acuta e cronica) (C91)	M	0	0	.	.	0 (0-606)	0 (.-)	83 (59-159)	↓		n.c.	0
Leucemia linfoide (acuta e cronica) (C91)	M + F	0	0	.	.	0 (0-323)	0 (.-)	96 (55-137)	↓		n.c.	0
Leucemia mieloida (acuta e cronica) (C92)	F	0	0	.	.	0 (0-628)	0 (.-)	95 (58-134)	↓		n.c.	0














Poggio San Vicino												
Causa di morte (ICD-X)	Genere	Osservati	Attesi	n. cluster sign.	SIR cluster	Tasso std. * 100000 (ic)	SIR (ic)	BIR (ic)	SIR sign.	BIR sign.	Trend	Livello attenzione
Leucemia mieloide (acuta e cronica) (C92)	M	0	0	.	.	0 (0-606)	0 (.-)	89 (63-128)	↓		n.c.	0 
Leucemia mieloide (acuta e cronica) (C92)	M + F	0	0	.	.	0 (0-323)	0 (.-)	94 (70-120)	↓		n.c.	0 
Malattie del sangue e degli organi emopoietici (D50-D77)	F	0	0	.	.	0 (0-628)	0 (.-)	89 (62-154)	↓		n.c.	0 
Malattie del sangue e degli organi emopoietici (D50-D77)	M	0	0	.	.	0 (0-606)	0 (.-)	84 (33-164)	↓		n.c.	0 
Malattie del sangue e degli organi emopoietici (D50-D77)	M + F	0	0	.	.	0 (0-323)	0 (.-)	89 (53-146)	↓		n.c.	0 
Malattie endocrine della nutrizione ed immunitarie (E00-E90, D80-D89)	F	0	1	.	.	0 (0-628)	0 (.-)	102 (75-129)	↓		n.c.	0 
Malattie endocrine della nutrizione ed immunitarie (E00-E90, D80-D89)	M	<5	<5	1	145.9	36 (2-645)	171 (38-767)	109 (86-130)			n.c.	2 
Malattie endocrine della nutrizione ed immunitarie (E00-E90, D80-D89)	M + F	<5	<5	1	113.9	18 (1-341)	88 (20-396)	103 (85-144)			n.c.	2 
Tireotossicosi (E05)	F	0	0	.	.	0 (0-628)	0 (.-)	104 (47-245)	↓		n.c.	0 
Tireotossicosi (E05)	M	0	0	.	.	0 (0-606)	0 (.-)	68 (21-163)	↓		n.c.	0 
Tireotossicosi (E05)	M + F	0	0	.	.	0 (0-323)	0 (.-)	87 (15-304)	↓		n.c.	0 
Ipotiroidismo (E00-E03)	F	0	0	.	.	0 (0-628)	0 (.-)	85 (29-239)	↓		n.c.	0 
Ipotiroidismo (E00-E03)	M	0	0	.	.	0 (0-606)	0 (.-)	55 (10-323)	↓		n.c.	0 
Ipotiroidismo (E00-E03)	M + F	0	0	.	.	0 (0-323)	0 (.-)	72 (37-149)	↓		n.c.	0 

Poggio San Vicino												
Causa di morte (ICD-X)	Genere	Osservati	Attesi	n. cluster sign.	SIR cluster	Tasso std. * 100000 (ic)	SIR (ic)	BIR (ic)	SIR sign.	BIR sign.	Trend	Livello attenzione
Diabete mellito (E10-E14)	F	0	0	.	.	0 (0-628)	0 (.-)	99 (80-121)	↓		n.c.	0 
Diabete mellito (E10-E14)	M	0	0	1	132.1	0 (0-606)	0 (.-)	108 (87-156)	↓		n.c.	2 
Diabete mellito (E10-E14)	M + F	0	1	1	126.2	0 (0-323)	0 (.-)	100 (82-135)	↓		n.c.	2 
Demenze (F00-F01, F02.0-F02.3, F03, G30, G31.0)	F	0	1	1	127.1	0 (0-628)	0 (.-)	117 (65-158)	↓		n.c.	2 
Demenze (F00-F01, F02.0-F02.3, F03, G30, G31.0)	M	0	1	.	.	0 (0-606)	0 (.-)	96 (78-146)	↓		n.c.	0 
Demenze (F00-F01, F02.0-F02.3, F03, G30, G31.0)	M + F	0	1	1	122.0	0 (0-323)	0 (.-)	110 (78-164)	↓		n.c.	2 
Malattie neuro-psichiatriche (escluse tossicod.) (F00-F09, F20-F99)	F	0	0	1	141.9	0 (0-628)	0 (.-)	118 (71-175)	↓		n.c.	2 
Malattie neuro-psichiatriche (escluse tossicod.) (F00-F09, F20-F99)	M	0	0	1	146.5	0 (0-606)	0 (.-)	116 (72-163)	↓		n.c.	2 
Malattie neuro-psichiatriche (escluse tossicod.) (F00-F09, F20-F99)	M + F	0	1	1	144.4	0 (0-323)	0 (.-)	110 (72-161)	↓		n.c.	2 
Malattie del sistema nervoso e degli organi di senso (G00-H95)	F	0	1	.	.	0 (0-628)	0 (.-)	95 (76-132)	↓		n.c.	0 
Malattie del sistema nervoso e degli organi di senso (G00-H95)	M	0	1	.	.	0 (0-606)	0 (.-)	91 (60-124)	↓		n.c.	0 
Malattie del sistema nervoso e degli organi di senso (G00-H95)	M + F	0	1	.	.	0 (0-323)	0 (.-)	95 (73-128)	↓		n.c.	0 
Morbo di Parkinson (G20)	F	0	0	1	124.8	0 (0-628)	0 (.-)	98 (75-126)	↓		n.c.	2 
Morbo di Parkinson (G20)	M	0	0	.	.	0 (0-606)	0 (.-)	84 (61-131)	↓		n.c.	0 

Poggio San Vicino												
Causa di morte (ICD-X)	Genere	Osservati	Attesi	n. cluster sign.	SIR cluster	Tasso std. * 100000 (ic)	SIR (ic)	BIR (ic)	SIR sign.	BIR sign.	Trend	Livello attenzione
Morbo di Parkinson (G20)	M + F	0	0	.	.	0 (0-323)	0 (.-)	91 (68-113)	↓		n.c.	0 
Malattia di Alzheimer (G30)	F	0	0	.	.	0 (0-628)	0 (.-)	97 (42-168)	↓		n.c.	0 
Malattia di Alzheimer (G30)	M	0	0	.	.	0 (0-606)	0 (.-)	86 (53-148)	↓		n.c.	0 
Malattia di Alzheimer (G30)	M + F	0	<5	.	.	0 (0-323)	0 (.-)	98 (52-154)	↓		n.c.	0 
Malattia dei neuroni motori (G122)	F	0	0	.	.	0 (0-628)	0 (.-)	84 (20-220)	↓		n.c.	0 
Malattia dei neuroni motori (G122)	M	0	0	.	.	0 (0-606)	0 (.-)	139 (79-288)	↓		n.c.	0 
Malattia dei neuroni motori (G122)	M + F	0	0	.	.	0 (0-323)	0 (.-)	81 (33-208)	↓		n.c.	0 
Sclerosi multipla (G35)	F	0	0	.	.	0 (0-628)	0 (.-)	92 (41-148)	↓		n.c.	0 
Sclerosi multipla (G35)	M	0	0	.	.	0 (0-606)	0 (.-)	87 (22-284)	↓		n.c.	0 
Sclerosi multipla (G35)	M + F	0	0	.	.	0 (0-323)	0 (.-)	92 (55-145)	↓		n.c.	0 
Malattie apparato circolatorio (I00-I99)	F	<5	>5	.	.	268 (90-947)	66 (29-146)	97 (86-113)			n.c.	0 
Malattie apparato circolatorio (I00-I99)	M	7	7	.	.	592 (252-1381)	101 (55-186)	97 (84-113)			n.c.	0 
Malattie apparato circolatorio (I00-I99)	M + F	11	13	.	.	425 (226-851)	84 (52-138)	94 (82-105)			→	0 
Malattie ischemiche del cuore (I20-I25)	F	<5	<5	.	.	185 (50-843)	151 (60-377)	107 (86-160)			n.c.	0 

Poggio San Vicino												
Causa di morte (ICD-X)	Genere	Osservati	Attesi	n. cluster sign.	SIR cluster	Tasso std. * 100000 (ic)	SIR (ic)	BIR (ic)	SIR sign.	BIR sign.	Trend	Livello attenzione
Malattie ischemiche del cuore (I20-I25)	M	5	3	.	.	453 (155-1221)	183 (89-376)	111 (88-133)			n.c.	0 
Malattie ischemiche del cuore (I20-I25)	M + F	8	5	1	112.8	315 (144-723)	169 (95-300)	121 (95-147)			n.c.	2 
Infarto miocardico acuto (I21-I22)	F	0	1	.	.	0 (0-628)	0 (.-.)	97 (60-190)	↓		n.c.	0 
Infarto miocardico acuto (I21-I22)	M	<5	<5	.	.	225 (33-934)	227 (75-685)	100 (73-131)			n.c.	0 
Infarto miocardico acuto (I21-I22)	M + F	<5	<5	.	.	109 (16-477)	141 (47-426)	108 (73-146)			n.c.	0 
Malattie cerebrovascolari (I60-I69)	F	<5	<5	.	.	83 (4-733)	59 (13-266)	88 (63-108)			n.c.	0 
Malattie cerebrovascolari (I60-I69)	M	0	2	.	.	0 (0-606)	0 (.-.)	89 (63-127)	↓		n.c.	0 
Malattie cerebrovascolari (I60-I69)	M + F	<5	<5	.	.	43 (2-377)	29 (6-128)	83 (67-109)			n.c.	0 
Malattie apparato respiratorio (J00-J99)	F	<5	<5	.	.	61 (3-699)	138 (31-619)	103 (84-122)			n.c.	0 
Malattie apparato respiratorio (J00-J99)	M	<5	<5	.	.	19 (1-625)	68 (15-303)	103 (88-127)			n.c.	0 
Malattie apparato respiratorio (J00-J99)	M + F	<5	<5	.	.	41 (5-368)	91 (30-274)	104 (86-126)			n.c.	0 
Malattie respiratorie acute (J00-J06, J10-J18, J20-J22)	F	<5	<5	.	.	61 (3-699)	433 (97-1941)	79 (42-146)			n.c.	0 
Malattie respiratorie acute (J00-J06, J10-J18, J20-J22)	M	0	0	.	.	0 (0-606)	0 (.-.)	89 (66-124)	↓		n.c.	0 
Malattie respiratorie acute (J00-J06, J10-J18, J20-J22)	M + F	<5	<5	.	.	31 (2-360)	179 (40-801)	88 (51-143)			n.c.	0 

Poggio San Vicino												
Causa di morte (ICD-X)	Genere	Osservati	Attesi	n. cluster sign.	SIR cluster	Tasso std. * 100000 (ic)	SIR (ic)	BIR (ic)	SIR sign.	BIR sign.	Trend	Livello attenzione
Malattie croniche apparato respiratorio (BCPO) (J41-J44, J47)	F	0	0	.	.	0 (0-628)	0 (-.)	113 (88-163)	↓		n.c.	0 
Malattie croniche apparato respiratorio (BCPO) (J41-J44, J47)	M	<5	<5	1	131.5	19 (1-625)	125 (28-560)	106 (73-167)			n.c.	2 
Malattie croniche apparato respiratorio (BCPO) (J41-J44, J47)	M + F	<5	<5	.	.	9 (0-332)	93 (21-418)	110 (75-152)			n.c.	0 
Asma (J45)	F	0	0	.	.	0 (0-628)	0 (-.)	80 (31-239)	↓		n.c.	0 
Asma (J45)	M	0	0	.	.	0 (0-606)	0 (-.)	99 (38-222)	↓		n.c.	0 
Asma (J45)	M + F	0	0	.	.	0 (0-323)	0 (-.)	79 (34-242)	↓		n.c.	0 
Pneumoconiosi (J60-J64)	M	0	0	.	.	0 (0-606)	0 (-.)	103 (15-378)	↓		n.c.	0 
Pneumoconiosi (J60-J64)	M + F	0	0	.	.	0 (0-323)	0 (-.)	103 (15-378)	↓		n.c.	0 
Malattie apparato digerente (K00-K93)	F	0	0	.	.	0 (0-628)	0 (-.)	88 (75-109)	↓		n.c.	0 
Malattie apparato digerente (K00-K93)	M	0	1	.	.	0 (0-606)	0 (-.)	94 (71-111)	↓		n.c.	0 
Malattie apparato digerente (K00-K93)	M + F	0	1	.	.	0 (0-323)	0 (-.)	93 (79-111)	↓		n.c.	0 
Cirrosi e altre malattie croniche del fegato (K70, K73-K74)	F	0	0	.	.	0 (0-628)	0 (-.)	90 (50-123)	↓		n.c.	0 
Cirrosi e altre malattie croniche del fegato (K70, K73-K74)	M	0	0	.	.	0 (0-606)	0 (-.)	94 (66-116)	↓		n.c.	0 
Cirrosi e altre malattie croniche del fegato (K70, K73-K74)	M + F	0	0	.	.	0 (0-323)	0 (-.)	95 (69-117)	↓		n.c.	0 

Poggio San Vicino												
Causa di morte (ICD-X)	Genere	Osservati	Attesi	n. cluster sign.	SIR cluster	Tasso std. * 100000 (ic)	SIR (ic)	BIR (ic)	SIR sign.	BIR sign.	Trend	Livello attenzione
Nefropatie croniche e acute (N00-N12)	F	0	0	.	.	0 (0-628)	0 (.-)	22 (5-102)	↓		n.c.	0 
Nefropatie croniche e acute (N00-N12)	M	0	0	.	.	0 (0-606)	0 (.-)	61 (15-216)	↓		n.c.	0 
Nefropatie croniche e acute (N00-N12)	M + F	0	0	.	.	0 (0-323)	0 (.-)	102 (62-178)	↓		n.c.	0 
Malattie apparato genito-urinario (N00-N99)	F	0	0	.	.	0 (0-628)	0 (.-)	99 (75-128)	↓		n.c.	0 
Malattie apparato genito-urinario (N00-N99)	M	0	0	.	.	0 (0-606)	0 (.-)	117 (64-180)	↓		n.c.	0 
Malattie apparato genito-urinario (N00-N99)	M + F	0	1	.	.	0 (0-323)	0 (.-)	103 (80-129)	↓		n.c.	0 
Insufficienza renale acuta e cronica (N17-N19)	F	0	0	.	.	0 (0-628)	0 (.-)	101 (69-139)	↓		n.c.	0 
Insufficienza renale acuta e cronica (N17-N19)	M	0	0	.	.	0 (0-606)	0 (.-)	107 (61-166)	↓		n.c.	0 
Insufficienza renale acuta e cronica (N17-N19)	M + F	0	1	1	111.0	0 (0-323)	0 (.-)	109 (78-156)	↓		n.c.	2 
Sintomi, segni e stati morbosi mal definiti (R00-R99)	F	0	0	.	.	0 (0-628)	0 (.-)	36 (10-140)	↓		n.c.	0 
Sintomi, segni e stati morbosi mal definiti (R00-R99)	M	0	0	.	.	0 (0-606)	0 (.-)	50 (12-196)	↓		n.c.	0 
Sintomi, segni e stati morbosi mal definiti (R00-R99)	M + F	0	0	.	.	0 (0-323)	0 (.-)	28 (8-120)	↓		n.c.	0 
Traumatismi e avvelenamenti (S00-T98)	F	0	0	.	.	0 (0-628)	0 (.-)	98 (68-125)	↓		n.c.	0 







































Poggio San Vicino												
Causa di morte (ICD-X)	Genere	Osservati	Attesi	n. cluster sign.	SIR cluster	Tasso std. * 100000 (ic)	SIR (ic)	BIR (ic)	SIR sign.	BIR sign.	Trend	Livello attenzione
Traumatismi e avvelenamenti (S00-T98)	M	0	1	1	123.6	0 (0-606)	0 (.-)	105 (89-133)	↓		n.c.	2 
Traumatismi e avvelenamenti (S00-T98)	M + F	0	1	.	.	0 (0-323)	0 (.-)	103 (84-126)	↓		n.c.	0 















Tabella 22. Mortalità per causa nel comune di Sassoferrato, tutte le età – Anni 2006-2011, confronto Regione Marche.















Sassoferrato				n. cluster sign.	SIR cluster	Tasso std. * 100000 (ic)	SIR (ic)	BIR (ic)	SIR sign.	BIR sign.	Trend	Livello attenzione
Causa di morte (ICD-X)	Genere	Osservati	Attesi									
Mortalità generale (escluse cause violente) (A00-R99)	F	329	310	.	.	1037 (943-1140)	106 (97-116)	102 (96-109)			→	0 
Mortalità generale (escluse cause violente) (A00-R99)	M	265	253	2	104.3	1024 (922-1136)	105 (95-116)	101 (94-107)			→	1 
Mortalità generale (escluse cause violente) (A00-R99)	M + F	594	563	.	.	1031 (961-1105)	106 (99-113)	103 (98-110)			→	0 
Mortalità per cause esterne o violente (S00-Y99)	F	12	10	.	.	38 (22-65)	119 (74-190)	94 (73-131)			→	0 
Mortalità per cause esterne o violente (S00-Y99)	M	24	13	1	123.6	103 (71-146)	183 (131-255)	122 (100-137)	↑		→	3 
Mortalità per cause esterne o violente (S00-Y99)	M + F	36	23	.	.	70 (51-93)	155 (118-204)	118 (102-138)	↑	↑	→	4 
Malattie infettive (A00-B99)	F	<5	<5	.	.	3 (0-18)	23 (5-102)	78 (55-105)			n.c.	0 
Malattie infettive (A00-B99)	M	<5	<5	.	.	17 (6-41)	108 (49-242)	87 (61-126)			n.c.	0 
Malattie infettive (A00-B99)	M + F	5	8	.	.	10 (4-22)	62 (30-127)	83 (67-113)			n.c.	0 
Tumori maligni delle vie aeree e digestive superiori (C00-C15, C32)	F	0	1	.	.	0 (0-15)	0 (-.)	91 (61-133)	↓		n.c.	0 
Tumori maligni delle vie aeree e digestive superiori (C00-C15, C32)	M	5	3	1	158.8	20 (8-44)	172 (84-354)	115 (74-144)			n.c.	2 
Tumori maligni delle vie aeree e digestive superiori (C00-C15, C32)	M + F	5	4	1	164.1	10 (4-22)	132 (64-272)	115 (88-133)			n.c.	2 
Tumori maligni (C00-C97)	F	72	66	.	.	263 (213-322)	109 (89-132)	99 (93-109)			→	0 

Sassoferrato												
Causa di morte (ICD-X)	Genere	Osservati	Attesi	n. cluster sign.	SIR cluster	Tasso std. * 100000 (ic)	SIR (ic)	BIR (ic)	SIR sign.	BIR sign.	Trend	Livello attenzione
Tumori maligni (C00-C97)	M	92	81	1	104.3	370 (308-441)	114 (96-135)	102 (95-110)			→	2 😊
Tumori maligni (C00-C97)	M + F	164	147	.	.	315 (275-359)	111 (98-127)	103 (95-111)			→	0 😊
Tumori maligni esofago (C15)	F	0	0	.	.	0 (0-15)	0 (-.)	93 (43-199)	↓		n.c.	0 😊
Tumori maligni esofago (C15)	M	<5	<5	1	159.4	4 (0-21)	116 (26-522)	98 (57-170)			n.c.	2 😊
Tumori maligni esofago (C15)	M + F	<5	<5	1	157.5	2 (0-10)	87 (19-391)	104 (64-132)			n.c.	2 😊
Tumori maligni dello stomaco (C16)	F	5	6	1	120.6	17 (7-38)	87 (42-179)	104 (87-117)			n.c.	2 😊
Tumori maligni dello stomaco (C16)	M	7	7	1	152.2	29 (13-55)	104 (56-192)	105 (89-146)			n.c.	2 😊
Tumori maligni dello stomaco (C16)	M + F	12	13	1	140.4	23 (13-38)	96 (60-154)	107 (88-141)			n.c.	2 😊
Tumori maligni intestino tenue compreso il duodeno (C17)	F	<5	<5	.	.	4 (0-22)	801 (179-3589)	87 (39-189)	↑		n.c.	2 😊
Tumori maligni intestino tenue compreso il duodeno (C17)	M	0	0	.	.	0 (0-15)	0 (-.)	62 (30-156)	↓		n.c.	0 😊
Tumori maligni intestino tenue compreso il duodeno (C17)	M + F	<5	<5	.	.	2 (0-11)	387 (86-1733)	71 (34-189)			n.c.	0 😊
Tumori maligni del colon (C18)	F	8	7	.	.	28 (14-53)	117 (66-209)	99 (81-122)			n.c.	0 😊
Tumori maligni del colon (C18)	M	7	7	.	.	26 (12-51)	95 (51-174)	98 (75-116)			n.c.	0 😊
Tumori maligni del colon (C18)	M + F	15	14	.	.	27 (16-43)	106 (69-161)	99 (83-119)			n.c.	0 😊

Sassoferrato												
Causa di morte (ICD-X)	Genere	Osservati	Attesi	n. cluster sign.	SIR cluster	Tasso std. * 100000 (ic)	SIR (ic)	BIR (ic)	SIR sign.	BIR sign.	Trend	Livello attenzione
Tumori maligni del retto della giunzione retto-sigmoidea e ano (C19-C21)	F	<5	<5	.	.	14 (5-35)	194 (87-432)	94 (76-130)			n.c.	0 
Tumori maligni del retto della giunzione retto-sigmoidea e ano (C19-C21)	M	6	2	1	132.0	24 (10-49)	246 (127-475)	154 (109-231)	↑	↑	n.c.	5 
Tumori maligni del retto della giunzione retto-sigmoidea e ano (C19-C21)	M + F	10	5	1	124.1	19 (10-33)	222 (133-371)	135 (84-207)	↑		n.c.	3 
Tumore fegato e dotti biliari (C22)	F	<5	<5	.	.	11 (3-31)	164 (66-411)	101 (73-128)			n.c.	0 
Tumore fegato e dotti biliari (C22)	M	<5	<5	1	142.9	16 (5-38)	123 (55-275)	120 (83-166)			n.c.	2 
Tumore fegato e dotti biliari (C22)	M + F	7	5	1	124.1	13 (6-26)	138 (75-255)	115 (87-159)			n.c.	2 
Tumori maligni del pancreas (C25)	F	7	5	.	.	24 (11-48)	143 (78-264)	126 (87-170)			n.c.	0 
Tumori maligni del pancreas (C25)	M	6	4	.	.	26 (11-52)	137 (71-265)	110 (82-154)			n.c.	0 
Tumori maligni del pancreas (C25)	M + F	13	9	.	.	25 (15-40)	140 (89-221)	106 (83-128)			→	0 
Tumore del retroperitoneo (C48)	F	0	0	.	.	0 (0-15)	0 (-.)	87 (29-261)	↓		n.c.	0 
Tumore del retroperitoneo (C48)	M	0	0	.	.	0 (0-15)	0 (-.)	71 (45-127)	↓		n.c.	0 
Tumore del retroperitoneo (C48)	M + F	0	0	.	.	0 (0-8)	0 (-.)	55 (15-135)	↓		n.c.	0 
Tumori maligni della laringe (C32)	F	0	0	.	.	0 (0-15)	0 (-.)	123 (54-243)	↓		n.c.	0 
Tumori maligni della laringe (C32)	M	<5	<5	.	.	4 (0-21)	97 (22-435)	124 (84-163)			n.c.	0 















Sassoferrato												
Causa di morte (ICD-X)	Genere	Osservati	Attesi	n. cluster sign.	SIR cluster	Tasso std. * 100000 (ic)	SIR (ic)	BIR (ic)	SIR sign.	BIR sign.	Trend	Livello attenzione
Tumori maligni della laringe (C32)	M + F	<5	<5	.	.	2 (0-10)	90 (20-405)	131 (83-224)			n.c.	0 
Tumori maligni della trachea dei bronchi e dei polmoni (C33-C34)	F	9	6	.	.	32 (17-59)	146 (85-251)	105 (62-147)			↗	1 
Tumori maligni della trachea dei bronchi e dei polmoni (C33-C34)	M	18	20	.	.	73 (47-110)	90 (61-132)	93 (77-108)			→	0 
Tumori maligni della trachea dei bronchi e dei polmoni (C33-C34)	M + F	27	26	.	.	52 (37-73)	103 (75-141)	96 (82-110)			→	0 
Mesotelioma (pleura, peritoneo, endocardio, ecc.) (C45)	F	0	0	.	.	0 (0-15)	0 (.-.)	82 (41-220)	↓		n.c.	0 
Mesotelioma (pleura, peritoneo, endocardio, ecc.) (C45)	M	<5	<5	.	.	8 (1-27)	279 (92-843)	80 (42-151)			n.c.	0 
Mesotelioma (pleura, peritoneo, endocardio, ecc.) (C45)	M + F	<5	<5	.	.	4 (1-13)	204 (68-617)	110 (75-180)			n.c.	0 
Tumori maligni delle ossa e della cartilagine articolare (C40-C41)	F	<5	<5	.	.	4 (0-20)	522 (117-2342)	105 (56-185)	↑		n.c.	2 
Tumori maligni delle ossa e della cartilagine articolare (C40-C41)	M	0	0	.	.	0 (0-15)	0 (.-.)	73 (34-132)	↓		n.c.	0 
Tumori maligni delle ossa e della cartilagine articolare (C40-C41)	M + F	<5	<5	.	.	2 (0-10)	257 (57-1150)	91 (56-137)			n.c.	0 
Tumori maligni del connettivo e di altri tessuti molli (C49)	F	0	0	.	.	0 (0-15)	0 (.-.)	97 (51-244)	↓		n.c.	0 
Tumori maligni del connettivo e di altri tessuti molli (C49)	M	<5	<5	.	.	4 (0-22)	284 (63-1272)	85 (42-202)			n.c.	0 
Tumori maligni del connettivo e di altri tessuti molli (C49)	M + F	<5	<5	.	.	2 (0-11)	131 (29-588)	114 (48-201)			n.c.	0 
Melanoma maligno della pelle (C43)	F	<5	<5	.	.	8 (1-27)	272 (90-822)	124 (74-258)			n.c.	0 















Sassoferrato												
Causa di morte (ICD-X)	Genere	Osservati	Attesi	n. cluster sign.	SIR cluster	Tasso std. * 100000 (ic)	SIR (ic)	BIR (ic)	SIR sign.	BIR sign.	Trend	Livello attenzione
Melanoma maligno della pelle (C43)	M	<5	<5	.	.	13 (3-34)	335 (134-839)	121 (62-198)	↑		n.c.	2 
Melanoma maligno della pelle (C43)	M + F	5	2	.	.	10 (4-22)	307 (149-630)	110 (86-184)	↑		n.c.	2 
Tumori maligni della mammella (C50)	F	9	10	.	.	36 (19-64)	88 (51-152)	87 (78-104)			n.c.	0 
Tumori maligni utero (C53-C55)	F	<5	<5	.	.	9 (2-29)	82 (27-246)	91 (66-141)			n.c.	0 
Tumori maligni del corpo dell'utero (C54)	F	<5	<5	.	.	5 (0-22)	152 (34-680)	127 (65-207)			n.c.	0 
Tumori maligni ovaio e degli altri annessi uterini (C56-C57)	F	<5	<5	.	.	4 (0-20)	35 (8-155)	98 (72-131)			n.c.	0 
Tumore della prostata (C61)	M	8	7	.	.	29 (14-55)	110 (62-196)	87 (70-107)			n.c.	0 
Tumore del testicolo (C62)	M	0	0	.	.	0 (0-15)	0 (.-)	79 (21-338)	↓		n.c.	0 
Tumori maligni della vescica (C67)	F	<5	<5	.	.	12 (3-32)	273 (109-684)	137 (82-297)	↑		n.c.	2 
Tumori maligni della vescica (C67)	M	8	4	.	.	33 (16-60)	205 (116-364)	107 (93-133)	↑		n.c.	2 
Tumori maligni della vescica (C67)	M + F	11	5	1	121.7	22 (12-37)	220 (135-360)	111 (95-137)	↑		n.c.	3 
Tumori maligni del rene e di altri e non specificati organi urinari (C64)	F	<5	<5	.	.	8 (1-27)	139 (46-421)	104 (69-139)			n.c.	0 
Tumori maligni del rene e di altri e non specificati organi urinari (C64)	M	6	3	.	.	26 (11-52)	236 (122-457)	95 (81-136)	↑		n.c.	2 
Tumori maligni del rene e di altri e non specificati organi urinari (C64)	M + F	8	4	.	.	17 (8-31)	201 (113-357)	122 (95-170)	↑		n.c.	2 

Sassoferrato												
Causa di morte (ICD-X)	Genere	Osservati	Attesi	n. cluster sign.	SIR cluster	Tasso std. * 100000 (ic)	SIR (ic)	BIR (ic)	SIR sign.	BIR sign.	Trend	Livello attenzione
tumore del sistema nervoso centrale (C70-C72,D33)	F	0	1	.	.	0 (0-15)	0 (.-)	94 (64-125)	↓		n.c.	0 
tumore del sistema nervoso centrale (C70-C72,D33)	M	0	2	.	.	0 (0-15)	0 (.-)	92 (70-125)	↓		n.c.	0 
tumore del sistema nervoso centrale (C70-C72,D33)	M + F	0	3	.	.	0 (0-8)	0 (.-)	93 (68-125)	↓		n.c.	0 
Tumori maligni encefalo (C71)	F	0	1	.	.	0 (0-15)	0 (.-)	91 (56-135)	↓		n.c.	0 
Tumori maligni encefalo (C71)	M	0	2	.	.	0 (0-15)	0 (.-)	73 (44-117)	↓		n.c.	0 
Tumori maligni encefalo (C71)	M + F	0	3	.	.	0 (0-8)	0 (.-)	86 (59-109)	↓		n.c.	0 
Tumori maligni della ghiandola tiroide (C73)	F	0	0	.	.	0 (0-15)	0 (.-)	73 (33-204)	↓		n.c.	0 
Tumori maligni della ghiandola tiroide (C73)	M	0	0	.	.	0 (0-15)	0 (.-)	95 (55-175)	↓		n.c.	0 
Tumori maligni della ghiandola tiroide (C73)	M + F	0	0	.	.	0 (0-8)	0 (.-)	89 (49-146)	↓		n.c.	0 
Tumori emolinfopietici (C81-C96)	F	7	6	.	.	26 (12-51)	110 (59-202)	108 (90-137)			n.c.	0 
Tumori emolinfopietici (C81-C96)	M	5	7	.	.	21 (8-45)	73 (35-149)	93 (80-107)			n.c.	0 
Tumori emolinfopietici (C81-C96)	M + F	12	13	.	.	23 (13-39)	90 (57-145)	101 (94-113)			n.c.	0 
Malattia di Hodgkin (C81)	F	0	0	.	.	0 (0-15)	0 (.-)	73 (35-163)	↓		n.c.	0 
Malattia di Hodgkin (C81)	M	0	0	.	.	0 (0-15)	0 (.-)	66 (26-126)	↓		n.c.	0 

Sassoferrato												
Causa di morte (ICD-X)	Genere	Osservati	Attesi	n. cluster sign.	SIR cluster	Tasso std. * 100000 (ic)	SIR (ic)	BIR (ic)	SIR sign.	BIR sign.	Trend	Livello attenzione
Malattia di Hodgkin (C81)	M + F	0	0	.	.	0 (0-8)	0 (-.)	73 (33-160)	↓		n.c.	0
Linfoma non Hodgkin (C82-C85)	F	<5	<5	.	.	11 (3-32)	137 (55-343)	102 (74-152)			n.c.	0
Linfoma non Hodgkin (C82-C85)	M	0	2	.	.	0 (0-15)	0 (-.)	88 (57-126)	↓		n.c.	0
Linfoma non Hodgkin (C82-C85)	M + F	<5	>5	.	.	6 (2-16)	66 (26-164)	96 (73-120)			n.c.	0
Mieloma multiplo e tumori immunoproliferativi (C88, C90)	F	<5	<5	.	.	12 (3-33)	204 (81-510)	108 (86-138)			n.c.	0
Mieloma multiplo e tumori immunoproliferativi (C88, C90)	M	<5	<5	.	.	9 (2-29)	135 (45-408)	93 (77-116)			n.c.	0
Mieloma multiplo e tumori immunoproliferativi (C88, C90)	M + F	5	3	.	.	10 (4-23)	169 (82-348)	102 (80-127)			n.c.	0
Leucemie (C91-C95)	F	<5	<5	.	.	3 (0-18)	39 (9-176)	87 (64-114)			n.c.	0
Leucemie (C91-C95)	M	<5	<5	1	117.9	12 (3-33)	105 (42-264)	98 (67-138)			n.c.	2
Leucemie (C91-C95)	M + F	<5	>5	.	.	7 (2-18)	74 (33-165)	97 (64-120)			n.c.	0
Leucemia linfoide (acuta e cronica) (C91)	F	0	1	.	.	0 (0-15)	0 (-.)	97 (63-150)	↓		n.c.	0
Leucemia linfoide (acuta e cronica) (C91)	M	<5	<5	.	.	9 (2-28)	186 (62-563)	114 (62-153)			n.c.	0
Leucemia linfoide (acuta e cronica) (C91)	M + F	<5	<5	.	.	4 (1-14)	105 (35-317)	105 (77-153)			n.c.	0
Leucemia mieloide (acuta e cronica) (C92)	F	0	1	.	.	0 (0-15)	0 (-.)	95 (76-145)	↓		n.c.	0














Sassoferrato												
Causa di morte (ICD-X)	Genere	Osservati	Attesi	n. cluster sign.	SIR cluster	Tasso std. * 100000 (ic)	SIR (ic)	BIR (ic)	SIR sign.	BIR sign.	Trend	Livello attenzione
Leucemia mieloide (acuta e cronica) (C92)	M	0	1	.	.	0 (0-15)	0 (.-)	80 (50-126)	↓		n.c.	0
Leucemia mieloide (acuta e cronica) (C92)	M + F	0	2	.	.	0 (0-8)	0 (.-)	90 (67-113)	↓		n.c.	0
Malattie del sangue e degli organi emopoietici (D50-D77)	F	<5	<5	.	.	2 (0-17)	59 (13-267)	87 (43-165)			n.c.	0
Malattie del sangue e degli organi emopoietici (D50-D77)	M	<5	<5	.	.	4 (0-21)	95 (21-424)	77 (35-130)			n.c.	0
Malattie del sangue e degli organi emopoietici (D50-D77)	M + F	<5	<5	.	.	3 (0-12)	73 (24-221)	81 (58-135)			n.c.	0
Malattie endocrine della nutrizione ed immunitarie (E00-E90, D80-D89)	F	17	14	.	.	57 (36-89)	125 (84-186)	109 (89-131)			→	0
Malattie endocrine della nutrizione ed immunitarie (E00-E90, D80-D89)	M	9	9	.	.	35 (18-63)	100 (58-171)	94 (71-136)			n.c.	0
Malattie endocrine della nutrizione ed immunitarie (E00-E90, D80-D89)	M + F	26	23	1	113.9	47 (33-66)	115 (83-159)	110 (85-135)			→	2
Tireotossicosi (E05)	F	0	0	.	.	0 (0-15)	0 (.-)	85 (50-172)	↓		n.c.	0
Tireotossicosi (E05)	M	0	0	.	.	0 (0-15)	0 (.-)	50 (21-171)	↓		n.c.	0
Tireotossicosi (E05)	M + F	0	0	.	.	0 (0-8)	0 (.-)	68 (11-227)	↓		n.c.	0
Ipotiroidismo (E00-E03)	F	0	0	.	.	0 (0-15)	0 (.-)	83 (44-239)	↓		n.c.	0
Ipotiroidismo (E00-E03)	M	0	0	.	.	0 (0-15)	0 (.-)	33 (9-335)	↓		n.c.	0
Ipotiroidismo (E00-E03)	M + F	0	0	.	.	0 (0-8)	0 (.-)	92 (54-177)	↓		n.c.	0

Sassoferrato												
Causa di morte (ICD-X)	Genere	Osservati	Attesi	n. cluster sign.	SIR cluster	Tasso std. * 100000 (ic)	SIR (ic)	BIR (ic)	SIR sign.	BIR sign.	Trend	Livello attenzione
Diabete mellito (E10-E14)	F	14	10	.	.	46 (27-74)	138 (89-214)	103 (94-121)			→	0 
Diabete mellito (E10-E14)	M	8	7	.	.	32 (16-59)	118 (67-210)	101 (68-136)			n.c.	0 
Diabete mellito (E10-E14)	M + F	22	17	.	.	39 (26-57)	130 (92-184)	108 (87-140)			→	0 
Demenze (F00-F01, F02.0-F02.3, F03, G30, G31.0)	F	16	18	.	.	45 (28-73)	87 (58-132)	90 (69-123)			→	0 
Demenze (F00-F01, F02.0-F02.3, F03, G30, G31.0)	M	11	8	.	.	40 (23-69)	132 (81-215)	97 (72-143)			n.c.	0 
Demenze (F00-F01, F02.0-F02.3, F03, G30, G31.0)	M + F	27	27	1	122.0	43 (30-61)	101 (74-139)	97 (78-119)			→	2 
Malattie neuro-psichiatriche (escluse tossicod.) (F00-F09, F20-F99)	F	12	11	1	141.9	32 (19-57)	111 (69-178)	110 (75-163)			n.c.	2 
Malattie neuro-psichiatriche (escluse tossicod.) (F00-F09, F20-F99)	M	8	5	1	146.5	28 (14-53)	167 (94-296)	148 (100-198)			n.c.	2 
Malattie neuro-psichiatriche (escluse tossicod.) (F00-F09, F20-F99)	M + F	20	16	1	144.4	30 (20-46)	128 (89-185)	119 (93-161)			n.c.	2 
Malattie del sistema nervoso e degli organi di senso (G00-H95)	F	20	16	.	.	63 (42-95)	129 (90-186)	99 (75-128)			→	0 
Malattie del sistema nervoso e degli organi di senso (G00-H95)	M	11	10	.	.	44 (25-75)	108 (66-176)	94 (69-117)			n.c.	0 
Malattie del sistema nervoso e degli organi di senso (G00-H95)	M + F	31	26	.	.	54 (39-74)	121 (90-162)	102 (80-124)			→	0 
Morbo di Parkinson (G20)	F	6	2	1	124.8	18 (8-40)	270 (140-522)	97 (73-128)	↑		n.c.	3 
Morbo di Parkinson (G20)	M	<5	<5	.	.	16 (5-38)	178 (80-398)	94 (67-120)			n.c.	0 

Sassoferrato												
Causa di morte (ICD-X)	Genere	Osservati	Attesi	n. cluster sign.	SIR cluster	Tasso std. * 100000 (ic)	SIR (ic)	BIR (ic)	SIR sign.	BIR sign.	Trend	Livello attenzione
Morbo di Parkinson (G20)	M + F	10	5	2	158.1	17 (9-30)	224 (134-375)	106 (72-168)	↑		→	3 
Malattia di Alzheimer (G30)	F	5	8	.	.	16 (6-36)	63 (31-129)	66 (51-103)			n.c.	0 
Malattia di Alzheimer (G30)	M	<5	<5	.	.	12 (3-33)	77 (31-194)	77 (41-120)			n.c.	0 
Malattia di Alzheimer (G30)	M + F	8	12	.	.	14 (7-27)	68 (38-120)	75 (52-102)			→	0 
Malattia dei neuroni motori (G122)	F	<5	<5	.	.	8 (1-27)	198 (65-598)	105 (46-223)			n.c.	0 
Malattia dei neuroni motori (G122)	M	<5	<5	.	.	4 (0-21)	107 (24-480)	101 (55-204)			n.c.	0 
Malattia dei neuroni motori (G122)	M + F	<5	<5	.	.	6 (2-17)	154 (62-386)	112 (54-196)			n.c.	0 
Sclerosi multipla (G35)	F	0	0	.	.	0 (0-15)	0 (.-)	69 (27-141)	↓		n.c.	0 
Sclerosi multipla (G35)	M	0	0	.	.	0 (0-15)	0 (.-)	105 (29-244)	↓		n.c.	0 
Sclerosi multipla (G35)	M + F	0	0	.	.	0 (0-8)	0 (.-)	67 (37-118)	↓		n.c.	0 
Malattie apparato circolatorio (I00-I99)	F	155	149	.	.	459 (399-527)	104 (91-119)	98 (90-113)			→	0 
Malattie apparato circolatorio (I00-I99)	M	98	100	.	.	367 (307-436)	98 (83-116)	101 (90-117)			→	0 
Malattie apparato circolatorio (I00-I99)	M + F	253	249	.	.	414 (371-461)	102 (92-113)	99 (92-107)			→	0 
Malattie ischemiche del cuore (I20-I25)	F	54	49	3	120.9	156 (123-199)	111 (88-138)	111 (97-127)			↘	1 

Sassoferrato												
Causa di morte (ICD-X)	Genere	Osservati	Attesi	n. cluster sign.	SIR cluster	Tasso std. * 100000 (ic)	SIR (ic)	BIR (ic)	SIR sign.	BIR sign.	Trend	Livello attenzione
Malattie ischemiche del cuore (I20-I25)	M	45	40	.	.	171 (131-221)	111 (87-142)	110 (90-137)			→	0
Malattie ischemiche del cuore (I20-I25)	M + F	99	89	1	112.8	164 (137-195)	111 (94-131)	109 (95-127)			→	2
Infarto miocardico acuto (I21-I22)	F	10	14	.	.	30 (16-54)	72 (43-121)	79 (57-113)			↘	0
Infarto miocardico acuto (I21-I22)	M	14	15	.	.	57 (35-91)	96 (62-148)	94 (74-134)			↘	0
Infarto miocardico acuto (I21-I22)	M + F	24	29	.	.	43 (30-62)	84 (60-118)	93 (72-127)			↘	0
Malattie cerebrovascolari (I60-I69)	F	34	43	.	.	99 (72-135)	80 (60-106)	81 (66-96)		↓	n.c.	0
Malattie cerebrovascolari (I60-I69)	M	17	26	.	.	63 (40-96)	65 (44-97)	87 (75-104)	↓		→	0
Malattie cerebrovascolari (I60-I69)	M + F	51	69	.	.	81 (63-104)	74 (59-93)	80 (65-89)	↓	↓	→	0
Malattie apparato respiratorio (J00-J99)	F	21	18	.	.	63 (42-94)	120 (84-171)	109 (90-125)			n.c.	0
Malattie apparato respiratorio (J00-J99)	M	26	21	.	.	98 (69-138)	124 (90-171)	112 (91-126)			→	0
Malattie apparato respiratorio (J00-J99)	M + F	47	39	.	.	80 (62-104)	122 (96-155)	108 (94-121)			↗	1
Malattie respiratorie acute (J00-J06, J10-J18, J20-J22)	F	8	5	.	.	24 (12-46)	151 (85-268)	102 (69-167)			n.c.	0
Malattie respiratorie acute (J00-J06, J10-J18, J20-J22)	M	5	5	.	.	20 (8-44)	111 (54-229)	99 (75-123)			n.c.	0
Malattie respiratorie acute (J00-J06, J10-J18, J20-J22)	M + F	13	10	.	.	22 (13-37)	133 (84-209)	98 (67-126)			→	0

Sassoferrato												
Causa di morte (ICD-X)	Genere	Osservati	Attesi	n. cluster sign.	SIR cluster	Tasso std. * 100000 (ic)	SIR (ic)	BIR (ic)	SIR sign.	BIR sign.	Trend	Livello attenzione
Malattie croniche apparato respiratorio (BCPO) (J41-J44, J47)	F	7	7	1	135.2	22 (10-45)	97 (53-179)	116 (86-143)			n.c.	2 😊
Malattie croniche apparato respiratorio (BCPO) (J41-J44, J47)	M	14	11	1	131.5	51 (31-83)	123 (80-190)	108 (81-142)			→	2 😊
Malattie croniche apparato respiratorio (BCPO) (J41-J44, J47)	M + F	21	19	1	127.9	36 (24-54)	113 (79-161)	109 (91-134)			→	2 😊
Asma (J45)	F	<5	<5	.	.	2 (0-17)	386 (86-1731)	103 (37-401)			n.c.	0 😊
Asma (J45)	M	<5	<5	.	.	7 (1-25)	1182 (391-3571)	185 (84-396)	↑		n.c.	2 😊
Asma (J45)	M + F	<5	<5	.	.	4 (1-13)	701 (280-1753)	132 (87-296)	↑		n.c.	2 😊
Pneumoconiosi (J60-J64)	M	<5	<5	.	.	3 (0-19)	207 (46-930)	260 (89-667)			n.c.	0 😊
Pneumoconiosi (J60-J64)	M + F	<5	<5	.	.	1 (0-10)	207 (46-930)	260 (89-667)			n.c.	0 😊
Malattie apparato digerente (K00-K93)	F	14	12	.	.	44 (26-72)	121 (78-187)	96 (77-116)			→	0 😊
Malattie apparato digerente (K00-K93)	M	7	10	.	.	29 (13-55)	73 (40-135)	97 (78-123)			→	0 😊
Malattie apparato digerente (K00-K93)	M + F	21	21	.	.	36 (24-54)	99 (70-142)	99 (86-111)			→	0 😊
Cirrosi e altre malattie croniche del fegato (K70, K73-K74)	F	<5	<5	.	.	9 (2-28)	172 (69-431)	96 (57-136)			n.c.	0 😊
Cirrosi e altre malattie croniche del fegato (K70, K73-K74)	M	<5	<5	.	.	9 (2-29)	72 (24-217)	96 (82-126)			n.c.	0 😊
Cirrosi e altre malattie croniche del fegato (K70, K73-K74)	M + F	5	5	.	.	9 (3-21)	110 (54-227)	104 (76-142)			n.c.	0 😊

Sassoferrato												
Causa di morte (ICD-X)	Genere	Osservati	Attesi	n. cluster sign.	SIR cluster	Tasso std. * 100000 (ic)	SIR (ic)	BIR (ic)	SIR sign.	BIR sign.	Trend	Livello attenzione
Nefropatie croniche e acute (N00-N12)	F	0	0	.	.	0 (0-15)	0 (.-)	34 (3-215)	↓		n.c.	0 
Nefropatie croniche e acute (N00-N12)	M	0	0	.	.	0 (0-15)	0 (.-)	85 (22-331)	↓		n.c.	0 
Nefropatie croniche e acute (N00-N12)	M + F	0	0	.	.	0 (0-8)	0 (.-)	99 (59-166)	↓		n.c.	0 
Malattie apparato genito-urinario (N00-N99)	F	7	6	.	.	21 (10-42)	114 (62-210)	95 (73-118)			n.c.	0 
Malattie apparato genito-urinario (N00-N99)	M	5	5	.	.	17 (7-39)	99 (48-204)	99 (65-155)			n.c.	0 
Malattie apparato genito-urinario (N00-N99)	M + F	12	11	.	.	19 (11-32)	107 (67-172)	94 (74-125)			n.c.	0 
Insufficienza renale acuta e cronica (N17-N19)	F	6	5	.	.	18 (8-39)	120 (62-232)	92 (62-118)			n.c.	0 
Insufficienza renale acuta e cronica (N17-N19)	M	5	4	.	.	17 (7-39)	123 (60-253)	97 (58-153)			n.c.	0 
Insufficienza renale acuta e cronica (N17-N19)	M + F	11	9	.	.	17 (10-31)	121 (74-198)	103 (73-128)			n.c.	0 
Sintomi, segni e stati morbosi mal definiti (R00-R99)	F	<5	>5	.	.	5 (1-22)	41 (14-125)	49 (19-95)		↓	n.c.	0 
Sintomi, segni e stati morbosi mal definiti (R00-R99)	M	<5	<5	.	.	3 (0-19)	56 (12-251)	69 (29-142)			n.c.	0 
Sintomi, segni e stati morbosi mal definiti (R00-R99)	M + F	<5	>5	.	.	4 (1-13)	45 (18-114)	48 (25-93)		↓	n.c.	0 
Traumatismi e avvelenamenti (S00-T98)	F	12	10	.	.	38 (22-65)	119 (74-190)	94 (73-131)			→	0 


























































Sassoferrato												
Causa di morte (ICD-X)	Genere	Osservati	Attesi	n. cluster sign.	SIR cluster	Tasso std. * 100000 (ic)	SIR (ic)	BIR (ic)	SIR sign.	BIR sign.	Trend	Livello attenzione
Traumatismi e avvelenamenti (S00-T98)	M	24	13	1	123.6	103 (71-146)	183 (131-255)	122 (100-137)	↑		→	3 
Traumatismi e avvelenamenti (S00-T98)	M + F	36	23	.	.	70 (51-93)	155 (118-204)	118 (102-138)	↑	↑	→	4 















Tabella 23. Mortalità per causa nel comune di Serra San Quirico, tutte le età – Anni 2006-2011, confronto Regione Marche.















Serra San Quirico				n. cluster sign.	SIR cluster	Tasso std. * 100000 (ic)	SIR (ic)	BIR (ic)	SIR sign.	BIR sign.	Trend	Livello attenzione
Causa di morte (ICD-X)	Genere	Osservati	Attesi									
Mortalità generale (escluse cause violente) (A00-R99)	F	112	118	.	.	936 (793-1102)	95 (82-111)	98 (90-105)			→	0 
Mortalità generale (escluse cause violente) (A00-R99)	M	102	98	2	104.3	1029 (866-1221)	104 (88-122)	100 (91-107)			→	1 
Mortalità generale (escluse cause violente) (A00-R99)	M + F	214	216	.	.	981 (872-1104)	99 (89-111)	100 (92-106)			→	0 
Mortalità per cause esterne o violente (S00-Y99)	F	<5	<5	.	.	27 (7-78)	78 (31-196)	91 (65-113)			n.c.	0 
Mortalità per cause esterne o violente (S00-Y99)	M	5	5	1	123.6	53 (21-120)	98 (48-201)	104 (92-126)			n.c.	2 
Mortalità per cause esterne o violente (S00-Y99)	M + F	8	9	.	.	40 (20-76)	90 (50-159)	99 (87-116)			n.c.	0 
Malattie infettive (A00-B99)	F	0	2	.	.	0 (0-37)	0 (.-.)	85 (66-116)	↓		n.c.	0 
Malattie infettive (A00-B99)	M	<5	<5	.	.	9 (0-59)	68 (15-305)	95 (63-124)			n.c.	0 
Malattie infettive (A00-B99)	M + F	<5	<5	.	.	4 (0-29)	31 (7-140)	90 (66-117)			n.c.	0 
Tumori maligni delle vie aeree e digestive superiori (C00-C15, C32)	F	0	0	.	.	0 (0-37)	0 (.-.)	97 (75-120)	↓		n.c.	0 
Tumori maligni delle vie aeree e digestive superiori (C00-C15, C32)	M	<5	<5	.	.	9 (0-59)	87 (19-391)	103 (79-132)			n.c.	0 
Tumori maligni delle vie aeree e digestive superiori (C00-C15, C32)	M + F	<5	<5	.	.	4 (0-29)	67 (15-300)	107 (78-132)			n.c.	0 
Tumori maligni (C00-C97)	F	22	27	.	.	210 (141-306)	83 (59-118)	96 (89-109)			→	0 

Serra San Quirico												
Causa di morte (ICD-X)	Genere	Osservati	Attesi	n. cluster sign.	SIR cluster	Tasso std. * 100000 (ic)	SIR (ic)	BIR (ic)	SIR sign.	BIR sign.	Trend	Livello attenzione
Tumori maligni (C00-C97)	M	28	32	1	104.3	292 (206-408)	86 (63-118)	96 (89-108)			→	2 
Tumori maligni (C00-C97)	M + F	50	59	.	.	250 (194-320)	85 (67-107)	95 (84-104)			→	0 
Tumori maligni esofago (C15)	F	0	0	.	.	0 (0-37)	0 (.-)	90 (51-163)	↓		n.c.	0 
Tumori maligni esofago (C15)	M	0	0	.	.	0 (0-46)	0 (.-)	95 (50-143)	↓		n.c.	0 
Tumori maligni esofago (C15)	M + F	0	1	.	.	0 (0-22)	0 (.-)	91 (73-134)	↓		n.c.	0 
Tumori maligni dello stomaco (C16)	F	<5	<5	1	120.6	20 (4-69)	88 (29-266)	103 (81-125)			n.c.	2 
Tumori maligni dello stomaco (C16)	M	<5	<5	.	.	9 (0-59)	37 (8-166)	103 (75-130)			n.c.	0 
Tumori maligni dello stomaco (C16)	M + F	<5	>5	.	.	15 (4-44)	60 (24-151)	107 (82-129)			n.c.	0 
Tumori maligni intestino tenue compreso il duodeno (C17)	F	<5	<5	.	.	9 (0-52)	1991 (444-8925)	82 (48-171)	↑		n.c.	2 
Tumori maligni intestino tenue compreso il duodeno (C17)	M	0	0	.	.	0 (0-46)	0 (.-)	75 (37-182)	↓		n.c.	0 
Tumori maligni intestino tenue compreso il duodeno (C17)	M + F	<5	<5	.	.	5 (0-29)	942 (210-4223)	82 (30-205)	↑		n.c.	2 
Tumori maligni del colon (C18)	F	<5	<5	.	.	36 (12-90)	147 (66-328)	99 (83-130)			n.c.	0 
Tumori maligni del colon (C18)	M	<5	<5	.	.	29 (8-87)	101 (40-253)	103 (80-124)			n.c.	0 
Tumori maligni del colon (C18)	M + F	7	6	1	108.7	33 (15-67)	123 (67-227)	102 (83-118)			→	2 















Serra San Quirico												
Causa di morte (ICD-X)	Genere	Osservati	Attesi	n. cluster sign.	SIR cluster	Tasso std. * 100000 (ic)	SIR (ic)	BIR (ic)	SIR sign.	BIR sign.	Trend	Livello attenzione
Tumori maligni del retto della giunzione retto-sigmoidea e ano (C19-C21)	F	<5	<5	.	.	8 (0-50)	121 (27-544)	97 (78-131)			n.c.	0 
Tumori maligni del retto della giunzione retto-sigmoidea e ano (C19-C21)	M	0	1	1	132.0	0 (0-46)	0 (.-)	117 (64-196)	↓		n.c.	2 
Tumori maligni del retto della giunzione retto-sigmoidea e ano (C19-C21)	M + F	<5	<5	1	124.1	4 (0-28)	56 (12-249)	108 (73-177)			n.c.	2 
Tumore fegato e dotti biliari (C22)	F	0	1	.	.	0 (0-37)	0 (.-)	104 (65-132)	↓		n.c.	0 
Tumore fegato e dotti biliari (C22)	M	<5	<5	1	142.9	38 (10-103)	229 (92-573)	122 (91-158)			n.c.	2 
Tumore fegato e dotti biliari (C22)	M + F	<5	<5	1	124.1	18 (5-50)	146 (58-365)	114 (85-176)			n.c.	2 
Tumori maligni del pancreas (C25)	F	0	2	.	.	0 (0-37)	0 (.-)	107 (86-140)	↓		n.c.	0 
Tumori maligni del pancreas (C25)	M	<5	<5	.	.	18 (3-71)	114 (38-344)	102 (71-134)			n.c.	0 
Tumori maligni del pancreas (C25)	M + F	<5	<5	.	.	9 (2-34)	54 (18-162)	103 (89-126)			n.c.	0 
Tumore del retroperitoneo (C48)	F	0	0	.	.	0 (0-37)	0 (.-)	85 (42-158)	↓		n.c.	0 
Tumore del retroperitoneo (C48)	M	0	0	.	.	0 (0-46)	0 (.-)	75 (38-126)	↓		n.c.	0 
Tumore del retroperitoneo (C48)	M + F	0	0	.	.	0 (0-22)	0 (.-)	65 (24-144)	↓		n.c.	0 
Tumori maligni della laringe (C32)	F	0	0	.	.	0 (0-37)	0 (.-)	123 (69-297)	↓		n.c.	0 
Tumori maligni della laringe (C32)	M	0	0	.	.	0 (0-46)	0 (.-)	116 (92-182)	↓		n.c.	0 















Serra San Quirico												
Causa di morte (ICD-X)	Genere	Osservati	Attesi	n. cluster sign.	SIR cluster	Tasso std. * 100000 (ic)	SIR (ic)	BIR (ic)	SIR sign.	BIR sign.	Trend	Livello attenzione
Tumori maligni della laringe (C32)	M + F	0	0	.	.	0 (0-22)	0 (.-)	123 (77-168)	↓		n.c.	0 
Tumori maligni della trachea dei bronchi e dei polmoni (C33-C34)	F	<5	<5	.	.	12 (1-59)	40 (9-180)	90 (66-122)			n.c.	0 
Tumori maligni della trachea dei bronchi e dei polmoni (C33-C34)	M	6	8	.	.	67 (29-139)	74 (38-143)	96 (84-117)			n.c.	0 
Tumori maligni della trachea dei bronchi e dei polmoni (C33-C34)	M + F	7	11	.	.	39 (18-76)	66 (36-122)	99 (82-120)			n.c.	0 
Mesotelioma (pleura, peritoneo, endocardio, ecc.) (C45)	F	0	0	.	.	0 (0-37)	0 (.-)	77 (38-126)	↓		n.c.	0 
Mesotelioma (pleura, peritoneo, endocardio, ecc.) (C45)	M	<5	<5	.	.	11 (1-64)	340 (76-1526)	89 (53-211)			n.c.	0 
Mesotelioma (pleura, peritoneo, endocardio, ecc.) (C45)	M + F	<5	<5	.	.	6 (0-31)	250 (56-1119)	103 (80-158)			n.c.	0 
Tumori maligni delle ossa e della cartilagine articolare (C40-C41)	F	0	0	.	.	0 (0-37)	0 (.-)	101 (61-157)	↓		n.c.	0 
Tumori maligni delle ossa e della cartilagine articolare (C40-C41)	M	0	0	.	.	0 (0-46)	0 (.-)	80 (33-142)	↓		n.c.	0 
Tumori maligni delle ossa e della cartilagine articolare (C40-C41)	M + F	0	0	.	.	0 (0-22)	0 (.-)	100 (53-132)	↓		n.c.	0 
Tumori maligni del connettivo e di altri tessuti molli (C49)	F	0	0	.	.	0 (0-37)	0 (.-)	102 (54-212)	↓		n.c.	0 
Tumori maligni del connettivo e di altri tessuti molli (C49)	M	0	0	.	.	0 (0-46)	0 (.-)	113 (68-204)	↓		n.c.	0 
Tumori maligni del connettivo e di altri tessuti molli (C49)	M + F	0	0	.	.	0 (0-22)	0 (.-)	104 (58-166)	↓		n.c.	0 
Melanoma maligno della pelle (C43)	F	0	0	.	.	0 (0-37)	0 (.-)	101 (50-173)	↓		n.c.	0 

Serra San Quirico												
Causa di morte (ICD-X)	Genere	Osservati	Attesi	n. cluster sign.	SIR cluster	Tasso std. * 100000 (ic)	SIR (ic)	BIR (ic)	SIR sign.	BIR sign.	Trend	Livello attenzione
Melanoma maligno della pelle (C43)	M	0	0	.	.	0 (0-46)	0 (.-)	88 (50-140)	↓		n.c.	0 
Melanoma maligno della pelle (C43)	M + F	0	1	.	.	0 (0-22)	0 (.-)	99 (70-136)	↓		n.c.	0 
Tumori maligni della mammella (C50)	F	<5	<5	.	.	8 (0-50)	25 (5-110)	92 (79-104)			n.c.	0 
Tumori maligni utero (C53-C55)	F	<5	<5	.	.	19 (3-67)	203 (67-613)	89 (67-129)			n.c.	0 
Tumori maligni del corpo dell'utero (C54)	F	0	0	.	.	0 (0-37)	0 (.-)	104 (57-177)	↓		n.c.	0 
Tumori maligni ovaio e degli altri annessi uterini (C56-C57)	F	<5	<5	.	.	17 (3-63)	172 (57-519)	102 (71-137)			n.c.	0 
Tumore della prostata (C61)	M	<5	<5	.	.	22 (4-79)	70 (23-213)	87 (73-108)			n.c.	0 
Tumore del testicolo (C62)	M	0	0	.	.	0 (0-46)	0 (.-)	81 (18-167)	↓		n.c.	0 
Tumori maligni della vescica (C67)	F	0	0	.	.	0 (0-37)	0 (.-)	101 (44-149)	↓		n.c.	0 
Tumori maligni della vescica (C67)	M	<5	<5	.	.	9 (0-59)	64 (14-287)	100 (83-121)			n.c.	0 
Tumori maligni della vescica (C67)	M + F	<5	<5	.	.	4 (0-29)	50 (11-225)	101 (77-117)			n.c.	0 
Tumori maligni del rene e di altri e non specificati organi urinari (C64)	F	0	1	.	.	0 (0-37)	0 (.-)	90 (64-127)	↓		n.c.	0 
Tumori maligni del rene e di altri e non specificati organi urinari (C64)	M	<5	<5	.	.	9 (0-59)	98 (22-440)	100 (72-126)			n.c.	0 
Tumori maligni del rene e di altri e non specificati organi urinari (C64)	M + F	<5	<5	.	.	4 (0-29)	62 (14-279)	103 (73-132)			n.c.	0 















Serra San Quirico												
Causa di morte (ICD-X)	Genere	Osservati	Attesi	n. cluster sign.	SIR cluster	Tasso std. * 100000 (ic)	SIR (ic)	BIR (ic)	SIR sign.	BIR sign.	Trend	Livello attenzione
tumore del sistema nervoso centrale (C70-C72,D33)	F	<5	<5	.	.	9 (0-52)	196 (44-880)	98 (75-129)			n.c.	0 
tumore del sistema nervoso centrale (C70-C72,D33)	M	<5	<5	.	.	9 (0-58)	139 (31-622)	97 (78-129)			n.c.	0 
tumore del sistema nervoso centrale (C70-C72,D33)	M + F	<5	<5	.	.	9 (2-35)	163 (54-491)	102 (73-136)			n.c.	0 
Tumori maligni encefalo (C71)	F	<5	<5	.	.	9 (0-52)	208 (46-933)	99 (74-135)			n.c.	0 
Tumori maligni encefalo (C71)	M	<5	<5	.	.	9 (0-58)	143 (32-641)	92 (55-141)			n.c.	0 
Tumori maligni encefalo (C71)	M + F	<5	<5	.	.	9 (2-35)	170 (56-512)	90 (61-128)			n.c.	0 
Tumori maligni della ghiandola tiroide (C73)	F	0	0	.	.	0 (0-37)	0 (.-)	80 (37-168)	↓		n.c.	0 
Tumori maligni della ghiandola tiroide (C73)	M	0	0	.	.	0 (0-46)	0 (.-)	100 (40-151)	↓		n.c.	0 
Tumori maligni della ghiandola tiroide (C73)	M + F	0	0	.	.	0 (0-22)	0 (.-)	119 (66-203)	↓		n.c.	0 
Tumori emolinfopoietici (C81-C96)	F	<5	<5	.	.	19 (3-67)	78 (26-235)	109 (90-146)			n.c.	0 
Tumori emolinfopoietici (C81-C96)	M	<5	<5	.	.	41 (14-104)	145 (65-323)	94 (80-115)			n.c.	0 
Tumori emolinfopoietici (C81-C96)	M + F	6	5	.	.	30 (13-64)	113 (58-218)	104 (89-118)			n.c.	0 
Malattia di Hodgkin (C81)	F	0	0	.	.	0 (0-37)	0 (.-)	87 (43-144)	↓		n.c.	0 
Malattia di Hodgkin (C81)	M	0	0	.	.	0 (0-46)	0 (.-)	70 (32-123)	↓		n.c.	0 















Serra San Quirico												
Causa di morte (ICD-X)	Genere	Osservati	Attesi	n. cluster sign.	SIR cluster	Tasso std. * 100000 (ic)	SIR (ic)	BIR (ic)	SIR sign.	BIR sign.	Trend	Livello attenzione
Malattia di Hodgkin (C81)	M + F	0	0	.	.	0 (0-22)	0 (.-)	82 (44-155)	↓		n.c.	0
Linfoma non Hodgkin (C82-C85)	F	<5	<5	.	.	11 (1-55)	113 (25-508)	110 (85-159)			n.c.	0
Linfoma non Hodgkin (C82-C85)	M	<5	<5	.	.	9 (0-58)	103 (23-462)	86 (58-122)			n.c.	0
Linfoma non Hodgkin (C82-C85)	M + F	<5	<5	.	.	10 (2-36)	108 (36-326)	94 (77-122)			n.c.	0
Mieloma multiplo e tumori immunoproliferativi (C88, C90)	F	<5	<5	.	.	9 (0-51)	168 (37-751)	109 (76-130)			n.c.	0
Mieloma multiplo e tumori immunoproliferativi (C88, C90)	M	0	1	.	.	0 (0-46)	0 (.-)	89 (67-116)	↓		n.c.	0
Mieloma multiplo e tumori immunoproliferativi (C88, C90)	M + F	<5	<5	.	.	5 (0-29)	84 (19-377)	96 (80-125)			n.c.	0
Leucemie (C91-C95)	F	0	1	.	.	0 (0-37)	0 (.-)	96 (70-122)	↓		n.c.	0
Leucemie (C91-C95)	M	<5	<5	1	117.9	32 (9-93)	265 (106-664)	107 (77-143)	↑		n.c.	3
Leucemie (C91-C95)	M + F	<5	<5	.	.	16 (4-45)	139 (56-349)	100 (80-124)			n.c.	0
Leucemia linfoide (acuta e cronica) (C91)	F	0	0	.	.	0 (0-37)	0 (.-)	98 (56-174)	↓		n.c.	0
Leucemia linfoide (acuta e cronica) (C91)	M	<5	<5	.	.	11 (1-64)	232 (52-1040)	94 (60-149)			n.c.	0
Leucemia linfoide (acuta e cronica) (C91)	M + F	<5	<5	.	.	6 (0-31)	132 (29-591)	100 (69-137)			n.c.	0
Leucemia mieloide (acuta e cronica) (C92)	F	0	1	.	.	0 (0-37)	0 (.-)	90 (56-146)	↓		n.c.	0

Serra San Quirico												
Causa di morte (ICD-X)	Genere	Osservati	Attesi	n. cluster sign.	SIR cluster	Tasso std. * 100000 (ic)	SIR (ic)	BIR (ic)	SIR sign.	BIR sign.	Trend	Livello attenzione
Leucemia mieloide (acuta e cronica) (C92)	M	<5	<5	1	128.1	12 (1-64)	203 (45-909)	90 (49-125)			n.c.	2 
Leucemia mieloide (acuta e cronica) (C92)	M + F	<5	<5	.	.	6 (0-31)	104 (23-467)	95 (80-124)			n.c.	0 
Malattie del sangue e degli organi emopoietici (D50-D77)	F	<5	<5	.	.	15 (3-59)	318 (105-960)	92 (55-150)	↑		n.c.	2 
Malattie del sangue e degli organi emopoietici (D50-D77)	M	<5	<5	.	.	9 (0-59)	259 (58-1162)	97 (52-148)			n.c.	0 
Malattie del sangue e degli organi emopoietici (D50-D77)	M + F	<5	<5	.	.	12 (3-39)	295 (118-739)	102 (73-144)	↑		n.c.	2 
Malattie endocrine della nutrizione ed immunitarie (E00-E90, D80-D89)	F	6	5	.	.	45 (19-98)	116 (60-224)	107 (91-129)			n.c.	0 
Malattie endocrine della nutrizione ed immunitarie (E00-E90, D80-D89)	M	9	4	1	145.9	83 (43-155)	257 (149-441)	118 (93-151)	↑		n.c.	3 
Malattie endocrine della nutrizione ed immunitarie (E00-E90, D80-D89)	M + F	15	9	1	113.9	63 (39-103)	173 (113-263)	120 (96-141)	↑	↗	n.c.	3 
Tireotossicosi (E05)	F	0	0	.	.	0 (0-37)	0 (.-.)	114 (54-252)	↓		n.c.	0 
Tireotossicosi (E05)	M	0	0	.	.	0 (0-46)	0 (.-.)	68 (23-146)	↓		n.c.	0 
Tireotossicosi (E05)	M + F	0	0	.	.	0 (0-22)	0 (.-.)	80 (16-279)	↓		n.c.	0 
Ipotiroidismo (E00-E03)	F	0	0	.	.	0 (0-37)	0 (.-.)	97 (45-273)	↓		n.c.	0 
Ipotiroidismo (E00-E03)	M	0	0	.	.	0 (0-46)	0 (.-.)	53 (13-334)	↓		n.c.	0 
Ipotiroidismo (E00-E03)	M + F	0	0	.	.	0 (0-22)	0 (.-.)	91 (36-150)	↓		n.c.	0 

Serra San Quirico												
Causa di morte (ICD-X)	Genere	Osservati	Attesi	n. cluster sign.	SIR cluster	Tasso std. * 100000 (ic)	SIR (ic)	BIR (ic)	SIR sign.	BIR sign.	Trend	Livello attenzione
Diabete mellito (E10-E14)	F	6	4	.	.	45 (19-98)	154 (79-297)	105 (83-118)			n.c.	0 
Diabete mellito (E10-E14)	M	8	3	1	132.1	74 (37-145)	300 (169-532)	122 (99-144)	↑		n.c.	3 
Diabete mellito (E10-E14)	M + F	14	7	1	126.2	59 (36-98)	213 (138-329)	120 (93-148)	↑		↗	3 
Demenze (F00-F01, F02.0-F02.3, F03, G30, G31.0)	F	15	7	1	127.1	121 (74-193)	216 (142-329)	139 (113-182)	↑	↑	n.c.	5 
Demenze (F00-F01, F02.0-F02.3, F03, G30, G31.0)	M	<5	<5	.	.	26 (7-82)	93 (37-234)	99 (80-130)			n.c.	0 
Demenze (F00-F01, F02.0-F02.3, F03, G30, G31.0)	M + F	18	10	1	122.0	75 (48-116)	177 (120-260)	135 (101-173)	↑	↑	n.c.	5 
Malattie neuro-psichiatriche (escluse tossicod.) (F00-F09, F20-F99)	F	10	4	1	141.9	80 (43-143)	250 (149-418)	149 (110-213)	↑	↑	n.c.	5 
Malattie neuro-psichiatriche (escluse tossicod.) (F00-F09, F20-F99)	M	<5	<5	1	146.5	17 (3-70)	112 (37-338)	126 (87-172)			n.c.	2 
Malattie neuro-psichiatriche (escluse tossicod.) (F00-F09, F20-F99)	M + F	12	6	1	144.4	50 (29-86)	207 (129-332)	148 (102-207)	↑	↑	n.c.	5 
Malattie del sistema nervoso e degli organi di senso (G00-H95)	F	10	6	.	.	81 (44-146)	166 (99-278)	109 (82-136)			n.c.	0 
Malattie del sistema nervoso e degli organi di senso (G00-H95)	M	7	4	.	.	63 (29-129)	172 (93-318)	103 (85-135)			n.c.	0 
Malattie del sistema nervoso e degli organi di senso (G00-H95)	M + F	17	10	.	.	72 (46-114)	168 (113-250)	110 (87-133)	↑		→	2 
Morbo di Parkinson (G20)	F	<5	<5	1	124.8	15 (3-59)	228 (75-688)	99 (75-131)			n.c.	2 
Morbo di Parkinson (G20)	M	<5	<5	.	.	18 (3-72)	220 (73-665)	98 (63-134)			n.c.	0 

Serra San Quirico												
Causa di morte (ICD-X)	Genere	Osservati	Attesi	n. cluster sign.	SIR cluster	Tasso std. * 100000 (ic)	SIR (ic)	BIR (ic)	SIR sign.	BIR sign.	Trend	Livello attenzione
Morbo di Parkinson (G20)	M + F	<5	<5	2	158.1	17 (6-45)	224 (100-498)	100 (78-133)	↑		n.c.	3
Malattia di Alzheimer (G30)	F	5	3	.	.	41 (16-95)	160 (78-329)	111 (67-169)			n.c.	0
Malattia di Alzheimer (G30)	M	<5	<5	.	.	9 (0-58)	65 (14-289)	82 (45-115)			n.c.	0
Malattia di Alzheimer (G30)	M + F	6	5	.	.	25 (11-56)	128 (66-248)	94 (52-157)			n.c.	0
Malattia dei neuroni motori (G122)	F	<5	<5	1	389.4	26 (7-74)	722 (289-1807)	223 (75-527)	↑		n.c.	3
Malattia dei neuroni motori (G122)	M	<5	<5	1	383.4	9 (0-58)	268 (60-1201)	154 (94-228)			n.c.	2
Malattia dei neuroni motori (G122)	M + F	<5	<5	1	396.1	17 (6-46)	507 (228-1130)	176 (82-286)	↑		n.c.	3
Sclerosi multipla (G35)	F	0	0	.	.	0 (0-37)	0 (.-.)	68 (38-141)	↓		n.c.	0
Sclerosi multipla (G35)	M	0	0	.	.	0 (0-46)	0 (.-.)	65 (25-241)	↓		n.c.	0
Sclerosi multipla (G35)	M + F	0	0	.	.	0 (0-22)	0 (.-.)	85 (56-124)	↓		n.c.	0
Malattie apparato circolatorio (I00-I99)	F	49	56	.	.	393 (305-506)	88 (70-112)	98 (88-106)			→	0
Malattie apparato circolatorio (I00-I99)	M	39	38	.	.	399 (299-529)	103 (79-134)	101 (88-119)			→	0
Malattie apparato circolatorio (I00-I99)	M + F	88	93	.	.	396 (328-477)	94 (79-112)	96 (87-111)			→	0
Malattie ischemiche del cuore (I20-I25)	F	15	18	.	.	125 (77-199)	82 (54-126)	96 (75-118)			n.c.	0

Serra San Quirico												
Causa di morte (ICD-X)	Genere	Osservati	Attesi	n. cluster sign.	SIR cluster	Tasso std. * 100000 (ic)	SIR (ic)	BIR (ic)	SIR sign.	BIR sign.	Trend	Livello attenzione
Malattie ischemiche del cuore (I20-I25)	M	21	16	.	.	218 (145-322)	136 (95-194)	115 (94-138)			→	0 
Malattie ischemiche del cuore (I20-I25)	M + F	36	34	1	112.8	170 (126-229)	107 (81-140)	107 (90-126)			→	2 
Infarto miocardico acuto (I21-I22)	F	7	5	.	.	61 (28-121)	130 (70-240)	86 (58-123)			n.c.	0 
Infarto miocardico acuto (I21-I22)	M	6	6	.	.	66 (29-138)	104 (54-201)	87 (66-117)			n.c.	0 
Infarto miocardico acuto (I21-I22)	M + F	13	11	.	.	63 (37-105)	117 (74-183)	86 (69-118)			→	0 
Malattie cerebrovascolari (I60-I69)	F	11	16	.	.	87 (49-152)	69 (42-112)	79 (68-98)		↓	→	0 
Malattie cerebrovascolari (I60-I69)	M	10	10	.	.	102 (55-182)	100 (60-168)	93 (78-112)			n.c.	0 
Malattie cerebrovascolari (I60-I69)	M + F	21	26	.	.	94 (63-140)	81 (57-115)	83 (70-98)		↓	→	0 
Malattie apparato respiratorio (J00-J99)	F	7	7	.	.	55 (26-113)	107 (58-198)	105 (84-131)			n.c.	0 
Malattie apparato respiratorio (J00-J99)	M	6	8	.	.	61 (26-131)	75 (39-145)	101 (86-123)			n.c.	0 
Malattie apparato respiratorio (J00-J99)	M + F	13	15	.	.	58 (34-98)	89 (57-140)	97 (83-119)			→	0 
Malattie respiratorie acute (J00-J06, J10-J18, J20-J22)	F	<5	<5	.	.	26 (7-75)	155 (62-389)	87 (55-143)			n.c.	0 
Malattie respiratorie acute (J00-J06, J10-J18, J20-J22)	M	<5	<5	.	.	9 (0-59)	60 (13-270)	91 (72-123)			n.c.	0 
Malattie respiratorie acute (J00-J06, J10-J18, J20-J22)	M + F	<5	<5	.	.	18 (6-47)	111 (50-248)	103 (67-153)			n.c.	0 

Serra San Quirico												
Causa di morte (ICD-X)	Genere	Osservati	Attesi	n. cluster sign.	SIR cluster	Tasso std. * 100000 (ic)	SIR (ic)	BIR (ic)	SIR sign.	BIR sign.	Trend	Livello attenzione
Malattie croniche apparato respiratorio (BCPO) (J41-J44, J47)	F	<5	<5	.	.	13 (2-55)	73 (24-221)	111 (91-168)			n.c.	0 
Malattie croniche apparato respiratorio (BCPO) (J41-J44, J47)	M	5	4	1	131.5	52 (20-119)	114 (56-235)	106 (87-144)			n.c.	2 
Malattie croniche apparato respiratorio (BCPO) (J41-J44, J47)	M + F	7	7	1	127.9	32 (15-66)	99 (53-182)	107 (82-142)			n.c.	2 
Asma (J45)	F	0	0	.	.	0 (0-37)	0 (.-)	86 (43-203)	↓		n.c.	0 
Asma (J45)	M	0	0	.	.	0 (0-46)	0 (.-)	104 (35-205)	↓		n.c.	0 
Asma (J45)	M + F	0	0	.	.	0 (0-22)	0 (.-)	87 (42-163)	↓		n.c.	0 
Pneumoconiosi (J60-J64)	M	0	0	.	.	0 (0-46)	0 (.-)	127 (34-374)	↓		n.c.	0 
Pneumoconiosi (J60-J64)	M + F	0	0	.	.	0 (0-22)	0 (.-)	127 (34-374)	↓		n.c.	0 
Malattie apparato digerente (K00-K93)	F	<5	>5	.	.	16 (3-62)	44 (15-134)	91 (75-111)			n.c.	0 
Malattie apparato digerente (K00-K93)	M	5	4	.	.	56 (22-125)	135 (66-278)	95 (84-116)			n.c.	0 
Malattie apparato digerente (K00-K93)	M + F	7	8	.	.	36 (16-71)	85 (46-157)	91 (81-109)			n.c.	0 
Cirrosi e altre malattie croniche del fegato (K70, K73-K74)	F	0	1	.	.	0 (0-37)	0 (.-)	82 (51-145)	↓		n.c.	0 
Cirrosi e altre malattie croniche del fegato (K70, K73-K74)	M	<5	<5	.	.	11 (1-63)	90 (20-402)	97 (79-121)			n.c.	0 
Cirrosi e altre malattie croniche del fegato (K70, K73-K74)	M + F	<5	<5	.	.	5 (0-31)	55 (12-246)	99 (72-130)			n.c.	0 

Serra San Quirico												
Causa di morte (ICD-X)	Genere	Osservati	Attesi	n. cluster sign.	SIR cluster	Tasso std. * 100000 (ic)	SIR (ic)	BIR (ic)	SIR sign.	BIR sign.	Trend	Livello attenzione
Nefropatie croniche e acute (N00-N12)	F	0	0	.	.	0 (0-37)	0 (.-)	22 (4-139)	↓		n.c.	0
Nefropatie croniche e acute (N00-N12)	M	0	0	.	.	0 (0-46)	0 (.-)	82 (25-181)	↓		n.c.	0
Nefropatie croniche e acute (N00-N12)	M + F	0	0	.	.	0 (0-22)	0 (.-)	104 (57-165)	↓		n.c.	0
Malattie apparato genito-urinario (N00-N99)	F	<5	<5	.	.	17 (3-63)	86 (29-261)	100 (74-130)			n.c.	0
Malattie apparato genito-urinario (N00-N99)	M	<5	<5	.	.	9 (0-59)	52 (12-232)	99 (70-160)			n.c.	0
Malattie apparato genito-urinario (N00-N99)	M + F	<5	<5	.	.	13 (4-41)	71 (28-177)	100 (80-133)			n.c.	0
Insufficienza renale acuta e cronica (N17-N19)	F	<5	<5	.	.	17 (3-63)	107 (35-323)	97 (73-130)			n.c.	0
Insufficienza renale acuta e cronica (N17-N19)	M	<5	<5	.	.	9 (0-59)	64 (14-288)	99 (72-137)			n.c.	0
Insufficienza renale acuta e cronica (N17-N19)	M + F	<5	<5	1	111.0	13 (4-41)	88 (35-219)	102 (75-133)			n.c.	2
Sintomi, segni e stati morbosi mal definiti (R00-R99)	F	<5	<5	.	.	9 (0-51)	62 (14-280)	48 (16-183)			n.c.	0
Sintomi, segni e stati morbosi mal definiti (R00-R99)	M	0	1	.	.	0 (0-46)	0 (.-)	49 (18-148)	↓		n.c.	0
Sintomi, segni e stati morbosi mal definiti (R00-R99)	M + F	<5	<5	.	.	5 (0-29)	45 (10-204)	42 (15-86)		↓	n.c.	0
Traumatismi e avvelenamenti (S00-T98)	F	<5	<5	.	.	27 (7-78)	78 (31-196)	91 (65-113)			n.c.	0
















Serra San Quirico												
Causa di morte (ICD-X)	Genere	Osservati	Attesi	n. cluster sign.	SIR cluster	Tasso std. * 100000 (ic)	SIR (ic)	BIR (ic)	SIR sign.	BIR sign.	Trend	Livello attenzione
Traumatismi e avvelenamenti (S00-T98)	M	5	5	1	123.6	53 (21-120)	98 (48-201)	104 (92-126)			n.c.	2 
Traumatismi e avvelenamenti (S00-T98)	M + F	8	9	.	.	40 (20-76)	90 (50-159)	99 (87-116)			n.c.	0 

Tabella 24. Mortalità per causa nel comune di Cerreto d'Esì, 0-14 anni, maschi e femmine – Anni 2006-2011, confronto Regione Marche.

Cerreto d'Esì			n. cluster sign.	SIR cluster	Tasso std. * 100000 (ic)	SIR (ic)	BIR (ic)	SIR sign.	BIR sign.	Trend	Livello attenzione
Causa di morte (ICD-X)	Osservati	Attesi									
Mortalità generale (escluse cause violente) (A00-R99)	0	1	.	.	0 (0-83)	0 (.-)	94 (59-152)	↓		n.c.	0 
Mortalità per cause esterne o violente (S00-Y99)	<5	<5	.	.	23 (1-120)	914 (204-4099)	101 (32-338)	↑		n.c.	2 
Malattie infettive e parassitarie (A00-B99)	0	0	.	.	0 (0-83)	0 (.-)	52 (13-238)	↓		n.c.	0 
Tumori maligni e benigni (C00-D48)	0	0	.	.	0 (0-83)	0 (.-)	72 (28-209)	↓		n.c.	0 
Tumori maligni (C00-C97)	0	0	.	.	0 (0-83)	0 (.-)	45 (14-193)	↓		n.c.	0 
Tumori maligni del connettivo e di altri tessuti molli (C49)	0	0	.	.	0 (0-83)	0 (.-)	11 (1-346)	↓		n.c.	0 
Tumori maligni dell'encefalo (C71)	0	0	.	.	0 (0-83)	0 (.-)	85 (28-196)	↓		n.c.	0 
Tumori maligni del sistema nervoso centrale (C70-C72,D33)	0	0	.	.	0 (0-83)	0 (.-)	85 (28-196)	↓		n.c.	0 
Tumori emolinfopoietici (C81-C96)	0	0	.	.	0 (0-83)	0 (.-)	50 (21-164)	↓		n.c.	0 
Leucemie (C91-C95)	0	0	.	.	0 (0-83)	0 (.-)	56 (21-143)	↓		n.c.	0 
Anomalie del sistema nervoso (G00-H95)	0	0	.	.	0 (0-83)	0 (.-)	61 (20-157)	↓		n.c.	0 
Malattie dell'apparato respiratorio (J00-J99)	0	0	.	.	0 (0-83)	0 (.-)	58 (21-154)	↓		n.c.	0 
Malattie respiratorie acute (J00-J06, J10-J18, J20-J22)	0	0	.	.	0 (0-83)	0 (.-)	52 (9-277)	↓		n.c.	0 




















Cerreto d'Esì											
Causa di morte (ICD-X)	Osservati	Attesi	n. cluster sign.	SIR cluster	Tasso std. * 100000 (ic)	SIR (ic)	BIR (ic)	SIR sign.	BIR sign.	Trend	Livello attenzione
Malattie dell'apparato digerente (K00-K93)	0	0	.	.	0 (0-83)	0 (.-.)	85 (27-239)	↓		n.c.	0 
Malformazioni congenite (Q00-Q99)	0	0	.	.	0 (0-83)	0 (.-.)	74 (18-171)	↓		n.c.	0 
Anomalie cardiovascolari (Q20-Q28)	0	0	.	.	0 (0-83)	0 (.-.)	116 (61-253)	↓		n.c.	0 
Anomalie cromosomiche (non classificate altrimenti) (Q90-Q99)	0	0	.	.	0 (0-83)	0 (.-.)	54 (15-279)	↓		n.c.	0 
Sintomi, segni e stati morbosi mal definiti (R00-R99)	0	0	.	.	0 (0-83)	0 (.-.)	23 (3-229)	↓		n.c.	0 
Traumatismi e avvelenamenti (S00-T98)	<5	<5	.	.	23 (1-120)	914 (204-4099)	101 (32-338)	↑		n.c.	2 

Tabella 25. Mortalità per causa nel comune di Esanatoglia, 0-14 anni, maschi e femmine – Anni 2006-2011, confronto Regione Marche.

Esanatoglia			n. cluster sign.	SIR cluster	Tasso std. * 100000 (ic)	SIR (ic)	BIR (ic)	SIR sign.	BIR sign.	Trend	Livello attenzione
Causa di morte (ICD-X)	Osservati	Attesi									
Mortalità generale (escluse cause violente) (A00-R99)	<5	<5	.	.	57 (3-306)	200 (45-895)	111 (65-163)			n.c.	0 
Mortalità per cause esterne o violente (S00-Y99)	0	0	.	.	0 (0-214)	0 (.-.)	120 (20-332)	↓		n.c.	0 
Malattie infettive e parassitarie (A00-B99)	0	0	.	.	0 (0-214)	0 (.-.)	131 (9-995)	↓		n.c.	0 
Tumori maligni e benigni (C00-D48)	<5	<5	.	.	57 (3-306)	922 (206-4134)	191 (39-508)	↑		n.c.	2 
Tumori maligni (C00-C97)	<5	<5	.	.	57 (3-306)	922 (206-4134)	247 (35-973)	↑		n.c.	2 
Tumori maligni del connettivo e di altri tessuti molli (C49)	<5	<5	.	.	57 (3-306)	2810 (627-12597)	1325 (109-6922)	↑	↑	n.c.	4 
Tumori maligni dell'encefalo (C71)	0	0	.	.	0 (0-214)	.	0 (0-21)			n.c.	0 
Tumori maligni del sistema nervoso centrale (C70-C72,D33)	0	0	.	.	0 (0-214)	.	0 (0-21)			n.c.	0 
Tumori emolinfopoiетici (C81-C96)	0	0	.	.	0 (0-214)	0 (.-.)	83 (12-556)	↓		n.c.	0 
Leucemie (C91-C95)	0	0	.	.	0 (0-214)	0 (.-.)	86 (3-637)	↓		n.c.	0 
Anomalie del sistema nervoso (G00-H95)	0	0	.	.	0 (0-214)	0 (.-.)	105 (3-691)	↓		n.c.	0 
Malattie dell'apparato respiratorio (J00-J99)	0	0	.	.	0 (0-214)	0 (.-.)	367 (53-1544)	↓		n.c.	0 
Malattie respiratorie acute (J00-J06, J10-J18, J20-J22)	0	0	.	.	0 (0-214)	0 (.-.)	531 (28-2612)	↓		n.c.	0 




















Esanatogia			n. cluster sign.	SIR cluster	Tasso std. * 100000 (ic)	SIR (ic)	BIR (ic)	SIR sign.	BIR sign.	Trend	Livello attenzione
Causa di morte (ICD-X)	Osservati	Attesi									
Malattie dell'apparato digerente (K00-K93)	0	0	.	.	0 (0-214)	.	0 (0-0)			n.c.	0 
Malformazioni congenite (Q00-Q99)	0	0	.	.	0 (0-214)	0 (.-.)	60 (22-205)	↓		n.c.	0 
Anomalie cardiovascolari (Q20-Q28)	0	0	.	.	0 (0-214)	0 (.-.)	48 (7-173)	↓		n.c.	0 
Anomalie cromosomiche (non classificate altrimenti) (Q90-Q99)	0	0	.	.	0 (0-214)	.	0 (0-0)			n.c.	0 
Sintomi, segni e stati morbosi mal definiti (R00-R99)	0	0	.	.	0 (0-214)	.	0 (0-0)			n.c.	0 
Traumatismi e avvelenamenti (S00-T98)	0	0	.	.	0 (0-214)	0 (.-.)	120 (20-332)	↓		n.c.	0 

Tabella 26. Mortalità per causa nel comune di Esanatoglia, 0-14 anni, maschi e femmine – Anni 2006-2011, confronto Regione Marche.

Fabriano											
Causa di morte (ICD-X)	Osservati	Attesi	n. cluster sign.	SIR cluster	Tasso std. * 100000 (ic)	SIR (ic)	BIR (ic)	SIR sign.	BIR sign.	Trend	Livello attenzione
Mortalità generale (escluse cause violente) (A00-R99)	5	6	.	.	20 (8-42)	79 (38-162)	93 (74-119)			n.c.	0 
Mortalità per cause esterne o violente (S00-Y99)	<5	<5	.	.	4 (0-20)	149 (33-666)	92 (46-196)			n.c.	0 
Malattie infettive e parassitarie (A00-B99)	0	0	.	.	0 (0-12)	0 (.-)	61 (18-145)	↓		n.c.	0 
Tumori maligni e benigni (C00-D48)	0	1	.	.	0 (0-12)	0 (.-)	73 (39-149)	↓		n.c.	0 
Tumori maligni (C00-C97)	0	1	.	.	0 (0-12)	0 (.-)	53 (21-103)	↓		n.c.	0 
Tumori maligni del connettivo e di altri tessuti molli (C49)	0	0	.	.	0 (0-12)	0 (.-)	10 (0-173)	↓		n.c.	0 
Tumori maligni dell'encefalo (C71)	0	0	.	.	0 (0-12)	0 (.-)	90 (27-188)	↓		n.c.	0 
Tumori maligni del sistema nervoso centrale (C70-C72,D33)	0	0	.	.	0 (0-12)	0 (.-)	90 (27-188)	↓		n.c.	0 
Tumori emolinfopoiетici (C81-C96)	0	0	.	.	0 (0-12)	0 (.-)	66 (31-114)	↓		n.c.	0 
Leucemie (C91-C95)	0	0	.	.	0 (0-12)	0 (.-)	67 (30-144)	↓		n.c.	0 
Anomalie del sistema nervoso (G00-H95)	0	0	.	.	0 (0-12)	0 (.-)	71 (35-135)	↓		n.c.	0 
Malattie dell'apparato respiratorio (J00-J99)	0	0	.	.	0 (0-12)	0 (.-)	69 (26-153)	↓		n.c.	0 
Malattie respiratorie acute (J00-J06, J10-J18, J20-J22)	0	0	.	.	0 (0-12)	0 (.-)	57 (14-254)	↓		n.c.	0 




















Fabriano											
Causa di morte (ICD-X)	Osservati	Attesi	n. cluster sign.	SIR cluster	Tasso std. * 100000 (ic)	SIR (ic)	BIR (ic)	SIR sign.	BIR sign.	Trend	Livello attenzione
Malattie dell'apparato digerente (K00-K93)	0	0	.	.	0 (0-12)	0 (.-)	80 (27-158)	↓		n.c.	0 
Malformazioni congenite (Q00-Q99)	<5	<5	.	.	4 (0-20)	56 (12-249)	72 (35-129)			n.c.	0 
Anomalie cardiovascolari (Q20-Q28)	<5	<5	.	.	4 (0-20)	94 (21-424)	122 (72-199)			n.c.	0 
Anomalie cromosomiche (non classificate altrimenti) (Q90-Q99)	0	0	.	.	0 (0-12)	0 (.-)	56 (11-147)	↓		n.c.	0 
Sintomi, segni e stati morbosi mal definiti (R00-R99)	0	0	.	.	0 (0-12)	0 (.-)	37 (4-182)	↓		n.c.	0 
Traumatismi e avvelenamenti (S00-T98)	<5	<5	.	.	4 (0-20)	149 (33-666)	92 (46-196)			n.c.	0 

Tabella 27. Mortalità per causa nel comune di Fiuminata, 0-14 anni, maschi e femmine – Anni 2006-2011, confronto Regione Marche.

Fiuminata											
Causa di morte (ICD-X)	Osservati	Attesi	n. cluster sign.	SIR cluster	Tasso std. * 100000 (ic)	SIR (ic)	BIR (ic)	SIR sign.	BIR sign.	Trend	Livello attenzione
Mortalità generale (escluse cause violente) (A00-R99)	0	0	.	.	0 (0-397)	0 (.-)	97 (71-123)	↓		n.c.	0 
Mortalità per cause esterne o violente (S00-Y99)	0	0	.	.	0 (0-397)	0 (.-)	85 (40-207)	↓		n.c.	0 
Malattie infettive e parassitarie (A00-B99)	0	0	.	.	0 (0-397)	0 (.-)	69 (28-142)	↓		n.c.	0 
Tumori maligni e benigni (C00-D48)	0	0	.	.	0 (0-397)	0 (.-)	85 (49-158)	↓		n.c.	0 
Tumori maligni (C00-C97)	0	0	.	.	0 (0-397)	0 (.-)	53 (20-115)	↓		n.c.	0 
Tumori maligni del connettivo e di altri tessuti molli (C49)	0	0	.	.	0 (0-397)	0 (.-)	18 (1-264)	↓		n.c.	0 
Tumori maligni dell'encefalo (C71)	0	0	.	.	0 (0-397)	0 (.-)	80 (27-149)	↓		n.c.	0 
Tumori maligni del sistema nervoso centrale (C70-C72,D33)	0	0	.	.	0 (0-397)	0 (.-)	80 (27-149)	↓		n.c.	0 
Tumori emolinfopoiетici (C81-C96)	0	0	.	.	0 (0-397)	0 (.-)	60 (30-148)	↓		n.c.	0 
Leucemie (C91-C95)	0	0	.	.	0 (0-397)	0 (.-)	65 (31-143)	↓		n.c.	0 
Anomalie del sistema nervoso (G00-H95)	0	0	.	.	0 (0-397)	0 (.-)	73 (38-169)	↓		n.c.	0 
Malattie dell'apparato respiratorio (J00-J99)	0	0	.	.	0 (0-397)	0 (.-)	65 (33-161)	↓		n.c.	0 
Malattie respiratorie acute (J00-J06, J10-J18, J20-J22)	0	0	.	.	0 (0-397)	0 (.-)	57 (13-253)	↓		n.c.	0 





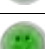














Fiuminata											
Causa di morte (ICD-X)	Osservati	Attesi	n. cluster sign.	SIR cluster	Tasso std. * 100000 (ic)	SIR (ic)	BIR (ic)	SIR sign.	BIR sign.	Trend	Livello attenzione
Malattie dell'apparato digerente (K00-K93)	0	0	.	.	0 (0-397)	0 (.-.)	75 (40-189)	↓		n.c.	0 
Malformazioni congenite (Q00-Q99)	0	0	.	.	0 (0-397)	0 (.-.)	66 (25-236)	↓		n.c.	0 
Anomalie cardiovascolari (Q20-Q28)	0	0	.	.	0 (0-397)	0 (.-.)	133 (78-247)	↓		n.c.	0 
Anomalie cromosomiche (non classificate altrimenti) (Q90-Q99)	0	0	.	.	0 (0-397)	0 (.-.)	78 (22-199)	↓		n.c.	0 
Sintomi, segni e stati morbosi mal definiti (R00-R99)	0	0	.	.	0 (0-397)	0 (.-.)	28 (3-182)	↓		n.c.	0 
Traumatismi e avvelenamenti (S00-T98)	0	0	.	.	0 (0-397)	0 (.-.)	85 (40-207)	↓		n.c.	0 

Tabella 28. Mortalità per causa nel comune di Genga, 0-14 anni, maschi e femmine – Anni 2006-2011, confronto Regione Marche.

Genga											
Causa di morte (ICD-X)	Osservati	Attesi	n. cluster sign.	SIR cluster	Tasso std. * 100000 (ic)	SIR (ic)	BIR (ic)	SIR sign.	BIR sign.	Trend	Livello attenzione
Mortalità generale (escluse cause violente) (A00-R99)	<5	<5	.	.	81 (4-391)	283 (63-1270)	98 (62-138)			n.c.	0 
Mortalità per cause esterne o violente (S00-Y99)	0	0	.	.	0 (0-253)	0 (.-.)	83 (27-197)	↓		n.c.	0 
Malattie infettive e parassitarie (A00-B99)	0	0	.	.	0 (0-253)	0 (.-.)	49 (20-163)	↓		n.c.	0 
Tumori maligni e benigni (C00-D48)	0	0	.	.	0 (0-253)	0 (.-.)	86 (43-184)	↓		n.c.	0 
Tumori maligni (C00-C97)	0	0	.	.	0 (0-253)	0 (.-.)	54 (13-222)	↓		n.c.	0 
Tumori maligni del connettivo e di altri tessuti molli (C49)	0	0	.	.	0 (0-253)	0 (.-.)	6 (0-193)	↓		n.c.	0 
Tumori maligni dell'encefalo (C71)	0	0	.	.	0 (0-253)	0 (.-.)	116 (33-230)	↓		n.c.	0 
Tumori maligni del sistema nervoso centrale (C70-C72,D33)	0	0	.	.	0 (0-253)	0 (.-.)	116 (33-230)	↓		n.c.	0 
Tumori emolinfopoiетici (C81-C96)	0	0	.	.	0 (0-253)	0 (.-.)	82 (35-156)	↓		n.c.	0 
Leucemie (C91-C95)	0	0	.	.	0 (0-253)	0 (.-.)	77 (28-176)	↓		n.c.	0 
Anomalie del sistema nervoso (G00-H95)	0	0	.	.	0 (0-253)	0 (.-.)	80 (30-161)	↓		n.c.	0 
Malattie dell'apparato respiratorio (J00-J99)	0	0	.	.	0 (0-253)	0 (.-.)	65 (30-148)	↓		n.c.	0 
Malattie respiratorie acute (J00-J06, J10-J18, J20-J22)	0	0	.	.	0 (0-253)	0 (.-.)	38 (9-172)	↓		n.c.	0 




















Genga											
Causa di morte (ICD-X)	Osservati	Attesi	n. cluster sign.	SIR cluster	Tasso std. * 100000 (ic)	SIR (ic)	BIR (ic)	SIR sign.	BIR sign.	Trend	Livello attenzione
Malattie dell'apparato digerente (K00-K93)	0	0	.	.	0 (0-253)	0 (.-.)	76 (35-201)	↓		n.c.	0 
Malformazioni congenite (Q00-Q99)	<5	<5	.	.	81 (4-391)	1005 (224-4504)	83 (42-159)	↑		n.c.	2 
Anomalie cardiovascolari (Q20-Q28)	0	0	.	.	0 (0-253)	0 (.-.)	98 (46-210)	↓		n.c.	0 
Anomalie cromosomiche (non classificate altrimenti) (Q90-Q99)	0	0	.	.	0 (0-253)	0 (.-.)	60 (9-158)	↓		n.c.	0 
Sintomi, segni e stati morbosi mal definiti (R00-R99)	0	0	.	.	0 (0-253)	0 (.-.)	35 (8-269)	↓		n.c.	0 
Traumatismi e avvelenamenti (S00-T98)	0	0	.	.	0 (0-253)	0 (.-.)	83 (27-197)	↓		n.c.	0 

Tabella 29. Mortalità per causa nel comune di Matelica, 0-14 anni, maschi e femmine – Anni 2006-2011, confronto Regione Marche.

Matelica			n. cluster sign.	SIR cluster	Tasso std. * 100000 (ic)	SIR (ic)	BIR (ic)	SIR sign.	BIR sign.	Trend	Livello attenzione
Causa di morte (ICD-X)	Osservati	Attesi									
Mortalità generale (escluse cause violente) (A00-R99)	<5	<5	.	.	14 (1-69)	54 (12-243)	99 (77-128)			n.c.	0 
Mortalità per cause esterne o violente (S00-Y99)	0	0	.	.	0 (0-45)	0 (.-)	88 (33-165)	↓		n.c.	0 
Malattie infettive e parassitarie (A00-B99)	0	0	.	.	0 (0-45)	0 (.-)	65 (25-176)	↓		n.c.	0 
Tumori maligni e benigni (C00-D48)	0	0	.	.	0 (0-45)	0 (.-)	79 (36-149)	↓		n.c.	0 
Tumori maligni (C00-C97)	0	0	.	.	0 (0-45)	0 (.-)	52 (25-119)	↓		n.c.	0 
Tumori maligni del connettivo e di altri tessuti molli (C49)	0	0	.	.	0 (0-45)	0 (.-)	13 (1-224)	↓		n.c.	0 
Tumori maligni dell'encefalo (C71)	0	0	.	.	0 (0-45)	0 (.-)	83 (32-178)	↓		n.c.	0 
Tumori maligni del sistema nervoso centrale (C70-C72,D33)	0	0	.	.	0 (0-45)	0 (.-)	83 (32-178)	↓		n.c.	0 
Tumori emolinfopoietici (C81-C96)	0	0	.	.	0 (0-45)	0 (.-)	59 (24-124)	↓		n.c.	0 
Leucemie (C91-C95)	0	0	.	.	0 (0-45)	0 (.-)	64 (30-135)	↓		n.c.	0 
Anomalie del sistema nervoso (G00-H95)	0	0	.	.	0 (0-45)	0 (.-)	66 (32-147)	↓		n.c.	0 
Malattie dell'apparato respiratorio (J00-J99)	0	0	.	.	0 (0-45)	0 (.-)	69 (33-126)	↓		n.c.	0 
Malattie respiratorie acute (J00-J06, J10-J18, J20-J22)	0	0	.	.	0 (0-45)	0 (.-)	54 (13-224)	↓		n.c.	0 




















Matelica											
Causa di morte (ICD-X)	Osservati	Attesi	n. cluster sign.	SIR cluster	Tasso std. * 100000 (ic)	SIR (ic)	BIR (ic)	SIR sign.	BIR sign.	Trend	Livello attenzione
Malattie dell'apparato digerente (K00-K93)	0	0	.	.	0 (0-45)	0 (.-)	86 (35-228)	↓		n.c.	0 
Malformazioni congenite (Q00-Q99)	<5	<5	.	.	14 (1-69)	193 (43-867)	80 (32-132)			n.c.	0 
Anomalie cardiovascolari (Q20-Q28)	<5	<5	.	.	14 (1-69)	333 (74-1490)	125 (88-206)			n.c.	0 
Anomalie cromosomiche (non classificate altrimenti) (Q90-Q99)	0	0	.	.	0 (0-45)	0 (.-)	56 (20-235)	↓		n.c.	0 
Sintomi, segni e stati morbosi mal definiti (R00-R99)	0	0	.	.	0 (0-45)	0 (.-)	28 (5-222)	↓		n.c.	0 
Traumatismi e avvelenamenti (S00-T98)	0	0	.	.	0 (0-45)	0 (.-)	88 (33-165)	↓		n.c.	0 

Tabella 30. Mortalità per causa nel comune di Poggio San Vicino, 0-14 anni, maschi e femmine – Anni 2006-2011, confronto Regione Marche.

Poggio San Vicino											
Causa di morte (ICD-X)	Osservati	Attesi	n. cluster sign.	SIR cluster	Tasso std. * 100000 (ic)	SIR (ic)	BIR (ic)	SIR sign.	BIR sign.	Trend	Livello attenzione
Mortalità generale (escluse cause violente) (A00-R99)	0	0	.	.	0 (0-2226)	0 (.-.)	96 (68-119)	↓		n.c.	0 
Mortalità per cause esterne o violente (S00-Y99)	0	0	.	.	0 (0-2226)	0 (.-.)	84 (40-221)	↓		n.c.	0 
Malattie infettive e parassitarie (A00-B99)	0	0	.	.	0 (0-2226)	0 (.-.)	56 (16-201)	↓		n.c.	0 
Tumori maligni e benigni (C00-D48)	0	0	.	.	0 (0-2226)	0 (.-.)	72 (38-229)	↓		n.c.	0 
Tumori maligni (C00-C97)	0	0	.	.	0 (0-2226)	0 (.-.)	53 (20-278)	↓		n.c.	0 
Tumori maligni del connettivo e di altri tessuti molli (C49)	0	0	.	.	0 (0-2226)	0 (.-.)	11 (1-357)	↓		n.c.	0 
Tumori maligni dell'encefalo (C71)	0	0	.	.	0 (0-2226)	0 (.-.)	86 (36-193)	↓		n.c.	0 
Tumori maligni del sistema nervoso centrale (C70-C72,D33)	0	0	.	.	0 (0-2226)	0 (.-.)	86 (36-193)	↓		n.c.	0 
Tumori emolinfopoiетici (C81-C96)	0	0	.	.	0 (0-2226)	0 (.-.)	58 (28-129)	↓		n.c.	0 
Leucemie (C91-C95)	0	0	.	.	0 (0-2226)	0 (.-.)	62 (26-132)	↓		n.c.	0 
Anomalie del sistema nervoso (G00-H95)	0	0	.	.	0 (0-2226)	0 (.-.)	65 (30-143)	↓		n.c.	0 
Malattie dell'apparato respiratorio (J00-J99)	0	0	.	.	0 (0-2226)	0 (.-.)	62 (23-137)	↓		n.c.	0 
Malattie respiratorie acute (J00-J06, J10-J18, J20-J22)	0	0	.	.	0 (0-2226)	0 (.-.)	55 (10-215)	↓		n.c.	0 




















Poggio San Vicino											
Causa di morte (ICD-X)	Osservati	Attesi	n. cluster sign.	SIR cluster	Tasso std. * 100000 (ic)	SIR (ic)	BIR (ic)	SIR sign.	BIR sign.	Trend	Livello attenzione
Malattie dell'apparato digerente (K00-K93)	0	0	.	.	0 (0-2226)	0 (.-.)	85 (27-178)	↓		n.c.	0 
Malformazioni congenite (Q00-Q99)	0	0	.	.	0 (0-2226)	0 (.-.)	63 (28-138)	↓		n.c.	0 
Anomalie cardiovascolari (Q20-Q28)	0	0	.	.	0 (0-2226)	0 (.-.)	108 (67-226)	↓		n.c.	0 
Anomalie cromosomiche (non classificate altrimenti) (Q90-Q99)	0	0	.	.	0 (0-2226)	0 (.-.)	61 (19-233)	↓		n.c.	0 
Sintomi, segni e stati morbosi mal definiti (R00-R99)	0	0	.	.	0 (0-2226)	0 (.-.)	24 (4-279)	↓		n.c.	0 
Traumatismi e avvelenamenti (S00-T98)	0	0	.	.	0 (0-2226)	0 (.-.)	84 (40-221)	↓		n.c.	0 

Tabella 31. Mortalità per causa nel comune di Sassoferrato, 0-14 anni, maschi e femmine – Anni 2006-2011, confronto Regione Marche.

Sassoferrato			n. cluster sign.	SIR cluster	Tasso std. * 100000 (ic)	SIR (ic)	BIR (ic)	SIR sign.	BIR sign.	Trend	Livello attenzione
Causa di morte (ICD-X)	Osservati	Attesi									
Mortalità generale (escluse cause violente) (A00-R99)	<5	<5	.	.	33 (6-109)	123 (41-371)	89 (68-116)			n.c.	0 
Mortalità per cause esterne o violente (S00-Y99)	0	0	.	.	0 (0-57)	0 (.-)	68 (33-196)	↓		n.c.	0 
Malattie infettive e parassitarie (A00-B99)	0	0	.	.	0 (0-57)	0 (.-)	37 (16-169)	↓		n.c.	0 
Tumori maligni e benigni (C00-D48)	0	0	.	.	0 (0-57)	0 (.-)	71 (29-133)	↓		n.c.	0 
Tumori maligni (C00-C97)	0	0	.	.	0 (0-57)	0 (.-)	69 (21-191)	↓		n.c.	0 
Tumori maligni del connettivo e di altri tessuti molli (C49)	0	0	.	.	0 (0-57)	0 (.-)	6 (0-136)	↓		n.c.	0 
Tumori maligni dell'encefalo (C71)	0	0	.	.	0 (0-57)	0 (.-)	120 (43-261)	↓		n.c.	0 
Tumori maligni del sistema nervoso centrale (C70-C72,D33)	0	0	.	.	0 (0-57)	0 (.-)	120 (43-261)	↓		n.c.	0 
Tumori emolinfopoiетici (C81-C96)	0	0	.	.	0 (0-57)	0 (.-)	75 (42-177)	↓		n.c.	0 
Leucemie (C91-C95)	0	0	.	.	0 (0-57)	0 (.-)	76 (39-153)	↓		n.c.	0 
Anomalie del sistema nervoso (G00-H95)	<5	<5	.	.	16 (1-82)	1689 (377-7573)	72 (36-163)	↑		n.c.	2 
Malattie dell'apparato respiratorio (J00-J99)	0	0	.	.	0 (0-57)	0 (.-)	54 (25-115)	↓		n.c.	0 
Malattie respiratorie acute (J00-J06, J10-J18, J20- J22)	0	0	.	.	0 (0-57)	0 (.-)	41 (9-153)	↓		n.c.	0 




















Sassoferrato											
Causa di morte (ICD-X)	Osservati	Attesi	n. cluster sign.	SIR cluster	Tasso std. * 100000 (ic)	SIR (ic)	BIR (ic)	SIR sign.	BIR sign.	Trend	Livello attenzione
Malattie dell'apparato digerente (K00-K93)	0	0	.	.	0 (0-57)	0 (.-.)	92 (37-204)	↓		n.c.	0 
Malformazioni congenite (Q00-Q99)	0	1	.	.	0 (0-57)	0 (.-.)	70 (40-153)	↓		n.c.	0 
Anomalie cardiovascolari (Q20-Q28)	0	0	.	.	0 (0-57)	0 (.-.)	88 (44-158)	↓		n.c.	0 
Anomalie cromosomiche (non classificate altrimenti) (Q90-Q99)	0	0	.	.	0 (0-57)	0 (.-.)	48 (11-116)	↓		n.c.	0 
Sintomi, segni e stati morbosi mal definiti (R00-R99)	0	0	.	.	0 (0-57)	0 (.-.)	40 (4-264)	↓		n.c.	0 
Traumatismi e avvelenamenti (S00-T98)	0	0	.	.	0 (0-57)	0 (.-.)	68 (33-196)	↓		n.c.	0 

Tabella 32. Mortalità per causa nel comune di Serra San Quirico, 0-14 anni, maschi e femmine – Anni 2006-2011, confronto Regione Marche.

Serra San Quirico											
Causa di morte (ICD-X)	Osservati	Attesi	n. cluster sign.	SIR cluster	Tasso std. * 100000 (ic)	SIR (ic)	BIR (ic)	SIR sign.	BIR sign.	Trend	Livello attenzione
Mortalità generale (escluse cause violente) (A00-R99)	<5	<5	.	.	45 (2-223)	168 (37-753)	92 (77-119)			n.c.	0 
Mortalità per cause esterne o violente (S00-Y99)	0	0	.	.	0 (0-147)	0 (.-)	76 (36-154)	↓		n.c.	0 
Malattie infettive e parassitarie (A00-B99)	0	0	.	.	0 (0-147)	0 (.-)	52 (20-141)	↓		n.c.	0 
Tumori maligni e benigni (C00-D48)	<5	<5	.	.	45 (2-223)	1578 (352-7074)	107 (51-192)	↑		n.c.	2 
Tumori maligni (C00-C97)	<5	<5	.	.	45 (2-223)	2008 (448-8999)	66 (24-317)	↑		n.c.	2 
Tumori maligni del connettivo e di altri tessuti molli (C49)	0	0	.	.	0 (0-147)	0 (.-)	10 (0-112)	↓		n.c.	0 
Tumori maligni dell'encefalo (C71)	0	0	.	.	0 (0-147)	0 (.-)	103 (39-174)	↓		n.c.	0 
Tumori maligni del sistema nervoso centrale (C70-C72,D33)	0	0	.	.	0 (0-147)	0 (.-)	103 (39-174)	↓		n.c.	0 
Tumori emolinfopoietici (C81-C96)	0	0	.	.	0 (0-147)	0 (.-)	69 (27-128)	↓		n.c.	0 
Leucemie (C91-C95)	0	0	.	.	0 (0-147)	0 (.-)	71 (26-156)	↓		n.c.	0 
Anomalie del sistema nervoso (G00-H95)	0	0	.	.	0 (0-147)	0 (.-)	73 (24-138)	↓		n.c.	0 
Malattie dell'apparato respiratorio (J00-J99)	0	0	.	.	0 (0-147)	0 (.-)	67 (30-133)	↓		n.c.	0 
Malattie respiratorie acute (J00-J06, J10-J18, J20-J22)	0	0	.	.	0 (0-147)	0 (.-)	44 (11-160)	↓		n.c.	0 







Serra San Quirico											
Causa di morte (ICD-X)	Osservati	Attesi	n. cluster sign.	SIR cluster	Tasso std. * 100000 (ic)	SIR (ic)	BIR (ic)	SIR sign.	BIR sign.	Trend	Livello attenzione
Malattie dell'apparato digerente (K00-K93)	0	0	.	.	0 (0-147)	0 (.-.)	82 (28-178)	↓		n.c.	0 
Malformazioni congenite (Q00-Q99)	0	0	.	.	0 (0-147)	0 (.-.)	64 (37-109)	↓		n.c.	0 
Anomalie cardiovascolari (Q20-Q28)	0	0	.	.	0 (0-147)	0 (.-.)	108 (59-219)	↓		n.c.	0 
Anomalie cromosomiche (non classificate altrimenti) (Q90-Q99)	0	0	.	.	0 (0-147)	0 (.-.)	51 (16-211)	↓		n.c.	0 
Sintomi, segni e stati morbosi mal definiti (R00-R99)	0	0	.	.	0 (0-147)	0 (.-.)	34 (7-161)	↓		n.c.	0 
Traumatismi e avvelenamenti (S00-T98)	0	0	.	.	0 (0-147)	0 (.-.)	76 (36-154)	↓		n.c.	0 

Tabella 33. Mortalità per causa nel comune di Cerreto d'Esì, neonati maschi e femmine - Anni 2006-2011, confronto Regione Marche.









Cerreto d'Esì											
Causa di morte (ICD-X)	Osservati	Attesi	n. cluster sign.	SIR cluster	Tasso std. * 100000 (ic)	SIR (ic)	BIR (ic)	SIR sign.	BIR sign.	Trend	Livello attenzione
Mortalità generale (escluse cause violente) (A00-R99)	0	1	.	.	0 (0-551)	0 (.-)	85 (48-146)	↓		n.c.	0 
Mortalità per cause esterne o violente (S00-Y99)	<5	<5	.	.	165 (8-828)	3106 (693-13923)	85 (18-402)	↑		n.c.	2 
Malattie infettive (A00-B99)	0	0	.	.	0 (0-551)	0 (.-)	58 (18-207)	↓		n.c.	0 
Malattie dell'apparato respiratorio (J00-J99)	0	0	.	.	0 (0-551)	0 (.-)	66 (20-260)	↓		n.c.	0 
Malformazioni congenite (Q00-Q99)	0	0	.	.	0 (0-551)	0 (.-)	79 (36-187)	↓		n.c.	0 
Feto o neonato affetto da condizioni morbose della madre anche non correlate alla gravidanza (P00-P04)	0	0	.	.	0 (0-551)	0 (.-)	66 (14-262)	↓		n.c.	0 
Condizioni morbose di origine perinatale (P00-P96)	0	0	.	.	0 (0-551)	0 (.-)	96 (34-228)	↓		n.c.	0 
Crescita fetale lenta e malnutrizione fetale (P05)	0	0	.	.	0 (0-551)	0 (.-)	71 (16-319)	↓		n.c.	0 

Tabella 34. Mortalità per causa nel comune di Esanatoglia, neonati maschi e femmine – Anni 2006-2011, confronto Regione Marche.









Esanatoglia			n. cluster sign.	SIR cluster	Tasso std. * 100000 (ic)	SIR (ic)	BIR (ic)	SIR sign.	BIR sign.	Trend	Livello attenzione
Causa di morte (ICD-X)	Osservati	Attesi									
Mortalità generale (escluse cause violente) (A00-R99)	0	0	.	.	0 (0-1508)	0 (.-)	96 (48-202)	↓		n.c.	0 
Mortalità per cause esterne o violente (S00-Y99)	0	0	.	.	0 (0-1508)	0 (.-)	125 (9-985)	↓		n.c.	0 
Malattie infettive (A00-B99)	0	0	.	.	0 (0-1508)	0 (.-)	248 (32-1448)	↓		n.c.	0 
Malattie dell'apparato respiratorio (J00-J99)	0	0	.	.	0 (0-1508)	0 (.-)	198 (28-954)	↓		n.c.	0 
Malformazioni congenite (Q00-Q99)	0	0	.	.	0 (0-1508)	0 (.-)	70 (18-193)	↓		n.c.	0 
Feto o neonato affetto da condizioni morbose della madre anche non correlate alla gravidanza (P00-P04)	0	0	.	.	0 (0-1508)	0 (.-)	223 (23-1527)	↓		n.c.	0 
Condizioni morbose di origine perinatale (P00-P96)	0	0	.	.	0 (0-1508)	0 (.-)	63 (21-243)	↓		n.c.	0 
Crescita fetale lenta e malnutrizione fetale (P05)	0	0	.	.	0 (0-1508)	. (.-)	0 (0-0)			n.c.	0 

Tabella 35. Mortalità per causa nel comune di Fabriano, neonati maschi e femmine – Anni 2006-2011, confronto Regione Marche.









Fabriano											
Causa di morte (ICD-X)	Osservati	Attesi	n. cluster sign.	SIR cluster	Tasso std. * 100000 (ic)	SIR (ic)	BIR (ic)	SIR sign.	BIR sign.	Trend	Livello attenzione
Mortalità generale (escluse cause violente) (A00-R99)	5	5	.	.	146 (57-309)	101 (49-208)	91 (72-126)			n.c.	0 
Mortalità per cause esterne o violente (S00-Y99)	0	0	.	.	0 (0-92)	0 (.-.)	69 (22-162)	↓		n.c.	0 
Malattie infettive (A00-B99)	0	0	.	.	0 (0-92)	0 (.-.)	56 (25-171)	↓		n.c.	0 
Malattie dell'apparato respiratorio (J00-J99)	0	0	.	.	0 (0-92)	0 (.-.)	69 (36-177)	↓		n.c.	0 
Malformazioni congenite (Q00-Q99)	<5	<5	.	.	30 (2-143)	60 (13-267)	78 (32-160)			n.c.	0 
Feto o neonato affetto da condizioni morbose della madre anche non correlate alla gravidanza (P00-P04)	0	0	.	.	0 (0-92)	0 (.-.)	47 (16-122)	↓		n.c.	0 
Condizioni morbose di origine perinatale (P00-P96)	<5	<5	.	.	88 (24-230)	122 (49-306)	85 (50-144)			n.c.	0 
Crescita fetale lenta e malnutrizione fetale (P05)	0	0	.	.	0 (0-92)	0 (.-.)	65 (32-241)	↓		n.c.	0 

Tabella 36. Mortalità per causa nel comune di Fiuminata, neonati maschi e femmine – Anni 2006-2011, confronto Regione Marche.









Fiuminata											
Causa di morte (ICD-X)	Osservati	Attesi	n. cluster sign.	SIR cluster	Tasso std. * 100000 (ic)	SIR (ic)	BIR (ic)	SIR sign.	BIR sign.	Trend	Livello attenzione
Mortalità generale (escluse cause violente) (A00-R99)	0	0	.	.	0 (0-2908)	0 (.-.)	100 (71-147)	↓		n.c.	0 
Mortalità per cause esterne o violente (S00-Y99)	0	0	.	.	0 (0-2908)	0 (.-.)	69 (30-136)	↓		n.c.	0 
Malattie infettive (A00-B99)	0	0	.	.	0 (0-2908)	0 (.-.)	61 (30-209)	↓		n.c.	0 
Malattie dell'apparato respiratorio (J00-J99)	0	0	.	.	0 (0-2908)	0 (.-.)	84 (32-217)	↓		n.c.	0 
Malformazioni congenite (Q00-Q99)	0	0	.	.	0 (0-2908)	0 (.-.)	82 (31-164)	↓		n.c.	0 
Feto o neonato affetto da condizioni morbose della madre anche non correlate alla gravidanza (P00-P04)	0	0	.	.	0 (0-2908)	0 (.-.)	62 (17-179)	↓		n.c.	0 
Condizioni morbose di origine perinatale (P00-P96)	0	0	.	.	0 (0-2908)	0 (.-.)	88 (46-166)	↓		n.c.	0 
Crescita fetale lenta e malnutrizione fetale (P05)	0	0	.	.	0 (0-2908)	0 (.-.)	70 (19-273)	↓		n.c.	0 

Tabella 37. Mortalità per causa nel comune di Genga, neonati maschi e femmine – Anni 2006-2011, confronto Regione Marche.









Genga											
Causa di morte (ICD-X)	Osservati	Attesi	n. cluster sign.	SIR cluster	Tasso std. * 100000 (ic)	SIR (ic)	BIR (ic)	SIR sign.	BIR sign.	Trend	Livello attenzione
Mortalità generale (escluse cause violente) (A00-R99)	<5	<5	.	.	589 (30-2796)	367 (82-1647)	106 (62-169)			n.c.	0 
Mortalità per cause esterne o violente (S00-Y99)	0	0	.	.	0 (0-1766)	0 (.-.)	53 (20-175)	↓		n.c.	0 
Malattie infettive (A00-B99)	0	0	.	.	0 (0-1766)	0 (.-.)	56 (23-155)	↓		n.c.	0 
Malattie dell'apparato respiratorio (J00-J99)	0	0	.	.	0 (0-1766)	0 (.-.)	64 (27-220)	↓		n.c.	0 
Malformazioni congenite (Q00-Q99)	<5	<5	.	.	589 (30-2796)	1081 (241-4845)	116 (33-253)	↑		n.c.	2 
Feto o neonato affetto da condizioni morbose della madre anche non correlate alla gravidanza (P00-P04)	0	0	.	.	0 (0-1766)	0 (.-.)	45 (20-130)	↓		n.c.	0 
Condizioni morbose di origine perinatale (P00-P96)	0	0	.	.	0 (0-1766)	0 (.-.)	83 (41-146)	↓		n.c.	0 
Crescita fetale lenta e malnutrizione fetale (P05)	0	0	.	.	0 (0-1766)	0 (.-.)	69 (18-295)	↓		n.c.	0 

Tabella 38. Mortalità per causa nel comune di Matelica, neonati maschi e femmine – Anni 2006-2011, confronto Regione Marche.









Matelica			n. cluster sign.	SIR cluster	Tasso std. * 100000 (ic)	SIR (ic)	BIR (ic)	SIR sign.	BIR sign.	Trend	Livello attenzione
Causa di morte (ICD-X)	Osservati	Attesi									
Mortalità generale (escluse cause violente) (A00-R99)	<5	<5	.	.	102 (5-506)	71 (16-320)	90 (71-118)			n.c.	0 
Mortalità per cause esterne o violente (S00-Y99)	0	0	.	.	0 (0-333)	0 (-.)	72 (31-187)	↓		n.c.	0 
Malattie infettive (A00-B99)	0	0	.	.	0 (0-333)	0 (-.)	64 (22-209)	↓		n.c.	0 
Malattie dell'apparato respiratorio (J00-J99)	0	0	.	.	0 (0-333)	0 (-.)	73 (29-218)	↓		n.c.	0 
Malformazioni congenite (Q00-Q99)	<5	<5	.	.	102 (5-506)	210 (47-939)	89 (38-156)			n.c.	0 
Feto o neonato affetto da condizioni morbose della madre anche non correlate alla gravidanza (P00-P04)	0	0	.	.	0 (0-333)	0 (-.)	72 (20-182)	↓		n.c.	0 
Condizioni morbose di origine perinatale (P00-P96)	0	1	.	.	0 (0-333)	0 (-.)	84 (55-155)	↓		n.c.	0 
Crescita fetale lenta e malnutrizione fetale (P05)	0	0	.	.	0 (0-333)	0 (-.)	76 (21-266)	↓		n.c.	0 

Tabella 39. Mortalità per causa nel comune di Poggio San Vicino, neonati maschi e femmine – Anni 2006-2011, confronto Regione Marche.









Poggio San Vicino											
Causa di morte (ICD-X)	Osservati	Attesi	n. cluster sign.	SIR cluster	Tasso std. * 100000 (ic)	SIR (ic)	BIR (ic)	SIR sign.	BIR sign.	Trend	Livello attenzione
Mortalità generale (escluse cause violente) (A00-R99)	0	0	.	.	0 (0-12173)	0 (.-.)	97 (61-133)	↓		n.c.	0 
Mortalità per cause esterne o violente (S00-Y99)	0	0	.	.	0 (0-12173)	0 (.-.)	69 (20-233)	↓		n.c.	0 
Malattie infettive (A00-B99)	0	0	.	.	0 (0-12173)	0 (.-.)	57 (23-212)	↓		n.c.	0 
Malattie dell'apparato respiratorio (J00-J99)	0	0	.	.	0 (0-12173)	0 (.-.)	66 (31-223)	↓		n.c.	0 
Malformazioni congenite (Q00-Q99)	0	0	.	.	0 (0-12173)	0 (.-.)	80 (33-173)	↓		n.c.	0 
Feto o neonato affetto da condizioni morbose della madre anche non correlate alla gravidanza (P00-P04)	0	0	.	.	0 (0-12173)	0 (.-.)	62 (20-175)	↓		n.c.	0 
Condizioni morbose di origine perinatale (P00-P96)	0	0	.	.	0 (0-12173)	0 (.-.)	82 (47-170)	↓		n.c.	0 
Crescita fetale lenta e malnutrizione fetale (P05)	0	0	.	.	0 (0-12173)	0 (.-.)	74 (16-317)	↓		n.c.	0 

Tabella 40. Mortalità per causa nel comune di Sassoferrato, neonati maschi e femmine – Anni 2006-2011, confronto Regione Marche.

















Sassoferrato											
Causa di morte (ICD-X)	Osservati	Attesi	n. cluster sign.	SIR cluster	Tasso std. * 100000 (ic)	SIR (ic)	BIR (ic)	SIR sign.	BIR sign.	Trend	Livello attenzione
Mortalità generale (escluse cause violente) (A00-R99)	<5	<5	.	.	114 (6-546)	77 (17-347)	95 (68-161)			n.c.	0 
Mortalità per cause esterne o violente (S00-Y99)	0	0	.	.	0 (0-349)	0 (.-.)	40 (16-186)	↓		n.c.	0 
Malattie infettive (A00-B99)	0	0	.	.	0 (0-349)	0 (.-.)	50 (23-152)	↓		n.c.	0 
Malattie dell'apparato respiratorio (J00-J99)	0	0	.	.	0 (0-349)	0 (.-.)	60 (26-163)	↓		n.c.	0 
Malformazioni congenite (Q00-Q99)	0	0	.	.	0 (0-349)	0 (.-.)	94 (29-195)	↓		n.c.	0 
Feto o neonato affetto da condizioni morbose della madre anche non correlate alla gravidanza (P00-P04)	0	0	.	.	0 (0-349)	0 (.-.)	37 (16-81)	↓	↓	n.c.	0 
Condizioni morbose di origine perinatale (P00-P96)	0	1	.	.	0 (0-349)	0 (.-.)	88 (37-170)	↓		n.c.	0 
Crescita fetale lenta e malnutrizione fetale (P05)	0	0	.	.	0 (0-349)	0 (.-.)	61 (21-387)	↓		n.c.	0 

Tabella 41. Mortalità per causa nel comune di Serra San Quirico, neonati maschi e femmine – Anni 2006-2011, confronto Regione Marche.

Serra San Quirico			n. cluster sign.	SIR cluster	Tasso std. * 100000 (ic)	SIR (ic)	BIR (ic)	SIR sign.	BIR sign.	Trend	Livello attenzione
Causa di morte (ICD-X)	Osservati	Attesi									
Mortalità generale (escluse cause violente) (A00-R99)	0	1	.	.	0 (0-1038)	0 (.-.)	98 (56-130)	↓		n.c.	0 
Mortalità per cause esterne o violente (S00-Y99)	0	0	.	.	0 (0-1038)	0 (.-.)	61 (24-158)	↓		n.c.	0 
Malattie infettive (A00-B99)	0	0	.	.	0 (0-1038)	0 (.-.)	64 (27-224)	↓		n.c.	0 
Malattie dell'apparato respiratorio (J00-J99)	0	0	.	.	0 (0-1038)	0 (.-.)	68 (27-218)	↓		n.c.	0 
Malformazioni congenite (Q00-Q99)	0	0	.	.	0 (0-1038)	0 (.-.)	77 (37-182)	↓		n.c.	0 
Feto o neonato affetto da condizioni morbose della madre anche non correlate alla gravidanza (P00-P04)	0	0	.	.	0 (0-1038)	0 (.-.)	53 (27-119)	↓		n.c.	0 
Condizioni morbose di origine perinatale (P00-P96)	0	0	.	.	0 (0-1038)	0 (.-.)	82 (45-141)	↓		n.c.	0 
Crescita fetale lenta e malnutrizione fetale (P05)	0	0	.	.	0 (0-1038)	0 (.-.)	76 (38-246)	↓		n.c.	0 

APPENDICE 2. RISULTATI RICOVERI OSPEDALIERI

Anni 2006 – 2012















Confronto Regione Marche















Tabella 42. Primi ricoveri ospedalieri per causa nel comune di Cerreto d'Esì, tutte le età - Anni 2006-2012, confronto Regione Marche.

Cerreto d'Esì				n. cluster sign.	SIR cluster	Tasso std. * 100000 (ic)	SIR (ic)	BIR (ic)	SIR sign.	BIR sign.	Trend	Livello attenzione
Causa (ICD-IX)	Genere	Osservati	Attesi									
Tumori maligni delle vie aeree e digestive superiori (140-150, 161)	F	<5	<5	.	.	15 (3-57)	161 (53-488)	106 (77-152)			n.c.	0
Tumori maligni delle vie aeree e digestive superiori (140-150, 161)	M	<5	<5	.	.	17 (3-56)	49 (16-147)	97 (81-120)			n.c.	0
Tumori maligni delle vie aeree e digestive superiori (140-150, 161)	M + F	<5	>5	.	.	16 (5-40)	75 (34-167)	93 (80-111)			n.c.	0
Tumori maligni (140-208)	F	90	79	.	.	771 (641-924)	113 (95-135)	107 (98-120)			→	0
Tumori maligni (140-208)	M	113	95	.	.	986 (838-1155)	119 (102-139)	111 (99-122)	↑		→	2
Tumori maligni (140-208)	M + F	203	174	.	.	875 (775-985)	117 (104-131)	112 (104-122)	↑	↑	→	4
Tumori maligni dell'esofago (150)	F	0	0	.	.	0 (0-34)	0 (.-)	112 (59-220)	↓		n.c.	0
Tumori maligni dell'esofago (150)	M	0	1	.	.	0 (0-29)	0 (.-)	66 (29-125)	↓		n.c.	0
Tumori maligni dell'esofago (150)	M + F	0	1	.	.	0 (0-18)	0 (.-)	87 (55-147)	↓		n.c.	0
Tumori maligni dello stomaco (151)	F	5	3	.	.	48 (19-104)	153 (75-315)	115 (87-161)			n.c.	0
Tumori maligni dello stomaco (151)	M	5	5	.	.	46 (18-97)	107 (52-219)	106 (79-141)			n.c.	0
Tumori maligni dello stomaco (151)	M + F	10	8	.	.	47 (25-81)	126 (75-210)	113 (86-140)			n.c.	0
Tumori maligni dell'intestino tenue, compreso il duodeno (152)	F	0	0	.	.	0 (0-34)	0 (.-)	56 (18-149)	↓		n.c.	0















Cerreto d'Esì												
Causa (ICD-IX)	Genere	Osservati	Attesi	n. cluster sign.	SIR cluster	Tasso std. * 100000 (ic)	SIR (ic)	BIR (ic)	SIR sign.	BIR sign.	Trend	Livello attenzione
Tumori maligni dell'intestino tenue, compreso il duodeno (152)	M	0	0	.	.	0 (0-29)	0 (-.)	99 (69-135)	↓		n.c.	0
Tumori maligni dell'intestino tenue, compreso il duodeno (152)	M + F	0	1	.	.	0 (0-18)	0 (-.)	80 (51-144)	↓		n.c.	0
Tumori maligni del colon (153)	F	7	7	.	.	64 (30-125)	99 (54-183)	85 (63-117)			n.c.	0
Tumori maligni del colon (153)	M	13	9	.	.	109 (64-175)	144 (91-226)	117 (88-147)			n.c.	0
Tumori maligni del colon (153)	M + F	20	16	.	.	86 (57-127)	124 (86-179)	113 (82-130)			→	0
Tumori maligni del colon-retto (153-154)	F	9	10	.	.	81 (42-146)	92 (53-158)	96 (76-118)			n.c.	0
Tumori maligni del colon-retto (153-154)	M	14	13	.	.	116 (70-183)	104 (67-161)	104 (86-130)			n.c.	0
Tumori maligni del colon-retto (153-154)	M + F	23	23	.	.	98 (66-141)	99 (70-139)	99 (79-119)			→	0
Tumori maligni del retto, della giunzione retto-sigmoidea e dell'ano (154)	F	<5	<5	1	122.3	25 (7-71)	92 (37-229)	97 (71-136)			n.c.	2
Tumori maligni del retto, della giunzione retto-sigmoidea e dell'ano (154)	M	<5	>5	.	.	6 (0-38)	19 (4-87)	91 (64-116)	↓		n.c.	0
Tumori maligni del retto, della giunzione retto-sigmoidea e dell'ano (154)	M + F	<5	>5	.	.	16 (5-41)	48 (21-106)	88 (67-115)			n.c.	0
Tumore fegato e dotti biliari (1550-1551)	F	0	1	.	.	0 (0-34)	0 (-.)	84 (50-145)	↓		n.c.	0
Tumore fegato e dotti biliari (1550-1551)	M	<5	<5	1	153.2	27 (7-71)	163 (65-408)	109 (80-168)			n.c.	2
Tumore fegato e dotti biliari (1550-1551)	M + F	<5	<5	.	.	13 (4-37)	116 (46-291)	102 (63-145)			n.c.	0















Cerreto d'Esì												
Causa (ICD-IX)	Genere	Osservati	Attesi	n. cluster sign.	SIR cluster	Tasso std. * 100000 (ic)	SIR (ic)	BIR (ic)	SIR sign.	BIR sign.	Trend	Livello attenzione
Tumori maligni del pancreas (157)	F	<5	<5	.	.	17 (3-60)	92 (30-278)	115 (83-148)			n.c.	0
Tumori maligni del pancreas (157)	M	<5	<5	.	.	33 (11-79)	159 (72-355)	108 (79-162)			n.c.	0
Tumori maligni del pancreas (157)	M + F	6	5	1	113.6	25 (11-52)	128 (66-248)	105 (91-130)			n.c.	2
Tumore del retroperitoneo (1580)	F	0	0	.	.	0 (0-34)	0 (-.)	112 (63-164)	↓		n.c.	0
Tumore del retroperitoneo (1580)	M	<5	<5	.	.	7 (0-40)	689 (154-3090)	113 (44-277)	↑		n.c.	2
Tumore del retroperitoneo (1580)	M + F	<5	<5	.	.	3 (0-23)	325 (72-1455)	108 (72-180)			n.c.	0
Tumori maligni del naso (1600)	F	0	0	.	.	0 (0-34)	0 (-.)	88 (21-296)	↓		n.c.	0
Tumori maligni del naso (1600)	M	0	0	.	.	0 (0-29)	0 (-.)	98 (70-139)	↓		n.c.	0
Tumori maligni del naso (1600)	M + F	0	0	.	.	0 (0-18)	0 (-.)	92 (43-144)	↓		n.c.	0
Tumori maligni della laringe (161)	F	0	0	.	.	0 (0-34)	0 (-.)	76 (33-213)	↓		n.c.	0
Tumori maligni della laringe (161)	M	<5	<5	.	.	17 (3-56)	117 (39-354)	102 (82-125)			n.c.	0
Tumori maligni della laringe (161)	M + F	<5	<5	.	.	8 (1-30)	108 (36-326)	108 (63-157)			n.c.	0
Tumori maligni della trachea, dei bronchi e dei polmoni (162)	F	<5	<5	.	.	8 (0-46)	31 (7-139)	85 (64-112)			n.c.	0
Tumori maligni della trachea, dei bronchi e dei polmoni (162)	M	16	11	.	.	143 (90-218)	150 (100-226)	104 (84-133)			n.c.	0















Cerreto d'Esì												
Causa (ICD-IX)	Genere	Osservati	Attesi	n. cluster sign.	SIR cluster	Tasso std. * 100000 (ic)	SIR (ic)	BIR (ic)	SIR sign.	BIR sign.	Trend	Livello attenzione
Tumori maligni della trachea, dei bronchi e dei polmoni (162)	M + F	17	14	.	.	73 (47-113)	122 (82-182)	104 (82-121)			n.c.	0 
Tumori maligni della pleura (163)	F	0	0	.	.	0 (0-34)	0 (.-)	81 (24-214)	↓		n.c.	0 
Tumori maligni della pleura (163)	M	0	1	.	.	0 (0-29)	0 (.-)	88 (34-189)	↓		n.c.	0 
Tumori maligni della pleura (163)	M + F	0	1	.	.	0 (0-18)	0 (.-)	69 (31-178)	↓		n.c.	0 
Mesoteliomi pleurici e peritoneali (1588, 163)	F	0	0	.	.	0 (0-34)	0 (.-)	118 (71-184)	↓		n.c.	0 
Mesoteliomi pleurici e peritoneali (1588, 163)	M	0	1	.	.	0 (0-29)	0 (.-)	88 (34-202)	↓		n.c.	0 
Mesoteliomi pleurici e peritoneali (1588, 163)	M + F	0	1	.	.	0 (0-18)	0 (.-)	80 (43-176)	↓		n.c.	0 
Tumori maligni delle ossa e della cartilagine articolare (170)	F	0	0	.	.	0 (0-34)	0 (.-)	104 (61-178)	↓		n.c.	0 
Tumori maligni delle ossa e della cartilagine articolare (170)	M	0	0	.	.	0 (0-29)	0 (.-)	95 (77-117)	↓		n.c.	0 
Tumori maligni delle ossa e della cartilagine articolare (170)	M + F	0	1	.	.	0 (0-18)	0 (.-)	93 (56-196)	↓		n.c.	0 
Tumori maligni del connettivo e di altri tessuti molli (171)	F	0	1	.	.	0 (0-34)	0 (.-)	98 (70-121)	↓		n.c.	0 
Tumori maligni del connettivo e di altri tessuti molli (171)	M	<5	<5	.	.	16 (3-53)	217 (72-657)	98 (54-182)			n.c.	0 
Tumori maligni del connettivo e di altri tessuti molli (171)	M + F	<5	<5	.	.	8 (1-29)	124 (41-375)	107 (68-141)			n.c.	0 
Melanoma maligno della pelle (172)	F	<5	<5	.	.	8 (0-47)	57 (13-257)	96 (52-138)			n.c.	0 















Cerreto d'Esì												
Causa (ICD-IX)	Genere	Osservati	Attesi	n. cluster sign.	SIR cluster	Tasso std. * 100000 (ic)	SIR (ic)	BIR (ic)	SIR sign.	BIR sign.	Trend	Livello attenzione
Melanoma maligno della pelle (172)	M	<5	<5	.	.	26 (7-70)	155 (62-387)	98 (60-162)			n.c.	0 
Melanoma maligno della pelle (172)	M + F	<5	<5	.	.	17 (6-42)	109 (49-242)	85 (59-116)			n.c.	0 
Tumori maligni della mammella (174-175)	F	30	22	.	.	249 (178-342)	137 (102-185)	114 (98-140)	↑		→	2 
Tumori maligni della mammella (174-175)	M	0	0	.	.	0 (0-29)	0 (.-.)	98 (69-134)	↓		n.c.	0 
Tumori maligni della mammella (174-175)	M + F	30	22	.	.	128 (92-176)	136 (101-183)	114 (98-139)	↑		→	2 
Tumori maligni dell'utero (179-180, 182)	F	5	5	.	.	42 (16-95)	105 (51-216)	108 (89-123)			n.c.	0 
Tumori maligni del corpo dell'utero (182)	F	<5	<5	.	.	17 (3-61)	65 (22-197)	109 (90-123)			n.c.	0 
Tumori maligni dell'ovaio e degli altri annessi uterini (183)	F	0	3	.	.	0 (0-34)	0 (.-.)	98 (79-112)	↓		n.c.	0 
Tumore della prostata (185)	M	27	13	2	207.1	235 (166-326)	207 (151-284)	130 (101-170)	↑	↑	n.c.	5 
Tumore del testicolo (186)	M	<5	<5	.	.	16 (3-54)	166 (55-501)	97 (66-148)			n.c.	0 
Tumori maligni della vescica (188)	F	<5	<5	.	.	20 (3-66)	79 (26-238)	98 (72-136)			n.c.	0 
Tumori maligni della vescica (188)	M	14	12	.	.	126 (76-198)	115 (74-178)	102 (84-123)			n.c.	0 
Tumori maligni della vescica (188)	M + F	16	15	1	108.1	71 (45-110)	109 (72-163)	110 (88-130)			n.c.	2 
Tumori maligni del rene e di altri e non specificati organi urinari (189)	F	<5	<5	.	.	36 (12-87)	195 (88-434)	103 (86-127)			n.c.	0 

Cerreto d'Esì												
Causa (ICD-IX)	Genere	Osservati	Attesi	n. cluster sign.	SIR cluster	Tasso std. * 100000 (ic)	SIR (ic)	BIR (ic)	SIR sign.	BIR sign.	Trend	Livello attenzione
Tumori maligni del rene e di altri e non specificati organi urinari (189)	M	<5	>5	.	.	28 (8-72)	66 (26-165)	88 (68-111)			n.c.	0
Tumori maligni del rene e di altri e non specificati organi urinari (189)	M + F	7	7	.	.	32 (15-62)	106 (58-196)	94 (78-115)			n.c.	0
Tumori maligni dell'encefalo (191)	F	<5	<5	.	.	24 (7-69)	185 (74-463)	125 (82-172)			n.c.	0
Tumori maligni dell'encefalo (191)	M	0	2	.	.	0 (0-29)	0 (.-)	98 (78-118)	↓		n.c.	0
Tumori maligni dell'encefalo (191)	M + F	<5	<5	1	135.6	12 (3-36)	80 (32-199)	112 (91-133)			n.c.	2
Tumori maligni del sistema nervoso centrale (191-192)	F	<5	<5	.	.	24 (7-69)	164 (66-411)	105 (85-145)			n.c.	0
Tumori maligni del sistema nervoso centrale (191-192)	M	0	2	.	.	0 (0-29)	0 (.-)	98 (79-118)	↓		n.c.	0
Tumori maligni del sistema nervoso centrale (191-192)	M + F	<5	<5	.	.	12 (3-36)	73 (29-182)	96 (75-118)			n.c.	0
Tumori maligni della ghiandola tiroide (193)	F	<5	<5	1	146.2	29 (10-75)	110 (50-246)	112 (92-144)			n.c.	2
Tumori maligni della ghiandola tiroide (193)	M	<5	<5	1	190.1	24 (6-65)	225 (90-562)	147 (90-254)			n.c.	2
Tumori maligni della ghiandola tiroide (193)	M + F	7	5	1	161.9	26 (12-54)	141 (77-260)	139 (114-174)		↑	n.c.	4
Linfoma non Hodgkin (200, 202)	F	<5	<5	.	.	17 (3-61)	69 (23-208)	96 (89-119)			n.c.	0
Linfoma non Hodgkin (200, 202)	M	<5	<5	.	.	24 (6-66)	78 (31-195)	98 (72-132)			n.c.	0
Linfoma non Hodgkin (200, 202)	M + F	5	7	.	.	21 (8-47)	74 (36-152)	99 (78-131)			n.c.	0








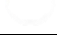






Cerreto d'Esì												
Causa (ICD-IX)	Genere	Osservati	Attesi	n. cluster sign.	SIR cluster	Tasso std. * 100000 (ic)	SIR (ic)	BIR (ic)	SIR sign.	BIR sign.	Trend	Livello attenzione
Tumori emolinfopoietici (200-208)	F	7	7	1	117.1	64 (30-124)	108 (59-199)	115 (85-148)			n.c.	2 
Tumori emolinfopoietici (200-208)	M	13	8	.	.	116 (68-185)	154 (98-242)	115 (92-151)			n.c.	0 
Tumori emolinfopoietici (200-208)	M + F	20	15	1	116.5	89 (59-131)	134 (93-193)	119 (99-161)			n.c.	2 
Malattia di Hodgkin (201)	F	<5	<5	.	.	11 (1-52)	143 (32-639)	108 (42-212)			n.c.	0 
Malattia di Hodgkin (201)	M	0	1	.	.	0 (0-29)	0 (.-)	99 (75-140)	↓		n.c.	0 
Malattia di Hodgkin (201)	M + F	<5	<5	.	.	6 (0-27)	71 (16-318)	91 (61-127)			n.c.	0 
Mieloma multiplo e tumori immunoproliferativi (203)	F	0	1	1	125.3	0 (0-34)	0 (.-)	105 (68-165)	↓		n.c.	2 
Mieloma multiplo e tumori immunoproliferativi (203)	M	<5	<5	1	142.2	36 (12-84)	268 (120-597)	121 (88-191)	↑		n.c.	3 
Mieloma multiplo e tumori immunoproliferativi (203)	M + F	<5	<5	1	130.9	17 (6-43)	150 (67-335)	133 (92-210)			n.c.	2 
Leucemie (204-208)	F	<5	<5	1	121.8	36 (12-87)	198 (89-441)	122 (90-174)			n.c.	2 
Leucemie (204-208)	M	6	3	1	125.4	55 (24-109)	207 (107-400)	118 (82-166)	↑		n.c.	3 
Leucemie (204-208)	M + F	10	5	1	120.9	45 (24-79)	203 (122-340)	141 (103-205)	↑	↑	n.c.	5 
Gozzo non tossico (240-241)	F	5	6	1	126.7	37 (14-85)	78 (38-160)	102 (76-137)			n.c.	2 
Gozzo non tossico (240-241)	M	<5	<5	1	130.3	25 (7-68)	150 (60-375)	128 (77-198)			n.c.	2 

Cerreto d'Esì												
Causa (ICD-IX)	Genere	Osservati	Attesi	n. cluster sign.	SIR cluster	Tasso std. * 100000 (ic)	SIR (ic)	BIR (ic)	SIR sign.	BIR sign.	Trend	Livello attenzione
Gozzo non tossico (240-241)	M + F	8	8	1	126.4	31 (15-60)	95 (54-169)	111 (79-162)			n.c.	2 
Malattie endocrine e della nutrizione (240-2799)	F	40	51	.	.	284 (213-377)	78 (60-101)	82 (68-96)		↓	→	0 
Malattie endocrine e della nutrizione (240-2799)	M	28	41	.	.	200 (141-280)	68 (50-93)	76 (61-94)	↓	↓	→	0 
Malattie endocrine e della nutrizione (240-2799)	M + F	68	92	.	.	243 (196-302)	74 (60-90)	75 (65-89)	↓	↓	→	0 
Tireotossicosi (242)	F	<5	<5	.	.	20 (3-66)	87 (29-263)	108 (58-160)			n.c.	0 
Tireotossicosi (242)	M	0	1	.	.	0 (0-29)	0 (.-)	87 (46-163)	↓		n.c.	0 
Tireotossicosi (242)	M + F	<5	<5	.	.	10 (2-34)	65 (21-196)	91 (62-160)			n.c.	0 
Ipotiroidismo (243-244)	F	<5	<5	1	132.5	8 (0-47)	88 (20-396)	91 (49-177)			n.c.	2 
Ipotiroidismo (243-244)	M	<5	<5	.	.	5 (0-36)	88 (20-393)	98 (66-144)			n.c.	0 
Ipotiroidismo (243-244)	M + F	<5	<5	.	.	7 (1-27)	88 (29-266)	92 (68-136)			n.c.	0 
Diabete mellito (250)	F	9	9	.	.	68 (35-126)	100 (58-171)	85 (55-129)			n.c.	0 
Diabete mellito (250)	M	<5	>5	.	.	24 (6-65)	27 (11-67)	50 (31-79)	↓	↓	n.c.	0 
Diabete mellito (250)	M + F	12	20	.	.	47 (27-79)	59 (37-95)	60 (38-92)	↓	↓	n.c.	0 
Malattie del sangue e degli organi emopoietici (280-289)	F	19	14	1	117.5	141 (91-215)	137 (94-199)	111 (85-134)			n.c.	2 

Cerreto d'Esì												
Causa (ICD-IX)	Genere	Osservati	Attesi	n. cluster sign.	SIR cluster	Tasso std. * 100000 (ic)	SIR (ic)	BIR (ic)	SIR sign.	BIR sign.	Trend	Livello attenzione
Malattie del sangue e degli organi emopoietici (280-289)	M	15	13	1	118.7	108 (65-170)	117 (77-178)	106 (80-135)			n.c.	2 
Malattie del sangue e degli organi emopoietici (280-289)	M + F	34	27	1	117.5	125 (91-170)	127 (96-169)	109 (92-135)			→	2 
Malattie neuro-psichiatriche (escluse tossicod.) (290-303, 306-319)	F	25	24	.	.	195 (134-279)	104 (75-144)	89 (74-120)			↘	0 
Malattie neuro-psichiatriche (escluse tossicod.) (290-303, 306-319)	M	20	28	.	.	147 (97-218)	71 (49-102)	77 (60-99)		↓	→	0 
Malattie neuro-psichiatriche (escluse tossicod.) (290-303, 306-319)	M + F	45	52	.	.	172 (131-224)	86 (67-110)	82 (71-101)			→	0 
Malattie del sistema nervoso e degli organi di senso (320-389)	F	139	142	.	.	1162 (1002-	98 (85-112)	95 (86-107)			→	0 
Malattie del sistema nervoso e degli organi di senso (320-389)	M	104	123	.	.	873 (736-1030)	85 (72-100)	88 (79-99)	↓	↓	↘	0 
Malattie del sistema nervoso e degli organi di senso (320-389)	M + F	243	265	.	.	1021 (914-1139)	92 (83-102)	93 (83-102)			→	0 
Malattia di Alzheimer (3310)	F	<5	<5	.	.	31 (8-82)	76 (30-191)	70 (33-134)			n.c.	0 
Malattia di Alzheimer (3310)	M	<5	<5	.	.	18 (3-59)	90 (30-271)	75 (33-169)			n.c.	0 
Malattia di Alzheimer (3310)	M + F	5	6	.	.	25 (10-54)	81 (39-167)	71 (34-140)			n.c.	0 
Morbo di Parkinson (3320)	F	<5	<5	1	134.3	11 (1-54)	78 (17-351)	113 (66-184)			n.c.	2 
Morbo di Parkinson (3320)	M	0	2	.	.	0 (0-29)	0 (-.)	76 (41-129)	↓		n.c.	0 
Morbo di Parkinson (3320)	M + F	<5	<5	.	.	6 (0-28)	32 (7-145)	88 (51-130)			n.c.	0 

Cerreto d'Esì												
Causa (ICD-IX)	Genere	Osservati	Attesi	n. cluster sign.	SIR cluster	Tasso std. * 100000 (ic)	SIR (ic)	BIR (ic)	SIR sign.	BIR sign.	Trend	Livello attenzione
Malattia dei neuroni motori (3352)	F	0	1	.	.	0 (0-34)	0 (-.)	41 (15-115)	↓		n.c.	0 
Malattia dei neuroni motori (3352)	M	0	1	.	.	0 (0-29)	0 (-.)	81 (48-126)	↓		n.c.	0 
Malattia dei neuroni motori (3352)	M + F	0	1	.	.	0 (0-18)	0 (-.)	67 (31-89)	↓	↓	n.c.	0 
Sclerosi multipla (340)	F	<5	<5	.	.	6 (0-43)	38 (9-172)	101 (70-149)			n.c.	0 
Sclerosi multipla (340)	M	0	1	.	.	0 (0-29)	0 (-.)	99 (68-130)	↓		n.c.	0 
Sclerosi multipla (340)	M + F	<5	<5	1	134.7	3 (0-22)	25 (6-114)	108 (75-147)			n.c.	2 
Malattie cardiache (390-429)	F	73	85	.	.	658 (535-804)	86 (71-104)	88 (77-102)			↘	0 
Malattie cardiache (390-429)	M	112	119	.	.	939 (796-1101)	94 (81-110)	94 (84-106)			↘	0 
Malattie cardiache (390-429)	M + F	185	204	.	.	796 (701-902)	91 (80-102)	91 (83-104)			↘	0 
Malattie dell'apparato circolatorio (390-459)	F	145	161	.	.	1267 (1097-	90 (79-103)	94 (82-103)			↘	0 
Malattie dell'apparato circolatorio (390-459)	M	173	203	.	.	1439 (1262-	85 (75-97)	91 (84-99)	↓	↓	↘	0 
Malattie dell'apparato circolatorio (390-459)	M + F	318	364	.	.	1350 (1226-	87 (80-96)	91 (85-100)	↓	↓	↘	0 
Malattie ischemiche del cuore (410-4149)	F	16	26	.	.	139 (87-216)	62 (41-93)	83 (66-104)	↓		↘	0 
Malattie ischemiche del cuore (410-4149)	M	55	55	.	.	465 (367-584)	100 (80-125)	98 (82-113)			→	0 

Cerreto d'Esì												
Causa (ICD-IX)	Genere	Osservati	Attesi	n. cluster sign.	SIR cluster	Tasso std. * 100000 (ic)	SIR (ic)	BIR (ic)	SIR sign.	BIR sign.	Trend	Livello attenzione
Malattie ischemiche del cuore (410-4149)	M + F	71	81	.	.	297 (241-364)	88 (72-107)	89 (78-104)			↘	0
Insufficienza cardiaca (scompenso cardiaco) (428)	F	25	31	.	.	241 (167-340)	80 (57-110)	89 (66-110)			→	0
Insufficienza cardiaca (scompenso cardiaco) (428)	M	29	31	.	.	256 (183-350)	93 (68-126)	94 (78-116)			→	0
Insufficienza cardiaca (scompenso cardiaco) (428)	M + F	54	63	.	.	248 (195-314)	86 (69-108)	93 (74-105)			→	0
Malattie cerebrovascolari (430-438)	F	48	46	2	113.9	434 (335-556)	105 (83-133)	109 (93-129)			→	1
Malattie cerebrovascolari (430-438)	M	39	50	.	.	345 (259-452)	78 (60-101)	89 (74-108)			→	0
Malattie cerebrovascolari (430-438)	M + F	87	96	.	.	389 (323-468)	91 (76-109)	93 (85-108)			→	0
Malattie dell'apparato respiratorio (460-5199)	F	139	99	1	107.2	1017 (875-1180)	140 (122-161)	129 (115-138)	↑	↑	↘	4
Malattie dell'apparato respiratorio (460-5199)	M	155	136	1	108.2	1140 (991-1309)	114 (100-130)	110 (100-123)			↘	2
Malattie dell'apparato respiratorio (460-5199)	M + F	294	235	1	107.3	1078 (974-1193)	125 (114-138)	122 (114-132)	↑	↑	↘	4
Malattie polmonari cronico ostruttive (490-492, 494, 496)	F	8	8	.	.	81 (40-149)	100 (56-177)	84 (45-154)			n.c.	0
Malattie polmonari cronico ostruttive (490-492, 494, 496)	M	11	13	.	.	93 (52-156)	85 (52-139)	82 (57-119)			→	0
Malattie polmonari cronico ostruttive (490-492, 494, 496)	M + F	19	21	.	.	88 (57-131)	91 (62-132)	93 (74-123)			→	0
Pneumoconiosi (500-505)	F	0	0	.	.	0 (0-34)	0 (.-)	55 (18-186)	↓		n.c.	0

Cerreto d'Esì												
Causa (ICD-IX)	Genere	Osservati	Attesi	n. cluster sign.	SIR cluster	Tasso std. * 100000 (ic)	SIR (ic)	BIR (ic)	SIR sign.	BIR sign.	Trend	Livello attenzione
Pneumoconiosi (500-505)	M	<5	<5	.	.	9 (0-45)	483 (108-2164)	103 (26-350)	↑		n.c.	2 
Pneumoconiosi (500-505)	M + F	<5	<5	.	.	4 (0-25)	431 (96-1933)	84 (39-279)			n.c.	0 
Malattie dell'apparato digerente (520-579)	F	126	127	1	107.5	966 (826-1128)	99 (86-115)	101 (91-112)			→	2 
Malattie dell'apparato digerente (520-579)	M	175	184	.	.	1380 (1211-	95 (84-107)	100 (92-108)			→	0 
Malattie dell'apparato digerente (520-579)	M + F	301	312	1	106.3	1166 (1056-	97 (88-106)	98 (91-105)			→	2 
Cirrosi e altre malattie croniche del fegato (571)	F	7	3	.	.	67 (31-129)	222 (120-409)	110 (81-152)	↑		n.c.	2 
Cirrosi e altre malattie croniche del fegato (571)	M	5	6	.	.	41 (16-89)	82 (40-168)	96 (67-144)			n.c.	0 
Cirrosi e altre malattie croniche del fegato (571)	M + F	12	9	2	128.6	54 (31-91)	129 (81-207)	110 (88-162)			n.c.	1 
Nefropatie croniche e acute (580-589)	F	8	11	.	.	62 (30-119)	72 (41-128)	95 (74-139)			n.c.	0 
Nefropatie croniche e acute (580-589)	M	11	16	.	.	84 (47-142)	70 (43-114)	91 (70-119)			n.c.	0 
Nefropatie croniche e acute (580-589)	M + F	19	27	.	.	72 (47-110)	71 (49-103)	86 (71-106)			n.c.	0 
Malattie dell'apparato urinario (580-599)	F	23	33	.	.	171 (116-250)	71 (50-99)	84 (66-103)	↓		↘	0 
Malattie dell'apparato urinario (580-599)	M	48	50	.	.	383 (295-490)	97 (76-123)	92 (80-107)			→	0 
Malattie dell'apparato urinario (580-599)	M + F	71	82	.	.	274 (222-337)	86 (71-105)	90 (80-100)		↓	→	0 


















































Cerreto d'Esì												
Causa (ICD-IX)	Genere	Osservati	Attesi	n. cluster sign.	SIR cluster	Tasso std. * 100000 (ic)	SIR (ic)	BIR (ic)	SIR sign.	BIR sign.	Trend	Livello attenzione
Calcolosi del rene e delle vie urinarie (592, 594)	F	6	6	.	.	47 (20-100)	103 (53-200)	96 (74-129)			n.c.	0 
Calcolosi del rene e delle vie urinarie (592, 594)	M	14	13	.	.	112 (67-178)	112 (72-173)	103 (82-129)			n.c.	0 
Calcolosi del rene e delle vie urinarie (592, 594)	M + F	20	18	.	.	79 (52-117)	109 (76-158)	104 (78-120)			n.c.	0 
Endometriosi (617)	F	6	6	1	152.7	38 (16-84)	105 (54-204)	120 (80-152)			n.c.	2 
Aborto spontaneo (634)	F	7	16	.	.	45 (21-94)	44 (24-82)	49 (31-70)	↓	↓	n.c.	0 
Malformazioni congenite (740-759)	F	25	20	.	.	157 (108-227)	124 (89-171)	108 (90-127)			→	0 
Malformazioni congenite (740-759)	M	29	31	1	111.9	186 (132-259)	93 (69-126)	92 (72-110)			→	2 
Malformazioni congenite (740-759)	M + F	54	51	1	110.4	171 (134-218)	105 (84-132)	102 (86-115)			→	2 

Tabella 43. Primi ricoveri ospedalieri per causa nel comune di Esanatoglia, tutte le età – Anni 2006-2012, confronto Regione Marche.















Esanatoglia				n. cluster sign.	SIR cluster	Tasso std. * 100000 (ic)	SIR (ic)	BIR (ic)	SIR sign.	BIR sign.	Trend	Livello attenzione
Causa (ICD-IX)	Genere	Osservati	Attesi									
Tumori maligni delle vie aeree e digestive superiori (140-150, 161)	F	<5	<5	.	.	14 (1-70)	140 (31-629)	87 (52-123)			n.c.	0 
Tumori maligni delle vie aeree e digestive superiori (140-150, 161)	M	<5	<5	.	.	39 (11-109)	165 (66-414)	72 (53-96)		↓	n.c.	0 
Tumori maligni delle vie aeree e digestive superiori (140-150, 161)	M + F	<5	<5	.	.	26 (9-63)	158 (71-351)	76 (54-91)		↓	n.c.	0 
Tumori maligni (140-208)	F	47	53	.	.	587 (453-753)	89 (70-114)	94 (84-108)			→	0 
Tumori maligni (140-208)	M	76	58	.	.	1031 (844-1252)	131 (108-158)	107 (95-119)	↑		→	2 
Tumori maligni (140-208)	M + F	123	111	.	.	803 (687-935)	111 (96-129)	103 (92-111)			→	0 
Tumori maligni dell'esofago (150)	F	0	0	.	.	0 (0-47)	0 (.-.)	24 (1-143)	↓		n.c.	0 
Tumori maligni dell'esofago (150)	M	<5	<5	.	.	13 (1-71)	406 (91-1822)	56 (21-133)			n.c.	0 
Tumori maligni dell'esofago (150)	M + F	<5	<5	.	.	6 (0-35)	355 (79-1590)	49 (21-120)			n.c.	0 
Tumori maligni dello stomaco (151)	F	<5	<5	.	.	50 (17-120)	144 (64-320)	109 (78-164)			n.c.	0 
Tumori maligni dello stomaco (151)	M	<5	<5	.	.	55 (19-131)	121 (54-269)	111 (77-155)			n.c.	0 
Tumori maligni dello stomaco (151)	M + F	8	6	.	.	52 (26-96)	130 (73-231)	117 (91-158)			n.c.	0 
Tumori maligni dell'intestino tenue, compreso il duodeno (152)	F	<5	<5	.	.	11 (1-65)	935 (209-4190)	55 (9-149)	↑		n.c.	2 















Esanatoglia				n. cluster sign.	SIR cluster	Tasso std. * 100000 (ic)	SIR (ic)	BIR (ic)	SIR sign.	BIR sign.	Trend	Livello attenzione
Causa (ICD-IX)	Genere	Osservati	Attesi									
Tumori maligni dell'intestino tenue, compreso il duodeno (152)	M	0	0	.	.	0 (0-49)	0 (.-.)	76 (33-158)	↓		n.c.	0
Tumori maligni dell'intestino tenue, compreso il duodeno (152)	M + F	<5	<5	.	.	6 (0-33)	333 (74-1493)	84 (42-193)			n.c.	0
Tumori maligni del colon (153)	F	<5	>5	.	.	24 (4-85)	36 (12-108)	93 (69-117)			n.c.	0
Tumori maligni del colon (153)	M	<5	>5	.	.	12 (1-68)	20 (5-91)	82 (59-110)	↓		n.c.	0
Tumori maligni del colon (153)	M + F	<5	>5	.	.	18 (5-51)	28 (11-71)	74 (57-101)	↓		n.c.	0
Tumori maligni del colon-retto (153-154)	F	5	8	.	.	61 (24-134)	65 (32-134)	92 (72-116)			n.c.	0
Tumori maligni del colon-retto (153-154)	M	<5	>5	.	.	26 (5-90)	26 (9-79)	82 (64-106)	↓		n.c.	0
Tumori maligni del colon-retto (153-154)	M + F	7	15	.	.	44 (20-85)	46 (25-84)	84 (69-110)	↓		n.c.	0
Tumori maligni del retto, della giunzione retto-sigmoidea e dell'ano (154)	F	<5	<5	1	122.3	49 (17-119)	154 (69-342)	115 (74-164)			n.c.	2
Tumori maligni del retto, della giunzione retto-sigmoidea e dell'ano (154)	M	<5	<5	.	.	14 (1-73)	31 (7-137)	88 (61-122)			n.c.	0
Tumori maligni del retto, della giunzione retto-sigmoidea e dell'ano (154)	M + F	5	6	.	.	32 (13-71)	85 (41-175)	91 (64-132)			n.c.	0
Tumore fegato e dotti biliari (1550-1551)	F	<5	<5	.	.	12 (1-66)	146 (32-653)	109 (58-174)			n.c.	0
Tumore fegato e dotti biliari (1550-1551)	M	<5	<5	1	153.2	13 (1-70)	79 (18-352)	103 (69-173)			n.c.	2
Tumore fegato e dotti biliari (1550-1551)	M + F	<5	<5	.	.	12 (2-43)	102 (34-307)	106 (65-192)			n.c.	0















Esanatogia	Genere	Osservati	Attesi	n. cluster sign.	SIR cluster	Tasso std. * 100000 (ic)	SIR (ic)	BIR (ic)	SIR sign.	BIR sign.	Trend	Livello attenzione
Tumori maligni del pancreas (157)	F	<5	<5	.	.	11 (1-65)	58 (13-259)	106 (76-151)			n.c.	0 
Tumori maligni del pancreas (157)	M	<5	<5	.	.	53 (18-128)	243 (109-542)	111 (76-168)	↑		n.c.	2 
Tumori maligni del pancreas (157)	M + F	5	3	1	113.6	32 (12-70)	148 (72-304)	105 (85-139)			n.c.	2 
Tumore del retroperitoneo (1580)	F	0	0	.	.	0 (0-47)	0 (.-)	29 (2-166)	↓		n.c.	0 
Tumore del retroperitoneo (1580)	M	0	0	.	.	0 (0-49)	0 (.-)	65 (11-253)	↓		n.c.	0 
Tumore del retroperitoneo (1580)	M + F	0	0	.	.	0 (0-24)	0 (.-)	46 (12-152)	↓		n.c.	0 
Tumori maligni del naso (1600)	F	0	0	.	.	0 (0-47)	.	0 (0-0)			n.c.	0 
Tumori maligni del naso (1600)	M	0	0	.	.	0 (0-49)	0 (.-)	96 (19-272)	↓		n.c.	0 
Tumori maligni del naso (1600)	M + F	0	0	.	.	0 (0-24)	0 (.-)	42 (11-120)	↓		n.c.	0 
Tumori maligni della laringe (161)	F	0	0	.	.	0 (0-47)	0 (.-)	67 (14-209)	↓		n.c.	0 
Tumori maligni della laringe (161)	M	<5	<5	.	.	12 (1-68)	141 (31-631)	63 (40-97)		↓	n.c.	0 
Tumori maligni della laringe (161)	M + F	<5	<5	.	.	6 (0-33)	122 (27-547)	79 (41-137)			n.c.	0 
Tumori maligni della trachea, dei bronchi e dei polmoni (162)	F	<5	<5	.	.	36 (10-101)	122 (49-306)	100 (69-156)			n.c.	0 
Tumori maligni della trachea, dei bronchi e dei polmoni (162)	M	6	7	.	.	83 (36-168)	83 (43-160)	101 (78-128)			n.c.	0 















Esanatoglia				n. cluster sign.	SIR cluster	Tasso std. * 100000 (ic)	SIR (ic)	BIR (ic)	SIR sign.	BIR sign.	Trend	Livello attenzione
Causa (ICD-IX)	Genere	Osservati	Attesi									
Tumori maligni della trachea, dei bronchi e dei polmoni (162)	M + F	9	10	.	.	59 (31-106)	93 (54-159)	106 (85-121)			n.c.	0 
Tumori maligni della pleura (163)	F	0	0	.	.	0 (0-47)	0 (.-)	76 (17-301)	↓		n.c.	0 
Tumori maligni della pleura (163)	M	0	0	.	.	0 (0-49)	0 (.-)	86 (25-218)	↓		n.c.	0 
Tumori maligni della pleura (163)	M + F	0	0	.	.	0 (0-24)	0 (.-)	90 (16-280)	↓		n.c.	0 
Mesoteliomi pleurici e peritoneali (1588, 163)	F	0	0	.	.	0 (0-47)	0 (.-)	81 (37-164)	↓		n.c.	0 
Mesoteliomi pleurici e peritoneali (1588, 163)	M	0	0	.	.	0 (0-49)	0 (.-)	83 (31-230)	↓		n.c.	0 
Mesoteliomi pleurici e peritoneali (1588, 163)	M + F	0	0	.	.	0 (0-24)	0 (.-)	73 (24-214)	↓		n.c.	0 
Tumori maligni delle ossa e della cartilagine articolare (170)	F	0	0	.	.	0 (0-47)	0 (.-)	128 (70-306)	↓		n.c.	0 
Tumori maligni delle ossa e della cartilagine articolare (170)	M	<5	<5	.	.	13 (1-70)	284 (63-1271)	151 (84-257)			n.c.	0 
Tumori maligni delle ossa e della cartilagine articolare (170)	M + F	<5	<5	.	.	6 (0-35)	165 (37-740)	158 (78-315)			n.c.	0 
Tumori maligni del connettivo e di altri tessuti molli (171)	F	0	0	.	.	0 (0-47)	0 (.-)	59 (35-123)	↓		n.c.	0 
Tumori maligni del connettivo e di altri tessuti molli (171)	M	0	0	.	.	0 (0-49)	0 (.-)	70 (31-141)	↓		n.c.	0 
Tumori maligni del connettivo e di altri tessuti molli (171)	M + F	0	1	.	.	0 (0-24)	0 (.-)	70 (43-130)	↓		n.c.	0 
Melanoma maligno della pelle (172)	F	<5	<5	.	.	12 (1-67)	89 (20-398)	80 (44-146)			n.c.	0 

Esanatogia	Genere	Osservati	Attesi	n. cluster sign.	SIR cluster	Tasso std. * 100000 (ic)	SIR (ic)	BIR (ic)	SIR sign.	BIR sign.	Trend	Livello attenzione
Melanoma maligno della pelle (172)	M	<5	<5	.	.	13 (1-70)	125 (28-561)	67 (34-126)			n.c.	0
Melanoma maligno della pelle (172)	M + F	<5	<5	.	.	13 (2-44)	104 (34-314)	72 (47-113)			n.c.	0
Tumori maligni della mammella (174-175)	F	13	14	.	.	161 (95-261)	96 (61-152)	97 (84-114)			n.c.	0
Tumori maligni della mammella (174-175)	M	<5	<5	.	.	26 (5-90)	1144 (379-3458)	118 (53-242)	↑		n.c.	2
Tumori maligni della mammella (174-175)	M + F	15	14	.	.	94 (58-148)	110 (72-167)	99 (86-117)			→	0
Tumori maligni dell'utero (179-180, 182)	F	<5	<5	.	.	38 (10-105)	98 (39-245)	98 (80-123)			n.c.	0
Tumori maligni del corpo dell'utero (182)	F	0	2	.	.	0 (0-47)	0 (.-)	103 (82-130)	↓		n.c.	0
Tumori maligni dell'ovaio e degli altri annessi uterini (183)	F	0	1	.	.	0 (0-47)	0 (.-)	75 (52-106)	↓		n.c.	0
Tumore della prostata (185)	M	19	9	2	207.1	259 (169-384)	207 (142-301)	127 (98-165)	↑		n.c.	3
Tumore del testicolo (186)	M	<5	<5	.	.	13 (1-71)	192 (43-862)	77 (44-137)			n.c.	0
Tumori maligni della vescica (188)	F	0	2	.	.	0 (0-47)	0 (.-)	85 (64-110)	↓		n.c.	0
Tumori maligni della vescica (188)	M	11	7	.	.	152 (85-256)	157 (96-257)	93 (74-120)			n.c.	0
Tumori maligni della vescica (188)	M + F	11	9	1	108.1	75 (42-126)	126 (77-206)	99 (76-140)			n.c.	2
Tumori maligni del rene e di altri e non specificati organi urinari (189)	F	<5	<5	.	.	13 (1-68)	74 (17-332)	90 (59-115)			n.c.	0















Esanatozia				n. cluster sign.	SIR cluster	Tasso std. * 100000 (ic)	SIR (ic)	BIR (ic)	SIR sign.	BIR sign.	Trend	Livello attenzione
Causa (ICD-IX)	Genere	Osservati	Attesi									
Tumori maligni del rene e di altri e non specificati organi urinari (189)	M	<5	<5	.	.	14 (1-72)	34 (8-154)	87 (63-118)			n.c.	0 
Tumori maligni del rene e di altri e non specificati organi urinari (189)	M + F	<5	<5	.	.	13 (2-45)	47 (15-141)	82 (63-117)			n.c.	0 
Tumori maligni dell'encefalo (191)	F	<5	<5	.	.	13 (1-68)	78 (17-348)	121 (70-188)			n.c.	0 
Tumori maligni dell'encefalo (191)	M	<5	<5	.	.	27 (5-92)	167 (55-503)	93 (66-122)			n.c.	0 
Tumori maligni dell'encefalo (191)	M + F	<5	<5	.	.	20 (5-55)	121 (48-302)	108 (86-140)			n.c.	0 
Tumori maligni del sistema nervoso centrale (191-192)	F	<5	<5	.	.	13 (1-68)	73 (16-329)	113 (71-152)			n.c.	0 
Tumori maligni del sistema nervoso centrale (191-192)	M	<5	<5	.	.	27 (5-92)	149 (49-450)	95 (67-131)			n.c.	0 
Tumori maligni del sistema nervoso centrale (191-192)	M + F	<5	<5	.	.	20 (5-55)	111 (44-277)	102 (72-124)			n.c.	0 
Tumori maligni della ghiandola tiroide (193)	F	<5	<5	1	146.2	26 (5-88)	99 (33-298)	110 (79-146)			n.c.	2 
Tumori maligni della ghiandola tiroide (193)	M	<5	<5	1	190.1	13 (1-70)	190 (42-853)	92 (49-179)			n.c.	2 
Tumori maligni della ghiandola tiroide (193)	M + F	<5	<5	1	161.9	20 (5-54)	117 (47-294)	112 (80-156)			n.c.	2 
Linfoma non Hodgkin (200, 202)	F	<5	<5	.	.	12 (1-67)	52 (12-235)	90 (65-131)			n.c.	0 
Linfoma non Hodgkin (200, 202)	M	<5	<5	.	.	40 (11-110)	114 (45-284)	105 (75-146)			n.c.	0 
Linfoma non Hodgkin (200, 202)	M + F	<5	>5	.	.	26 (9-63)	89 (40-197)	96 (72-128)			n.c.	0 










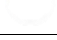




Esanatozia	Genere	Osservati	Attesi	n. cluster sign.	SIR cluster	Tasso std. * 100000 (ic)	SIR (ic)	BIR (ic)	SIR sign.	BIR sign.	Trend	Livello attenzione
Tumori emolinfopoietici (200-208)	F	6	4	1	117.1	76 (33-155)	135 (70-262)	112 (86-150)			n.c.	2 
Tumori emolinfopoietici (200-208)	M	11	6	.	.	148 (83-249)	173 (106-282)	138 (104-180)	↑	↑	n.c.	4 
Tumori emolinfopoietici (200-208)	M + F	17	11	1	116.5	110 (70-168)	158 (106-235)	138 (110-163)	↑	↑	n.c.	5 
Malattia di Hodgkin (201)	F	0	0	.	.	0 (0-47)	0 (.-.)	27 (6-81)	↓	↓	n.c.	0 
Malattia di Hodgkin (201)	M	<5	<5	.	.	13 (1-71)	278 (62-1245)	97 (51-167)			n.c.	0 
Malattia di Hodgkin (201)	M + F	<5	<5	.	.	6 (0-35)	198 (44-889)	63 (27-127)			n.c.	0 
Mieloma multiplo e tumori immunoproliferativi (203)	F	<5	<5	1	125.3	13 (1-69)	70 (16-316)	177 (111-263)		↑	n.c.	4 
Mieloma multiplo e tumori immunoproliferativi (203)	M	<5	<5	1	142.2	28 (5-94)	132 (44-398)	170 (105-247)		↑	n.c.	4 
Mieloma multiplo e tumori immunoproliferativi (203)	M + F	<5	<5	1	130.9	19 (5-53)	102 (41-254)	188 (119-258)		↑	n.c.	4 
Leucemie (204-208)	F	<5	<5	1	121.8	50 (17-121)	327 (147-729)	106 (67-190)	↑		n.c.	3 
Leucemie (204-208)	M	5	2	1	125.4	66 (26-145)	232 (113-477)	139 (95-210)	↑		n.c.	3 
Leucemie (204-208)	M + F	9	3	1	120.9	58 (30-104)	269 (157-463)	141 (102-211)	↑	↑	n.c.	5 
Gozzo non tossico (240-241)	F	<5	<5	1	126.7	52 (18-124)	91 (41-202)	126 (86-180)			n.c.	2 
Gozzo non tossico (240-241)	M	<5	<5	1	130.3	54 (18-129)	245 (110-546)	193 (107-352)	↑	↑	n.c.	5 

Esanatoglia				n. cluster sign.	SIR cluster	Tasso std. * 100000 (ic)	SIR (ic)	BIR (ic)	SIR sign.	BIR sign.	Trend	Livello attenzione
Causa (ICD-IX)	Genere	Osservati	Attesi									
Gozzo non tossico (240-241)	M + F	8	6	1	126.4	52 (26-96)	132 (75-235)	152 (110-190)		↑	n.c.	4 
Malattie endocrine e della nutrizione (240-2799)	F	22	30	.	.	274 (185-396)	74 (52-105)	79 (63-93)		↓	→	0 
Malattie endocrine e della nutrizione (240-2799)	M	15	21	.	.	203 (124-319)	71 (47-109)	81 (63-104)			n.c.	0 
Malattie endocrine e della nutrizione (240-2799)	M + F	37	51	.	.	241 (179-319)	73 (56-95)	76 (63-91)	↓	↓	↘	0 
Tireotossicosi (242)	F	<5	<5	.	.	26 (5-88)	155 (51-469)	117 (66-182)			n.c.	0 
Tireotossicosi (242)	M	<5	<5	.	.	38 (10-105)	774 (309-1938)	110 (44-272)	↑		n.c.	2 
Tireotossicosi (242)	M + F	<5	<5	.	.	32 (12-70)	298 (145-613)	113 (67-165)	↑		n.c.	2 
Ipotiroidismo (243-244)	F	<5	<5	1	132.5	25 (4-85)	264 (87-797)	115 (69-330)			n.c.	2 
Ipotiroidismo (243-244)	M	<5	<5	.	.	15 (1-75)	229 (51-1028)	90 (52-166)			n.c.	0 
Ipotiroidismo (243-244)	M + F	<5	<5	.	.	20 (5-55)	251 (100-628)	111 (72-180)	↑		n.c.	2 
Diabete mellito (250)	F	5	4	.	.	64 (25-140)	118 (58-243)	65 (38-104)			n.c.	0 
Diabete mellito (250)	M	<5	<5	.	.	27 (5-91)	45 (15-137)	51 (27-85)		↓	n.c.	0 
Diabete mellito (250)	M + F	7	9	.	.	46 (21-88)	81 (44-149)	56 (34-78)		↓	n.c.	0 
Malattie del sangue e degli organi emopoietici (280-289)	F	8	8	.	.	102 (51-188)	99 (56-176)	83 (59-126)			n.c.	0 

Esanatozia				n. cluster sign.	SIR cluster	Tasso std. * 100000 (ic)	SIR (ic)	BIR (ic)	SIR sign.	BIR sign.	Trend	Livello attenzione
Causa (ICD-IX)	Genere	Osservati	Attesi									
Malattie del sangue e degli organi emopoietici (280-289)	M	<5	>5	.	.	59 (20-138)	62 (28-138)	80 (57-107)			n.c.	0 
Malattie del sangue e degli organi emopoietici (280-289)	M + F	12	15	.	.	81 (46-133)	83 (52-132)	77 (58-100)		↓	n.c.	0 
Malattie neuro-psichiatriche (escluse tossicod.) (290-303, 306-319)	F	9	13	.	.	112 (58-201)	68 (40-118)	69 (51-96)		↓	n.c.	0 
Malattie neuro-psichiatriche (escluse tossicod.) (290-303, 306-319)	M	<5	>5	.	.	56 (19-133)	31 (14-69)	63 (46-84)	↓	↓	n.c.	0 
Malattie neuro-psichiatriche (escluse tossicod.) (290-303, 306-319)	M + F	13	26	.	.	84 (50-136)	50 (32-79)	59 (44-74)	↓	↓	n.c.	0 
Malattie del sistema nervoso e degli organi di senso (320-389)	F	85	89	.	.	1049 (868-1261)	95 (80-114)	84 (76-96)		↓	↘	0 
Malattie del sistema nervoso e degli organi di senso (320-389)	M	47	65	.	.	661 (511-847)	72 (57-92)	77 (67-88)	↓	↓	↘	0 
Malattie del sistema nervoso e degli organi di senso (320-389)	M + F	132	155	.	.	858 (738-994)	85 (74-99)	79 (67-89)	↓	↓	↘	0 
Malattia di Alzheimer (3310)	F	<5	<5	.	.	47 (16-116)	100 (45-222)	94 (52-168)			n.c.	0 
Malattia di Alzheimer (3310)	M	<5	<5	.	.	14 (1-73)	45 (10-204)	83 (37-184)			n.c.	0 
Malattia di Alzheimer (3310)	M + F	5	6	.	.	31 (12-69)	80 (39-165)	89 (49-173)			n.c.	0 
Morbo di Parkinson (3320)	F	<5	<5	.	.	12 (1-65)	90 (20-403)	90 (59-232)			n.c.	0 
Morbo di Parkinson (3320)	M	0	1	.	.	0 (0-49)	0 (.-.)	41 (21-76)	↓	↓	n.c.	0 
Morbo di Parkinson (3320)	M + F	<5	<5	.	.	6 (0-34)	58 (13-260)	62 (35-103)			n.c.	0 

Esanatoglia				n. cluster sign.	SIR cluster	Tasso std. * 100000 (ic)	SIR (ic)	BIR (ic)	SIR sign.	BIR sign.	Trend	Livello attenzione
Causa (ICD-IX)	Genere	Osservati	Attesi									
Malattia dei neuroni motori (3352)	F	0	0	.	.	0 (0-47)	0 (.-)	14 (2-44)	↓	↓	n.c.	0
Malattia dei neuroni motori (3352)	M	0	0	.	.	0 (0-49)	0 (.-)	36 (14-86)	↓	↓	n.c.	0
Malattia dei neuroni motori (3352)	M + F	0	0	.	.	0 (0-24)	0 (.-)	27 (10-51)	↓	↓	n.c.	0
Sclerosi multipla (340)	F	0	1	.	.	0 (0-47)	0 (.-)	65 (41-107)	↓		n.c.	0
Sclerosi multipla (340)	M	<5	<5	.	.	13 (1-69)	193 (43-867)	75 (41-121)			n.c.	0
Sclerosi multipla (340)	M + F	<5	<5	1	134.7	6 (0-34)	71 (16-318)	78 (56-104)			n.c.	2
Malattie cardiache (390-429)	F	66	58	.	.	826 (666-1018)	114 (93-139)	92 (84-106)			↘	0
Malattie cardiache (390-429)	M	73	73	.	.	1012 (824-1233)	99 (82-121)	93 (83-105)			↘	0
Malattie cardiache (390-429)	M + F	139	131	.	.	917 (792-1057)	106 (92-122)	94 (82-106)			↘	0
Malattie dell'apparato circolatorio (390-459)	F	139	113	2	106.1	1756 (1518-2025)	123 (107-141)	106 (94-122)	↑		↘	2
Malattie dell'apparato circolatorio (390-459)	M	134	128	.	.	1845 (1590-2134)	104 (91-120)	99 (90-109)			↘	0
Malattie dell'apparato circolatorio (390-459)	M + F	273	241	1	104.0	1795 (1620-1986)	113 (102-125)	104 (98-111)	↑		↘	2
Malattie ischemiche del cuore (410-4149)	F	19	18	.	.	241 (157-358)	107 (73-155)	85 (69-103)			n.c.	0
Malattie ischemiche del cuore (410-4149)	M	23	34	.	.	318 (217-455)	68 (49-96)	81 (67-96)	↓	↓	↘	0

Esanotologia				n. cluster sign.	SIR cluster	Tasso std. * 100000 (ic)	SIR (ic)	BIR (ic)	SIR sign.	BIR sign.	Trend	Livello attenzione
Causa (ICD-IX)	Genere	Osservati	Attesi									
Malattie ischemiche del cuore (410-4149)	M + F	42	51	.	.	278 (211-362)	82 (64-106)	81 (70-96)		↓	↘	0 
Insufficienza cardiaca (scompenso cardiaco) (428)	F	28	20	.	.	347 (247-480)	137 (101-187)	96 (77-113)	↑		→	2 
Insufficienza cardiaca (scompenso cardiaco) (428)	M	26	20	.	.	354 (247-496)	133 (97-184)	101 (81-125)			→	0 
Insufficienza cardiaca (scompenso cardiaco) (428)	M + F	54	40	.	.	351 (276-443)	136 (109-171)	100 (84-117)	↑		→	2 
Malattie cerebrovascolari (430-438)	F	53	40	2	113.9	661 (519-836)	131 (105-164)	138 (116-162)	↑	↑	→	5 
Malattie cerebrovascolari (430-438)	M	45	38	1	113.2	627 (481-807)	119 (93-151)	127 (106-154)		↑	→	4 
Malattie cerebrovascolari (430-438)	M + F	98	78	1	113.6	640 (537-759)	125 (106-148)	132 (114-154)	↑	↑	→	5 
Malattie dell'apparato respiratorio (460-5199)	F	70	61	1	107.2	882 (716-1081)	115 (94-140)	106 (91-122)			↘	2 
Malattie dell'apparato respiratorio (460-5199)	M	71	75	.	.	1006 (817-1230)	95 (78-115)	99 (87-113)			↘	0 
Malattie dell'apparato respiratorio (460-5199)	M + F	141	136	.	.	944 (816-1087)	104 (90-119)	107 (93-118)			↘	0 
Malattie polmonari cronico ostruttive (490-492, 494, 496)	F	11	7	.	.	137 (77-233)	166 (101-271)	136 (95-197)	↑		n.c.	2 
Malattie polmonari cronico ostruttive (490-492, 494, 496)	M	5	9	.	.	72 (28-155)	58 (28-118)	65 (45-98)		↓	n.c.	0 
Malattie polmonari cronico ostruttive (490-492, 494, 496)	M + F	16	16	.	.	104 (65-160)	103 (69-156)	103 (69-153)			n.c.	0 
Pneumoconiosi (500-505)	F	0	0	.	.	0 (0-47)	0 (.-)	90 (3-1012)	↓		n.c.	0 

Esanatoglia	Genere	Osservati	Attesi	n. cluster sign.	SIR cluster	Tasso std. * 100000 (ic)	SIR (ic)	BIR (ic)	SIR sign.	BIR sign.	Trend	Livello attenzione
Pneumoconiosi (500-505)	M	0	0	.	.	0 (0-49)	0 (.-.)	100 (20-400)	↓		n.c.	0 
Pneumoconiosi (500-505)	M + F	0	0	.	.	0 (0-24)	0 (.-.)	98 (25-347)	↓		n.c.	0 
Malattie dell'apparato digerente (520-579)	F	74	79	.	.	951 (776-1157)	94 (77-113)	99 (88-109)			↘	0 
Malattie dell'apparato digerente (520-579)	M	106	105	.	.	1460 (1234-1719)	101 (86-119)	99 (90-108)			→	0 
Malattie dell'apparato digerente (520-579)	M + F	180	184	.	.	1200 (1056-1360)	98 (87-111)	99 (89-107)			↘	0 
Cirrosi e altre malattie croniche del fegato (571)	F	<5	<5	.	.	25 (4-85)	96 (32-291)	101 (74-140)			n.c.	0 
Cirrosi e altre malattie croniche del fegato (571)	M	<5	<5	.	.	43 (12-116)	74 (30-186)	104 (66-149)			n.c.	0 
Cirrosi e altre malattie croniche del fegato (571)	M + F	5	6	2	128.6	34 (13-74)	82 (40-168)	97 (74-143)			n.c.	1 
Nefropatie croniche e acute (580-589)	F	18	9	2	171.5	217 (140-328)	212 (144-312)	152 (115-209)	↑	↑	n.c.	5 
Nefropatie croniche e acute (580-589)	M	7	10	2	117.3	83 (37-167)	73 (40-134)	89 (66-121)			n.c.	1 
Nefropatie croniche e acute (580-589)	M + F	25	18	2	145.5	158 (110-223)	139 (100-193)	120 (92-141)	↑		n.c.	3 
Malattie dell'apparato urinario (580-599)	F	34	22	.	.	419 (308-563)	154 (116-204)	119 (97-151)	↑		→	2 
Malattie dell'apparato urinario (580-599)	M	29	28	.	.	376 (268-519)	102 (75-138)	89 (73-103)			→	0 
Malattie dell'apparato urinario (580-599)	M + F	63	51	.	.	404 (324-501)	125 (101-154)	104 (87-116)	↑		→	2 




































Esanotogia				n. cluster sign.	SIR cluster	Tasso std. * 100000 (ic)	SIR (ic)	BIR (ic)	SIR sign.	BIR sign.	Trend	Livello attenzione
Causa (ICD-IX)	Genere	Osservati	Attesi									
Calcolosi del rene e delle vie urinarie (592, 594)	F	6	4	.	.	77 (33-156)	158 (82-306)	105 (75-170)			n.c.	0 
Calcolosi del rene e delle vie urinarie (592, 594)	M	12	7	.	.	156 (90-258)	172 (108-276)	102 (76-138)	↑		n.c.	2 
Calcolosi del rene e delle vie urinarie (592, 594)	M + F	18	11	.	.	116 (75-174)	167 (114-246)	110 (85-141)	↑		n.c.	2 
Endometriosi (617)	F	<5	<5	1	152.7	39 (11-107)	114 (46-286)	114 (82-156)			n.c.	2 
Aborto spontaneo (634)	F	5	8	.	.	69 (27-149)	63 (31-130)	58 (38-92)		↓	n.c.	0 
Malformazioni congenite (740-759)	F	8	10	.	.	100 (50-256)	83 (47-147)	95 (80-119)			n.c.	0 
Malformazioni congenite (740-759)	M	8	14	.	.	110 (55-204)	59 (33-105)	86 (72-111)			n.c.	0 
Malformazioni congenite (740-759)	M + F	16	23	.	.	105 (66-193)	68 (45-103)	91 (72-106)			→	0 

Tabella 44. Primi ricoveri ospedalieri per causa nel comune di Fabriano, tutte le età – Anni 2006-2012, confronto Regione Marche

Fabriano				n. cluster sign.	SIR cluster	Tasso std. * 100000 (ic)	SIR (ic)	BIR (ic)	SIR sign.	BIR sign.	Trend	Livello attenzione
Causa (ICD-IX)	Genere	Osservati	Attesi									
Tumori maligni delle vie aeree e digestive superiori (140-150, 161)	F	12	13	.	.	11 (6-17)	96 (60-153)	104 (81-137)			n.c.	0 
Tumori maligni delle vie aeree e digestive superiori (140-150, 161)	M	33	37	.	.	31 (23-42)	89 (67-118)	98 (84-112)			→	0 
Tumori maligni delle vie aeree e digestive superiori (140-150, 161)	M + F	45	50	.	.	21 (16-27)	90 (71-115)	95 (84-111)			↘	0 
Tumori maligni (140-208)	F	908	809	.	.	765 (724-808)	112 (106-118)	110 (105-116)	↑	↑	→	4 
Tumori maligni (140-208)	M	984	866	.	.	930 (882-981)	114 (108-120)	112 (106-117)	↑	↑	↗	6 
Tumori maligni (140-208)	M + F	1892	1675	.	.	845 (813-878)	113 (109-117)	111 (109-115)	↑	↑	→	4 
Tumori maligni dell'esofago (150)	F	<5	<5	.	.	1 (0-4)	49 (11-218)	102 (63-146)			n.c.	0 
Tumori maligni dell'esofago (150)	M	0	5	.	.	0 (0-3)	0 (.-)	66 (38-102)	↓		n.c.	0 
Tumori maligni dell'esofago (150)	M + F	<5	>5	.	.	0 (0-2)	14 (3-62)	85 (59-109)	↓		n.c.	0 
Tumori maligni dello stomaco (151)	F	36	37	.	.	29 (21-38)	98 (75-129)	106 (87-127)			↘	0 
Tumori maligni dello stomaco (151)	M	51	44	.	.	48 (37-60)	116 (92-146)	111 (94-132)			→	0 
Tumori maligni dello stomaco (151)	M + F	87	81	.	.	38 (32-45)	108 (90-129)	106 (90-118)			↘	0 
Tumori maligni dell'intestino tenue, compreso il duodeno (152)	F	<5	<5	.	.	1 (0-4)	45 (10-202)	55 (26-103)			n.c.	0 















Fabriano												
Causa (ICD-IX)	Genere	Osservati	Attesi	n. cluster sign.	SIR cluster	Tasso std. * 100000 (ic)	SIR (ic)	BIR (ic)	SIR sign.	BIR sign.	Trend	Livello attenzione
Tumori maligni dell'intestino tenue, compreso il duodeno (152)	M	<5	<5	.	.	4 (1-9)	111 (50-246)	100 (72-134)			n.c.	0
Tumori maligni dell'intestino tenue, compreso il duodeno (152)	M + F	5	6	.	.	2 (1-5)	86 (42-176)	85 (52-122)			n.c.	0
Tumori maligni del colon (153)	F	53	77	.	.	44 (35-55)	69 (55-86)	81 (72-93)	↓	↓	→	0
Tumori maligni del colon (153)	M	100	84	.	.	95 (80-112)	119 (101-140)	113 (98-129)	↑		→	2
Tumori maligni del colon (153)	M + F	153	161	.	.	69 (60-79)	95 (83-108)	97 (86-105)			→	0
Tumori maligni del colon-retto (153-154)	F	76	107	.	.	63 (51-76)	71 (59-86)	84 (77-95)	↓	↓	→	0
Tumori maligni del colon-retto (153-154)	M	139	124	.	.	132 (114-152)	112 (97-129)	109 (97-123)			→	0
Tumori maligni del colon-retto (153-154)	M + F	215	231	.	.	96 (86-108)	93 (83-104)	96 (89-104)			→	0
Tumori maligni del retto, della giunzione retto-sigmoidea e dell'ano (154)	F	24	36	1	122.3	20 (14-28)	68 (48-94)	91 (72-106)	↓		↘	2
Tumori maligni del retto, della giunzione retto-sigmoidea e dell'ano (154)	M	44	47	.	.	42 (32-54)	93 (73-119)	97 (81-115)			→	0
Tumori maligni del retto, della giunzione retto-sigmoidea e dell'ano (154)	M + F	68	83	.	.	31 (25-38)	82 (67-100)	90 (81-103)			↘	0
Tumore fegato e dotti biliari (1550-1551)	F	8	8	.	.	7 (3-12)	97 (55-172)	86 (55-136)			n.c.	0
Tumore fegato e dotti biliari (1550-1551)	M	24	17	1	153.2	23 (16-32)	144 (103-201)	114 (92-144)	↑		n.c.	3
Tumore fegato e dotti biliari (1550-1551)	M + F	32	25	.	.	14 (10-19)	128 (96-171)	111 (82-141)			→	0















Fabriano												
Causa (ICD-IX)	Genere	Osservati	Attesi	n. cluster sign.	SIR cluster	Tasso std. * 100000 (ic)	SIR (ic)	BIR (ic)	SIR sign.	BIR sign.	Trend	Livello attenzione
Tumori maligni del pancreas (157)	F	27	24	.	.	22 (15-30)	112 (81-153)	112 (93-140)			→	0
Tumori maligni del pancreas (157)	M	26	23	.	.	24 (17-34)	112 (82-155)	106 (86-130)			→	0
Tumori maligni del pancreas (157)	M + F	53	47	1	113.6	23 (18-29)	112 (89-140)	106 (92-119)			→	2
Tumore del retroperitoneo (1580)	F	0	2	.	.	0 (0-3)	0 (.-)	106 (67-143)	↓		n.c.	0
Tumore del retroperitoneo (1580)	M	<5	<5	.	.	2 (0-6)	162 (53-488)	103 (57-199)			n.c.	0
Tumore del retroperitoneo (1580)	M + F	<5	<5	.	.	1 (0-3)	71 (23-213)	101 (69-152)			n.c.	0
Tumori maligni del naso (1600)	F	<5	<5	.	.	1 (0-4)	226 (50-1014)	86 (41-185)			n.c.	0
Tumori maligni del naso (1600)	M	<5	<5	.	.	1 (0-5)	116 (26-518)	98 (70-135)			n.c.	0
Tumori maligni del naso (1600)	M + F	<5	<5	.	.	1 (0-3)	153 (51-462)	95 (65-137)			n.c.	0
Tumori maligni della laringe (161)	F	<5	<5	.	.	3 (1-7)	208 (83-520)	84 (49-176)			n.c.	0
Tumori maligni della laringe (161)	M	13	16	.	.	12 (7-20)	83 (53-131)	100 (82-115)			n.c.	0
Tumori maligni della laringe (161)	M + F	16	17	.	.	7 (5-11)	94 (62-141)	104 (79-130)			n.c.	0
Tumori maligni della trachea, dei bronchi e dei polmoni (162)	F	35	34	.	.	29 (21-38)	102 (78-135)	92 (72-111)			n.c.	0
Tumori maligni della trachea, dei bronchi e dei polmoni (162)	M	81	100	.	.	77 (63-92)	81 (68-97)	89 (78-101)	↓		↘	0

Fabriano												
Causa (ICD-IX)	Genere	Osservati	Attesi	n. cluster sign.	SIR cluster	Tasso std. * 100000 (ic)	SIR (ic)	BIR (ic)	SIR sign.	BIR sign.	Trend	Livello attenzione
Tumori maligni della trachea, dei bronchi e dei polmoni (162)	M + F	116	134	.	.	52 (44-61)	87 (74-101)	92 (84-102)			→	0 
Tumori maligni della pleura (163)	F	<5	<5	.	.	2 (1-7)	153 (61-383)	93 (46-169)			n.c.	0 
Tumori maligni della pleura (163)	M	8	4	.	.	8 (4-14)	184 (104-327)	117 (71-188)	↑		n.c.	2 
Tumori maligni della pleura (163)	M + F	11	6	.	.	5 (3-8)	174 (107-285)	132 (74-211)	↑		n.c.	2 
Mesoteliomi pleurici e peritoneali (1588, 163)	F	5	3	.	.	4 (2-9)	184 (90-379)	113 (84-163)			n.c.	0 
Mesoteliomi pleurici e peritoneali (1588, 163)	M	8	5	.	.	8 (4-14)	167 (94-296)	117 (70-193)			n.c.	0 
Mesoteliomi pleurici e peritoneali (1588, 163)	M + F	13	8	.	.	6 (3-9)	173 (110-272)	113 (78-154)	↑		n.c.	2 
Tumori maligni delle ossa e della cartilagine articolare (170)	F	<5	<5	.	.	4 (1-8)	157 (70-349)	103 (76-129)			n.c.	0 
Tumori maligni delle ossa e della cartilagine articolare (170)	M	5	3	.	.	5 (2-10)	164 (80-337)	98 (79-117)			n.c.	0 
Tumori maligni delle ossa e della cartilagine articolare (170)	M + F	9	6	.	.	4 (2-7)	160 (93-276)	112 (76-160)			n.c.	0 
Tumori maligni del connettivo e di altri tessuti molli (171)	F	7	7	.	.	6 (3-11)	105 (57-195)	99 (73-122)			n.c.	0 
Tumori maligni del connettivo e di altri tessuti molli (171)	M	9	8	.	.	8 (4-15)	112 (65-192)	91 (65-125)			n.c.	0 
Tumori maligni del connettivo e di altri tessuti molli (171)	M + F	16	15	.	.	7 (4-11)	109 (72-164)	96 (77-133)			n.c.	0 
Melanoma maligno della pelle (172)	F	19	17	.	.	17 (11-24)	114 (79-166)	92 (75-121)			n.c.	0 

Fabriano												
Causa (ICD-IX)	Genere	Osservati	Attesi	n. cluster sign.	SIR cluster	Tasso std. * 100000 (ic)	SIR (ic)	BIR (ic)	SIR sign.	BIR sign.	Trend	Livello attenzione
Melanoma maligno della pelle (172)	M	18	17	.	.	17 (11-25)	106 (72-155)	96 (72-128)			n.c.	0
Melanoma maligno della pelle (172)	M + F	37	34	.	.	17 (13-22)	110 (84-144)	92 (72-108)			→	0
Tumori maligni della mammella (174-175)	F	257	211	.	.	224 (202-249)	122 (110-135)	115 (104-124)	↑	↑	→	4
Tumori maligni della mammella (174-175)	M	<5	<5	.	.	3 (1-8)	150 (60-376)	99 (75-129)			n.c.	0
Tumori maligni della mammella (174-175)	M + F	260	213	.	.	117 (105-130)	122 (110-135)	115 (105-124)	↑	↑	→	4
Tumori maligni dell'utero (179-180, 182)	F	45	46	.	.	39 (30-50)	98 (77-126)	105 (90-116)			→	0
Tumori maligni del corpo dell'utero (182)	F	34	31	.	.	29 (21-39)	110 (83-146)	108 (92-122)			→	0
Tumori maligni dell'ovaio e degli altri annessi uterini (183)	F	17	24	.	.	15 (9-22)	70 (47-104)	98 (86-109)			n.c.	0
Tumore della prostata (185)	M	104	118	.	.	101 (85-119)	88 (75-103)	92 (81-104)			→	0
Tumore del testicolo (186)	M	6	9	.	.	6 (2-11)	66 (34-127)	91 (68-120)			n.c.	0
Tumori maligni della vescica (188)	F	30	28	.	.	25 (18-33)	107 (80-145)	102 (85-120)			→	0
Tumori maligni della vescica (188)	M	141	114	.	.	134 (116-154)	123 (107-142)	114 (101-129)	↑	↑	→	4
Tumori maligni della vescica (188)	M + F	171	142	1	108.1	78 (68-88)	120 (106-136)	115 (102-129)	↑	↑	→	5
Tumori maligni del rene e di altri e non specificati organi urinari (189)	F	21	22	.	.	17 (12-25)	97 (68-139)	100 (87-114)			n.c.	0















Fabriano												
Causa (ICD-IX)	Genere	Osservati	Attesi	n. cluster sign.	SIR cluster	Tasso std. * 100000 (ic)	SIR (ic)	BIR (ic)	SIR sign.	BIR sign.	Trend	Livello attenzione
Tumori maligni del rene e di altri e non specificati organi urinari (189)	M	37	41	.	.	35 (26-46)	90 (69-118)	89 (75-105)			↘	0
Tumori maligni del rene e di altri e non specificati organi urinari (189)	M + F	58	63	.	.	26 (21-32)	92 (75-115)	90 (77-101)			→	0
Tumori maligni dell'encefalo (191)	F	20	16	.	.	17 (11-25)	129 (89-185)	115 (96-138)			→	0
Tumori maligni dell'encefalo (191)	M	18	19	.	.	17 (11-26)	97 (66-143)	99 (85-119)			→	0
Tumori maligni dell'encefalo (191)	M + F	38	34	.	.	17 (13-23)	112 (85-146)	110 (92-124)			→	0
Tumori maligni del sistema nervoso centrale (191-192)	F	21	18	.	.	18 (12-26)	119 (83-170)	106 (86-127)			→	0
Tumori maligni del sistema nervoso centrale (191-192)	M	18	20	.	.	17 (11-26)	91 (62-134)	98 (83-113)			→	0
Tumori maligni del sistema nervoso centrale (191-192)	M + F	39	37	.	.	18 (13-23)	104 (80-136)	100 (89-113)			→	0
Tumori maligni della ghiandola tiroide (193)	F	44	31	1	146.2	39 (30-50)	143 (112-183)	117 (97-148)	↑		→	3
Tumori maligni della ghiandola tiroide (193)	M	25	11	1	190.1	24 (16-33)	229 (165-318)	168 (127-226)	↑	↑	n.c.	5
Tumori maligni della ghiandola tiroide (193)	M + F	69	42	1	161.9	31 (25-38)	166 (136-202)	139 (119-163)	↑	↑	↗	6
Linfoma non Hodgkin (200, 202)	F	33	29	.	.	28 (20-37)	113 (85-150)	103 (89-118)			→	0
Linfoma non Hodgkin (200, 202)	M	31	34	.	.	29 (21-40)	90 (67-121)	98 (80-116)			↘	0
Linfoma non Hodgkin (200, 202)	M + F	64	64	.	.	28 (23-35)	101 (82-124)	101 (87-113)			→	0















Fabriano												
Causa (ICD-IX)	Genere	Osservati	Attesi	n. cluster sign.	SIR cluster	Tasso std. * 100000 (ic)	SIR (ic)	BIR (ic)	SIR sign.	BIR sign.	Trend	Livello attenzione
Tumori emolinfopoietici (200-208)	F	79	65	1	117.1	65 (54-79)	121 (101-146)	114 (103-124)	↑	↑	→	5 
Tumori emolinfopoietici (200-208)	M	75	75	.	.	70 (58-85)	101 (83-122)	105 (92-121)			→	0 
Tumori emolinfopoietici (200-208)	M + F	154	140	1	116.5	68 (59-78)	110 (97-126)	112 (102-122)		↑	→	4 
Malattia di Hodgkin (201)	F	<5	>5	.	.	3 (1-8)	69 (31-153)	90 (60-138)			n.c.	0 
Malattia di Hodgkin (201)	M	6	6	.	.	6 (2-11)	107 (55-207)	102 (79-136)			n.c.	0 
Malattia di Hodgkin (201)	M + F	10	11	.	.	5 (2-8)	88 (52-147)	93 (76-124)			n.c.	0 
Mieloma multiplo e tumori immunoproliferativi (203)	F	21	13	1	125.3	17 (11-25)	165 (116-236)	129 (98-169)	↑		n.c.	3 
Mieloma multiplo e tumori immunoproliferativi (203)	M	20	14	1	142.2	19 (12-27)	145 (101-209)	119 (94-152)	↑		→	3 
Mieloma multiplo e tumori immunoproliferativi (203)	M + F	41	27	1	130.9	18 (14-23)	155 (120-200)	135 (112-176)	↑	↑	↗	6 
Leucemie (204-208)	F	22	20	1	121.8	18 (12-26)	108 (76-153)	116 (98-138)			→	2 
Leucemie (204-208)	M	23	25	1	125.4	21 (15-30)	91 (65-128)	104 (85-128)			↘	2 
Leucemie (204-208)	M + F	45	46	1	120.9	20 (15-25)	99 (77-126)	113 (90-132)			→	2 
Gozzo non tossico (240-241)	F	60	56	1	126.7	53 (42-66)	107 (86-132)	107 (92-126)			→	2 
Gozzo non tossico (240-241)	M	26	17	1	130.3	25 (17-34)	154 (112-213)	132 (102-172)	↑	↑	→	5 

Fabriano												
Causa (ICD-IX)	Genere	Osservati	Attesi	n. cluster sign.	SIR cluster	Tasso std. * 100000 (ic)	SIR (ic)	BIR (ic)	SIR sign.	BIR sign.	Trend	Livello attenzione
Gozzo non tossico (240-241)	M + F	86	73	1	126.4	39 (33-47)	118 (99-141)	117 (100-132)			→	2 
Malattie endocrine e della nutrizione (240-2799)	F	336	438	.	.	287 (262-314)	77 (70-84)	78 (72-86)	↓	↓	↘	0 
Malattie endocrine e della nutrizione (240-2799)	M	249	314	.	.	237 (213-263)	79 (71-88)	81 (74-89)	↓	↓	→	0 
Malattie endocrine e della nutrizione (240-2799)	M + F	585	752	.	.	263 (245-281)	78 (73-83)	79 (73-82)	↓	↓	→	0 
Tireotossicosi (242)	F	18	20	.	.	16 (10-24)	89 (61-131)	102 (74-132)			↘	0 
Tireotossicosi (242)	M	<5	>5	.	.	4 (1-9)	61 (27-136)	89 (55-134)			n.c.	0 
Tireotossicosi (242)	M + F	22	27	.	.	10 (7-14)	82 (58-117)	95 (77-116)			↘	0 
Ipotiroidismo (243-244)	F	<5	>5	.	.	3 (1-8)	48 (21-106)	79 (56-115)			n.c.	0 
Ipotiroidismo (243-244)	M	8	7	.	.	7 (4-14)	111 (63-198)	98 (76-132)			n.c.	0 
Ipotiroidismo (243-244)	M + F	12	16	.	.	5 (3-9)	77 (48-123)	89 (71-104)			n.c.	0 
Diabete mellito (250)	F	59	89	.	.	49 (39-61)	66 (53-82)	67 (56-77)	↓	↓	↘	0 
Diabete mellito (250)	M	61	96	.	.	58 (46-72)	64 (52-79)	65 (54-78)	↓	↓	→	0 
Diabete mellito (250)	M + F	120	185	.	.	54 (46-62)	65 (56-75)	67 (55-76)	↓	↓	↘	0 
Malattie del sangue e degli organi emopoietici (280-289)	F	134	134	1	117.5	112 (96-129)	100 (87-115)	97 (86-113)			↘	2 

Fabriano												
Causa (ICD-IX)	Genere	Osservati	Attesi	n. cluster sign.	SIR cluster	Tasso std. * 100000 (ic)	SIR (ic)	BIR (ic)	SIR sign.	BIR sign.	Trend	Livello attenzione
Malattie del sangue e degli organi emopoietici (280-289)	M	104	106	1	118.7	97 (82-115)	98 (83-115)	100 (87-114)			↘	2 😊
Malattie del sangue e degli organi emopoietici (280-289)	M + F	238	240	1	117.5	105 (94-117)	99 (89-110)	98 (91-110)			↘	2 😊
Malattie neuro-psichiatriche (escluse tossicod.) (290-303, 306-319)	F	157	206	.	.	131 (114-149)	76 (67-87)	77 (70-87)	↓	↓	→	0 😬
Malattie neuro-psichiatriche (escluse tossicod.) (290-303, 306-319)	M	180	214	.	.	169 (149-191)	84 (75-95)	83 (75-94)	↓	↓	→	0 😬
Malattie neuro-psichiatriche (escluse tossicod.) (290-303, 306-319)	M + F	337	420	.	.	149 (136-163)	80 (73-88)	78 (73-86)	↓	↓	↘	0 😬
Malattie del sistema nervoso e degli organi di senso (320-389)	F	1374	1454	.	.	1157 (1106-1210)	94 (90-99)	94 (91-99)	↓	↓	↘	0 😬
Malattie del sistema nervoso e degli organi di senso (320-389)	M	1131	1079	.	.	1072 (1020-1126)	105 (100-110)	103 (98-108)			↘	0 😬
Malattie del sistema nervoso e degli organi di senso (320-389)	M + F	2505	2533	.	.	1116 (1079-1153)	99 (96-102)	99 (95-101)			↘	0 😬
Malattia di Alzheimer (3310)	F	26	48	.	.	21 (15-29)	54 (39-74)	52 (38-67)	↓	↓	n.c.	0 😬
Malattia di Alzheimer (3310)	M	11	22	.	.	10 (6-17)	50 (31-82)	54 (35-81)	↓	↓	n.c.	0 😬
Malattia di Alzheimer (3310)	M + F	37	70	.	.	16 (12-21)	53 (40-69)	54 (43-65)	↓	↓	→	0 😬
Morbo di Parkinson (3320)	F	10	15	.	.	8 (4-14)	69 (41-115)	94 (60-133)			↘	0 😬
Morbo di Parkinson (3320)	M	8	17	.	.	7 (4-14)	47 (26-83)	69 (48-95)	↓	↓	n.c.	0 😬
Morbo di Parkinson (3320)	M + F	18	32	.	.	8 (5-12)	57 (39-84)	73 (55-101)	↓		↘	0 😬

Fabriano												
Causa (ICD-IX)	Genere	Osservati	Attesi	n. cluster sign.	SIR cluster	Tasso std. * 100000 (ic)	SIR (ic)	BIR (ic)	SIR sign.	BIR sign.	Trend	Livello attenzione
Malattia dei neuroni motori (3352)	F	<5	>5	.	.	2 (0-5)	35 (11-104)	45 (29-79)		↓	n.c.	0
Malattia dei neuroni motori (3352)	M	<5	>5	.	.	2 (0-6)	40 (13-121)	81 (55-112)			n.c.	0
Malattia dei neuroni motori (3352)	M + F	<5	>5	.	.	2 (1-4)	37 (17-83)	63 (38-91)	↓	↓	n.c.	0
Sclerosi multipla (340)	F	28	21	.	.	25 (18-34)	137 (100-186)	115 (90-152)	↑		→	2
Sclerosi multipla (340)	M	17	10	.	.	16 (10-24)	166 (112-247)	112 (91-151)	↑		↗	3
Sclerosi multipla (340)	M + F	45	31	1	134.7	21 (16-26)	147 (115-187)	122 (102-151)	↑	↑	→	5
Malattie cardiache (390-429)	F	821	967	.	.	657 (619-696)	85 (80-90)	86 (82-91)	↓	↓	↘	0
Malattie cardiache (390-429)	M	1069	1093	.	.	1005 (955-1057)	98 (93-103)	97 (93-102)			↘	0
Malattie cardiache (390-429)	M + F	1890	2059	.	.	826 (795-858)	92 (88-95)	92 (88-96)	↓	↓	↘	0
Malattie dell'apparato circolatorio (390-459)	F	1503	1744	.	.	1220 (1169-1274)	86 (83-90)	87 (85-92)	↓	↓	↘	0
Malattie dell'apparato circolatorio (390-459)	M	1726	1825	.	.	1625 (1561-1691)	95 (91-98)	95 (92-98)	↓	↓	↘	0
Malattie dell'apparato circolatorio (390-459)	M + F	3229	3569	.	.	1417 (1376-1458)	90 (88-93)	91 (89-94)	↓	↓	↘	0
Malattie ischemiche del cuore (410-4149)	F	236	292	.	.	192 (172-214)	81 (73-90)	84 (78-92)	↓	↓	↘	0
Malattie ischemiche del cuore (410-4149)	M	511	501	.	.	486 (451-523)	102 (95-110)	101 (93-107)			↘	0

Fabriano												
Causa (ICD-IX)	Genere	Osservati	Attesi	n. cluster sign.	SIR cluster	Tasso std. * 100000 (ic)	SIR (ic)	BIR (ic)	SIR sign.	BIR sign.	Trend	Livello attenzione
Malattie ischemiche del cuore (410-4149)	M + F	747	793	.	.	335 (315-356)	94 (89-100)	95 (90-99)		↓	↘	0 
Insufficienza cardiaca (scompenso cardiaco) (428)	F	294	382	.	.	227 (205-250)	77 (70-85)	82 (76-88)	↓	↓	→	0 
Insufficienza cardiaca (scompenso cardiaco) (428)	M	306	303	.	.	280 (254-308)	101 (92-111)	100 (92-109)			→	0 
Insufficienza cardiaca (scompenso cardiaco) (428)	M + F	600	685	.	.	253 (236-271)	88 (82-94)	90 (84-95)	↓	↓	→	0 
Malattie cerebrovascolari (430-438)	F	463	533	.	.	365 (337-394)	87 (80-94)	90 (84-98)	↓	↓	↘	0 
Malattie cerebrovascolari (430-438)	M	425	473	.	.	394 (363-427)	90 (83-97)	92 (85-98)	↓	↓	↘	0 
Malattie cerebrovascolari (430-438)	M + F	888	1006	.	.	379 (358-401)	88 (84-93)	89 (85-94)	↓	↓	↘	0 
Malattie dell'apparato respiratorio (460-5199)	F	985	906	1	107.2	815 (772-859)	109 (103-115)	109 (103-116)	↑	↑	→	5 
Malattie dell'apparato respiratorio (460-5199)	M	1149	1088	1	108.2	1079 (1027-1133)	106 (101-111)	105 (101-110)	↑	↑	↘	4 
Malattie dell'apparato respiratorio (460-5199)	M + F	2134	1994	1	107.3	943 (909-977)	107 (103-111)	108 (105-112)	↑	↑	↘	4 
Malattie polmonari cronico ostruttive (490-492, 494, 496)	F	65	91	.	.	51 (41-62)	71 (58-87)	75 (60-90)	↓	↓	↘	0 
Malattie polmonari cronico ostruttive (490-492, 494, 496)	M	71	122	.	.	65 (53-80)	58 (48-71)	64 (53-74)	↓	↓	↘	0 
Malattie polmonari cronico ostruttive (490-492, 494, 496)	M + F	136	213	.	.	58 (50-67)	64 (55-73)	66 (58-75)	↓	↓	↘	0 
Pneumoconiosi (500-505)	F	0	0	.	.	0 (0-3)	0 (.-)	65 (25-156)	↓		n.c.	0 

Fabriano												
Causa (ICD-IX)	Genere	Osservati	Attesi	n. cluster sign.	SIR cluster	Tasso std. * 100000 (ic)	SIR (ic)	BIR (ic)	SIR sign.	BIR sign.	Trend	Livello attenzione
Pneumoconiosi (500-505)	M	<5	<5	.	.	1 (0-5)	51 (11-228)	69 (23-150)			n.c.	0 
Pneumoconiosi (500-505)	M + F	<5	<5	.	.	0 (0-2)	45 (10-203)	67 (32-118)			n.c.	0 
Malattie dell'apparato digerente (520-579)	F	1204	1162	1	107.5	1032 (983-1082)	104 (99-109)	104 (100-108)		↑	↘	4 
Malattie dell'apparato digerente (520-579)	M	1608	1541	.	.	1529 (1467-1594)	104 (100-109)	104 (100-108)	↑	↑	↘	4 
Malattie dell'apparato digerente (520-579)	M + F	2812	2702	1	106.3	1273 (1234-1314)	104 (101-107)	104 (100-107)	↑	↑	↘	4 
Cirrosi e altre malattie croniche del fegato (571)	F	29	31	.	.	25 (18-34)	93 (69-126)	98 (83-125)			↘	0 
Cirrosi e altre malattie croniche del fegato (571)	M	43	52	.	.	41 (31-53)	82 (64-106)	87 (70-107)			↘	0 
Cirrosi e altre malattie croniche del fegato (571)	M + F	72	84	.	.	33 (27-40)	86 (71-105)	95 (79-114)			↘	0 
Nefropatie croniche e acute (580-589)	F	112	123	.	.	89 (75-104)	91 (78-106)	97 (85-116)			↘	0 
Nefropatie croniche e acute (580-589)	M	131	145	.	.	121 (104-140)	91 (79-105)	93 (82-107)			↘	0 
Nefropatie croniche e acute (580-589)	M + F	243	268	.	.	105 (94-116)	91 (82-101)	94 (86-104)			↘	0 
Malattie dell'apparato urinario (580-599)	F	305	320	.	.	254 (231-280)	95 (87-105)	94 (85-104)			↘	0 
Malattie dell'apparato urinario (580-599)	M	367	429	.	.	344 (315-376)	86 (79-93)	88 (81-94)	↓	↓	↘	0 
Malattie dell'apparato urinario (580-599)	M + F	672	749	.	.	298 (279-318)	90 (84-96)	91 (85-95)	↓	↓	↘	0 


















































Fabriano												
Causa (ICD-IX)	Genere	Osservati	Attesi	n. cluster sign.	SIR cluster	Tasso std. * 100000 (ic)	SIR (ic)	BIR (ic)	SIR sign.	BIR sign.	Trend	Livello attenzione
Calcolosi del rene e delle vie urinarie (592, 594)	F	67	51	.	.	58 (47-72)	132 (108-161)	107 (86-123)	↑		→	2 
Calcolosi del rene e delle vie urinarie (592, 594)	M	106	105	.	.	100 (85-118)	101 (86-119)	102 (90-114)			↘	0 
Calcolosi del rene e delle vie urinarie (592, 594)	M + F	173	156	.	.	79 (69-89)	111 (98-126)	107 (96-119)			↘	0 
Endometriosi (617)	F	48	42	.	.	42 (33-54)	115 (91-146)	120 (92-145)			↗	1 
Aborto spontaneo (634)	F	65	114	.	.	57 (46-70)	57 (47-70)	56 (49-66)	↓	↓	↘	0 
Malformazioni congenite (740-759)	F	146	148	.	.	128 (111-147)	99 (86-113)	99 (89-111)			→	0 
Malformazioni congenite (740-759)	M	171	210	.	.	164 (144-186)	81 (72-92)	84 (77-92)	↓	↓	↘	0 
Malformazioni congenite (740-759)	M + F	317	358	.	.	146 (132-160)	88 (81-97)	90 (86-99)	↓	↓	→	0 















Tabella 45. Primi ricoveri ospedalieri per causa nel comune di Fiuminata, tutte le età – Anni 2006-2012, confronto Regione Marche.

Fiuminata												
Causa (ICD-IX)	Genere	Osservati	Attesi	n. cluster sign.	SIR cluster	Tasso std. * 100000 (ic)	SIR (ic)	BIR (ic)	SIR sign.	BIR sign.	Trend	Livello attenzione
Tumori maligni delle vie aeree e digestive superiori (140-150, 161)	F	0	1	.	.	0 (0-88)	0 (.-)	94 (72-117)	↓		n.c.	0 
Tumori maligni delle vie aeree e digestive superiori (140-150, 161)	M	<5	<5	.	.	30 (5-115)	93 (31-280)	99 (79-121)			n.c.	0 
Tumori maligni delle vie aeree e digestive superiori (140-150, 161)	M + F	<5	<5	.	.	15 (3-65)	70 (23-211)	95 (82-116)			n.c.	0 
Tumori maligni (140-208)	F	37	46	.	.	569 (419-775)	81 (62-107)	94 (85-105)			→	0 
Tumori maligni (140-208)	M	47	51	.	.	718 (553-928)	93 (73-118)	98 (89-109)			→	0 
Tumori maligni (140-208)	M + F	84	96	.	.	646 (532-786)	87 (73-104)	95 (86-105)			→	0 
Tumori maligni dell'esofago (150)	F	0	0	.	.	0 (0-88)	0 (.-)	103 (59-205)	↓		n.c.	0 
Tumori maligni dell'esofago (150)	M	0	0	.	.	0 (0-70)	0 (.-)	71 (39-118)	↓		n.c.	0 
Tumori maligni dell'esofago (150)	M + F	0	0	.	.	0 (0-45)	0 (.-)	87 (41-128)	↓		n.c.	0 
Tumori maligni dello stomaco (151)	F	<5	<5	.	.	35 (9-131)	137 (55-343)	114 (89-153)			n.c.	0 
Tumori maligni dello stomaco (151)	M	<5	<5	.	.	61 (21-156)	153 (69-341)	112 (87-148)			n.c.	0 
Tumori maligni dello stomaco (151)	M + F	7	5	.	.	46 (21-103)	146 (79-268)	116 (95-144)			n.c.	0 
Tumori maligni dell'intestino tenue, compreso il duodeno (152)	F	0	0	.	.	0 (0-88)	0 (.-)	60 (28-131)	↓		n.c.	0 















Fiuminata												
Causa (ICD-IX)	Genere	Osservati	Attesi	n. cluster sign.	SIR cluster	Tasso std. * 100000 (ic)	SIR (ic)	BIR (ic)	SIR sign.	BIR sign.	Trend	Livello attenzione
Tumori maligni dell'intestino tenue, compreso il duodeno (152)	M	0	0	.	.	0 (0-70)	0 (.-)	97 (70-136)	↓		n.c.	0 
Tumori maligni dell'intestino tenue, compreso il duodeno (152)	M + F	0	0	.	.	0 (0-45)	0 (.-)	95 (52-141)	↓		n.c.	0 
Tumori maligni del colon (153)	F	<5	>5	.	.	57 (19-164)	88 (39-195)	91 (72-112)			n.c.	0 
Tumori maligni del colon (153)	M	6	5	.	.	97 (42-205)	121 (63-234)	105 (85-131)			n.c.	0 
Tumori maligni del colon (153)	M + F	10	10	.	.	76 (41-144)	105 (63-175)	94 (74-116)			n.c.	0 
Tumori maligni del colon-retto (153-154)	F	<5	>5	.	.	57 (19-164)	64 (29-141)	96 (77-109)			n.c.	0 
Tumori maligni del colon-retto (153-154)	M	9	7	.	.	142 (74-261)	123 (72-212)	103 (85-125)			n.c.	0 
Tumori maligni del colon-retto (153-154)	M + F	13	14	.	.	98 (58-169)	95 (61-150)	98 (80-115)			n.c.	0 
Tumori maligni del retto, della giunzione retto-sigmoidea e dell'ano (154)	F	0	2	.	.	0 (0-88)	0 (.-)	99 (80-126)	↓		n.c.	0 
Tumori maligni del retto, della giunzione retto-sigmoidea e dell'ano (154)	M	<5	<5	.	.	58 (20-152)	144 (65-322)	104 (82-138)			n.c.	0 
Tumori maligni del retto, della giunzione retto-sigmoidea e dell'ano (154)	M + F	<5	>5	.	.	28 (10-82)	82 (37-183)	100 (81-119)			n.c.	0 
Tumore fegato e dotti biliari (1550-1551)	F	0	1	.	.	0 (0-88)	0 (.-)	83 (57-147)	↓		n.c.	0 
Tumore fegato e dotti biliari (1550-1551)	M	0	1	.	.	0 (0-70)	0 (.-)	96 (69-127)	↓		n.c.	0 
Tumore fegato e dotti biliari (1550-1551)	M + F	0	2	.	.	0 (0-45)	0 (.-)	95 (56-138)	↓		n.c.	0 















Fiuminata												
Causa (ICD-IX)	Genere	Osservati	Attesi	n. cluster sign.	SIR cluster	Tasso std. * 100000 (ic)	SIR (ic)	BIR (ic)	SIR sign.	BIR sign.	Trend	Livello attenzione
Tumori maligni del pancreas (157)	F	<5	<5	.	.	12 (1-103)	69 (15-308)	105 (87-128)			n.c.	0 
Tumori maligni del pancreas (157)	M	<5	<5	.	.	9 (0-82)	73 (16-329)	106 (82-144)			n.c.	0 
Tumori maligni del pancreas (157)	M + F	<5	<5	1	113.6	13 (2-62)	71 (23-215)	104 (91-128)			n.c.	2 
Tumore del retroperitoneo (1580)	F	0	0	.	.	0 (0-88)	0 (.-)	110 (75-165)	↓		n.c.	0 
Tumore del retroperitoneo (1580)	M	0	0	.	.	0 (0-70)	0 (.-)	95 (49-179)	↓		n.c.	0 
Tumore del retroperitoneo (1580)	M + F	0	0	.	.	0 (0-45)	0 (.-)	91 (59-138)	↓		n.c.	0 
Tumori maligni del naso (1600)	F	0	0	.	.	0 (0-88)	0 (.-)	68 (26-224)	↓		n.c.	0 
Tumori maligni del naso (1600)	M	0	0	.	.	0 (0-70)	0 (.-)	96 (71-138)	↓		n.c.	0 
Tumori maligni del naso (1600)	M + F	0	0	.	.	0 (0-45)	0 (.-)	92 (46-146)	↓		n.c.	0 
Tumori maligni della laringe (161)	F	0	0	.	.	0 (0-88)	0 (.-)	66 (43-130)	↓		n.c.	0 
Tumori maligni della laringe (161)	M	<5	<5	.	.	15 (1-92)	110 (25-495)	102 (82-122)			n.c.	0 
Tumori maligni della laringe (161)	M + F	<5	<5	.	.	7 (0-55)	101 (23-455)	109 (82-139)			n.c.	0 
Tumori maligni della trachea, dei bronchi e dei polmoni (162)	F	<5	<5	.	.	48 (13-155)	151 (60-378)	90 (69-110)			n.c.	0 
Tumori maligni della trachea, dei bronchi e dei polmoni (162)	M	8	6	1	119.6	122 (60-237)	135 (76-240)	101 (85-122)			n.c.	2 















Fiuminata												
Causa (ICD-IX)	Genere	Osservati	Attesi	n. cluster sign.	SIR cluster	Tasso std. * 100000 (ic)	SIR (ic)	BIR (ic)	SIR sign.	BIR sign.	Trend	Livello attenzione
Tumori maligni della trachea, dei bronchi e dei polmoni (162)	M + F	11	8	.	.	85 (47-154)	138 (85-226)	103 (86-129)			n.c.	0
Tumori maligni della pleura (163)	F	0	0	.	.	0 (0-88)	0 (.-)	67 (37-166)	↓		n.c.	0
Tumori maligni della pleura (163)	M	0	0	.	.	0 (0-70)	0 (.-)	98 (50-186)	↓		n.c.	0
Tumori maligni della pleura (163)	M + F	0	0	.	.	0 (0-45)	0 (.-)	89 (47-208)	↓		n.c.	0
Mesoteliomi pleurici e peritoneali (1588, 163)	F	0	0	.	.	0 (0-88)	0 (.-)	109 (80-138)	↓		n.c.	0
Mesoteliomi pleurici e peritoneali (1588, 163)	M	<5	<5	.	.	17 (1-98)	353 (79-1582)	119 (61-225)			n.c.	0
Mesoteliomi pleurici e peritoneali (1588, 163)	M + F	<5	<5	.	.	8 (0-57)	225 (50-1010)	115 (60-195)			n.c.	0
Tumori maligni delle ossa e della cartilagine articolare (170)	F	0	0	.	.	0 (0-88)	0 (.-)	98 (72-132)	↓		n.c.	0
Tumori maligni delle ossa e della cartilagine articolare (170)	M	<5	<5	.	.	16 (1-94)	594 (133-2663)	95 (79-116)	↑		n.c.	2
Tumori maligni delle ossa e della cartilagine articolare (170)	M + F	<5	<5	.	.	8 (0-56)	325 (73-1459)	111 (78-185)			n.c.	0
Tumori maligni del connettivo e di altri tessuti molli (171)	F	0	0	.	.	0 (0-88)	0 (.-)	93 (64-121)	↓		n.c.	0
Tumori maligni del connettivo e di altri tessuti molli (171)	M	0	1	.	.	0 (0-70)	0 (.-)	77 (46-120)	↓		n.c.	0
Tumori maligni del connettivo e di altri tessuti molli (171)	M + F	0	1	.	.	0 (0-45)	0 (.-)	80 (53-107)	↓		n.c.	0
Melanoma maligno della pelle (172)	F	0	1	.	.	0 (0-88)	0 (.-)	81 (64-111)	↓		n.c.	0

Fiuminata												
Causa (ICD-IX)	Genere	Osservati	Attesi	n. cluster sign.	SIR cluster	Tasso std. * 100000 (ic)	SIR (ic)	BIR (ic)	SIR sign.	BIR sign.	Trend	Livello attenzione
Melanoma maligno della pelle (172)	M	0	1	.	.	0 (0-70)	0 (-.)	74 (45-109)	↓		n.c.	0 
Melanoma maligno della pelle (172)	M + F	0	2	.	.	0 (0-45)	0 (-.)	68 (51-92)	↓	↓	n.c.	0 
Tumori maligni della mammella (174-175)	F	6	11	.	.	115 (48-248)	53 (28-103)	96 (83-111)			n.c.	0 
Tumori maligni della mammella (174-175)	M	0	0	.	.	0 (0-70)	0 (-.)	101 (77-130)	↓		n.c.	0 
Tumori maligni della mammella (174-175)	M + F	6	11	.	.	59 (25-128)	53 (27-102)	97 (83-111)			n.c.	0 
Tumori maligni dell'utero (179-180, 182)	F	<5	<5	.	.	37 (6-141)	82 (27-246)	103 (89-117)			n.c.	0 
Tumori maligni del corpo dell'utero (182)	F	<5	<5	.	.	21 (1-120)	58 (13-262)	104 (91-118)			n.c.	0 
Tumori maligni dell'ovaio e degli altri annessi uterini (183)	F	<5	<5	.	.	18 (1-115)	76 (17-340)	101 (90-116)			n.c.	0 
Tumore della prostata (185)	M	<5	>5	.	.	63 (21-159)	58 (26-129)	93 (72-116)			n.c.	0 
Tumore del testicolo (186)	M	0	1	.	.	0 (0-70)	0 (-.)	92 (66-129)	↓		n.c.	0 
Tumori maligni della vescica (188)	F	5	2	.	.	75 (28-188)	300 (146-616)	96 (76-119)	↑		n.c.	2 
Tumori maligni della vescica (188)	M	7	7	.	.	102 (47-210)	103 (56-189)	100 (82-119)			n.c.	0 
Tumori maligni della vescica (188)	M + F	12	9	1	108.1	91 (52-160)	141 (88-226)	104 (91-126)			n.c.	2 
Tumori maligni del rene e di altri e non specificati organi urinari (189)	F	<5	<5	.	.	21 (1-121)	80 (18-360)	99 (84-115)			n.c.	0 















Fiuminata												
Causa (ICD-IX)	Genere	Osservati	Attesi	n. cluster sign.	SIR cluster	Tasso std. * 100000 (ic)	SIR (ic)	BIR (ic)	SIR sign.	BIR sign.	Trend	Livello attenzione
Tumori maligni del rene e di altri e non specificati organi urinari (189)	M	0	2	.	.	0 (0-70)	0 (.-)	89 (69-109)	↓		n.c.	0
Tumori maligni del rene e di altri e non specificati organi urinari (189)	M + F	<5	<5	.	.	11 (1-62)	27 (6-123)	84 (70-108)			n.c.	0
Tumori maligni dell'encefalo (191)	F	<5	<5	.	.	22 (1-123)	119 (26-532)	111 (70-143)			n.c.	0
Tumori maligni dell'encefalo (191)	M	0	1	.	.	0 (0-70)	0 (.-)	98 (80-117)	↓		n.c.	0
Tumori maligni dell'encefalo (191)	M + F	<5	<5	.	.	12 (1-63)	53 (12-239)	104 (89-121)			n.c.	0
Tumori maligni del sistema nervoso centrale (191-192)	F	<5	<5	.	.	22 (1-123)	104 (23-468)	98 (82-135)			n.c.	0
Tumori maligni del sistema nervoso centrale (191-192)	M	0	1	.	.	0 (0-70)	0 (.-)	97 (82-114)	↓		n.c.	0
Tumori maligni del sistema nervoso centrale (191-192)	M + F	<5	<5	.	.	12 (1-63)	48 (11-217)	99 (81-122)			n.c.	0
Tumori maligni della ghiandola tiroide (193)	F	0	2	1	146.2	0 (0-88)	0 (.-)	116 (95-133)	↓		n.c.	2
Tumori maligni della ghiandola tiroide (193)	M	0	1	1	190.1	0 (0-70)	0 (.-)	143 (95-215)	↓		n.c.	2
Tumori maligni della ghiandola tiroide (193)	M + F	0	2	1	161.9	0 (0-45)	0 (.-)	135 (111-172)	↓	↑	n.c.	7
Linfoma non Hodgkin (200, 202)	F	<5	<5	.	.	28 (5-125)	121 (40-366)	102 (87-117)			n.c.	0
Linfoma non Hodgkin (200, 202)	M	<5	<5	.	.	31 (5-115)	102 (34-309)	97 (79-122)			n.c.	0
Linfoma non Hodgkin (200, 202)	M + F	<5	<5	.	.	29 (10-84)	111 (50-247)	97 (83-113)			n.c.	0










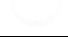




Fiuminata												
Causa (ICD-IX)	Genere	Osservati	Attesi	n. cluster sign.	SIR cluster	Tasso std. * 100000 (ic)	SIR (ic)	BIR (ic)	SIR sign.	BIR sign.	Trend	Livello attenzione
Tumori emolinfopoietici (200-208)	F	<5	<5	.	.	50 (13-159)	82 (33-205)	107 (92-124)			n.c.	0 
Tumori emolinfopoietici (200-208)	M	5	4	.	.	82 (32-186)	117 (57-241)	107 (87-133)			n.c.	0 
Tumori emolinfopoietici (200-208)	M + F	8	8	.	.	66 (32-132)	101 (57-179)	111 (96-132)			n.c.	0 
Malattia di Hodgkin (201)	F	0	0	.	.	0 (0-88)	0 (.-)	73 (43-148)	↓		n.c.	0 
Malattia di Hodgkin (201)	M	0	0	.	.	0 (0-70)	0 (.-)	99 (77-129)	↓		n.c.	0 
Malattia di Hodgkin (201)	M + F	0	1	.	.	0 (0-45)	0 (.-)	84 (66-110)	↓		n.c.	0 
Mieloma multiplo e tumori immunoproliferativi (203)	F	0	1	1	125.3	0 (0-88)	0 (.-)	118 (81-160)	↓		n.c.	2 
Mieloma multiplo e tumori immunoproliferativi (203)	M	<5	<5	1	142.2	31 (6-117)	245 (81-739)	114 (85-162)			n.c.	2 
Mieloma multiplo e tumori immunoproliferativi (203)	M + F	<5	<5	1	130.9	15 (3-66)	128 (42-386)	123 (101-181)		↑	n.c.	4 
Leucemie (204-208)	F	<5	<5	1	121.8	22 (1-123)	87 (20-392)	115 (89-150)			n.c.	2 
Leucemie (204-208)	M	<5	<5	.	.	20 (1-103)	69 (15-310)	100 (74-131)			n.c.	0 
Leucemie (204-208)	M + F	<5	<5	.	.	21 (4-77)	77 (26-234)	107 (88-141)			n.c.	0 
Gozzo non tossico (240-241)	F	6	3	1	126.7	99 (42-221)	217 (112-420)	131 (114-183)	↑	↑	n.c.	5 
Gozzo non tossico (240-241)	M	<5	<5	1	130.3	51 (13-146)	328 (131-820)	147 (99-227)	↑		n.c.	3 

Fiuminata												
Causa (ICD-IX)	Genere	Osservati	Attesi	n. cluster sign.	SIR cluster	Tasso std. * 100000 (ic)	SIR (ic)	BIR (ic)	SIR sign.	BIR sign.	Trend	Livello attenzione
Gozzo non tossico (240-241)	M + F	9	4	1	126.4	76 (39-144)	245 (142-420)	153 (119-186)	↑	↑	n.c.	5 
Malattie endocrine e della nutrizione (240-2799)	F	18	22	.	.	334 (212-517)	83 (57-122)	84 (69-97)		↓	↘	0 
Malattie endocrine e della nutrizione (240-2799)	M	19	17	.	.	359 (234-535)	114 (79-166)	87 (70-110)			→	0 
Malattie endocrine e della nutrizione (240-2799)	M + F	37	38	.	.	346 (256-465)	97 (74-127)	86 (72-97)		↓	→	0 
Tireotossicosi (242)	F	<5	<5	1	180.4	21 (1-121)	102 (23-455)	119 (79-174)			n.c.	2 
Tireotossicosi (242)	M	0	0	.	.	0 (0-70)	0 (-.)	106 (60-192)	↓		n.c.	0 
Tireotossicosi (242)	M + F	<5	<5	1	181.9	11 (1-62)	74 (17-334)	124 (85-151)			n.c.	2 
Ipotiroidismo (243-244)	F	0	0	1	132.5	0 (0-88)	0 (-.)	95 (40-143)	↓		n.c.	2 
Ipotiroidismo (243-244)	M	0	0	.	.	0 (0-70)	0 (-.)	98 (71-131)	↓		n.c.	0 
Ipotiroidismo (243-244)	M + F	0	1	.	.	0 (0-45)	0 (-.)	101 (80-120)	↓		n.c.	0 
Diabete mellito (250)	F	0	5	.	.	0 (0-88)	0 (-.)	49 (33-68)	↓	↓	n.c.	0 
Diabete mellito (250)	M	<5	>5	.	.	16 (1-94)	19 (4-85)	47 (32-72)	↓	↓	n.c.	0 
Diabete mellito (250)	M + F	<5	>5	.	.	8 (0-56)	10 (2-44)	44 (30-63)	↓	↓	n.c.	0 
Malattie del sangue e degli organi emopoietici (280-289)	F	<5	>5	.	.	36 (10-132)	41 (16-103)	80 (61-98)		↓	n.c.	0 

Fiuminata												
Causa (ICD-IX)	Genere	Osservati	Attesi	n. cluster sign.	SIR cluster	Tasso std. * 100000 (ic)	SIR (ic)	BIR (ic)	SIR sign.	BIR sign.	Trend	Livello attenzione
Malattie del sangue e degli organi emopoietici (280-289)	M	<5	>5	.	.	37 (6-128)	34 (11-101)	83 (62-107)			n.c.	0 
Malattie del sangue e degli organi emopoietici (280-289)	M + F	5	13	.	.	36 (14-93)	38 (18-78)	67 (57-86)	↓	↓	n.c.	0 
Malattie neuro-psichiatriche (escluse tossicod.) (290-303, 306-319)	F	<5	>5	.	.	87 (29-214)	40 (18-88)	63 (49-79)	↓	↓	n.c.	0 
Malattie neuro-psichiatriche (escluse tossicod.) (290-303, 306-319)	M	<5	>5	.	.	78 (27-186)	36 (16-81)	68 (53-86)	↓	↓	n.c.	0 
Malattie neuro-psichiatriche (escluse tossicod.) (290-303, 306-319)	M + F	8	21	.	.	83 (41-158)	38 (21-67)	56 (42-76)	↓	↓	n.c.	0 
Malattie del sistema nervoso e degli organi di senso (320-389)	F	72	82	.	.	1074 (869-1331)	87 (72-106)	87 (74-99)		↓	↘	0 
Malattie del sistema nervoso e degli organi di senso (320-389)	M	51	62	.	.	879 (685-1120)	82 (65-104)	83 (75-93)		↓	↘	0 
Malattie del sistema nervoso e degli organi di senso (320-389)	M + F	123	145	.	.	976 (833-1145)	85 (73-99)	88 (74-95)	↓	↓	↘	0 
Malattia di Alzheimer (3310)	F	0	3	.	.	0 (0-88)	0 (.-)	49 (24-79)	↓	↓	n.c.	0 
Malattia di Alzheimer (3310)	M	<5	<5	.	.	20 (1-103)	74 (17-333)	58 (29-113)			n.c.	0 
Malattia di Alzheimer (3310)	M + F	<5	<5	.	.	10 (0-60)	23 (5-102)	52 (32-88)		↓	n.c.	0 
Morbo di Parkinson (3320)	F	<5	<5	.	.	16 (1-110)	113 (25-506)	128 (78-201)			n.c.	0 
Morbo di Parkinson (3320)	M	0	1	.	.	0 (0-70)	0 (.-)	89 (52-142)	↓		n.c.	0 
Morbo di Parkinson (3320)	M + F	<5	<5	.	.	8 (0-57)	52 (12-234)	107 (72-149)			n.c.	0 

Fiuminata												
Causa (ICD-IX)	Genere	Osservati	Attesi	n. cluster sign.	SIR cluster	Tasso std. * 100000 (ic)	SIR (ic)	BIR (ic)	SIR sign.	BIR sign.	Trend	Livello attenzione
Malattia dei neuroni motori (3352)	F	0	0	.	.	0 (0-88)	0 (.-)	36 (15-77)	↓	↓	n.c.	0
Malattia dei neuroni motori (3352)	M	0	0	.	.	0 (0-70)	0 (.-)	85 (52-123)	↓		n.c.	0
Malattia dei neuroni motori (3352)	M + F	0	1	.	.	0 (0-45)	0 (.-)	60 (25-110)	↓		n.c.	0
Sclerosi multipla (340)	F	<5	<5	.	.	44 (8-154)	222 (73-670)	116 (91-147)			n.c.	0
Sclerosi multipla (340)	M	<5	<5	.	.	18 (1-98)	195 (44-875)	101 (73-134)			n.c.	0
Sclerosi multipla (340)	M + F	<5	<5	1	134.7	31 (8-91)	212 (85-531)	118 (102-145)		↑	n.c.	4
Malattie cardiache (390-429)	F	49	58	.	.	653 (504-855)	84 (66-106)	93 (81-103)			↘	0
Malattie cardiache (390-429)	M	59	64	.	.	978 (775-1227)	92 (74-114)	95 (86-106)			↘	0
Malattie cardiache (390-429)	M + F	108	122	.	.	812 (686-965)	88 (75-103)	92 (83-102)			↘	0
Malattie dell'apparato circolatorio (390-459)	F	112	102	2	106.1	1558 (1317-1849)	110 (94-128)	106 (96-116)			→	1
Malattie dell'apparato circolatorio (390-459)	M	104	106	.	.	1704 (1435-2018)	98 (84-116)	100 (92-109)			↘	0
Malattie dell'apparato circolatorio (390-459)	M + F	216	207	1	104.0	1632 (1450-1839)	104 (93-116)	103 (96-110)			↘	2
Malattie ischemiche del cuore (410-4149)	F	15	18	.	.	204 (124-343)	85 (56-130)	96 (80-114)			n.c.	0
Malattie ischemiche del cuore (410-4149)	M	24	29	.	.	415 (284-593)	82 (59-115)	92 (79-109)			n.c.	0

Fiuminata												
Causa (ICD-IX)	Genere	Osservati	Attesi	n. cluster sign.	SIR cluster	Tasso std. * 100000 (ic)	SIR (ic)	BIR (ic)	SIR sign.	BIR sign.	Trend	Livello attenzione
Malattie ischemiche del cuore (410-4149)	M + F	39	47	.	.	303 (227-408)	83 (64-109)	95 (77-105)			↘	0 
Insufficienza cardiaca (scompenso cardiaco) (428)	F	21	24	.	.	281 (186-433)	88 (62-126)	97 (78-115)			→	0 
Insufficienza cardiaca (scompenso cardiaco) (428)	M	16	19	.	.	243 (151-384)	86 (57-129)	93 (76-111)			↘	0 
Insufficienza cardiaca (scompenso cardiaco) (428)	M + F	37	42	.	.	266 (197-363)	88 (67-115)	93 (77-107)			↘	0 
Malattie cerebrovascolari (430-438)	F	49	33	2	113.9	621 (481-812)	150 (119-190)	139 (116-164)	↑	↑	→	5 
Malattie cerebrovascolari (430-438)	M	41	29	1	113.2	643 (485-846)	144 (111-186)	132 (115-152)	↑	↑	→	5 
Malattie cerebrovascolari (430-438)	M + F	90	61	1	113.6	631 (524-763)	148 (124-176)	139 (121-157)	↑	↑	→	5 
Malattie acute delle prime vie aeree (460-466)	F	<5	<5	.	.	63 (16-182)	77 (31-193)	70 (46-100)			n.c.	0 
Malattie dell'apparato respiratorio (460-5199)	M	58	60	.	.	968 (764-1219)	97 (79-121)	99 (89-111)			↘	0 
Malattie dell'apparato respiratorio (460-5199)	M + F	90	106	.	.	760 (630-918)	85 (71-101)	99 (88-108)			↘	0 
Malattie polmonari cronico ostruttive (490-492, 494, 496)	F	<5	>5	.	.	46 (11-151)	54 (22-136)	68 (44-107)			n.c.	0 
Malattie polmonari cronico ostruttive (490-492, 494, 496)	M	<5	>5	.	.	49 (13-141)	41 (16-102)	57 (40-78)		↓	n.c.	0 
Malattie polmonari cronico ostruttive (490-492, 494, 496)	M + F	6	13	.	.	47 (20-108)	47 (24-90)	61 (44-84)	↓	↓	n.c.	0 
Pneumoconiosi (500-505)	F	0	0	.	.	0 (0-88)	0 (.-)	65 (28-183)	↓		n.c.	0 

Fiuminata												
Causa (ICD-IX)	Genere	Osservati	Attesi	n. cluster sign.	SIR cluster	Tasso std. * 100000 (ic)	SIR (ic)	BIR (ic)	SIR sign.	BIR sign.	Trend	Livello attenzione
Pneumoconiosi (500-505)	M	0	0	.	.	0 (0-70)	0 (.-)	47 (15-131)	↓		n.c.	0 
Pneumoconiosi (500-505)	M + F	0	0	.	.	0 (0-45)	0 (.-)	40 (16-112)	↓		n.c.	0 
Malattie dell'apparato digerente (520-579)	F	59	61	.	.	944 (745-1198)	97 (79-121)	98 (91-107)			↘	0 
Malattie dell'apparato digerente (520-579)	M	80	84	.	.	1385 (1138-1678)	95 (79-114)	98 (91-105)			→	0 
Malattie dell'apparato digerente (520-579)	M + F	139	145	.	.	1157 (997-1344)	96 (84-110)	98 (92-105)			↘	0 
Cirrosi e altre malattie croniche del fegato (571)	F	<5	<5	.	.	53 (18-156)	235 (106-524)	107 (84-141)	↑		n.c.	2 
Cirrosi e altre malattie croniche del fegato (571)	M	6	3	.	.	100 (43-209)	206 (107-399)	116 (82-173)	↑		n.c.	2 
Cirrosi e altre malattie croniche del fegato (571)	M + F	10	5	2	128.6	75 (41-142)	217 (130-363)	117 (90-142)	↑		n.c.	3 
Nefropatie croniche e acute (580-589)	F	6	7	2	171.5	74 (32-181)	82 (43-159)	133 (99-164)			n.c.	1 
Nefropatie croniche e acute (580-589)	M	12	9	2	117.3	190 (107-323)	140 (88-225)	115 (91-144)			→	1 
Nefropatie croniche e acute (580-589)	M + F	18	16	2	145.5	133 (85-211)	114 (78-168)	128 (109-147)		↑	→	4 
Malattie dell'apparato urinario (580-599)	F	11	18	.	.	168 (91-306)	63 (38-103)	92 (76-108)			→	0 
Malattie dell'apparato urinario (580-599)	M	23	24	.	.	380 (258-552)	94 (67-132)	90 (80-102)			→	0 
Malattie dell'apparato urinario (580-599)	M + F	34	42	.	.	272 (199-375)	81 (61-108)	93 (82-102)			→	0 




































Fiuminata												
Causa (ICD-IX)	Genere	Osservati	Attesi	n. cluster sign.	SIR cluster	Tasso std. * 100000 (ic)	SIR (ic)	BIR (ic)	SIR sign.	BIR sign.	Trend	Livello attenzione
Calcolosi del rene e delle vie urinarie (592, 594)	F	<5	<5	.	.	36 (6-140)	78 (26-237)	95 (73-115)			n.c.	0 
Calcolosi del rene e delle vie urinarie (592, 594)	M	7	6	.	.	124 (58-243)	123 (67-227)	95 (77-113)			n.c.	0 
Calcolosi del rene e delle vie urinarie (592, 594)	M + F	9	8	.	.	77 (40-146)	109 (63-187)	91 (80-108)			n.c.	0 
Endometriosi (617)	F	<5	<5	1	152.7	57 (15-169)	165 (66-414)	133 (97-168)			n.c.	2 
Aborto spontaneo (634)	F	<5	>5	.	.	81 (28-204)	82 (37-182)	55 (37-72)		↓	n.c.	0 
Malformazioni congenite (740-759)	F	6	6	.	.	126 (53-265)	97 (50-188)	99 (88-114)			n.c.	0 
Malformazioni congenite (740-759)	M	7	10	.	.	150 (70-285)	70 (38-129)	89 (74-100)			n.c.	0 
Malformazioni congenite (740-759)	M + F	13	16	.	.	137 (80-226)	81 (51-127)	91 (78-105)			n.c.	0 















Tabella 46. Primi ricoveri ospedalieri per causa nel comune di Genga, tutte le età – Anni 2006-2012, confronto Regione Marche.















Genga				n. cluster sign.	SIR cluster	Tasso std. * 100000 (ic)	SIR (ic)	BIR (ic)	SIR sign.	BIR sign.	Trend	Livello attenzione
Causa (ICD-IX)	Genere	Osservati	Attesi									
Tumori maligni delle vie aeree e digestive superiori (140-150, 161)	F	0	1	.	.	0 (0-64)	0 (.-)	106 (72-129)	↓		n.c.	0 
Tumori maligni delle vie aeree e digestive superiori (140-150, 161)	M	<5	<5	1	115.8	37 (10-111)	111 (44-278)	103 (84-124)			n.c.	2 
Tumori maligni delle vie aeree e digestive superiori (140-150, 161)	M + F	<5	<5	1	114.1	18 (5-58)	85 (34-212)	100 (85-123)			n.c.	2 
Tumori maligni (140-208)	F	53	53	.	.	694 (543-886)	100 (80-125)	98 (89-116)			→	0 
Tumori maligni (140-208)	M	66	64	.	.	832 (670-1031)	104 (85-127)	102 (93-115)			→	0 
Tumori maligni (140-208)	M + F	119	117	.	.	761 (649-893)	102 (88-118)	101 (91-109)			→	0 
Tumori maligni dell'esofago (150)	F	0	0	.	.	0 (0-64)	0 (.-)	111 (44-205)	↓		n.c.	0 
Tumori maligni dell'esofago (150)	M	0	0	1	135.2	0 (0-58)	0 (.-)	81 (40-145)	↓		n.c.	2 
Tumori maligni dell'esofago (150)	M + F	0	1	1	128.6	0 (0-33)	0 (.-)	97 (59-150)	↓		n.c.	2 
Tumori maligni dello stomaco (151)	F	<5	<5	.	.	9 (0-76)	40 (9-179)	100 (74-131)			n.c.	0 
Tumori maligni dello stomaco (151)	M	<5	<5	.	.	52 (18-131)	120 (54-268)	106 (83-137)			n.c.	0 
Tumori maligni dello stomaco (151)	M + F	5	6	.	.	30 (12-73)	86 (42-176)	100 (78-119)			n.c.	0 
Tumori maligni dell'intestino tenue, compreso il duodeno (152)	F	0	0	.	.	0 (0-64)	0 (.-)	64 (27-120)	↓		n.c.	0 















Genga				n. cluster sign.	SIR cluster	Tasso std. * 100000 (ic)	SIR (ic)	BIR (ic)	SIR sign.	BIR sign.	Trend	Livello attenzione
Causa (ICD-IX)	Genere	Osservati	Attesi									
Tumori maligni dell'intestino tenue, compreso il duodeno (152)	M	0	0	.	.	0 (0-58)	0 (.-)	100 (72-138)	↓		n.c.	0 
Tumori maligni dell'intestino tenue, compreso il duodeno (152)	M + F	0	0	.	.	0 (0-33)	0 (.-)	84 (42-164)	↓		n.c.	0 
Tumori maligni del colon (153)	F	<5	>5	.	.	46 (15-127)	77 (34-171)	97 (75-121)			n.c.	0 
Tumori maligni del colon (153)	M	9	6	.	.	116 (60-213)	144 (84-247)	110 (85-138)			n.c.	0 
Tumori maligni del colon (153)	M + F	13	12	.	.	80 (47-136)	113 (72-178)	103 (83-133)			n.c.	0 
Tumori maligni del colon-retto (153-154)	F	9	7	.	.	113 (58-213)	125 (73-214)	100 (78-131)			n.c.	0 
Tumori maligni del colon-retto (153-154)	M	11	9	.	.	142 (80-246)	119 (73-195)	109 (89-130)			n.c.	0 
Tumori maligni del colon-retto (153-154)	M + F	20	16	.	.	127 (84-192)	122 (84-175)	105 (89-133)			n.c.	0 
Tumori maligni del retto, della giunzione retto-sigmoidea e dell'ano (154)	F	5	2	1	122.3	66 (26-155)	209 (102-429)	108 (79-143)	↑		n.c.	3 
Tumori maligni del retto, della giunzione retto-sigmoidea e dell'ano (154)	M	<5	<5	1	137.3	37 (10-111)	86 (34-215)	104 (77-138)			n.c.	2 
Tumori maligni del retto, della giunzione retto-sigmoidea e dell'ano (154)	M + F	8	6	.	.	52 (26-102)	136 (77-241)	108 (88-128)			n.c.	0 
Tumore fegato e dotti biliari (1550-1551)	F	0	1	.	.	0 (0-64)	0 (.-)	84 (49-143)	↓		n.c.	0 
Tumore fegato e dotti biliari (1550-1551)	M	<5	<5	1	153.2	11 (1-73)	82 (18-369)	108 (81-155)			n.c.	2 
Tumore fegato e dotti biliari (1550-1551)	M + F	<5	<5	.	.	5 (0-40)	56 (13-253)	98 (58-155)			n.c.	0 















Genga				n. cluster sign.	SIR cluster	Tasso std. * 100000 (ic)	SIR (ic)	BIR (ic)	SIR sign.	BIR sign.	Trend	Livello attenzione
Causa (ICD-IX)	Genere	Osservati	Attesi									
Tumori maligni del pancreas (157)	F	<5	<5	.	.	9 (0-76)	60 (13-271)	109 (76-151)			n.c.	0
Tumori maligni del pancreas (157)	M	<5	<5	.	.	26 (5-96)	117 (39-354)	101 (74-136)			n.c.	0
Tumori maligni del pancreas (157)	M + F	<5	<5	1	113.6	17 (5-57)	89 (36-223)	102 (88-126)			n.c.	2
Tumore del retroperitoneo (1580)	F	0	0	.	.	0 (0-64)	0 (.-)	104 (69-145)	↓		n.c.	0
Tumore del retroperitoneo (1580)	M	0	0	.	.	0 (0-58)	0 (.-)	94 (38-208)	↓		n.c.	0
Tumore del retroperitoneo (1580)	M + F	0	0	.	.	0 (0-33)	0 (.-)	106 (68-206)	↓		n.c.	0
Tumori maligni del naso (1600)	F	0	0	.	.	0 (0-64)	0 (.-)	97 (22-302)	↓		n.c.	0
Tumori maligni del naso (1600)	M	0	0	.	.	0 (0-58)	0 (.-)	97 (68-136)	↓		n.c.	0
Tumori maligni del naso (1600)	M + F	0	0	.	.	0 (0-33)	0 (.-)	82 (47-154)	↓		n.c.	0
Tumori maligni della laringe (161)	F	0	0	.	.	0 (0-64)	0 (.-)	75 (42-209)	↓		n.c.	0
Tumori maligni della laringe (161)	M	<5	<5	.	.	24 (4-92)	177 (59-536)	103 (84-128)			n.c.	0
Tumori maligni della laringe (161)	M + F	<5	<5	.	.	12 (2-49)	164 (54-495)	120 (85-176)			n.c.	0
Tumori maligni della trachea, dei bronchi e dei polmoni (162)	F	<5	<5	.	.	13 (1-83)	44 (10-196)	89 (69-117)			n.c.	0
Tumori maligni della trachea, dei bronchi e dei polmoni (162)	M	7	7	.	.	85 (40-174)	94 (51-174)	95 (76-116)			n.c.	0















Genga				n. cluster sign.	SIR cluster	Tasso std. * 100000 (ic)	SIR (ic)	BIR (ic)	SIR sign.	BIR sign.	Trend	Livello attenzione
Causa (ICD-IX)	Genere	Osservati	Attesi									
Tumori maligni della trachea, dei bronchi e dei polmoni (162)	M + F	8	10	.	.	48 (24-96)	82 (46-146)	95 (78-114)			n.c.	0
Tumori maligni della pleura (163)	F	0	0	.	.	0 (0-64)	0 (.-.)	82 (33-172)	↓		n.c.	0
Tumori maligni della pleura (163)	M	0	0	.	.	0 (0-58)	0 (.-.)	95 (41-189)	↓		n.c.	0
Tumori maligni della pleura (163)	M + F	0	1	.	.	0 (0-33)	0 (.-.)	68 (29-136)	↓		n.c.	0
Mesoteliomi pleurici e peritoneali (1588, 163)	F	0	0	.	.	0 (0-64)	0 (.-.)	112 (62-166)	↓		n.c.	0
Mesoteliomi pleurici e peritoneali (1588, 163)	M	0	0	.	.	0 (0-58)	0 (.-.)	87 (35-190)	↓		n.c.	0
Mesoteliomi pleurici e peritoneali (1588, 163)	M + F	0	1	.	.	0 (0-33)	0 (.-.)	83 (39-192)	↓		n.c.	0
Tumori maligni delle ossa e della cartilagine articolare (170)	F	<5	<5	.	.	13 (1-83)	613 (137-2749)	105 (65-147)	↑		n.c.	2
Tumori maligni delle ossa e della cartilagine articolare (170)	M	0	0	.	.	0 (0-58)	0 (.-.)	95 (77-116)	↓		n.c.	0
Tumori maligni delle ossa e della cartilagine articolare (170)	M + F	<5	<5	.	.	7 (0-43)	269 (60-1206)	109 (69-197)			n.c.	0
Tumori maligni del connettivo e di altri tessuti molli (171)	F	0	0	.	.	0 (0-64)	0 (.-.)	97 (67-142)	↓		n.c.	0
Tumori maligni del connettivo e di altri tessuti molli (171)	M	0	1	.	.	0 (0-58)	0 (.-.)	80 (46-137)	↓		n.c.	0
Tumori maligni del connettivo e di altri tessuti molli (171)	M + F	0	1	.	.	0 (0-33)	0 (.-.)	94 (49-147)	↓		n.c.	0
Melanoma maligno della pelle (172)	F	0	1	.	.	0 (0-64)	0 (.-.)	98 (70-133)	↓		n.c.	0















Genga				n. cluster sign.	SIR cluster	Tasso std. * 100000 (ic)	SIR (ic)	BIR (ic)	SIR sign.	BIR sign.	Trend	Livello attenzione
Causa (ICD-IX)	Genere	Osservati	Attesi									
Melanoma maligno della pelle (172)	M	<5	<5	.	.	31 (5-105)	167 (55-504)	101 (63-164)			n.c.	0 
Melanoma maligno della pelle (172)	M + F	<5	<5	.	.	15 (3-55)	89 (29-268)	100 (72-135)			n.c.	0 
Tumori maligni della mammella (174-175)	F	12	13	.	.	167 (95-284)	90 (56-144)	101 (87-127)			n.c.	0 
Tumori maligni della mammella (174-175)	M	0	0	.	.	0 (0-58)	0 (.-.)	96 (68-132)	↓		n.c.	0 
Tumori maligni della mammella (174-175)	M + F	12	14	.	.	86 (49-146)	89 (55-142)	101 (87-126)			n.c.	0 
Tumori maligni dell'utero (179-180, 182)	F	<5	<5	.	.	57 (19-146)	137 (62-306)	105 (89-128)			n.c.	0 
Tumori maligni del corpo dell'utero (182)	F	<5	<5	.	.	57 (19-146)	200 (90-446)	109 (92-130)			n.c.	0 
Tumori maligni dell'ovaio e degli altri annessi uterini (183)	F	<5	<5	.	.	31 (5-111)	129 (43-389)	99 (83-120)			n.c.	0 
Tumore della prostata (185)	M	9	9	.	.	113 (58-208)	103 (60-178)	96 (74-124)			n.c.	0 
Tumore del testicolo (186)	M	<5	<5	.	.	13 (1-78)	174 (39-779)	98 (68-151)			n.c.	0 
Tumori maligni della vescica (188)	F	0	2	.	.	0 (0-64)	0 (.-.)	102 (85-131)	↓		n.c.	0 
Tumori maligni della vescica (188)	M	6	9	.	.	76 (33-162)	70 (36-135)	98 (80-117)			n.c.	0 
Tumori maligni della vescica (188)	M + F	6	11	1	108.1	37 (16-83)	57 (30-111)	99 (75-126)			n.c.	2 
Tumori maligni del rene e di altri e non specificati organi urinari (189)	F	<5	<5	.	.	40 (11-121)	209 (84-523)	102 (85-122)			n.c.	0 

Genga				n. cluster sign.	SIR cluster	Tasso std. * 100000 (ic)	SIR (ic)	BIR (ic)	SIR sign.	BIR sign.	Trend	Livello attenzione
Causa (ICD-IX)	Genere	Osservati	Attesi									
Tumori maligni del rene e di altri e non specificati organi urinari (189)	M	<5	<5	.	.	13 (1-78)	33 (7-150)	88 (69-115)			n.c.	0 
Tumori maligni del rene e di altri e non specificati organi urinari (189)	M + F	<5	<5	.	.	27 (9-70)	90 (41-201)	90 (76-123)			n.c.	0 
Tumori maligni dell'encefalo (191)	F	<5	<5	.	.	15 (1-88)	100 (22-448)	106 (74-152)			n.c.	0 
Tumori maligni dell'encefalo (191)	M	<5	<5	.	.	14 (1-79)	78 (17-350)	99 (82-119)			n.c.	0 
Tumori maligni dell'encefalo (191)	M + F	<5	<5	.	.	15 (3-54)	88 (29-265)	106 (86-133)			n.c.	0 
Tumori maligni del sistema nervoso centrale (191-192)	F	<5	<5	.	.	15 (1-88)	88 (20-395)	100 (74-125)			n.c.	0 
Tumori maligni del sistema nervoso centrale (191-192)	M	<5	<5	.	.	14 (1-79)	73 (16-327)	100 (83-120)			n.c.	0 
Tumori maligni del sistema nervoso centrale (191-192)	M + F	<5	<5	.	.	15 (3-54)	80 (26-241)	99 (82-115)			n.c.	0 
Tumori maligni della ghiandola tiroide (193)	F	<5	<5	.	.	30 (5-109)	109 (36-329)	106 (81-121)			n.c.	0 
Tumori maligni della ghiandola tiroide (193)	M	0	1	1	190.1	0 (0-58)	0 (.-)	120 (76-180)	↓		n.c.	2 
Tumori maligni della ghiandola tiroide (193)	M + F	<5	<5	.	.	16 (3-56)	78 (26-236)	113 (84-146)			n.c.	0 
Linfoma non Hodgkin (200, 202)	F	0	2	.	.	0 (0-64)	0 (.-)	97 (79-119)	↓		n.c.	0 
Linfoma non Hodgkin (200, 202)	M	<5	<5	.	.	10 (1-71)	41 (9-184)	99 (78-128)			n.c.	0 
Linfoma non Hodgkin (200, 202)	M + F	<5	<5	.	.	5 (0-39)	23 (5-103)	96 (71-134)			n.c.	0 















Genga				n. cluster sign.	SIR cluster	Tasso std. * 100000 (ic)	SIR (ic)	BIR (ic)	SIR sign.	BIR sign.	Trend	Livello attenzione
Causa (ICD-IX)	Genere	Osservati	Attesi									
Tumori emolinfopoietici (200-208)	F	5	4	1	117.1	62 (24-148)	117 (57-241)	112 (91-130)			n.c.	2 
Tumori emolinfopoietici (200-208)	M	11	5	.	.	138 (77-241)	207 (127-338)	117 (93-151)	↑		n.c.	2 
Tumori emolinfopoietici (200-208)	M + F	16	10	1	116.5	99 (62-158)	167 (111-251)	117 (95-149)	↑		→	3 
Malattia di Hodgkin (201)	F	0	0	.	.	0 (0-64)	0 (.-.)	102 (59-206)	↓		n.c.	0 
Malattia di Hodgkin (201)	M	<5	<5	1	168.4	30 (5-105)	552 (183-1667)	107 (82-150)	↑		n.c.	3 
Malattia di Hodgkin (201)	M + F	<5	<5	.	.	15 (3-55)	281 (93-850)	100 (73-147)			n.c.	0 
Mieloma multiplo e tumori immunoproliferativi (203)	F	<5	<5	1	125.3	53 (18-137)	468 (210-1043)	132 (89-179)	↑		n.c.	3 
Mieloma multiplo e tumori immunoproliferativi (203)	M	<5	<5	1	142.2	24 (4-92)	196 (65-593)	111 (78-160)			n.c.	2 
Mieloma multiplo e tumori immunoproliferativi (203)	M + F	6	2	1	130.9	38 (17-85)	321 (166-620)	146 (101-203)	↑	↑	n.c.	5 
Leucemie (204-208)	F	<5	<5	1	121.8	9 (0-76)	75 (17-334)	109 (73-143)			n.c.	2 
Leucemie (204-208)	M	7	2	1	125.4	87 (41-177)	390 (212-719)	126 (94-170)	↑		n.c.	3 
Leucemie (204-208)	M + F	8	3	1	120.9	47 (23-95)	255 (144-453)	132 (103-176)	↑	↑	n.c.	5 
Gozzo non tossico (240-241)	F	5	3	1	126.7	76 (30-172)	147 (71-301)	104 (80-136)			n.c.	2 
Gozzo non tossico (240-241)	M	<5	<5	1	130.3	13 (1-77)	89 (20-398)	107 (71-166)			n.c.	2 

Genga				n. cluster sign.	SIR cluster	Tasso std. * 100000 (ic)	SIR (ic)	BIR (ic)	SIR sign.	BIR sign.	Trend	Livello attenzione
Causa (ICD-IX)	Genere	Osservati	Attesi									
Gozzo non tossico (240-241)	M + F	6	5	.	.	46 (20-96)	132 (68-256)	108 (86-154)			n.c.	0 
Malattie endocrine e della nutrizione (240-2799)	F	25	28	.	.	334 (231-481)	90 (65-125)	91 (74-108)			→	0 
Malattie endocrine e della nutrizione (240-2799)	M	20	21	.	.	282 (185-420)	98 (68-141)	95 (77-120)			n.c.	0 
Malattie endocrine e della nutrizione (240-2799)	M + F	45	48	.	.	309 (236-403)	93 (73-119)	95 (80-111)			→	0 
Tireotossicosi (242)	F	<5	<5	.	.	13 (1-83)	81 (18-364)	96 (67-147)			n.c.	0 
Tireotossicosi (242)	M	<5	<5	.	.	45 (12-125)	677 (270-1693)	134 (72-275)	↑		n.c.	2 
Tireotossicosi (242)	M + F	<5	<5	.	.	29 (10-73)	239 (107-532)	112 (74-160)	↑		n.c.	2 
Ipotiroidismo (243-244)	F	0	1	.	.	0 (0-64)	0 (.-.)	75 (33-124)	↓		n.c.	0 
Ipotiroidismo (243-244)	M	<5	<5	.	.	19 (1-90)	251 (56-1125)	97 (69-133)			n.c.	0 
Ipotiroidismo (243-244)	M + F	<5	<5	.	.	9 (0-48)	109 (24-489)	95 (70-120)			n.c.	0 
Diabete mellito (250)	F	6	6	.	.	74 (32-164)	103 (53-199)	75 (56-116)			n.c.	0 
Diabete mellito (250)	M	6	7	.	.	83 (36-174)	91 (47-176)	84 (56-128)			n.c.	0 
Diabete mellito (250)	M + F	12	12	.	.	78 (45-135)	97 (60-155)	85 (59-126)			n.c.	0 
Malattie del sangue e degli organi emopoietici (280-289)	F	7	9	1	117.5	104 (48-208)	79 (43-146)	95 (74-129)			n.c.	2 

Genga				n. cluster sign.	SIR cluster	Tasso std. * 100000 (ic)	SIR (ic)	BIR (ic)	SIR sign.	BIR sign.	Trend	Livello attenzione
Causa (ICD-IX)	Genere	Osservati	Attesi									
Malattie del sangue e degli organi emopoietici (280-289)	M	10	7	1	118.7	145 (78-254)	135 (80-225)	116 (90-151)			n.c.	2 
Malattie del sangue e degli organi emopoietici (280-289)	M + F	17	16	1	117.5	124 (78-192)	104 (70-155)	103 (78-134)			→	2 
Malattie neuro-psichiatriche (escluse tossicod.) (290-303, 306-319)	F	15	13	.	.	201 (122-324)	119 (78-181)	99 (78-117)			→	0 
Malattie neuro-psichiatriche (escluse tossicod.) (290-303, 306-319)	M	12	14	.	.	155 (88-262)	88 (55-142)	90 (66-112)			n.c.	0 
Malattie neuro-psichiatriche (escluse tossicod.) (290-303, 306-319)	M + F	27	26	.	.	178 (124-253)	103 (75-141)	90 (79-122)			→	0 
Malattie del sistema nervoso e degli organi di senso (320-389)	F	92	96	.	.	1197 (997-1436)	96 (81-114)	96 (86-108)			↘	0 
Malattie del sistema nervoso e degli organi di senso (320-389)	M	87	77	1	109.3	1147 (950-1381)	113 (95-135)	104 (93-117)			→	2 
Malattie del sistema nervoso e degli organi di senso (320-389)	M + F	179	173	.	.	1172 (1030-1334)	104 (92-117)	98 (90-107)			↘	0 
Malattia di Alzheimer (3310)	F	0	4	.	.	0 (0-64)	0 (.-)	32 (12-69)	↓	↓	n.c.	0 
Malattia di Alzheimer (3310)	M	<5	<5	.	.	13 (1-78)	58 (13-258)	49 (21-109)			n.c.	0 
Malattia di Alzheimer (3310)	M + F	<5	>5	.	.	6 (0-42)	19 (4-86)	36 (21-67)	↓	↓	n.c.	0 
Morbo di Parkinson (3320)	F	0	1	.	.	0 (0-64)	0 (.-)	85 (46-153)	↓		n.c.	0 
Morbo di Parkinson (3320)	M	0	1	.	.	0 (0-58)	0 (.-)	72 (42-121)	↓		n.c.	0 
Morbo di Parkinson (3320)	M + F	0	2	.	.	0 (0-33)	0 (.-)	72 (51-102)	↓		n.c.	0 

Genga				n. cluster sign.	SIR cluster	Tasso std. * 100000 (ic)	SIR (ic)	BIR (ic)	SIR sign.	BIR sign.	Trend	Livello attenzione
Causa (ICD-IX)	Genere	Osservati	Attesi									
Malattia dei neuroni motori (3352)	F	0	0	.	.	0 (0-64)	0 (.-)	61 (30-138)	↓		n.c.	0 
Malattia dei neuroni motori (3352)	M	<5	<5	.	.	13 (1-78)	279 (62-1250)	91 (58-144)			n.c.	0 
Malattia dei neuroni motori (3352)	M + F	<5	<5	.	.	7 (0-42)	135 (30-603)	75 (41-114)			n.c.	0 
Sclerosi multipla (340)	F	<5	<5	.	.	18 (1-93)	85 (19-379)	105 (75-148)			n.c.	0 
Sclerosi multipla (340)	M	0	1	.	.	0 (0-58)	0 (.-)	101 (72-136)	↓		n.c.	0 
Sclerosi multipla (340)	M + F	<5	<5	1	134.7	9 (0-48)	55 (12-247)	114 (84-147)			n.c.	2 
Malattie cardiache (390-429)	F	80	68	.	.	927 (761-1133)	118 (99-142)	103 (91-118)			→	0 
Malattie cardiache (390-429)	M	79	81	.	.	1017 (835-1237)	98 (81-118)	95 (86-105)			→	0 
Malattie cardiache (390-429)	M + F	159	148	.	.	971 (846-1115)	107 (94-122)	102 (91-109)			↘	0 
Malattie dell'apparato circolatorio (390-459)	F	129	119	.	.	1540 (1320-1798)	108 (94-125)	97 (87-106)			↘	0 
Malattie dell'apparato circolatorio (390-459)	M	118	133	.	.	1527 (1301-1790)	89 (76-103)	92 (84-100)		↓	↘	0 
Malattie dell'apparato circolatorio (390-459)	M + F	247	252	.	.	1534 (1375-1713)	98 (88-109)	95 (88-103)			↘	0 
Malattie ischemiche del cuore (410-4149)	F	27	20	.	.	311 (218-446)	134 (98-183)	96 (81-114)			→	0 
Malattie ischemiche del cuore (410-4149)	M	34	37	.	.	438 (322-593)	93 (70-123)	93 (79-109)			→	0 

Genga				n. cluster sign.	SIR cluster	Tasso std. * 100000 (ic)	SIR (ic)	BIR (ic)	SIR sign.	BIR sign.	Trend	Livello attenzione
Causa (ICD-IX)	Genere	Osservati	Attesi									
Malattie ischemiche del cuore (410-4149)	M + F	61	57	.	.	373 (297-469)	108 (87-133)	100 (86-111)			↘	0
Insufficienza cardiaca (scompenso cardiaco) (428)	F	26	28	.	.	284 (197-411)	94 (68-129)	90 (76-114)			→	0
Insufficienza cardiaca (scompenso cardiaco) (428)	M	22	24	.	.	265 (179-390)	93 (65-131)	92 (75-113)			→	0
Insufficienza cardiaca (scompenso cardiaco) (428)	M + F	48	51	.	.	275 (212-358)	93 (74-118)	93 (76-111)			→	0
Malattie cerebrovascolari (430-438)	F	39	38	.	.	434 (325-584)	104 (80-135)	94 (80-113)			↘	0
Malattie cerebrovascolari (430-438)	M	27	36	.	.	321 (226-454)	75 (55-103)	83 (69-99)		↓	↘	0
Malattie cerebrovascolari (430-438)	M + F	66	74	.	.	379 (305-473)	90 (73-110)	88 (76-98)		↓	↘	0
Malattie dell'apparato respiratorio (460-5199)	F	66	59	1	107.2	750 (601-939)	112 (91-137)	109 (94-127)			→	2
Malattie dell'apparato respiratorio (460-5199)	M	79	74	1	108.2	1070 (876-1301)	107 (89-128)	105 (94-119)			→	2
Malattie dell'apparato respiratorio (460-5199)	M + F	145	133	1	107.3	905 (782-1047)	109 (95-125)	108 (98-120)			↘	2
Malattie polmonari cronico ostruttive (490-492, 494, 496)	F	10	6	.	.	101 (54-192)	155 (93-260)	119 (81-167)			↘	0
Malattie polmonari cronico ostruttive (490-492, 494, 496)	M	8	9	.	.	99 (49-191)	86 (48-152)	87 (63-123)			n.c.	0
Malattie polmonari cronico ostruttive (490-492, 494, 496)	M + F	18	16	.	.	100 (64-158)	114 (78-168)	101 (79-129)			↘	0
Pneumoconiosi (500-505)	F	0	0	.	.	0 (0-64)	0 (.-)	58 (23-135)	↓		n.c.	0

Genga				n. cluster sign.	SIR cluster	Tasso std. * 100000 (ic)	SIR (ic)	BIR (ic)	SIR sign.	BIR sign.	Trend	Livello attenzione
Causa (ICD-IX)	Genere	Osservati	Attesi									
Pneumoconiosi (500-505)	M	0	0	.	.	0 (0-58)	0 (.-)	87 (23-296)	↓		n.c.	0 
Pneumoconiosi (500-505)	M + F	0	0	.	.	0 (0-33)	0 (.-)	102 (47-241)	↓		n.c.	0 
Malattie dell'apparato digerente (520-579)	F	84	74	1	107.5	1080 (891-1309)	114 (95-137)	108 (98-120)			→	2 
Malattie dell'apparato digerente (520-579)	M	101	105	.	.	1402 (1177-1664)	96 (82-113)	101 (92-110)			→	0 
Malattie dell'apparato digerente (520-579)	M + F	185	179	1	106.3	1237 (1089-1405)	104 (92-117)	104 (93-112)			→	2 
Cirrosi e altre malattie croniche del fegato (571)	F	<5	<5	.	.	26 (4-101)	100 (33-301)	103 (73-135)			n.c.	0 
Cirrosi e altre malattie croniche del fegato (571)	M	<5	<5	.	.	13 (1-77)	28 (6-125)	88 (58-126)			n.c.	0 
Cirrosi e altre malattie croniche del fegato (571)	M + F	<5	>5	.	.	19 (5-60)	54 (21-135)	93 (63-123)			n.c.	0 
Nefropatie croniche e acute (580-589)	F	9	9	.	.	94 (49-185)	105 (61-180)	104 (74-137)			n.c.	0 
Nefropatie croniche e acute (580-589)	M	5	11	.	.	59 (23-139)	46 (23-95)	85 (65-109)	↓		n.c.	0 
Nefropatie croniche e acute (580-589)	M + F	14	19	.	.	78 (47-131)	72 (47-112)	86 (69-116)			↘	0 
Malattie dell'apparato urinario (580-599)	F	20	21	.	.	265 (174-400)	94 (65-136)	92 (78-112)			↘	0 
Malattie dell'apparato urinario (580-599)	M	22	31	.	.	313 (211-457)	72 (51-102)	87 (74-101)			→	0 
Malattie dell'apparato urinario (580-599)	M + F	42	52	.	.	289 (218-381)	81 (63-105)	91 (73-104)			↘	0 


















































Genga				n. cluster sign.	SIR cluster	Tasso std. * 100000 (ic)	SIR (ic)	BIR (ic)	SIR sign.	BIR sign.	Trend	Livello attenzione
Causa (ICD-IX)	Genere	Osservati	Attesi									
Calcolosi del rene e delle vie urinarie (592, 594)	F	6	3	.	.	92 (40-193)	192 (99-371)	102 (75-139)			n.c.	0 
Calcolosi del rene e delle vie urinarie (592, 594)	M	9	7	.	.	126 (65-229)	128 (74-219)	107 (86-137)			n.c.	0 
Calcolosi del rene e delle vie urinarie (592, 594)	M + F	15	10	.	.	108 (67-173)	147 (97-225)	109 (91-134)			n.c.	0 
Endometriosi (617)	F	<5	<5	.	.	27 (5-102)	83 (27-251)	98 (72-152)			n.c.	0 
Aborto spontaneo (634)	F	<5	>5	.	.	47 (13-134)	46 (18-114)	53 (38-82)		↓	n.c.	0 
Malformazioni congenite (740-759)	F	6	9	.	.	90 (39-190)	70 (36-135)	94 (80-109)			n.c.	0 
Malformazioni congenite (740-759)	M	7	12	.	.	110 (51-213)	57 (31-105)	88 (70-109)			n.c.	0 
Malformazioni congenite (740-759)	M + F	13	21	.	.	100 (59-164)	62 (39-97)	87 (76-106)	↓		→	0 















Tabella 47. Primi ricoveri ospedalieri per causa nel comune di Matelica, tutte le età – Anni 2006-2012, confronto Regione Marche.





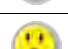









Matelica				n. cluster sign.	SIR cluster	Tasso std. * 100000 (ic)	SIR (ic)	BIR (ic)	SIR sign.	BIR sign.	Trend	Livello attenzione
Causa (ICD-IX)	Genere	Osservati	Attesi									
Tumori maligni delle vie aeree e digestive superiori (140-150, 161)	F	9	4	.	.	23 (12-41)	221 (129-380)	105 (86-133)	↑		n.c.	2 
Tumori maligni delle vie aeree e digestive superiori (140-150, 161)	M	10	13	.	.	27 (15-46)	75 (45-126)	97 (81-115)			n.c.	0 
Tumori maligni delle vie aeree e digestive superiori (140-150, 161)	M + F	19	17	.	.	25 (16-37)	110 (75-160)	96 (80-113)			→	0 
Tumori maligni (140-208)	F	318	263	.	.	821 (746-902)	121 (110-133)	111 (103-123)	↑	↑	→	4 
Tumori maligni (140-208)	M	327	309	.	.	869 (791-953)	106 (97-116)	104 (97-111)			↘	0 
Tumori maligni (140-208)	M + F	645	571	.	.	842 (788-899)	113 (106-120)	110 (103-115)	↑	↑	↘	4 
Tumori maligni dell'esofago (150)	F	<5	<5	.	.	10 (4-25)	612 (275-1364)	125 (75-257)	↑		n.c.	2 
Tumori maligni dell'esofago (150)	M	0	2	.	.	0 (0-10)	0 (.-.)	71 (41-111)	↓		n.c.	0 
Tumori maligni dell'esofago (150)	M + F	<5	<5	.	.	5 (2-13)	162 (73-360)	95 (55-125)			n.c.	0 
Tumori maligni dello stomaco (151)	F	15	12	.	.	38 (24-60)	129 (84-196)	112 (92-135)			↘	0 
Tumori maligni dello stomaco (151)	M	20	16	.	.	54 (35-79)	128 (89-184)	111 (89-137)			↘	0 
Tumori maligni dello stomaco (151)	M + F	35	27	.	.	45 (33-61)	128 (97-169)	115 (90-133)			↘	0 
Tumori maligni dell'intestino tenue, compreso il duodeno (152)	F	0	1	.	.	0 (0-10)	0 (.-.)	61 (26-105)	↓		n.c.	0 















Matelica												
Causa (ICD-IX)	Genere	Osservati	Attesi	n. cluster sign.	SIR cluster	Tasso std. * 100000 (ic)	SIR (ic)	BIR (ic)	SIR sign.	BIR sign.	Trend	Livello attenzione
Tumori maligni dell'intestino tenue, compreso il duodeno (152)	M	5	1	.	.	13 (5-29)	389 (189-799)	107 (79-145)	↑		n.c.	2 
Tumori maligni dell'intestino tenue, compreso il duodeno (152)	M + F	5	2	.	.	7 (3-14)	249 (121-511)	96 (58-150)	↑		n.c.	2 
Tumori maligni del colon (153)	F	22	25	.	.	55 (37-80)	88 (62-125)	90 (77-102)			n.c.	0 
Tumori maligni del colon (153)	M	34	30	.	.	92 (67-123)	113 (85-150)	108 (88-129)			→	0 
Tumori maligni del colon (153)	M + F	56	55	.	.	73 (57-91)	102 (82-127)	100 (80-112)			→	0 
Tumori maligni del colon-retto (153-154)	F	36	35	.	.	91 (68-122)	104 (79-137)	95 (84-109)			↘	0 
Tumori maligni del colon-retto (153-154)	M	49	44	.	.	131 (102-167)	110 (87-139)	105 (91-123)			→	0 
Tumori maligni del colon-retto (153-154)	M + F	85	79	.	.	110 (91-133)	108 (90-129)	101 (85-113)			↘	0 
Tumori maligni del retto, della giunzione retto-sigmoidea e dell'ano (154)	F	15	12	1	122.3	39 (24-61)	130 (86-199)	106 (84-123)			↘	2 
Tumori maligni del retto, della giunzione retto-sigmoidea e dell'ano (154)	M	18	17	.	.	47 (31-71)	106 (72-156)	102 (81-130)			↘	0 
Tumori maligni del retto, della giunzione retto-sigmoidea e dell'ano (154)	M + F	33	28	.	.	43 (32-58)	116 (87-154)	105 (86-125)			↘	0 
Tumore fegato e dotti biliari (1550-1551)	F	<5	<5	.	.	5 (1-18)	76 (25-229)	87 (63-121)			n.c.	0 
Tumore fegato e dotti biliari (1550-1551)	M	11	6	1	153.2	29 (16-49)	184 (113-301)	107 (87-143)	↑		n.c.	3 
Tumore fegato e dotti biliari (1550-1551)	M + F	13	9	.	.	17 (10-27)	151 (96-237)	103 (79-136)			n.c.	0 















Matelica												
Causa (ICD-IX)	Genere	Osservati	Attesi	n. cluster sign.	SIR cluster	Tasso std. * 100000 (ic)	SIR (ic)	BIR (ic)	SIR sign.	BIR sign.	Trend	Livello attenzione
Tumori maligni del pancreas (157)	F	14	8	.	.	36 (21-57)	181 (117-279)	115 (95-144)	↑		n.c.	2 
Tumori maligni del pancreas (157)	M	6	8	.	.	16 (7-32)	72 (37-140)	102 (84-133)			n.c.	0 
Tumori maligni del pancreas (157)	M + F	20	16	1	113.6	26 (17-38)	125 (87-180)	106 (94-120)			n.c.	2 
Tumore del retroperitoneo (1580)	F	<5	<5	.	.	3 (0-14)	194 (43-869)	111 (83-158)			n.c.	0 
Tumore del retroperitoneo (1580)	M	0	0	.	.	0 (0-10)	0 (.-)	92 (51-171)	↓		n.c.	0 
Tumore del retroperitoneo (1580)	M + F	<5	<5	.	.	1 (0-7)	106 (24-473)	98 (64-169)			n.c.	0 
Tumori maligni del naso (1600)	F	0	0	.	.	0 (0-10)	0 (.-)	71 (29-179)	↓		n.c.	0 
Tumori maligni del naso (1600)	M	<5	<5	.	.	3 (0-14)	326 (73-1459)	97 (73-137)			n.c.	0 
Tumori maligni del naso (1600)	M + F	<5	<5	.	.	1 (0-7)	221 (49-991)	95 (52-132)			n.c.	0 
Tumori maligni della laringe (161)	F	0	1	.	.	0 (0-10)	0 (.-)	77 (35-139)	↓		n.c.	0 
Tumori maligni della laringe (161)	M	<5	>5	.	.	11 (4-26)	72 (32-160)	101 (82-117)			n.c.	0 
Tumori maligni della laringe (161)	M + F	<5	>5	.	.	5 (2-13)	66 (30-147)	99 (80-126)			n.c.	0 
Tumori maligni della trachea, dei bronchi e dei polmoni (162)	F	12	11	.	.	31 (18-51)	108 (67-172)	93 (72-113)			n.c.	0 
Tumori maligni della trachea, dei bronchi e dei polmoni (162)	M	37	36	1	119.6	97 (72-128)	103 (79-135)	100 (86-115)			↘	2 















Matelica												
Causa (ICD-IX)	Genere	Osservati	Attesi	n. cluster sign.	SIR cluster	Tasso std. * 100000 (ic)	SIR (ic)	BIR (ic)	SIR sign.	BIR sign.	Trend	Livello attenzione
Tumori maligni della trachea, dei bronchi e dei polmoni (162)	M + F	49	47	.	.	62 (48-79)	104 (82-132)	97 (89-109)			↘	0
Tumori maligni della pleura (163)	F	0	1	.	.	0 (0-10)	0 (.-)	77 (43-133)	↓		n.c.	0
Tumori maligni della pleura (163)	M	0	2	.	.	0 (0-10)	0 (.-)	83 (46-139)	↓		n.c.	0
Tumori maligni della pleura (163)	M + F	0	2	.	.	0 (0-5)	0 (.-)	71 (38-126)	↓		n.c.	0
Mesoteliomi pleurici e peritoneali (1588, 163)	F	<5	<5	.	.	3 (0-14)	114 (25-509)	104 (78-147)			n.c.	0
Mesoteliomi pleurici e peritoneali (1588, 163)	M	0	2	.	.	0 (0-10)	0 (.-)	84 (46-155)	↓		n.c.	0
Mesoteliomi pleurici e peritoneali (1588, 163)	M + F	<5	<5	.	.	1 (0-7)	38 (9-172)	87 (54-129)			n.c.	0
Tumori maligni delle ossa e della cartilagine articolare (170)	F	5	1	.	.	13 (5-28)	606 (295-1244)	101 (74-132)	↑		n.c.	2
Tumori maligni delle ossa e della cartilagine articolare (170)	M	0	1	.	.	0 (0-10)	0 (.-)	95 (76-115)	↓		n.c.	0
Tumori maligni delle ossa e della cartilagine articolare (170)	M + F	5	2	.	.	7 (3-14)	263 (128-539)	109 (74-192)	↑		n.c.	2
Tumori maligni del connettivo e di altri tessuti molli (171)	F	<5	<5	.	.	6 (1-19)	93 (31-282)	95 (83-122)			n.c.	0
Tumori maligni del connettivo e di altri tessuti molli (171)	M	<5	<5	.	.	8 (2-22)	107 (43-269)	85 (58-132)			n.c.	0
Tumori maligni del connettivo e di altri tessuti molli (171)	M + F	5	5	.	.	7 (3-15)	101 (49-208)	91 (60-122)			n.c.	0
Melanoma maligno della pelle (172)	F	<5	>5	.	.	10 (4-25)	74 (33-165)	83 (61-117)			n.c.	0















Matelica				n. cluster sign.	SIR cluster	Tasso std. * 100000 (ic)	SIR (ic)	BIR (ic)	SIR sign.	BIR sign.	Trend	Livello attenzione
Causa (ICD-IX)	Genere	Osservati	Attesi									
Melanoma maligno della pelle (172)	M	5	6	.	.	14 (5-30)	84 (41-172)	82 (56-118)			n.c.	0 
Melanoma maligno della pelle (172)	M + F	9	11	.	.	12 (6-22)	79 (46-136)	75 (57-90)		↓	n.c.	0 
Tumori maligni della mammella (174-175)	F	79	69	.	.	207 (170-250)	114 (95-137)	105 (94-117)			→	0 
Tumori maligni della mammella (174-175)	M	0	1	.	.	0 (0-10)	0 (-.)	99 (76-127)	↓		n.c.	0 
Tumori maligni della mammella (174-175)	M + F	79	70	.	.	106 (87-129)	113 (94-136)	105 (94-117)			→	0 
Tumori maligni dell'utero (179-180, 182)	F	12	15	.	.	31 (18-52)	80 (50-128)	103 (91-115)			n.c.	0 
Tumori maligni del corpo dell'utero (182)	F	8	10	.	.	20 (10-38)	79 (44-139)	105 (92-120)			n.c.	0 
Tumori maligni dell'ovaio e degli altri annessi uterini (183)	F	12	8	.	.	31 (18-51)	151 (94-242)	101 (88-112)			n.c.	0 
Tumore della prostata (185)	M	39	43	.	.	103 (78-136)	90 (69-117)	96 (81-113)			↘	0 
Tumore del testicolo (186)	M	5	3	.	.	15 (6-31)	169 (82-348)	100 (72-141)			n.c.	0 
Tumori maligni della vescica (188)	F	6	9	.	.	15 (7-31)	67 (34-129)	96 (78-118)			n.c.	0 
Tumori maligni della vescica (188)	M	49	41	.	.	128 (100-164)	119 (94-151)	106 (91-123)			→	0 
Tumori maligni della vescica (188)	M + F	55	50	1	108.1	70 (55-88)	110 (88-137)	104 (95-128)			→	2 
Tumori maligni del rene e di altri e non specificati organi urinari (189)	F	<5	>5	.	.	10 (3-24)	57 (26-127)	99 (81-112)			n.c.	0 















Matelica												
Causa (ICD-IX)	Genere	Osservati	Attesi	n. cluster sign.	SIR cluster	Tasso std. * 100000 (ic)	SIR (ic)	BIR (ic)	SIR sign.	BIR sign.	Trend	Livello attenzione
Tumori maligni del rene e di altri e non specificati organi urinari (189)	M	14	15	.	.	37 (22-59)	95 (62-147)	91 (74-108)			→	0 
Tumori maligni del rene e di altri e non specificati organi urinari (189)	M + F	18	22	.	.	23 (15-35)	83 (56-122)	88 (77-107)			→	0 
Tumori maligni dell'encefalo (191)	F	8	5	.	.	21 (11-39)	159 (90-282)	124 (96-148)			n.c.	0 
Tumori maligni dell'encefalo (191)	M	11	6	.	.	30 (17-50)	171 (104-279)	102 (89-126)	↑		n.c.	2 
Tumori maligni dell'encefalo (191)	M + F	19	12	1	135.6	26 (17-38)	166 (114-241)	113 (96-129)	↑		n.c.	3 
Tumori maligni del sistema nervoso centrale (191-192)	F	9	6	.	.	24 (13-43)	158 (92-271)	110 (91-132)			n.c.	0 
Tumori maligni del sistema nervoso centrale (191-192)	M	11	7	.	.	30 (17-50)	160 (98-261)	100 (86-119)			n.c.	0 
Tumori maligni del sistema nervoso centrale (191-192)	M + F	20	13	.	.	27 (18-40)	159 (110-229)	102 (91-120)	↑		n.c.	2 
Tumori maligni della ghiandola tiroide (193)	F	22	10	1	146.2	60 (41-87)	219 (155-311)	120 (105-139)	↑	↑	n.c.	5 
Tumori maligni della ghiandola tiroide (193)	M	5	4	1	190.1	14 (6-30)	135 (66-278)	138 (97-200)			n.c.	2 
Tumori maligni della ghiandola tiroide (193)	M + F	27	14	1	161.9	38 (27-53)	197 (143-269)	146 (122-171)	↑	↑	n.c.	5 
Linfoma non Hodgkin (200, 202)	F	15	10	.	.	39 (24-61)	157 (103-239)	106 (94-116)	↑		n.c.	2 
Linfoma non Hodgkin (200, 202)	M	15	12	.	.	40 (25-62)	125 (82-190)	101 (83-123)			n.c.	0 
Linfoma non Hodgkin (200, 202)	M + F	30	22	.	.	39 (28-54)	139 (103-187)	105 (91-127)	↑		→	2 















Matelica				n. cluster sign.	SIR cluster	Tasso std. * 100000 (ic)	SIR (ic)	BIR (ic)	SIR sign.	BIR sign.	Trend	Livello attenzione
Causa (ICD-IX)	Genere	Osservati	Attesi									
Tumori emolinfopoietici (200-208)	F	33	21	1	117.1	85 (63-115)	156 (117-208)	111 (96-127)	↑		→	3 
Tumori emolinfopoietici (200-208)	M	37	26	.	.	98 (73-130)	141 (108-185)	118 (98-139)	↑		→	2 
Tumori emolinfopoietici (200-208)	M + F	70	47	1	116.5	91 (74-112)	148 (121-180)	123 (105-136)	↑	↑	→	5 
Malattia di Hodgkin (201)	F	<5	<5	.	.	8 (2-22)	159 (63-397)	91 (61-148)			n.c.	0 
Malattia di Hodgkin (201)	M	<5	<5	.	.	5 (1-18)	105 (35-318)	101 (80-132)			n.c.	0 
Malattia di Hodgkin (201)	M + F	5	4	.	.	7 (3-15)	132 (64-271)	93 (71-127)			n.c.	0 
Mieloma multiplo e tumori immunoproliferativi (203)	F	<5	<5	1	125.3	11 (4-26)	97 (43-216)	114 (94-155)			n.c.	2 
Mieloma multiplo e tumori immunoproliferativi (203)	M	6	5	1	142.2	16 (7-32)	122 (63-235)	111 (87-150)			n.c.	2 
Mieloma multiplo e tumori immunoproliferativi (203)	M + F	10	9	1	130.9	13 (7-23)	110 (66-185)	121 (98-153)			n.c.	2 
Leucemie (204-208)	F	12	7	1	121.8	30 (17-50)	183 (114-293)	123 (102-160)	↑	↑	n.c.	5 
Leucemie (204-208)	M	15	9	1	125.4	40 (25-62)	169 (111-257)	112 (88-144)	↑		n.c.	3 
Leucemie (204-208)	M + F	27	15	1	120.9	35 (25-48)	175 (128-240)	137 (108-173)	↑	↑	→	5 
Gozzo non tossico (240-241)	F	24	19	1	126.7	65 (44-92)	129 (92-179)	120 (95-151)			↘	2 
Gozzo non tossico (240-241)	M	9	6	1	130.3	24 (12-43)	155 (90-266)	126 (93-175)			n.c.	2 

Matelica													
Causa (ICD-IX)	Genere	Osservati	Attesi	n. cluster sign.	SIR cluster	Tasso std. * 100000 (ic)	SIR (ic)	BIR (ic)	SIR sign.	BIR sign.	Trend	Livello attenzione	
Gozzo non tossico (240-241)	M + F	33	25	1	126.4	45 (33-60)	135 (101-179)	129 (106-161)	↑	↑	↘	4 	
Malattie endocrine e della nutrizione (240-2799)	F	115	138	.	.	323 (275-378)	83 (72-97)	86 (73-96)	↓	↓	↘	0 	
Malattie endocrine e della nutrizione (240-2799)	M	82	106	.	.	228 (188-275)	77 (64-93)	80 (69-92)	↓	↓	↘	0 	
Malattie endocrine e della nutrizione (240-2799)	M + F	197	244	.	.	277 (245-312)	81 (72-91)	82 (75-92)	↓	↓	↘	0 	
Tireotossicosi (242)	F	10	7	.	.	26 (14-46)	152 (91-253)	115 (85-152)			n.c.	0 	
Tireotossicosi (242)	M	<5	<5	.	.	3 (0-14)	44 (10-197)	94 (57-146)			n.c.	0 	
Tireotossicosi (242)	M + F	11	9	.	.	15 (8-25)	124 (76-202)	105 (88-137)			n.c.	0 	
Ipotiroidismo (243-244)	F	<5	<5	1	132.5	8 (2-22)	118 (47-295)	95 (60-143)			n.c.	2 	
Ipotiroidismo (243-244)	M	<5	<5	.	.	9 (2-24)	136 (54-340)	100 (76-131)			n.c.	0 	
Ipotiroidismo (243-244)	M + F	6	5	.	.	8 (4-17)	126 (65-244)	96 (81-120)			n.c.	0 	
Diabete mellito (250)	F	15	29	.	.	40 (25-62)	52 (34-79)	58 (43-79)	↓	↓	↘	0 	
Diabete mellito (250)	M	30	33	.	.	80 (58-109)	90 (67-121)	74 (57-96)		↓	↘	0 	
Diabete mellito (250)	M + F	45	62	.	.	59 (45-76)	72 (57-92)	68 (55-85)	↓	↓	↘	0 	
Malattie del sangue e degli organi emopoietici (280-289)	F	36	42	1	117.5	95 (71-127)	86 (65-113)	89 (75-107)			↘	2 	

Matelica				n. cluster sign.	SIR cluster	Tasso std. * 100000 (ic)	SIR (ic)	BIR (ic)	SIR sign.	BIR sign.	Trend	Livello attenzione
Causa (ICD-IX)	Genere	Osservati	Attesi									
Malattie del sangue e degli organi emopoietici (280-289)	M	31	37	.	.	84 (61-114)	85 (63-114)	91 (76-110)			→	0 
Malattie del sangue e degli organi emopoietici (280-289)	M + F	67	79	.	.	90 (72-110)	85 (70-104)	88 (73-101)			↘	0 
Malattie neuro-psichiatriche (escluse tossicod.) (290-303, 306-319)	F	43	66	.	.	118 (90-153)	66 (51-84)	73 (56-82)	↓	↓	↘	0 
Malattie neuro-psichiatriche (escluse tossicod.) (290-303, 306-319)	M	60	71	.	.	171 (137-213)	85 (69-105)	81 (69-94)		↓	↘	0 
Malattie neuro-psichiatriche (escluse tossicod.) (290-303, 306-319)	M + F	103	136	.	.	144 (121-170)	76 (64-89)	74 (65-85)	↓	↓	↘	0 
Malattie del sistema nervoso e degli organi di senso (320-389)	F	389	467	.	.	1025 (941-1115)	83 (77-91)	86 (82-92)	↓	↓	↘	0 
Malattie del sistema nervoso e degli organi di senso (320-389)	M	304	379	.	.	821 (745-904)	80 (73-88)	84 (79-90)	↓	↓	↘	0 
Malattie del sistema nervoso e degli organi di senso (320-389)	M + F	693	846	.	.	927 (870-987)	82 (77-87)	83 (79-90)	↓	↓	↘	0 
Malattia di Alzheimer (3310)	F	14	15	.	.	35 (21-57)	94 (61-145)	80 (46-108)			n.c.	0 
Malattia di Alzheimer (3310)	M	8	8	.	.	21 (10-39)	104 (58-184)	91 (57-139)			n.c.	0 
Malattia di Alzheimer (3310)	M + F	22	23	.	.	28 (19-41)	97 (68-138)	89 (72-119)			n.c.	0 
Morbo di Parkinson (3320)	F	12	5	1	134.3	31 (18-51)	257 (161-412)	152 (101-253)	↑	↑	→	5 
Morbo di Parkinson (3320)	M	11	6	.	.	29 (16-49)	181 (111-295)	113 (79-163)	↑		n.c.	2 
Morbo di Parkinson (3320)	M + F	23	11	.	.	30 (20-43)	214 (152-301)	134 (92-185)	↑		→	2 

Matelica												
Causa (ICD-IX)	Genere	Osservati	Attesi	n. cluster sign.	SIR cluster	Tasso std. * 100000 (ic)	SIR (ic)	BIR (ic)	SIR sign.	BIR sign.	Trend	Livello attenzione
Malattia dei neuroni motori (3352)	F	0	2	.	.	0 (0-10)	0 (.-.)	43 (24-82)	↓	↓	n.c.	0 
Malattia dei neuroni motori (3352)	M	0	2	.	.	0 (0-10)	0 (.-.)	82 (52-113)	↓		n.c.	0 
Malattia dei neuroni motori (3352)	M + F	0	4	.	.	0 (0-5)	0 (.-.)	59 (38-87)	↓	↓	n.c.	0 
Sclerosi multipla (340)	F	10	7	.	.	28 (15-48)	151 (90-252)	111 (84-136)			n.c.	0 
Sclerosi multipla (340)	M	<5	<5	.	.	8 (2-23)	90 (36-226)	101 (75-131)			n.c.	0 
Sclerosi multipla (340)	M + F	13	10	1	134.7	18 (11-30)	130 (83-205)	115 (98-140)			n.c.	2 
Malattie cardiache (390-429)	F	298	305	.	.	757 (686-834)	98 (89-108)	98 (90-108)			↘	0 
Malattie cardiache (390-429)	M	350	387	.	.	927 (846-1013)	91 (83-99)	93 (87-100)	↓	↓	↘	0 
Malattie cardiache (390-429)	M + F	648	691	.	.	841 (787-898)	94 (88-100)	95 (90-100)		↓	↘	0 
Malattie dell'apparato circolatorio (390-459)	F	644	554	2	106.1	1653 (1547-1765)	116 (109-124)	112 (106-118)	↑	↑	↘	4 
Malattie dell'apparato circolatorio (390-459)	M	640	642	.	.	1701 (1591-1817)	100 (93-106)	99 (94-104)			↘	0 
Malattie dell'apparato circolatorio (390-459)	M + F	1284	1195	1	104.0	1679 (1603-1759)	107 (103-113)	105 (101-112)	↑	↑	↘	4 
Malattie ischemiche del cuore (410-4149)	F	90	93	.	.	229 (191-274)	97 (81-115)	94 (84-108)			↘	0 
Malattie ischemiche del cuore (410-4149)	M	139	179	.	.	371 (321-428)	78 (68-89)	85 (77-95)	↓	↓	↘	0 

Matelica				n. cluster sign.	SIR cluster	Tasso std. * 100000 (ic)	SIR (ic)	BIR (ic)	SIR sign.	BIR sign.	Trend	Livello attenzione
Causa (ICD-IX)	Genere	Osservati	Attesi									
Malattie ischemiche del cuore (410-4149)	M + F	229	272	.	.	297 (266-332)	84 (76-94)	89 (83-97)	↓	↓	↘	0 
Insufficienza cardiaca (scompenso cardiaco) (428)	F	129	118	.	.	321 (276-372)	110 (95-127)	108 (96-118)			→	0 
Insufficienza cardiaca (scompenso cardiaco) (428)	M	89	107	.	.	227 (189-272)	84 (70-99)	89 (78-100)	↓		→	0 
Insufficienza cardiaca (scompenso cardiaco) (428)	M + F	218	224	.	.	277 (247-311)	97 (87-109)	98 (90-107)			→	0 
Malattie cerebrovascolari (430-438)	F	269	167	2	113.9	679 (612-752)	161 (146-178)	149 (136-160)	↑	↑	→	5 
Malattie cerebrovascolari (430-438)	M	238	168	1	113.2	619 (555-691)	142 (127-158)	130 (117-142)	↑	↑	→	5 
Malattie cerebrovascolari (430-438)	M + F	507	334	1	113.6	652 (605-703)	152 (141-163)	143 (133-152)	↑	↑	→	5 
Malattie dell'apparato respiratorio (460-5199)	F	366	281	1	107.2	987 (903-1077)	130 (120-142)	123 (115-134)	↑	↑	↘	4 
Malattie dell'apparato respiratorio (460-5199)	M	424	368	.	.	1172 (1080-1271)	115 (106-125)	111 (104-119)	↑	↑	↘	4 
Malattie dell'apparato respiratorio (460-5199)	M + F	790	649	1	107.3	1078 (1016-1144)	122 (115-129)	119 (114-125)	↑	↑	↘	4 
Malattie polmonari cronico ostruttive (490-492, 494, 496)	F	45	29	.	.	113 (87-146)	157 (123-201)	126 (101-159)	↑	↑	↘	4 
Malattie polmonari cronico ostruttive (490-492, 494, 496)	M	40	43	.	.	105 (80-138)	93 (72-120)	83 (68-103)			↘	0 
Malattie polmonari cronico ostruttive (490-492, 494, 496)	M + F	85	72	.	.	110 (91-132)	119 (99-142)	107 (88-131)			↘	0 
Pneumoconiosi (500-505)	F	0	0	.	.	0 (0-10)	0 (.-.)	64 (27-142)	↓		n.c.	0 

Matelica				n. cluster sign.	SIR cluster	Tasso std. * 100000 (ic)	SIR (ic)	BIR (ic)	SIR sign.	BIR sign.	Trend	Livello attenzione
Causa (ICD-IX)	Genere	Osservati	Attesi									
Pneumoconiosi (500-505)	M	0	1	.	.	0 (0-10)	0 (-.)	50 (18-123)	↓		n.c.	0 
Pneumoconiosi (500-505)	M + F	0	1	.	.	0 (0-5)	0 (-.)	54 (26-103)	↓		n.c.	0 
Malattie dell'apparato digerente (520-579)	F	425	373	1	107.5	1137 (1048-1233)	114 (105-124)	108 (103-117)	↑	↑	→	5 
Malattie dell'apparato digerente (520-579)	M	574	531	.	.	1588 (1481-1703)	108 (101-116)	105 (99-111)	↑		→	2 
Malattie dell'apparato digerente (520-579)	M + F	999	904	1	106.3	1355 (1286-1429)	111 (105-116)	108 (102-114)	↑	↑	→	5 
Cirrosi e altre malattie croniche del fegato (571)	F	13	10	.	.	34 (20-55)	128 (82-202)	103 (89-131)			→	0 
Cirrosi e altre malattie croniche del fegato (571)	M	25	18	.	.	70 (48-98)	138 (99-191)	119 (93-155)			↘	0 
Cirrosi e altre malattie croniche del fegato (571)	M + F	38	28	2	128.6	51 (39-68)	134 (103-175)	120 (102-144)	↑	↑	↘	4 
Nefropatie croniche e acute (580-589)	F	69	39	2	171.5	173 (140-212)	179 (147-218)	149 (121-174)	↑	↑	↘	4 
Nefropatie croniche e acute (580-589)	M	75	51	2	117.3	198 (162-240)	148 (123-179)	123 (105-143)	↑	↑	→	5 
Nefropatie croniche e acute (580-589)	M + F	144	89	2	145.5	185 (160-213)	162 (141-185)	144 (122-158)	↑	↑	→	5 
Malattie dell'apparato urinario (580-599)	F	108	101	.	.	281 (237-330)	107 (91-125)	100 (89-115)			↘	0 
Malattie dell'apparato urinario (580-599)	M	138	149	.	.	373 (322-431)	93 (81-107)	92 (85-101)			↘	0 
Malattie dell'apparato urinario (580-599)	M + F	246	249	.	.	326 (292-363)	99 (89-110)	97 (87-107)			↘	0 


















































Matelica												
Causa (ICD-IX)	Genere	Osservati	Attesi	n. cluster sign.	SIR cluster	Tasso std. * 100000 (ic)	SIR (ic)	BIR (ic)	SIR sign.	BIR sign.	Trend	Livello attenzione
Calcolosi del rene e delle vie urinarie (592, 594)	F	10	17	.	.	28 (15-49)	60 (36-101)	87 (69-101)			↘	0 
Calcolosi del rene e delle vie urinarie (592, 594)	M	27	36	.	.	76 (54-106)	75 (55-103)	94 (79-110)			↘	0 
Calcolosi del rene e delle vie urinarie (592, 594)	M + F	37	53	.	.	52 (38-68)	70 (54-92)	91 (80-102)	↓		↘	0 
Endometriosi (617)	F	16	13	1	152.7	45 (28-68)	121 (80-182)	128 (107-155)		↑	n.c.	4 
Aborto spontaneo (634)	F	11	36	.	.	32 (18-53)	31 (19-50)	47 (34-62)	↓	↓	n.c.	0 
Malformazioni congenite (740-759)	F	56	46	.	.	158 (125-198)	121 (97-151)	107 (95-120)			→	0 
Malformazioni congenite (740-759)	M	71	68	1	111.9	212 (173-259)	105 (86-127)	96 (86-117)			↘	2 
Malformazioni congenite (740-759)	M + F	127	114	1	110.4	185 (158-214)	112 (97-129)	102 (93-117)			↘	2 

Tabella 48. Primi ricoveri ospedalieri per causa nel comune di Poggio San Vicino, tutte le età – Anni 2006-2012, confronto Regione Marche.












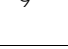

Poggio San Vicino												
Causa (ICD-IX)	Genere	Osservati	Attesi	n. cluster sign.	SIR cluster	Tasso std. * 100000 (ic)	SIR (ic)	BIR (ic)	SIR sign.	BIR sign.	Trend	Livello attenzione
Tumori maligni delle vie aeree e digestive superiori (140-150, 161)	F	0	0	.	.	0 (0-504)	0 (.-)	104 (80-143)	↓		n.c.	0 
Tumori maligni delle vie aeree e digestive superiori (140-150, 161)	M	0	1	.	.	0 (0-538)	0 (.-)	99 (81-119)	↓		n.c.	0 
Tumori maligni delle vie aeree e digestive superiori (140-150, 161)	M + F	0	1	.	.	0 (0-261)	0 (.-)	95 (80-109)	↓		n.c.	0 
Tumori maligni (140-208)	F	12	9	.	.	1094 (611-1928)	138 (86-221)	106 (96-123)			n.c.	0 
Tumori maligni (140-208)	M	13	11	.	.	915 (512-1687)	115 (73-181)	104 (91-117)			→	0 
Tumori maligni (140-208)	M + F	25	20	.	.	1002 (674-1499)	125 (90-173)	103 (90-120)			↗	1 
Tumori maligni dell'esofago (150)	F	0	0	.	.	0 (0-504)	0 (.-)	115 (66-230)	↓		n.c.	0 
Tumori maligni dell'esofago (150)	M	0	0	1	135.2	0 (0-538)	0 (.-)	74 (37-128)	↓		n.c.	2 
Tumori maligni dell'esofago (150)	M + F	0	0	1	128.6	0 (0-261)	0 (.-)	93 (62-132)	↓		n.c.	2 
Tumori maligni dello stomaco (151)	F	<5	<5	.	.	222 (38-832)	493 (163-1489)	111 (86-145)	↑		n.c.	2 
Tumori maligni dello stomaco (151)	M	<5	<5	.	.	54 (3-601)	162 (36-727)	106 (82-137)			n.c.	0 
Tumori maligni dello stomaco (151)	M + F	<5	<5	.	.	135 (32-452)	291 (116-729)	108 (85-138)	↑		n.c.	2 
Tumori maligni dell'intestino tenue, compreso il duodeno (152)	F	0	0	.	.	0 (0-504)	0 (.-)	56 (25-150)	↓		n.c.	0 















Poggio San Vicino												
Causa (ICD-IX)	Genere	Osservati	Attesi	n. cluster sign.	SIR cluster	Tasso std. * 100000 (ic)	SIR (ic)	BIR (ic)	SIR sign.	BIR sign.	Trend	Livello attenzione
Tumori maligni dell'intestino tenue, compreso il duodeno (152)	M	0	0	.	.	0 (0-538)	0 (.-)	99 (72-137)	↓		n.c.	0
Tumori maligni dell'intestino tenue, compreso il duodeno (152)	M + F	0	0	.	.	0 (0-261)	0 (.-)	85 (53-142)	↓		n.c.	0
Tumori maligni del colon (153)	F	<5	<5	.	.	140 (25-683)	231 (77-699)	90 (79-119)			n.c.	0
Tumori maligni del colon (153)	M	<5	<5	.	.	285 (69-938)	266 (106-666)	111 (86-142)	↑		n.c.	2
Tumori maligni del colon (153)	M + F	5	2	.	.	211 (78-543)	250 (122-514)	106 (86-139)	↑		n.c.	2
Tumori maligni del colon-retto (153-154)	F	<5	<5	.	.	140 (25-683)	167 (55-505)	101 (78-117)			n.c.	0
Tumori maligni del colon-retto (153-154)	M	<5	<5	.	.	285 (69-938)	182 (73-456)	105 (85-130)			n.c.	0
Tumori maligni del colon-retto (153-154)	M + F	5	3	.	.	211 (78-543)	175 (85-360)	101 (83-125)			n.c.	0
Tumori maligni del retto, della giunzione retto-sigmoidea e dell'ano (154)	F	<5	<0	1	122.3	73 (4-599)	251 (56-1127)	103 (78-123)			n.c.	2
Tumori maligni del retto, della giunzione retto-sigmoidea e dell'ano (154)	M	0	1	.	.	0 (0-538)	0 (.-)	98 (73-127)	↓		n.c.	0
Tumori maligni del retto, della giunzione retto-sigmoidea e dell'ano (154)	M + F	<5	<5	.	.	38 (2-310)	99 (22-442)	94 (69-111)			n.c.	0
Tumore fegato e dotti biliari (1550-1551)	F	0	0	.	.	0 (0-504)	0 (.-)	85 (47-125)	↓		n.c.	0
Tumore fegato e dotti biliari (1550-1551)	M	<5	<5	1	153.2	61 (3-611)	471 (105-2113)	108 (81-145)	↑		n.c.	3
Tumore fegato e dotti biliari (1550-1551)	M + F	<5	<5	.	.	29 (2-297)	325 (73-1459)	93 (66-150)			n.c.	0















Poggio San Vicino												
Causa (ICD-IX)	Genere	Osservati	Attesi	n. cluster sign.	SIR cluster	Tasso std. * 100000 (ic)	SIR (ic)	BIR (ic)	SIR sign.	BIR sign.	Trend	Livello attenzione
Tumori maligni del pancreas (157)	F	0	0	.	.	0 (0-504)	0 (.-)	111 (90-154)	↓		n.c.	0 
Tumori maligni del pancreas (157)	M	0	0	.	.	0 (0-538)	0 (.-)	102 (75-139)	↓		n.c.	0 
Tumori maligni del pancreas (157)	M + F	0	1	1	113.6	0 (0-261)	0 (.-)	102 (86-123)	↓		n.c.	2 
Tumore del retroperitoneo (1580)	F	<5	<5	.	.	76 (4-604)	5857 (1307-	109 (75-159)	↑		n.c.	2 
Tumore del retroperitoneo (1580)	M	0	0	.	.	0 (0-538)	0 (.-)	100 (48-207)	↓		n.c.	0 
Tumore del retroperitoneo (1580)	M + F	<5	<5	.	.	39 (2-312)	3100 (692-13897)	110 (69-175)	↑		n.c.	2 
Tumori maligni del naso (1600)	F	0	0	.	.	0 (0-504)	0 (.-)	79 (35-278)	↓		n.c.	0 
Tumori maligni del naso (1600)	M	0	0	.	.	0 (0-538)	0 (.-)	96 (70-133)	↓		n.c.	0 
Tumori maligni del naso (1600)	M + F	0	0	.	.	0 (0-261)	0 (.-)	93 (58-164)	↓		n.c.	0 
Tumori maligni della laringe (161)	F	0	0	.	.	0 (0-504)	0 (.-)	90 (37-192)	↓		n.c.	0 
Tumori maligni della laringe (161)	M	0	0	.	.	0 (0-538)	0 (.-)	102 (86-123)	↓		n.c.	0 
Tumori maligni della laringe (161)	M + F	0	0	.	.	0 (0-261)	0 (.-)	105 (73-143)	↓		n.c.	0 
Tumori maligni della trachea, dei bronchi e dei polmoni (162)	F	0	0	.	.	0 (0-504)	0 (.-)	89 (67-119)	↓		n.c.	0 
Tumori maligni della trachea, dei bronchi e dei polmoni (162)	M	0	1	1	119.6	0 (0-538)	0 (.-)	96 (76-119)	↓		n.c.	2 















Poggio San Vicino												
Causa (ICD-IX)	Genere	Osservati	Attesi	n. cluster sign.	SIR cluster	Tasso std. * 100000 (ic)	SIR (ic)	BIR (ic)	SIR sign.	BIR sign.	Trend	Livello attenzione
Tumori maligni della trachea, dei bronchi e dei polmoni (162)	M + F	0	2	.	.	0 (0-261)	0 (.-)	97 (79-117)	↓		n.c.	0 
Tumori maligni della pleura (163)	F	0	0	.	.	0 (0-504)	0 (.-)	82 (38-159)	↓		n.c.	0 
Tumori maligni della pleura (163)	M	0	0	.	.	0 (0-538)	0 (.-)	91 (42-188)	↓		n.c.	0 
Tumori maligni della pleura (163)	M + F	0	0	.	.	0 (0-261)	0 (.-)	92 (34-189)	↓		n.c.	0 
Mesoteliomi pleurici e peritoneali (1588, 163)	F	0	0	.	.	0 (0-504)	0 (.-)	109 (78-169)	↓		n.c.	0 
Mesoteliomi pleurici e peritoneali (1588, 163)	M	0	0	.	.	0 (0-538)	0 (.-)	97 (44-209)	↓		n.c.	0 
Mesoteliomi pleurici e peritoneali (1588, 163)	M + F	0	0	.	.	0 (0-261)	0 (.-)	94 (44-150)	↓		n.c.	0 
Tumori maligni delle ossa e della cartilagine articolare (170)	F	0	0	.	.	0 (0-504)	0 (.-)	96 (59-141)	↓		n.c.	0 
Tumori maligni delle ossa e della cartilagine articolare (170)	M	0	0	.	.	0 (0-538)	0 (.-)	96 (77-118)	↓		n.c.	0 
Tumori maligni delle ossa e della cartilagine articolare (170)	M + F	0	0	.	.	0 (0-261)	0 (.-)	99 (65-200)	↓		n.c.	0 
Tumori maligni del connettivo e di altri tessuti molli (171)	F	0	0	.	.	0 (0-504)	0 (.-)	98 (74-129)	↓		n.c.	0 
Tumori maligni del connettivo e di altri tessuti molli (171)	M	<5	<5	.	.	54 (3-601)	1018 (227-4562)	91 (54-151)	↑		n.c.	2 
Tumori maligni del connettivo e di altri tessuti molli (171)	M + F	<5	<5	.	.	21 (1-285)	593 (132-2660)	97 (66-147)	↑		n.c.	2 
Melanoma maligno della pelle (172)	F	0	0	.	.	0 (0-504)	0 (.-)	90 (63-127)	↓		n.c.	0 

Poggio San Vicino												
Causa (ICD-IX)	Genere	Osservati	Attesi	n. cluster sign.	SIR cluster	Tasso std. * 100000 (ic)	SIR (ic)	BIR (ic)	SIR sign.	BIR sign.	Trend	Livello attenzione
Melanoma maligno della pelle (172)	M	0	0	.	.	0 (0-538)	0 (.-)	89 (53-148)	↓		n.c.	0
Melanoma maligno della pelle (172)	M + F	0	0	.	.	0 (0-261)	0 (.-)	78 (63-108)	↓		n.c.	0
Tumori maligni della mammella (174-175)	F	<5	<5	.	.	331 (79-1000)	137 (55-344)	105 (91-124)			n.c.	0
Tumori maligni della mammella (174-175)	M	0	0	.	.	0 (0-538)	0 (.-)	102 (73-131)	↓		n.c.	0
Tumori maligni della mammella (174-175)	M + F	<5	<5	.	.	170 (41-516)	136 (54-340)	105 (91-123)			n.c.	0
Tumori maligni dell'utero (179-180, 182)	F	<5	<5	.	.	148 (26-697)	418 (138-1262)	107 (90-120)	↑		n.c.	2
Tumori maligni del corpo dell'utero (182)	F	<5	<5	.	.	148 (26-697)	606 (201-1831)	110 (92-125)	↑		n.c.	2
Tumori maligni dell'ovaio e degli altri annessi uterini (183)	F	0	0	.	.	0 (0-504)	0 (.-)	101 (83-117)	↓		n.c.	0
Tumore della prostata (185)	M	<5	<5	2	207.1	161 (39-731)	210 (84-525)	105 (81-137)			n.c.	1
Tumore del testicolo (186)	M	0	0	.	.	0 (0-538)	0 (.-)	95 (68-138)	↓		n.c.	0
Tumori maligni della vescica (188)	F	0	0	.	.	0 (0-504)	0 (.-)	103 (75-126)	↓		n.c.	0
Tumori maligni della vescica (188)	M	<5	<5	.	.	126 (6-731)	63 (14-285)	99 (83-119)			n.c.	0
Tumori maligni della vescica (188)	M + F	<5	<5	1	108.1	61 (3-355)	52 (12-235)	106 (83-133)			n.c.	2
Tumori maligni del rene e di altri e non specificati organi urinari (189)	F	0	0	.	.	0 (0-504)	0 (.-)	103 (88-119)	↓		n.c.	0

Poggio San Vicino												
Causa (ICD-IX)	Genere	Osservati	Attesi	n. cluster sign.	SIR cluster	Tasso std. * 100000 (ic)	SIR (ic)	BIR (ic)	SIR sign.	BIR sign.	Trend	Livello attenzione
Tumori maligni del rene e di altri e non specificati organi urinari (189)	M	0	1	.	.	0 (0-538)	0 (.-)	89 (70-115)	↓		n.c.	0 
Tumori maligni del rene e di altri e non specificati organi urinari (189)	M + F	0	1	.	.	0 (0-261)	0 (.-)	88 (74-104)	↓		n.c.	0 
Tumori maligni dell'encefalo (191)	F	0	0	.	.	0 (0-504)	0 (.-)	113 (80-162)	↓		n.c.	0 
Tumori maligni dell'encefalo (191)	M	<5	<5	.	.	80 (4-643)	474 (106-2123)	100 (83-119)	↑		n.c.	2 
Tumori maligni dell'encefalo (191)	M + F	<5	<5	1	135.6	39 (2-312)	265 (59-1189)	113 (92-130)			n.c.	2 
Tumori maligni del sistema nervoso centrale (191-192)	F	0	0	.	.	0 (0-504)	0 (.-)	103 (83-137)	↓		n.c.	0 
Tumori maligni del sistema nervoso centrale (191-192)	M	<5	<5	.	.	80 (4-643)	442 (99-1983)	99 (83-118)			n.c.	0 
Tumori maligni del sistema nervoso centrale (191-192)	M + F	<5	<5	.	.	39 (2-312)	242 (54-1084)	100 (82-121)			n.c.	0 
Tumori maligni della ghiandola tiroide (193)	F	0	0	1	146.2	0 (0-504)	0 (.-)	111 (90-138)	↓		n.c.	2 
Tumori maligni della ghiandola tiroide (193)	M	0	0	1	190.1	0 (0-538)	0 (.-)	129 (86-218)	↓		n.c.	2 
Tumori maligni della ghiandola tiroide (193)	M + F	0	0	.	.	0 (0-261)	0 (.-)	127 (104-157)	↓	↑	n.c.	9
Linfoma non Hodgkin (200, 202)	F	<5	<5	.	.	205 (33-804)	623 (206-1882)	100 (91-123)	↑		n.c.	2 
Linfoma non Hodgkin (200, 202)	M	<5	<5	.	.	54 (3-601)	239 (53-1073)	99 (77-128)			n.c.	0 
Linfoma non Hodgkin (200, 202)	M + F	<5	<5	.	.	127 (29-439)	404 (161-1011)	104 (80-124)	↑		n.c.	2 

Poggio San Vicino												
Causa (ICD-IX)	Genere	Osservati	Attesi	n. cluster sign.	SIR cluster	Tasso std. * 100000 (ic)	SIR (ic)	BIR (ic)	SIR sign.	BIR sign.	Trend	Livello attenzione
Tumori emolinfopoietici (200-208)	F	<5	<5	1	117.1	306 (80-939)	423 (169-1059)	112 (95-139)	↑		n.c.	3 
Tumori emolinfopoietici (200-208)	M	<5	<5	.	.	101 (18-655)	216 (71-652)	111 (89-143)			n.c.	0 
Tumori emolinfopoietici (200-208)	M + F	5	2	1	116.5	202 (71-533)	306 (149-628)	117 (95-149)	↑		n.c.	3 
Malattia di Hodgkin (201)	F	0	0	.	.	0 (0-504)	0 (-.)	113 (57-203)	↓		n.c.	0 
Malattia di Hodgkin (201)	M	0	0	.	.	0 (0-538)	0 (-.)	102 (79-144)	↓		n.c.	0 
Malattia di Hodgkin (201)	M + F	0	0	.	.	0 (0-261)	0 (-.)	92 (71-127)	↓		n.c.	0 
Mieloma multiplo e tumori immunoproliferativi (203)	F	0	0	1	125.3	0 (0-504)	0 (-.)	116 (87-171)	↓		n.c.	2 
Mieloma multiplo e tumori immunoproliferativi (203)	M	<5	<5	1	142.2	47 (2-592)	545 (122-2442)	114 (84-173)	↑		n.c.	3 
Mieloma multiplo e tumori immunoproliferativi (203)	M + F	<5	<5	1	130.9	23 (1-287)	305 (68-1367)	133 (87-174)			n.c.	2 
Leucemie (204-208)	F	<5	<5	1	121.8	101 (5-650)	456 (102-2045)	117 (97-144)	↑		n.c.	3 
Leucemie (204-208)	M	0	0	1	125.4	0 (0-538)	0 (-.)	107 (79-145)	↓		n.c.	2 
Leucemie (204-208)	M + F	<5	<5	1	120.9	52 (3-336)	186 (42-835)	121 (91-175)			n.c.	2 
Gozzo non tossico (240-241)	F	0	1	1	126.7	0 (0-504)	0 (-.)	96 (75-130)	↓		n.c.	2 
Gozzo non tossico (240-241)	M	0	0	1	130.3	0 (0-538)	0 (-.)	113 (71-169)	↓		n.c.	2 

Poggio San Vicino												
Causa (ICD-IX)	Genere	Osservati	Attesi	n. cluster sign.	SIR cluster	Tasso std. * 100000 (ic)	SIR (ic)	BIR (ic)	SIR sign.	BIR sign.	Trend	Livello attenzione
Gozzo non tossico (240-241)	M + F	0	1	1	126.4	0 (0-261)	0 (.-)	108 (86-166)	↓		n.c.	2 
Malattie endocrine e della nutrizione (240-2799)	F	<5	<5	.	.	176 (26-755)	47 (16-142)	82 (69-108)			n.c.	0 
Malattie endocrine e della nutrizione (240-2799)	M	<5	<5	.	.	261 (86-861)	106 (47-235)	90 (69-118)			n.c.	0 
Malattie endocrine e della nutrizione (240-2799)	M + F	6	8	.	.	217 (89-542)	75 (39-145)	88 (66-112)			n.c.	0 
Tireotossicosi (242)	F	0	0	.	.	0 (0-504)	0 (.-)	111 (71-151)	↓		n.c.	0 
Tireotossicosi (242)	M	0	0	.	.	0 (0-538)	0 (.-)	94 (50-185)	↓		n.c.	0 
Tireotossicosi (242)	M + F	0	0	.	.	0 (0-261)	0 (.-)	103 (74-144)	↓		n.c.	0 
Ipotiroidismo (243-244)	F	0	0	.	.	0 (0-504)	0 (.-)	95 (52-156)	↓		n.c.	0 
Ipotiroidismo (243-244)	M	0	0	.	.	0 (0-538)	0 (.-)	97 (71-133)	↓		n.c.	0 
Ipotiroidismo (243-244)	M + F	0	0	.	.	0 (0-261)	0 (.-)	93 (67-129)	↓		n.c.	0 
Diabete mellito (250)	F	<5	<5	.	.	55 (3-570)	105 (23-471)	76 (44-128)			n.c.	0 
Diabete mellito (250)	M	<5	<5	.	.	160 (28-746)	188 (62-567)	82 (50-133)			n.c.	0 
Diabete mellito (250)	M + F	<5	<5	.	.	106 (28-395)	149 (59-372)	80 (50-121)			n.c.	0 
Malattie del sangue e degli organi emopoietici (280-289)	F	0	1	1	117.5	0 (0-504)	0 (.-)	100 (76-123)	↓		n.c.	2 

Poggio San Vicino												
Causa (ICD-IX)	Genere	Osservati	Attesi	n. cluster sign.	SIR cluster	Tasso std. * 100000 (ic)	SIR (ic)	BIR (ic)	SIR sign.	BIR sign.	Trend	Livello attenzione
Malattie del sangue e degli organi emopoietici (280-289)	M	<5	<5	1	118.7	115 (20-674)	139 (46-421)	107 (80-138)			n.c.	2 
Malattie del sangue e degli organi emopoietici (280-289)	M + F	<5	<5	1	117.5	51 (9-320)	72 (24-216)	101 (82-143)			n.c.	2 
Malattie neuro-psichiatriche (escluse tossicod.) (290-303, 306-319)	F	<5	<5	.	.	269 (71-871)	152 (61-381)	86 (69-108)			n.c.	0 
Malattie neuro-psichiatriche (escluse tossicod.) (290-303, 306-319)	M	<5	<5	.	.	47 (2-592)	44 (10-198)	80 (61-105)			n.c.	0 
Malattie neuro-psichiatriche (escluse tossicod.) (290-303, 306-319)	M + F	<5	<5	.	.	161 (52-475)	95 (43-211)	85 (63-105)			n.c.	0 
Malattie del sistema nervoso e degli organi di senso (320-389)	F	18	16	.	.	1451 (910-2329)	112 (76-165)	93 (82-109)			n.c.	0 
Malattie del sistema nervoso e degli organi di senso (320-389)	M	11	14	.	.	746 (394-1475)	79 (49-130)	92 (82-104)			n.c.	0 
Malattie del sistema nervoso e degli organi di senso (320-389)	M + F	29	30	.	.	1109 (772-1612)	97 (71-131)	92 (83-103)			n.c.	0 
Malattia di Alzheimer (3310)	F	<5	<5	.	.	143 (25-688)	366 (121-1106)	81 (40-147)	↑		n.c.	2 
Malattia di Alzheimer (3310)	M	<5	<5	.	.	61 (3-611)	276 (61-1236)	82 (38-187)			n.c.	0 
Malattia di Alzheimer (3310)	M + F	<5	<5	.	.	103 (28-390)	330 (132-825)	92 (49-172)	↑		n.c.	2 
Morbo di Parkinson (3320)	F	0	0	1	134.3	0 (0-504)	0 (-.)	110 (67-198)	↓		n.c.	2 
Morbo di Parkinson (3320)	M	0	0	.	.	0 (0-538)	0 (-.)	85 (52-135)	↓		n.c.	0 
Morbo di Parkinson (3320)	M + F	0	0	.	.	0 (0-261)	0 (-.)	95 (59-148)	↓		n.c.	0 

Poggio San Vicino												
Causa (ICD-IX)	Genere	Osservati	Attesi	n. cluster sign.	SIR cluster	Tasso std. * 100000 (ic)	SIR (ic)	BIR (ic)	SIR sign.	BIR sign.	Trend	Livello attenzione
Malattia dei neuroni motori (3352)	F	0	0	.	.	0 (0-504)	0 (.-)	48 (27-109)	↓		n.c.	0
Malattia dei neuroni motori (3352)	M	0	0	.	.	0 (0-538)	0 (.-)	85 (51-124)	↓		n.c.	0
Malattia dei neuroni motori (3352)	M + F	0	0	.	.	0 (0-261)	0 (.-)	68 (35-107)	↓		n.c.	0
Sclerosi multipla (340)	F	0	0	.	.	0 (0-504)	0 (.-)	107 (83-162)	↓		n.c.	0
Sclerosi multipla (340)	M	0	0	.	.	0 (0-538)	0 (.-)	100 (71-132)	↓		n.c.	0
Sclerosi multipla (340)	M + F	0	0	1	134.7	0 (0-261)	0 (.-)	109 (86-144)	↓		n.c.	2
Malattie cardiache (390-429)	F	10	11	.	.	742 (400-1433)	94 (56-157)	94 (78-104)			n.c.	0
Malattie cardiache (390-429)	M	13	15	.	.	903 (508-1666)	87 (56-137)	95 (83-108)			→	0
Malattie cardiache (390-429)	M + F	23	25	.	.	815 (546-1251)	91 (64-127)	93 (80-106)			↘	0
Malattie dell'apparato circolatorio (390-459)	F	14	19	.	.	1131 (665-1940)	74 (48-115)	95 (86-107)			↘	0
Malattie dell'apparato circolatorio (390-459)	M	20	24	.	.	1543 (985-2455)	83 (58-120)	94 (85-105)			→	0
Malattie dell'apparato circolatorio (390-459)	M + F	34	43	.	.	1326 (953-1863)	80 (60-105)	95 (85-102)			↘	0
Malattie ischemiche del cuore (410-4149)	F	<5	<5	1	113.8	96 (5-640)	31 (7-137)	86 (71-115)			n.c.	2
Malattie ischemiche del cuore (410-4149)	M	8	6	1	111.0	533 (239-1222)	127 (71-225)	96 (81-118)			n.c.	2

Poggio San Vicino												
Causa (ICD-IX)	Genere	Osservati	Attesi	n. cluster sign.	SIR cluster	Tasso std. * 100000 (ic)	SIR (ic)	BIR (ic)	SIR sign.	BIR sign.	Trend	Livello attenzione
Malattie ischemiche del cuore (410-4149)	M + F	9	10	.	.	316 (154-665)	94 (55-162)	89 (79-111)			n.c.	0
Insufficienza cardiaca (scompenso cardiaco) (428)	F	7	4	.	.	497 (233-1129)	170 (92-313)	105 (86-126)			n.c.	0
Insufficienza cardiaca (scompenso cardiaco) (428)	M	5	5	.	.	309 (108-929)	100 (49-206)	97 (78-120)			n.c.	0
Insufficienza cardiaca (scompenso cardiaco) (428)	M + F	12	9	.	.	411 (232-769)	133 (83-214)	103 (87-128)			n.c.	0
Malattie cerebrovascolari (430-438)	F	<5	>5	.	.	274 (92-849)	68 (31-152)	102 (85-119)			n.c.	0
Malattie cerebrovascolari (430-438)	M	<5	>5	.	.	253 (61-883)	43 (17-108)	92 (75-110)			n.c.	0
Malattie cerebrovascolari (430-438)	M + F	7	13	.	.	264 (119-599)	55 (30-101)	90 (70-106)			n.c.	0
Malattie dell'apparato respiratorio (460-5199)	F	9	9	1	107.2	736 (369-1463)	102 (59-175)	110 (91-127)			n.c.	2
Malattie dell'apparato respiratorio (460-5199)	M	19	15	1	108.2	1353 (834-2230)	129 (89-188)	108 (95-124)			n.c.	2
Malattie dell'apparato respiratorio (460-5199)	M + F	28	23	1	107.3	1069 (739-1566)	120 (88-164)	114 (101-128)		↑	n.c.	4
Malattie polmonari cronico ostruttive (490-492, 494, 496)	F	<5	<5	.	.	146 (26-692)	202 (67-611)	96 (56-150)			n.c.	0
Malattie polmonari cronico ostruttive (490-492, 494, 496)	M	5	2	.	.	186 (56-756)	263 (128-541)	96 (66-152)	↑		n.c.	2
Malattie polmonari cronico ostruttive (490-492, 494, 496)	M + F	7	3	.	.	199 (90-502)	244 (132-450)	114 (79-170)	↑		n.c.	2
Pneumoconiosi (500-505)	F	0	0	.	.	0 (0-504)	0 (.-.)	60 (22-173)	↓		n.c.	0

Poggio San Vicino												
Causa (ICD-IX)	Genere	Osservati	Attesi	n. cluster sign.	SIR cluster	Tasso std. * 100000 (ic)	SIR (ic)	BIR (ic)	SIR sign.	BIR sign.	Trend	Livello attenzione
Pneumoconiosi (500-505)	M	0	0	.	.	0 (0-538)	0 (.-)	69 (21-226)	↓		n.c.	0
Pneumoconiosi (500-505)	M + F	0	0	.	.	0 (0-261)	0 (.-)	76 (34-202)	↓		n.c.	0
Malattie dell'apparato digerente (520-579)	F	13	12	1	107.5	1066 (615-1862)	112 (71-176)	105 (94-114)			n.c.	2
Malattie dell'apparato digerente (520-579)	M	22	17	.	.	1742 (1149-2684)	127 (89-179)	104 (96-115)			→	0
Malattie dell'apparato digerente (520-579)	M + F	35	29	1	106.3	1384 (1005-1927)	121 (91-159)	104 (98-119)			→	2
Cirrosi e altre malattie croniche del fegato (571)	F	0	0	.	.	0 (0-504)	0 (.-)	101 (77-125)	↓		n.c.	0
Cirrosi e altre malattie croniche del fegato (571)	M	<5	<5	.	.	80 (4-643)	177 (39-793)	101 (70-154)			n.c.	0
Cirrosi e altre malattie croniche del fegato (571)	M + F	<5	<5	.	.	39 (2-312)	111 (25-500)	104 (83-137)			n.c.	0
Nefropatie croniche e acute (580-589)	F	<5	<5	.	.	73 (4-599)	76 (17-341)	102 (71-137)			n.c.	0
Nefropatie croniche e acute (580-589)	M	0	2	.	.	0 (0-538)	0 (.-)	93 (71-121)	↓		n.c.	0
Nefropatie croniche e acute (580-589)	M + F	<5	<5	.	.	38 (2-310)	29 (7-132)	96 (71-123)			n.c.	0
Malattie dell'apparato urinario (580-599)	F	<5	<5	.	.	73 (4-599)	31 (7-137)	85 (70-112)			n.c.	0
Malattie dell'apparato urinario (580-599)	M	<5	>5	.	.	313 (97-954)	71 (32-157)	91 (77-106)			n.c.	0
Malattie dell'apparato urinario (580-599)	M + F	5	9	.	.	190 (70-509)	56 (27-115)	87 (76-106)			n.c.	0








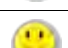



























Poggio San Vicino												
Causa (ICD-IX)	Genere	Osservati	Attesi	n. cluster sign.	SIR cluster	Tasso std. * 100000 (ic)	SIR (ic)	BIR (ic)	SIR sign.	BIR sign.	Trend	Livello attenzione
Calcolosi del rene e delle vie urinarie (592, 594)	F	0	1	.	.	0 (0-504)	0 (-.)	89 (70-118)	↓		n.c.	0 
Calcolosi del rene e delle vie urinarie (592, 594)	M	<5	<5	2	108.3	140 (24-715)	183 (61-553)	104 (84-129)			n.c.	1 
Calcolosi del rene e delle vie urinarie (592, 594)	M + F	<5	<5	.	.	68 (12-347)	125 (41-377)	100 (81-124)			n.c.	0 
Endometriosi (617)	F	<5	<5	1	152.7	178 (32-748)	520 (172-1572)	134 (90-179)	↑		n.c.	3 
Aborto spontaneo (634)	F	0	1	.	.	0 (0-504)	0 (-.)	55 (38-87)	↓	↓	n.c.	0 
Malformazioni congenite (740-759)	F	<5	<5	.	.	230 (40-847)	155 (51-469)	105 (94-123)			n.c.	0 
Malformazioni congenite (740-759)	M	<5	<5	1	111.9	120 (6-718)	41 (9-183)	91 (74-110)			n.c.	2 
Malformazioni congenite (740-759)	M + F	<5	<5	1	110.4	177 (48-517)	82 (33-205)	98 (83-111)			n.c.	2 

Tabella 49. Primi ricoveri ospedalieri per causa nel comune di Sassoferrato, tutte le età – Anni 2006-2012, confronto Regione Marche.

Sassoferrato				n. cluster sign.	SIR cluster	Tasso std. * 100000 (ic)	SIR (ic)	BIR (ic)	SIR sign.	BIR sign.	Trend	Livello attenzione
Causa (ICD-IX)	Genere	Osservati	Attesi									
Tumori maligni delle vie aeree e digestive superiori (140-150, 161)	F	<5	<5	.	.	7 (1-24)	64 (21-192)	98 (79-122)			n.c.	0 
Tumori maligni delle vie aeree e digestive superiori (140-150, 161)	M	11	10	1	115.8	39 (22-66)	113 (69-185)	104 (88-126)			n.c.	2 
Tumori maligni delle vie aeree e digestive superiori (140-150, 161)	M + F	13	13	1	114.1	23 (13-37)	101 (64-159)	105 (87-123)			n.c.	2 
Tumori maligni (140-208)	F	230	203	.	.	785 (701-877)	114 (102-127)	108 (100-117)	↑		→	2 
Tumori maligni (140-208)	M	268	227	.	.	968 (872-1072)	118 (107-131)	109 (100-118)	↑	↑	↗	6 
Tumori maligni (140-208)	M + F	498	430	.	.	872 (808-940)	116 (108-125)	111 (103-121)	↑	↑	↗	6 
Tumori maligni dell'esofago (150)	F	0	1	.	.	0 (0-13)	0 (.-)	121 (58-217)	↓		n.c.	0 
Tumori maligni dell'esofago (150)	M	<5	<5	1	135.2	3 (0-18)	75 (17-334)	91 (47-151)			n.c.	2 
Tumori maligni dell'esofago (150)	M + F	<5	<5	1	128.6	1 (0-9)	53 (12-240)	98 (73-149)			n.c.	2 
Tumori maligni dello stomaco (151)	F	6	9	.	.	17 (7-37)	64 (33-123)	104 (76-137)			n.c.	0 
Tumori maligni dello stomaco (151)	M	11	12	.	.	40 (22-67)	95 (58-155)	107 (81-134)			n.c.	0 
Tumori maligni dello stomaco (151)	M + F	17	21	.	.	28 (18-43)	81 (54-120)	101 (76-121)			↘	0 
Tumori maligni dell'intestino tenue, compreso il duodeno (152)	F	0	1	.	.	0 (0-13)	0 (.-)	63 (25-137)	↓		n.c.	0 















Sassoferrato												
Causa (ICD-IX)	Genere	Osservati	Attesi	n. cluster sign.	SIR cluster	Tasso std. * 100000 (ic)	SIR (ic)	BIR (ic)	SIR sign.	BIR sign.	Trend	Livello attenzione
Tumori maligni dell'intestino tenue, compreso il duodeno (152)	M	<5	<5	.	.	4 (0-19)	106 (24-477)	99 (75-137)			n.c.	0
Tumori maligni dell'intestino tenue, compreso il duodeno (152)	M + F	<5	<5	.	.	2 (0-10)	67 (15-299)	76 (33-136)			n.c.	0
Tumori maligni del colon (153)	F	18	20	.	.	63 (41-95)	92 (62-135)	95 (78-115)			n.c.	0
Tumori maligni del colon (153)	M	27	22	.	.	97 (68-134)	122 (89-167)	108 (90-134)			→	0
Tumori maligni del colon (153)	M + F	45	42	.	.	79 (61-102)	108 (84-138)	104 (89-123)			→	0
Tumori maligni del colon-retto (153-154)	F	31	27	.	.	107 (77-145)	114 (85-153)	103 (82-117)			→	0
Tumori maligni del colon-retto (153-154)	M	43	33	.	.	154 (118-200)	132 (103-169)	116 (97-138)	↑		→	2
Tumori maligni del colon-retto (153-154)	M + F	74	60	.	.	130 (106-158)	124 (102-150)	117 (98-132)	↑		→	2
Tumori maligni del retto, della giunzione retto-sigmoidea e dell'ano (154)	F	13	9	1	122.3	43 (26-71)	144 (92-227)	103 (79-144)			n.c.	2
Tumori maligni del retto, della giunzione retto-sigmoidea e dell'ano (154)	M	17	12	1	137.3	61 (39-93)	137 (92-204)	117 (91-147)			n.c.	2
Tumori maligni del retto, della giunzione retto-sigmoidea e dell'ano (154)	M + F	30	21	1	135.5	52 (38-72)	140 (104-189)	122 (105-148)	↑	↑	→	5
Tumore fegato e dotti biliari (1550-1551)	F	<5	<5	.	.	7 (1-23)	95 (31-287)	89 (54-148)			n.c.	0
Tumore fegato e dotti biliari (1550-1551)	M	10	4	1	153.2	36 (19-62)	229 (137-383)	127 (96-185)	↑		n.c.	3
Tumore fegato e dotti biliari (1550-1551)	M + F	12	7	1	161.0	21 (12-34)	185 (116-297)	143 (96-188)	↑		n.c.	3















Sassoferrato												
Causa (ICD-IX)	Genere	Osservati	Attesi	n. cluster sign.	SIR cluster	Tasso std. * 100000 (ic)	SIR (ic)	BIR (ic)	SIR sign.	BIR sign.	Trend	Livello attenzione
Tumori maligni del pancreas (157)	F	5	6	.	.	16 (6-35)	80 (39-165)	104 (84-134)			n.c.	0
Tumori maligni del pancreas (157)	M	9	6	.	.	34 (17-59)	148 (86-255)	103 (78-135)			n.c.	0
Tumori maligni del pancreas (157)	M + F	14	12	1	113.6	24 (15-39)	114 (74-176)	103 (88-123)			→	2
Tumore del retroperitoneo (1580)	F	<5	<5	.	.	3 (0-17)	248 (55-1112)	98 (70-128)			n.c.	0
Tumore del retroperitoneo (1580)	M	0	0	.	.	0 (0-13)	0 (.-.)	87 (44-171)	↓		n.c.	0
Tumore del retroperitoneo (1580)	M + F	<5	<5	.	.	2 (0-9)	139 (31-622)	121 (74-190)			n.c.	0
Tumori maligni del naso (1600)	F	<5	<5	.	.	4 (0-19)	909 (203-4077)	107 (29-341)	↑		n.c.	2
Tumori maligni del naso (1600)	M	0	0	.	.	0 (0-13)	0 (.-.)	97 (70-135)	↓		n.c.	0
Tumori maligni del naso (1600)	M + F	<5	<5	.	.	2 (0-10)	299 (67-1342)	95 (60-176)			n.c.	0
Tumori maligni della laringe (161)	F	0	0	.	.	0 (0-13)	0 (.-.)	80 (43-148)	↓		n.c.	0
Tumori maligni della laringe (161)	M	8	4	.	.	29 (14-53)	197 (111-350)	107 (89-134)	↑		n.c.	2
Tumori maligni della laringe (161)	M + F	8	4	.	.	14 (7-26)	181 (102-322)	131 (86-167)	↑		n.c.	2
Tumori maligni della trachea, dei bronchi e dei polmoni (162)	F	14	9	.	.	47 (28-75)	162 (105-251)	100 (80-133)	↑		n.c.	2
Tumori maligni della trachea, dei bronchi e dei polmoni (162)	M	26	26	.	.	93 (65-130)	99 (72-137)	95 (79-113)			↘	0















Sassoferrato												
Causa (ICD-IX)	Genere	Osservati	Attesi	n. cluster sign.	SIR cluster	Tasso std. * 100000 (ic)	SIR (ic)	BIR (ic)	SIR sign.	BIR sign.	Trend	Livello attenzione
Tumori maligni della trachea, dei bronchi e dei polmoni (162)	M + F	40	35	.	.	69 (52-91)	115 (88-149)	101 (88-118)			→	0 
Tumori maligni della pleura (163)	F	0	1	.	.	0 (0-13)	0 (.-)	94 (37-216)	↓		n.c.	0 
Tumori maligni della pleura (163)	M	<5	<5	.	.	7 (1-23)	175 (58-529)	96 (46-183)			n.c.	0 
Tumori maligni della pleura (163)	M + F	<5	<5	.	.	3 (1-12)	122 (40-367)	80 (40-184)			n.c.	0 
Mesoteliomi pleurici e peritoneali (1588, 163)	F	0	1	.	.	0 (0-13)	0 (.-)	108 (69-144)	↓		n.c.	0 
Mesoteliomi pleurici e peritoneali (1588, 163)	M	<5	<5	.	.	7 (1-23)	159 (53-480)	90 (42-170)			n.c.	0 
Mesoteliomi pleurici e peritoneali (1588, 163)	M + F	<5	<5	.	.	3 (1-12)	103 (34-310)	86 (47-168)			n.c.	0 
Tumori maligni delle ossa e della cartilagine articolare (170)	F	<5	<5	.	.	7 (1-23)	318 (105-962)	99 (61-145)	↑		n.c.	2 
Tumori maligni delle ossa e della cartilagine articolare (170)	M	<5	<5	.	.	4 (0-19)	128 (29-575)	95 (77-117)			n.c.	0 
Tumori maligni delle ossa e della cartilagine articolare (170)	M + F	<5	<5	.	.	5 (1-15)	213 (85-532)	119 (69-186)			n.c.	0 
Tumori maligni del connettivo e di altri tessuti molli (171)	F	<5	<5	.	.	4 (0-19)	61 (14-274)	103 (74-133)			n.c.	0 
Tumori maligni del connettivo e di altri tessuti molli (171)	M	0	2	.	.	0 (0-13)	0 (.-)	78 (44-119)	↓		n.c.	0 
Tumori maligni del connettivo e di altri tessuti molli (171)	M + F	<5	<5	.	.	2 (0-10)	27 (6-121)	91 (41-119)			n.c.	0 
Melanoma maligno della pelle (172)	F	5	4	.	.	16 (6-36)	122 (59-251)	101 (71-149)			n.c.	0 















Sassoferrato												
Causa (ICD-IX)	Genere	Osservati	Attesi	n. cluster sign.	SIR cluster	Tasso std. * 100000 (ic)	SIR (ic)	BIR (ic)	SIR sign.	BIR sign.	Trend	Livello attenzione
Melanoma maligno della pelle (172)	M	6	4	.	.	22 (10-45)	137 (71-265)	106 (71-155)			n.c.	0
Melanoma maligno della pelle (172)	M + F	11	9	.	.	19 (11-33)	130 (79-212)	109 (79-141)			n.c.	0
Tumori maligni della mammella (174-175)	F	61	52	.	.	221 (177-275)	118 (96-146)	107 (95-122)			→	0
Tumori maligni della mammella (174-175)	M	0	1	.	.	0 (0-13)	0 (.-)	95 (66-124)	↓		n.c.	0
Tumori maligni della mammella (174-175)	M + F	61	52	.	.	114 (91-141)	117 (95-144)	107 (95-121)			→	0
Tumori maligni dell'utero (179-180, 182)	F	12	11	.	.	42 (24-70)	107 (67-172)	103 (88-120)			n.c.	0
Tumori maligni del corpo dell'utero (182)	F	9	8	.	.	31 (16-55)	119 (69-204)	106 (91-125)			n.c.	0
Tumori maligni dell'ovaio e degli altri annessi uterini (183)	F	<5	>5	.	.	6 (1-22)	34 (11-101)	98 (87-110)			n.c.	0
Tumore della prostata (185)	M	26	31	.	.	95 (67-133)	84 (61-115)	90 (74-111)			→	0
Tumore del testicolo (186)	M	<5	<5	.	.	8 (1-26)	90 (30-270)	97 (68-136)			n.c.	0
Tumori maligni della vescica (188)	F	16	7	1	127.1	53 (33-82)	224 (149-337)	121 (104-157)	↑	↑	n.c.	5
Tumori maligni della vescica (188)	M	41	30	.	.	148 (112-193)	136 (105-175)	109 (94-129)	↑		→	2
Tumori maligni della vescica (188)	M + F	57	37	1	108.1	99 (78-124)	153 (123-190)	124 (103-140)	↑	↑	→	5
Tumori maligni del rene e di altri e non specificati organi urinari (189)	F	5	5	.	.	18 (7-38)	92 (45-189)	102 (86-120)			n.c.	0















Sassoferrato												
Causa (ICD-IX)	Genere	Osservati	Attesi	n. cluster sign.	SIR cluster	Tasso std. * 100000 (ic)	SIR (ic)	BIR (ic)	SIR sign.	BIR sign.	Trend	Livello attenzione
Tumori maligni del rene e di altri e non specificati organi urinari (189)	M	14	11	.	.	51 (31-81)	131 (84-202)	95 (77-119)			n.c.	0
Tumori maligni del rene e di altri e non specificati organi urinari (189)	M + F	19	16	.	.	34 (22-50)	118 (81-171)	96 (81-112)			n.c.	0
Tumori maligni dell'encefalo (191)	F	<5	<5	.	.	8 (1-25)	52 (17-157)	104 (69-145)			n.c.	0
Tumori maligni dell'encefalo (191)	M	<5	>5	.	.	7 (1-23)	42 (14-128)	98 (78-116)			n.c.	0
Tumori maligni dell'encefalo (191)	M + F	<5	>5	.	.	7 (2-17)	47 (21-104)	98 (80-120)			n.c.	0
Tumori maligni del sistema nervoso centrale (191-192)	F	<5	<5	.	.	8 (1-25)	46 (15-138)	94 (63-115)			n.c.	0
Tumori maligni del sistema nervoso centrale (191-192)	M	<5	>5	.	.	7 (1-23)	40 (13-120)	97 (81-115)			n.c.	0
Tumori maligni del sistema nervoso centrale (191-192)	M + F	<5	>5	.	.	7 (2-17)	42 (19-95)	91 (74-108)	↓		n.c.	0
Tumori maligni della ghiandola tiroide (193)	F	8	7	.	.	31 (15-56)	110 (62-195)	99 (85-126)			n.c.	0
Tumori maligni della ghiandola tiroide (193)	M	5	3	1	190.1	18 (7-39)	184 (89-377)	130 (85-190)			n.c.	2
Tumori maligni della ghiandola tiroide (193)	M + F	13	10	.	.	25 (15-39)	130 (83-204)	112 (96-138)			n.c.	0
Linfoma non Hodgkin (200, 202)	F	7	7	.	.	25 (12-48)	96 (52-176)	97 (73-112)			n.c.	0
Linfoma non Hodgkin (200, 202)	M	10	9	.	.	36 (19-62)	113 (68-189)	102 (82-125)			n.c.	0
Linfoma non Hodgkin (200, 202)	M + F	17	16	.	.	30 (19-46)	105 (71-156)	100 (84-121)			n.c.	0

Sassoferrato												
Causa (ICD-IX)	Genere	Osservati	Attesi	n. cluster sign.	SIR cluster	Tasso std. * 100000 (ic)	SIR (ic)	BIR (ic)	SIR sign.	BIR sign.	Trend	Livello attenzione
Tumori emolinfopoietici (200-208)	F	19	16	1	117.1	62 (41-93)	117 (80-170)	105 (90-127)			→	2 
Tumori emolinfopoietici (200-208)	M	24	19	.	.	88 (61-125)	124 (89-174)	108 (90-132)			→	0 
Tumori emolinfopoietici (200-208)	M + F	43	36	1	116.5	75 (57-97)	121 (94-155)	110 (96-131)			→	2 
Malattia di Hodgkin (201)	F	<5	<5	.	.	4 (0-19)	72 (16-321)	102 (55-182)			n.c.	0 
Malattia di Hodgkin (201)	M	0	1	.	.	0 (0-13)	0 (.-.)	100 (77-131)	↓		n.c.	0 
Malattia di Hodgkin (201)	M + F	<5	<5	.	.	2 (0-10)	36 (8-161)	96 (63-136)			n.c.	0 
Mieloma multiplo e tumori immunoproliferativi (203)	F	6	3	1	125.3	20 (9-42)	186 (96-360)	124 (88-156)			n.c.	2 
Mieloma multiplo e tumori immunoproliferativi (203)	M	5	4	1	142.2	19 (7-40)	138 (67-284)	109 (81-152)			n.c.	2 
Mieloma multiplo e tumori immunoproliferativi (203)	M + F	11	7	1	130.9	19 (11-33)	161 (99-263)	130 (95-172)			n.c.	2 
Leucemie (204-208)	F	7	5	1	121.8	21 (10-42)	137 (74-252)	106 (85-146)			n.c.	2 
Leucemie (204-208)	M	10	7	1	125.4	38 (20-65)	153 (91-256)	114 (87-152)			n.c.	2 
Leucemie (204-208)	M + F	17	12	1	120.9	29 (18-44)	146 (98-217)	113 (96-155)			↗	1 
Gozzo non tossico (240-241)	F	15	13	.	.	56 (35-87)	112 (74-171)	104 (83-138)			n.c.	0 
Gozzo non tossico (240-241)	M	10	4	1	130.3	38 (21-66)	236 (141-395)	123 (85-185)	↑		n.c.	3 

Sassoferrato												
Causa (ICD-IX)	Genere	Osservati	Attesi	n. cluster sign.	SIR cluster	Tasso std. * 100000 (ic)	SIR (ic)	BIR (ic)	SIR sign.	BIR sign.	Trend	Livello attenzione
Gozzo non tossico (240-241)	M + F	25	18	.	.	48 (33-67)	142 (102-197)	122 (95-153)	↑		n.c.	2 
Malattie endocrine e della nutrizione (240-2799)	F	85	108	.	.	292 (241-351)	78 (66-94)	83 (73-100)	↓		↘	0 
Malattie endocrine e della nutrizione (240-2799)	M	66	80	.	.	247 (199-303)	83 (68-101)	89 (74-105)			→	0 
Malattie endocrine e della nutrizione (240-2799)	M + F	151	188	.	.	270 (235-310)	80 (70-92)	86 (74-98)	↓	↓	↘	0 
Tireotossicosi (242)	F	0	5	.	.	0 (0-13)	0 (.-.)	90 (64-111)	↓		n.c.	0 
Tireotossicosi (242)	M	0	2	.	.	0 (0-13)	0 (.-.)	88 (48-148)	↓		n.c.	0 
Tireotossicosi (242)	M + F	0	7	.	.	0 (0-6)	0 (.-.)	83 (57-105)	↓		n.c.	0 
Ipotiroidismo (243-244)	F	<5	<5	.	.	4 (0-19)	48 (11-214)	61 (37-120)			n.c.	0 
Ipotiroidismo (243-244)	M	<5	<5	.	.	4 (0-19)	55 (12-247)	90 (66-122)			n.c.	0 
Ipotiroidismo (243-244)	M + F	<5	<5	.	.	4 (1-12)	51 (17-155)	92 (73-108)			n.c.	0 
Diabete mellito (250)	F	16	22	.	.	54 (33-83)	72 (48-108)	74 (48-104)			n.c.	0 
Diabete mellito (250)	M	20	24	.	.	72 (48-106)	82 (57-118)	82 (62-112)			n.c.	0 
Diabete mellito (250)	M + F	36	47	.	.	62 (46-83)	77 (59-101)	73 (63-95)		↓	n.c.	0 
Malattie del sangue e degli organi emopoietici (280-289)	F	23	34	1	117.5	77 (53-111)	68 (48-95)	88 (71-105)	↓		n.c.	2 

Sassoferrato												
Causa (ICD-IX)	Genere	Osservati	Attesi	n. cluster sign.	SIR cluster	Tasso std. * 100000 (ic)	SIR (ic)	BIR (ic)	SIR sign.	BIR sign.	Trend	Livello attenzione
Malattie del sangue e degli organi emopoietici (280-289)	M	37	28	1	118.7	135 (101-178)	134 (103-176)	122 (100-149)	↑		→	3 
Malattie del sangue e degli organi emopoietici (280-289)	M + F	60	62	1	117.5	105 (84-131)	98 (79-121)	99 (86-114)			↘	2 
Malattie neuro-psichiatriche (escluse tossicod.) (290-303, 306-319)	F	42	50	.	.	136 (103-178)	84 (65-108)	90 (75-110)			↘	0 
Malattie neuro-psichiatriche (escluse tossicod.) (290-303, 306-319)	M	57	53	.	.	207 (164-259)	107 (86-133)	101 (84-122)			→	0 
Malattie neuro-psichiatriche (escluse tossicod.) (290-303, 306-319)	M + F	99	103	.	.	171 (144-203)	96 (81-113)	97 (89-111)			↘	0 
Malattie del sistema nervoso e degli organi di senso (320-389)	F	323	366	.	.	1090 (991-1197)	88 (81-97)	91 (86-99)	↓	↓	↘	0 
Malattie del sistema nervoso e degli organi di senso (320-389)	M	271	280	.	.	996 (898-1102)	97 (88-107)	98 (91-106)			↘	0 
Malattie del sistema nervoso e degli organi di senso (320-389)	M + F	594	646	.	.	1043 (974-1117)	92 (86-98)	94 (88-99)	↓	↓	↘	0 
Malattia di Alzheimer (3310)	F	7	13	.	.	20 (9-40)	54 (30-101)	48 (29-83)		↓	n.c.	0 
Malattia di Alzheimer (3310)	M	<5	>5	.	.	14 (5-33)	68 (30-151)	42 (22-77)		↓	n.c.	0 
Malattia di Alzheimer (3310)	M + F	11	19	.	.	17 (9-29)	59 (36-96)	47 (26-67)	↓	↓	n.c.	0 
Morbo di Parkinson (3320)	F	6	4	.	.	19 (8-39)	160 (83-310)	98 (65-150)			n.c.	0 
Morbo di Parkinson (3320)	M	<5	>5	.	.	14 (5-33)	89 (40-198)	77 (51-119)			n.c.	0 
Morbo di Parkinson (3320)	M + F	10	8	.	.	16 (9-29)	121 (72-203)	94 (60-143)			n.c.	0 

Sassoferrato												
Causa (ICD-IX)	Genere	Osservati	Attesi	n. cluster sign.	SIR cluster	Tasso std. * 100000 (ic)	SIR (ic)	BIR (ic)	SIR sign.	BIR sign.	Trend	Livello attenzione
Malattia dei neuroni motori (3352)	F	<5	<5	.	.	6 (1-22)	137 (45-415)	79 (40-179)			n.c.	0 
Malattia dei neuroni motori (3352)	M	<5	<5	.	.	7 (1-24)	154 (51-466)	93 (61-143)			n.c.	0 
Malattia dei neuroni motori (3352)	M + F	<5	<5	.	.	7 (2-16)	145 (65-323)	90 (49-134)			n.c.	0 
Sclerosi multipla (340)	F	11	5	.	.	41 (23-69)	229 (140-375)	127 (92-174)	↑		n.c.	2 
Sclerosi multipla (340)	M	<5	<5	.	.	16 (5-36)	161 (72-358)	105 (78-143)			n.c.	0 
Sclerosi multipla (340)	M + F	15	7	1	134.7	29 (18-45)	206 (135-314)	125 (102-164)	↑	↑	n.c.	5 
Malattie cardiache (390-429)	F	219	252	.	.	664 (591-745)	87 (78-97)	90 (83-101)	↓		↘	0 
Malattie cardiache (390-429)	M	283	287	.	.	1016 (918-1122)	99 (89-109)	97 (90-105)			↘	0 
Malattie cardiache (390-429)	M + F	502	539	.	.	837 (776-902)	93 (87-100)	94 (89-101)			↘	0 
Malattie dell'apparato circolatorio (390-459)	F	393	448	.	.	1227 (1126-1336)	88 (81-95)	89 (84-96)	↓	↓	↘	0 
Malattie dell'apparato circolatorio (390-459)	M	436	476	.	.	1567 (1445-1697)	92 (85-99)	93 (87-99)	↓	↓	↘	0 
Malattie dell'apparato circolatorio (390-459)	M + F	829	924	.	.	1394 (1314-1477)	90 (85-95)	91 (86-96)	↓	↓	↘	0 
Malattie ischemiche del cuore (410-4149)	F	63	76	.	.	192 (153-238)	83 (68-103)	88 (76-100)		↓	↘	0 
Malattie ischemiche del cuore (410-4149)	M	125	131	.	.	460 (394-535)	96 (82-111)	95 (84-106)			↘	0 

Sassoferrato												
Causa (ICD-IX)	Genere	Osservati	Attesi	n. cluster sign.	SIR cluster	Tasso std. * 100000 (ic)	SIR (ic)	BIR (ic)	SIR sign.	BIR sign.	Trend	Livello attenzione
Malattie ischemiche del cuore (410-4149)	M + F	188	206	.	.	322 (284-364)	91 (81-103)	93 (84-100)		↓	↘	0 
Insufficienza cardiaca (scompenso cardiaco) (428)	F	92	102	.	.	265 (221-317)	90 (76-107)	90 (74-106)			→	0 
Insufficienza cardiaca (scompenso cardiaco) (428)	M	72	82	.	.	251 (205-307)	88 (73-107)	91 (78-105)			→	0 
Insufficienza cardiaca (scompenso cardiaco) (428)	M + F	164	184	.	.	259 (227-296)	89 (79-102)	91 (81-101)			→	0 
Malattie cerebrovascolari (430-438)	F	129	140	.	.	385 (331-448)	92 (80-106)	90 (77-103)			↘	0 
Malattie cerebrovascolari (430-438)	M	108	126	.	.	376 (319-443)	86 (73-101)	89 (78-100)		↓	↘	0 
Malattie cerebrovascolari (430-438)	M + F	237	265	.	.	381 (341-425)	89 (80-99)	89 (78-98)	↓	↓	↘	0 
Malattie dell'apparato respiratorio (460-5199)	F	241	230	1	107.2	773 (692-863)	105 (94-116)	103 (96-116)			↘	2 
Malattie dell'apparato respiratorio (460-5199)	M	279	280	1	108.2	1018 (919-1125)	100 (90-110)	101 (92-110)			↘	2 
Malattie dell'apparato respiratorio (460-5199)	M + F	520	510	1	107.3	892 (828-960)	102 (95-110)	102 (98-107)			↘	2 
Malattie polmonari cronico ostruttive (490-492, 494, 496)	F	19	24	.	.	55 (36-82)	79 (54-115)	88 (69-118)			n.c.	0 
Malattie polmonari cronico ostruttive (490-492, 494, 496)	M	30	33	.	.	104 (75-142)	92 (68-124)	100 (80-128)			↘	0 
Malattie polmonari cronico ostruttive (490-492, 494, 496)	M + F	49	56	.	.	79 (61-101)	87 (69-110)	90 (76-118)			↘	0 
Pneumoconiosi (500-505)	F	0	0	.	.	0 (0-13)	0 (.-)	45 (22-155)	↓		n.c.	0 

Sassoferrato												
Causa (ICD-IX)	Genere	Osservati	Attesi	n. cluster sign.	SIR cluster	Tasso std. * 100000 (ic)	SIR (ic)	BIR (ic)	SIR sign.	BIR sign.	Trend	Livello attenzione
Pneumoconiosi (500-505)	M	0	1	.	.	0 (0-13)	0 (.-)	111 (34-288)	↓		n.c.	0
Pneumoconiosi (500-505)	M + F	0	1	1	261.8	0 (0-6)	0 (.-)	114 (57-260)	↓		n.c.	2
Malattie dell'apparato digerente (520-579)	F	294	287	.	.	1017 (921-1122)	103 (93-113)	104 (97-114)			→	0
Malattie dell'apparato digerente (520-579)	M	401	392	.	.	1503 (1381-1633)	102 (94-111)	102 (96-109)			→	0
Malattie dell'apparato digerente (520-579)	M + F	695	678	.	.	1253 (1175-1335)	102 (96-109)	102 (97-108)			→	0
Cirrosi e altre malattie croniche del fegato (571)	F	5	8	.	.	16 (6-36)	65 (32-133)	96 (71-123)			n.c.	0
Cirrosi e altre malattie croniche del fegato (571)	M	13	13	.	.	49 (29-79)	98 (62-154)	102 (75-136)			n.c.	0
Cirrosi e altre malattie croniche del fegato (571)	M + F	18	21	.	.	32 (21-48)	86 (58-126)	98 (81-123)			↘	0
Nefropatie croniche e acute (580-589)	F	31	32	.	.	92 (66-126)	96 (72-130)	86 (70-114)			↘	0
Nefropatie croniche e acute (580-589)	M	47	38	.	.	165 (127-212)	123 (97-157)	106 (89-127)			→	0
Nefropatie croniche e acute (580-589)	M + F	78	70	.	.	128 (105-155)	111 (92-134)	103 (87-119)			→	0
Malattie dell'apparato urinario (580-599)	F	80	81	.	.	255 (209-309)	98 (82-118)	97 (80-110)			↘	0
Malattie dell'apparato urinario (580-599)	M	107	111	.	.	391 (331-460)	96 (82-113)	93 (83-105)			→	0
Malattie dell'apparato urinario (580-599)	M + F	187	193	.	.	322 (284-364)	97 (86-110)	94 (89-103)			→	0




































Sassoferrato												
Causa (ICD-IX)	Genere	Osservati	Attesi	n. cluster sign.	SIR cluster	Tasso std. * 100000 (ic)	SIR (ic)	BIR (ic)	SIR sign.	BIR sign.	Trend	Livello attenzione
Calcolosi del rene e delle vie urinarie (592, 594)	F	16	12	.	.	58 (36-89)	130 (87-196)	103 (75-124)			n.c.	0 
Calcolosi del rene e delle vie urinarie (592, 594)	M	32	26	.	.	123 (89-165)	121 (91-162)	107 (89-128)			→	0 
Calcolosi del rene e delle vie urinarie (592, 594)	M + F	48	39	.	.	89 (69-114)	124 (98-157)	108 (91-122)			→	0 
Endometriosi (617)	F	<5	>5	.	.	15 (5-35)	41 (18-92)	85 (59-115)	↓		n.c.	0 
Aborto spontaneo (634)	F	6	26	.	.	23 (10-45)	23 (12-44)	40 (33-53)	↓	↓	n.c.	0 
Malformazioni congenite (740-759)	F	24	35	.	.	90 (62-127)	68 (48-95)	89 (79-100)	↓	↓	→	0 
Malformazioni congenite (740-759)	M	47	52	.	.	180 (139-230)	90 (71-115)	93 (82-108)			→	0 
Malformazioni congenite (740-759)	M + F	71	88	.	.	134 (109-163)	81 (67-98)	93 (80-102)	↓		→	0 

Tabella 50. Primi ricoveri ospedalieri per causa nel comune di Serra San Quirico, tutte le età – Anni 2006-2012, confronto Regione Marche.

Serra San Quirico				n. cluster sign.	SIR cluster	Tasso std. * 100000 (ic)	SIR (ic)	BIR (ic)	SIR sign.	BIR sign.	Trend	Livello attenzione
Causa (ICD-IX)	Genere	Osservati	Attesi									
Tumori maligni delle vie aeree e digestive superiori (140-150, 161)	F	<5	<5	.	.	19 (3-63)	158 (52-479)	107 (89-136)			n.c.	0 
Tumori maligni delle vie aeree e digestive superiori (140-150, 161)	M	<5	<5	1	115.8	18 (3-64)	52 (17-158)	99 (83-121)			n.c.	2 
Tumori maligni delle vie aeree e digestive superiori (140-150, 161)	M + F	<5	>5	1	114.1	18 (6-44)	78 (35-175)	99 (82-112)			n.c.	2 
Tumori maligni (140-208)	F	72	82	.	.	615 (500-752)	88 (72-107)	95 (88-105)			→	0 
Tumori maligni (140-208)	M	91	90	.	.	825 (687-987)	101 (85-120)	100 (91-110)			→	0 
Tumori maligni (140-208)	M + F	163	172	.	.	718 (627-820)	95 (83-108)	97 (88-104)			→	0 
Tumori maligni dell'esofago (150)	F	<5	<5	.	.	10 (1-49)	471 (105-2111)	115 (65-192)	↑		n.c.	2 
Tumori maligni dell'esofago (150)	M	0	1	1	135.2	0 (0-36)	0 (.-.)	83 (46-131)	↓		n.c.	2 
Tumori maligni dell'esofago (150)	M + F	<5	<5	1	128.6	5 (0-26)	135 (30-607)	102 (69-138)			n.c.	2 
Tumori maligni dello stomaco (151)	F	<5	<5	.	.	32 (11-78)	105 (47-233)	110 (82-130)			n.c.	0 
Tumori maligni dello stomaco (151)	M	<5	>5	.	.	27 (7-77)	64 (26-161)	100 (80-124)			n.c.	0 
Tumori maligni dello stomaco (151)	M + F	7	9	.	.	30 (14-59)	83 (45-152)	103 (85-119)			n.c.	0 
Tumori maligni dell'intestino tenue, compreso il duodeno (152)	F	0	0	.	.	0 (0-31)	0 (.-.)	63 (31-119)	↓		n.c.	0 

Serra San Quirico												
Causa (ICD-IX)	Genere	Osservati	Attesi	n. cluster sign.	SIR cluster	Tasso std. * 100000 (ic)	SIR (ic)	BIR (ic)	SIR sign.	BIR sign.	Trend	Livello attenzione
Tumori maligni dell'intestino tenue, compreso il duodeno (152)	M	0	0	.	.	0 (0-36)	0 (.-)	98 (73-135)	↓		n.c.	0
Tumori maligni dell'intestino tenue, compreso il duodeno (152)	M + F	0	1	.	.	0 (0-18)	0 (.-)	85 (49-121)	↓		n.c.	0
Tumori maligni del colon (153)	F	7	8	.	.	57 (26-112)	88 (48-162)	93 (85-113)			n.c.	0
Tumori maligni del colon (153)	M	<5	>5	.	.	18 (3-64)	23 (7-68)	95 (75-117)	↓		n.c.	0
Tumori maligni del colon (153)	M + F	9	17	.	.	38 (20-70)	54 (31-92)	94 (76-121)	↓		n.c.	0
Tumori maligni del colon-retto (153-154)	F	7	11	.	.	57 (26-112)	63 (34-117)	97 (80-113)			n.c.	0
Tumori maligni del colon-retto (153-154)	M	<5	>5	.	.	26 (7-74)	23 (9-58)	94 (78-112)	↓		n.c.	0
Tumori maligni del colon-retto (153-154)	M + F	10	24	.	.	42 (23-74)	42 (25-70)	95 (83-115)	↓		n.c.	0
Tumori maligni del retto, della giunzione retto-sigmoidea e dell'ano (154)	F	0	4	1	122.3	0 (0-31)	0 (.-)	95 (79-123)	↓		n.c.	2
Tumori maligni del retto, della giunzione retto-sigmoidea e dell'ano (154)	M	<5	>5	1	137.3	8 (0-48)	20 (5-91)	96 (74-121)	↓		n.c.	2
Tumori maligni del retto, della giunzione retto-sigmoidea e dell'ano (154)	M + F	<5	>5	.	.	4 (0-23)	12 (3-52)	91 (70-113)	↓		n.c.	0
Tumore fegato e dotti biliari (1550-1551)	F	0	1	.	.	0 (0-31)	0 (.-)	78 (48-129)	↓		n.c.	0
Tumore fegato e dotti biliari (1550-1551)	M	<5	<5	1	153.2	22 (4-72)	114 (38-346)	104 (81-137)			n.c.	2
Tumore fegato e dotti biliari (1550-1551)	M + F	<5	<5	.	.	11 (2-35)	77 (25-232)	90 (64-128)			n.c.	0















Serra San Quirico												
Causa (ICD-IX)	Genere	Osservati	Attesi	n. cluster sign.	SIR cluster	Tasso std. * 100000 (ic)	SIR (ic)	BIR (ic)	SIR sign.	BIR sign.	Trend	Livello attenzione
Tumori maligni del pancreas (157)	F	<5	<5	.	.	7 (0-43)	40 (9-177)	107 (88-147)			n.c.	0
Tumori maligni del pancreas (157)	M	<5	<5	.	.	26 (7-74)	124 (50-311)	101 (77-128)			n.c.	0
Tumori maligni del pancreas (157)	M + F	<5	>5	1	113.6	16 (6-41)	81 (36-180)	101 (90-127)			n.c.	2
Tumore del retroperitoneo (1580)	F	0	0	.	.	0 (0-31)	0 (.-)	102 (74-132)	↓		n.c.	0
Tumore del retroperitoneo (1580)	M	0	0	.	.	0 (0-36)	0 (.-)	92 (50-174)	↓		n.c.	0
Tumore del retroperitoneo (1580)	M + F	0	0	.	.	0 (0-18)	0 (.-)	106 (67-149)	↓		n.c.	0
Tumori maligni del naso (1600)	F	0	0	.	.	0 (0-31)	0 (.-)	83 (37-266)	↓		n.c.	0
Tumori maligni del naso (1600)	M	0	0	.	.	0 (0-36)	0 (.-)	96 (70-131)	↓		n.c.	0
Tumori maligni del naso (1600)	M + F	0	0	.	.	0 (0-18)	0 (.-)	78 (48-127)	↓		n.c.	0
Tumori maligni della laringe (161)	F	0	0	.	.	0 (0-31)	0 (.-)	94 (49-168)	↓		n.c.	0
Tumori maligni della laringe (161)	M	<5	<5	.	.	10 (1-53)	62 (14-279)	101 (82-123)			n.c.	0
Tumori maligni della laringe (161)	M + F	<5	<5	.	.	4 (0-24)	57 (13-257)	113 (82-147)			n.c.	0
Tumori maligni della trachea, dei bronchi e dei polmoni (162)	F	0	4	.	.	0 (0-31)	0 (.-)	87 (68-115)	↓		n.c.	0
Tumori maligni della trachea, dei bronchi e dei polmoni (162)	M	10	11	.	.	89 (48-157)	95 (57-158)	96 (80-115)			n.c.	0















Serra San Quirico												
Causa (ICD-IX)	Genere	Osservati	Attesi	n. cluster sign.	SIR cluster	Tasso std. * 100000 (ic)	SIR (ic)	BIR (ic)	SIR sign.	BIR sign.	Trend	Livello attenzione
Tumori maligni della trachea, dei bronchi e dei polmoni (162)	M + F	10	14	.	.	43 (23-76)	71 (43-119)	94 (77-108)			n.c.	0 
Tumori maligni della pleura (163)	F	0	0	.	.	0 (0-31)	0 (.-)	86 (46-154)	↓		n.c.	0 
Tumori maligni della pleura (163)	M	<5	<5	.	.	18 (3-64)	436 (144-1317)	106 (57-192)	↑		n.c.	2 
Tumori maligni della pleura (163)	M + F	<5	<5	.	.	9 (2-31)	301 (100-910)	102 (52-253)			n.c.	0 
Mesoteliomi pleurici e peritoneali (1588, 163)	F	0	0	.	.	0 (0-31)	0 (.-)	113 (86-154)	↓		n.c.	0 
Mesoteliomi pleurici e peritoneali (1588, 163)	M	<5	<5	.	.	18 (3-64)	395 (131-1195)	108 (60-198)	↑		n.c.	2 
Mesoteliomi pleurici e peritoneali (1588, 163)	M + F	<5	<5	.	.	9 (2-31)	254 (84-767)	106 (65-163)			n.c.	0 
Tumori maligni delle ossa e della cartilagine articolare (170)	F	0	0	.	.	0 (0-31)	0 (.-)	98 (68-132)	↓		n.c.	0 
Tumori maligni delle ossa e della cartilagine articolare (170)	M	0	0	.	.	0 (0-36)	0 (.-)	95 (76-115)	↓		n.c.	0 
Tumori maligni delle ossa e della cartilagine articolare (170)	M + F	0	1	.	.	0 (0-18)	0 (.-)	104 (73-172)	↓		n.c.	0 
Tumori maligni del connettivo e di altri tessuti molli (171)	F	<5	<5	.	.	7 (0-43)	151 (34-676)	99 (77-121)			n.c.	0 
Tumori maligni del connettivo e di altri tessuti molli (171)	M	0	1	.	.	0 (0-36)	0 (.-)	83 (48-129)	↓		n.c.	0 
Tumori maligni del connettivo e di altri tessuti molli (171)	M + F	<5	<5	.	.	4 (0-23)	67 (15-301)	91 (60-125)			n.c.	0 
Melanoma maligno della pelle (172)	F	<5	<5	.	.	26 (7-71)	181 (72-453)	99 (70-122)			n.c.	0 















Serra San Quirico												
Causa (ICD-IX)	Genere	Osservati	Attesi	n. cluster sign.	SIR cluster	Tasso std. * 100000 (ic)	SIR (ic)	BIR (ic)	SIR sign.	BIR sign.	Trend	Livello attenzione
Melanoma maligno della pelle (172)	M	0	2	.	.	0 (0-36)	0 (.-)	88 (54-129)	↓		n.c.	0
Melanoma maligno della pelle (172)	M + F	<5	<5	.	.	13 (4-38)	88 (35-221)	89 (68-120)			n.c.	0
Tumori maligni della mammella (174-175)	F	21	21	.	.	188 (126-274)	101 (71-144)	99 (84-108)			→	0
Tumori maligni della mammella (174-175)	M	0	0	.	.	0 (0-36)	0 (.-)	98 (72-128)	↓		n.c.	0
Tumori maligni della mammella (174-175)	M + F	21	21	.	.	97 (65-142)	100 (70-143)	99 (84-108)			→	0
Tumori maligni dell'utero (179-180, 182)	F	<5	>5	.	.	37 (12-87)	89 (40-198)	105 (93-120)			n.c.	0
Tumori maligni del corpo dell'utero (182)	F	<5	<5	.	.	27 (7-73)	98 (39-245)	107 (96-123)			n.c.	0
Tumori maligni dell'ovaio e degli altri annessi uterini (183)	F	<5	<5	.	.	36 (12-84)	166 (75-370)	102 (84-117)			n.c.	0
Tumore della prostata (185)	M	17	12	.	.	163 (104-248)	140 (94-208)	102 (83-130)			→	0
Tumore del testicolo (186)	M	<5	<5	.	.	10 (1-53)	111 (25-497)	98 (70-137)			n.c.	0
Tumori maligni della vescica (188)	F	<5	<5	.	.	15 (3-54)	69 (23-208)	100 (85-124)			n.c.	0
Tumori maligni della vescica (188)	M	10	12	.	.	82 (44-145)	82 (49-138)	99 (81-116)			n.c.	0
Tumori maligni della vescica (188)	M + F	12	15	1	108.1	48 (27-80)	80 (50-128)	101 (82-119)			n.c.	2
Tumori maligni del rene e di altri e non specificati organi urinari (189)	F	0	2	.	.	0 (0-31)	0 (.-)	102 (88-119)	↓		n.c.	0

Serra San Quirico												
Causa (ICD-IX)	Genere	Osservati	Attesi	n. cluster sign.	SIR cluster	Tasso std. * 100000 (ic)	SIR (ic)	BIR (ic)	SIR sign.	BIR sign.	Trend	Livello attenzione
Tumori maligni del rene e di altri e non specificati organi urinari (189)	M	<5	<5	.	.	8 (0-49)	23 (5-105)	87 (70-108)			n.c.	0
Tumori maligni del rene e di altri e non specificati organi urinari (189)	M + F	<5	>5	.	.	4 (0-24)	15 (3-69)	87 (76-102)	↓		n.c.	0
Tumori maligni dell'encefalo (191)	F	<5	<5	.	.	18 (3-59)	128 (42-387)	113 (91-148)			n.c.	0
Tumori maligni dell'encefalo (191)	M	<5	<5	.	.	38 (13-92)	215 (96-479)	102 (86-126)			n.c.	0
Tumori maligni dell'encefalo (191)	M + F	6	3	1	135.6	27 (12-57)	175 (91-339)	111 (95-129)			n.c.	2
Tumori maligni del sistema nervoso centrale (191-192)	F	<5	<5	.	.	18 (3-59)	113 (37-341)	104 (84-130)			n.c.	0
Tumori maligni del sistema nervoso centrale (191-192)	M	<5	<5	.	.	38 (13-92)	201 (90-447)	101 (85-122)			n.c.	0
Tumori maligni del sistema nervoso centrale (191-192)	M + F	6	4	.	.	27 (12-57)	160 (82-308)	103 (87-123)			n.c.	0
Tumori maligni della ghiandola tiroide (193)	F	0	3	.	.	0 (0-31)	0 (.-)	104 (84-123)	↓		n.c.	0
Tumori maligni della ghiandola tiroide (193)	M	0	1	.	.	0 (0-36)	0 (.-)	115 (81-168)	↓		n.c.	0
Tumori maligni della ghiandola tiroide (193)	M + F	0	4	.	.	0 (0-18)	0 (.-)	107 (94-126)	↓		n.c.	0
Linfoma non Hodgkin (200, 202)	F	<5	<5	.	.	19 (3-62)	67 (22-203)	97 (88-110)			n.c.	0
Linfoma non Hodgkin (200, 202)	M	6	4	.	.	51 (22-108)	170 (88-329)	103 (82-125)			n.c.	0
Linfoma non Hodgkin (200, 202)	M + F	8	7	.	.	35 (17-65)	123 (69-218)	102 (82-123)			n.c.	0















Serra San Quirico												
Causa (ICD-IX)	Genere	Osservati	Attesi	n. cluster sign.	SIR cluster	Tasso std. * 100000 (ic)	SIR (ic)	BIR (ic)	SIR sign.	BIR sign.	Trend	Livello attenzione
Tumori emolinfopoietici (200-208)	F	9	7	1	117.1	84 (44-149)	136 (79-234)	111 (96-121)			n.c.	2 😊
Tumori emolinfopoietici (200-208)	M	12	8	.	.	107 (61-178)	157 (98-251)	111 (92-135)			n.c.	0 😞
Tumori emolinfopoietici (200-208)	M + F	21	14	1	116.5	95 (64-139)	147 (103-210)	114 (95-134)	↑		→	3 😊
Malattia di Hodgkin (201)	F	<5	<5	.	.	19 (3-62)	352 (116-1063)	125 (75-168)	↑		n.c.	2 😊
Malattia di Hodgkin (201)	M	<5	<5	1	168.4	18 (3-63)	365 (121-1103)	106 (83-142)	↑		n.c.	3 😊
Malattia di Hodgkin (201)	M + F	<5	<5	.	.	18 (6-45)	359 (161-799)	106 (84-142)	↑		n.c.	2 😊
Mieloma multiplo e tumori immunoproliferativi (203)	F	<5	<5	1	125.3	10 (1-48)	76 (17-341)	118 (84-178)			n.c.	2 😊
Mieloma multiplo e tumori immunoproliferativi (203)	M	<5	<5	1	142.2	18 (3-64)	140 (46-422)	109 (80-146)			n.c.	2 😊
Mieloma multiplo e tumori immunoproliferativi (203)	M + F	<5	<5	1	130.9	14 (4-38)	109 (44-273)	112 (78-153)			n.c.	2 😊
Leucemie (204-208)	F	<5	<5	1	121.8	36 (12-85)	194 (87-431)	115 (93-150)			n.c.	2 😊
Leucemie (204-208)	M	<5	<5	1	125.4	28 (8-78)	117 (47-292)	108 (84-142)			n.c.	2 😊
Leucemie (204-208)	M + F	7	5	1	120.9	32 (15-63)	151 (82-278)	116 (96-152)			n.c.	2 😊
Gozzo non tossico (240-241)	F	7	5	1	126.7	68 (32-129)	131 (71-241)	98 (81-114)			n.c.	2 😊
Gozzo non tossico (240-241)	M	0	2	1	130.3	0 (0-36)	0 (-.)	90 (62-122)	↓		n.c.	2 😊

Serra San Quirico												
Causa (ICD-IX)	Genere	Osservati	Attesi	n. cluster sign.	SIR cluster	Tasso std. * 100000 (ic)	SIR (ic)	BIR (ic)	SIR sign.	BIR sign.	Trend	Livello attenzione
Gozzo non tossico (240-241)	M + F	7	7	.	.	35 (16-67)	100 (54-184)	101 (76-142)			n.c.	0 
Malattie endocrine e della nutrizione (240-2799)	F	51	43	2	112.7	451 (351-573)	118 (94-149)	103 (93-122)			→	1 
Malattie endocrine e della nutrizione (240-2799)	M	41	30	1	118.9	405 (306-530)	135 (105-175)	110 (93-136)	↑		→	3 
Malattie endocrine e della nutrizione (240-2799)	M + F	92	73	1	115.6	429 (358-513)	125 (106-149)	115 (97-133)	↑		→	3 
Tireotossicosi (242)	F	<5	<5	.	.	28 (8-75)	156 (62-389)	112 (80-169)			n.c.	0 
Tireotossicosi (242)	M	<5	<5	.	.	20 (3-67)	308 (102-930)	110 (65-188)	↑		n.c.	2 
Tireotossicosi (242)	M + F	5	3	.	.	24 (9-52)	194 (94-399)	112 (89-149)			n.c.	0 
Ipotiroidismo (243-244)	F	<5	<5	.	.	7 (0-43)	117 (26-526)	86 (45-123)			n.c.	0 
Ipotiroidismo (243-244)	M	0	1	.	.	0 (0-36)	0 (-.)	97 (75-127)	↓		n.c.	0 
Ipotiroidismo (243-244)	M + F	<5	<5	.	.	4 (0-23)	67 (15-301)	93 (73-109)			n.c.	0 
Diabete mellito (250)	F	7	9	3	123.1	53 (25-106)	78 (42-143)	82 (57-124)			n.c.	1 
Diabete mellito (250)	M	13	10	.	.	118 (69-193)	136 (86-213)	102 (74-144)			→	0 
Diabete mellito (250)	M + F	20	19	.	.	86 (56-127)	108 (75-155)	98 (68-129)			→	0 
Malattie del sangue e degli organi emopoietici (280-289)	F	15	14	1	117.5	125 (76-196)	110 (72-168)	99 (84-122)			↘	2 

Serra San Quirico												
Causa (ICD-IX)	Genere	Osservati	Attesi	n. cluster sign.	SIR cluster	Tasso std. * 100000 (ic)	SIR (ic)	BIR (ic)	SIR sign.	BIR sign.	Trend	Livello attenzione
Malattie del sangue e degli organi emopoietici (280-289)	M	16	11	1	118.7	155 (97-240)	150 (99-225)	120 (97-150)			→	2 
Malattie del sangue e degli organi emopoietici (280-289)	M + F	31	24	1	117.5	136 (98-187)	127 (95-171)	111 (92-129)			↘	2 
Malattie neuro-psichiatriche (escluse tossicod.) (290-303, 306-319)	F	26	20	.	.	228 (159-319)	130 (94-179)	100 (84-123)			n.c.	0 
Malattie neuro-psichiatriche (escluse tossicod.) (290-303, 306-319)	M	14	21	.	.	132 (79-211)	68 (44-105)	81 (66-102)			n.c.	0 
Malattie neuro-psichiatriche (escluse tossicod.) (290-303, 306-319)	M + F	40	41	.	.	182 (137-240)	99 (76-128)	93 (77-109)			↘	0 
Malattie del sistema nervoso e degli organi di senso (320-389)	F	141	150	.	.	1180 (1020-	94 (82-108)	96 (85-104)			↘	0 
Malattie del sistema nervoso e degli organi di senso (320-389)	M	101	112	1	109.3	924 (777-1095)	90 (77-106)	97 (87-108)			↘	2 
Malattie del sistema nervoso e degli organi di senso (320-389)	M + F	242	261	.	.	1054 (944-1176)	93 (83-103)	94 (87-101)			↘	0 
Malattia di Alzheimer (3310)	F	<5	>5	.	.	7 (0-42)	19 (4-86)	37 (20-64)	↓	↓	n.c.	0 
Malattia di Alzheimer (3310)	M	<5	<5	.	.	18 (3-64)	84 (28-253)	65 (35-116)			n.c.	0 
Malattia di Alzheimer (3310)	M + F	<5	>5	.	.	12 (3-34)	39 (16-99)	49 (35-79)	↓	↓	n.c.	0 
Morbo di Parkinson (3320)	F	<5	<5	1	134.3	15 (3-55)	130 (43-393)	98 (63-142)			n.c.	2 
Morbo di Parkinson (3320)	M	<5	<5	.	.	34 (11-84)	219 (98-488)	93 (61-151)			n.c.	0 
Morbo di Parkinson (3320)	M + F	6	3	.	.	24 (11-52)	179 (92-345)	100 (70-132)			n.c.	0 

Serra San Quirico												
Causa (ICD-IX)	Genere	Osservati	Attesi	n. cluster sign.	SIR cluster	Tasso std. * 100000 (ic)	SIR (ic)	BIR (ic)	SIR sign.	BIR sign.	Trend	Livello attenzione
Malattia dei neuroni motori (3352)	F	<5	<5	.	.	8 (0-44)	168 (37-753)	57 (37-112)			n.c.	0 
Malattia dei neuroni motori (3352)	M	<5	<5	.	.	10 (1-53)	192 (43-862)	90 (59-134)			n.c.	0 
Malattia dei neuroni motori (3352)	M + F	<5	<5	.	.	9 (2-31)	180 (59-543)	76 (44-100)			n.c.	0 
Sclerosi multipla (340)	F	<5	<5	.	.	19 (3-63)	104 (34-314)	100 (80-126)			n.c.	0 
Sclerosi multipla (340)	M	0	1	.	.	0 (0-36)	0 (-.)	100 (69-128)	↓		n.c.	0 
Sclerosi multipla (340)	M + F	<5	<5	.	.	10 (2-33)	69 (23-208)	106 (79-127)			n.c.	0 
Malattie cardiache (390-429)	F	91	102	.	.	679 (566-814)	89 (75-106)	93 (82-103)			↘	0 
Malattie cardiache (390-429)	M	105	114	.	.	965 (814-1139)	92 (79-109)	93 (85-102)			↘	0 
Malattie cardiache (390-429)	M + F	196	216	.	.	814 (720-919)	91 (81-102)	93 (86-106)			↘	0 
Malattie dell'apparato circolatorio (390-459)	F	150	181	.	.	1163 (1009-)	83 (73-95)	88 (81-97)	↓	↓	↘	0 
Malattie dell'apparato circolatorio (390-459)	M	174	189	.	.	1592 (1397-)	92 (82-105)	92 (85-100)		↓	↘	0 
Malattie dell'apparato circolatorio (390-459)	M + F	324	370	.	.	1369 (1245-)	88 (80-96)	90 (84-96)	↓	↓	↘	0 
Malattie ischemiche del cuore (410-4149)	F	30	31	.	.	235 (168-323)	98 (73-133)	93 (77-108)			n.c.	0 
Malattie ischemiche del cuore (410-4149)	M	47	52	.	.	442 (341-568)	91 (72-116)	92 (79-106)			↘	0 

Serra San Quirico												
Causa (ICD-IX)	Genere	Osservati	Attesi	n. cluster sign.	SIR cluster	Tasso std. * 100000 (ic)	SIR (ic)	BIR (ic)	SIR sign.	BIR sign.	Trend	Livello attenzione
Malattie ischemiche del cuore (410-4149)	M + F	77	82	.	.	334 (273-406)	94 (78-113)	91 (82-107)			↘	0
Insufficienza cardiaca (scompenso cardiaco) (428)	F	44	41	.	.	313 (239-407)	108 (84-138)	101 (87-119)			→	0
Insufficienza cardiaca (scompenso cardiaco) (428)	M	27	32	.	.	237 (167-332)	84 (61-115)	91 (76-108)			→	0
Insufficienza cardiaca (scompenso cardiaco) (428)	M + F	71	73	.	.	272 (221-334)	97 (80-118)	97 (88-111)			→	0
Malattie cerebrovascolari (430-438)	F	43	57	.	.	319 (243-417)	76 (59-98)	84 (72-100)	↓	↓	↘	0
Malattie cerebrovascolari (430-438)	M	39	50	.	.	335 (252-443)	78 (60-101)	83 (71-96)		↓	↘	0
Malattie cerebrovascolari (430-438)	M + F	82	107	.	.	327 (270-396)	77 (64-92)	81 (69-93)	↓	↓	↘	0
Malattie dell'apparato respiratorio (460-5199)	F	107	91	1	107.2	878 (741-1035)	117 (100-137)	112 (96-124)			→	2
Malattie dell'apparato respiratorio (460-5199)	M	118	108	1	108.2	1108 (944-1296)	109 (94-127)	106 (96-117)			↘	2
Malattie dell'apparato respiratorio (460-5199)	M + F	225	200	1	107.3	986 (879-1104)	113 (101-126)	111 (99-120)	↑		↘	2
Malattie polmonari cronico ostruttive (490-492, 494, 496)	F	6	10	.	.	42 (18-89)	62 (32-121)	78 (52-125)			n.c.	0
Malattie polmonari cronico ostruttive (490-492, 494, 496)	M	13	13	.	.	112 (66-184)	100 (64-157)	93 (69-124)			↘	0
Malattie polmonari cronico ostruttive (490-492, 494, 496)	M + F	19	23	.	.	74 (48-112)	84 (58-122)	87 (65-115)			↘	0
Pneumoconiosi (500-505)	F	0	0	.	.	0 (0-31)	0 (.-)	67 (23-137)	↓		n.c.	0

Serra San Quirico												
Causa (ICD-IX)	Genere	Osservati	Attesi	n. cluster sign.	SIR cluster	Tasso std. * 100000 (ic)	SIR (ic)	BIR (ic)	SIR sign.	BIR sign.	Trend	Livello attenzione
Pneumoconiosi (500-505)	M	0	0	.	.	0 (0-36)	0 (-.)	77 (24-196)	↓		n.c.	0 
Pneumoconiosi (500-505)	M + F	0	0	.	.	0 (0-18)	0 (-.)	88 (37-176)	↓		n.c.	0 
Malattie dell'apparato digerente (520-579)	F	142	116	1	107.5	1232 (1065-	123 (107-141)	110 (101-121)	↑	↑	↘	4 
Malattie dell'apparato digerente (520-579)	M	170	154	.	.	1623 (1423-	111 (98-126)	106 (98-114)			↘	0 
Malattie dell'apparato digerente (520-579)	M + F	312	270	1	106.3	1421 (1290-	116 (106-127)	111 (103-117)	↑	↑	↘	4 
Cirrosi e altre malattie croniche del fegato (571)	F	<5	<5	.	.	20 (4-64)	64 (21-194)	96 (74-121)			n.c.	0 
Cirrosi e altre malattie croniche del fegato (571)	M	10	5	.	.	99 (53-172)	191 (114-319)	115 (86-167)	↑		n.c.	2 
Cirrosi e altre malattie croniche del fegato (571)	M + F	12	8	.	.	58 (34-96)	143 (90-230)	101 (78-130)			n.c.	0 
Nefropatie croniche e acute (580-589)	F	11	13	.	.	85 (47-145)	86 (52-140)	89 (73-108)			n.c.	0 
Nefropatie croniche e acute (580-589)	M	13	15	.	.	112 (66-183)	86 (55-136)	91 (73-111)			n.c.	0 
Nefropatie croniche e acute (580-589)	M + F	24	28	.	.	99 (68-142)	86 (61-120)	86 (73-105)			↘	0 
Malattie dell'apparato urinario (580-599)	F	26	33	.	.	198 (138-279)	80 (58-110)	86 (76-106)			↘	0 
Malattie dell'apparato urinario (580-599)	M	38	44	.	.	352 (263-467)	87 (67-114)	90 (80-103)			→	0 
Malattie dell'apparato urinario (580-599)	M + F	64	76	.	.	273 (219-339)	84 (68-103)	89 (78-97)		↓	↘	0 

































Serra San Quirico												
Causa (ICD-IX)	Genere	Osservati	Attesi	n. cluster sign.	SIR cluster	Tasso std. * 100000 (ic)	SIR (ic)	BIR (ic)	SIR sign.	BIR sign.	Trend	Livello attenzione
Calcolosi del rene e delle vie urinarie (592, 594)	F	<5	>5	.	.	25 (7-69)	61 (24-152)	93 (70-114)			n.c.	0 
Calcolosi del rene e delle vie urinarie (592, 594)	M	15	10	2	108.3	143 (88-224)	144 (95-220)	109 (91-132)			n.c.	1 
Calcolosi del rene e delle vie urinarie (592, 594)	M + F	18	15	.	.	82 (53-124)	117 (80-173)	105 (91-118)			→	0 
Endometriosi (617)	F	8	4	.	.	76 (38-139)	206 (116-365)	120 (91-159)	↑		n.c.	2 
Aborto spontaneo (634)	F	11	11	.	.	104 (58-173)	105 (64-171)	75 (52-100)		↓	n.c.	0 
Malformazioni congenite (740-759)	F	11	14	.	.	97 (54-163)	77 (47-126)	98 (86-111)			n.c.	0 
Malformazioni congenite (740-759)	M	10	19	1	111.9	113 (61-193)	52 (31-87)	90 (76-106)	↓		n.c.	2 
Malformazioni congenite (740-759)	M + F	21	34	1	110.4	105 (70-152)	62 (44-89)	94 (80-103)	↓		→	2 

Tabella 51. Ricoveri ospedalieri per causa nel comune di Cerreto d’Esi, tutte le età - Anni 2006-2012, confronto Regione Marche- tutti gli eventi.

Cerreto d’Esi				n. cluster sign.	SIR cluster	Tasso std. * 100000 (ic)	SIR (ic)	BIR (ic)	SIR sign.	BIR sign.	Trend	Livello attenzione
Causa (ICD-IX)	Genere	Osservati	Attesi									
Tutte le cause (escl. cataratta, IVG, parto, trattamenti e violente) (000-365, 367-634, 636-649, 655-659, 670-799)	F	1813	1691	.	.	13987 (13044-14997)	107 (100-115)	107 (102-110)	↑	↑	↘	4 
Tutte le cause (escl. cataratta, IVG, parto, trattamenti e violente) (000-365, 367-634, 636-649, 655-659, 670-799)	M	1741	1768	.	.	13708 (12690-14809)	99 (91-106)	99 (95-102)			↘	0 
Tutte le cause (escl. cataratta, IVG, parto, trattamenti e violente) (000-365, 367-634, 636-649, 655-659, 670-799)	M + F	3554	3459	.	.	13852 (13152-14589)	103 (98-108)	103 (99-107)			↘	0 
Malattie infettive (001-139)	F	50	28	4	145.9	361 (267-488)	178 (133-237)	159 (128-200)	↑	↑	→	5 
Malattie infettive (001-139)	M	48	36	.	.	325 (247-427)	135 (103-177)	129 (107-156)	↑	↑	→	4 
Malattie infettive (001-139)	M + F	98	64	4	128.5	343 (280-421)	154 (126-188)	146 (124-181)	↑	↑	↘	4 
Malattie ischemiche acute (infarto miocardico, altre forme acute e subacute di cardiopatia ischemica) (410-411)	F	19	26	.	.	167 (100-278)	74 (46-120)	88 (65-109)			→	0 
Malattie ischemiche acute (infarto miocardico, altre forme acute e subacute di cardiopatia ischemica) (410-411)	M	85	53	1	111.7	716 (554-925)	161 (125-206)	151 (131-171)	↑	↑	↗	6 
Malattie ischemiche acute (infarto miocardico, altre forme acute e subacute di cardiopatia ischemica) (410-411)	M + F	104	79	1	110.6	433 (345-544)	132 (106-165)	125 (112-142)	↑	↑	→	5 
Malattie ischemiche del cuore (410-4149)	F	22	38	.	.	195 (116-327)	58 (36-94)	70 (51-92)	↓	↓	↘	0 

Cerreto d'Esi				n. cluster sign.	SIR cluster	Tasso std. * 100000 (ic)	SIR (ic)	BIR (ic)	SIR sign.	BIR sign.	Trend	Livello attenzione
Causa (ICD-IX)	Genere	Osservati	Attesi									
Malattie ischemiche del cuore (410-4149)	M	118	88	.	.	985 (777-1248)	134 (106-169)	126 (111-141)	↑	↑	→	4 
Malattie ischemiche del cuore (410-4149)	M + F	140	126	.	.	578 (467-716)	111 (90-137)	108 (94-126)			↘	0 
Malattie acute delle prime vie aeree (460-466)	F	23	12	1	133.6	138 (95-200)	185 (130-264)	159 (121-219)	↑	↑	n.c.	5 
Malattie acute delle prime vie aeree (460-466)	M	20	16	.	.	121 (79-187)	126 (85-188)	109 (75-153)			→	0 
Malattie acute delle prime vie aeree (460-466)	M + F	43	28	2	131.0	130 (98-171)	152 (117-198)	143 (104-165)	↑	↑	→	5 
Asma (493)	F	<5	<5	.	.	22 (4-121)	75 (29-195)	78 (45-148)			n.c.	0 
Asma (493)	M	<5	>5	.	.	19 (3-102)	67 (26-173)	85 (51-140)			n.c.	0 
Asma (493)	M + F	6	9	.	.	20 (9-47)	71 (36-139)	76 (54-123)			n.c.	0 
Aborto spontaneo (634)	F	8	18	.	.	52 (24-109)	44 (23-85)	46 (30-64)	↓	↓	n.c.	0 
Cause maldefinite (780-799)	F	65	70	.	.	468 (362-606)	93 (72-119)	91 (77-112)			↘	0 
Cause maldefinite (780-799)	M	80	83	.	.	576 (458-726)	97 (76-124)	96 (83-114)			↘	0 
Cause maldefinite (780-799)	M + F	145	153	.	.	521 (439-618)	95 (80-113)	93 (81-104)			↘	0 
Accidenti da trasporto (800-848)	F	66	79	.	.	549 (441-683)	84 (68-104)	89 (78-102)			↘	0 
Accidenti da trasporto (800-848)	M	83	87	.	.	635 (516-782)	96 (79-117)	98 (88-109)			↘	0 




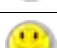



















Cerreto d'Esi												
Causa (ICD-IX)	Genere	Osservati	Attesi	n. cluster sign.	SIR cluster	Tasso std. * 100000 (ic)	SIR (ic)	BIR (ic)	SIR sign.	BIR sign.	Trend	Livello attenzione
Accidenti da trasporto (800-848)	M + F	149	165	.	.	591 (508-686)	90 (78-104)	93 (87-104)			↘	0 
Traumatismi e avvelenamenti (800-999)	F	112	136	.	.	916 (767-1094)	82 (69-98)	90 (78-105)	↓		↘	0 
Traumatismi e avvelenamenti (800-999)	M	177	173	1	115.2	1364 (1180-1577)	102 (89-118)	105 (93-119)			↘	2 
Traumatismi e avvelenamenti (800-999)	M + F	289	309	1	105.1	1133 (1013-1268)	93 (84-104)	96 (90-105)			↘	2 
Avvelenamenti accidentali (850-869)	F	<5	>5	.	.	30 (6-164)	27 (10-69)	70 (48-88)	↓	↓	n.c.	0 
Avvelenamenti accidentali (850-869)	M	20	21	.	.	158 (102-246)	96 (63-146)	95 (72-121)			n.c.	0 
Avvelenamenti accidentali (850-869)	M + F	23	32	.	.	92 (62-138)	72 (49-105)	78 (64-94)		↓	n.c.	0 
Cadute ed altri infortuni (880-928)	F	11	14	1	127.3	87 (50-152)	81 (49-133)	106 (86-138)			↘	2 
Cadute ed altri infortuni (880-928)	M	44	27	1	143.3	330 (251-435)	162 (124-210)	155 (124-185)	↑	↑	→	5 
Cadute ed altri infortuni (880-928)	M + F	55	41	1	136.9	205 (161-261)	135 (107-170)	142 (109-163)	↑	↑	→	5 

Tabella 52. Ricoveri ospedalieri per causa nel comune di Esanatoglia, tutte le età – Anni 2006-2011, confronto Regione Marche – tutti gli eventi.

Esanatoglia				n. cluster sign.	SIR cluster	Tasso std. * 100000 (ic)	SIR (ic)	BIR (ic)	SIR sign.	BIR sign.	Trend	Livello attenzione
Causa (ICD-IX)	Genere	Osservati	Attesi									
Tutte le cause (escl. cataratta, IVG, parto, trattamenti e violente) (000-365, 367-634, 636-649, 655-659, 670-799)	F	1145	1026	.	.	14439 (13276-15704)	112 (103-121)	106 (99-110)	↑		↘	2 😊
Tutte le cause (escl. cataratta, IVG, parto, trattamenti e violente) (000-365, 367-634, 636-649, 655-659, 670-799)	M	991	967	.	.	13619 (12414-14940)	103 (93-113)	96 (89-100)		↓	↘	0 😬
Tutte le cause (escl. cataratta, IVG, parto, trattamenti e violente) (000-365, 367-634, 636-649, 655-659, 670-799)	M + F	2136	1993	.	.	14036 (13188-14938)	107 (101-114)	102 (99-105)	↑		↘	2 😊
Malattie infettive (001-139)	F	22	16	.	.	276 (166-458)	141 (87-229)	129 (89-167)			→	0 😬
Malattie infettive (001-139)	M	18	18	.	.	260 (169-401)	99 (66-148)	103 (80-135)			n.c.	0 😬
Malattie infettive (001-139)	M + F	40	34	4	128.5	268 (193-372)	118 (85-163)	112 (87-135)			↘	1 😬
Malattie ischemiche acute (infarto miocardico, altre forme acute e subacute di cardiopatia ischemica) (410-411)	F	22	19	.	.	281 (180-438)	118 (77-180)	104 (80-126)			n.c.	0 😬
Malattie ischemiche acute (infarto miocardico, altre forme acute e subacute di cardiopatia ischemica) (410-411)	M	36	33	1	111.7	489 (318-752)	109 (72-167)	103 (86-123)			n.c.	2 😊
Malattie ischemiche acute (infarto miocardico, altre forme acute e subacute di cardiopatia ischemica) (410-411)	M + F	58	52	1	110.6	383 (281-523)	112 (83-153)	107 (92-129)			→	2 😊
Malattie ischemiche del cuore (410-4149)	F	27	26	1	115.1	341 (222-526)	102 (67-155)	86 (69-109)			n.c.	2 😊

Esanatoglia				n. cluster sign.	SIR cluster	Tasso std. * 100000 (ic)	SIR (ic)	BIR (ic)	SIR sign.	BIR sign.	Trend	Livello attenzione
Causa (ICD-IX)	Genere	Osservati	Attesi									
Malattie ischemiche del cuore (410-4149)	M	54	54	.	.	732 (496-1080)	100 (68-147)	93 (77-110)			→	0 
Malattie ischemiche del cuore (410-4149)	M + F	81	81	.	.	533 (397-716)	101 (75-135)	89 (76-108)			→	0 
Malattie acute delle prime vie aeree (460-466)	F	<5	>5	.	.	25 (0-2191)	35 (11-112)	59 (36-107)			n.c.	0 
Malattie acute delle prime vie aeree (460-466)	M	<5	>5	.	.	32 (0-2763)	34 (11-109)	53 (27-89)		↓	n.c.	0 
Malattie acute delle prime vie aeree (460-466)	M + F	<5	>5	.	.	28 (9-93)	35 (15-79)	50 (31-80)	↓	↓	n.c.	0 
Asma (493)	F	<5	<5	.	.	26 (0-2265)	124 (39-397)	80 (43-135)			n.c.	0 
Asma (493)	M	<5	<5	.	.	15 (.-.)	67 (13-346)	74 (37-130)			n.c.	0 
Asma (493)	M + F	<5	<5	.	.	20 (4-110)	97 (37-250)	79 (47-122)			n.c.	0 
Aborto spontaneo (634)	F	5	9	.	.	69 (27-181)	58 (28-121)	46 (29-80)		↓	n.c.	0 
Cause maldefinite (780-799)	F	35	35	.	.	439 (327-589)	100 (75-133)	73 (60-94)		↓	↘	0 
Cause maldefinite (780-799)	M	40	36	.	.	562 (404-781)	113 (82-155)	85 (69-112)			↘	0 
Cause maldefinite (780-799)	M + F	75	71	.	.	499 (400-623)	106 (86-132)	81 (70-92)		↓	↘	0 
Accidenti da trasporto (800-848)	F	65	55	.	.	805 (650-998)	119 (97-147)	102 (87-114)			→	0 




















Esanatoglia				n. cluster sign.	SIR cluster	Tasso std. * 100000 (ic)	SIR (ic)	BIR (ic)	SIR sign.	BIR sign.	Trend	Livello attenzione
Causa (ICD-IX)	Genere	Osservati	Attesi									
Accidenti da trasporto (800-848)	M	58	49	.	.	805 (644-1005)	118 (95-147)	108 (95-125)			→	0 
Accidenti da trasporto (800-848)	M + F	123	104	.	.	805 (691-938)	119 (102-138)	108 (97-117)	↑		→	2 
Traumatismi e avvelenamenti (800-999)	F	103	87	.	.	1286 (1073-1541)	118 (99-141)	100 (85-113)			↘	0 
Traumatismi e avvelenamenti (800-999)	M	107	96	1	115.2	1486 (1236-1788)	111 (93-133)	110 (97-123)			↘	2 
Traumatismi e avvelenamenti (800-999)	M + F	210	184	1	105.1	1385 (1217-1575)	114 (101-130)	108 (98-120)	↑		↘	2 
Avvelenamenti accidentali (850-869)	F	8	6	.	.	101 (47-216)	128 (67-245)	85 (59-111)			n.c.	0 
Avvelenamenti accidentali (850-869)	M	6	10	.	.	84 (32-216)	58 (27-126)	77 (65-104)			n.c.	0 
Avvelenamenti accidentali (850-869)	M + F	14	17	.	.	92 (54-159)	84 (51-139)	76 (60-92)		↓	n.c.	0 
Cadute ed altri infortuni (880-928)	F	10	9	1	127.3	127 (71-227)	115 (69-194)	120 (90-165)			n.c.	2 
Cadute ed altri infortuni (880-928)	M	25	19	1	143.3	344 (238-499)	135 (94-192)	160 (125-223)		↑	↘	4 
Cadute ed altri infortuni (880-928)	M + F	35	27	1	136.9	234 (173-317)	128 (96-172)	153 (118-175)		↑	↘	4 

Tabella 53. Ricoveri ospedalieri per causa nel comune di Fabriano, tutte le età – Anni 2006-2012, confronto Regione Marche – tutti gli eventi.

Fabriano												
Causa (ICD-IX)	Genere	Osservati	Attesi	n. cluster sign.	SIR cluster	Tasso std. * 100000 (ic)	SIR (ic)	BIR (ic)	SIR sign.	BIR sign.	Trend	Livello attenzione
Tutte le cause (escl. cataratta, IVG, parto, trattamenti e violente) (000-365, 367-634, 636-649, 655-659, 670-799)	F	15279	15571	.	.	12968 (12685-13259)	98 (96-100)	98 (97-100)		↓	↘	0 
Tutte le cause (escl. cataratta, IVG, parto, trattamenti e violente) (000-365, 367-634, 636-649, 655-659, 670-799)	M	14896	14832	.	.	14098 (13772-14433)	100 (98-103)	101 (99-102)			↘	0 
Tutte le cause (escl. cataratta, IVG, parto, trattamenti e violente) (000-365, 367-634, 636-649, 655-659, 670-799)	M + F	30175	30403	.	.	13517 (13301-13737)	99 (98-101)	100 (99-101)			↘	0 
Malattie infettive (001-139)	F	250	237	.	.	212 (180-250)	106 (90-124)	106 (99-118)			↘	0 
Malattie infettive (001-139)	M	304	265	.	.	288 (256-324)	115 (102-129)	111 (104-122)	↑	↑	↘	4 
Malattie infettive (001-139)	M + F	554	502	.	.	249 (226-275)	110 (100-122)	110 (104-117)	↑	↑	↘	4 
Malattie ischemiche acute (infarto miocardico, altre forme acute e subacute di cardiopatia ischemica) (410-411)	F	324	295	.	.	263 (232-297)	110 (97-124)	109 (101-116)		↑	→	3 
Malattie ischemiche acute (infarto miocardico, altre forme acute e subacute di cardiopatia ischemica) (410-411)	M	636	486	1	111.7	604 (552-661)	131 (120-143)	130 (121-141)	↑	↑	↗	6 
Malattie ischemiche acute (infarto miocardico, altre forme acute e subacute di cardiopatia ischemica) (410-411)	M + F	960	781	1	110.6	428 (398-461)	123 (114-132)	122 (118-128)	↑	↑	↗	6 
Malattie ischemiche del cuore (410-4149)	F	364	427	.	.	297 (264-334)	85 (76-96)	87 (80-94)	↓	↓	↘	0 

Fabriano				n. cluster sign.	SIR cluster	Tasso std. * 100000 (ic)	SIR (ic)	BIR (ic)	SIR sign.	BIR sign.	Trend	Livello attenzione
Causa (ICD-IX)	Genere	Osservati	Attesi									
Malattie ischemiche del cuore (410-4149)	M	859	806	.	.	820 (756-888)	107 (98-116)	106 (101-112)		↑	↘	3
Malattie ischemiche del cuore (410-4149)	M + F	1223	1232	.	.	551 (515-589)	99 (93-106)	99 (95-103)			↘	0
Malattie acute delle prime vie aeree (460-466)	F	118	96	1	133.6	100 (85-117)	123 (105-144)	119 (104-137)	↑	↑	→	5
Malattie acute delle prime vie aeree (460-466)	M	106	101	.	.	101 (86-120)	105 (89-124)	102 (86-113)			↘	0
Malattie acute delle prime vie aeree (460-466)	M + F	224	197	2	131.0	101 (90-113)	114 (101-128)	112 (102-123)	↑	↑	→	5
Asma (493)	F	22	31	.	.	19 (13-28)	71 (50-101)	78 (60-100)		↓	→	0
Asma (493)	M	31	28	.	.	30 (22-41)	110 (80-151)	98 (79-137)			n.c.	0
Asma (493)	M + F	53	59	.	.	24 (19-31)	90 (71-114)	91 (75-108)			↘	0
Aborto spontaneo (634)	F	68	130	.	.	60 (48-74)	52 (43-65)	51 (42-62)	↓	↓	↘	0
Cause maldefinite (780-799)	F	601	642	.	.	506 (468-547)	94 (87-101)	94 (87-97)		↓	→	0
Cause maldefinite (780-799)	M	648	662	.	.	614 (570-661)	98 (91-105)	98 (94-103)			↘	0
Cause maldefinite (780-799)	M + F	1249	1305	.	.	558 (529-589)	96 (91-101)	96 (92-101)			↘	0
Accidenti da trasporto (800-848)	F	752	828	.	.	612 (573-653)	91 (85-97)	90 (86-98)	↓	↓	↘	0
Accidenti da trasporto (800-848)	M	678	697	.	.	638 (596-682)	97 (91-104)	98 (92-104)			↘	0





















Fabriano				n. cluster sign.	SIR cluster	Tasso std. * 100000 (ic)	SIR (ic)	BIR (ic)	SIR sign.	BIR sign.	Trend	Livello attenzione
Causa (ICD-IX)	Genere	Osservati	Attesi									
Accidenti da trasporto (800-848)	M + F	1430	1525	.	.	624 (596-654)	94 (89-98)	94 (92-99)	↓	↓	↘	0 
Traumatismi e avvelenamenti (800-999)	F	1361	1362	.	.	1127 (1066-1191)	100 (95-106)	100 (96-104)			↘	0 
Traumatismi e avvelenamenti (800-999)	M	1552	1392	1	115.2	1463 (1393-1537)	112 (106-117)	111 (107-118)	↑	↑	↘	4 
Traumatismi e avvelenamenti (800-999)	M + F	2913	2754	1	105.1	1290 (1243-1339)	106 (102-110)	106 (103-108)	↑	↑	↘	4 
Avvelenamenti accidentali (850-869)	F	86	107	.	.	70 (57-85)	80 (66-97)	83 (73-100)	↓		↘	0 
Avvelenamenti accidentali (850-869)	M	173	168	.	.	162 (141-186)	103 (90-118)	99 (85-111)			↘	0 
Avvelenamenti accidentali (850-869)	M + F	259	275	.	.	114 (102-128)	94 (84-105)	94 (83-102)			↘	0 
Cadute ed altri infortuni (880-928)	F	144	125	1	127.3	123 (106-142)	116 (100-134)	117 (109-135)	↑	↑	→	5 
Cadute ed altri infortuni (880-928)	M	311	213	1	143.3	296 (269-326)	146 (133-161)	145 (132-157)	↑	↑	→	5 
Cadute ed altri infortuni (880-928)	M + F	455	338	1	136.9	207 (191-224)	135 (124-146)	136 (126-144)	↑	↑	→	5 

Tabella 54. Ricoveri ospedalieri per causa nel comune di Fiuminata, tutte le età – Anni 2006-2012, confronto Regione Marche – tutti gli eventi.

Fiuminata												
Causa (ICD-IX)	Genere	Osservati	Attesi	n. cluster sign.	SIR cluster	Tasso std. * 100000 (ic)	SIR (ic)	BIR (ic)	SIR sign.	BIR sign.	Trend	Livello attenzione
Tutte le cause (escl. cataratta, IVG, parto, trattamenti e violente) (000-365, 367-634, 636-649, 655-659, 670-799)	F	751	815	.	.	12081 (10977-13295)	92 (83-102)	93 (88-99)		↓	↘	0 
Tutte le cause (escl. cataratta, IVG, parto, trattamenti e violente) (000-365, 367-634, 636-649, 655-659, 670-799)	M	713	822	.	.	12111 (10892-13466)	87 (78-96)	88 (84-94)	↓	↓	→	0 
Tutte le cause (escl. cataratta, IVG, parto, trattamenti e violente) (000-365, 367-634, 636-649, 655-659, 670-799)	M + F	1464	1637	.	.	12095 (11264-12988)	89 (83-96)	91 (88-95)	↓	↓	↘	0 
Malattie infettive (001-139)	F	6	11	.	.	118 (50-279)	53 (27-103)	101 (79-128)			n.c.	0 
Malattie infettive (001-139)	M	12	14	.	.	192 (114-325)	88 (55-141)	106 (81-126)			n.c.	0 
Malattie infettive (001-139)	M + F	18	25	.	.	154 (101-236)	72 (49-106)	97 (77-117)			↘	0 
Malattie ischemiche acute (infarto miocardico, altre forme acute e subacute di cardiopatia ischemica) (410-411)	F	13	18	.	.	172 (99-298)	73 (44-118)	95 (72-113)			n.c.	0 
Malattie ischemiche acute (infarto miocardico, altre forme acute e subacute di cardiopatia ischemica) (410-411)	M	21	28	1	111.7	355 (220-574)	74 (47-116)	110 (86-139)			n.c.	2 
Malattie ischemiche acute (infarto miocardico, altre forme acute e subacute di cardiopatia ischemica) (410-411)	M + F	34	46	1	110.6	261 (182-373)	73 (53-103)	101 (85-114)			→	2 
Malattie ischemiche del cuore (410-4149)	F	22	26	1	115.1	308 (195-486)	85 (56-130)	95 (82-113)			n.c.	2 

Fiuminata												
Causa (ICD-IX)	Genere	Osservati	Attesi	n. cluster sign.	SIR cluster	Tasso std. * 100000 (ic)	SIR (ic)	BIR (ic)	SIR sign.	BIR sign.	Trend	Livello attenzione
Malattie ischemiche del cuore (410-4149)	M	38	47	.	.	653 (443-961)	81 (56-117)	98 (86-119)			n.c.	0
Malattie ischemiche del cuore (410-4149)	M + F	60	73	.	.	475 (354-638)	83 (62-109)	93 (83-113)			↘	0
Malattie acute delle prime vie aeree (460-466)	F	<5	<5	.	.	63 (11-365)	74 (29-190)	65 (45-98)		↓	n.c.	0
Malattie acute delle prime vie aeree (460-466)	M	<5	>5	.	.	67 (8-589)	62 (18-212)	55 (38-82)		↓	n.c.	0
Malattie acute delle prime vie aeree (460-466)	M + F	6	9	.	.	65 (25-170)	68 (31-146)	60 (43-86)		↓	n.c.	0
Asma (493)	F	<5	<5	.	.	26 (.-)	75 (14-386)	73 (47-108)			n.c.	0
Asma (493)	M	<5	<5	.	.	22 (.-)	76 (15-391)	77 (44-112)			n.c.	0
Asma (493)	M + F	<5	<5	.	.	24 (0-2125)	75 (23-240)	68 (53-110)			n.c.	0
Aborto spontaneo (634)	F	5	6	.	.	103 (33-323)	90 (38-214)	52 (40-71)		↓	n.c.	0
Cause maldefinite (780-799)	F	30	34	.	.	554 (380-810)	89 (64-124)	77 (67-98)		↓	↘	0
Cause maldefinite (780-799)	M	18	36	.	.	307 (200-473)	50 (33-75)	74 (64-86)	↓	↓	↘	0
Cause maldefinite (780-799)	M + F	48	70	.	.	434 (327-577)	69 (53-89)	75 (62-88)	↓	↓	↘	0
Accidenti da trasporto (800-848)	F	40	48	.	.	616 (448-847)	84 (62-112)	91 (83-99)		↓	→	0
Accidenti da trasporto (800-848)	M	35	36	1	121.4	624 (464-841)	96 (72-128)	105 (96-118)			→	2

























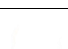










Fiuminata												
Causa (ICD-IX)	Genere	Osservati	Attesi	n. cluster sign.	SIR cluster	Tasso std. * 100000 (ic)	SIR (ic)	BIR (ic)	SIR sign.	BIR sign.	Trend	Livello attenzione
Accidenti da trasporto (800-848)	M + F	75	84	.	.	620 (500-769)	89 (73-110)	97 (90-109)			↘	0 
Traumatismi e avvelenamenti (800-999)	F	57	76	.	.	910 (690-1202)	75 (58-97)	89 (76-99)	↓	↓	→	0 
Traumatismi e avvelenamenti (800-999)	M	75	73	1	115.2	1334 (1071-1660)	102 (82-127)	109 (91-121)			↘	2 
Traumatismi e avvelenamenti (800-999)	M + F	132	149	1	105.1	1116 (940-1324)	89 (75-104)	97 (89-106)			↘	2 
Avvelenamenti accidentali (850-869)	F	<5	>5	.	.	58 (10-338)	53 (20-136)	84 (66-111)			n.c.	0 
Avvelenamenti accidentali (850-869)	M	6	9	.	.	103 (45-236)	67 (34-130)	87 (73-101)			n.c.	0 
Avvelenamenti accidentali (850-869)	M + F	9	15	.	.	80 (42-151)	61 (35-106)	79 (65-89)		↓	n.c.	0 
Cadute ed altri infortuni (880-928)	F	9	7	.	.	146 (76-279)	139 (80-240)	121 (96-142)			n.c.	0 
Cadute ed altri infortuni (880-928)	M	17	11	1	143.3	323 (211-495)	156 (104-232)	147 (113-174)	↑	↑	n.c.	5 
Cadute ed altri infortuni (880-928)	M + F	26	17	1	136.9	232 (165-327)	149 (108-206)	139 (117-165)	↑	↑	n.c.	5 

Tabella 55. Ricoveri ospedalieri per causa nel comune di Genga, tutte le età – Anni 2006-2012, confronto Regione Marche – tutti gli eventi.

Genga				n. cluster sign.	SIR cluster	Tasso std. * 100000 (ic)	SIR (ic)	BIR (ic)	SIR sign.	BIR sign.	Trend	Livello attenzione
Causa (ICD-IX)	Genere	Osservati	Attesi									
Tutte le cause (escl. cataratta, IVG, parto, trattamenti e violente) (000-365, 367-634, 636-649, 655-659, 670-799)	F	1042	995	.	.	13722 (12614-14928)	105 (96-114)	104 (97-109)			↘	0 
Tutte le cause (escl. cataratta, IVG, parto, trattamenti e violente) (000-365, 367-634, 636-649, 655-659, 670-799)	M	1012	1028	.	.	13709 (12604-14911)	98 (90-107)	99 (93-104)			↘	0 
Tutte le cause (escl. cataratta, IVG, parto, trattamenti e violente) (000-365, 367-634, 636-649, 655-659, 670-799)	M + F	2054	2023	.	.	13716 (12924-14556)	102 (96-108)	101 (99-104)			↘	0 
Malattie infettive (001-139)	F	23	15	.	.	283 (184-436)	156 (104-235)	126 (96-169)	↑		n.c.	2 
Malattie infettive (001-139)	M	18	17	.	.	241 (155-376)	106 (69-162)	103 (78-127)			n.c.	0 
Malattie infettive (001-139)	M + F	41	32	.	.	263 (194-356)	129 (96-174)	117 (96-141)			↘	0 
Malattie ischemiche acute (infarto miocardico, altre forme acute e subacute di cardiopatia ischemica) (410-411)	F	27	21	.	.	320 (218-470)	131 (92-188)	111 (89-144)			n.c.	0 
Malattie ischemiche acute (infarto miocardico, altre forme acute e subacute di cardiopatia ischemica) (410-411)	M	42	36	.	.	561 (390-806)	118 (84-166)	118 (97-138)			→	0 
Malattie ischemiche acute (infarto miocardico, altre forme acute e subacute di cardiopatia ischemica) (410-411)	M + F	69	56	.	.	437 (335-569)	123 (95-158)	117 (102-139)		↑	→	3 
Malattie ischemiche del cuore (410-4149)	F	35	29	.	.	415 (284-607)	119 (84-168)	107 (84-127)			→	0 
Malattie ischemiche del cuore (410-4149)	M	56	59	.	.	744 (539-1026)	95 (70-130)	96 (82-111)			↘	0 

Genga												
Causa (ICD-IX)	Genere	Osservati	Attesi	n. cluster sign.	SIR cluster	Tasso std. * 100000 (ic)	SIR (ic)	BIR (ic)	SIR sign.	BIR sign.	Trend	Livello attenzione
Malattie ischemiche del cuore (410-4149)	M + F	91	88	.	.	575 (450-734)	103 (82-130)	102 (87-110)			↘	0 
Malattie acute delle prime vie aeree (460-466)	F	8	6	1	133.6	114 (52-248)	135 (70-258)	114 (77-178)			n.c.	2 
Malattie acute delle prime vie aeree (460-466)	M	7	6	.	.	121 (58-251)	118 (64-218)	109 (66-179)			n.c.	0 
Malattie acute delle prime vie aeree (460-466)	M + F	15	12	2	131.0	117 (72-191)	126 (81-198)	119 (82-170)			n.c.	1 
Asma (493)	F	<5	<5	1	177.1	37 (6-220)	163 (63-421)	105 (54-166)			n.c.	2 
Asma (493)	M	<5	<5	2	151.3	47 (9-258)	186 (72-480)	128 (74-192)			n.c.	1 
Asma (493)	M + F	6	4	1	132.4	42 (18-98)	174 (89-340)	125 (86-169)			n.c.	2 
Aborto spontaneo (634)	F	<5	>5	.	.	47 (9-254)	40 (16-104)	51 (33-76)			↓	0 
Cause maldefinite (780-799)	F	32	42	.	.	403 (279-583)	77 (54-109)	82 (64-103)			↘	0 
Cause maldefinite (780-799)	M	44	45	.	.	627 (477-825)	98 (75-127)	95 (81-120)			↘	0 
Cause maldefinite (780-799)	M + F	76	87	.	.	512 (411-637)	88 (71-109)	90 (76-106)			↘	0 
Accidenti da trasporto (800-848)	F	52	56	.	.	629 (487-813)	92 (72-119)	92 (80-101)			→	0 
Accidenti da trasporto (800-848)	M	39	46	.	.	548 (412-729)	85 (64-111)	94 (83-105)			↘	0 
Accidenti da trasporto (800-848)	M + F	91	102	.	.	590 (489-712)	89 (74-107)	91 (85-101)			↘	0 



































Genga												
Causa (ICD-IX)	Genere	Osservati	Attesi	n. cluster sign.	SIR cluster	Tasso std. * 100000 (ic)	SIR (ic)	BIR (ic)	SIR sign.	BIR sign.	Trend	Livello attenzione
Traumatismi e avvelenamenti (800-999)	F	99	90	.	.	1244 (1017-1522)	109 (90-133)	101 (92-113)			→	0 
Traumatismi e avvelenamenti (800-999)	M	90	92	.	.	1265 (1030-1554)	97 (80-120)	105 (93-122)			↘	0 
Traumatismi e avvelenamenti (800-999)	M + F	189	183	1	105.1	1254 (1087-1447)	103 (90-119)	104 (93-114)			→	2 
Avvelenamenti accidentali (850-869)	F	7	7	.	.	79 (35-181)	100 (50-203)	90 (63-115)			n.c.	0 
Avvelenamenti accidentali (850-869)	M	14	11	.	.	202 (125-327)	124 (80-192)	109 (88-139)			n.c.	0 
Avvelenamenti accidentali (850-869)	M + F	21	18	.	.	139 (93-206)	115 (79-167)	108 (85-130)			→	0 
Cadute ed altri infortuni (880-928)	F	23	8	1	127.3	315 (218-455)	292 (207-411)	161 (128-203)	↑	↑	→	5 
Cadute ed altri infortuni (880-928)	M	20	14	1	143.3	286 (194-422)	146 (101-211)	149 (111-185)	↑	↑	→	5 
Cadute ed altri infortuni (880-928)	M + F	43	22	1	136.9	301 (232-391)	199 (155-256)	170 (149-205)	↑	↑	→	5 

Tabella 56. Ricoveri ospedalieri per causa nel comune di Matelica, tutte le età – Anni 2006-2012, confronto Regione Marche – tutti gli eventi.

Matelica				n. cluster sign.	SIR cluster	Tasso std. * 100000 (ic)	SIR (ic)	BIR (ic)	SIR sign.	BIR sign.	Trend	Livello attenzione
Causa (ICD-IX)	Genere	Osservati	Attesi									
Tutte le cause (escl. cataratta, IVG, parto, trattamenti e violente) (000-365, 367-634, 636-649, 655-659, 670-799)	F	5613	4969	.	.	14877 (14351-15422)	113 (109-117)	113 (110-115)	↑	↑	↘	4 
Tutte le cause (escl. cataratta, IVG, parto, trattamenti e violente) (000-365, 367-634, 636-649, 655-659, 670-799)	M	5341	5124	.	.	14593 (14022-15187)	104 (100-108)	104 (102-107)	↑	↑	↘	4 
Tutte le cause (escl. cataratta, IVG, parto, trattamenti e violente) (000-365, 367-634, 636-649, 655-659, 670-799)	M + F	10954	10093	.	.	14739 (14350-15139)	109 (106-111)	108 (107-110)	↑	↑	↘	4 
Malattie infettive (001-139)	F	110	73	4	145.9	291 (240-353)	150 (124-182)	138 (118-166)	↑	↑	→	5 
Malattie infettive (001-139)	M	131	88	.	.	368 (311-436)	149 (126-177)	137 (119-149)	↑	↑	→	4 
Malattie infettive (001-139)	M + F	241	161	4	128.5	328 (289-373)	150 (132-170)	143 (126-159)	↑	↑	→	5 
Malattie ischemiche acute (infarto miocardico, altre forme acute e subacute di cardiopatia ischemica) (410-411)	F	106	93	.	.	271 (218-337)	113 (92-141)	110 (96-122)			→	0 
Malattie ischemiche acute (infarto miocardico, altre forme acute e subacute di cardiopatia ischemica) (410-411)	M	174	173	1	111.7	464 (391-552)	101 (85-120)	105 (97-118)			→	2 
Malattie ischemiche acute (infarto miocardico, altre forme acute e subacute di cardiopatia ischemica) (410-411)	M + F	280	266	1	110.6	365 (319-417)	105 (92-120)	109 (100-115)			→	2 
Malattie ischemiche del cuore (410-4149)	F	145	136	1	115.1	371 (307-448)	106 (88-128)	105 (89-113)			↘	2 
Malattie ischemiche del cuore (410-4149)	M	253	288	.	.	672 (578-783)	88 (76-102)	91 (85-99)		↓	↘	0 

Matelica												
Causa (ICD-IX)	Genere	Osservati	Attesi	n. cluster sign.	SIR cluster	Tasso std. * 100000 (ic)	SIR (ic)	BIR (ic)	SIR sign.	BIR sign.	Trend	Livello attenzione
Malattie ischemiche del cuore (410-4149)	M + F	398	424	.	.	517 (460-582)	94 (83-106)	96 (89-102)			↘	0 
Malattie acute delle prime vie aeree (460-466)	F	24	28	.	.	71 (49-104)	85 (59-122)	81 (55-106)			n.c.	0 
Malattie acute delle prime vie aeree (460-466)	M	19	32	.	.	58 (39-87)	60 (41-87)	64 (45-85)	↓	↓	↘	0 
Malattie acute delle prime vie aeree (460-466)	M + F	43	60	.	.	65 (50-85)	72 (55-93)	76 (62-99)	↓	↓	↘	0 
Asma (493)	F	6	9	.	.	17 (8-40)	64 (33-125)	79 (57-110)			n.c.	0 
Asma (493)	M	5	9	.	.	15 (6-39)	56 (27-117)	73 (46-96)		↓	n.c.	0 
Asma (493)	M + F	11	18	.	.	16 (9-28)	60 (36-98)	72 (57-90)	↓	↓	n.c.	0 
Aborto spontaneo (634)	F	12	41	.	.	34 (20-60)	30 (18-49)	41 (30-50)	↓	↓	n.c.	0 
Cause maldefinite (780-799)	F	151	201	.	.	413 (354-482)	75 (64-87)	77 (69-86)	↓	↓	↘	0 
Cause maldefinite (780-799)	M	210	226	.	.	590 (515-676)	93 (81-106)	94 (86-103)			↘	0 
Cause maldefinite (780-799)	M + F	361	427	.	.	499 (450-552)	84 (76-93)	85 (80-93)	↓	↓	↘	0 
Accidenti da trasporto (800-848)	F	263	262	.	.	685 (614-765)	101 (90-112)	97 (90-106)			↘	0 
Accidenti da trasporto (800-848)	M	267	236	.	.	745 (668-830)	114 (102-126)	107 (98-117)	↑		↘	2 
Accidenti da trasporto (800-848)	M + F	530	497	.	.	714 (661-771)	107 (99-115)	105 (98-110)			↘	0 




















Matelica												
Causa (ICD-IX)	Genere	Osservati	Attesi	n. cluster sign.	SIR cluster	Tasso std. * 100000 (ic)	SIR (ic)	BIR (ic)	SIR sign.	BIR sign.	Trend	Livello attenzione
Traumatismi e avvelenamenti (800-999)	F	425	431	.	.	1117 (1019-1224)	99 (90-108)	99 (91-104)			↘	0 
Traumatismi e avvelenamenti (800-999)	M	509	471	1	115.2	1417 (1297-1548)	108 (99-118)	108 (101-113)		↑	↘	4 
Traumatismi e avvelenamenti (800-999)	M + F	934	903	1	105.1	1263 (1185-1346)	103 (97-110)	103 (99-107)			↘	2 
Avvelenamenti accidentali (850-869)	F	25	33	.	.	65 (45-94)	76 (53-108)	79 (67-95)		↓	↘	0 
Avvelenamenti accidentali (850-869)	M	50	57	.	.	138 (106-181)	88 (67-114)	89 (75-106)			↘	0 
Avvelenamenti accidentali (850-869)	M + F	75	90	.	.	101 (81-125)	83 (67-103)	83 (70-95)		↓	↘	0 
Cadute ed altri infortuni (880-928)	F	45	40	1	127.3	118 (91-154)	113 (88-146)	116 (98-136)			→	2 
Cadute ed altri infortuni (880-928)	M	91	72	1	143.3	255 (212-306)	127 (106-152)	135 (116-157)	↑	↑	→	5 
Cadute ed altri infortuni (880-928)	M + F	136	111	1	136.9	185 (159-214)	122 (105-141)	129 (114-147)	↑	↑	↘	4 

Tabella 57. Ricoveri ospedalieri per causa nel comune di Poggio San Vicino, tutte le età – Anni 2006-2012, confronto Regione Marche – tutti gli eventi.

Poggio San Vicino												
Causa (ICD-IX)	Genere	Osservati	Attesi	n. cluster sign.	SIR cluster	Tasso std. * 100000 (ic)	SIR (ic)	BIR (ic)	SIR sign.	BIR sign.	Trend	Livello attenzione
Tutte le cause (escl. cataratta, IVG, parto, trattamenti e violente) (000-365, 367-634, 636-649, 655-659, 670-799)	F	154	158	.	.	13229 (10754-16273)	98 (79-121)	99 (90-106)			→	0 
Tutte le cause (escl. cataratta, IVG, parto, trattamenti e violente) (000-365, 367-634, 636-649, 655-659, 670-799)	M	168	184	.	.	12727 (10247-15807)	91 (74-113)	95 (86-101)			→	0 
Tutte le cause (escl. cataratta, IVG, parto, trattamenti e violente) (000-365, 367-634, 636-649, 655-659, 670-799)	M + F	322	341	.	.	12985 (11184-15076)	94 (81-110)	98 (91-105)			↘	0 
Malattie infettive (001-139)	F	<5	<5	.	.	76 (.-)	45 (9-232)	116 (78-157)			n.c.	0 
Malattie infettive (001-139)	M	<5	<5	.	.	281 (47-1685)	93 (36-240)	104 (75-149)			n.c.	0 
Malattie infettive (001-139)	M + F	<5	>5	.	.	175 (51-605)	73 (32-167)	107 (82-134)			n.c.	0 
Malattie ischemiche acute (infarto miocardico, altre forme acute e subacute di cardiopatia ischemica) (410-411)	F	<5	<5	.	.	191 (0-105624)	61 (12-315)	91 (60-122)			n.c.	0 
Malattie ischemiche acute (infarto miocardico, altre forme acute e subacute di cardiopatia ischemica) (410-411)	M	9	6	.	.	630 (315-1258)	143 (79-261)	126 (102-148)		↑	n.c.	3 
Malattie ischemiche acute (infarto miocardico, altre forme acute e subacute di cardiopatia ischemica) (410-411)	M + F	11	10	.	.	404 (206-793)	115 (65-204)	113 (90-147)			n.c.	0 
Malattie ischemiche del cuore (410-4149)	F	<5	>5	.	.	191 (0-105624)	42 (8-216)	84 (60-109)			n.c.	0 

Poggio San Vicino												
Causa (ICD-IX)	Genere	Osservati	Attesi	n. cluster sign.	SIR cluster	Tasso std. * 100000 (ic)	SIR (ic)	BIR (ic)	SIR sign.	BIR sign.	Trend	Livello attenzione
Malattie ischemiche del cuore (410-4149)	M	12	10	.	.	861 (431-1722)	119 (67-211)	106 (87-131)			n.c.	0
Malattie ischemiche del cuore (410-4149)	M + F	14	15	.	.	517 (270-987)	94 (54-162)	99 (78-122)			n.c.	0
Malattie acute delle prime vie aeree (460-466)	F	0	1	1	133.6	0 (.-)	0 (0-283)	103 (69-175)			n.c.	2
Malattie acute delle prime vie aeree (460-466)	M	0	2	.	.	0 (.-)	0 (0-145)	77 (49-136)			n.c.	0
Malattie acute delle prime vie aeree (460-466)	M + F	0	2	2	131.0	0 (.-)	0 (0-96)	89 (51-136)	↓		n.c.	1
Asma (493)	F	0	0	.	.	0 (.-)	0 (0-859)	86 (46-141)			n.c.	0
Asma (493)	M	0	0	.	.	0 (.-)	0 (0-604)	91 (53-138)			n.c.	0
Asma (493)	M + F	0	0	.	.	0 (.-)	0 (0-355)	91 (54-130)			n.c.	0
Aborto spontaneo (634)	F	0	1	.	.	0 (.-)	0 (0-191)	53 (34-74)		↓	n.c.	0
Cause maldefinite (780-799)	F	7	6	.	.	661 (307-1424)	109 (59-202)	96 (75-126)			n.c.	0
Cause maldefinite (780-799)	M	13	8	.	.	1068 (566-2014)	155 (92-261)	106 (80-150)			n.c.	0
Cause maldefinite (780-799)	M + F	20	15	.	.	859 (543-1360)	135 (91-202)	105 (89-133)			n.c.	0
Accidenti da trasporto (800-848)	F	11	9	.	.	771 (376-1579)	126 (62-258)	91 (82-110)			n.c.	0
Accidenti da trasporto (800-848)	M	11	8	.	.	834 (437-1591)	145 (85-247)	101 (91-115)			n.c.	0



































Poggio San Vicino												
Causa (ICD-IX)	Genere	Osservati	Attesi	n. cluster sign.	SIR cluster	Tasso std. * 100000 (ic)	SIR (ic)	BIR (ic)	SIR sign.	BIR sign.	Trend	Livello attenzione
Accidenti da trasporto (800-848)	M + F	22	16	.	.	802 (507-1267)	135 (86-211)	98 (83-116)			n.c.	0 
Traumatismi e avvelenamenti (800-999)	F	19	14	.	.	1446 (814-2568)	135 (76-240)	99 (88-113)			→	0 
Traumatismi e avvelenamenti (800-999)	M	15	16	.	.	1160 (650-2068)	97 (60-156)	105 (91-117)			n.c.	0 
Traumatismi e avvelenamenti (800-999)	M + F	34	30	1	105.1	1307 (877-1948)	115 (78-169)	104 (90-121)			→	2 
Avvelenamenti accidentali (850-869)	F	<5	<5	.	.	241 (30-1910)	283 (83-963)	87 (62-117)			n.c.	0 
Avvelenamenti accidentali (850-869)	M	0	2	.	.	0 (.-)	0 (0-111)	93 (66-118)			n.c.	0 
Avvelenamenti accidentali (850-869)	M + F	<5	<5	.	.	124 (16-983)	96 (28-326)	87 (67-109)			n.c.	0 
Cadute ed altri infortuni (880-928)	F	<5	<5	1	127.3	208 (38-1157)	241 (93-622)	117 (91-157)			n.c.	2 
Cadute ed altri infortuni (880-928)	M	<5	<5	1	143.3	211 (2-18896)	94 (30-302)	138 (104-186)		↑	n.c.	4 
Cadute ed altri infortuni (880-928)	M + F	5	3	1	136.9	210 (79-558)	149 (71-310)	144 (113-179)		↑	n.c.	4 

Tabella 58. Ricoveri ospedalieri per causa nel comune di Sassoferrato, tutte le età – Anni 2006-2012, confronto Regione Marche – tutti gli eventi.

Sassoferrato				n. cluster sign.	SIR cluster	Tasso std. * 100000 (ic)	SIR (ic)	BIR (ic)	SIR sign.	BIR sign.	Trend	Livello attenzione
Causa (ICD-IX)	Genere	Osservati	Attesi									
Tutte le cause (escl. cataratta, IVG, parto, trattamenti e violente) (000-365, 367-634, 636-649, 655-659, 670-799)	F	3772	3861	.	.	12848 (12277-13447)	98 (93-102)	98 (95-100)		↓	↘	0 
Tutte le cause (escl. cataratta, IVG, parto, trattamenti e violente) (000-365, 367-634, 636-649, 655-659, 670-799)	M	3903	3810	.	.	14382 (13700-15098)	102 (98-108)	103 (100-105)			↘	0 
Tutte le cause (escl. cataratta, IVG, parto, trattamenti e violente) (000-365, 367-634, 636-649, 655-659, 670-799)	M + F	7675	7672	.	.	13593 (13147-14054)	100 (97-103)	100 (98-102)			↘	0 
Malattie infettive (001-139)	F	54	59	.	.	182 (142-233)	91 (72-116)	94 (81-108)			n.c.	0 
Malattie infettive (001-139)	M	48	67	.	.	182 (139-238)	72 (55-93)	81 (70-96)	↓	↓	↘	0 
Malattie infettive (001-139)	M + F	102	126	.	.	182 (152-218)	81 (68-97)	87 (77-102)	↓		↘	0 
Malattie ischemiche acute (infarto miocardico, altre forme acute e subacute di cardiopatia ischemica) (410-411)	F	84	77	.	.	258 (202-330)	109 (86-139)	106 (93-129)			→	0 
Malattie ischemiche acute (infarto miocardico, altre forme acute e subacute di cardiopatia ischemica) (410-411)	M	173	127	.	.	637 (534-760)	136 (114-162)	129 (113-142)	↑	↑	→	4 
Malattie ischemiche acute (infarto miocardico, altre forme acute e subacute di cardiopatia ischemica) (410-411)	M + F	257	204	.	.	442 (383-510)	126 (109-145)	121 (111-134)	↑	↑	↗	6 
Malattie ischemiche del cuore (410-4149)	F	99	110	.	.	306 (243-384)	90 (72-112)	89 (74-107)			↘	0 

Sassoferrato												
Causa (ICD-IX)	Genere	Osservati	Attesi	n. cluster sign.	SIR cluster	Tasso std. * 100000 (ic)	SIR (ic)	BIR (ic)	SIR sign.	BIR sign.	Trend	Livello attenzione
Malattie ischemiche del cuore (410-4149)	M	221	210	.	.	815 (691-961)	105 (89-124)	104 (94-115)			↘	0 
Malattie ischemiche del cuore (410-4149)	M + F	320	321	.	.	553 (483-632)	100 (87-114)	98 (89-109)			↘	0 
Malattie acute delle prime vie aeree (460-466)	F	28	25	1	133.6	92 (65-130)	114 (82-159)	111 (84-135)			n.c.	2 
Malattie acute delle prime vie aeree (460-466)	M	28	26	.	.	104 (72-150)	109 (77-155)	109 (79-142)			↘	0 
Malattie acute delle prime vie aeree (460-466)	M + F	56	50	2	131.0	98 (76-125)	111 (88-142)	109 (95-139)			↘	1 
Asma (493)	F	<5	>5	.	.	14 (4-44)	52 (23-119)	80 (50-118)			n.c.	0 
Asma (493)	M	11	7	.	.	42 (17-106)	157 (68-360)	123 (83-175)			n.c.	0 
Asma (493)	M + F	15	15	1	132.4	27 (14-56)	102 (54-196)	107 (81-154)			n.c.	2 
Aborto spontaneo (634)	F	7	30	.	.	26 (11-60)	23 (12-47)	38 (24-54)	↓	↓	n.c.	0 
Cause maldefinite (780-799)	F	143	162	.	.	482 (416-558)	89 (77-102)	88 (76-103)			↘	0 
Cause maldefinite (780-799)	M	149	170	.	.	548 (474-633)	88 (76-101)	91 (82-101)			↘	0 
Cause maldefinite (780-799)	M + F	292	331	.	.	514 (463-570)	88 (80-98)	91 (82-99)	↓	↓	↘	0 
Accidenti da trasporto (800-848)	F	208	213	.	.	674 (593-767)	98 (86-111)	96 (88-103)			↘	0 
Accidenti da trasporto (800-848)	M	161	175	.	.	613 (534-705)	92 (80-106)	92 (85-101)			↘	0 





















Sassoferrato												
Causa (ICD-IX)	Genere	Osservati	Attesi	n. cluster sign.	SIR cluster	Tasso std. * 100000 (ic)	SIR (ic)	BIR (ic)	SIR sign.	BIR sign.	Trend	Livello attenzione
Accidenti da trasporto (800-848)	M + F	369	388	.	.	645 (587-708)	95 (87-105)	95 (88-103)			↘	0 
Traumatismi e avvelenamenti (800-999)	F	386	346	.	.	1274 (1150-1410)	112 (101-124)	108 (101-116)	↑	↑	↘	4 
Traumatismi e avvelenamenti (800-999)	M	455	350	1	115.2	1724 (1564-1900)	130 (118-143)	124 (117-133)	↑	↑	↘	4 
Traumatismi e avvelenamenti (800-999)	M + F	841	696	1	105.1	1492 (1391-1601)	121 (113-130)	117 (112-124)	↑	↑	↘	4 
Avvelenamenti accidentali (850-869)	F	25	27	.	.	80 (56-114)	92 (65-129)	92 (69-113)			n.c.	0 
Avvelenamenti accidentali (850-869)	M	40	43	.	.	150 (113-199)	94 (71-124)	102 (83-123)			↘	0 
Avvelenamenti accidentali (850-869)	M + F	65	70	.	.	114 (92-142)	93 (75-115)	97 (80-115)			↘	0 
Cadute ed altri infortuni (880-928)	F	59	31	1	127.3	202 (162-253)	192 (154-238)	150 (133-184)	↑	↑	→	5 
Cadute ed altri infortuni (880-928)	M	126	53	1	143.3	481 (401-577)	238 (198-286)	199 (170-228)	↑	↑	→	5 
Cadute ed altri infortuni (880-928)	M + F	185	84	1	136.9	338 (293-389)	221 (192-255)	194 (175-228)	↑	↑	→	5 

Tabella 59. Ricoveri ospedalieri per causa nel comune di Serra San Quirico, tutte le età – Anni 2006-2012, confronto Regione Marche – tutti gli eventi.

Serra San Quirico				n. cluster sign.	SIR cluster	Tasso std. * 100000 (ic)	SIR (ic)	BIR (ic)	SIR sign.	BIR sign.	Trend	Livello attenzione
Causa (ICD-IX)	Genere	Osservati	Attesi									
Tutte le cause (escl. cataratta, IVG, parto, trattamenti e violente) (000-365, 367-634, 636-649, 655-659, 670-799)	F	1569	1554	.	.	13352 (12446-14323)	101 (94-108)	101 (97-105)			↘	0 
Tutte le cause (escl. cataratta, IVG, parto, trattamenti e violente) (000-365, 367-634, 636-649, 655-659, 670-799)	M	1414	1494	.	.	13383 (12448-14387)	95 (88-102)	95 (91-100)		↓	↘	0 
Tutte le cause (escl. cataratta, IVG, parto, trattamenti e violente) (000-365, 367-634, 636-649, 655-659, 670-799)	M + F	2983	3048	.	.	13367 (12710-14057)	98 (93-103)	98 (94-101)			↘	0 
Malattie infettive (001-139)	F	28	24	.	.	254 (174-370)	119 (84-169)	112 (88-145)			→	0 
Malattie infettive (001-139)	M	24	26	.	.	238 (146-389)	94 (58-151)	96 (73-119)			↘	0 
Malattie infettive (001-139)	M + F	52	49	.	.	246 (183-332)	106 (79-141)	104 (91-128)			→	0 
Malattie ischemiche acute (infarto miocardico, altre forme acute e subacute di cardiopatia ischemica) (410-411)	F	27	31	.	.	203 (138-299)	87 (60-126)	89 (73-111)			n.c.	0 
Malattie ischemiche acute (infarto miocardico, altre forme acute e subacute di cardiopatia ischemica) (410-411)	M	45	50	.	.	416 (289-597)	89 (63-127)	99 (86-119)			→	0 
Malattie ischemiche acute (infarto miocardico, altre forme acute e subacute di cardiopatia ischemica) (410-411)	M + F	72	81	.	.	306 (234-401)	88 (68-115)	95 (78-109)			→	0 
Malattie ischemiche del cuore (410-4149)	F	42	45	.	.	327 (235-455)	94 (68-130)	88 (77-105)			n.c.	0 

Serra San Quirico												
Causa (ICD-IX)	Genere	Osservati	Attesi	n. cluster sign.	SIR cluster	Tasso std. * 100000 (ic)	SIR (ic)	BIR (ic)	SIR sign.	BIR sign.	Trend	Livello attenzione
Malattie ischemiche del cuore (410-4149)	M	70	83	.	.	652 (499-854)	84 (65-110)	87 (73-100)			↘	0
Malattie ischemiche del cuore (410-4149)	M + F	112	128	.	.	485 (394-597)	88 (71-107)	91 (79-101)			↘	0
Malattie acute delle prime vie aeree (460-466)	F	15	10	1	133.6	120 (74-193)	154 (98-242)	135 (91-168)			→	2
Malattie acute delle prime vie aeree (460-466)	M	15	9	3	144.9	154 (98-243)	163 (107-248)	131 (98-178)	↑		n.c.	3
Malattie acute delle prime vie aeree (460-466)	M + F	30	19	2	131.0	136 (99-188)	159 (116-216)	142 (113-181)	↑	↑	→	5
Asma (493)	F	5	3	1	177.1	43 (17-113)	167 (80-349)	113 (67-144)			n.c.	2
Asma (493)	M	<5	<5	2	151.3	34 (6-182)	118 (46-306)	104 (65-152)			n.c.	1
Asma (493)	M + F	8	6	1	132.4	39 (20-76)	145 (81-259)	107 (88-153)			n.c.	2
Aborto spontaneo (634)	F	11	12	.	.	104 (60-179)	92 (56-151)	76 (62-103)			n.c.	0
Cause maldefinite (780-799)	F	61	65	.	.	512 (406-648)	94 (75-118)	96 (81-110)			↘	0
Cause maldefinite (780-799)	M	51	66	.	.	492 (367-658)	78 (59-103)	91 (75-108)			↘	0
Cause maldefinite (780-799)	M + F	112	130	.	.	502 (418-604)	86 (72-103)	91 (79-107)			↘	0
Accidenti da trasporto (800-848)	F	62	86	.	.	491 (391-616)	72 (58-91)	86 (76-97)	↓	↓	↘	0
Accidenti da trasporto (800-848)	M	69	69	.	.	662 (537-816)	101 (82-124)	97 (89-110)			↘	0



























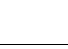










Serra San Quirico												
Causa (ICD-IX)	Genere	Osservati	Attesi	n. cluster sign.	SIR cluster	Tasso std. * 100000 (ic)	SIR (ic)	BIR (ic)	SIR sign.	BIR sign.	Trend	Livello attenzione
Accidenti da trasporto (800-848)	M + F	131	154	.	.	574 (493-669)	85 (73-99)	90 (80-97)	↓	↓	↘	0 
Traumatismi e avvelenamenti (800-999)	F	135	139	.	.	1088 (915-1293)	97 (82-115)	97 (89-109)			↘	0 
Traumatismi e avvelenamenti (800-999)	M	154	137	.	.	1482 (1278-1719)	112 (97-130)	108 (98-119)			→	0 
Traumatismi e avvelenamenti (800-999)	M + F	289	276	1	105.1	1279 (1143-1431)	105 (94-117)	104 (99-113)			↘	2 
Avvelenamenti accidentali (850-869)	F	11	11	.	.	81 (47-141)	101 (61-165)	90 (67-109)			n.c.	0 
Avvelenamenti accidentali (850-869)	M	23	17	.	.	220 (151-322)	138 (97-197)	105 (92-131)			n.c.	0 
Avvelenamenti accidentali (850-869)	M + F	34	28	.	.	149 (110-202)	123 (92-165)	103 (83-123)			n.c.	0 
Cadute ed altri infortuni (880-928)	F	18	12	1	127.3	151 (98-232)	145 (97-218)	125 (110-149)			n.c.	4 
Cadute ed altri infortuni (880-928)	M	34	21	1	143.3	333 (246-451)	164 (123-220)	152 (120-183)	↑	↑	→	5 
Cadute ed altri infortuni (880-928)	M + F	52	33	1	136.9	239 (188-305)	157 (124-199)	151 (127-179)	↑	↑	→	5 

Tabella 60. Primi ricoveri ospedalieri per causa nel comune di Cerreto d'Esi, 0-14 anni maschi e femmine - Anni 2006-2012, confronto Regione Marche.

Cerreto d'Esi			n. cluster sign.	SIR cluster	Tasso std. * 100000 (ic)	SIR (ic)	BIR (ic)	SIR sign.	BIR sign.	Trend	Livello attenzione
Causa (ICD-IX)	Osservati	Attesi									
Tumori maligni (140-208)	0	1	.	.	0 (0-70)	0 (.-)	75 (45-136)	↓		n.c.	0 
Tumori maligni delle ossa e della cartilagine articolare (170)	0	0	.	.	0 (0-70)	0 (.-)	52 (15-178)	↓		n.c.	0 
Tumori maligni del connettivo e di altri tessuti molli (171)	0	0	.	.	0 (0-70)	0 (.-)	80 (11-527)	↓		n.c.	0 
Tumori maligni del rene e di altri e non specificati organi urinari (189)	0	0	.	.	0 (0-70)	0 (.-)	79 (27-160)	↓		n.c.	0 
Tumori maligni dell'encefalo (191)	0	0	.	.	0 (0-70)	0 (.-)	53 (35-90)	↓	↓	n.c.	0 
Tumori maligni del sistema nervoso centrale (191-192)	0	0	.	.	0 (0-70)	0 (.-)	51 (34-87)	↓	↓	n.c.	0 
Tumori maligni della ghiandola tiroidea (193)	0	0	.	.	0 (0-70)	0 (.-)	80 (23-271)	↓		n.c.	0 
Linfomi non Hodgkin (200, 202)	0	0	.	.	0 (0-70)	0 (.-)	75 (34-175)	↓		n.c.	0 
Tumori emolinfopoiетici (200-208)	0	1	.	.	0 (0-70)	0 (.-)	69 (27-123)	↓		n.c.	0 
Leucemie (204-208)	0	0	.	.	0 (0-70)	0 (.-)	74 (31-249)	↓		n.c.	0 
Malattie endocrine e della nutrizione (240-279)	27	33	.	.	581 (410-804)	81 (59-111)	86 (65-106)			→	0 
Diabete mellito (250)	<5	<5	.	.	66 (18-173)	185 (74-462)	115 (72-178)			n.c.	0 
Malattie neuro-psichiatriche (290-319)	7	10	.	.	151 (71-287)	68 (37-126)	72 (48-109)			n.c.	0 

Cerreto d'Esì											
Causa (ICD-IX)	Osservati	Attesi	n. cluster sign.	SIR cluster	Tasso std. * 100000 (ic)	SIR (ic)	BIR (ic)	SIR sign.	BIR sign.	Trend	Livello attenzione
Psicosi con origine specifica dell'infanzia (299)	0	1	.	.	0 (0-70)	0 (.-)	60 (25-115)	↓		n.c.	0 
Disturbi nervosi dell'infanzia (313-319)	6	7	.	.	129 (56-258)	85 (44-165)	91 (54-134)			n.c.	0 
Malattie ereditarie e degenerative e altri disturbi del sistema nervoso centrale (330-349)	14	10	1	120.1	310 (187-486)	143 (92-221)	123 (91-157)			→	2 
Malattie cardiache (390-429)	6	3	1	135.5	129 (56-258)	200 (103-387)	138 (102-194)	↑	↑	n.c.	5 
Malattie del sistema circolatorio (390-459)	9	6	1	132.8	194 (101-343)	163 (95-280)	125 (94-175)			n.c.	2 
Malattie dell'apparato respiratorio (460-5199)	103	67	1	115.9	2194 (1850-2588)	154 (131-181)	143 (124-172)	↑	↑	→	5 
Asma (493)	<5	>5	.	.	65 (18-173)	61 (24-151)	72 (41-127)			n.c.	0 
Malattie dell'apparato digerente (520-579)	34	28	.	.	719 (529-961)	120 (90-158)	110 (92-131)			n.c.	0 
Nefrite, sindrome nefrosica, e nefrosi (580-589)	<5	<5	1	121.7	82 (28-194)	254 (114-565)	168 (89-263)	↑		n.c.	3 
Malattie dell'apparato urinario (580-599)	12	10	1	115.3	251 (145-411)	116 (73-186)	107 (76-138)			n.c.	2 
Anomalie del sistema nervoso (740-742)	<5	<5	.	.	80 (27-190)	283 (127-630)	133 (88-217)	↑		n.c.	2 
Malformazioni congenite (740-759)	28	24	.	.	591 (420-814)	115 (84-157)	108 (89-128)			→	0 
Anomalie cardiovascolari (745-747)	5	5	.	.	109 (43-233)	111 (54-228)	93 (62-174)			n.c.	0 
Anomalie dell'apparato genito-urinario (752-753)	12	10	1	130.9	244 (141-400)	123 (77-197)	122 (89-153)			n.c.	2 





























Cerreto d'Esì											
Causa (ICD-IX)	Osservati	Attesi	n. cluster sign.	SIR cluster	Tasso std. * 100000 (ic)	SIR (ic)	BIR (ic)	SIR sign.	BIR sign.	Trend	Livello attenzione
Anomalie cromosomiche (758)	<5	<5	.	.	22 (1-109)	108 (24-485)	102 (49-250)			n.c.	0 

Tabella 61. Primi ricoveri ospedalieri per causa nel comune di Esanatoglia, 0-14 anni maschi e femmine – Anni 2006-2012, confronto Regione Marche.

Esanatoglia											
Causa (ICD-IX)	Osservati	Attesi	n. cluster sign.	SIR cluster	Tasso std. * 100000 (ic)	SIR (ic)	BIR (ic)	SIR sign.	BIR sign.	Trend	Livello attenzione
Tumori maligni (140-208)	<5	<5	.	.	49 (3-263)	198 (44-888)	79 (36-173)			n.c.	0 
Tumori maligni delle ossa e della cartilagine articolare (170)	0	0	.	.	0 (0-184)	0 (.-)	105 (11-730)	↓		n.c.	0 
Tumori maligni del connettivo e di altri tessuti molli (171)	0	0	.	.	0 (0-184)	. (.-)	0 (0-0)			n.c.	0 
Tumori maligni del rene e di altri e non specificati organi urinari (189)	0	0	.	.	0 (0-184)	. (.-)	0 (0-0)			n.c.	0 
Tumori maligni dell'encefalo (191)	0	0	.	.	0 (0-184)	0 (.-)	29 (8-78)	↓	↓	n.c.	0 
Tumori maligni del sistema nervoso centrale (191-192)	0	0	.	.	0 (0-184)	0 (.-)	26 (7-70)	↓	↓	n.c.	0 
Tumori maligni della ghiandola tiroidea (193)	0	0	.	.	0 (0-184)	. (.-)	0 (0-0)			n.c.	0 
Linfomi non Hodgkin (200, 202)	0	0	.	.	0 (0-184)	0 (.-)	85 (26-226)	↓		n.c.	0 
Tumori emolinfopoiетici (200-208)	0	0	.	.	0 (0-184)	0 (.-)	37 (11-118)	↓		n.c.	0 
Leucemie (204-208)	0	0	.	.	0 (0-184)	0 (.-)	14 (1-66)	↓	↓	n.c.	0 
Malattie endocrine e della nutrizione (240-279)	11	18	.	.	559 (311-945)	61 (37-99)	94 (66-131)	↓		n.c.	0 
Diabete mellito (250)	0	1	.	.	0 (0-184)	0 (.-)	81 (41-139)	↓		n.c.	0 
Malattie neuro-psichiatriche (290-319)	<5	<5	.	.	110 (20-360)	72 (24-218)	57 (39-88)		↓	n.c.	0 

Esanatogia	Osservati	Attesi	n. cluster sign.	SIR cluster	Tasso std. * 100000 (ic)	SIR (ic)	BIR (ic)	SIR sign.	BIR sign.	Trend	Livello attenzione
Psicosi con origine specifica dell'infanzia (299)	0	0	.	.	0 (0-184)	0 (.-)	62 (25-175)	↓		n.c.	0 
Disturbi nervosi dell'infanzia (313-319)	<5	<5	.	.	110 (20-360)	115 (38-349)	65 (34-107)			n.c.	0 
Malattie ereditarie e degenerative e altri disturbi del sistema nervoso centrale (330-349)	<5	<5	.	.	128 (35-370)	82 (33-204)	89 (63-129)			n.c.	0 
Malattie cardiache (390-429)	<5	<5	.	.	61 (3-291)	87 (19-391)	102 (73-159)			n.c.	0 
Malattie del sistema circolatorio (390-459)	<5	<5	.	.	110 (19-361)	125 (41-378)	82 (54-114)			n.c.	0 
Malattie dell'apparato respiratorio (460-5199)	18	23	1	115.9	950 (612-1424)	78 (53-115)	84 (65-98)		↓	n.c.	2 
Asma (493)	0	2	.	.	0 (0-184)	0 (.-)	81 (38-160)	↓		n.c.	0 
Malattie dell'apparato digerente (520-579)	8	13	.	.	394 (195-734)	64 (36-113)	102 (83-124)			n.c.	0 
Nefrite, sindrome nefrosica, e nefrosi (580-589)	0	1	1	121.7	0 (0-184)	0 (.-)	68 (28-161)	↓		n.c.	2 
Malattie dell'apparato urinario (580-599)	<5	<5	1	115.3	158 (43-425)	68 (27-169)	91 (65-115)			n.c.	2 
Anomalie del sistema nervoso (740-742)	0	1	.	.	0 (0-184)	0 (.-)	93 (41-181)	↓		n.c.	0 
Malformazioni congenite (740-759)	<5	>5	.	.	197 (67-475)	42 (19-94)	87 (68-116)	↓		n.c.	0 
Anomalie cardiovascolari (745-747)	0	2	.	.	0 (0-184)	0 (.-)	75 (35-156)	↓		n.c.	0 
Anomalie dell'apparato genito-urinario (752-753)	<5	<5	1	130.9	49 (3-263)	29 (6-129)	101 (67-140)			n.c.	2 


















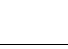










Esanatoglia			n. cluster sign.	SIR cluster	Tasso std. * 100000 (ic)	SIR (ic)	BIR (ic)	SIR sign.	BIR sign.	Trend	Livello attenzione
Causa (ICD-IX)	Osservati	Attesi									
Anomalie cromosomiche (758)	0	1	.	.	0 (0-184)	0 (.-)	81 (40-190)	↓		n.c.	0 

Tabella 62. Primi ricoveri ospedalieri per causa nel comune di Fabriano, 0-14 anni maschi e femmine – Anni 2006-2012, confronto Regione Marche.

Fabriano			n. cluster sign.	SIR cluster	Tasso std. * 100000 (ic)	SIR (ic)	BIR (ic)	SIR sign.	BIR sign.	Trend	Livello attenzione
Causa (ICD-IX)	Osservati	Attesi									
Tumori maligni (140-208)	9	9	.	.	32 (16-55)	101 (59-174)	103 (67-145)			n.c.	0 
Tumori maligni delle ossa e della cartilagine articolare (170)	<5	<5	.	.	7 (1-22)	506 (167-1529)	58 (28-174)	↑		n.c.	2 
Tumori maligni del connettivo e di altri tessuti molli (171)	<5	<5	.	.	4 (0-17)	182 (41-818)	77 (19-286)			n.c.	0 
Tumori maligni del rene e di altri e non specificati organi urinari (189)	0	1	.	.	0 (0-11)	0 (.-)	88 (36-154)	↓		n.c.	0 
Tumori maligni dell'encefalo (191)	0	2	.	.	0 (0-11)	0 (.-)	55 (31-97)	↓	↓	n.c.	0 
Tumori maligni del sistema nervoso centrale (191-192)	0	2	.	.	0 (0-11)	0 (.-)	55 (31-94)	↓	↓	n.c.	0 
Tumori maligni della ghiandola tiroidea (193)	0	0	.	.	0 (0-11)	0 (.-)	83 (29-195)	↓		n.c.	0 
Linfomi non Hodgkin (200, 202)	<5	<5	.	.	4 (0-17)	90 (20-402)	81 (45-127)			n.c.	0 
Tumori emolinfopoiетici (200-208)	<5	<5	.	.	7 (1-22)	53 (18-161)	81 (43-124)			n.c.	0 
Leucemie (204-208)	<5	<5	.	.	4 (0-17)	41 (9-185)	87 (39-191)			n.c.	0 
Malattie endocrine e della nutrizione (240-279)	180	207	.	.	623 (549-705)	87 (77-98)	87 (80-97)	↓	↓	→	0 
Diabete mellito (250)	7	10	.	.	24 (11-46)	68 (37-126)	101 (77-132)			↘	0 
Malattie neuro-psichiatriche (290-319)	53	63	.	.	185 (145-233)	84 (67-105)	81 (67-92)		↓	→	0 

Fabriano											
Causa (ICD-IX)	Osservati	Attesi	n. cluster sign.	SIR cluster	Tasso std. * 100000 (ic)	SIR (ic)	BIR (ic)	SIR sign.	BIR sign.	Trend	Livello attenzione
Psicosi con origine specifica dell'infanzia (299)	<5	>5	.	.	11 (3-27)	62 (25-156)	64 (38-96)		↓	n.c.	0 
Disturbi nervosi dell'infanzia (313-319)	35	43	.	.	122 (90-162)	82 (62-108)	85 (66-100)		↓	→	0 
Malattie ereditarie e degenerative e altri disturbi del sistema nervoso centrale (330-349)	87	61	1	120.1	302 (251-361)	142 (119-170)	129 (109-147)	↑	↑	↗	6 
Malattie cardiache (390-429)	24	19	1	135.5	83 (57-116)	129 (92-180)	117 (93-159)			→	2 
Malattie del sistema circolatorio (390-459)	44	35	1	132.8	153 (117-196)	127 (99-163)	119 (98-152)			→	2 
Malattie dell'apparato respiratorio (460-5199)	514	410	1	115.9	1779 (1652-1914)	125 (117-135)	123 (115-132)	↑	↑	→	5 
Asma (493)	32	30	.	.	112 (81-150)	107 (80-143)	100 (83-131)			↘	0 
Malattie dell'apparato digerente (520-579)	204	177	.	.	712 (632-799)	115 (103-129)	112 (102-119)	↑	↑	↘	4 
Nefrite, sindrome nefrosica, e nefrosi (580-589)	11	10	1	121.7	38 (22-64)	113 (69-185)	114 (74-166)			→	2 
Malattie dell'apparato urinario (580-599)	76	64	1	115.3	261 (214-316)	120 (99-145)	112 (96-134)			↘	2 
Anomalie del sistema nervoso (740-742)	15	9	.	.	51 (31-79)	175 (115-266)	128 (91-162)	↑		n.c.	2 
Malformazioni congenite (740-759)	161	147	.	.	559 (488-637)	109 (96-124)	106 (95-115)			→	0 
Anomalie cardiovascolari (745-747)	26	28	.	.	90 (63-125)	95 (69-130)	87 (70-108)			→	0 
Anomalie dell'apparato genito-urinario (752-753)	66	58	1	130.9	232 (187-285)	115 (94-140)	116 (97-128)			↘	2 















Fabriano											
Causa (ICD-IX)	Osservati	Attesi	n. cluster sign.	SIR cluster	Tasso std. * 100000 (ic)	SIR (ic)	BIR (ic)	SIR sign.	BIR sign.	Trend	Livello attenzione
Anomalie cromosomiche (758)	9	6	.	.	31 (16-54)	158 (92-272)	124 (83-188)			n.c.	0 

Tabella 63. Primi ricoveri ospedalieri per causa nel comune di Fiuminata, 0-14 anni maschi e femmine – Anni 2006-2012, confronto Regione Marche.

Fiuminata			n. cluster sign.	SIR cluster	Tasso std. * 100000 (ic)	SIR (ic)	BIR (ic)	SIR sign.	BIR sign.	Trend	Livello attenzione
Causa (ICD-IX)	Osservati	Attesi									
Malattie infettive (001-139)	<5	>5	.	.	282 (76-769)	64 (26-160)	82 (53-120)			n.c.	0
Tumori maligni (140-208)	0	0	.	.	0 (0-340)	0 (.-)	97 (46-167)	↓		n.c.	0
Tumori maligni delle ossa e della cartilagine articolare (170)	0	0	.	.	0 (0-340)	0 (.-)	55 (25-112)	↓		n.c.	0
Tumori maligni del connettivo e di altri tessuti molli (171)	0	0	.	.	0 (0-340)	0 (.-)	86 (14-414)	↓		n.c.	0
Tumori maligni del rene e di altri e non specificati organi urinari (189)	0	0	.	.	0 (0-340)	0 (.-)	75 (44-139)	↓		n.c.	0
Tumori maligni dell'encefalo (191)	0	0	.	.	0 (0-340)	0 (.-)	71 (39-145)	↓		n.c.	0
Tumori maligni del sistema nervoso centrale (191-192)	0	0	.	.	0 (0-340)	0 (.-)	70 (38-140)	↓		n.c.	0
Tumori maligni della ghiandola tiroidea (193)	0	0	.	.	0 (0-340)	0 (.-)	64 (16-180)	↓		n.c.	0
Linfomi non Hodgkin (200, 202)	0	0	.	.	0 (0-340)	0 (.-)	66 (34-134)	↓		n.c.	0
Tumori emolinfopoietici (200-208)	0	0	.	.	0 (0-340)	0 (.-)	71 (39-111)	↓		n.c.	0
Leucemie (204-208)	0	0	.	.	0 (0-340)	0 (.-)	73 (39-161)	↓		n.c.	0
Malattie endocrine e della nutrizione (240-279)	14	8	.	.	1155 (694-1859)	167 (108-258)	119 (78-170)	↑		n.c.	2
Diabete mellito (250)	0	0	.	.	0 (0-340)	0 (.-)	105 (76-144)	↓		n.c.	0

Fiuminata											
Causa (ICD-IX)	Osservati	Attesi	n. cluster sign.	SIR cluster	Tasso std. * 100000 (ic)	SIR (ic)	BIR (ic)	SIR sign.	BIR sign.	Trend	Livello attenzione
Malattie neuro-psichiatriche (290-319)	<5	<5	.	.	168 (29-598)	73 (24-219)	73 (41-101)			n.c.	0 
Psicosi con origine specifica dell'infanzia (299)	0	0	.	.	0 (0-340)	0 (.-)	67 (30-115)	↓		n.c.	0 
Disturbi nervosi dell'infanzia (313-319)	<5	<5	.	.	168 (29-598)	107 (36-325)	75 (47-102)			n.c.	0 
Malattie ereditarie e degenerative e altri disturbi del sistema nervoso centrale (330-349)	<5	<5	.	.	248 (66-708)	117 (47-292)	107 (89-137)			n.c.	0 
Malattie cardiache (390-429)	<5	<5	.	.	82 (4-467)	130 (29-583)	105 (71-139)			n.c.	0 
Malattie del sistema circolatorio (390-459)	<5	<5	.	.	82 (4-467)	68 (15-307)	109 (80-140)			n.c.	0 
Malattie dell'apparato respiratorio (460-5199)	17	17	1	115.9	1400 (887-2154)	102 (69-152)	93 (67-111)			n.c.	2 
Asma (493)	<5	<5	.	.	180 (32-620)	165 (55-499)	100 (49-137)			n.c.	0 
Malattie dell'apparato digerente (520-579)	8	8	.	.	609 (299-1170)	106 (60-188)	101 (88-115)			n.c.	0 
Nefrite, sindrome nefrosica, e nefrosi (580-589)	0	0	.	.	0 (0-340)	0 (.-)	103 (61-165)	↓		n.c.	0 
Malattie dell'apparato urinario (580-599)	<5	<5	1	115.3	99 (5-506)	39 (9-176)	94 (73-120)			n.c.	2 
Anomalie del sistema nervoso (740-742)	0	0	.	.	0 (0-340)	0 (.-)	99 (70-141)	↓		n.c.	0 
Malformazioni congenite (740-759)	5	6	.	.	426 (165-954)	82 (40-168)	97 (85-115)			n.c.	0 



























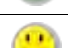


Fiuminata											
Causa (ICD-IX)	Osservati	Attesi	n. cluster sign.	SIR cluster	Tasso std. * 100000 (ic)	SIR (ic)	BIR (ic)	SIR sign.	BIR sign.	Trend	Livello attenzione
Anomalie cardiovascolari (745-747)	0	1	.	.	0 (0-340)	0 (.-.)	73 (44-132)	↓		n.c.	0 
Anomalie dell'apparato genito-urinario (752-753)	<5	<5	.	.	232 (63-676)	118 (47-294)	115 (87-135)			n.c.	0 
Anomalie cromosomiche (758)	0	0	.	.	0 (0-340)	0 (.-.)	103 (60-208)	↓		n.c.	0 

Tabella 64. Primi ricoveri ospedalieri per causa nel comune di Genga, 0-14 anni maschi e femmine – Anni 2006-2012, confronto Regione Marche.

Genga											
Causa (ICD-IX)	Osservati	Attesi	n. cluster sign.	SIR cluster	Tasso std. * 100000 (ic)	SIR (ic)	BIR (ic)	SIR sign.	BIR sign.	Trend	Livello attenzione
Malattie infettive (001-139)	12	7	.	.	726 (418-1194)	182 (114-292)	168 (113-238)	↑	↑	n.c.	4 
Tumori maligni (140-208)	0	1	.	.	0 (0-211)	0 (.-)	110 (55-179)	↓		n.c.	0 
Tumori maligni delle ossa e della cartilagine articolare (170)	0	0	.	.	0 (0-211)	0 (.-)	51 (24-140)	↓		n.c.	0 
Tumori maligni del connettivo e di altri tessuti molli (171)	0	0	.	.	0 (0-211)	0 (.-)	72 (10-247)	↓		n.c.	0 
Tumori maligni del rene e di altri e non specificati organi urinari (189)	0	0	.	.	0 (0-211)	0 (.-)	82 (44-140)	↓		n.c.	0 
Tumori maligni dell'encefalo (191)	0	0	.	.	0 (0-211)	0 (.-)	55 (34-112)	↓		n.c.	0 
Tumori maligni del sistema nervoso centrale (191-192)	0	0	.	.	0 (0-211)	0 (.-)	54 (34-109)	↓		n.c.	0 
Tumori maligni della ghiandola tiroidea (193)	0	0	.	.	0 (0-211)	0 (.-)	100 (37-234)	↓		n.c.	0 
Linfomi non Hodgkin (200, 202)	0	0	.	.	0 (0-211)	0 (.-)	84 (37-163)	↓		n.c.	0 
Tumori emolinfopoietici (200-208)	0	0	.	.	0 (0-211)	0 (.-)	88 (48-164)	↓		n.c.	0 
Leucemie (204-208)	0	0	.	.	0 (0-211)	0 (.-)	103 (44-229)	↓		n.c.	0 
Malattie endocrine e della nutrizione (240-279)	9	12	.	.	562 (292-995)	76 (44-131)	95 (64-124)			n.c.	0 
Diabete mellito (250)	<5	<5	.	.	61 (3-313)	169 (38-758)	101 (73-171)			n.c.	0 

Genga											
Causa (ICD-IX)	Osservati	Attesi	n. cluster sign.	SIR cluster	Tasso std. * 100000 (ic)	SIR (ic)	BIR (ic)	SIR sign.	BIR sign.	Trend	Livello attenzione
Malattie neuro-psichiatriche (290-319)	<5	<5	.	.	175 (48-477)	85 (34-213)	90 (56-148)			n.c.	0 
Psicosi con origine specifica dell'infanzia (299)	0	0	.	.	0 (0-211)	0 (.-.)	64 (23-127)	↓		n.c.	0 
Disturbi nervosi dell'infanzia (313-319)	<5	<5	.	.	113 (20-386)	84 (28-255)	94 (58-142)			n.c.	0 
Malattie ereditarie e degenerative e altri disturbi del sistema nervoso centrale (330-349)	8	4	1	120.1	481 (239-886)	231 (130-410)	142 (115-178)	↑	↑	n.c.	5 
Malattie cardiache (390-429)	<5	<5	1	135.5	111 (20-382)	191 (63-578)	117 (81-176)			n.c.	2 
Malattie del sistema circolatorio (390-459)	<5	<5	1	132.8	111 (20-382)	102 (34-308)	115 (84-155)			n.c.	2 
Malattie dell'apparato respiratorio (460-5199)	19	23	1	115.9	1177 (770-1740)	83 (57-121)	99 (76-131)			→	2 
Asma (493)	<5	<5	.	.	124 (22-410)	121 (40-365)	115 (68-180)			n.c.	0 
Malattie dell'apparato digerente (520-579)	14	10	.	.	862 (520-1364)	140 (91-217)	111 (94-129)			n.c.	0 
Nefrite, sindrome nefrosica, e nefrosi (580-589)	0	1	1	121.7	0 (0-211)	0 (.-.)	105 (56-218)	↓		n.c.	2 
Malattie dell'apparato urinario (580-599)	7	4	1	115.3	440 (206-841)	197 (107-364)	125 (86-159)	↑		n.c.	3 
Anomalie del sistema nervoso (740-742)	0	1	.	.	0 (0-211)	0 (.-.)	104 (59-172)	↓		n.c.	0 
Malformazioni congenite (740-759)	<5	>5	.	.	186 (51-497)	37 (15-92)	94 (80-116)	↓		n.c.	0 






























Genga											
Causa (ICD-IX)	Osservati	Attesi	n. cluster sign.	SIR cluster	Tasso std. * 100000 (ic)	SIR (ic)	BIR (ic)	SIR sign.	BIR sign.	Trend	Livello attenzione
Anomalie cardiovascolari (745-747)	0	2	.	.	0 (0-211)	0 (.-)	85 (44-119)	↓		n.c.	0 
Anomalie dell'apparato genito-urinario (752-753)	<5	<5	.	.	124 (22-410)	64 (21-192)	104 (88-139)			n.c.	0 
Anomalie cromosomiche (758)	0	0	.	.	0 (0-211)	0 (.-)	121 (49-247)	↓		n.c.	0 

Tabella 65. Primi ricoveri ospedalieri per causa nel comune di Matelica, 0-14 anni maschi e femmine – Anni 2006-2012, confronto Regione Marche.

Matelica			n. cluster sign.	SIR cluster	Tasso std. * 100000 (ic)	SIR (ic)	BIR (ic)	SIR sign.	BIR sign.	Trend	Livello attenzione
Causa (ICD-IX)	Osservati	Attesi									
Malattie infettive (001-139)	45	35	.	.	521 (400-669)	129 (101-164)	120 (93-153)	↑		↘	2 
Tumori maligni (140-208)	<5	<5	.	.	22 (4-73)	73 (24-221)	87 (57-143)			n.c.	0 
Tumori maligni delle ossa e della cartilagine articolare (170)	0	0	.	.	0 (0-38)	0 (.-.)	48 (25-108)	↓		n.c.	0 
Tumori maligni del connettivo e di altri tessuti molli (171)	0	0	.	.	0 (0-38)	0 (.-.)	70 (15-228)	↓		n.c.	0 
Tumori maligni del rene e di altri e non specificati organi urinari (189)	0	0	.	.	0 (0-38)	0 (.-.)	79 (47-143)	↓		n.c.	0 
Tumori maligni dell'encefalo (191)	0	1	.	.	0 (0-38)	0 (.-.)	67 (40-120)	↓		n.c.	0 
Tumori maligni del sistema nervoso centrale (191-192)	0	1	.	.	0 (0-38)	0 (.-.)	66 (39-114)	↓		n.c.	0 
Tumori maligni della ghiandola tiroidea (193)	0	0	.	.	0 (0-38)	0 (.-.)	69 (24-224)	↓		n.c.	0 
Linfomi non Hodgkin (200, 202)	0	0	.	.	0 (0-38)	0 (.-.)	75 (37-118)	↓		n.c.	0 
Tumori emolinfopoietici (200-208)	<5	<5	.	.	11 (1-57)	86 (19-386)	72 (32-123)			n.c.	0 
Leucemie (204-208)	<5	<5	.	.	11 (1-57)	134 (30-601)	85 (41-178)			n.c.	0 
Malattie endocrine e della nutrizione (240-279)	68	63	.	.	787 (637-965)	108 (89-132)	102 (85-125)			→	0 
Diabete mellito (250)	7	3	.	.	77 (36-148)	217 (118-401)	111 (84-151)	↑		→	2 

Matelica											
Causa (ICD-IX)	Osservati	Attesi	n. cluster sign.	SIR cluster	Tasso std. * 100000 (ic)	SIR (ic)	BIR (ic)	SIR sign.	BIR sign.	Trend	Livello attenzione
Malattie neuro-psichiatriche (290-319)	15	20	.	.	164 (101-255)	76 (50-117)	75 (58-100)			↗	1 
Psicosi con origine specifica dell'infanzia (299)	0	2	.	.	0 (0-38)	0 (.-.)	61 (34-109)	↓		n.c.	0 
Disturbi nervosi dell'infanzia (313-319)	10	13	.	.	110 (59-189)	76 (45-127)	75 (55-102)			n.c.	0 
Malattie ereditarie e degenerative e altri disturbi del sistema nervoso centrale (330-349)	20	19	.	.	228 (151-334)	106 (74-153)	107 (89-132)			→	0 
Malattie cardiache (390-429)	8	6	1	135.5	93 (46-170)	141 (79-250)	110 (84-141)			n.c.	2 
Malattie del sistema circolatorio (390-459)	16	11	1	132.8	179 (112-275)	148 (98-223)	115 (88-147)			n.c.	2 
Malattie dell'apparato respiratorio (460-5199)	161	123	1	115.9	1867 (1632-2129)	131 (115-149)	119 (106-136)	↑	↑	↘	4 
Asma (493)	5	9	.	.	57 (22-122)	56 (27-115)	76 (46-103)			n.c.	0 
Malattie dell'apparato digerente (520-579)	56	55	.	.	635 (502-795)	102 (82-127)	104 (89-112)			↘	0 
Nefrite, sindrome nefrosica, e nefrosi (580-589)	<5	<5	1	121.7	47 (16-108)	134 (60-298)	119 (68-215)			n.c.	2 
Malattie dell'apparato urinario (580-599)	20	19	1	115.3	233 (155-340)	105 (73-152)	102 (85-124)			→	2 
Anomalie del sistema nervoso (740-742)	<5	<5	.	.	23 (4-74)	78 (26-237)	105 (76-147)			n.c.	0 
Malformazioni congenite (740-759)	59	45	.	.	669 (532-832)	132 (106-163)	110 (96-128)	↑		↘	2 



























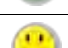


Matelica											
Causa (ICD-IX)	Osservati	Attesi	n. cluster sign.	SIR cluster	Tasso std. * 100000 (ic)	SIR (ic)	BIR (ic)	SIR sign.	BIR sign.	Trend	Livello attenzione
Anomalie cardiovascolari (745-747)	7	8	.	.	82 (39-156)	87 (47-160)	87 (57-117)			n.c.	0 
Anomalie dell'apparato genito-urinario (752-753)	32	18	1	130.9	363 (264-490)	180 (134-240)	129 (102-147)	↑	↑	→	5 
Anomalie cromosomiche (758)	0	2	.	.	0 (0-38)	0 (.-.)	100 (54-162)	↓		n.c.	0 

Tabella 66. Primi ricoveri ospedalieri per causa nel comune di Poggio San Vicino, 0-14 anni maschi e femmine – Anni 2006-2012, confronto Regione Marche.

Poggio San Vicino											
Causa (ICD-IX)	Osservati	Attesi	n. cluster sign.	SIR cluster	Tasso std. * 100000 (ic)	SIR (ic)	BIR (ic)	SIR sign.	BIR sign.	Trend	Livello attenzione
Malattie infettive (001-139)	0	1	.	.	0 (0-1969)	0 (.-.)	100 (65-159)	↓		n.c.	0 
Tumori maligni (140-208)	0	0	.	.	0 (0-1969)	0 (.-.)	84 (48-156)	↓		n.c.	0 
Tumori maligni delle ossa e della cartilagine articolare (170)	0	0	.	.	0 (0-1969)	0 (.-.)	51 (12-131)	↓		n.c.	0 
Tumori maligni del connettivo e di altri tessuti molli (171)	0	0	.	.	0 (0-1969)	0 (.-.)	81 (19-390)	↓		n.c.	0 
Tumori maligni del rene e di altri e non specificati organi urinari (189)	0	0	.	.	0 (0-1969)	0 (.-.)	82 (38-148)	↓		n.c.	0 
Tumori maligni dell'encefalo (191)	0	0	.	.	0 (0-1969)	0 (.-.)	61 (34-137)	↓		n.c.	0 
Tumori maligni del sistema nervoso centrale (191-192)	0	0	.	.	0 (0-1969)	0 (.-.)	60 (34-132)	↓		n.c.	0 
Tumori maligni della ghiandola tiroidea (193)	0	0	.	.	0 (0-1969)	0 (.-.)	84 (25-209)	↓		n.c.	0 
Linfomi non Hodgkin (200, 202)	0	0	.	.	0 (0-1969)	0 (.-.)	90 (44-149)	↓		n.c.	0 
Tumori emolinfopoietici (200-208)	0	0	.	.	0 (0-1969)	0 (.-.)	72 (30-117)	↓		n.c.	0 
Leucemie (204-208)	0	0	.	.	0 (0-1969)	0 (.-.)	88 (45-176)	↓		n.c.	0 
Malattie endocrine e della nutrizione (240-279)	<5	<5	.	.	669 (97-2923)	95 (31-287)	94 (70-133)			n.c.	0 
Diabete mellito (250)	0	0	.	.	0 (0-1969)	0 (.-.)	113 (76-175)	↓		n.c.	0 

Poggio San Vicino											
Causa (ICD-IX)	Osservati	Attesi	n. cluster sign.	SIR cluster	Tasso std. * 100000 (ic)	SIR (ic)	BIR (ic)	SIR sign.	BIR sign.	Trend	Livello attenzione
Malattie neuro-psichiatriche (290-319)	0	1	.	.	0 (0-1969)	0 (.-.)	77 (45-114)	↓		n.c.	0 
Psicosi con origine specifica dell'infanzia (299)	0	0	.	.	0 (0-1969)	0 (.-.)	64 (42-133)	↓		n.c.	0 
Disturbi nervosi dell'infanzia (313-319)	0	1	.	.	0 (0-1969)	0 (.-.)	80 (49-120)	↓		n.c.	0 
Malattie ereditarie e degenerative e altri disturbi del sistema nervoso centrale (330-349)	0	1	1	120.1	0 (0-1969)	0 (.-.)	116 (80-153)	↓		n.c.	2 
Malattie cardiache (390-429)	0	0	1	135.5	0 (0-1969)	0 (.-.)	111 (81-146)	↓		n.c.	2 
Malattie del sistema circolatorio (390-459)	0	0	1	132.8	0 (0-1969)	0 (.-.)	120 (76-169)	↓		n.c.	2 
Malattie dell'apparato respiratorio (460-5199)	0	5	1	115.9	0 (0-1969)	0 (.-.)	103 (80-128)	↓		n.c.	2 
Asma (493)	0	0	.	.	0 (0-1969)	0 (.-.)	92 (52-158)	↓		n.c.	0 
Malattie dell'apparato digerente (520-579)	<5	<5	.	.	397 (71-2436)	110 (36-333)	106 (93-127)			n.c.	0 
Nefrite, sindrome nefrosica, e nefrosi (580-589)	0	0	1	121.7	0 (0-1969)	0 (.-.)	126 (84-181)	↓		n.c.	2 
Malattie dell'apparato urinario (580-599)	0	1	1	115.3	0 (0-1969)	0 (.-.)	109 (75-137)	↓		n.c.	2 
Anomalie del sistema nervoso (740-742)	0	0	.	.	0 (0-1969)	0 (.-.)	111 (70-163)	↓		n.c.	0 
Malformazioni congenite (740-759)	<5	<5	.	.	438 (22-2631)	56 (12-249)	107 (87-132)			n.c.	0 































Poggio San Vicino											
Causa (ICD-IX)	Osservati	Attesi	n. cluster sign.	SIR cluster	Tasso std. * 100000 (ic)	SIR (ic)	BIR (ic)	SIR sign.	BIR sign.	Trend	Livello attenzione
Anomalie cardiovascolari (745-747)	0	0	1	179.2	0 (0-1969)	0 (.-.)	96 (62-161)	↓		n.c.	2 
Anomalie dell'apparato genito-urinario (752-753)	<5	<5	1	130.9	438 (22-2631)	130 (29-581)	115 (89-156)			n.c.	2 
Anomalie cromosomiche (758)	0	0	.	.	0 (0-1969)	0 (.-.)	112 (55-209)	↓		n.c.	0 

Tabella 67. Primi ricoveri ospedalieri per causa nel comune di Sassoferrato, 0-14 anni maschi e femmine – Anni 2006-2012, confronto Regione Marche.

Sassoferrato											
Causa (ICD-IX)	Osservati	Attesi	n. cluster sign.	SIR cluster	Tasso std. * 100000 (ic)	SIR (ic)	BIR (ic)	SIR sign.	BIR sign.	Trend	Livello attenzione
Tumori maligni (140-208)	5	2	.	.	73 (29-157)	230 (112-472)	131 (66-203)	↑		n.c.	2 
Tumori maligni delle ossa e della cartilagine articolare (170)	0	0	.	.	0 (0-49)	0 (.-)	51 (17-113)	↓		n.c.	0 
Tumori maligni del connettivo e di altri tessuti molli (171)	0	0	.	.	0 (0-49)	0 (.-)	80 (15-245)	↓		n.c.	0 
Tumori maligni del rene e di altri e non specificati organi urinari (189)	<5	<5	.	.	14 (1-72)	798 (178-3577)	103 (58-234)	↑		n.c.	2 
Tumori maligni dell'encefalo (191)	0	0	.	.	0 (0-49)	0 (.-)	56 (30-122)	↓		n.c.	0 
Tumori maligni del sistema nervoso centrale (191-192)	0	0	.	.	0 (0-49)	0 (.-)	56 (30-120)	↓		n.c.	0 
Tumori maligni della ghiandola tiroidea (193)	0	0	.	.	0 (0-49)	0 (.-)	119 (31-303)	↓		n.c.	0 
Linfomi non Hodgkin (200, 202)	0	0	.	.	0 (0-49)	0 (.-)	96 (55-214)	↓		n.c.	0 
Tumori emolinfopoiетici (200-208)	<5	<5	.	.	30 (5-98)	219 (72-660)	100 (55-166)			n.c.	0 
Leucemie (204-208)	<5	<5	.	.	30 (5-98)	335 (111-1013)	138 (61-246)	↑		n.c.	2 
Malattie endocrine e della nutrizione (240-279)	31	51	.	.	445 (322-603)	61 (46-82)	76 (59-97)	↓	↓	→	0 
Diabete mellito (250)	0	2	.	.	0 (0-49)	0 (.-)	94 (70-115)	↓		n.c.	0 
Malattie neuro-psichiatriche (290-319)	16	15	.	.	226 (141-346)	104 (69-156)	97 (72-135)			n.c.	0 

Sassoferrato											
Causa (ICD-IX)	Osservati	Attesi	n. cluster sign.	SIR cluster	Tasso std. * 100000 (ic)	SIR (ic)	BIR (ic)	SIR sign.	BIR sign.	Trend	Livello attenzione
Psicosi con origine specifica dell'infanzia (299)	<5	<5	.	.	14 (1-72)	84 (19-378)	59 (26-102)			n.c.	0 
Disturbi nervosi dell'infanzia (313-319)	15	11	.	.	210 (130-327)	142 (93-216)	113 (85-154)			n.c.	0 
Malattie ereditarie e degenerative e altri disturbi del sistema nervoso centrale (330-349)	26	15	1	120.1	367 (257-513)	175 (127-241)	129 (112-162)	↑	↑	→	5 
Malattie cardiache (390-429)	6	5	1	135.5	85 (37-172)	132 (68-255)	112 (84-154)			n.c.	2 
Malattie del sistema circolatorio (390-459)	11	8	1	132.8	155 (87-261)	131 (80-214)	112 (84-141)			n.c.	2 
Malattie dell'apparato respiratorio (460-5199)	114	102	1	115.9	1579 (1343-1849)	111 (95-130)	112 (94-125)			↘	2 
Asma (493)	8	8	.	.	111 (55-204)	106 (60-188)	109 (72-147)			n.c.	0 
Malattie dell'apparato digerente (520-579)	45	43	.	.	637 (489-820)	105 (82-134)	103 (94-116)			→	0 
Nefrite, sindrome nefrosica, e nefrosi (580-589)	<5	<5	1	121.7	29 (5-95)	84 (28-254)	104 (60-177)			n.c.	2 
Malattie dell'apparato urinario (580-599)	18	16	1	115.3	246 (159-369)	114 (77-167)	112 (84-136)			n.c.	2 
Anomalie del sistema nervoso (740-742)	<5	<5	.	.	14 (1-73)	46 (10-208)	96 (64-167)			n.c.	0 
Malformazioni congenite (740-759)	33	37	.	.	464 (340-624)	90 (68-120)	95 (81-113)			→	0 
Anomalie cardiovascolari (745-747)	<5	>5	.	.	14 (1-73)	14 (3-65)	64 (46-87)	↓	↓	n.c.	0 
Anomalie dell'apparato genito-urinario (752-753)	13	14	.	.	179 (106-289)	91 (58-142)	106 (83-129)			n.c.	0 
























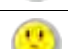



Sassoferrato											
Causa (ICD-IX)	Osservati	Attesi	n. cluster sign.	SIR cluster	Tasso std. * 100000 (ic)	SIR (ic)	BIR (ic)	SIR sign.	BIR sign.	Trend	Livello attenzione
Anomalie cromosomiche (758)	5	1	.	.	76 (30-162)	356 (173-731)	149 (72-326)	↑		n.c.	2 

Tabella 68. Primi ricoveri ospedalieri per causa nel comune di Serra San Quirico, 0-14 anni maschi e femmine – Anni 2006-2012, confronto Regione Marche.

Serra San Quirico											
Causa (ICD-IX)	Osservati	Attesi	n. cluster sign.	SIR cluster	Tasso std. * 100000 (ic)	SIR (ic)	BIR (ic)	SIR sign.	BIR sign.	Trend	Livello attenzione
Malattie infettive (001-139)	13	11	.	.	485 (286-780)	120 (76-189)	111 (79-146)			n.c.	0 
Tumori maligni (140-208)	<5	<5	.	.	119 (33-313)	372 (149-930)	111 (73-147)	↑		n.c.	2 
Tumori maligni delle ossa e della cartilagine articolare (170)	0	0	.	.	0 (0-126)	0 (.-.)	51 (20-131)	↓		n.c.	0 
Tumori maligni del connettivo e di altri tessuti molli (171)	0	0	.	.	0 (0-126)	0 (.-.)	62 (19-251)	↓		n.c.	0 
Tumori maligni del rene e di altri e non specificati organi urinari (189)	0	0	.	.	0 (0-126)	0 (.-.)	87 (45-176)	↓		n.c.	0 
Tumori maligni dell'encefalo (191)	0	0	.	.	0 (0-126)	0 (.-.)	59 (33-108)	↓		n.c.	0 
Tumori maligni del sistema nervoso centrale (191-192)	0	0	.	.	0 (0-126)	0 (.-.)	58 (33-103)	↓		n.c.	0 
Tumori maligni della ghiandola tiroidea (193)	0	0	.	.	0 (0-126)	0 (.-.)	99 (37-190)	↓		n.c.	0 
Linfomi non Hodgkin (200, 202)	0	0	.	.	0 (0-126)	0 (.-.)	89 (53-139)	↓		n.c.	0 
Tumori emolinfopoietici (200-208)	0	0	.	.	0 (0-126)	0 (.-.)	80 (48-160)	↓		n.c.	0 
Leucemie (204-208)	0	0	.	.	0 (0-126)	0 (.-.)	99 (53-174)	↓		n.c.	0 
Malattie endocrine e della nutrizione (240-279)	25	19	2	122.3	978 (680-1371)	133 (96-185)	121 (99-154)			→	1 
Diabete mellito (250)	<5	<5	.	.	39 (2-192)	108 (24-486)	113 (88-159)			n.c.	0 

Serra San Quirico											
Causa (ICD-IX)	Osservati	Attesi	n. cluster sign.	SIR cluster	Tasso std. * 100000 (ic)	SIR (ic)	BIR (ic)	SIR sign.	BIR sign.	Trend	Livello attenzione
Malattie neuro-psichiatriche (290-319)	5	6	.	.	192 (75-411)	89 (43-183)	87 (58-121)			n.c.	0 
Psicosi con origine specifica dell'infanzia (299)	0	0	.	.	0 (0-126)	0 (.-.)	72 (35-100)	↓		n.c.	0 
Disturbi nervosi dell'infanzia (313-319)	<5	<5	.	.	155 (53-362)	105 (47-235)	77 (54-114)			n.c.	0 
Malattie ereditarie e degenerative e altri disturbi del sistema nervoso centrale (330-349)	6	6	1	120.1	237 (103-472)	109 (56-211)	122 (100-145)		↑	n.c.	4 
Malattie cardiache (390-429)	0	2	1	135.5	0 (0-126)	0 (.-.)	108 (77-147)	↓		n.c.	2 
Malattie del sistema circolatorio (390-459)	<5	<5	1	132.8	73 (13-243)	63 (21-192)	120 (95-147)			n.c.	2 
Malattie dell'apparato respiratorio (460-5199)	41	37	1	115.9	1590 (1203-2069)	111 (86-143)	106 (87-132)			↘	2 
Asma (493)	5	3	.	.	194 (76-415)	184 (90-378)	136 (86-208)			n.c.	0 
Malattie dell'apparato digerente (520-579)	28	16	1	177.3	1090 (774-1499)	176 (129-239)	116 (96-135)	↑		→	3 
Nefrite, sindrome nefrosica, e nefrosi (580-589)	0	1	1	121.7	0 (0-126)	0 (.-.)	117 (65-195)	↓		n.c.	2 
Malattie dell'apparato urinario (580-599)	<5	>5	1	115.3	145 (49-343)	69 (31-153)	109 (78-137)			n.c.	2 
Anomalie del sistema nervoso (740-742)	0	1	.	.	0 (0-126)	0 (.-.)	100 (63-154)	↓		n.c.	0 
Malformazioni congenite (740-759)	8	13	.	.	309 (153-564)	60 (34-106)	104 (89-124)			n.c.	0 




Serra San Quirico											
Causa (ICD-IX)	Osservati	Attesi	n. cluster sign.	SIR cluster	Tasso std. * 100000 (ic)	SIR (ic)	BIR (ic)	SIR sign.	BIR sign.	Trend	Livello attenzione
Anomalie cardiovascolari (745-747)	<5	<5	1	179.2	112 (30-301)	116 (46-291)	96 (67-161)			n.c.	2 
Anomalie dell'apparato genito-urinario (752-753)	<5	>5	1	130.9	165 (56-380)	79 (35-176)	106 (85-128)			n.c.	2 
Anomalie cromosomiche (758)	0	1	.	.	0 (0-126)	0 (.-.)	110 (60-189)	↓		n.c.	0 

Tabella 69. Ricoveri ospedalieri per causa nel comune di Cerreto d'Esì, 0-14 anni maschi e femmine - Anni 2006-2012, confronto Regione Marche – tutti gli eventi.








Cerreto d'Esì			n. cluster sign.	SIR cluster	Tasso std. * 100000 (ic)	SIR (ic)	BIR (ic)	SIR sign.	BIR sign.	Trend	Livello attenzione
Causa (ICD-IX)	Osservati	Attesi									
Tutte le cause (000-999)	522	472	1	115.8	11176 (9902-12615)	111 (98-125)	110 (102-120)		↑	↘	4 
Malattie infettive (001-139)	35	22	.	.	743 (486-1135)	163 (109-243)	156 (109-212)	↑	↑	↘	4 
Infezioni acute delle vie respiratorie, polmonite e influenza (460-466, 480-487)	68	34	1	142.9	1437 (1117-1849)	199 (156-255)	187 (145-241)	↑	↑	→	5 
Asma (493)	<5	>5	.	.	65 (5-790)	55 (18-170)	72 (33-141)			n.c.	0 
Accidenti da trasporto (800-848)	10	11	.	.	226 (111-463)	89 (48-166)	95 (71-131)			n.c.	0 
Traumatismi e avvelenamenti (800-999)	24	32	.	.	531 (329-855)	74 (47-116)	82 (62-106)			n.c.	0 
Avvelenamenti accidentali (850-869)	<5	>5	.	.	47 (0-15486234)	28 (4-200)	44 (23-77)		↓	n.c.	0 

Tabella 70 Ricoveri ospedalieri per causa nel comune di Esanatoglia, 0-14 anni maschi e femmine – Anni 2006-2012, confronto Regione Marche – tutti gli eventi.








Esanatoglia			n. cluster sign.	SIR cluster	Tasso std. * 100000 (ic)	SIR (ic)	BIR (ic)	SIR sign.	BIR sign.	Trend	Livello attenzione
Causa (ICD-IX)	Osservati	Attesi									
Tutte le cause (000-999)	154	187	1	115.8	7859 (6286-9825)	82 (66-103)	81 (71-93)		↓	↘	2 
Malattie infettive (001-139)	8	7	.	.	417 (168-1034)	109 (50-236)	96 (48-155)			n.c.	0 
Infezioni acute delle vie respiratorie, polmonite e influenza (460-466, 480-487)	7	12	.	.	382 (151-968)	60 (28-125)	72 (42-116)			n.c.	0 
Asma (493)	0	2	.	.	0 (.-.)	0 (0-177)	62 (25-143)			n.c.	0 
Accidenti da trasporto (800-848)	<5	>5	.	.	203 (41-1002)	72 (27-192)	110 (72-159)			n.c.	0 
Traumatismi e avvelenamenti (800-999)	9	14	.	.	473 (219-1022)	67 (35-128)	83 (59-118)			n.c.	0 
Avvelenamenti accidentali (850-869)	<5	<5	.	.	154 (13-1851)	120 (39-371)	61 (30-128)			n.c.	0 

Tabella 71. Ricoveri ospedalieri per causa nel comune di Fabriano, 0-14 anni maschi e femmine – Anni 2006-2012, confronto Regione Marche – tutti gli eventi.








Fabriano			n. cluster sign.	SIR cluster	Tasso std. * 100000 (ic)	SIR (ic)	BIR (ic)	SIR sign.	BIR sign.	Trend	Livello attenzione
Causa (ICD-IX)	Osservati	Attesi									
Tutte le cause (000-999)	3337	2905	1	115.8	11562 (10957-12202)	115 (109-121)	115 (111-119)	↑	↑	↘	4 
Malattie infettive (001-139)	190	131	.	.	655 (564-762)	145 (125-168)	143 (123-169)	↑	↑	↘	4 
Infezioni acute delle vie respiratorie, polmonite e influenza (460-466, 480-487)	300	207	1	142.9	1032 (914-1164)	145 (129-164)	144 (129-161)	↑	↑	→	5 
Asma (493)	34	33	.	.	119 (82-172)	103 (72-147)	99 (72-131)			↘	0 
Accidenti da trasporto (800-848)	62	71	.	.	217 (167-282)	87 (67-112)	94 (78-111)			↘	0 
Traumatismi e avvelenamenti (800-999)	167	203	.	.	583 (493-691)	82 (70-98)	84 (74-96)	↓	↓	↘	0 
Avvelenamenti accidentali (850-869)	20	44	.	.	70 (43-115)	45 (29-72)	48 (34-65)	↓	↓	n.c.	0 

Tabella 72. Ricoveri ospedalieri per causa nel comune di Fiuminata, 0-14 anni maschi e femmine – Anni 2006-2012, confronto Regione Marche – tutti gli eventi.








Fiuminata											
Causa (ICD-IX)	Osservati	Attesi	n. cluster sign.	SIR cluster	Tasso std. * 100000 (ic)	SIR (ic)	BIR (ic)	SIR sign.	BIR sign.	Trend	Livello attenzione
Tutte le cause (000-999)	108	119	.	.	9070 (6970-11802)	90 (70-118)	92 (81-108)			↘	0 
Malattie infettive (001-139)	<5	>5	.	.	282 (23-3414)	57 (19-178)	78 (44-132)			n.c.	0 
Infezioni acute delle vie respiratorie, polmonite e influenza (460-466, 480-487)	8	8	.	.	674 (244-1860)	99 (42-230)	90 (59-136)			n.c.	0 
Asma (493)	<5	<5	.	.	180 (0-1506916)	149 (37-597)	77 (40-158)			n.c.	0 
Accidenti da trasporto (800-848)	<5	<5	.	.	326 (66-1626)	127 (48-337)	112 (87-147)			n.c.	0 
Traumatismi e avvelenamenti (800-999)	9	9	.	.	737 (316-1720)	105 (51-215)	102 (74-129)			n.c.	0 
Avvelenamenti accidentali (850-869)	<5	<5	.	.	251 (20-3099)	167 (54-517)	67 (39-108)			n.c.	0 

Tabella 73. Ricoveri ospedalieri per causa nel comune di Genga, 0-14 anni maschi e femmine – Anni 2006-2012, confronto Regione Marche – tutti gli eventi.








Genga			n. cluster sign.	SIR cluster	Tasso std. * 100000 (ic)	SIR (ic)	BIR (ic)	SIR sign.	BIR sign.	Trend	Livello attenzione
Causa (ICD-IX)	Osservati	Attesi									
Tutte le cause (000-999)	182	163	1	115.8	11192 (8922-14039)	112 (89-139)	112 (100-126)			→	2 
Malattie infettive (001-139)	14	7	.	.	845 (440-1620)	191 (106-346)	172 (103-270)	↑	↑	n.c.	4 
Infezioni acute delle vie respiratorie, polmonite e influenza (460-466, 480-487)	15	11	1	142.9	941 (523-1690)	131 (77-224)	131 (87-193)			n.c.	2 
Asma (493)	<5	<5	.	.	124 (0-973404)	110 (28-438)	117 (54-233)			n.c.	0 
Accidenti da trasporto (800-848)	<5	<5	.	.	234 (48-1150)	98 (37-261)	97 (71-131)			n.c.	0 
Traumatismi e avvelenamenti (800-999)	11	11	.	.	651 (334-1272)	96 (54-173)	90 (68-123)			n.c.	0 
Avvelenamenti accidentali (850-869)	<5	<5	.	.	130 (0-1053044)	81 (20-325)	52 (26-97)		↓	n.c.	0 

Tabella 74. Ricoveri ospedalieri per causa nel comune di Matelica, 0-14 anni maschi e femmine – Anni 2006-2012, confronto Regione Marche – tutti gli eventi.

Matelica			n. cluster sign.	SIR cluster	Tasso std. * 100000 (ic)	SIR (ic)	BIR (ic)	SIR sign.	BIR sign.	Trend	Livello attenzione
Causa (ICD-IX)	Osservati	Attesi									
Tutte le cause (000-999)	1003	881	1	115.8	11458 (10295-12752)	114 (102-127)	113 (107-120)	↑	↑	↘	4
Malattie infettive (001-139)	48	39	.	.	555 (406-758)	123 (91-167)	115 (90-153)			→	0
Infezioni acute delle vie respiratorie, polmonite e influenza (460-466, 480-487)	76	61	.	.	883 (671-1160)	125 (96-164)	119 (95-145)			→	0
Asma (493)	5	10	.	.	57 (16-197)	51 (21-122)	66 (40-106)			n.c.	0
Accidenti da trasporto (800-848)	22	23	.	.	246 (155-391)	96 (62-149)	101 (81-127)			n.c.	0
Traumatismi e avvelenamenti (800-999)	51	63	.	.	575 (430-770)	81 (61-108)	87 (73-104)			↘	0
Avvelenamenti accidentali (850-869)	5	13	.	.	55 (16-192)	38 (16-90)	52 (33-76)	↓	↓	n.c.	0

Tabella 75. Ricoveri ospedalieri per causa nel comune di Poggio San Vicino, 0-14 anni maschi e femmine – Anni 2006-2012, confronto Regione Marche – tutti gli eventi.








Poggio San Vicino											
Causa (ICD-IX)	Osservati	Attesi	n. cluster sign.	SIR cluster	Tasso std. * 100000 (ic)	SIR (ic)	BIR (ic)	SIR sign.	BIR sign.	Trend	Livello attenzione
Tutte le cause (000-999)	17	32	1	115.8	6250 (3414-11442)	54 (32-90)	90 (74-111)	↓		n.c.	2 
Malattie infettive (001-139)	0	2	.	.	0 (.-)	0 (0-200)	90 (43-180)			n.c.	0 
Infezioni acute delle vie respiratorie, polmonite e influenza (460-466, 480-487)	0	3	1	142.9	0 (.-)	0 (0-120)	100 (60-167)			n.c.	2 
Asma (493)	0	0	.	.	0 (.-)	0 (0-756)	90 (44-177)			n.c.	0 
Accidenti da trasporto (800-848)	<5	<5	.	.	657 (.-)	167 (24-1184)	98 (72-137)			n.c.	0 
Traumatismi e avvelenamenti (800-999)	<5	<5	.	.	1868 (233-15009)	203 (61-675)	90 (66-125)			n.c.	0 
Avvelenamenti accidentali (850-869)	<5	<5	.	.	506 (.-)	217 (31-1541)	51 (27-101)			n.c.	0 

Tabella 76. Ricoveri ospedalieri per causa nel comune di Sassoferrato, 0-14 anni maschi e femmine – Anni 2006-2012, confronto Regione Marche – tutti gli eventi.











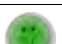



Sassoferrato			n. cluster sign.	SIR cluster	Tasso std. * 100000 (ic)	SIR (ic)	BIR (ic)	SIR sign.	BIR sign.	Trend	Livello attenzione
Causa (ICD-IX)	Osservati	Attesi									
Tutte le cause (000-999)	782	718	1	115.8	11084 (9669-12706)	109 (95-125)	109 (102-116)		↑	↘	4 
Malattie infettive (001-139)	36	33	.	.	500 (357-701)	109 (79-151)	114 (86-155)			↘	0 
Infezioni acute delle vie respiratorie, polmonite e influenza (460-466, 480-487)	79	52	1	142.9	1077 (839-1383)	151 (118-193)	146 (120-182)	↑	↑	→	5 
Asma (493)	12	8	.	.	167 (59-476)	144 (57-363)	127 (78-193)			n.c.	0 
Accidenti da trasporto (800-848)	24	17	.	.	353 (224-557)	141 (92-218)	105 (83-135)			n.c.	0 
Traumatismi e avvelenamenti (800-999)	61	49	.	.	889 (626-1263)	124 (88-173)	105 (86-131)			→	0 
Avvelenamenti accidentali (850-869)	<5	>5	.	.	58 (12-283)	37 (14-98)	44 (25-74)	↓	↓	n.c.	0 

Tabella 77. Ricoveri ospedalieri per causa nel comune di Serra San Quirico, 0-14 anni maschi e femmine – Anni 2006-2012, confronto Regione Marche – tutti gli eventi.

Serra San Quirico			n. cluster sign.	SIR cluster	Tasso std. * 100000 (ic)	SIR (ic)	BIR (ic)	SIR sign.	BIR sign.	Trend	Livello attenzione
Causa (ICD-IX)	Osservati	Attesi									
Tutte le cause (000-999)	304	265	1	115.8	11735 (9608-14331)	115 (95-140)	116 (104-128)		↑	→	4 
Malattie infettive (001-139)	13	12	.	.	485 (265-889)	108 (63-186)	109 (69-163)			n.c.	0 
Infezioni acute delle vie respiratorie, polmonite e influenza (460-466, 480-487)	24	19	1	142.9	928 (599-1437)	126 (84-191)	123 (87-165)			↘	2 
Asma (493)	6	3	.	.	229 (80-656)	201 (90-447)	136 (70-231)			n.c.	0 
Accidenti da trasporto (800-848)	7	6	.	.	282 (112-710)	109 (52-229)	95 (76-122)			n.c.	0 
Traumatismi e avvelenamenti (800-999)	20	18	.	.	776 (486-1238)	109 (71-169)	91 (71-114)			→	0 
Avvelenamenti accidentali (850-869)	<5	<5	.	.	121 (10-1455)	75 (24-231)	53 (31-89)		↓	n.c.	0 

BREVE GLOSSARIO

Termine	Definizione
Cancerogenicità	Capacità di una sostanza di provocare il cancro.
Caso incidente	Il nuovo caso di malattia che compare nel periodo in studio; è definito come il primo evento registrato nel periodo, dello stesso individuo per la stessa causa, considerando o meno un periodo temporale precedente il periodo in studio per l'esclusione degli eventi.
Causalità	Definisce il vincolo concettuale tra fenomeni che seguono uno all'altro in quanto uno è evidente causa dell'altro.
Cluster spaziale	Una aggregazione anomala di eventi (sanitari, economici, etc.) limitata geograficamente.
Follow-up (studio di)	Studio analitico in cui l'arruolamento è basato sullo stato di esposizione a un certo fattore o all'appartenenza a un certo gruppo. Gli individui arruolati vengono quindi seguiti nel tempo per verificare e confrontare l'occorrenza di malattie, morte o altri esiti relativi alla salute (anche studio di coorte).
ICD-IX-CM codifica	La classificazione ICD9-CM (International Classification of Diseases, 9th revision – Clinical Modification) descrive in codici alfa-numeriche termini medici in cui sono espressi le diagnosi di malattia o di traumatismo, gli altri problemi di salute, le cause di traumatismo, le procedure diagnostiche e terapeutiche e gli interventi chirurgici. Tale classificazione è utilizzata per la codifica delle diagnosi e delle procedure/interventi riportate nella Scheda di Dimissione Ospedaliera (SDO). A partire dal primo gennaio 2009, per la codifica delle diagnosi, principale e secondarie, e degli interventi/procedure, principali e secondari, viene adottata per tutto il territorio nazionale la versione 2007 della classificazione ICD9-CM.
Incidenza	Numero di nuovi casi di una malattia o condizione che si sviluppa in una popolazione durante un determinato intervallo di tempo. Può essere definita in due modi: tasso di incidenza, corrisponde al quoziente ottenuto ponendo al numeratore il numero di nuovi casi verificati in una popolazione e come denominatore il tempo-persona a rischio durante lo studio; rischio (tasso di incidenza cumulativa), corrisponde al quoziente ottenuto ponendo al numeratore il numero di nuovi casi verificati in una popolazione e come denominatore il numero di persone a rischio all'inizio dello studio, il tutto moltiplicato per una costante pari a cento o multiplo di cento.
Indice di deprivazione	L'indicatore sintetico di deprivazione rappresenta una misura importante nell'ambito dell'analisi dell'esclusione sociale. A partire da una pluralità di indicatori semplici, riferiti a diverse dimensioni del disagio economico, l'indicatore sintetico fornisce un'utile indicazione sulla diffusione di alcune difficoltà del vivere quotidiano e rappresenta un complemento all'analisi condotta in termini di povertà monetaria. Come altre dimensioni del disagio, anche la deprivazione mostra una forte associazione con il territorio, la struttura familiare, il livello di istruzione e la partecipazione al mercato del lavoro.
Intervallo di confidenza	L'intervallo di confidenza fornisce informazioni riguardo alla precisione dei valori ottenuti attraverso lo studio di un campione, in modo tale che si può confidare - con un margine di certezza ragionevole - che un dato intervallo contenga il valore vero ricercato. L'intervallo di confidenza rappresenta un parametro di fondamentale importanza soprattutto negli studi epidemiologici in cui la variabilità del campione (molto spesso dovuta al fatto che il campione è piccolo) potrebbe distorcere l'interpretazione dei risultati.
Morbosità	E' definita come la frequenza od occorrenza, in valore assoluto, dell'evento malattia in una popolazione. Le due più importanti misure di frequenza degli eventi in epidemiologia sono la prevalenza e l'incidenza.
Mortalità	Numero di morti in rapporto alla popolazione studiata in un anno.
Organismo	Essere vivente inteso come unità (una singola pianta, un singolo animale).
Organo	Qualsiasi parte di un organismo che svolge una funzione definita; un gruppo di cellule o di tessuti che agiscono come unità per qualche scopo specifico.
Proxy	Indicatore indiretto che approssima l'esposizione o l'effetto.

Rapporto standardizzato di incidenza/morbosità/mortalità (SIR Standardized incidence ratio; SMR, Standardized morbidity/mortality ratio)	E' una misura sintetica che stima il rischio relativo di morbosità/incidenza di una patologia in un'area in studio. Il SIR/SMR è dato dal rapporto percentuale tra il numero di eventi osservati e il numero di eventi attesi nell'area in studio ed esprime l'eccesso (SIR/SMR maggiore di 100) o il difetto (SIR/SMR minore di 100) di morbosità/incidenza esistente tra la popolazione dell'area in studio e la popolazione presa come riferimento, al netto delle variabili di confondimento considerate. Essendo uno stimatore basato su un rapporto, il SIR/SMR assume dei valori estremamente alti in presenza di eventi attesi molto bassi (vicino allo zero), anche con eventi osservati pari a uno o di poco superiori; di conseguenza, in presenza di un numero esiguo di eventi e/o di una popolazione a rischio piccola, la mappa dei SIR/SMR può fornire una rappresentazione del rischio di incidenza nell'area in studio lontana dalla situazione reale.
Rapporto di incidenza/morbosità/mortalità bayesiano (BIR, bayesian incidence ratio; BMR, bayesian morbidity/mortality ratio)	E' una stima bayesiana del rischio relativo di incidenza/morbosità/mortalità di una patologia ed è determinata con metodi iterativi tenendo conto contemporaneamente sia della variabilità generale dei rischi nell'area di riferimento e sia i rischi adiacenti all'area in studio considerata. Il BIR/BMR mostra una minore variabilità rispetto al SIR/SMR poiché i valori estremi di SIR/SMR tendono a scomparire rendendo la mappa più correttamente interpretabile
Serie storica	E' la registrazione cronologica di un fenomeno.
Significatività statistica	Si ottiene quando determinate misurazioni nell'ambito di uno studio di comparazione portano a ipotizzare che un dato risultato sia non casuale (cioè non una conseguenza di un caso).
Stimatore	Una funzione che associa ad ogni possibile campione un valore del parametro da stimare. È una funzione di un campione di dati estratti casualmente da una popolazione. Il valore assunto dallo stimatore in corrispondenza a un particolare campione è detto stima.
Studi descrittivi di epidemiologia spaziale (o geografici)	Studi che effettuano la descrizione e l'analisi delle variazioni geografiche di eventi sanitari in relazione a fattori di rischio demografici, ambientali, comportamentali, genetici e socio-economici. In base alle finalità perseguite, si possono suddividere in quattro tipologie: mappe di rischio, correlazione geografica, valutazione del rischio in riferimento a fonti puntuali o lineari di emissione, identificazione di cluster.
Tasso grezzo	Rapporto tra il numero di eventi osservati (ricoveri ordinari, accessi in day hospital) nel periodo e la popolazione residente. Il tasso grezzo x 1000 esprime il numero medio di eventi osservati in un anno per 1000 residenti.
Tasso standardizzato con metodo diretto	Per poter effettuare confronti tra realtà territoriali diverse (comuni) occorre assicurarsi che fattori riconosciuti influenti sul rischio di ricevere una prestazione assistenziale non siano distribuiti in modo diverso fra le aree che si vogliono porre a confronto (variabili di confondimento). Il tasso standardizzato rappresenta quindi la misura della frequenza di quel particolare evento misurato in diverse popolazioni, utilizzando la stessa distribuzione delle variabili di confondimento di una popolazione standard. In questa sede i tassi sono stati standardizzati per sesso ed età, usando come popolazione standard quella regionale dello stesso anno, calcolando il numero di eventi per 1000 residenti. I tassi standardizzati diventano così comparabili, almeno per i fattori controllati, tra le diverse popolazioni analizzate.
Trend di una serie storica	E' la tendenza di fondo del fenomeno osservato nel lungo periodo; esprime la tendenza all'incremento o al decremento dei valori della serie nel lungo periodo.